POLSKA AKADEMIA NAUK
INSTYTUT GEOFIZYKI

International Seismological Centre

BULLETIN SÉISMOLOGIQUE

1973
JANVIER FÉVRIER MARS
(1)

WARSZAWA

Komitet Redakcyjny

Roman TEISSEYRE (redaktor naczelny), Zdzisław MAŁKOWSKI (zastępca redaktora), Jan SŁOMKA (członek Redakcji)
Wacław KOWALSKI (sekretarz Redakcji)

Adres Redakcji
Instytut Geofizyki Polskiej Akademii Nauk
Warszawa, ul. Pasteura 3

Printed in Poland

Państwowe Wydawnictwo Naukowe
Oddział w Łodzi 1974

Wydanie I. Nakład 300+55 egz. Ark. wyd. 4.50. Ark. druk. 3.25
Papier offset. kl. III, 80 g, 70×100. Podpisano do druku 29. XI. 1973 r.
Druk ukończono w styczniu 1974 r. Zam. 694/73.

Zakład Graficzny Wydawnictw Naukowych
Łódź, ul. Żwirki 2

International Seismological Centre

INTRODUCTION

La présente élaboration trimestrielle des résultats d'enregistrement des observatoires séismologiques de l'Institut de Géophysique de l'Académie Polonaise des Sciences constitue la suite des élaborations annuelles paraissant dans le cadre des "Publications of the Institute of Geophysics, Polish Academy of Sciences".

Cette publication contient une élaboration des tremblements de terre distants. Un relevé des secousses les plus fortes provenant du territoire de la Haute Silésie en 1973, ainsi que des secousses locales dont les épicentres sont situés en dehors de la région de la Haute Silésie, sera présenté séparement dans un cahier du même volume. L'identification des secousses distantes s'appuie sur les données fournies par les centres séismologiques de BCIS, USCGS, ISC et Moskva. Les distances épicentrales sont calculées d'après les coordonnées géocentriques avec une exactitude de $\pm 0{,}01^{o}$. Les valeurs des magnitudes des secousses dont les distances épicentrales sont $\geqq 5^{o}$ ont été établies ă base des ondes volumétriques (m) et des ondes superficielles (M).

CONSTANTES DES SÉISMOGRAPHES

Station	Type séismo-graph	Comp.	Ts sec	Tg sec	Ds	Dg	σ^2	Vo	Vm	Tm sec	Période de validité
Warszawa (WAR)	GW	N-S	10,1	11,7	0,80	1,00	0,075	1410	1430	6,5-10,5	I - III
φ=52°14′30″N		E-W	9,80	11,3	1,01	1,00	0,077	1675	1030	4,0-9,7	
λ=21°01′25″E		Z	8,65	11,2	0,54	1,00	0,057	1130	1110	5,6-8,0	
h=110 m	SKD	N-S	25	80,0	1,0	0,4	0,114	645	700	18-60	I - III
		E-W	25	83,8	1,0	0,4	0,091	583	620	17-52	
		Z	25	83,2	1,1	0,5	0,137	723	790	17-60	
Kraków (KRA)	Ch	N-S	1,27	0,281	0,50	2,0	0,132	10500	11200	0,15-1,05	I - III
φ=50°03′22″N		E-W	1,27	0,280	0,50	2,0	0,139	10500	11200	0,15-1,05	
λ=19°56′23″E		Z	1,27	0,282	0,50	2,0	0,155	10500	11570	0,15-1,05	
h=223 m	SKM-3	N-S	1,28	0,580	0,50	0,49	0,013	21670	23670	0,47-0,78	I - III
		E-W	1,30	0,575	0,50	0,47	0,012	21440	23490	0,48-0,77	
		Z	1,45	0,580	0,60	0,49	0,014	24840	25790	0,47-0,75	
	GW	N-S	9,7	1,01	0,49	5,0	0,1	1475	1590	0,3-8	I - III
		E-W	11,1	1,00	0,47	5,0	0,1	1475	1530	0,3-8,5	
		Z	10,5	1,01	0,47	5,0	0,1	2200	2340	0,3-8	
	SKD	Z	25,0	91,5	1,00	0,50	0,204	760	810	17-59	I - III
Racibórz (RAC)	SK-58	N-S	1,18	1,00	0,6	0,5	0,011	3000	2900	0,75-1,1	I - III
φ=50°05′00″N		E-W	1,18	1,00	0,5	0,5	0,015	3000	3420	0,77-1,14	
λ=18°11′39″E		Z	1,11	1,05	0,5	0,5	0,015	3000	3300	0,78-1,13	
h=209 m	M	N-S	9,0	-	0,2	-	-	160	370	7,5-9,5	I - III
		E-W	9,0	-	0,2	-	-	157	450	6,5-9,2	
		Z	2,0	-	0,1	-	-	126	660	1,8-2,1	

Station	Type séismo-graph	Comp.	Ts sec	Tg sec	Ds	Dg	σ^2	Vo	Vm	Tm sec	Période de validité
Niedzica (NIE)	SK-58	N-S	1,82	0,366	3,63	4,5	0,813	39500	44450	0,56-0,91	I - III
φ=49°25′25″N		E-W	2,01	0,312	3,44	4,1	0,904	37800	66780	0,68-0,88	
λ=20°19′19″E		Z	1,77	0,426	2,34	4,8	0,950	40480	128000	0,99-1,16	
h=555 m											
Książ (KSP)	SU-59	N-S	1,22	0,238	0,52	1,52	0,142	103000	106000	0,14-0,67	I - III
φ=50°50,6′N		E-W	1,22	0,277	0,51	1,50	0,091	102000	108000	0,16-0,75	
λ=16°17,6′E		Z	1,02	0,204	0,52	1,53	0,174	100000	105000	0,13-0,57	
h=380 m											

International Seismological Centre

S y m b o l e s

Ts - période du pendule

Tg - période du galvanomètre

Ds - amortissement du pendule

Dg - amortissement du galvanomètre

σ^2 - coefficient du couplage

Vo - amplification statique $Vo = \frac{2A}{lo}\sqrt{\frac{Ks}{Kg}}\sqrt{\frac{Ds}{Dg}\frac{Tg}{Ts}\sigma^2}$

Vo - amplification statique

pour les séismographes SKD $Vo = \frac{2A}{lo}\sqrt{\frac{Ks}{Kg}}\sqrt{\frac{Dg}{Ds}\frac{Ts}{Tg}\sigma^2}$

Vm - valeur de l'amplification maximalle de l'appareil séismique

Tm - intervalle des périodes pour lesquelles l'amplification est supérieure ou égale à 0,9 Vm

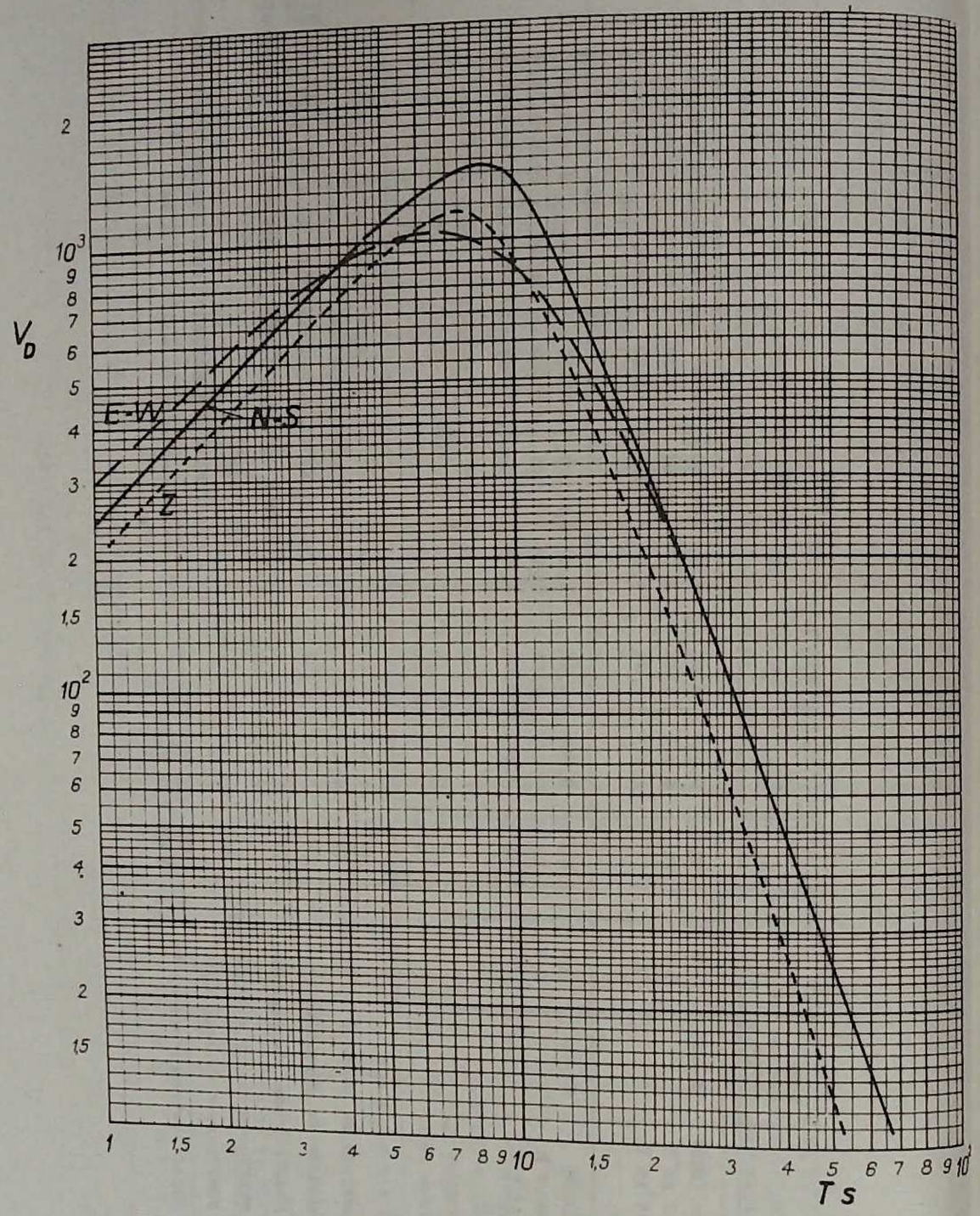

Fig. 1. L'amplification dynamique des séismographes Galitzine-Wilip à Warszawa

International Seismological Centre

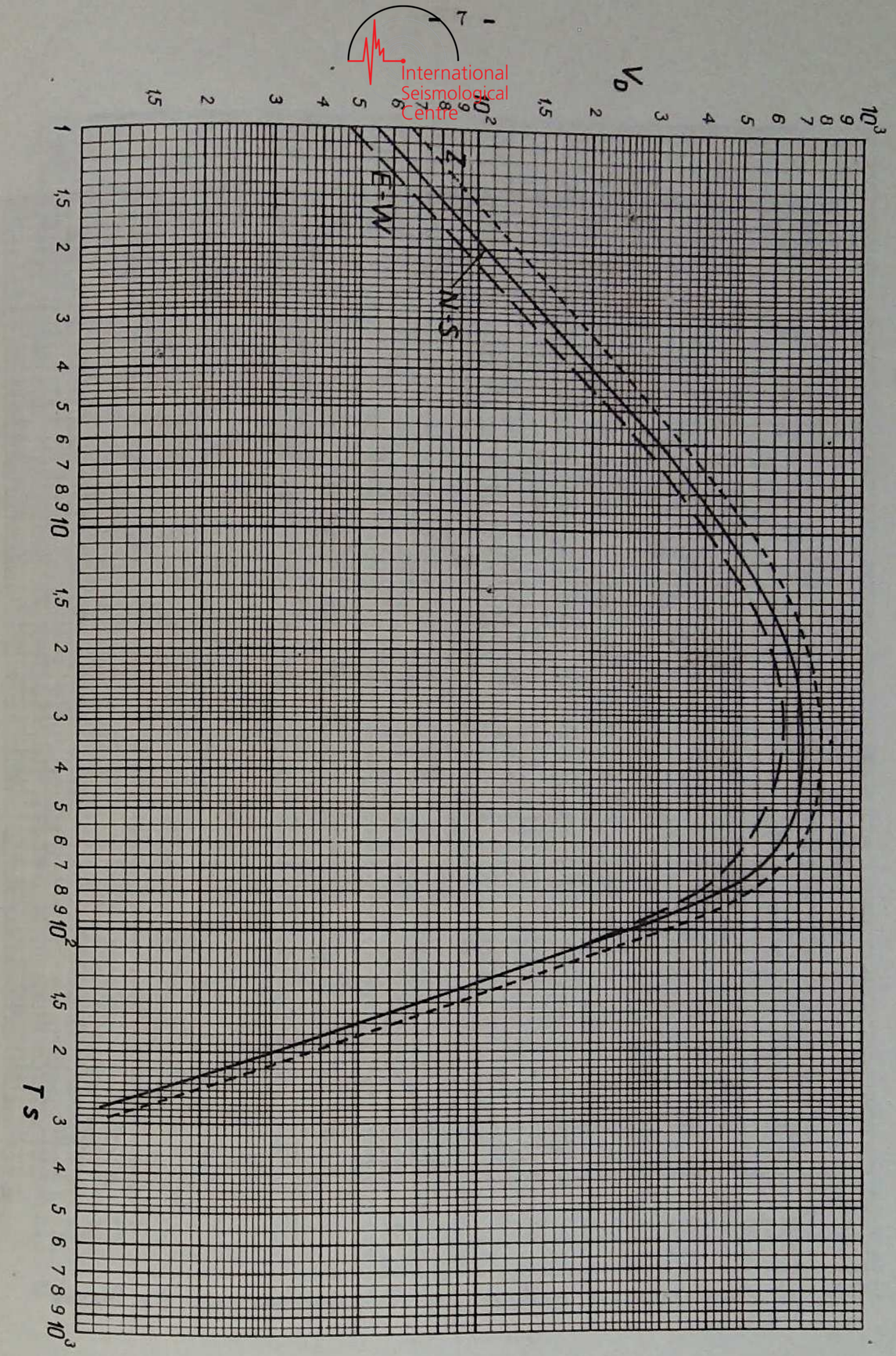

Fig. 2. L'amplification dynamique des séismographes type SKD à Warszawa

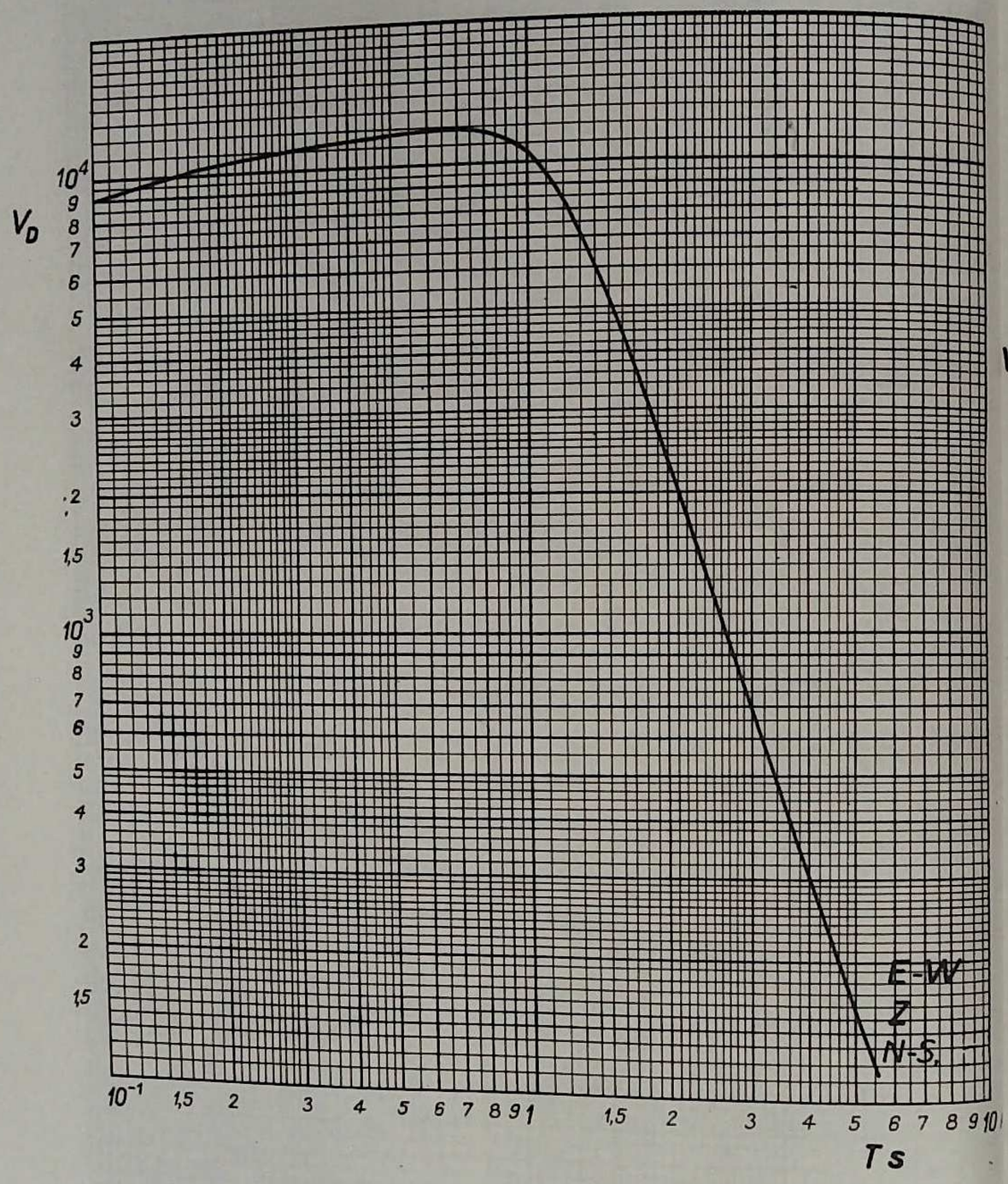

Fig. 3. L'amplification dynamique des séismographes Charin à Kraków

International Seismological Centre

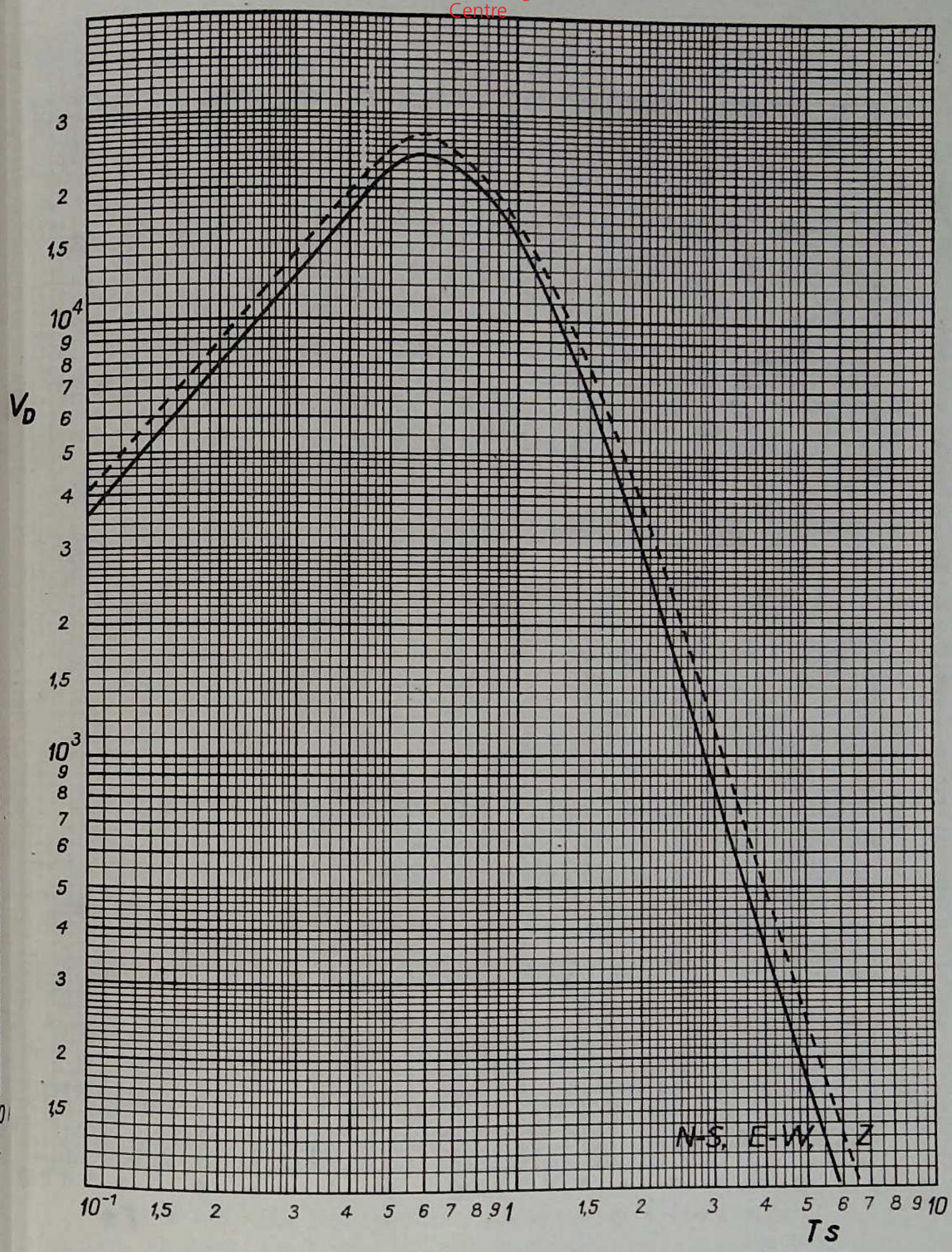

Fig. 4. L'amplification dynamique des séismographes type SKM-3 à Kraków

International Seismological Centre

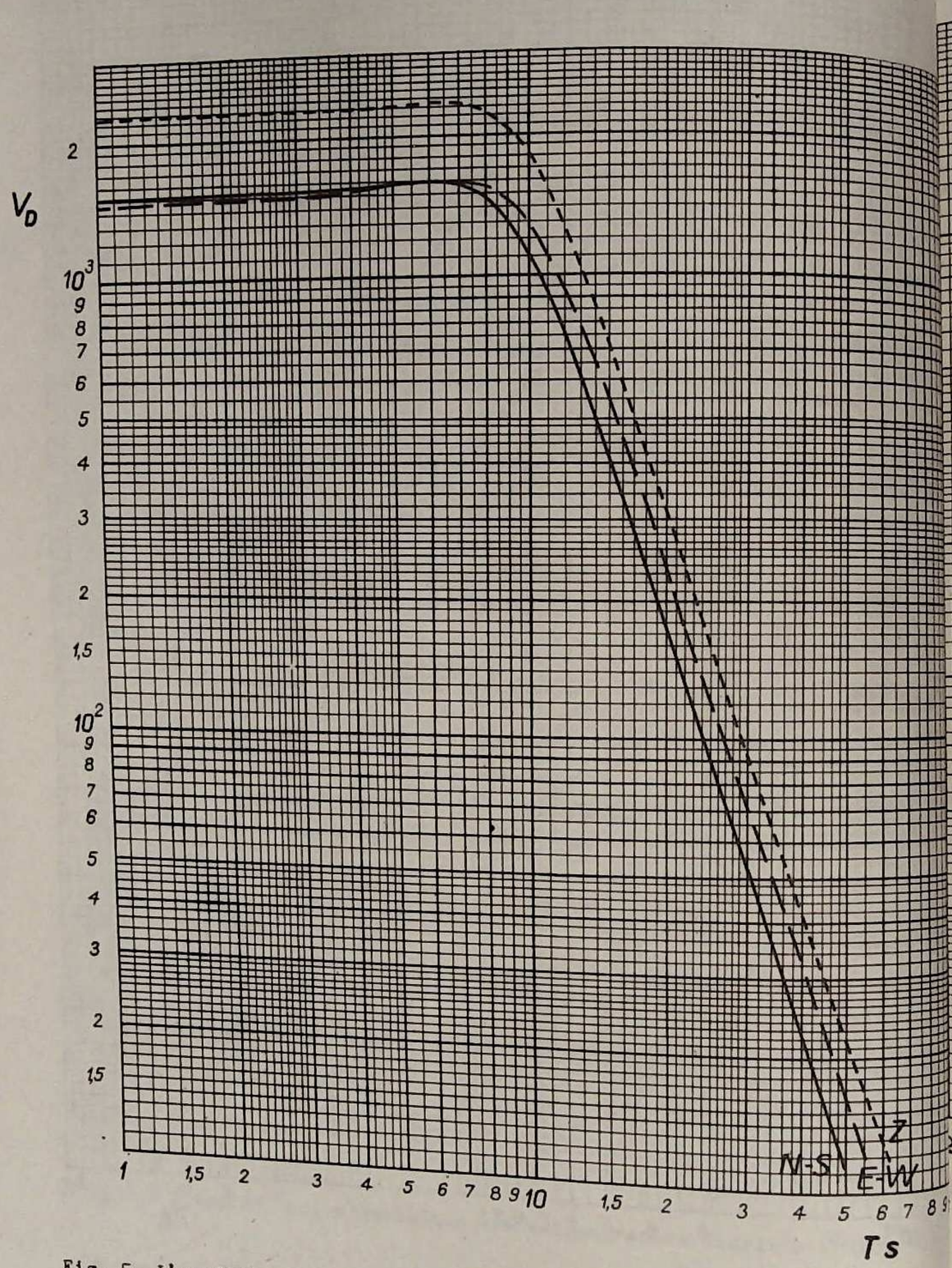

Fig. 5. L'amplification dynamique des séismographes Galitzine-Wilip à Kra

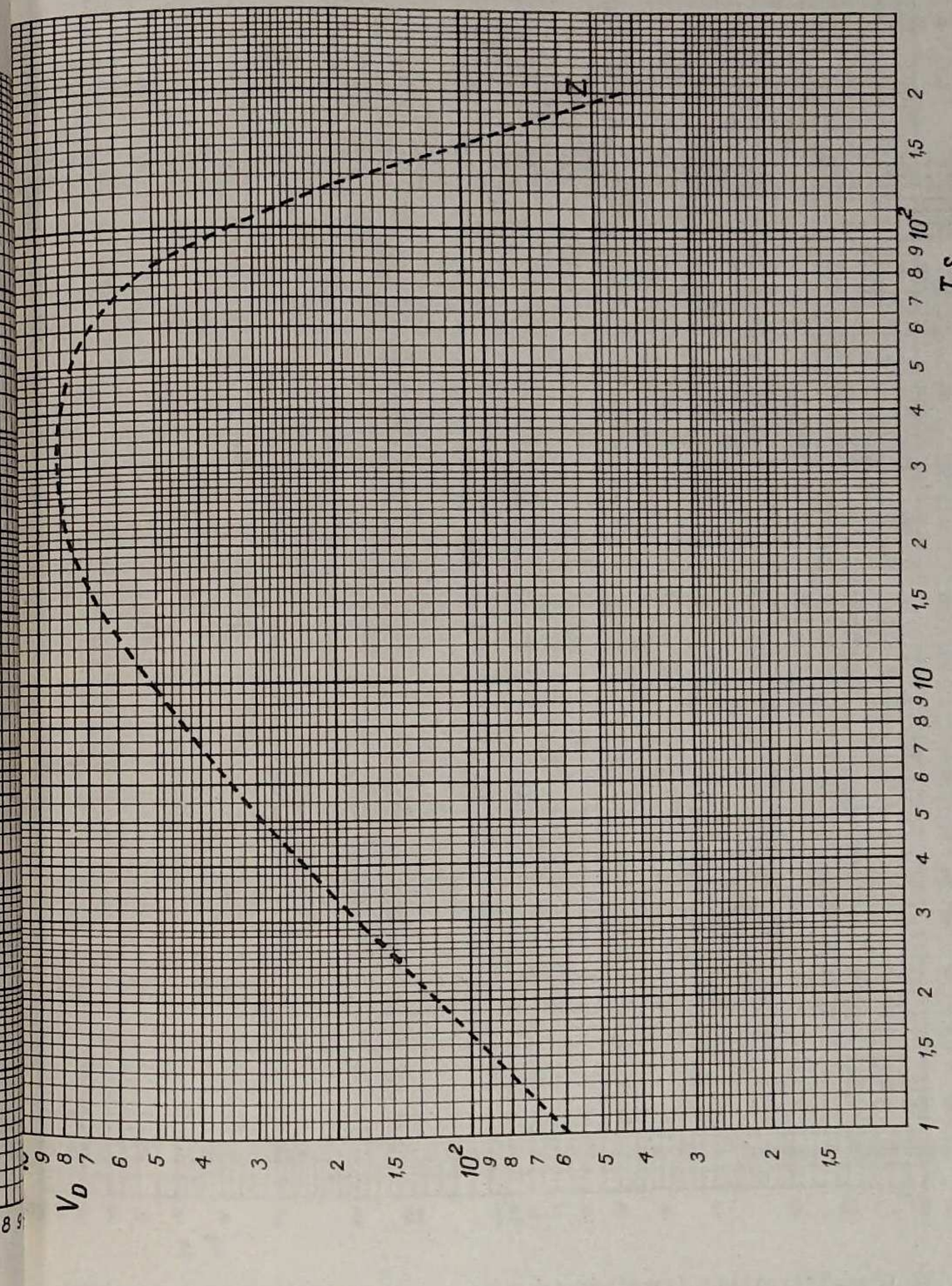

Fig. 6. L'amplification dynamique du séismographe vertical type SKD à Kraków

International Seismological Centre

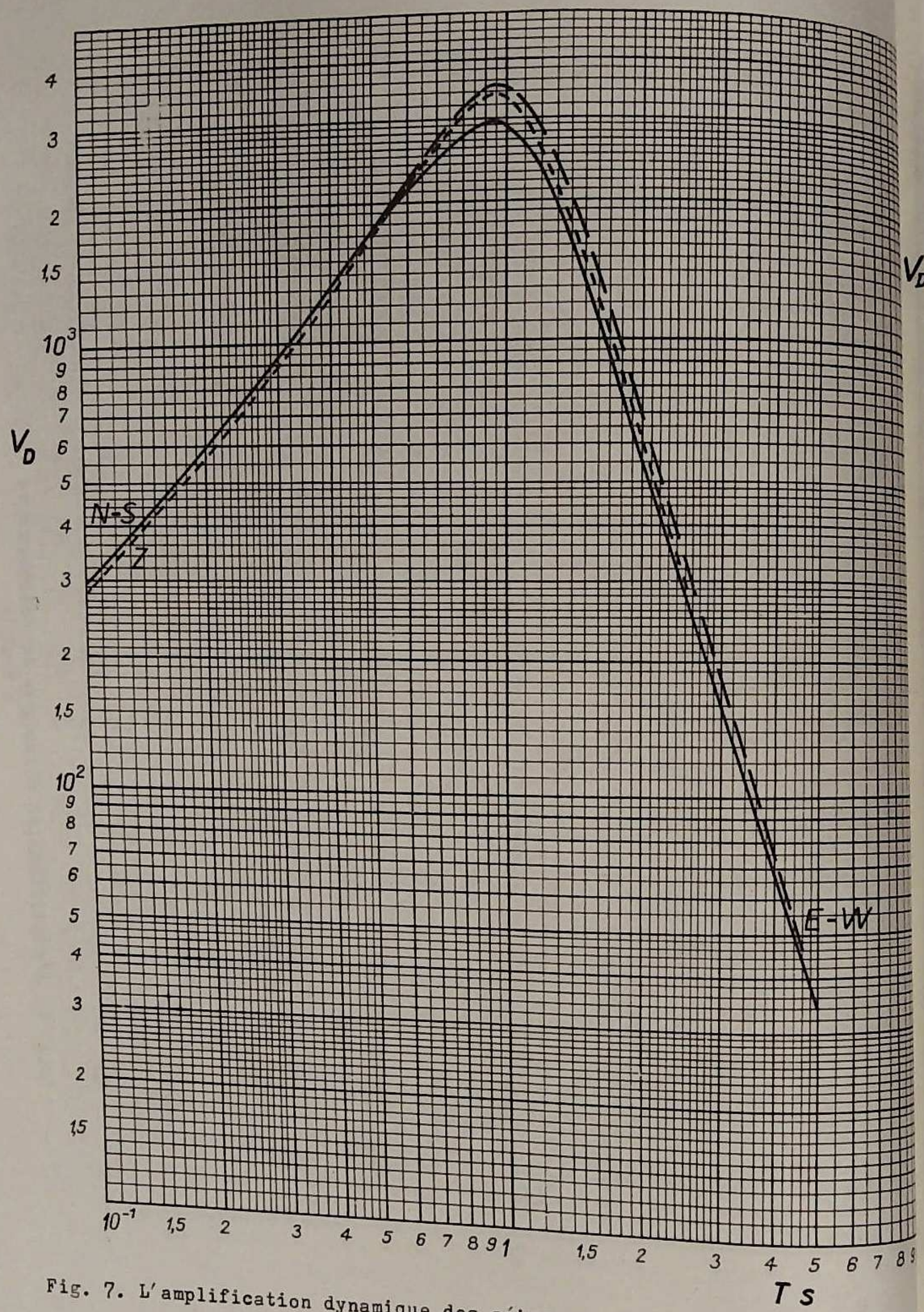

Fig. 7. L'amplification dynamique des séismographes type SK-58 à Racibórz

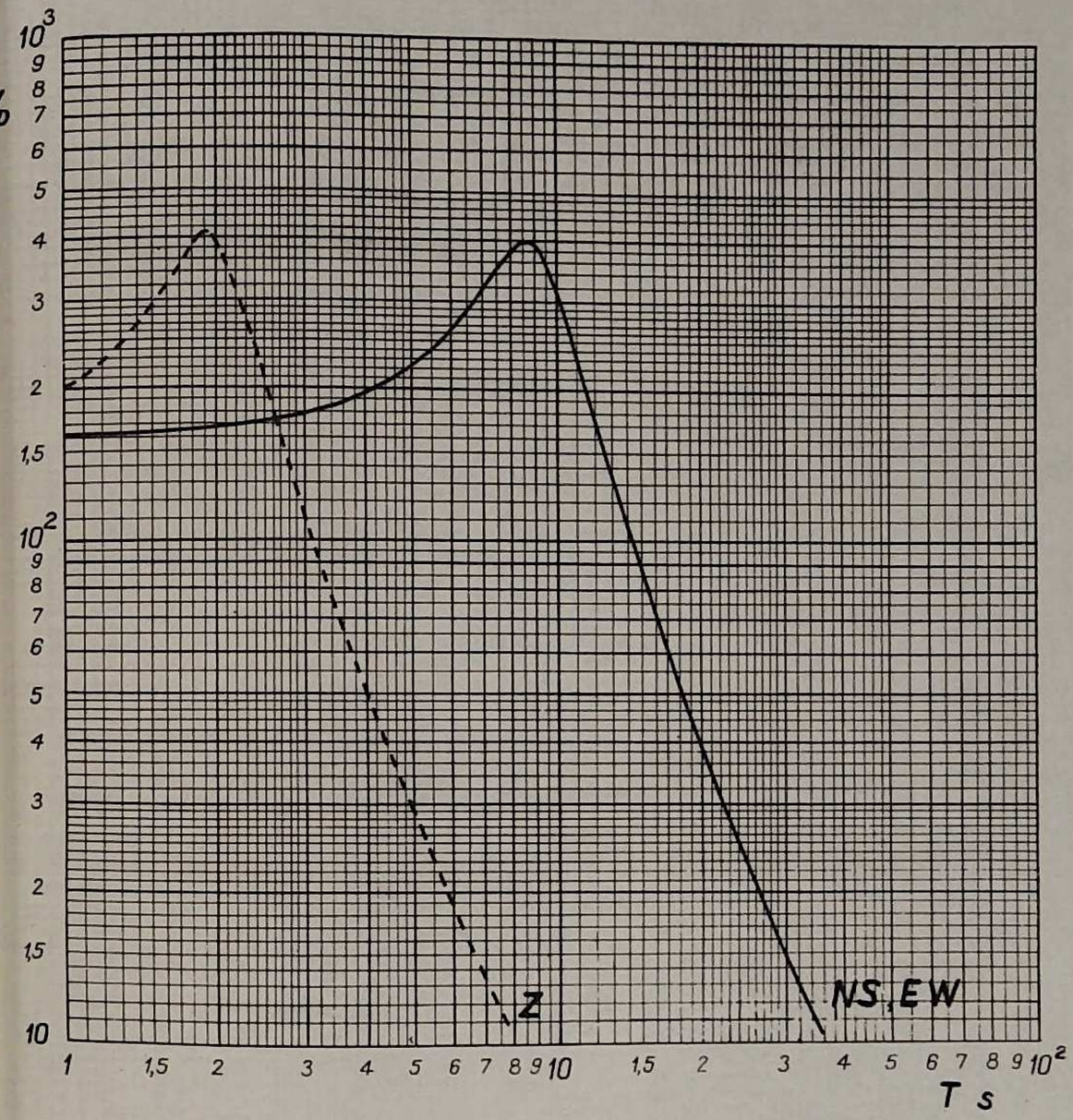

Fig. 8. L'amplification dynamique des séismographes Mainka à Racibórz

International Seismological Centre

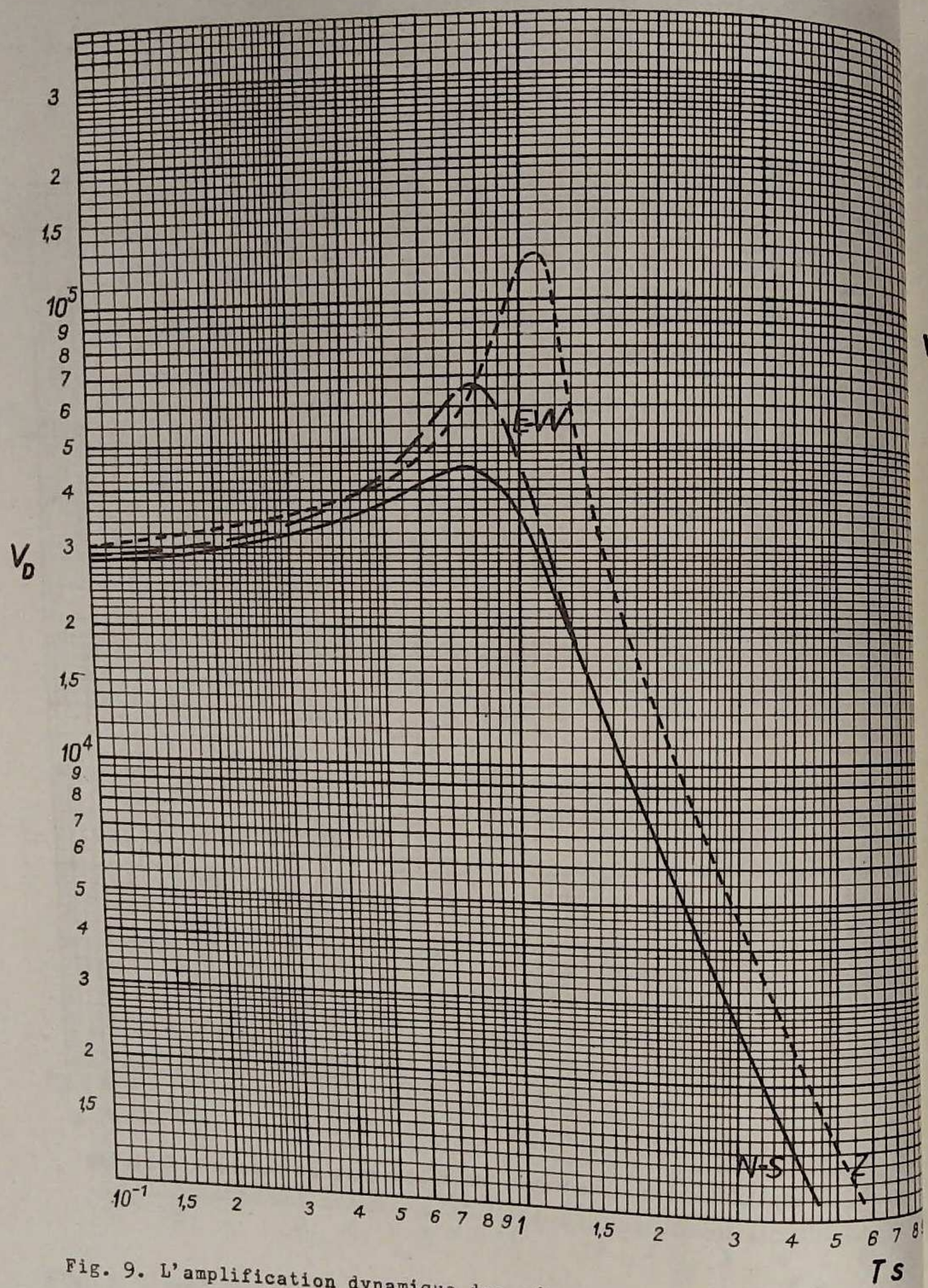

Fig. 9. L'amplification dynamique des séismographes type SK-58 à Niedzi

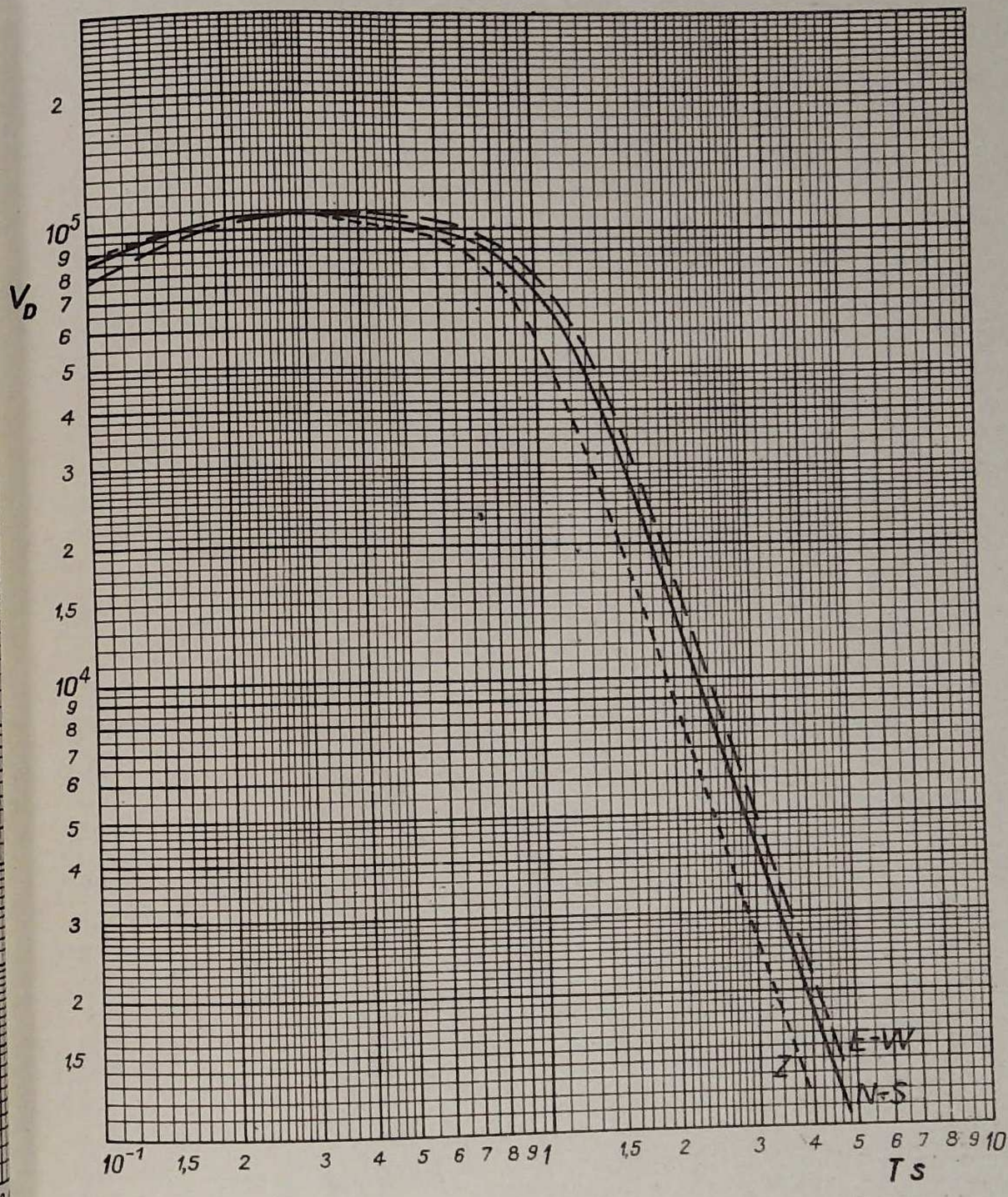

Fig. 10. L'amplification dynamique des séismographes type SU-59 à Książ

International
Seismological
Centre

RÉSULTATS DES ENREGISTREMENTS

International Seismological Centre

Date	Station	Phase	T.U. h m s
1973		JANVIER	
1.I		Région de la Nouvelle Guinée, USCGS: 9,2°S, 150,6°E, H=03h46m09,8s, h=41 km; mb=5,3 (USCGS)	
	NIE	Δ=122,6°	
		eiPKP	04 05 03,3
		Z: 0,9°; 0,014μ	
		i	07,3
1.I			
	NIE		
		eP	10 23 23
		e	26
1.I		Rift Sud de l'Océan Atlantique, USCGS: 35,5°S, 16,2°W, H=11h42m37,5s, h normale; mb=5,4 (USCGS)	
	NIE	Δ=90,3°	
		eP	11 55 38
		eipP	45
	KSP	Δ=90,6°. Traces	
		eP	11 55 38
	KRA (SKM)	Δ=90,7°	
		eP	11 55 38
		epP	46
		ePP	59 15
	(SKD)	eS	12 06,7
		Lm	28,9
		Z: 32s; 4,3μ	
2.I		Détroit des Moluques, USCGS: 1,0°N, 126,4°E, H=02h27m09,2s, h=61 km; mb=5,4 (USCGS), mPV=5,2 (Niedzica)	
	NIE	Δ=99,7°	
		eiP	02 40 52,5
		Z: 1,0s; 0,006μ	
		eipP	41 08
2.I		Tibet, USCGS: 31,2°N, 88,1°E H=22h25m57,0s, h normale; mb=5,2 (USCGS), mPV=5,5 (Kraków), 5,4 (Niedzica)	
	NIE	Δ=53,0°	
		iP	22 35 13,6 C
		Z: 1,4s; 0,056μ	
2.I	NIE	i	22 35 18
		eipP	24
	KRA (SKM)	Δ=53,2°	
		eiP	22 35 13,8
		Z: 0,8s; 0,032μ	
		ei	17
2.I		Région de l'Ile Jan Mayen, USCGS: 71,3°N, 7,6°W, H=23h20m16,7s, h normale; mb=4,7 (USCGS), mPV=4,6 (Niedzica)	
	KSP	Δ=23,2°	
		eP	23 25 21
		i	23
	KRA (SKM)	Δ=25,0°	
		eP	23 25 37
		ei	38
		epP	50
	NIE	Δ=25,7°	
		iP	23 25 43,4 D
		Z: 1,0s; 0,015μ	
		eipP	54
3.I		Tadzhikistan, USCGS: 39,1°N, 71,9°E, H=14h31m04,5s, h normale; mb=5,5 (USCGS), mPV=5,7 (Kraków), 5,3 (Niedzica)	
	NIE	Δ=37,7°	
		iP	14 38 19,6
		Z: 1,0s; 0,040μ	
		ipP	29,1
		i	30
		i	35
		i	43
	KRA (Ch)	Δ=37,9°	
		eiP	14 38 20,3
		Z: 1,0s; 0,113μ	
		ipP	30,3
		ei	40 04,8
	(SKD)	eSS	46 55
	KSP	Δ=40,1°	
		eiP	14 38 28,9

Date	Station	Phase	T.U. h m s
3.I		Région de l'Orégon, USCGS: 44,3°N, 129,2°W, H=21h14m16,4s h=18 km; mb=5,3 (USCGS), mPV=5,3 (Kraków Niedzica)	
	KSP	Δ=80,6°	
		eP	21 26 29
	KRA (SKM)	Δ=82,5°	
		eP	21 26 37,8 D
		Z: 1,1s; 0,028μ	
	NIE	Δ=83,2°	
		eiP	21 26 41,9 D
		Z: 0,8s; 0,020μ	
		e	50
4.I		Nouvelles Hébrides, USCGS: 13,4°S, 167,1°E, H=01h07m 50,3s, h=194 km; mb=5,1 (USCGS)	
	KSP	Δ=135,8°	
		eiPKP	01 26 44
		i	49,3
		Z: 0,8s; 0,03μ	
	NIE	Δ=135,1°	
		ePKP	01 26 48
		i	50
		ei	30 03
	KRA (Ch)	Δ=134,9°	
		eiPKP	01 26 49,3
		e	29 24
4.I		Région de Ile Jan Mayen, USCGS: 71,6°N, 6,7°W, H=03h 30m38,1s, h normale; mb=4,4 (USCGS)	
	KSP	Δ=23,3°	
		eP	03 35 43
4.I		Région N du Ile Macquarie, USCGS: 49,7°S, 155,1°E, H=04h08m01,7s, h normale;	
	NIE	Δ=150,9°. Traces	
		ePKP2	04 28 06
4.I		Rift nord-atlantique, BCIS: 71,0°N, 7,3°W, H=08h03m49s; mPV=4,6 (USCGS)	
	KSP	Δ=22,9°	
		eP	08 08 53
		i	56
		Z: 1s; 0,15μ	
4.I	KSP	i	08 09 17
	KRA (SKM)	Δ=24,7°	
		eiP	08 09 09,3 C
		i	15,3
		eS	13 43
		Lm	17,4
		Z: 29s; 1,5μ	
	NIE	Δ=25,7°	
		eiP	08 09 11,2
		Z: 1,0s; 0,017μ	
		i	25
		i	39
4.I		Région de Ile Jan Mayen, USCGS: 71,6°N, 7,3°W, H=12h 03m13,9s, h normale; mb=4,2 (USCGS)	
	KSP	Δ=23,4°. Traces	
		eP	12 08 19
5.I		Rift médiane de l'Atlantique Nord, BCIS: 49,3°N, 28,1°W, H=01h44m31s; M=4,9 (Wien), mPV=5,4 (Kraków), 5,2 (Książ), 5,0 (Niedzica)	
	KSP	Δ=28,2°	
		iP	01 50 17,3 D
	KRA (SKM)	Δ=30,8°	
		iP	01 50 39,8 D
		Z: 1,2s; 0,079μ	
		ei	44
	(SKD)	Lm	02 03,1
		Z: 17s; 2,8μ	
	NIE	Δ=31,2°	
		iP	01 50 44,2 D
		Z: 1,0s; 0,021μ	
		ei	53
5.I		Rift Nord Atlantique, USCGS: 25,9°N, 45,0°W, H=03h38m 58,1s, h normale; mb=5,1 (USCGS), mPV=5,3 (Kraków), 5,0 (Niedzica)	
	KSP	Δ=52,4°	
		eP	03 47 54
	KRA (SKM)	Δ=54,7°	
		eiP	03 48 27,0 C
		Z: 1,0s; 0,030μ	

International Seismological Centre

Date	Station	Phase	T.U. h m s
5.I (suite)	NIE	Δ=54,9°	
		eiP	03 48 29
		Z: 1,1s; 0,016μ	
		epP	38
5.I		Méditerranée au Sud du Péloponèse, BCIS: 35,7°N, 21,9°E, H=05h49m20s; MLH= 5½- 5¼ (Strasbourg)	
	NIE	Δ=13,5°	
		eiP	05 52 30,5 C
		Z: 1,2s; 0,023μ	
		i	35
		iPP	39
		i	46
		i	53 05
	KRA (SKM)	Δ=14,2°	
		eP	05 52 38
		i	45
		iPP	52
		i	54 56
	(SKD)	eS	55 21
		i	58 12
		Lm	59,8
		Z: 15s; 30μ	
	RAC (SK)	Δ=14,4°	
		eP	05 52 43
	KSP	Δ=15,7°	
		eP	05 52 54
		i	53 00,0
		Z: 0,09s; 0,07μ	
		iPPP	15
		i	47
	WAR (SKD)	Δ=16,5°	
		eP	05 53 09
		eiPP	29
		eiS	56 17
5.I		Carpathes, région de Vrancea Roumanie, BCIS: 45,6°N, 26,6°E, H=12h37m49s, h= 150 km ± 10 km	
	NIE	Δ=5,55°	
		iPn	12 39 12 D
		Z: 0,7s; 0,132μ	
		iPP	20
		iP*	26

Date	Station	Phase	T.U. h m s
5.I	KRA (SKM)	Δ=6,14°	
		iP	12 39 18,7 D
		Z: 0,7s; 0,033μ	
		ePP	28
5.I		Mer d'Okhotsk, USCGS: 48,2°N, 146,8°E, H=13h39m50,4s, h= 430 km; mb=5,1 (USCGS)	
	KSP	Δ=72,6°	
		iP	13 50 33,0 C
5.I		Ile Nord, Nouvelle Zélande, USCGS: 39,0°S, 175,2°E, H= 13h54m29,1s, h=150 km; mb= 6,2 (USCGS)	
	KSP	Δ=161,0°	
		ePKP$_1$	14 14 08
		e	33
		iPKP$_2$	55,5
		Z: 0,8s; 0,08μ	
		ipPKP$_1$	59,5
	WAR (SKD)	Δ=157,7°	
		eiPKP$_2$	14 14 45
		eiPP	18 17
		eipPP	19 17
		Lm	15 01 09
		NE: 88s; 15μ, 20μ	
		Lm	11 09
		Z: 68s; 6,4μ	
	KRA (SKM)	Δ=159,4°	
		iPKP$_2$	14 14 49
		Z: 0,9s; 0,095μ	
		ipPKP$_1$	15 01,7
	(SKD)	eisPKP$_1$	31
		eiPP	18 31
		iSKKS	24 25
		Lm	15 13,4
		Z: ca 60s; 7,1μ	
	NIE	Δ=159,4°	
		iPKP$_2$	14 14 50
		Z: 0,4s; 0,167μ	
		ipPKP$_1$	15 02
		isPKP$_1$	29
	RAC (SK)	Δ=160,4°	
		eiPKP$_2$	14 14 56
5.I		Région Sud des Iles Fidji, USCGS: 21,3°S, 175,2°E,	

Date	Station	Phase	T.U. h m s
5.I (suite)		H=21h29m12,3s, h=620 km; mb= 5,2 (USCGS)	
	KRA (SKM)	Δ=145,5°. Traces	
		ePKP$_1$	21 47 44
	NIE	Δ=145,8°	
		eiPKP$_1$	21 47 45,5
		Z: 1,1s; 0,019μ	
		e	48 10
	KSP	Δ=146,2°	
		eiPKP$_1$	21 47 46,0
		epPKP	49 58
		e(SKP)	50 30
6.I		Région des Iles Kermadec, USCGS: 31,5°N, 179,5°E, H=07h 58m14,6s, h=476 km; mb=5,2 (USCGS)	
	NIE	Δ=156,4°. Traces	
		ePKP$_2$	08 17 45
	KSP	Δ=157,0°	
		eiPKP$_2$	08 17 48
6.I			
	NIE	Traces	
		eiP	11 07 53 C
6.I			
	KRA (SKM)	Traces	
		eiP	12 59 58,5
		ei	13 00 10,5
6.I		Région frontière Iran-URSS, USCGS: 38,0°N, 46,4°E, H=15h 39m31,0s, h=24 km; mb=4,2 (USCGS), mPV=5,0 (Niedzica), 4,7 (Kraków)	
	NIE	Δ=21,8°	
		eiP	15 44 26,7
		Z: 1,0s; 0,008μ	
		ePP	54
	KRA (SKM)	Δ=22,3°	
		eiP	15 44 32,0 D
		Z: 0,7s; 0,020μ	
	KSP	Δ=24,8°	
		eP	15 44 54

Date	Station	Phase	T.U. h m s
6.I		Nouvelles Hébrides, USCGS: 14,7°S, 166,4°E, H=15h52m41,9s, h=36 km; mb=6,1 (USCGS)	
	KRA (SKM)	Δ=135,6°	
		ePKP	16 12 00
		ePP	14 44
		ePKS	15 38
		Lm	17 10,8
		Z: 22s; 3,3μ	
	KSP	Δ=136,6°	
		ePKP	16 12 02
	NIE	Δ=135,8°	
		eiPKP	16 12 02,5
		Z: 1,1s; 0,010μ	
		i	18
		eiPP	14 48
		iPKS	15 38,5
6.I		Iran, USCGS: 33,1°N, 48,3°E, H=20h01m50,9s, h=63 km; mb= 4,8 (USCGS)	
	NIE	Δ=26,3°	
		eiP	20 07 27
		i	32
	KRA (SKM)	Δ=26,8°. Traces	
		eP	20 07 28
		ei	34
6.I		Nouvelles Hébrides, USCGS: 15,5°S, 167,5°E, H=22h15m 49,9s, h=123 km; mb=5,3 (USCGS)	
	KSP	Δ=137,8°	
		eiPKP	22 34 50,0
		i	35 01,5
		Z: 0,8s; 0,06μ	
	KRA (SKM)	Δ=136,8°	
		eiPKP	22 34 58,6 C
		Z: 0,9s; 0,037μ	
		ePKS	38 23
	NIE	Δ=137,1°	
		e	22 34 54
		eiPKP	35 00 Ç
		Z: 0,8s; 0,060μ	
		ei	12
		eiPKS	38 24

Date	Station	Phase	T.U. h m s
7.I		Région des Iles Loyauté, USCGS: 21,9°S, 170,4°E, H=01h 32m13,0s, h=66 km; mb=4,7 (USCGS)	
	KSP	Δ=144,7°	
		ePKP1	01 51 40
		epPKP2	52 20
7.I		Éthiopie, USCGS: 5,3°N, 36,8°N, H=12h17m12,6s, h= 34 km; mb=4,9 (USCGS)	
	NIE	Δ=45,9°. Traces	
		eP	12 25 37
	KRA (SKM)	Δ=46,6°	
		eP	12 25 41
		eS	32 31
		Lm	44,3
		Z: 30s; 1,7μ	
7.I		Luçon, Philippines, USCGS: 17,3°N, 120,0°E, H=12h42m 11,1s, h=77 km; mb=4,8 (USCGS)	
	NIE	Δ=83,3°	
		eP	12 54 32
		ePcP	41
		ei	59
	KRA (SKM)	Δ=83,3°. Traces	
		eP	12 54 32
	KSP	Δ=85,1°. Traces	
		eP	12 54 41
7.I		Région Sud des Iles Fidji, USCGS: 24,2°S, 179,5°E, H= 19h30m23,9s, h=561 km; mb= 4,5 (USCGS)	
	NIE	Δ=150,2°	
		iPKP1	19 49 13,7 D
		Z: 1,1s; 0,009μ	
		ePKP2	22
7.I	NIE		
		iP	21 06 17 D
7.I	KRA (SKM)	Traces	
		eiP	23 28 24,6
	NIE	Traces	
		eP	23 28 36
7.I	NIE		
		iP	23 45 58,5 C
		Z: 1,0s; 0,044μ	
	NIE		
		iP	23 45 59,2 C
		Z: 1,0s; 0,012μ	
8.I		Région des Iles Fidji, USCGS: 20,1°S, 179,0°W, H=10h24m 25,3s, h=653 km; mb=4,7 (USCGS)	
	NIE	Δ=147,1°	
		eiPKP1	10 42 57
	KSP	Δ=147,0°	
		iPKP1	10 42 57,4 C
		Z: 0,6s; 0,032μ	
8.I	KRA (SKM)	Traces	
		eP	13 33 28
		ei	37,1
8.I		Région Sud des Iles Fidji, USCGS: 24,4°S, 177,3°W, H= 21h10m11,2s, h=154 km; mb= 4,7 (USCGS)	
	KRA (Ch)	Δ=151,3°	
		iPKP1	21 29 47,5
		Z: 0,5s; 0,052μ	
		e	54
	NIE	Δ=151,7°	
		iPKP1	21 29 48,7 D
		Z: 1,0s; 0,021μ	
		i	57,9
9.I		Région de Ile Jan Mayen, USCGS:71,3°N, 7,6°W, H=06h 02m49,1s, h normale; mb=4,3 (USCGS)	
	KSP	Δ=23,2°	
		eP	06 07 53
	KRA (Ch)	Δ=25,0°. Traces	
		eP	06 08 10
	NIE	Δ=25,7°	
		eP	06 08 15
9.I		Mindanao, Philippines, USCGS: 7,0°N, 126,2°E, H=06h14m25,3s,	

International Seismological Centre

Date	Station	Phase	T.U. h m s
9.I (suite)		h=51 km; mb=5,3 (USCGS), mPV=5,1 (Niedzica)	
	NIE	Δ=95,0°	
		eP	06 27 46
		Z: 1,0s; 0,007μ	
9.I		Région de Ile Jan Mayen, USCGS: 71,6°N, 5,9°W, H=07h 46m18,8s, h normale; mb=4,4 (USCGS), mPV=4,8 (Kraków)	
	KSP	Δ=23,1°	
		eP	07 51 23
	KRA (SKM)	Δ=24,9°	
		eP	07 51 40
		Z: 0,6s; 0,016μ	
	NIE	Δ=25,5°	
		eP	07 51 46
		eipP	54
9.I		Alaska, USCGS: 60,3°N, 146,0°W, H=11h57m21,0s, h= 18 km; mb=5,1 (USCGS), mPV= 5,2 (Niedzica)	
	KSP	Δ=68,3°	
		eiP	12 08 21,9 C
	KRA (SKM)	Δ=69,7°	
		eP	12 08 29
		epP	34
	NIE	Δ=70,3°	
		iP	12 08 34,3 D
		Z: 1,0s; 0,019μ	
		eiPcP	09 02
9.I	KRA (SKM)	Traces	
		iP	12 47 23,1 D
		Z: 0,6s; 0,019μ	
9.I		Région de Ile Jan Mayen, USCGS: 71,4°N, 7,7°W, H=13h 08m54,3s, h normale; mb=4,1 (USCGS), mPV=4,6 (Niedzica)	
	KSP	Δ=23,3°	
		eP	13 14 01
	KRA (SKM)	Δ=25,1°	
		eP	13 14 17
		ei	24
9.I	NIE	Δ=25,8°	
		eP	13 14 23
		Z: 0,8s; 0,012μ	
		ei	42
9.I		Iles de reine Elizabet, USCGS: 76,5°N, 105,6°W, H=13h17m40,9s, h normale; mb=3,7 (USCGS)	
	KSP	Δ=47,7°	
		eP	13 30 30
	NIE	Δ=50,0°	
		eP	13 30 52
9.I		Région de Ile Jan Mayen, USCGS: 71,3°N, 8,0°W, H= 14h55m38,6s, h normale; mb=4,4 (USCGS), mPV=4,3 (Niedzica)	
	KSP	Δ=23,3°	
		eiP	15 00 43,8
	KRA (SKM)	Δ=25,1°	
		eP	15 00 59
		ei	01 01
	NIE	Δ=25,8°	
		eP	15 01 06
		Z: 1,1s; 0,008μ	
		ei	28
9.I		Région frontière Tadhik-Sinkiang, USCGS: 39,5°N, 73,7°E, H=16h17m55,2s, h normale; mb=4,9 (USCGS), mPV=4,9 (Niedzica)	
	NIE	Δ=38,7°	
		eP	16 25 17
		Z: 0,8s; 0,012μ	
9.I		Iles Andreanov, Aléoutiennes, USCGS: 51,4°N, 178,2°W, H= 17h07m55,5s, h=52 km; mb=5,1 (USCGS), mPV=4,7 (Niedzica)	
	NIE	Δ=78,6°	
		eP	17 19 52
		Z: 1,0s; 0,007μ	
10.I		Ouest du Péloponèse, Grèce, BCIS: 37,5°N, 21,4°E, H=03h 24m13s; ML=4,6 (Athènes)	

International Seismological Centre

Date	Station	Phase	T.U. h m s	
10.I (suite)	NIE	Δ=11,7°		
		eP	03 26 57	
		iPP	27 08	
		iPPP	13	
	KRA (SKM)	Δ=12,3°. Traces		
		eP	03 27 11	
		ePP	20	
		ePPPP	30	
	(SKD)	Lm	33,9	
		Z: 17s; 2,0μ		
	KSP	Δ=13,8°		
		eiP	03 27 25,0	
		ePP	36	
		ei	41	
10.I		Région de l'Ile Jan Mayen, USCGS: 71,6°N, 6,9°W, H=14h 27m43,5s, h normale; mb=4,4 (USCGS), mPV=4,2 (Niedzica)		
	KSP	Δ=23,3°		
		eP	14 32 49	
	NIE	Δ=25,8°		
		eP	14 33 11	
		Z: 1,0s; 0,006μ		
		ei	19	
10.I				
	KRA (SKM)	Traces		
		eP	19 52 42	
		ei	50,6	
	NIE			
		eP	19 52 53	
11.I		Iles aux Renards, Aléoutiennes, USCGS: 52,1°N, 169,6°W, H=02h12m27,5s, h=30 km; mb=5,4 (USCGS), mPV=5,4 (Kraków) 5,1 (Niedzica)		
	KSP	Δ=77,3°		
		eP	02 24 21 C	
		ePcP	33	
	KRA (Ch)	Δ=78,2°		
		eiP	02 24 23,9 C	
		Z: 1,4s; 0,047μ		
		ePcP	33	
	RAC (SK)	Δ=78,2°		
		eP	02 24 24	
		ePcP	33	

Date	Station	Phase	T.U. h m s	
11.I	NIE	Δ=78,8°		
		eiP	02 24 28,2 C	
		Z: 1,1s; 0,018μ		
		ei	34	
		iPcP	38	
11.I				
	KRA (SKM)	Traces		
		eiP	09 20 24,3	
11.I				
	NIE			
		iP	13 23 18,6 D	
		Z: 1,0s; 0,009μ		
12.I		Région de l'Ile Bouvet, USCGS: 54,4°S, 5,3°E, H=03h11m33,1s, h normale; mb=5,5 (USCGS)		
	KRA (SKM)	Δ=104,5°. Traces		
		eP	03 29 55	
		e	30 01	
		e	30	
	(SKD)	e	39 23	
		ei	44 53	
		e	48 28	
		eL	04 01,9	
		Lm	14,6	
		Z: 22s; 2,9μ		
12.I		Région de l'Ile Bouvet, USCGS: 54,4°S, 5,4°E, H=03h16m02,8s, h normale; mb=5,7 (USCGS)		
	KRA (SKM)	Δ=104,5°		
		ePP	03 34 25	
12.I				
	KRA (SKM)			
		iP	09 05 00,8 C	
		Z: 0,6s; 0,039μ		
		i	03	
		ei	11	
12.I				
	NIE	Traces		
		eP	14 12 19	
	KRA (SKM)	Traces		
		eiP	14 12 19,4 C	
		e	45,9	
12.I		Hindou-Kouch, USCGS: 36,0°N, 70,6°E, H=23h39m25,9s,		

Date	Station	Phase	T.U. h m s	
12.I (suite)		h=126 km; mb=5,2 (USCGS)		
	NIE	Δ=38,6°		
		eP	23 46 40 D	
		eipP	47 07,0	
	KRA (Ch)	Δ=38,8°		
		eiP	23 46 40,7	
		eipP	47 10	
		ei	48 20	
13.I				
	KRA (Ch)	Traces		
		e(P)	01 44 04	
	NIE			
		eP	01 44 16	
13.I		Nevada, USCGS: 37,3°N,115,5°W H=10h55m13,1s, h=8 km		
	KRA (SKM)	Δ=84,8°		
		ei(P)	11 07 08,7	
		e	15	
13.I		Sumatra, USCGS: 2,7°S,101,3°E H=11h10m20,4s, h=105 km; mb=5,2 (USCGS)		
	NIE	Δ=86,1°		
		eiP	11 22 52,5 D	
		Z: 0,9s; 0,010μ		
		eipP	23 12	
13.I				
	NIE			
		ei(P)	14 01 12,2	
		ei	34,7	
13.I				
	KSP			
		iP	14 21 31,5	
13.I		Pakistan, USCGS: 25,6°N, 63,9°E, H=14h14m41,1s, h=50 km; mb=5,0 (USCGS)		
	KRA (SKM)	Δ=41,5°		
		eP	14 22 28	
		ei	34	
	NIE	Δ=41,1°		
		eiP	14 22 33,2	
		eipP	46	
		ei	23 05	
	KSP	Δ=44,1°		
		eP	14 22 46	

Date	Station	Phase	T.U. h m s	
13.I		Iles aux Rats, Aléoutiennes, USCGS: 51,8°N, 176,3°E, H=21h58m22,0s, h=52 km; mb=5,0 (USCGS), mPV=4,9 (Niedzica)		
	KSP	Δ=76,3°		
		eP	22 10 06	
	KRA (Ch)	Δ=76,8°		
		eiP	22 10 08,9	
		eiPcP	19,5	
	NIE	Δ=77,4°		
		eiP	22 10 12,6 C	
		Z: 1,0s; 0,010μ		
		ePcP	24	
13.I		Kamtchatka, USCGS: 59,7°N, 163,2°E, H=22h03m50,9s, h normale; mb=4,0 (USCGS)		
	KSP	Δ=66,6°		
		eP	22 14 38	
	KRA (Ch)	Δ=66,9°		
		eiP	22 14 40,3	
	NIE	Δ=67,4°		
		eP	22 14 43	
		Z: 1,0s; 0,009μ		
14.I		Rift Nord Atlantique, USCGS: 14,8°N, 45,1°W, H=08h57m 28,5s, h normale; mb=5,0 (USCGS)		
	NIE	Δ=62,9°		
		eP	09 07 54	
14.I		Nouvelles Hébrides, USCGS: 14,2°S, 167,2°E, H=11h14m 45,1s, h=198 km; mb=4,6 (USCGS)		
	NIE	Δ=135,8°		
		ePKP	11 33 40	
		eiPKS	37 00	
		Z: 10s; 0,010μ		
15.I		Ile Sakhaline, USCGS: 46,0°N, 142,7°E, H=01h53m14,6s, h=354 km; mb=5,1 (USCGS)		
	KRA (SKM)	Δ=77,0°		
		eP	02 04 04	
		i	06	
		eipP	05 13	

Date	Station	Phase	T.U. h m s
15.I (suite)	KRA	epPcP	02 05 21
		e1sP	25
	NIE	Δ=72,8°	
		1P	02 04 06,0 D
		Z: 0,9s; 0,011μ	
		i	08
		epPcP	05 25
		1sPcP	06 08,5
15.I		Région des Iles Bonin, USCGS: 27,1°N, 140,1°E, H=09h02m 58,3s, h=477 km; mb=5,8 (USCGS)	
	KRA (Ch)	Δ=86,9°	
		1P	09 14 51,7 D
		Z: 0,8s; 0,383μ	
		e1	54,1
		e1	15 34,2
		e	16 33
	(SKM)	1PP	18 21
		e1	29
	NIE	Δ=87,1°	
		1P	09 14 53,1 D
		Z: 1,0s; 0,206μ	
		i	59
		e1	15 43
		1Pp	18 22,5
		i	27
		i	34
	RAC (SK)	Δ=87,7°	
		e1P	09 14 54
		i	56
		i	15 14
	KSP	Δ=87,9°	
		1P	09 14 57,3 D
		NEZ: 0,5s; +0,11μ, +0,125μ -0,18μ	
		i	58,5
		i	15 01
		e1PP	18 31
15.I		Région des Iles Bonin, USCGS: 27,1°N, 140,0°E, H=11h19m49,9s h=469 km; mb=4,9 (USCGS)	
	KRA (SKM)	Δ=86,9°	
		1P	11 31 43,7
		Z: 1,0s; 0,048μ	

Date	Station	Phase	T.U. h m s
15.I	NIE	Δ=87,1°	
		e1P	11 31 45,3 D
		Z: 1,0s; 0,018μ	
	KSP	Δ=87,9°	
		1P	11 31 49,5
		Z: 0,6s; 0,06μ	
15.I			
	NIE		
		e1P	12 57 21,2
		Z: 0,7s; 0,013μ	
		i	25,1
		i	34,2
		i	41,5
15.I		Sinkiang, Chine, USCGS: 40,4°N, 91,1°E, H=12h55m44,8s, h=13 km; mb=5,1 (USCGS), mPV=5,1 (Niedzica)	
	KRA (SKM)	Δ=49,3°	
		e1P	13 04 34,8 D
		i	39
	NIE	Δ=49,3°	
		e1P	13 04 35
		Z: 1,0s; 0,017μ	
		i	39
		i	53
	KSP	Δ=51,2°. Traces	
		eP	13 04 48
		i	54
15.I		Sud de Hondo, Japon, USCGS: 33,4°N, 140,8°E, H=17h04m 05,8s, h=58 km; mb=4,9 (USCGS), mPV=4,8 (Niedzica)	
	KRA (Ch)	Δ=82,0°	
		eP	17 16 21
		epP	36
	NIE	Δ=82,9°	
		eP	17 16 23 D
		Z: 1,0s; 0,009μ	
		e1PcP	27
16.I		Iles aux Renards, Aléoutiènnes, USCGS: 54,1°N, 165,5°W, H=09h57m38,6s, h=81 km; mb=5,3 (USCGS)	
	KSP	Δ=75,4°	
		e1P	10 09 14,2

International Seismological Centre

Date	Station	Phase	T.U. h m s
16.I (suite)	KRA (Ch)	Δ=76,4°	
		e1P	10 09 19,5 D
		epP	39
	(SKD)	Lm	59,4
		Z: 25s; 1,8μ	
16.I		Cachemire, USCGS: 33,2°N, 75,7°E, H=21h31m26,6s, h=42 km; mb=5,1 (USCGS), mPV=5,3 (Kraków)	
	KRA (SKM)	Δ=43,9°	
		1P	21 39 30,6 D
		Z: 1,0s; 0,036μ	
		1pP	39,6
	KSP	Δ=46,2°	
		eP	21 39 47
16.I		Méditerranée au Sud du Péloponèse, BCIS: 35,1°N, 22,7°E, H=22h45m20s; ML=4,4 (Athènes)	
	KRA (Ch)	Δ=14,8°	
		e1P	22 48 56,4
		ePP	49 07
	KSP	Δ=16,4°	
		eP	22 49 06
		ei	44
17.I			
	KSP		
		eP	05 30 05
		ei	31 17
17.I			
	KSP		
		1P	09 22 20,1
		Z: 0,6s; +0,02μ	
		ei	24
17.I		Iles Tonga, USCGS: 15,1°S, 175,0°W, H=09h44m36,8s, h=251 km; mb=5,7 (USCGS)	
	KSP	Δ=143,2°	
		1PKP1	10 03 39,1 C
		Z: 1s; +0,15μ	
		1PKP2	04 43
	KRA (SKM)	Δ=143,3°	
		e1PKP1	10 03 38,8 D
		Z: 1,2s; 0,102μ	

Date	Station	Phase	T.U. h m s
17.I	KRA	1PKP2	10 03 41
		i	45
		i	04 16
	RAC (SK)	Δ=143,7°	
		1PKP1	10 03 40,5
		e1PKP2	46
17.I			
	KRA (Ch)	1P	12 54 14,8 C
		Z: 0,5s; 0,043μ	
		ei	28
17.I		Région de Ile Jan Mayen, USCGS: 71,2°N, 8,2°W, H=14h 05m56,7s, h normale; mb=4,3 (USCGS)	
	KSP	Δ=23,3°	
		eP	14 11 00
18.I		Région des Iles Fidji, USCGS: 17,7°S, 178,8°W, H=02h04m34,5s, h=584 km; mb=4,1 (USCGS)	
	KSP	Δ=144,8°	
		1PKP1	02 23 08,1 C
18.I		Région des Iles Fidji, USCGS: 21,2°S, 177,5°W, H=03h43m 40,6s, h=583 km; mb=4,6 (USCGS)	
	KSP	Δ=148,5°	
		ePKP	04 02 36 C
		e	42
18.I		Région de la Nouvelle Bretagne, USCGS: 6,9°S, 150,0°E, H=09h28m14,1s, h=43 km; mb=6,3 (USCGS), MLH=6,8 (Kraków)	
	WAR (SKD)	Δ=118,5°	
		e1Pdif	09 43 21
		1PP	48 17
		1SKS	53 53
		1PS	58 05
		Lm	10 38 09
		NEZ: 36s;25s;25s; 20μ, 40μ, 40μ	
	KRA (SKM)	Δ=120,3°	
		e1Pdif	09 43 33

Date	Station	Phase	T.U. h m s
18.I (suite)	KRA	eiPKP	09 47 02,5
		Z: $1,2^s$; 0,047 μ	
		ei	11,5
		ei	21
	(SKD)	iPP	48 33
		ei	53 30
		iScSP	58 04
	(GW)	Lm	10 38,2
		NEZ: 23^s; 22,4 μ, 15,5 μ 7,3 μ	
	KSP	Δ=121,8°	
		eiPKP	09 47 04,6
		i	13
		i	22
	RAC	Δ=121,3°	
	(SK)	ePKP	09 47 05
19.I		Région des Iles Tonga, USCGS: 23,4°S, 175,6°W, H=$23^h24^m14,8^s$, h normale; mb=5,0 (USCGS)	
	KRA	Δ=151,0°	
	(SKM)	$1PKP_1$	23 44 06,0 D
		Z: $0,7^s$; 0,020 μ	
		$ePKP_2$	22
	KSP	Δ=151,1°	
		$eiPKP_1$	23 44 06,1
		$eiPKP_2$	19
20.I		Région de Hondo, Japon, USCGS: 34,9°N, 140,8°E, H=$10^h13^m51,3^s$, h=43 km; mb=5,0 (USCGS)	
	KRA	Δ=80,8°	
	(SKM)	eiP	10 26 01,7 D
		ePcP	13
	KSP	Δ=81,6°	
		eP	10 26 07
20.I		Pakistan, USCGS: 29,3°N, 68,6°E, H=$12^h34^m19,6^s$, h=17 km; mb=5,3 (USCGS), MLH=5,2 (Kraków)	
	KRA	Δ=41,9°	
	(SKM)	eiP	12 42 12,9
		ei	17,9
	(GW)	Lm	13 05,4
		NE: 10^s; 1,5 μ, 1,1 μ	

Date	Station	Phase	T.U. h m s
20.I	KSP	Δ=44,3°	
		eP	12 42 30
20.I		Pakistan, USCGS: 29,5°N, 68,6°E, H=$12^h46^m44,0^s$, h=15 km; mb=5,0 (USCGS)	
	KRA	Δ=41,7°	
	(SKM)	eP	12 54 34
	KSP	Δ=44,2°	
		eP	12 54 54
20.I		Région de Hondo, Japon, USCGS: 34,9°N, 140,9°E, H=$16^h29^m59,1^s$, h=20 km; mb=5,0 (USCGS)	
	KRA	Δ=80,8°	
	(SKM)	eiP	16 42 12,8 D
		ePcP	22
	KSP	Δ=81,7°	
		eP	16 42 18
21.I		Pakistan, USCGS: 29,3°N, 68,6°E, H=$04^h42^m43,4^s$, h=20 km; mb=5,3 (USCGS)	
	KSP	Δ=44,3°	
		eP	04 50 53
21.I		Hondo, Japon, USCGS: 36,1°N, 139,8°E, H=$08^h16^m18,8^s$, h=61 km; mb=5,0 (USCGS), mPV=5,4 (Kraków)	
	KRA	Δ=79,3°	
	(SKM)	iP	08 28 18,7 D
		Z: $0,6^s$; 0,019 μ	
21.I			
	KSP		
		iP	08 43 23,6 C
21.I		Iles Tonga, USCGS: 15,9°S, 174,1°W, H=$20^h20^m49,3^s$, h=129 km; mb=5,5 (USCGS)	
	KSP	Δ=144,2°	
		eiPKP	20 40 08,1
22.I			
	KSP		
		eiP	05 23 50,6
22.I		Région des Iles Fidji, USCGS: 21,7°S, 179,0°W,	

International Seismological Centre

Date	Station	Phase	T.U. h m s
22.I (suite)		H=$13^h36^m57,8^s$, h=570 km; mb=5,2 (USCGS)	
	KSP	Δ=148,5°	
		$ePKP_1$	13 55 36
		i	42
		$1PKP_2$	46
		ei	56 07
	KRA	Δ=148,2°	
	(SKM)	$ePKP_1$	13 55 37
		ei	41
	RAC	Δ=148,8°	
	(SK)	$ePKP_1$	13 55 42
23.I		Région de la Nouvelle Bretagne, USCGS: 6,0°S, 149,7°E, H=$23^h45^m36,7^s$, h=72 km; mb=5,2 (USCGS)	
	KRA	Δ=119,4°. Traces	
	(SKM)	e	00 04 48
		ePP	05 45
	(SKD)	ePS	15 35
23.I		Îles Santa Cruz, USCGS: 12,1°S, 166,5°E, H=$04^h49^m45,7^s$, h=97 km; mb=5,8 (USCGS)	
	WAR	Δ=131,2°	
	(SKD)	eiPKP	05 08 45
		eiPP	11 13
		eiPKS	12 15
		Lm	06 01 37
		EZ: 30^s; 28^s; 10 μ, 13 μ	
	KRA	Δ=133,4°	
	(GW)	eiPKP	05 08 52,5
		Z: $5,0^s$; 0,684 μ	
		eiPP	11 17
		ei	40
		ei	12 03
	(SKD)	Lm	06 06,7
		Z: 22^s; 8 μ	
	KSP	Δ=134,4°	
		e	05 08 42
		iPKP	54
		i	58
		eiPKS	12 20

Date	Station	Phase	T.U. h m s
23.I		Méditerranée au Sud de la Crète, BCIS: 34,3°N, 25,1°E, H=$11^h46^m46^s$; ML=4,5 (Athènes)	
	KRA	Δ=15,9°	
	(SKM)	iP	11 50 27,7
		eiPP	42
	KSP	Δ=17,7°	
		eiP	11 50 49,1
24.I		Sinkiang, Chine, USCGS: 41,0°N, 82,2°E, H=$03^h20^m20,2^s$, h normale; mb=5,1 (USCGS)	
	KRA	Δ=43,4°	
	(SKM)	eP	03 28 22
	KSP	Δ=45,5°. Traces	
		eP	03 28 36
25.I		Région du Kamtchatka, USCGS: 54,6°N, 161,6°E, H=$18^h32^m27,4^s$, h=31 km; mb=5,3 (USCGS), mPV=5,5 (Książ, Kraków)	
	KRA	Δ=71,1°	
	(SKM)	eiP	18 43 42,7
		Z: $1,1^s$; 0,041 μ	
		ePcP	44 02
	KSP	Δ=71,0°	
		iP	18 43 43,1 C
		Z: 1^s; 0,02 μ	
26.I		Méditerranée au Sud du Péloponèse, BCIS: 35,7°N, 22,2°E, H=$07^h50^m14^s$; ML=4,7 (Athènes)	
	KRA	Δ=14,2°	
	(SKM)	eP	07 53 31
		eiPP	41
		iPPPP	54 00
	KSP	Δ=15,7°	
		eP	07 53 49
		ei	54
26.I		Iles Tonga, USCGS: 17,5°S, 173,0°W, H=$13^h05^m16,8^s$, h normale; mb=5,2 (USCGS)	
	KSP	Δ=145,9°	
		$ePKP_1$	13 24 55
		$1PKP_2$	57
		ei	25 06

International Seismological Centre

Date	Station	Phase	T.U. h m s
26.I (suite)	KRA (Ch)	Δ=146,1°	
		1PKP	13 24 56,4
		Z: 1,1s; 0,047μ	
		ei	25 02
27.I			
	KRA (SKM)	eiP	00 41 24,6
		Z: 1,1s; 0,041μ	
		i	36,3
		Z: 0,9s; 0,037μ	
27.I		Célèbes, USCGS: 0,1°S, 123,9°E H=13h08m43,7s, h=55 km; mb=6,0 (USCGS)	
	KRA (SKM)	Δ=99,1°	
		eiP	13 22 20,1 D
		ei	23
	(Ch)	ePP	26 28
	KSP	Δ=101,1°	
		eP	13 22 29
		epP	26 42
27.I		Région des Iles Tonga, USCGS: 17,5°S, 172,9°W, H=20h38m00,3s h normale; mb=5,1 (USCGS)	
	KSP	Δ=145,9°	
		ePKP1	20 57 38,4 C
		iPKP2	41,4
	KRA (SKM)	Δ=146,1°	
		eiPKP	20 57 39,0 D
		Z: 1,5s; 0,074μ	
		i	48
		ei	58 02
27.I		Region des Iles Fidji, USCGS: 19,7°S, 178,0°W, H=08h17m25,4s h=413 km; mb=4,6 (USCGS)	
	KSP	Δ=146,9°. Traces	
		ePKP	08 36 21 D
28.I			
	KSP		
		eiP	14 37 37,1
	KRA (SKM)	iP	14 37 37,4
	RAC (SK)	e(P)	14 37 39

Date	Station	Phase	T.U. h m s
28.I		Hokkaido, Japon, USCGS: 41,8°N, 141,1°E, H=17h01m 46,3s, h=93 km; mb=5,1 (USCGS)	
	KRA (SKM)	Δ=75,2°	
		iP	17 13 19,4 C
		Z: 0,6s; 0,027μ	
	KSP	Δ=75,9°	
		eiP	17 13 24,5
28.I		Iles Tonga, USCGS: 19,3°S, 175,9°W, H=17h34m42,1s, h=236 km; mb=5,0 (USCGS)	
	KSP	Δ=147,1°	
		PKP1	17 53 55,
		iPKP2	58
		eipPKP	55 04
	KRA (SKM)	Δ=147,0°	
		ePKP2	17 53 58
		epPKP	55 04
28.I		Nouvelles Hébrides, USCGS: 19,8°S, 169,0°E, H=17h43m 14,6s, h=72 km; mb=5,7 (USCGS)	
	KRA (SKM)	Δ=141,2°	
		eiPKP	18 02 41,3
		i	52,3
	(SKD)	ePP	05 38
		eiPKS	06 17
		ePKKS	15 50
		Lm	19 01,4
		Z: 27s; 2,5μ	
	KSP	Δ=142,3°	
		ePKP	18 02 35,5
		i	43
		e	50
29.I		Iles Tonga, USCGS: 21,9°S, 174,9°W, H=14h26m15,7s, h normale; mb=5,1 (USCGS)	
	KSP	Δ=149,8°	
		iPKP1	14 46 04
	KRA (SKM)	Δ=149,8°	
		iPKP1	14 46 04
		Z: 1,0s; 0,042μ	
	(SKD)	eiPKP2	16
		Lm	54,4
		Z: 20s; 1,3μ	

Date	Station	Phase	T.U. h m s
29.I		Région des Iles Riou-Kiou, USCGS: 23,9°N, 123,4°E, H=21h23m39,6s, h=53 km; mb=4,9 (USCGS), mPV=5,4 (Kraków)	
	KRA (SKM)	Δ=80,3°	
		eiP	21 35 46 D
		Z: 0,8s; 0,028μ	
		e	50
	KSP	Δ=81,9°	
		eP	21 35 54
30.I			
	KRA (SKM)	eP	15 32 19
		ei	30
		ei	39
30.I		Mexique, USCGS: 18,5°N, 103,0°W, H=21h01m12,5s, h=43 km; mb=6,2 (USCGS); MLH= (Kraków)	
	KSP	Δ=94,9°	
		eiP	21 14 24
		i	32
		iPP	18 24
		Lm	59 53
		NEZ: 14s; 30μ, 35μ, 40μ	
	KRA (GW)	Δ=95,4°	
		eiP	21 14 32
		ipP	42
		eiPP	18 24
		iSKKS	25 26
		ei	36 54
		Lm	22 15,9
		NEZ: 16s; 173μ, 122μ, 39μ	

Date	Station	Phase	T.U. h m s
31.I		Région des Iles Bonin, USCGS: 28,2°N, 139,2°E, H=20h55m 53,1s, h=498 km; mb=6,0 (USCGS)	
	WAR (SKD)	Δ=83,4°	
		eiP	21 07 29
		eipP	09 29
		eiPP	10 49
		iS	17 01
	KRA (SKM)	Δ=85,5°	
		iP	21 07 37,7 C
		Z: 1,0s; 0,090μ	
		i	40
		i	46
		ipP	09 33
		Z: 1,0s; 0,126μ	
		i	38
		i	56
		iPP	11 06
		eiS	17 18
		eisS	20 47
		Lm	41,2
		NE: 17s; 10,4μ, 9,3μ	
	RAC (SK)	Δ=86,3°	
		eP	21 07 42
		ei	45
		ei	09 36
	KSP	Δ=86,6°	
		eiP	21 07 42,6
		i	44,1
		NEZ: 0,5s; 0,11μ, 0,08μ, 0,18μ	
		ei	09 39,6
		NEZ: 1s; 0,7μ, 0,7μ, 0,2μ	
31.I			
	KRA (SKM)	eP	21 36 16

Date	Station	Phase	T.U. h m s
1.II			
	KRA (SKM)	eiP	02 59 59,1
		Z: 0,6s; 0,019μ	
	KSP		
		iP	03 01 00,6 C
1.II		Argentine, USCGS: 22,7°S, 66,2°W, H=05h14m20,6s h=229 km; mb=6,1 (USCGS)	
	KSP	Δ=102,7°	
		eP	05 27 53
		e	30 45
		e	43 52
	KRA (SKM)	Δ=104,6°	
		eiP	05 28 03,6 D
		epP	29 05,6

International Seismological Centre

Date	Station	Phase	T.U. h m s
1.II (suite)	KRA (SKD)	esP	05 29 25
		ePP	32 19
		eipPP	33 23
		eiSKS	38 05
		eiPS	41 11
		Lm	57,5
		Z: 27^s; 2,9 μ	
1.II		Iles Tonga, USCGS: 17,7°S, 175,2°W, H=$07^h27^m44,8^s$, h=232 km; mb=5,3 (USCGS)	
	KRA (SKM)	Δ=145,7°	
		$eiPKP_1$	07 46 57,2 D
		Z: $1,5^s$; 0,344 μ	
		$iPKP_2$	47 08
		ei	22
		eipPKP	48 08
	(GW)	iPP	50 22
		eSKS	53 41
	KSP	Δ=145,7°	
		$iPKP_1$	07 46 58,1 D
		Z: $1,5^s$; 0,34 μ	
		$eiPKP_2$	47 09
		ei	59
		ePP	50 16
1.II		Sud des Iles Fidji, USCGS: 25,4°S, 176,1°W, H=$08^h11^m53,4^s$, h=50 km; mb=4,9 (USCGS)	
	KRA (SKM)	Δ=152,6°	
		$ePKP_1$	08 31 45
		$eiPKP_2$	58
	KSP	Δ=152,9°	
		$eiPKP_1$	08 31 46
		$ePKP_2$	32 00
1.II			
	KRA (SKM)	iP	12 55 12,9
		ei	22
1.II		Iles aux Rats, Aléoutiennes, USCGS: 51,8°N, 176,3°E, H=$17^h24^m00,9^s$, h=51 km; mb=5,3 (USCGS), mPV=5,7 (Kraków)	
	KSP	Δ=76,3°	
		iP	17 35 46
		ei	39 53

Date	Station	Phase	T.U. h m s
1.II	KRA (SKM)	Δ=76,8°	
		eiP	17 35 48 C
		Z: $0,8^s$; 0,051 μ	
		eiPcP	36 01
	(SKD)	ePPP	40 48
		ePS	46 26
		Lm	18 10 42
		Z: 20^s; 3,0 μ	
4.II			
	KSP	Traces	
		eiP	11 49 30,6 D
		Z: $0,7^s$; 0,046 μ	
4.II			
	KSP		
		eP	15 45 19
5.II		Iles Kouriles, USCGS: 43,9°N, 147,5°E, H=$04^h30^m33,1^s$; h=53 km; mb=5,3 (USCGS), mPV=5,8 (Kraków)	
	KRA (SKM)	Δ=76,1°	
		eiP	04 42 16,4 D
		Z: $0,7^s$; 0,053 μ	
		eiPcP	35
	KSP	Δ=76,6°	
		eiP	04 42 19,7
		epP	35
6.II		Iles Riou-Kiou, USCGS: 27,9°N, 127,7°E, H=$05^h30^m02,0^s$, h=81 km; mb=5,7 (USCGS), mPV=5,8 (Kraków)	
	KRA (Ch)	Δ=79,7°	
		eiP	05 42 02,1 C
		Z: $0,5^s$; 0,043 μ	
		i	05
		eiPcP	12
	KSP	Δ=81,1°	
		iP	05 42 11 C
		i	43 12
6.II		Szechwan, Chine, USCGS: 31,4°N, 100,6°E, H=$10^h37^m10,1^s$, h normale; mb=6,1 (USCGS)	
	KRA (SKM)	Δ=61,0°	
		eP	10 47 23
		ei	26

Date	Station	Phase	T.U. h m s
6.II (suite)	KRA	i	10 47 33
		eiPcP	49 37
		i	47
	(SKD)	eiPS	55 57
	(SKM)	i	56 21
	(SKD)	Lm	11 10,0
		Z: ca 6^s; ca 400 μ	
	WAR (SKD)	Δ=59,7°	
		eiP	10 47 25
		eiPcP	57
		eiPPP	50 57
		iPS	55 37
7.II		Région des Iles Tonga, USCGS: 17,6°S, 172,7°W, H=$02^h08^m16,9^s$, h normale; mb=5,0 (USCGS)	
	KRA (SKM)	Δ=146,3°	
		$eiPKP_1$	02 27 55,8 C
		Z: $1,6^s$; 0,118 μ	
		$eiPKP_2$	28 06,2
		ei	11
7.II		Iran, USCGS: 32,0°N, 49,4°E, H=$05^h27^m20,0^s$, h=51 km; mb=5,2 (USCGS)	
	KRA (SKM)	Δ=29,2°	
		eiP	05 33 10,6 D
		ei	15
		ipP	25
7.II		Région de l'Ile Jan Mayen, USCGS: 71,6°N, 6,9°W, H=$09^h47^m18,7^s$, h normale; mb=4,4 (USCGS)	
	KRA (SKM)	Δ=25,1°	
		iP	09 52 42,1
		ei	46
7.II		Mindanao, Philippines, USCGS: 6,4°N, 126,8°E, H=$09^h57^m17,6^s$, h=207 km; mb=5,3 (USCGS)	
	KSP	Δ=97,8°	
		eP	10 04 30
7.II		Szechwan, Chine, USCGS: 31,5°N, 100,3°E, H=$16^h06^m25,0^s$, h normale; mb=5,8 (USCGS), mPV=6,0 (Kraków)	

Date	Station	Phase	T.U. h m s
7.II	KRA (SKM)	Δ=60,7°	
		iP	16 16 35,2 D
		Z: $1,0^s$; 0,120 μ	
		i	39
		i	55
		eiPcP	17 24
		Lm	44,6
		Z: $3,2^s$; 35 μ	
	KSP	Δ=62,7°	
		iP	16 16 48,3 D
		NEZ: $1,5^s$; 0,06 μ, 0,08 μ 0,20 μ	
		i	52
8.II		Chile, USCGS: 45,0°S, 77,9°W, H=$09^h38^m43,7^s$, h normale; mb=5,4 (USCGS)	
	KRA (SKM)	Δ=126,8°	
		eiPKP	09 57 45,5
8.II		Région de l'Ile Ascension, USCGS: 10,4°S, 13,0°W, H=$19^h05^m21,9^s$, h normale; mb=5,3 (USCGS), mPV=5,4 (Kraków)	
	KSP	Δ=66,1°	
		eP	19 16 06
	KRA (SKM)	Δ=66,5°	
		eP	19 16 11 C
		Z: $1,3^s$; 0,045 μ	
9.II		Célèbes, USCGS: 2,7°S, 119,8°E, H=$05^h02^m43,6^s$, h normale; mb=5,2 (USCGS)	
	KRA (SKM)	Δ=98,4°	
		eP	05 16 28
10.II		Taiwan, USCGS: 24,3°N, 121,8°E, H=$03^h32^m28,0^s$, h=56 km; mb=4,8 (USCGS)	
	KRA (Ch)	Δ=79,0°	
		eiP	03 44 28
		eiPcP	35
		epP	43
	KSP	Δ=80,7°	
		eP	03 44 34
10.II		Région S de Hondo, Japon, USCGS: 33,2°N, 140,7°E, H=$05^h12^m17,7^s$, h=62 km; mb=5,3 (USCGS), mPV=5,4 (Kraków)	

International Seismological Centre

Date	Station	Phase	T.U. h m s
10.II (suite)	KRA (Ch)	Δ=82,1°	
		eP	05 24 32
		Z: 0,8s; 0,026μ	
		iPoP	35
		e1pP	46
	KSP	Δ=83,0°	
		eP	05 24 38
		ipP	54
10.II			
	KRA (SKM)	eP	11 07 55 D
		ei	08 13
	KSP		
		eiP	11 07 55
10.II		Mexique, USCGS: 18,9°N, 103,5°W, H=11h53m27,5s, h normale; mb=5,4 (USCGS)	
	KSP	Δ=92,8°	
		eP	12 06 38
	KRA (SKM)	Δ=95,3°	
		eP	12 06 59
		Lm	52 18
		Z: 3,5s; 32μ	
	WAR (SKD)	Δ=94,4°	
		e1PP	12 10 37
		e1SKS	17 33
		e1PS	19 17
10.II		Océan Indien, USCGS: 2,5°N, 66,4°E, H=14h37m35,1s, h normale; mb=5,3 (USCGS)	
	KRA (SKM)	Δ=61,4°	
		e1P	14 47 50,5
		e1pP	48 00
	KSP	Δ=63,9°	
		eP	14 48 05
		epP	16
10.II		Iles Kouriles, USCGS: 49,9°N 156,1°E, H=16h55m33,9s, h normale; mb=5,5 (USCGS)	
	KRA (SKM)	Δ=73,8°	
		iP	17 07 06,1 D
		et	13
		ePcP	20

Date	Station	Phase	T.U. h m s
10.II	KSP	Δ=73,9°	
		iP	17 07 08,0 D
10.II		Iran, USCGS: 31,9°N, 56,1°E, H=17h07m47,5s, h=42 km; mb=4,5 (USCGS), mPV=5,0 (Kraków)	
	KRA (SKM)	Δ=32,3°. Traces	
		e1P	17 14 15,6
		Z: 0,7s; 0,016μ	
10.II		Région des Iles Fidji, USCGS: 23,4°S, 180,0°E, H=22h33m42,1s, h=570 km; mb=4,7 (USCGS)	
	KSP	Δ=149,8°	
		e1PKP1	22 52 29,0
11.II		Mindanao, Philippines, USCGS: 6,7°N, 126,8°E, H=11h17m58,3s, h=71 km; mb=5,1 (USCGS)	
	KRA (SKM)	Δ=95,6°. Traces	
		eP	11 31 17
		e1PcP	25
		epP	36
11.II		Région des Iles Fidji, USCGS: 21,1°S, 178,0°W, H=14h51m28,5s, h=571 km; mb=4,5 (USCGS)	
	KSP	Δ=148,3°. Traces	
		ePKP1	15 10 12
12.II		Région des Iles Fidji, USCGS: 20,6°S, 176,9°W, H=04h36m25,1s, h=411 km; mb=4,6 (USCGS)	
	KSP	Δ=148,1°. Traces	
		ePKP1	04 55 26
13.II			
	KRA (SKM)	Traces	
		iP	13 09 55,1
		i	10 04
13.II		Région des Iles Fidji, USCGS: 17,5°S, 178,5°W, H=15h22m55,1s, h=541 km; mb=5,5 (USCGS)	
	KRA (SKM)	Δ=144,5°	
		1PKP1	15 41 30,5 D
		Z: 0,9s; 0,262μ	
		1PKP2	37
		i	42 01

Date	Station	Phase	T.U. h m s
13.II (suite)	KRA	epPKP	15 43 46
		e1SKKP	52 23,1
	KSP	Δ=144,7°	
		1PKP1	15 41 30,6 D
		Z: 1,5s; 0,49μ	
		ePKP2	39
13.II		Iles Andreanov, Aléoutiennes USCGS: 51,2°N, 179,2°W, H=19h53m53,5s, h=46 km; mb=5,4 (USCGS), mPV=5,5 (Kraków)	
	KRA (Ch)	Δ=78,1°	
		e1P	20 05 46,9 D
		Z: 1,2s; 0,047μ	
		ei	52
14.II		Région de Taiwan, USCGS: 22,3°N, 121,6°E, H=00h49m 16,2s, h=38 km; mb=5,9 (USCGS), mPV=6,3 (Kraków), 6,2 (Książ)	
	KRA (Ch)	Δ=80,4°	
		e1P	01 01 25,4 C
		Z: 1,0s; 0,227μ	
		iPcP	32
		Z: 1,1s; 0,189μ	
		i	58
		ePP	04 28
	KSP	Δ=82,1°	
		iP	01 01 34,4
		Z: 1s; +0,2μ	
14.II		Sud de l'Alaska, USCGS: 53,8°N, 158,9°W, H=07h11m 32,0s, h=32 km; mb=4,9 (USCGS)	
	KSP	Δ=75,6°. Traces	
		eP	07 23 16
14.II		Région des Iles Fidji, USCGS: 20,1°S, 178,3°W, H=09h28m 06,4s, h=600 km; mb=5,0 (USCGS)	
	KSP	Δ=147,2°	
		1PKP1	09 46 44
14.II		Iles Kermadec, USCGS: 30,4°S 177,5°W, H=16h11m14,9s, h=29 km; mb=5,7 (USCGS)	

Date	Station	Phase	T.U. h m s
14.II	KRA (SKM)	Δ=156,6°	
		ePKP1	16 31 07
		ePKP2	43
	(SKD)	e1PP	35 15
		Lm	17 36,9
		Z: 25s; 12μ	
	KSP	Δ=157,1°	
		ePKP1	16 31 07
		1PKP2	50
		Z: 1s; 0,1μ	
14.II		Hondo, Japon, USCGS: 39,0°N, 141,5°E, H=21h45m42,4s, h=110 km; mb=5,1 (USCGS)	
	KRA (SKM)	Δ=77,7°	
		eP	21 57 27
		ePcP	38
		e1pP	55
14.II		Région de Hondo, Japon, USCGS: 37,0°N, 141,5°E, H=22h36m14,6s, h=56 km; mb=5,1 (USCGS), mPV=5,5 (Kraków)	
	KRA (SKM)	Δ=79,4°	
		1P	22 48 15,1 D
		Z: 0,7s; 0,029μ	
	KSP	Δ=80,2°	
		e1P	22 48 19,2
15.II		Sumatra, USCGS: 4,3°S, 103,1°E, H=05h31m19,5s, h=107 km; mb=5,4 (USCGS)	
	KRA (SKM)	Δ=88,8°	
		1P	05 44 04,6 D
		Z: 1,1s; 0,055μ	
		i	14
	KSP	Δ=91,3°	
		1P	05 44 15,1 D
15.II		Océan Pacifique, Sud, USCGS: 36,1°S, 101,0°W, H=07h54m 26,9s, h normale; mb=5,3 (USCGS)	
	KRA (SKM) (SKD)	Δ=135,8°. Traces	
		ePKP	08 13 54
		Lm	30 52
		Z: 20,0s; 2,6μ	

Date	Station	Phase	T.U. h m s
15.II		Iles Kouriles, USCGS: 47,0°N 153,8°E, H=22h17m37,0s, h normale; mb=4,8 (USCGS)	
	KSP	Δ=76,0°. Traces	
		eP	22 29 22
16.II		Iles Tonga, USCGS: 15,3°S, 173,3°W, H=04h51m01,4s, h=50 km; mb=5,8 (USCGS)	
	KSP	Δ=143,7°	
		1PKP	05 10 22,9 C
	KRA (SKM)	Δ=144,0°	
		i	05 10 07,5
		Z: 0,5s; 0,082μ	
		e1PKP	31
		ei	44
		eipPKP$_2$	58
		Lm	06 02,5
		Z: 30s; 2μ	
16.II		Région des Iles Nicobar, USCGS: 6,8°N, 94,3°E, H=13h47m08,0s, h=27 km; mb=5,1 (USCGS)	
	KRA (SKM)	Δ=74,7°. Traces	
		e1P	13 58 53,5
		e1PcP	59 09
17.II		Antilles, USCGS: 17,0°N, 61,4°W, H=16h02m45,5s, h=34 km; mb=5,5 (USCGS)	
	KRA (SKM)	Δ=71,7°	
		eP	16 14 13,1
		i	14
17.II		Iles Kouriles, USCGS: 45,2°N, 148,6°E, H=19h15m11,4s, h=113 km; mb=5,3 (USCGS)	
	KRA (SKM)	Δ=75,4°	
		1P	19 26 40,9 D
		Z: 0,4s; 0,190μ	
		e1PcP	47
	KSP	Δ=75,8°	
		1P	19 26 46,5 D
		Z: 0,5s; 0,06μ	
18.II		Océan Atlantique, USCGS: 36,7°S, 17,2°W, H=03h48m52,9s h normale; mb=5,6 (USCGS)	

Date	Station	Phase	T.U. h m s
18.II	KRA (SKM)	Δ=92,2°	
		eP	04 02 01
		epP	11
		ePP	05 53
18.II			
	KSP		
		1P	06 42 28,2 D
		Z: 0,5s; 0,025μ	
18.II		Iles Kermadec, USCGS: 30,2°S, 177,6°W, H=18h09m27,2s, h=49 km; mb=5,5 (USCGS)	
	KSP	Δ=156,9°	
		ePKP$_1$	18 29 17
		1pPKP$_2$	40,2
		1PKP$_2$	57,2
		Z: 0,7s; 0,056μ	
	KRA (SKM)	Δ=156,4°	
		e1PKP$_1$	18 29 17,7
		Z: 1,3s; 0,028μ	
		ei	30
		eipPKP$_2$	46
19.II		Turquie, USCGS: 40,2°N, 33,9°E, H=18h10m00,5s, h=22 km; mb=4,2 (USCGS)	
	KRA (Ch)	Δ=13,7°. Traces	
		eP	18 13 18
		ePP	31
		ePPPP	45
		Lm	18,7
		Z: 22s; 3,0μ	
	KSP	Δ=16,2°	
		eP	18 13 46
20.II		Golfe de l'Alaska, USCGS: 58,3°N, 149,8°W, H=07h40m34,7s, h=12 km; mb=5,5 (USCGS)	
	KSP	Δ=71,3°	
		e1P	07 51 51,4 C
		ipP	57
	KRA (SKM)	Δ=71,9°	
		e1P	07 51 58,8
		eipP	52 04
		e1PcP	20
20.II		Crimée, USCGS: 45,0°N, 36,4°E, H=11h38m48,8s,	

International Seismological Centre

Date	Station	Phase	T.U. h m s
20.II (suite)		h=17 km; mb=4,2 (USCGS)	
	KRA (SKM)	Δ=12,1°	
		ePP	11 41 54
		Z: 0,7s; 0,020μ	
		ePPP	42 03
21.II		Région des Iles Volcano, USCGS: 23,3°N, 142,6°E, H=09h35m35,8s, h=100 km; mb=4,7 (USCGS)	
	KSP	Δ=92,4°. Traces	
		eP	09 48 34
21.II		Californie, USCGS: 34,0°N, 119,0°W, H=14h45m57,3s, h=8 km; mb=5,7 (USCGS)	
	KSP	Δ=86,8°	
		eP	14 58 41
	KRA (SKM)	Δ=88,9°	
		eP	14 58 50
		ei	57
22.II		Guatémala, USCGS: 14,5°N, 91,6°W, H=00h30m20,3s, h=107 km; mb=5,2 (USCGS)	
	KRA (SKM)	Δ=92,3°	
		e1P	00 43 20,5 C
		Z: 1,0s; 0,024μ	
		ePP	47 01
22.II		France, USCGS: 48,2°N, 6,6°E, H=06h48m33,0s, h normale	
	KSP	Δ=6,8°	
		e(Pg)	06 50 38,2
		ei(Sg)	52 09,2
22.II		Région de la Nouvelle Bretagne, USCGS: 4,6°S, 151,8°E, H=16h22m32,2s, h=154 km; mb=5,3 (USCGS)	
	KSP	Δ=120,8°. Traces	
		eiPKP	16 41 26 C
23.II		Equador, USCGS: 2,1°S, 78,2°W, H=04h26m23,3s, h=67 km; mb=5,7 (USCGS)	
	KSP	Δ=94,5°	
		eP	04 39 38
	KRA (Ch)	Δ=96,9°. Traces	
		eP	04 39 50

Date	Station	Phase	T.U. h m s
23.II	KRA (SKM)		
		ePS	04 52 34
		Lm	05 25,3
		Z: 20s; 3,0μ	
23.II		Costa-Rica, USCGS: 9,8°N, 83,5°W, H=19h36m48,6s, h normale; mb=4,7 (USCGS)	
	KSP	Δ=88,6°. Traces	
		e1P	19 49 40,0
23.II		Sud des Iles Fidji, USCGS: 23,9°S, 180,0°W, H=20h57m31,0s, h=518 km; mb=5,0 (USCGS)	
	KRA (SKM)	Δ=149,8°	
		e1PKP$_1$	21 16 22,1 D
		Z: 0,8s; 0,046μ	
		e	30
	KSP	Δ=150,3°	
		1PKP$_1$	21 16 24
		ei	33
24.II		Iran, USCGS: 28,6°N, 52,6°E, H=00h02m40,1s, h=27 km; mb=5,2 (USCGS), mPV=5,3 (Kraków)	
	KRA (SKM)	Δ=32,6°	
		eP	00 09 12,4
		Z: 1,7s; 0,088μ	
		ei	15
	KSP	Δ=35,2°	
		eP	00 09 33
24.II		Iles Tonga, USCGS: 15,4°S, 173,3°W, H=01h06m11,3s, h normale; mb=5,1 (USCGS)	
	KSP	Δ=143,8°	
		ePKP$_1$	01 25 43
24.II		Nouvelles Hébrides, USCGS: 19,2°S, 168,7°E, H=07h38m27,0s, h=59 km; mb=6,0 (USCGS)	
	KSP	Δ=141,6°	
		ePKP	07 57 47
	KRA (SKM)	Δ=140,6°	
		ePKP	07 57 52
24.II		Région des Iles Fidji, USCGS: 18,0°S, 178,7°W, H=17h35m19,2s, h=642 km; mb=4,5 (USCGS)	

International Seismological Centre

Date	Station	Phase	T.U. h m s
24.II (suite)	KSP	Δ=145,1°	
		e1PKP$_1$	17 53 48,1
25.II		Atlantique du Sud, USCGS: 61,0°S, 37,9°W, H=05^{h}35^m 35,4^s, h normale; mb=6,4 (USCGS)	
	KSP	Δ=119,6°	
		e(PKP)	05 54 42
		ePP	56 04
	KRA (SKM)	Δ=119,8°	
		e(PKP)	05 54 43,5 C
		Z: 1,5^s; 0,098μ	
		i	57
	WAR (SKD)	Δ=122,3°	
		e1SKS	06 01 49
25.II		Sumatra, USCGS: 1,7°S, 99,7°E H=10^{h}31^{m}39,5^s, h normale; mb=5,4 (USCGS), mPV=5,4 (Kraków)	
	KRA (SKM)	Δ=84,7°	
		eP	10 44 12
		Z: 1,1^s; 0,035μ	
		e1PcP	23
		e1	52
	(SKD)	1S	54 53
		Lm	11 30,8
		Z: 22^s; 5,6μ	
	KSP	Δ=87,1°	
		eP	10 44 24
		ePcP	31
25.II			
	KSP		
		1P	12 29 17,3 C
26.II		Iles Kouriles, USCGS: 49,4°N 155,6°E, H=08^{h}16^{m}57,6^s, h=46 km; mb=5,0 (USCGS)	
	KSP	Δ=74,3°. Traces	
		eP	08 28 30
26.II		Iles Talaud, USCGS: 4,1°N, 126,5°E, H=09^{h}56^{m}22,2^s, h=82 km; mb=5,0 (USCGS)	
	KSP	Δ=99,4°	
		eP	10 09 51
26.II		Région des Iles Philippines, USCGS: 5,7°N, 127,0°E,	

Date	Station	Phase	T.U. h m s
26.II		H=10^{h}53^{m}27,6^s, h=74 km; mb=5,2 (USCGS)	
	KRA (SKM)	Δ=96,6°	
		eP	11 06 51
		e1PcP	07 02,1
	KSP	Δ=98,4°	
		eP	11 06 59,2
		1pP	07 16
26.II		Sumatra, USCGS: 1,8°S, 99,7°E, H=21^{h}57^{m}30,0^s, h normale; mb=5,2 (USCGS) mPV=5,2 (Kraków)	
	KRA (SKM)	Δ=84,8°	
		eP	22 10 02,8
		Z: 0,8^s; 0,018μ	
	(SKD)	eScS	20 48
	KSP	Δ=87,2°	
		e1P	22 10 14,2
		e1	23
27.II		Iles aux Renards, Aléoutiennes, USCGS: 52,5°N, 168,1°W H=18^{h}05^{m}53,2^s, h=47 km; mb=4,7 (USCGS)	
	KRA (SKM)	Δ=77,8°. Traces	
		eP	18 17 46
		e1PcP	53
28.II		Iles Kouriles, USCGS: 50,5°N, 156,6°E, H=06^{h}37^{m}49,5^s, h=27 km; mb=6,3 (USCGS)	
	WAR (SKD)	Δ=70,9°	
		1P	06 49 08 D
		e1PP	52 41
		1S	58 23
	KSP	Δ=73,5°	
		eP	06 49 19
		1pP	28
		Z: 1^s; 0,28μ	
		i	44
		ei	51 42
		eS	58 39
	KRA (Ch)	Δ=73,4°	
		eP	06 49 19
		ei	22
	(GW)	e1pP	28
		i	51 12
		i	55 17

Date	Station	Phase	T.U. h m s
28.II (suite)	KRA (GW)	e1S	06 58 45
		i	07 00 21
		Lm	25,6
		NZ: 10,0^s; 51,5μ,29,4μ	
28.II		Iles Kouriles, USCGS: 50,1°N, 156,9°E, H=11^{h}32^{m}42,6^s, h=48 km; mb=5,2 (USCGS)	
	KSP	Δ=74,0°	
		eP	11 44 12

Date	Station	Phase	T.U. h m s
28.II			
	KSP		
		1P	14 13 41,4 C
28.II		Région des Iles Fidji, USCGS: 18,2°S, 178,5°W, H=20^{h}46^{m}11,5^s, h=540 km; mb=4,4 (USCGS)	
	KSP	Δ=145,4°	
		e1PKP	21 04 50,4

1973 — M A R S — 1973

1.III			
	KRA (SKM)	Traces	
		eP	00 53 47
1.III		Région des Iles Kouriles, USCGS: 49,9°N, 157,3°E, H=02^{h}19^{m}03,1^s, h=30 km; mb=5,5 (USCGS), mPV=5,6 (Kraków)	
	KSP	Δ=74,3°	
		1P	02 30 37,9 D
	KRA (SKM)	Δ=74,1°	
		1P	02 30 38,1 D
		Z: 0,6^s; 0,035μ	
		ePcP	51
1.III		Iles Tonga, USCGS: 23,3°S, 175,4°W, H=03^{h}20^{m}19,9^s, h normale; mb=4,9 (USCGS)	
	KSP	Δ=151,0°	
		ePKP$_1$	03 40 10
	KRA (SKM)	Δ=150,9°	
		1PKP$_1$	03 40 11,1
		ei	18
		ei	39
1.III		Iles Tonga, USCGS: 17,4°S, 173,1°W, H=14^{h}06^{m}04,5^s, h normale; mb=4,4 (USCGS)	
	KSP	Δ=145,8°	
		e1PKP$_1$	14 25 42
	KRA (SKM)	Δ=146,0°	
		ePKP$_1$	14 25 44
		ei	57

3.III		Iles Riou-Kiou, USCGS: 25,0°N, 128,2°E, H=01^{h}43^{m}41,8^s, h normale; mb=5,3 (USCGS)	
	KRA (SKM)	Δ=82,2°	
		eP	01 56 00
		e1PcP	12
	KSP	Δ=83,7°	
		eP	01 56 08 C
		epP	20
3.III		Iran, USCGS: 29,5°N, 51,2°E, H=02^{h}46^{m}25,3^s, h=34 km; mb=4,6 (USCGS), mPV=5,3 (Kraków)	
	KRA (SKM)	Δ=31,1°	
		1P	02 52 43,6 D
		Z: 0,6^s; 0,031μ	
		ei	45
		i	53 36
	KSP	Δ=33,7°	
		1P	02 53 03,9 D
3.III		Iles Kouriles, USCGS: 50,4°N, 156,3°E, H=02^{h}42^{m}09,0^s, h=59 km; mb=5,5 (USCGS)	
	KRA (SKM)	Δ 73,4°	
		eP	02 53 47
3.III		Vogtland, République Démokratique Allemande, BCIS: 50,3°N, 12,5°E, H=10^{h}53^{m}42^s	
	KSP	Δ=2,47°	
		e1Pn	10 54 23,4
		1P*	28,4

International Seismological Centre

Date	Station	Phase	T.U. h m s
3.III (suite)	KSP	iSg	10 55 00,9
		NEZ: 0,2^s; 0,20μ, 0,27μ 0,17μ	
	RAC (SK)	Δ=3,7^o	
		eSg	10 55 42
	KRA (SKM)	Δ=4,8^o. Traces	
		iS*	10 56 11
		i(Sg)	14
4.III		Zone séismique transatlantique au Sud du Portugal, BCIS: 36,2^{o}N, 7,6^{o}W, H=04^{h}24^{m}16^s; M=3,1 (Porto)	
	KRA (SKM)	Δ=24,1^o. Traces	
		eP	04 29 33
4.III		Région E du Kamtchatka, USCGS: 54,8^{o}N, 161,6^{o}E, H=17^{h}57^{m}43,5^s, h=32 km; mb=6,1 (USCGS), mPV=6,1 (Książ), 5,7 (Kraków)	
	WAR (SKD)	Δ=68,4^o	
		eiP	18 08 45
		eiS	17 45
		eiSKS	18 45
		Lm	36 50
		E: 24^s; 25μ	
		Lm	37 30
		Z: 28^s; 14μ	
	KRA (Ch)	Δ=70,9^o	
		eP	18 08 58
		Z: 0,4^s; 0,024μ	
		i	09 01
		eipP	10
		eiPcP	28
	(SKD)	ePPP	13 20
		eiS	18 17
		ei	24 03
		Lm	40,5
		Z: 24^s; 14,5μ	
	KSP	Δ=70,8^o	
		iP	18 08 58,3
		Z: 0,8^s; 0,13μ	
		i	09 00,8
		Z: 0,8^s; 0,5μ	
		i	03
		i	30

Date	Station	Phase	T.U. h m s
4.III	RAC (SK)	Δ=71,3^o	
		eiP	
		i	18 09 02
		eiPcP	04
			17
5.III		Coup de toit dans le district minier de la Ruhr, BCIS; 51,5^{o}N, 7,3^{o}E, H=20^{h}06^{m}15^s; Mloc=3,3 (Bensberg)	
	KSP	Δ=5,7^o	
		ePn	
		eiSg	20 07 40,8 09 19,3
	RAC (SK)	Δ=7,1^o	
		e	20 10 02
		eSg	11
5.III		Mindanao, Philippines, USCGS: 6,2^{o}N, 126,9^{o}E, H=23^{h}20^{m}26,0^s, h=84 km; mb=5,3 (USCGS)	
	KRA (SKM)	Δ=96,1^o. Traces	
		eP	23 33 46
	KSP	Δ=98,0^o. Traces	
		eiP	23 33 54,8
6.III		Lucon, Philippines, USCGS: 18,1^{o}N, 120,7^{o}E, H=03^{h}58^{m}40,2^s, h=98 km; mb=5,1 (USCGS), mPV=5,7 (Książ)	
	KRA (SKM)	Δ=83,1^o	
		iP	04 10 57 C
	KSP	Δ=84,9^o	
		iP	04 11 05,6
		Z: 1^s; 0,07μ	
		ei	36
7.III		Région des Iles Bonin, USCGS: 27,7^{o}N, 139,9^{o}E, H=03^{h}18^{m}13,2^s, h=465 km; mb=4,9 (USCGS)	
	KRA (SKM)	Δ=86,3^o. Traces	
		iP	03 30 04,8 C
		Z: 0,9^s; 0,026μ	
	KSP	Δ=87,3^o. Traces	
		eiP	03 30 10,2

Date	Station	Phase	T.U. h m s
7.III	KRA (SKM)	eiP	07 29 16,8
		Z: 0,3^s; 0,055μ	
		ei	31
7.III		Région de l'Ile Jan Mayen, USCGS: 70,7^{o}N, 13,1^{o}W, H=22^{h}12^{m}37,4^s, h normale; mb=4,3 (USCGS)	
	KSP	Δ=24,1^o. Traces	
		eP	22 17 51
8.III	KRA (SKM)	iP	13 05 28
		Z: 0,6^s; 0,035μ	
		ei	39
8.III		Région des Iles Fidji, USCGS 17,7^{o}S, 178,9^{o}W, H=13^{h}03^{m}13,5^s, h=582 km; mb=4,8 (USCGS)	
	KRA (SKM)	Δ=144,6^o	
		iPKP$_1$	13 21 45,3 D
		Z: 0,9^s;0,105μ	
		ePKP$_2$	22 01
	KSP	Δ=144,8^o	
		iPKP$_1$	13 21 46,7 C
		Z: 1^s; 0,03μ	
		e	56
8.III			
	KRA (SKM)	Traces	
		eiP	14 08 47 D
		Z: 0,7^s; 0,020μ	
		i	09 06
8.III		Région des Iles Tonga, USCGS: 23,0^{o}S, 175,6^{o}W, H=14^{h}35^{m}18,4^s, h normale; mb=5,0 (USCGS)	
	KRA (SKM)	Δ=150,6^o	
		ePKP$_1$	14 55 09
		ei	12
		i	17
		iPKP$_2$	24

Date	Station	Phase	T.U. h m s
8.III	KRA (SKM)	iP	16 22 37,1 D
		Z: 0,8^s; 0,051μ	
8.III	KSP		
		eP	18 11 29
		i	12 41
9.III		Région des Iles Philippines, USCGS: 6,3^{o}N, 127,3^{o}E, H=10^{h}06^{m}37,7^s, h=55 km; mb=6,0 (USCGS), mPV=6,1 (Kraków)	
	WAR (SKD)	Δ=94,8^o	
		eiP	10 19 55
		eiPP	23 49
		eiS	31 05
		eiPS	32 24
		Lm	11 00 09
		NEZ: 20^s; 12μ, 15μ, 20μ	
	KRA (SKM)	Δ=96,3^o	
		iP	10 20 01,5 D
		Z: 0,9^s; 0,058μ	
		iPcP	06
		i	12
		ipP	25
		eiPP	23 57
	(SKD)	iS	30 31
		Lm	11 12,6
		Z: 20^s; 10μ	
	RAC (SK)	Δ=97,3^o	
		eP	10 20 07
	KSP	Δ=98,1^o	
		eiP	10 20 09,6 D
		i	15,1
		Z: 1,5^s; 0,24μ	
9.III		Près de la côte SE Australie, USCGS: 34,1^{o}S, 150,3^{o}E, H=19^{h}09^{m}12,8^s, h=13 km; mb=5,5 (USCGS)	
	KSP	Δ=142,8^o	
		ePKP$_1$	19 28 42
10.III		Iles Tonga, USCGS: 15,2^{o}S, 173,5^{o}W, H=09^{h}50^{m}00,3^s, h=8 km; mb=5,6 (USCGS)	

International Seismological Centre

Date	Station	Phase	T.U. h m s	
10.III (suite)	KRA (Ch)	Δ=143,8°		
		eiPKP$_1$	10 09 37,5	D
	KSP	Δ=143,6°		
		ePKP$_1$	10 09 38	
10.III		Région des Iles Tonga, USCGS: 23,1°S, 175,4°W, H=18^{h}07^{m}56,2^s, h normale; mb=5,0 (USCGS)		
	KRA (SKM)	Δ=150,8°		
		ePKP$_1$	18 27 46	C
		ei	55	
		eiPKP$_2$	59	
	KSP	Δ=150,8°		
		ePKP$_1$	18 27 47	
		e	54	
		ePKP$_2$	59	
11.III		Vogtland, République Démocratique Allemande, BCIS: 50,3°N, 12,5°E, H=12^{h}17^{m}16^s		
	KRA (SKM)	Δ=4,8°. Traces		
		eiPg	12 18 55	
		ei	19 06	
		iSS	39	
		iS*	49	
11.III		Hokkaido, Japon, USCGS: 41,6°N, 142,0°E, H=13^{h}37^{m}47,3^s, h=73 km; mb=5,5 (USCGS), mPV=5,7 (Kraków)		
	KRA (SKM)	Δ=75,8°		
		iP	13 49 26,5	D
		Z: 1,1^s; 0,069μ		
		iPcP	43	
		ipP	47	
	KSP	Δ=76,5°		
		eiP	13 49 31,1	D
11.III		Région de Taiwan, USCGS: 21,0°N, 120,2°E, H=14^{h}53^{m}07,4^s, h=32 km; mb=4,8 (USCGS)		
	KRA (SKM)	Δ=80,6°. Traces		
		eP	15 05 18	
		eiPcP	22	
	KSP	Δ=82,3°		
		eiP	15 05 27,5	
		eipP	38	

Date	Station	Phase	T.U. h m s	
11.III	KSP	Traces		
		iP	15 44 40,5	
12.III		Iles Kouriles, USCGS: 50,1°N, 156,7°E, H=11^{h}14^{m}23,6^s, h=49 km; mb=5,7 (USCGS), mPV=5,7 (Kraków), 5,5 (Kalaj)		
	KRA (SKM)	Δ=73,8°		
		iP	11 25 53,7	
		Z: 1,5^s; 0,098μ		
		i	26 03	
		eiPcP	12	
		Lm	12 01,7	
		Z: 20^s; 6,5μ		
	KSP	Δ=73,9°		
		eiP	11 25 54,9	
		Z: 1,2^s; 0,053μ		
		ei	26 09	
12.III	KSP			
		eP	12 52 42	
		e	54 54	
12.III		Iran, BCIS: 31,9°N, 49,7°E, H=13^{h}21^{m}48^s		
	KRA (SKM)	Δ=28,5°		
		eP	13 27 39	
		ei	48	
		ei	28 21	
12.III		Rift médian de l'Atlantique Nord au voisinage de Jan Mayen, BCIS: 73,3°N, 8,3°E, H=16^{h}27^{m}25^s; mPV=5,6 (Kraków)		
	KSP	Δ=22,8°		
		eP	16 32 27	
		e	35	
	RAC (SK)	Δ=23,9°		
		eP	16 32 38	
		ePP	33 17	
	KRA (SKM)	Δ=24,1°		
		iP	16 32 39,2	
		Z: 2,1^s; 0,382μ		
		i	47	
		i	55	

Date	Station	Phase	T.U. h m s	
12.III		Mer du Groenland, USCGS: 73,7°N, 9,2°E, H=17^{h}44^{m}13,9^s h normale; mb=4,6 (USCGS)		
	KRA (SKM)	Δ=24,4°. Traces		
		eP	17 49 30	
	KSP	Δ=23,1°. Traces		
		eP	17 49 17	
12.III		Iles Kouriles, USCGS: 50,8°N 157,1°E, H=19^{h}39^{m}21,0^s, h=54 km; mb=6,1 (USCGS), mPV=5,7 (Kraków)		
	WAR (SKD)	Δ=70,8°		
		iP	19 50 33	C
		eiPPP	54 54	
		ei(S)	59 37	
		Lm	20 23 09	
		NEZ: 24^s; 20μ, 30μ, 14μ		
	KRA (SKM)	Δ=73,3°		
		eiP	19 50 46,2	C
		Z: 1,2^s; 0,079μ		
	(GW)	epP	51 21	
		eiPP	53 33	
		eS	20 00 08	
		Lm	26,7	
		NEZ: 16^s; 11,6μ, 5,7μ, 3,3μ		
	KSP	Δ=73,4°		
		iP	19 50 47,8	C
12.III		Méditerranée, au Sud du Péloponèse, BCIS: 35,7°N, 21,9°E, H=20^{h}30^{m}44^s; ML=4,4 (Athènes)		
	KRA (SKM)	Δ=14,2°		
		eiP	20 34 07,2	
		eiPP	16	
	RAC (SK)	Δ=14,4°		
		eP	20 34 09	
	KSP	Δ=15,7°		
		eP	20 34 18	
13.III				
	KRA (SKM)	Traces		
		iP	09 03 18,8	
15.III		Rift du Nord Ocean Atlantique USCGS: 10,7°N, 43,4°W, H=07^{h}34^{m}50,5^s, h normale; mb=4,5 (USCGS)		

Date	Station	Phase	T.U. h m s	
15.III	KRA (SKM)	Δ=64,8°. Traces		
		eP	07 45 30	D
		epP	42	
15.III		Mindoro, Philippines, USCGS: 13,9°N, 120,4°E, H=17^{h}58^{m}39,4^s, h=113 km; mb=5,2 (USCGS)		
	KRA (SKM)	Δ=86,1°		
		iP	18 11 08,8	C
		Z: 0,8^s; 0,032μ		
	KSP	Δ=88,0°		
		eiP	18 11 18,1	D
		Z: 0,6^s; 0,02μ		
16.III		Détroit des Moluques, USCGS: 2,1°N, 126,6°E, H=00^{h}51^{m}47,0^s, h=18 km; mb=6,0 (USCGS)		
	KRA (SKM)	Δ=99,1°		
		eP	01 05 28	
		ipP	34	
		ei	48	
		ei	06 28	
	(SKD)	ePP	09 39	
		i	18 19	
		Lm	48,7	
		Z: 36^s; 14μ		
	KSP	Δ=101,0°		
		eP	01 05 37	
		eipP	43	
16.III		Détroit des Moluques, USCGS: 2,0°N, 126,6°E, H=02^{h}12^{m}23,3^s, h=47 km; mb=5,5 (USCGS)		
	KRA (SKM)	Δ=99,2°		
		eP	02 26 04	
	KSP	Δ=101,1°		
		eP	02 26 12	
16.III		Région de Hondo, Japon, USCGS: 37,0°N, 141,6°E, H=21^{h}50^{m}01,1^s, h=40 km; mb=5,1 (USCGS), mPV=5,5 (Kraków)		
	KRA (Ch)	Δ=79,4°		
		iP	22 02 04,2	
		Z: 1,3^s; 0,056μ		

International Seismological Centre

Date	Station	Phase	T.U. h m s
16.III (suite)	KRA (SKD)	eiPcP	22 02 16
		Lm	40,4
		Z: 18^s; 2,5μ	
	KSP	Δ=80,2°	
		eiP	22 02 08,7 D
		Z: 1,1^s; 0,035μ	
17.III		Nouvelles Hébrides, USCGS: 19,4°S, 169,4°E, H=$04^h57^m12,7^s$, h=194 km; mb=6,0 (USCGS)	
	KRA (Ch)	Δ=141,1°	
		ePKP	05 16 18
		ipPKS	20 40
	KSP	Δ=142,1°	
		ePKP	05 16 18 D
		i	25
		iSKP	19 43
		Z: 1^s; 0,11μ	
17.III		Luçon, Philippines, USCGS: 13,4°N, 122,8°E, H=$08^h30^m51,8^s$, h normale; mb=5,6 (USCGS), mPV=5,9 (Kraków)	
	KRA (SKM)	Δ=88,0°	
		iP	08 43 40,8 D
		Z: 1,4^s; 0,126μ	
		iPcP	46
		ipP	54
		Z: 1,5°; 0,55μ	
		eiPP	47 17
	(GW)	iSoS	54 35
		Lm	09 25,9
		NEZ: 18^s; 140μ, 125μ, 44μ	
	RAC (SK)	Δ=89,0°	
		eP	08 43 47
	KSP	Δ=89,8°	
		eP	08 43 49 D
		iPcP	44 01
		i	47 09
		Z: 0,8^s; 0,7μ	
		ePP	16
		Lm	09 22 17
		NEZ: 15^s; 55μ, 70μ, 80μ	
17.III			
	KSP	Traces	
		eiP	13 56 45,4 D

Date	Station	Phase	T.U. h m s
17.III		Sumatra, USCGS: 5,2°S, 103,2°E, H=$15^h40^m48,0^s$, h=68 km; mb=5,7 (USCGS), mPV=5,9 (Kraków)	
	KRA (SKM)	Δ=89,6°	
		eiP	15 53 41,2
		Z: 1,4^s; 0,126μ	
		eipP	54 02
		eiPP	57 14
	KSP	Δ=92,0°	
		eP	15 53 51
17.III		Sumatra, USCGS: 6,8°S, 102,1°E, H=$16^h38^m49,3^s$, h=60 km; mb=5,2 (USCGS)	
	KRA (SKM)	Δ=90,1°. Traces	
		eiP	16 51 45,9
	KSP	Δ=92,6°. Traces	
		eP	16 51 57
17.III			
	KSP		
		iP	21 31 51,6 C
		Z: 0,5^s; 0,025μ	
18.III		Détroit des Moluques, USCGS: 2,0°N, 126,6°E, H=$11^h06^m14,7^s$, h normale; mb=6,0 (USCGS), MLH=6,6 (Kraków)	
	KRA (SKM)	Δ=99,2°	
		eP	11 19 53
		eiPcP	57
		ei	20 18
	(GW)	eiSKS	30 32
		eiS	31 19
		Lm	12 08,6
		NE: 21^s; 20^s; 22μ, 6,4	
	KSP	Δ=101,1°	
		eP	11 20 03
		iPcP	07
18.III		Détroit des Moluques, USCGS: 2,1°N, 126,8°E, H=$11^h23^m43,8^s$; h=32 km; mb=5,2 (USCGS)	
	KRA (SKM)	Δ=99,2°	
		eiP	11 37 31,8

Date	Station	Phase	T.U. h m s
18.III		Région S des Iles Fidji, USCGS: 22,1°S, 179,7°W, H=$19^h46^m08,9^s$, h=566 km; mb=4,9 (USCGS)	
	KSP	Δ=148,7°. Traces	
		$eiPKP_1$	20 04 52,9
		$eiPKP_2$	58
19.III		Iles Proches, Aléoutiennes, USCGS: 52,8°N, 173,8°E, H=$11^h41^m07,7^s$, h=81 km; mb=5,8 (USCGS)	
	KSP	Δ=75,0°	
		eP	11 52 40,6 D
		i	41,1
		Z: 0,7^s; 0,10μ	
		eipP	53 08
	KRA (SKM)	Δ=75,4°	
		eiP	11 52 43,0 D
		i	44,1
		Z: 1,4^s; 0,120μ	
		i	55
		ipP	53 12
		iPP	55 31
	(SKD)	eiS	12 02 13
		Lm	19,6
		Z: 40^s; 5μ	
	RAC (SK)	Δ=75,6°	
		eP	11 52 45
20.III		Région des Iles Fidji, USCGS: 24,2°S, 179,7°W, H=$09^h43^m52,2^s$ h=419 km; mb=5,2 (USCGS)	
	KSP	Δ=150,7°	
		$iPKP_1$	10 02 53,9 C
		Z: 0,5^s; 0,025μ	
20.III		Ile Sumbawa, USCGS: 8,3°S, 117,4°E, H=$19^h09^m06,6^s$, h=162 km; mb=5,7 (USCGS)	
	KRA (SKM)	Δ=101,1°	
		eP	19 22 41
		ei	26 47
21.III			
	KRA (SKM)	Traces	
		eiP	00 55 34,1
21.III		Iles Kouriles, USCGS: 48,6°N, 153,7°E, H=$21^h46^m12,2^s$,	

Date	Station	Phase	T.U. h m s
21.III		h=105 km; mb=4,9 (USCGS)	
	KSP	Δ=74,4°. Traces	
		eP	21 57 40
22.III		Tibet, USCGS: 28,1°N, 87,0°E, H=$01^h06^m57,2^s$, h normale; mb=5,2 (USCGS)	
	KSP	Δ=56,8°	
		eP	01 16 39
22.III		Antilles, USCGS: 15,3°N, 61,3°W, H=$14^h00^m43,5^s$, h=156 km; mb=5,1 (USCGS)	
	KSP	Δ=70,5°	
		iP	14 11 42,8 D
		Z: 0,5^s; 0,020μ	
	KRA (SKM)	Δ=72,8°	
		iP	14 11 57,5 C
		Z: 0,9^s; 0,047μ	
22.III			
	KSP	Traces	
		eiP	14 12 48,8 C
22.III		Iles Andreanov, Aléoutiennes, USCGS: 51,2°N, 179,2°W, H=$20^h58^m36,0^s$, h=40 km; mb=4,9 (USCGS)	
	KSP	Δ=77,5°. Traces	
		eP	21 10 27
	KRA (SKM)	Δ=78,1°. Traces	
		eiP	21 10 30,2
22.III		Mindanao, Philippines, USCGS: 5,9°N, 126,3°E, H=$22^h39^m15,5^s$, h=102 km; mb=5,1 (USCGS)	
	KSP	Δ=97,9°	
		iP	22 52 41,3
		Z: 0,7^s; 0,020μ	
23.III			
	KSP		
		eiP	06 25 36,0
		ei	48
23.III		Iles Proches, Aléoutiennes, USCGS: 51,3°N, 174,2°E, H=$06^h55^m33,1^s$, h=27 km; mb=5,8 (USCGS), mPV=5,8 (Kraków)	

Date	Station	Phase	T.U. h m s
23.III (suite)	KSP	Δ=76,5°	
		eiP	07 07 21,8 C
		i	26
		iPcP	30
		Z: 0,7s; 0,05μ	
		i	10 18
	KRA (SKM)	Δ=76,9°	
		iP	07 07 23,1 C
		Z: 1,2s; 0,095μ	
		i	27
		i	30
		iPcP	40
		i	08 16
	(SKD)	eiPP	10 17
		eiS	17 21
	NIE	Δ=77,5°	
		iP	07 07 33,6
		i	38
		iPcP	41
		i	53
		i	08 29
23.III		Région NW de Canada, USCGS: 66,7°N, 130,0°W, H=15h15m 38,6s, h normale; mb=4,8 (USCGS), mPV=5,1 (Niedzica)	
	NIE	Δ=62,3°	
		eP	15 26 03
		Z: 0,7s; 0,011μ	
23.III		Chine, USCGS: 31,9°N, 100,1°E H=19h14m53,1s, h normale; mb=5,3 (USCGS)	
	KSP	Δ=62,3°	
		eP	19 25 44
	NIE	Δ=60,3°	
		eP	19 25 35
		eiPcP	48
23.III		Riou-Kiou, USCGS: 29,3°N, 130,4°E, H=19h42m38,8s, h= 34 km; mb=5,9 (USCGS), mPV= 5,7 (Niedzica), MLH=6,2 (Kraków)	
	KRA (SKM)	Δ=80,0°	
		iP	19 54 45,3 C
		Z: 1,2s; 0,228μ	
		eiPcP	56
		eiPP	57 47

Date	Station	Phase	T.U. h m s
23.III	KRA (GW)	Lm	20 33,6
		NEZ: 14s; 7μ, 6μ,2,1	
	KSP	Δ=81,4°	
		iP	19 54 53,2 C
		Z: 1s; 0,045μ	
		i	57
	NIE	Δ=80,1°	
		iP	19 55 25,6 C
		Z: 1,0s; 0,063μ	
		ipP	36
		i	56 09
		ei	58 12
		i	27
23.III		Iles Talaud, USCGS: 4,2°N, 126,8°E, H=21h39m47,6s, h=35 km; mb=5,6 (USCGS), mPV=5,6 (Niedzica)	
	KRA (SKM)	Δ=97,6°	
		eiP	21 53 19
		eiPcP	27
	KSP	Δ=99,5°. Traces	
		eP	21 53 27
	NIE	Δ=97,5°	
		iP	21 54 13,4 C
		Z: 0,8s; 0,018μ	
		i	20
		ei	34
24.III		Birmanie, USCGS: 21,6°N, 98,3°E, H=00h27m32,7s, h normale; mb=4,9 (USCGS)	
	KSP	Δ=68,6°. Traces	
		eiP	00 38 32
		ei	40
	NIE	Δ=66,2°	
		eiP	00 38 34,1
		ipP	42,6
24.III		Région de Hondo, Japon, USCGS: 31,7°N, 139,3°E, H=00h34m36,8s, h=20 km; mb=5,6 (USCGS)	
	KRA (SKM)	Δ=82,7°	
		eP	00 47 00
		eiPcP	13
		ei	34

International Seismological Centre

Date	Station	Phase	T.U. h m s
24.III (suite)	RAC (SK)	Δ=83,5°	
		eP	00 47 07
24.III	NIE	Traces	
		eP	09 41 14
		e	44
24.III		Région d'Innsbrück, Autriche, BCIS: 47,3°N, 11,4°E, H=11h27m02s	
	KSP	Δ=4,78°	
		eSn	11 29 12
		eS*	29
24.III	KSP		
		e(P)	11 47 05
		ei	10
		i	15
		ei	49
	RAC (SK)	e(Sg)	11 48 13
24.III	NIE		
		e(P)	12 44 07
		ei	34
		i	45 31
		i	45
	KRA (SKM)	iP	12 46 45,8 C
		Z: 0,5s; 0,029μ	
		i	47 06
25.III		Iles Proches, Aléoutiennes, USCGS: 51,4°N, 174,1°E, H=07h30m24,2s, h normale; mb=4,9 (USCGS)	
	KRA (SKM)	Δ=76,8°. Traces	
		e(P)	07 42 52
25.III		Iles Kouriles, USCGS: 50,2°N 156,9°E, H=08h56m15,2s, h= 40 km; mb=5,4 (USCGS), mPV= 5,5 (Kraków), 5,2 (Niedzica)	
	NIE	Δ=74,3°	
		eiP	09 06 29,3
		Z: 1,0s; 0,018μ	

Date	Station	Phase	T.U. h m s
25.III	NIE	ei	09 06 53
	KRA (SKM)	Δ=73,8°	
		eiP	09 07 45,2
		Z: 1,0s; 0,042μ	
		eiPcP	08 10
	KSP	Δ=73,9°	
		eiP	09 08 46,4 C
25.III		Iles Kouriles, USCGS: 46,0°N, 151,1°E, H=13h34m 58,6s, h=78 km; mb=4,7 (USCGS)	
	KSP	Δ=75,9°	
		eiP	13 46 36,9 C
25.III	NIE	Traces	
		eiP	20 28 23,5
		Z: 0,7s; 0,013μ	
25.III		Californie, USCGS: 25,9°N, 109,9°W, H=22h42m02,8s, h=normale; mb=5,5 (USCGS), mPV=6,1 (Kraków)	
	KRA (SKM)	Δ=92,5°. Traces	
		iP	22 55 15,9
		Z: 0,4s; 0,035μ	
26.III		SW Iles Riou-Kiou, USCGS: 23,4°N, 124,0°E, H=02h37m 21,3s, h=16 km; mb=5,5 (USCGS), mPV=5,6 (Kraków), MLH=6,2 (Kraków)	
	NIE	Δ=81,1°	
		eP	02 49 35
		i	38
		iPcP	43
		Z: 1,0s; 0,027	
		i	50 04
	KSP	Δ=82,6°	
		iP	02 49 44,9 D
		i	56
		ei	50 22
	KRA (SKM)	Δ=81,0°	
		iPcP	02 49 47,4
		Z: 0,9s; 0,053μ	
		ipP	52
		i	50 01

Date	Station	Phase	T.U. h m s
26.III (suite)	KRA (GW)	Lm	03 22,6
		NE: 14^s; 7,5μ, 3,2μ	
26.III		Région des Iles Fidji, USCGS: 21,3°S, 179,1°W, H=05^{h}09^{m}50,5^s, h=634 km; mb=4,9 (USCGS)	
	KSP	Δ=148,1°	
		iPKP$_1$	05 28 28,0 D
		iPKP$_2$	33,0
26.III		Région frontière Tadzikistan-Sinkiang, USCGS: 38,3°N, 73,9°E, H=07^{h}58^{m}42,7^s, h=123 km; mb=5,3 (USCGS)	
	NIE	Δ=39,4°	
		iP	08 06 01,4 D
		Z: 1,4^s; 0,076μ	
		i	12
		ipP	30
		iPcP	08 15
	KRA (SKM)	Δ=39,6°	
		iP	08 06 03,5
		Z: 0,7^s; 0,045μ	
		i	07
		ipP	31
		i	40
	KSP	Δ=41,9°	
		eiP	08 06 22,0
		ipP	51
		ePP	08 01
26.III		Région frontière Tadzikistan-Sinkiang, USCGS: 38,3°N, 73,9°E, H=08^{h}33^{m}30,6^s, h=120 km; mb=5,2 (USCGS)	
	NIE	Δ=39,4°	
		eiP	08 40 50,7
		ei	57
		ipP	41 19
		eiPP	42 27
26.III			
	NIE		
		eP	09 31 50
26.III		Région de Hondo, Japon, USCGS: 36,6°N, 142,0°E, H=14^{h}56^{m}13,0^s, h=52 km;	

Date	Station	Phase	T.U. h m s
26.III		mb=5,1 (USCGS), mPV=5,4 (Kraków), 5,0 (Niedzica)	
	NIE	Δ=80,2°	
		eiP	15 08 14,8 D
		Z: 1,0^s; 0,015μ	
	KRA (SKM)	Δ=79,9°	
		iP	15 08 17,6
		Z: 0,8^s; 0,028μ	
		eiPcP	27
	KSP	Δ=80,7°. Traces	
		eiP	15 08 21,9 C
26.III			
	KSP		
		iP	15 45 07,4 C
		Z: 0,7^s; 0,07μ	
26.III		Région de Hondo, Japon, USCGS: 36,6°N, 142,0°E, H=17^{h}35^{m}17,3^s, h=49 km; mb=5,1 (USCGS), mPV=5,3 (Kraków), 5,2 (Niedzica)	
	NIE	Δ=80,2°	
		iP	17 47 18,1 C
		Z: 0,9^s; 0,017μ	
		ei	22
	KSP	Δ=80,7°	
		eiP	17 47 26,9 C
		Z: 1^s; 0,027μ	
26.III			
	KRA (SKM)	iP	18 02 22
		Z: 0,7^s; 0,042μ	
		ei	30
26.III			
	NIE		
		eiP	20 05 05,5
27.III		Région de Hondo, Japon, USCGS: 35,5°N, 139,9°E, H=02^{h}08^{m}31,4^s, h=64 km; mb=5,0 (USCGS)	
	KSP	Δ=80,8°. Traces	
		eiP	02 20 38,8
		ePcP	44
27.III		Région des Iles Riou-Kiou, USCGS: 24,3°N, 123,6°E,	

International Seismological Centre

Date	Station	Phase	T.U. h m s
27.III (suite)		H=03^{h}37^{m}42,8^s, h=77 km; mb=5,0 (USCGS), mPV=5,5 (Kraków)	
	KRA (SKM)	Δ=80,1°	
		iP	03 49 45,7
		Z: 0,6^s; 0 027μ	
		ei	52
		ePcP	59
27.III		Iles Proches, Aléoutiennes, USCGS: 52,6°N, 172,9°E, H=12^{h}32^{m}05,0^s, h=43 km; mb=5,6 (USCGS), mPV=6,2 (Kraków, Niedzica), 5,9 (Książ)	
	KSP	Δ=75,0°	
		iP	12 43 43,8 C
		Z: 0,9^s; 0,09μ	
		i	52
		iPcP	56
	KRA (SKM)	Δ=75,4°	
		iP	12 43 45,5 C
		Z: 1,1^s; 0,206μ	
		i	51
		iPcP	58
	RAC (SK)	Δ=75,7°	
		eiP	12 43 48
	NIE	Δ=76,0°	
		iP	12 43 50,4 C
		Z: 0,7^s; 0,116μ	
		i	58
		iPcP	44 04
		i	41
27.III			
	NIE		
		eiP	13 17 52
		Z: 0,6^s; 0,017μ	
		ei	18 16
	KSP	Traces	
		eiP	13 17 54
28.III		Hokkaido, Japon, USCGS: 42,6°N, 144,0°E, H=03^{h}30^{m}48,9^s h=65 km; mb=4,5 (USCGS)	
	KRA (SKM)	Δ=75,8°	
		eiP	03 42 29,9
	NIE	Δ=76,1°	
		eiP	03 42 31,5

Date	Station	Phase	T.U. h m s
28.III		Iran meridional, BCIS: 28,6°N, 53,0°E, H=03^{h}36^{m}34^s	
	NIE	Δ=32,3°	
		eiP	03 43 06,5
		i	34
	KRA (SKM)	Δ=32,8°	
		eiP	03 43 09,4
		ei	29
		i	45
28.III		Iran méridional, BCIS: 28,6°N, 53,0°E, H=03^{h}36^{m}34^s	
	KSP	Δ=35,4°	
		eiP	03 43 29,7
28.III			
	NIE		
		eP	07 41 20
28.III			
	NIE		
		eiP	10 34 31,5
		ei	48
28.III		Éthiopie, USCGS: 11,8°N, 42,7°E, H=10^{h}45^{m}30,3^s, h normale; mb=4,6 (USCGS)	
	KRA (SKM)	Δ=42,3°. Traces	
		eP	10 53 26
		epP	33
28.III			
	NIE		
		eP	13 04 42
		ei	56
		ei	05 06
	KRA (SKM)	eiP	13 04 42,6 C
		Z: 0,6^s; 0,023μ	
		ei	49
		i	05 08
28.III		Éthiopie, USCGS: 11,7°N, 42,8°E, H=13^{h}35^{m}04,5^s, h normale; mb=5,0 (USCGS)	
	NIE	Δ=41,7°	
		eP	13 42 59
		eipP	43 08

Date	Station	Phase	T.U. h m s
28.III		Éthiopie, USCGS: 11,7°N, 42,7°E, H=13h42m06,7s, h normale; mb=5,3 (USCGS), mPV=5,4 (Kraków)	
	NIE	Δ=41,7°	
		eP	13 49 57
		ei	50 00
		i	17
	KRA	Δ=42,4°	
	(SKM)	eiP	13 50 01,1
		Z: 1,0s; 0,042μ	
		ei	05
	(SKD)	ePcP	51 54
		eiS	56 34
28.III		Éthiopie, USCGS: 11,7°N, 42,9°E, H=14h18m52,3s, h normale; mb=5,4 (USCGS), mPV=5,5 (Kraków)	
	NIE	Δ=41,8°	
		eiP	14 26 42,8
		i	48
		i	27 19
	KRA	Δ=42,4°	
	(SKM)	eiP	14 26 48,2 C
		Z: 1,4s; 0,094μ	
		i	52
	(SKD)	Lm	45,0
		Z: 20s; 4μ	
	KSP	Δ=44,7°	
		eiP	14 27 03,7 C
		i	08
28.III		Éthiopie, USCGS: 11,7°N, 42,9°E, H=14h59m06,7s, h normale; mb=5,2 (USCGS)	
	KRA	Δ=42,4°	
	(SKM)	eiP	15 07 00,7
		i	03
		i	08
		ePP	08 47
		Lm	25,1
		Z: 24s; 4,4μ	
	KSP	Δ=44,7°	
		eP	15 07 17
		i	21

Date	Station	Phase	T.U. h m s
28.III			
	NIE		
		iP	17 03 57,8 C
		Z: 1,0s; 0,009μ	
28.III			
	NIE		
		eP	19 06 56
		ei	07 00
		ei	11
28.III		Région des Iles Fidji, USCGS: 21,9°S, 179,5°W, H=22h27m43,1s, h=610 km; mb=4,8 (USCGS)	
	KSP	Δ=148,6°	
		eiPKP1	22 46 22,7
		eiPKP2	29
29.III		Riou-Kiou, USCGS: 23,3°N, 123,8°E, H=23h55m47,3s, h normale; mb=5,3 (USCGS), mPV=5,5 (Kraków), 5,1 (Niedzica)	
	KRA	Δ=81,0°	
	(SKM)	iP	00 07 59,3 D
		Z: 0.8s; 0,037μ	
		i	08 01
		iPcP	10
		ei	09 02
	NIE	Δ=81,0°	
		eiP	00 08 00,9 D
		Z: 1,0s; 0,018μ	
		iPcP	10
		ei	31
	KSP	Δ=82,6°	
		eP	00 08 07
29.III			
	NIE	Traces	
		eP	03 34 04
29.III			
	KRA		
	(SKM)	eiP	08 01 22
		e	28
	NIE		
		eiP	08 01 38

International Seismological Centre

Date	Station	Phase	T.U. h m s
29.III			
	KRA		
	(SKM)	eiP	11 31 15,7
		ei	24
	NIE		
		eiP	11 31 26,5
		Z: 0,7s; 0,030μ	
	KSP		
		iP	11 31 33,5 C
		e	57
29.III		Sud des Iles Fidji, USCGS: 23,6°S, 179,7°W, H=11h24m 03,9s, h=535 km; mb=4,7 (USCGS)	
	KSP	Δ=150,1°	
		iPKP1	11 42 54,2 D
		Z: 0,7s; 0,045μ	
	NIE	Δ=150,0°	
		iPKP1	11 42 55,4 D
		eiPKP2	43 02
29.III			
	KRA	Traces	
	(SKM)	iP	12 56 10
		ei	22
29.III			
	NIE	Traces	
		eP	12 59 59
		e	13 00 11
		ei	21
29.III			
	NIE	Traces	
		eiP	23 53 31 D
	KSP	Traces	
		eiP	23 53 32
		e	36
30.III		Rift nord-atlantique à l'ouest du Spitzberg, BCIS: 76,6°N, 7,2°E, H=00h06m49s; MLV=4,9 (Moxa), mPV=5,0 (Kraków)	
	KSP	Δ=26,1°	
		eP	00 12 22
		i	28

Date	Station	Phase	T.U. h m s
30.III	KRA	Δ=27,4°	
	(SKM)	eiP	00 12 31,2 C
		Z: 1,2s; 0,039μ	
		i	37
		eiPP	13 28
	NIE	Δ=28,0°	
		eP	00 12 36
		i	43
		i	13 02
30.III		Région E de Hondo, Japon, USCGS: 40,8°N, 143,1°E, H=03h01m45,5s, h=54 km; mb=4,8 (USCGS), mPV=5,5 (Kraków, Niedzica)	
	KRA	Δ=76,9°	
	(SKM)	eiP	03 13 32,7 D
		Z: 0,6s; 0,027μ	
		ei	14 03
	NIE	Δ=77,2°	
		eiP	03 13 34,5 D
		Z: 0,8s; 0,033μ	
		ei	44
		i	14 10
	KSP	Δ=77,6°	
		eiP	03 13 37,3 D
30.III		S Sumatra, USCGS: 4,8°S, 103,2°E, H=03h16m13,1s, h=89 km; mb=5,2 (USCGS)	
	NIE	Δ=88,9°	
		eP	03 28 59
		Z: 0,8s; 0,015μ	
		eiPcP	29 07
	KRA	Δ=89,3°	
	(SKM)	eP	03 29 01
		ei	19
30.III			
	NIE		
		eP	03 32 30
30.III			
	KSP		
		eiP	13 18 40,3
		ei	45

Date	Station	Phase	T.U. h m s	
30.III				
	NIE	Traces		
		eiP	19 12 46	
		i	13 04	
31.III				
	NIE	Traces		
		eP	14 12 06	D
		Z: 0,7^{s}; 0,013μ		

Date	Station	Phase	T.U. h m s
31.III		Région de Vrancea, Roumanie	
		BCIS: 45,8°N, 26,8°E, H=$34^{m}09^{s}$, h=125 ± 10 km	
	NIE	Δ=5,5°	
		ei(P)	23 35 05,6
		Z: 1,1^{s}; 0,040μ	
		ei	13
		i	26
	KSP	Δ=8,6°	
		eP	23 36 08

International Seismological Centre

POLSKA AKADEMIA NAUK
INSTYTUT GEOFIZYKI

BULLETIN SÉISMOLOGIQUE

1973
AVRIL MAI JUIN
(2)

WARSZAWA

Komitet Redakcyjny

Roman TEISSEYRE (redaktor naczelny), Zdzisław MAŁKOWSKI (zastępca redaktora), Jan SŁOMKA (członek Redakcji), Wacław KOWALSKI (sekretarz Redakcji)

Adres Redakcji
Instytut Geofizyki Polskiej Akademii Nauk
Warszawa, ul. Pasteura 3

Printed in Poland

Państwowe Wydawnictwo Naukowe
Oddział w Łodzi 1974

Wydanie I. Nakład 300+55 egz. Ark. wyd. 5.50. Ark. druk 4 2/16.
Papier offset. kl. III, 80 g, 70×100. Podpisano do druku 25.II.1974 r.
Druk ukończono w marcu 1974 r. Zam. 127/74

Zakład Graficzny Wydawnictw Naukowych
Łódź, ul. Żwirki 2

International Seismological Centre

INTRODUCTION

La présente élaboration trimestrielle des résultats d'enregistrement des observatoires séismologiques de l'Institut de Géophysique de l'Académie Polonaise des Sciences constitue la suite des élaborations annuelles paraissant dans le cadre des "Publications of the Institute of Geophysics, Polish Academy of Sciences".

Cette publication contient une élaboration des tremblements de terre distants. Un relevé des secousses les plus fortes provenant du territoire de la Haute Silésie en 1973, ainsi que des secousses locales dont les épicentres sont situés en dehors de la région de la Haute Silésie, sera présenté séparément dans un cahier du même volume. L'identification des secousses distantes s'appuie sur les données fournies par les centres séismologiques de BCIS, USCGS, ISC et Moskva. Les distances épicentrales Δ sont calculées d'après les coordonnées géocentriques avec une exactitude de $\pm 0{,}01^{\circ}$. Les valeurs des magnitudes des secousses dont les distances épicentrales sont $\geqslant 5^{\circ}$ ont été établies à base des ondes volumétriques (m) et des ondes superficielles (M).

CONSTANTES DES SÉISMOGRAPHES

Station	Type séismo-graphe	Comp.	Ts sec	Tg sec	Ds	Dg	σ^2	Vo	Vm	Tm sec	Période de validité
Warszawa (WAR)	GW	N-S	10,1	11,7	0,80	1,00	0,075	1410	1430	6,5-10,5	IV - VI
φ=52°14′30″N		E-W	9,80	11,3	1,01	1,00	0,077	1675	1030	4,0-9,7	
λ=21°01′25″E		Z	8,65	11,2	0,54	1,00	0,057	1130	1110	5,6-8,0	
h=110 m	SKD	N-S	25	80,0	1,0	0,4	0,114	645	700	18-60	IV - VI
		E-W	25	83,8	1,0	0,4	0,091	583	620	17-52	
		Z	25	83,2	1,1	0,5	0,137	723	790	17-60	
Kraków (KRA)	Ch	N-S	1,27	0,281	0,50	2,0	0,132	10500	11200	0,15-1,05	IV - VI
φ=50°03′22″N		E-W	1,27	0,280	0,50	2,0	0,139	10500	11200	0,15-1,05	
λ=19°56′23″E		Z	1,27	0,282	0,50	2,0	0,155	10500	11570	0,15-1,05	
h=223 m	SKM-3	N-S	1,28	0,580	0,50	0,49	0,013	21670	23670	0,47-0,78	IV - VI
		E-W	1,30	0,575	0,50	0,47	0,012	21440	23490	0,48-0,77	
		Z	1,45	0,580	0,60	0,49	0,014	24840	25790	0,47-0,75	
	GW	N-S	9,7	1,01	0,49	5,0	0,1	1475	1590	0,3-8	IV - VI
		E-W	11,1	1,00	0,47	5,0	0,1	1475	1530	0,3-8,5	
		Z	10,5	1,01	0,47	5,0	0,1	2200	2340	0,3-8	
	SKD	Z	25,0	91,5	1,00	0,50	0,204	760	810	17-59	IV - VI
Racibórz (RAC)	SK-58	N-S	1,18	1,00	0,6	0,5	0,011	3000	2900	0,75-1,1	IV - VI
φ=50°05′00″N		E-W	1,18	1,00	0,5	0,5	0,015	3000	3420	0,77-1,14	
λ=18°11′39″E		Z	1,11	1,05	0,5	0,5	0,015	3000	3300	0,78-1,13	
h=209 m	[illegible]	[illegible]	[illegible]	[illegible]	[illegible]	[illegible]	[illegible]	[illegible]	[illegible]	[illegible]	[illegible]

Station	Type séismo-graphe	Comp.	Ts sec	Tg sec	Ds	Dg	σ^2	Vo	Vm	Tm sec	Période de validité
Niedzica (NIE)	SK-58	N-S	1,82	0,366	3,63	4,5	0,813	39500	44450	0,56-0,91	IV - VI
φ=49°25′25″N		E-W	2,01	0,312	3,44	4,1	0,904	37800	66780	0,68-0,88	
λ=20°19′19″E		Z	1,77	0,426	2,34	4,8	0,950	40480	128000	0,99-1,16	
h=555 m											
Książ (KSP)	SU-59	N-S	1,22	0,238	0,52	1,52	0,142	103000	106000	0,14-0,67	IV - VI
φ=50°50,6′N		E-W	1,22	0,277	0,51	1,51	0,091	102000	108000	0,16-0,75	
λ=16°17,6′E		Z	1,02	0,204	0,52	1,53	0,174	100000	105000	0,13-0,57	
h=380 m											

S y m b o l e s

Ts - période du pendule

Tg - période du galvanométre

Ds - amortissement du pendule

Dg - amortissement du galvanométre

σ^2 - coefficient du couplage

Vo - amplification statique $Vo = \frac{2A}{Io}\sqrt{\frac{Ks}{Kg}}\sqrt{\frac{Ds}{Dg}\frac{Tg}{Ts}\ \sigma^2}$

Vo - amplification statique pour les séismographes SKD $Vo = \frac{2A}{Io}\sqrt{\frac{Ks}{Kg}}\sqrt{\frac{Dg}{Ds}\frac{Ts}{Tg}\ \sigma^2}$

Vm - valeur de l'amplification maximalle de l'appareil séismique

Tm - intervalle des périodes pour lesquelles l'amplification est supérieure ou égale à 0,9 Vm

International Seismological Centre

International Seismological Centre

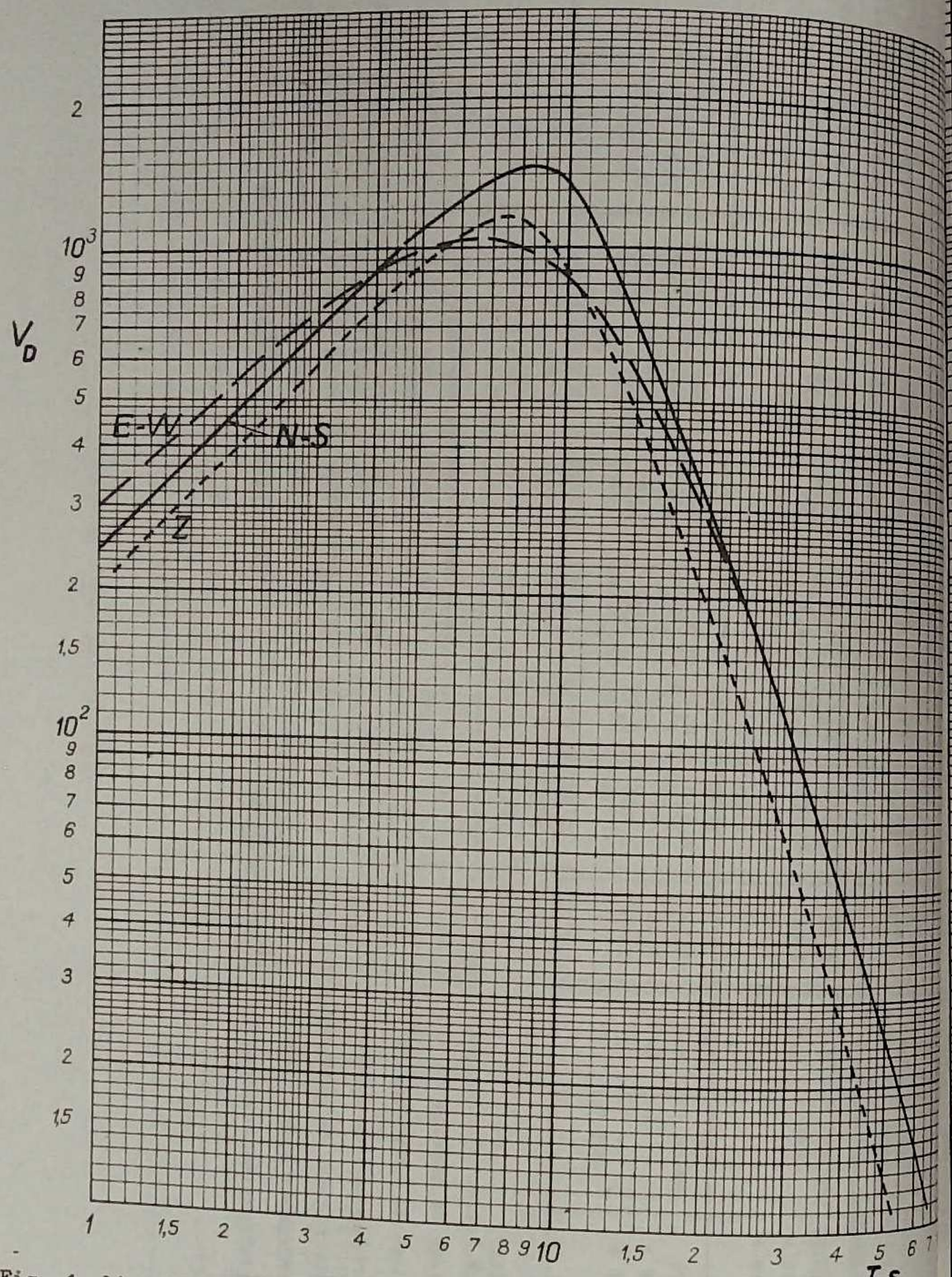

Fig. 1. L'amplification dynamique des séismographes Galitzine-Wilip à Wa

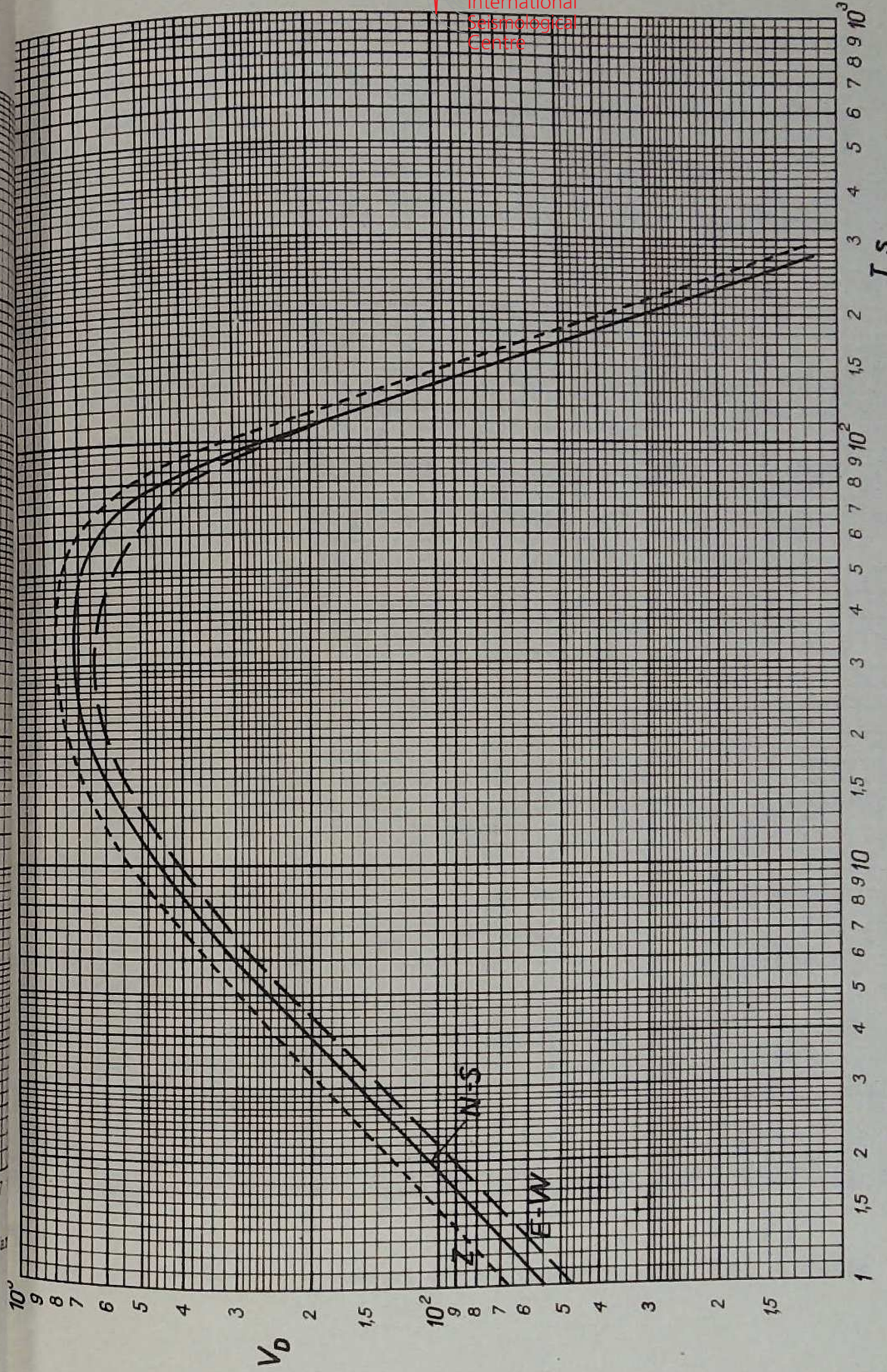

Fig. 2. L'amplification dynamique des séismographes type SKD à Warszawa

International Seismological Centre

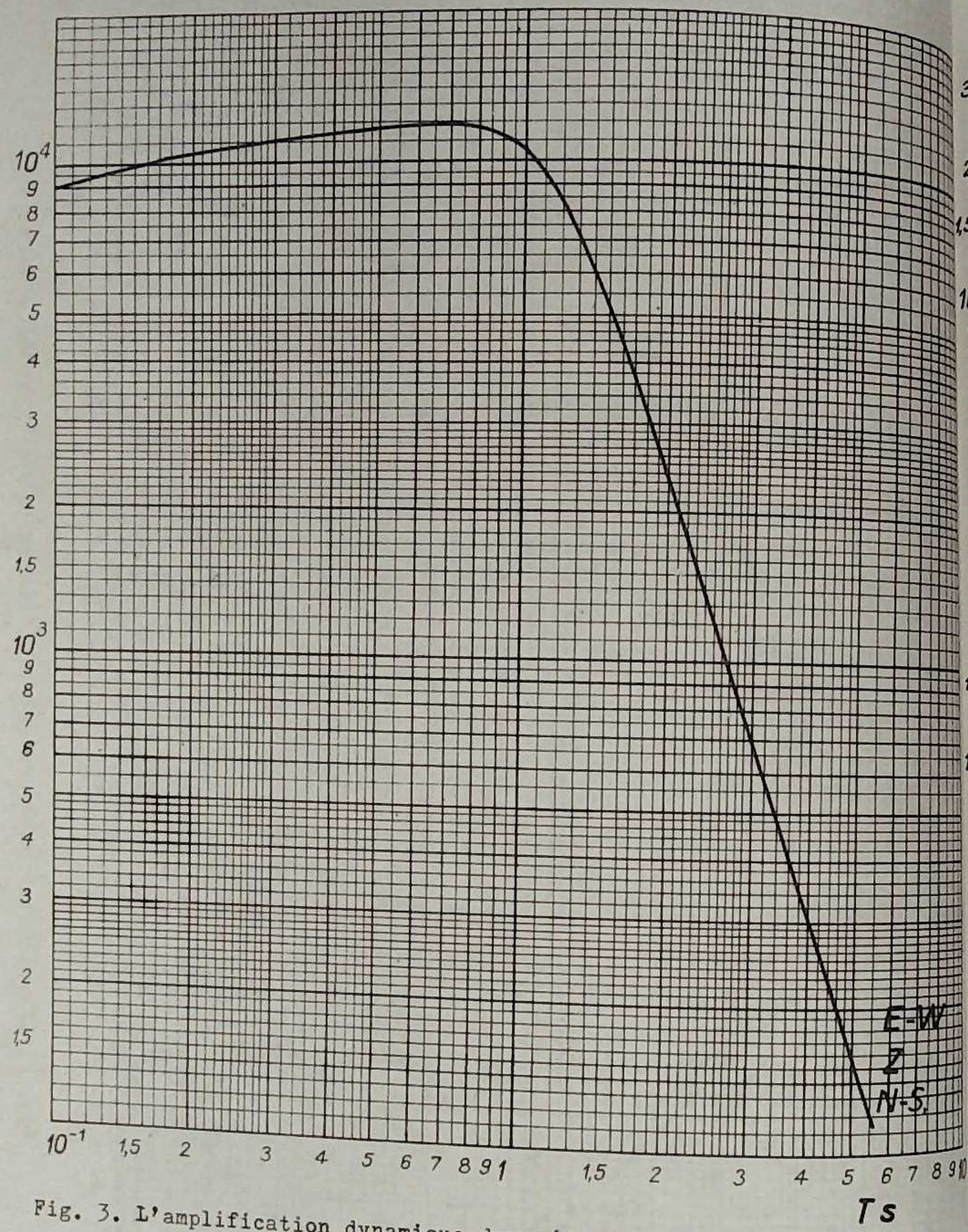

Fig. 3. L'amplification dynamique des séismographes Charin à Kraków

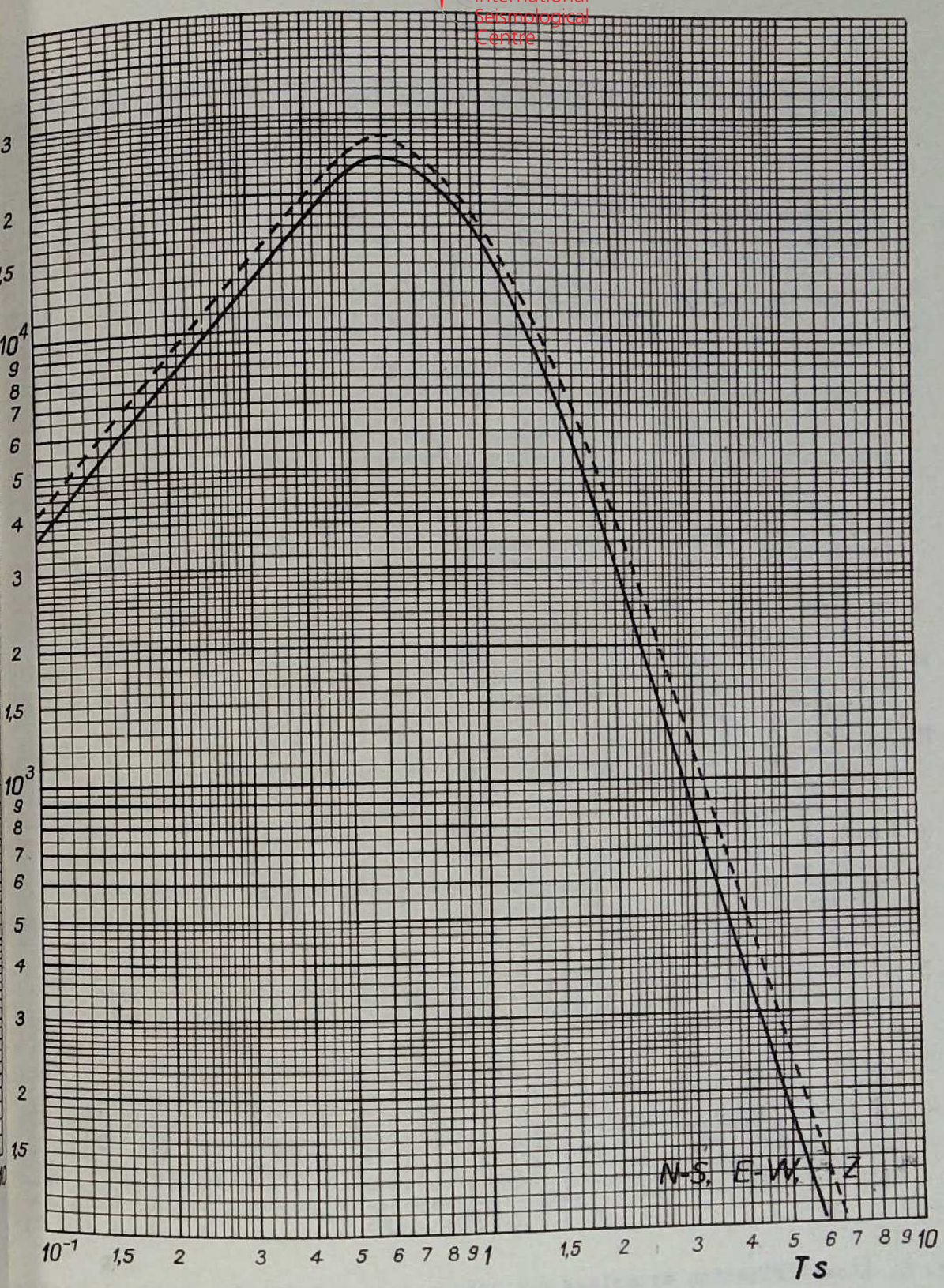

Fig. 4. L'amplification dynamique des séismographes type SKM-3 à Kraków

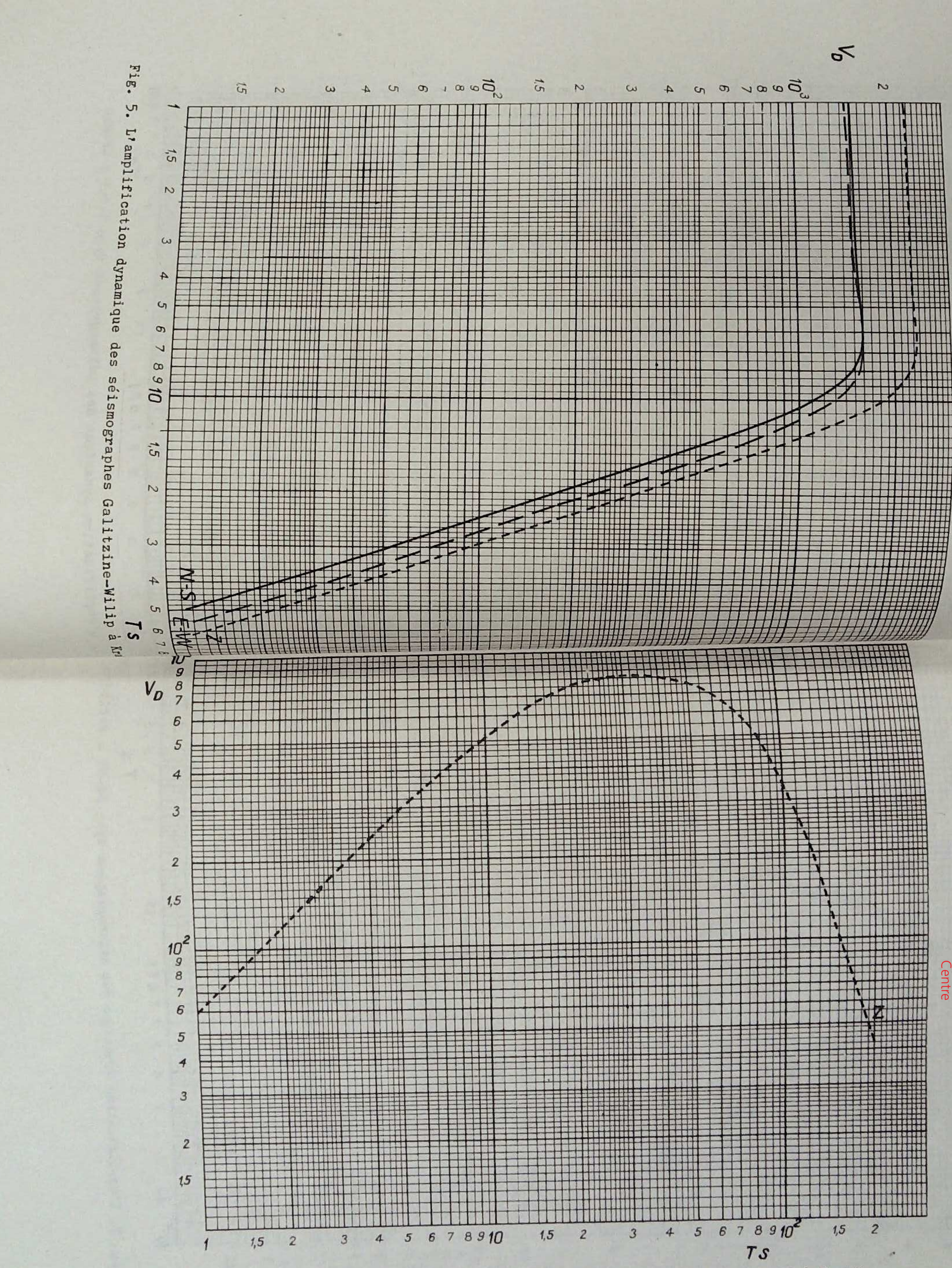

Fig. 5. L'amplification dynamique des séismographes Galitzine-Wilip à Kr

Fig. 6. L'amplification dynamique du séismographe vertical type SKD à Kraków

International Seismological Centre

International Seismological Centre

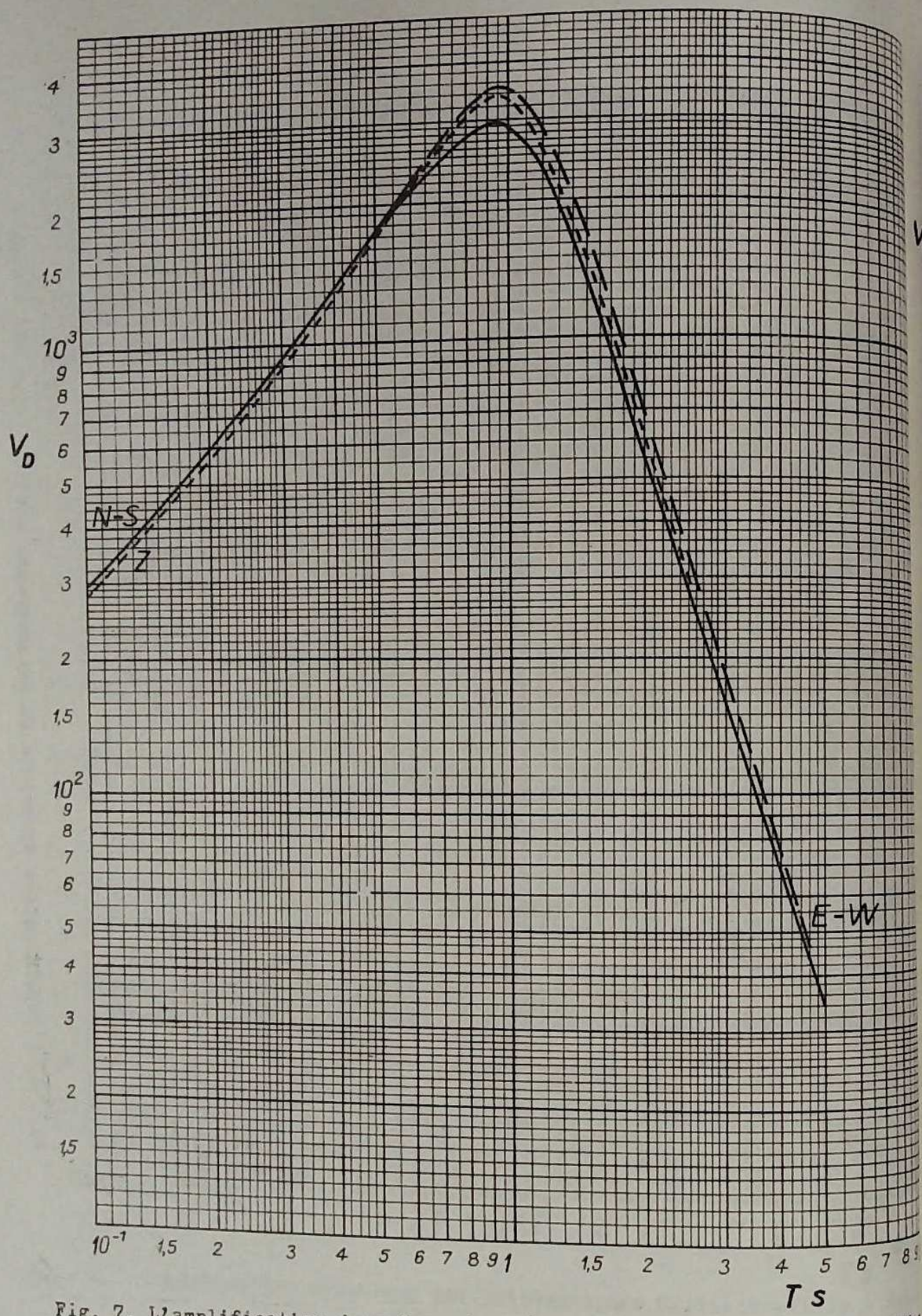

Fig. 7. L'amplification dynamique des séismographes type SK-58 à Racibór

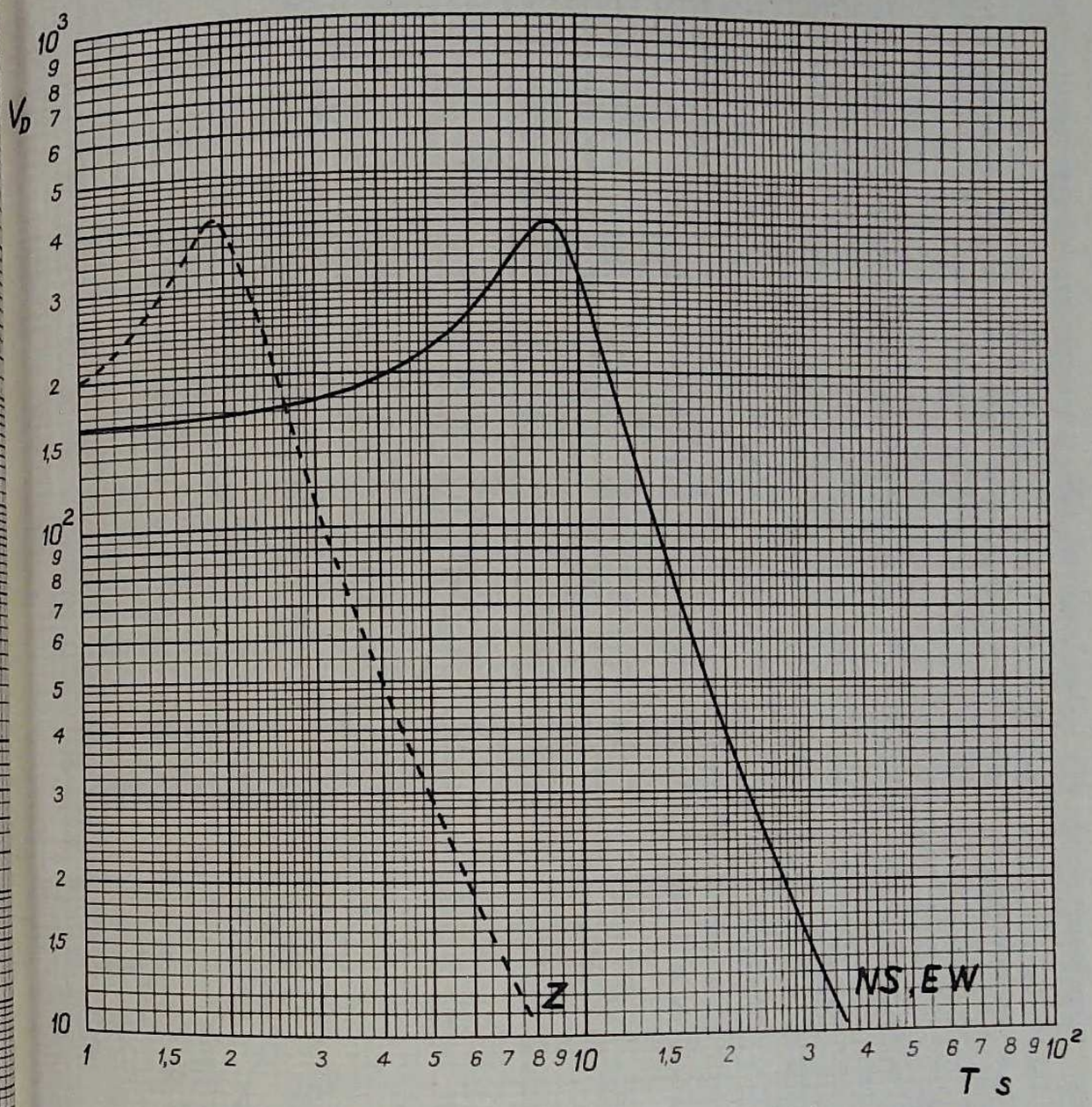

Fig. 8. L'amplification dynamique des séismographes Mainka à Racibórz

International Seismological Centre

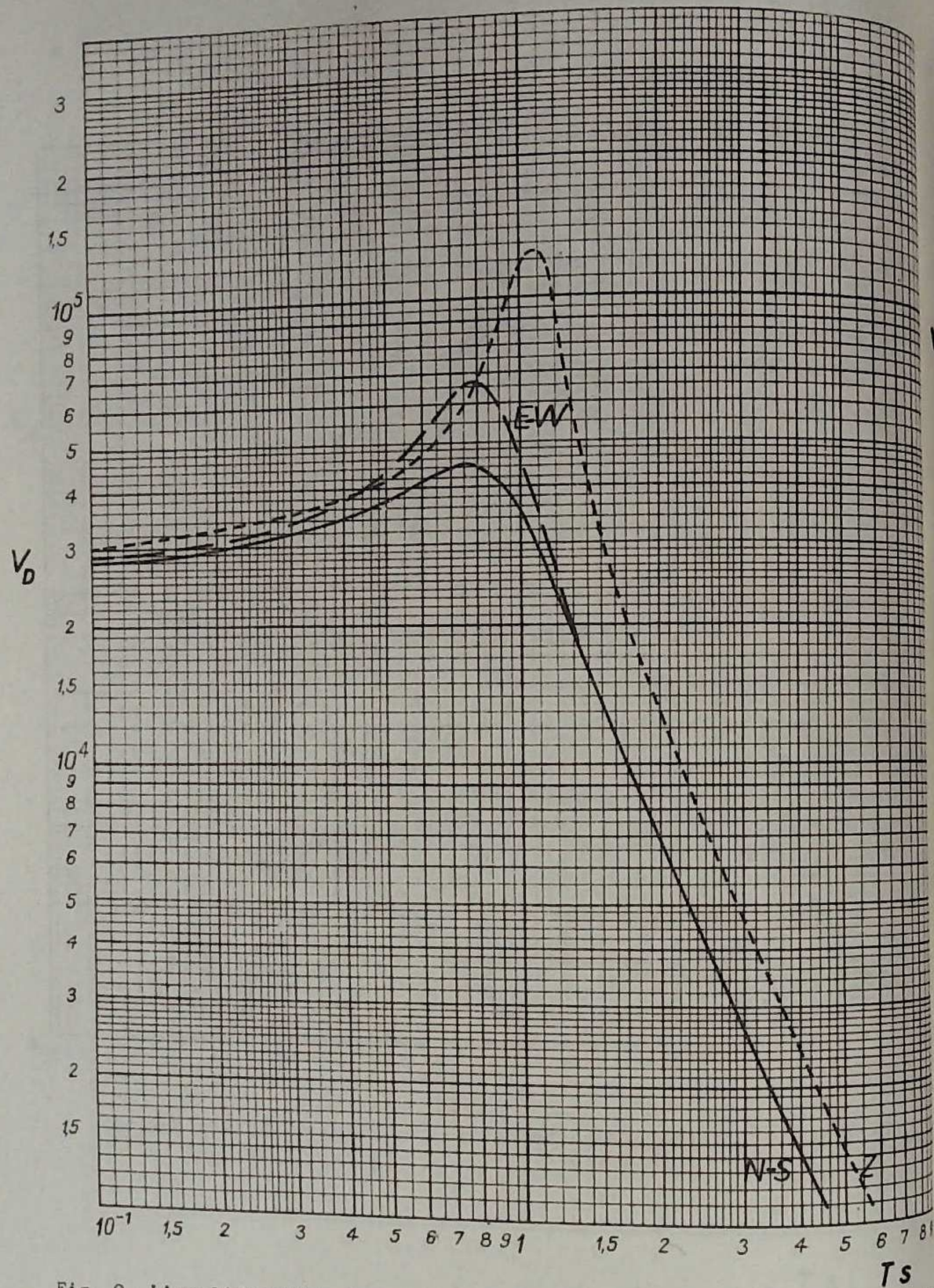

Fig. 9. L'amplification dynamique des séismographes type SK-58 à Niedzic

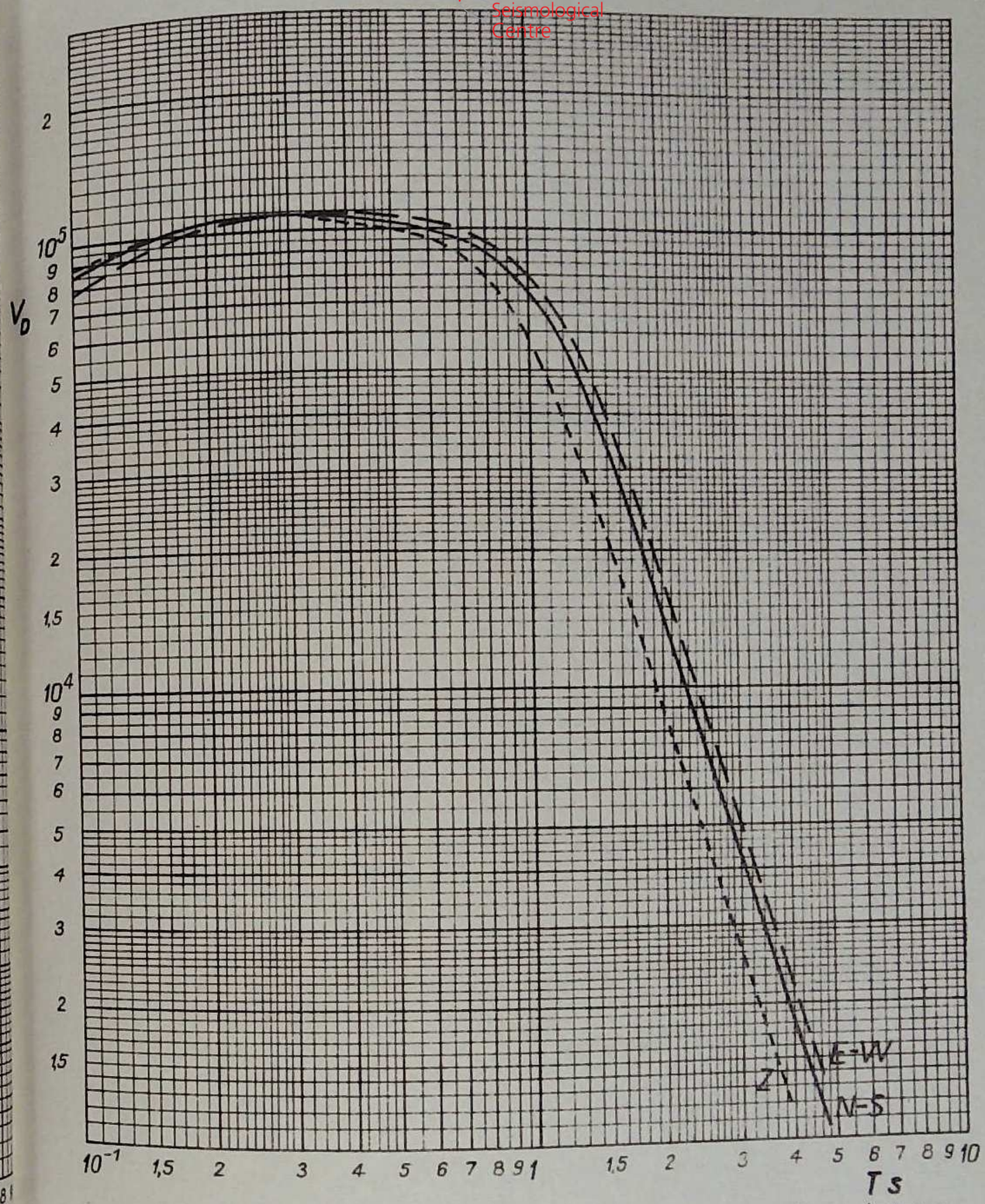

Fig. 10. L'amplification dynamique des séismographes type SU-59 à Książ

International
Seismological
Centre

RÉSULTATS DES ENREGISTREMENTS

Date	Station	Phase	T.U. h m s
1973		A V R I L	
1.IV		Éthiopie, USCGS: 11,6°N, 42,9°E, H=06h29m27,7s, h normale, mb=4,8 (USCGS)	
	KSP	Δ=44,8°. Traces	
		eP	06 37 39
1.IV		Éthiopie, USCGS: 11,7°N, 43,0°E, H=07h12m37,0s, h= 31 km; mb=5,5 (USCGS)	
	NIE	Δ=41,8°	
		eP	07 20 29
		ei	21 35
	KSP	Δ=44,7°	
		eP	07 20 49
1.IV		Éthiopie, USCGS: 11,6°N, 42,9°E, H=07h38m40,5s, h normale; mb=4,9 (USCGS)	
	KSP	Δ=44,8°. Traces	
		eP	07 46 45
1.IV		Région de l'Islandie, USCGS: 67,8°N, 18,6°W, H=08h51m 13,0s, h normale; mb=4,5 (USCGS)	
	KSP	Δ=24,1°	
		eP	08 56 25 C
1.IV		Région du Kamtchatka, USCGS: 55,0°W, 161,6°E, H=08h45m 31,1s, h normale; mb=4,7 (USCGS)	
	NIE	Δ=71,2°	
		eP	08 56 49
2.IV		Iran, USCGS: 27,1°N, 61,6°E, H=01h27m09,0s, h normale; mb=5,0 (USCGS)	
	KSP	Δ=41,6°. Traces	
		eP	01 34 55
2.IV		Région frontière URSS-Afghanistan, USCGS: 37,7°N, 70,0°E, H=02h43m24,8s, h= 54 km; mb=4,4 (USCGS), mPV= 4,7 (Niedzica)	
	NIE	Δ=37,2°	
		iP	02 50 33,3 C
		Z: 1,0s; 0,012μ	
2.IV	NIE	1	02 50 55
2.IV			
	KSP		
		eP	07 32 38
2.IV		Crête médiane de l'Atlantique Centrale, USCGS: 7,3°N, 34,4°W, H=19h25m00,4s, h normale; mb=5,1 (USCGS)	
	KSP	Δ=60,3°. Traces	
		eP	19 35 07
3.IV		Iles Kouriles, USCGS: 45,9°N, 151,1°E, H=10h50m26,3s, h normale; mb=5,0 (USCGS), mPV=5,4 (Książ)	
	KSP	Δ=76,0°	
		iP	11 02 11,7 D
		Z: 0,8s; 0,03μ	
3.IV			
	KRA (SKM)	iP	12 49 55,4
		ei	50 06,4
3.IV		Colombie, USCGS: 4,7°N, 75,6°W, H=13h54m01,8s, h= 158 km; mb=6,2 (USCGS)	
	KSP	Δ=87,6°	
		iP	14 06 34,7 D
		NEZ: 0,4s; 0,11μ, 0,07μ, 0,5μ	
		ipP	07 14
	KRA (SKM)	Δ=90,0°	
		iP	14 06 46,4 D
		Z: 1,0s; 0,180μ	
		iPcP	50
		ei	07 04
		ipP	25
3.IV		Sumatra, USCGS: 4,6°S, 103,2°E, H=17h22m46,3s, h=100 km; mb=5,2 (USCGS)	
	KRA (SKM)	Δ=89,1°. Traces	
		eP	17 35 32
	KSP	Δ=91,6°	
		eP	17 35 44
3.IV		Crête médiane de l'Atlantique Centrale, USCGS: 7,5°N, 36,3°W, H=20h04m47,7s, h normale; mb=5,1 (USCGS)	
	KSP	Δ=61,2°	
		eP	20 15 01
	KRA (SKM) (SKD)	Δ=62,9°	
		eP	20 15 14
		Lm	38,4
		Z: 20s ; 2,5μ	
4.IV		Iles Kouriles, USCGS: 43,4°N, 147,7°E, H=21h50m53,9s, h normale; mb=5,2 (USCGS), mPV=5,7 (Kraków), 5,3 (Niedzica)	
	KRA (SKM)	Δ=76,6°	
		eiP	22 02 42,7
		Z: 1,0s; 0,060μ	
		eipP	55
		Lm	49 13
		Z: 18s; 2,0μ	
	NIE	Δ=76,9°	
		eiP	22 02 45,0 C
		Z: 1,0s; 0,026μ	
		ipP	57,0
		ei	03 16
5.IV		Iles Kouriles, USCGS: 43,3°N, 147,8°E, H=23h56m43,4s, h normale; mb=5,3 (USCGS), mPV=5,8 (Kraków)	
	KRA (SKM)	Δ=76,7°	
		iP	00 08 32,8 D
		Z: 0,8s; 0,069μ	
		eipP	45
	KSP	Δ=77,2°	
		iP	00 08 35,5
5.IV		Golfe d'Aden, USCGS: 12,3°N, 46,4°E, H=01h59m12,6s, h normale; mb=4,6 (USCGS)	
	KSP	Δ=45,6	
		eP	02 07 31
5.IV		Philippines, USCGS: 11,9°N, 122,5°E, H=04h32m08,1s, h=6 km; mb=5,4 (USCGS)	
5.IV	NIE	Δ=88,9°. Traces	
		eP	04 45 06
	KRA (SKM) (SKD)	Δ=89,0°. Traces	
		eP	04 45 09
		e	15
		eiPP	48 35
		eiScS	55 59
		eiPS	56 55
		Lm	05 25,9
		Z: 20s; 3,3μ	
	WAR (SKD)	Δ=87,5°	
		eiS	04 55 27
		eiPS	56 46
5.IV			
	KSP		
		eiP	12 04 56,5
5.IV		Iles Kouriles, USCGS: 43,6°N, 147,7°E, H=22h16m59,6s, h normale; mb=5,4 (USCGS), mPV=6,1 (Kraków), 6,2 (Niedzica), MLH=5,9 (Kraków), 6,5 (Warszawa)	
	KRA (SKM)	Δ=76,4°	
		eiP	22 28 46,9 C
		Z: 0,8s; 0,134μ	
		i	51
		ipP	59
		i	29 06
		i	14
	(SKD)	iS	38 43
	(GW)	eL	23 03 43
		Lm	05,2
		NE: 7,0s; 1,2μ, 1,3μ	
	NIE	Δ=76,8°	
		eiP	22 28 49,5 C
		Z: 0,8s; 0,184μ	
		ipP	29 02
	KSP	Δ=76,9°	
		eiP	22 28 49,6
	RAC (SK)	Δ=77,0°	
		eiP	22 28 51
	WAR (SKD)	Δ=74,0°	
		eiS	22 38 15
		eiPS	49

International Seismological Centre

Date	Station	Phase	T.U. h m s
5.IV (suite)	WAR	Lm	23 03 25
		NEZ: 20^s; 8 μ, 11 μ, 8 μ	
5.IV		Iles Kouriles, USCGS: 43,7°N 147,7°E, H=$22^h35^m28,7^s$, h normale; mb=4,7 (USCGS)	
	NIE	Δ=76,8°	
		eP	22 47 19
		eipP	30
5.IV		Iles Kouriles, USCGS:43,5°N, 147,8°E, H=$23^h06^m51,1^s$, h normale; mb=4,5 (USCGS)	
	NIE	Δ=76,9°	
		eP	23 18 42
		eipP	54
5.IV		Iles Kouriles, USCGS:43,2°N, 147,8°E, H=$23^h33^m57,5^s$, h normale; mb=4,6 (USCGS)	
	NIE	Δ=77,1°. Traces	
		eP	23 45 49
6.IV		Iles Kouriles, USCGS:43,6°N, 147,6°E, H=$00^h01^m56,4^s$, h normale; mb=5,3 (USCGS), mPV=5,6 (Kraków, Niedzica)	
	KRA (Ch)	Δ=76,4°	
		eP	00 13 43
		Z: $1,0^s$; 0,047 μ	
		eipP	54
	NIE	Δ=76,8°	
		eP	00 13 45
		Pm	49
		Z: $1,0^s$; 0,047 μ	
		ipP	59
	KSP	Δ=76,9°	
		eiP	00 13 47,2
6.IV		Iles Kouriles, USCGS: 43,7°N 147,8°E, H=$01^h48^m00,3^s$, h normale; mb=5,4 (USCGS), mPV=5,7 (Kraków, Niedzica)	
	KRA (Ch)	Δ=76,4°	
		eP	01 59 46,8
		Z: $0,9^s$; 0,063 μ	
		ei	56
		Lm	02 36,7
		Z: 16^s; 5,6 μ	

Date	Station	Phase	T.U. h m s
6.IV	NIE	Δ=76,7°	
		eiP	01 59 49,1
		Z: $0,8^s$; 0,053 μ	
		ipP	02 00 03
		eisP	17
	KSP	Δ=76,8°	
		iP	01 59 50,2
6.IV		Mediterranée au Sud de la Crète, BCIS: 34,4°N, 25,2°E, H=$14^h14^m00^s$, h=45 km ± 5 km ML=4,6 (Athènes)	
	NIE	Δ=15,2°	
		e(P)	14 17 34
		i	46
		i	56
		ei	15 18 16
	KRA (SKM)	Δ=15,9°	
		iP	14 17 41,1
		Z: $0,6^s$; 0,035 μ	
		i	47
		ipP	51
	KSP	Δ=17,7°	
		eP	14 18 00
6.IV		Iles Kouriles, USCGS: 43,5° 147,6°E, H=$14^h58^m01,7^s$, h normale; mb=4,9 (USCGS)	
	KRA (SKM)	Δ=76,4°. Traces	
		eP	15 09 50
	KSP	Δ=76,9°	
		eiP	15 09 52,9
6.IV		Iles Kouriles, USCGS:43,5° 147,7°E, H=$15^h09^m04,4^s$, h normale; mb=4,5 (USCGS)	
	KRA (SKM)	Δ=76,4°. Traces	
		eiP	15 20 51,6
		epP	21 04
	KSP	Δ=76,9°. Traces	
		eP	15 20 54
6.IV		Région des Iles Fidji, USCGS 20,0°S, 176,5°W, H=18^h42^m 10,8^s, h=242 km; mb=4,8 (USCGS)	
	NIE	Δ=147,9	
		iPKIKP	19 01 29,0
		Z: $1,0^s$; 0,023 μ	

Date	Station	Phase	T.U. h m s
6.IV (suite)	NIE	i	19 01 33
		eiPKP$_2$	47
7.IV	KSP	iP	02 31 54,2
	NIE	iP	02 31 55,0 C
7.IV		Région des Iles Nicobar, USCGS: 7,0°N, 91,4°E, H=$03^h00^m58,8^s$, h normale; mb=5,9 (USCGS), mPV=6,0 (Kraków), MLH=6,2 (Kraków)	
	NIE	Δ=72,4°	
		iP	03 12 24,3 D
		ipP	36,5
		iPcP	41,4
		i	13 02,0
		ei	14 52
	KRA (SKM)	Δ=72,7°	
		iP	03 12 25,4 D
		Z: $1,0^s$; 0,132 μ	
		ei	30
		isP	40
	(GW)	Lm	58,2
		N: 18^s; 9,3 μ	
		Lm	58,3
		E: 15^s; 8,0 μ	
	WAR (SKD)	Δ=72,4°	
		eipP	03 12 34
		eiS	21 54
		Lm	38 09
		E: 40^s; 38 μ	
		Lm	40 29
		Z: 34^s; 23 μ	
		Lm	46 08
		N: 20^s; 40 μ	
		Lm	47 09
		Z: 22^s; 37 μ	
		Lm	41
		E: 24^s; 40 μ	
	KSP	Δ=75,2°	
		iP	03 12 39,2
		NEZ: 1^s; 0,06 μ, 0,07 μ, 0,12 μ	
		i	45

Date	Station	Phase	T.U. h m s
7.IV		Région des Iles Nicobar, USCGS: 6,9°N, 91,4°E, H=$03^h14^m46,9^s$, h normale; mb=4,8 (USCGS)	
	NIE	Δ=72,4°	
		eP	03 26 13
		esP	27
		eiPcP	33
	KRA (SKM)	Δ=72,7°. Traces	
		eP	03 26 14
7.IV		Ethiopie USCGS: 11,7°N, 43,0°E, H=$17^h36^m42,8^s$, h normale; mb=4,7 (USCGS)	
	KRA (SKM)	Δ=42,5°. Traces	
	(SKD)	eP	17 44 40
	(SKD)	eS	51 10
7.IV		Albanie, BCIS: 41,5°N, 20,0°E, H=$19^h30^m09^s$; ML=3,8 (Athènes)	
	KRA (SKM)	Δ=8,3°	
		ePn	19 32 07
		e	17
		ei	41
	NIE	Δ=7,6°	
		ei(Pn)	19 32 08 C
		Z: $1,0^s$; 0,026 μ	
		eiP^x	14
		iPg	27
	KSP	Δ=9,7°	
		ePn	19 32 29
7.IV	NIE	Traces	
		eP	22 21 40
8.IV	NIE		
		eP	01 25 12
		ei	20
		ei	51
	KSP	Traces	
		eiP	01 25 52,5 C
8.IV		Région frontière Afghanistan-URSS, USCGS: 36,4°N, 71,3°E, H=$01^h22^m25,9^s$, h=230 km; mb=4,7 (USCGS)	

International Seismological Centre

Date	Station	Phase	T.U. h m s
8.IV (suite)	NIE	Δ=38,8°	
		eP	01 29 31 D
		Z: 1,0^s; 0,007μ	
		e	48
8.IV		Nouvelles Hébrides, USCGS: 15,8°S, 167,2°E, H=12^{h}41^{m}02,0^s h=35 km; mb=5,8 (USCGS)	
	WAR (SKD)	Δ=134,8°	
		eiPKIKP	13 00 19
		iPKS	03 49
		Lm	59 10
		NEZ: 28^s;28^s;24^s; 20μ, 14μ, 21μ	
	KRA (SKM)	Δ=137,0°	
		iPKIKP	13 00 23,3 C
		Z: 1,5^s; 0,111μ	
		ei	33
		ei	47
		eiPP	03 06
		eiPKS	04 01
		ePcSPKP	14 12 20
	(GW)	Lm	14 00,4
		N: 20^s; 8,6μ	
		Lm	01,2
		E: 18^s; 3,7μ	
	NIE	Δ=137,2°	
		e(PKHKP)	13 00 18
		iPKIKP	25,0
		i	28,4
		i	33,1
		ePP	03 05
	KSP	Δ=137,9°	
		ePKHKP	13 00 12
		iPKS	04 00
8.IV		Sud des Iles Fidji, USCGS: 23,9°S,177,0°W, H=20^{h}48^{m}46,0^s h=122 km; mb=5,5 (USCGS)	
	KRA (SKM)	Δ=150,9°	
		iPKIKP	21 08 15,6
		Z: 1,2^s; 0,095μ	
		ei	21
		i	55,6
	KSP	Δ=151,2°	
		iPKIKP	21 08 17
		Z: 0,8^s; 0,07μ	
		i	52
		Z: 1^s; 0,1	

Date	Station	Phase	T.U. h m s
8.IV	NIE	Δ=151,3°	
		ePKIKP	21 08 29
		Pm	37,1
		Z: 1,0^s; 0,048μ	
		iPKP$_2$	
		i	33,2
			49,1
8.IV		Iles Kouriles, USCGS: 47,1 152,3°E, H=21^{h}54^{m}59,2^s, h 104 km; mb=5,6 (USCGS)	
	KRA (SKM)	Δ=75,1°	
		iP	22 06 29,1
		Z: 1,0^s; 0,312μ	
		i	37,0
		i	55,1
	NIE	Δ=75,6°	
		iP	22 06 33,1
		Z: 1,0^s; 0,153μ	
		i	41,1
		iPcP	46,1
		i	07 11
	RAC (SK)	Δ=75,7°	
		eiP	22 06 36
9.IV		NE de Taiwan, USCGS: 26,5 125,3°E, H=08^{h}32^{m}42,1^s, h 186 km; mb=5,4 (USCGS)	
	KRA (SKM)	Δ=79,1°	
		iP	08 44 27,0
		Z: 0,7^s; 0,029μ	
		ipP	45 18,3
		Z: 0,6^s; 0,058μ	
	KSP	Δ=80,7°	
		eiP	08 44 35,5
		ipP	45 27,3
9.IV			
	KRA (SKM)		
		iP	12 56 41,3
		Z: 0,5^s; 0,041μ	
9.IV			
	KSP		
		eP	23 02 32
	NIE	Traces	
		eP	23 02 42
		Z: 0,8^s; 0,013μ	
		ei	47

Date	Station	Phase	T.U. h m s
10.IV		Région des Iles Fidji, USCGS: 20,4°S, 176,3°W, H=01^{h}09^{m}15,7^s h=266 km; mb=4,8 (USCGS)	
	KRA (SKM)	Δ=147,9°	
		eiPKIKP	01 28 30,6
		Z: 1,0^s; 0,030μ	
		eiPKP$_2$	34
	KSP	Δ=148,0°	
		ePKIKP	01 28 31,3
	NIE	Δ=149,4°	
		ePKHKP	01 28 30
		eiPKIKP	33
		Z: 0,8^s; 0,029μ	
		i	36,5
10.IV		Région des Iles Fidji, USCGS: 20,7°S, 178,4°W, H=07^{h}35^m 46,9^s, h=550 km; mb=4,4 (USCGS)	
	KSP	Δ=147,8°	
		eiPKIKP	07 54 29,7
11.IV		Iles Philippines, USCGS: 11,8°N, 122,3°E, H=04^{h}25^{m}40,6^s h=21 km; mb=5,0 (USCGS)	
	NIE	Δ=88,9°. Traces	
		eP	04 38 35
		epP	40
11.IV		Halmahera, USCGS: 0,8°S, 127,5°E, H=09^{h}23^{m}06,6^s, h normale; mb=5,6 (USCGS)	
	NIE	Δ=101,8°	
		eiPP	09 41 14
12.IV		Iles Kouriles, USCGS: 43,5°N, 146,8°E, H=02^{h}31^{m}48,0^s, h= 58 km; mb=4,5 (USCGS)	
	KRA (SKM)	Δ=76,1°. Traces	
		eiP	02 43 31,2
12.IV		Iles Riou-Kiou, USCGS: 29,6°N, 130,5°E, H=04^{h}40^{m}54,9^s, h= 37 km; mb=5,1 (USCGS)	
	KRA (SKM)	Δ=79,9°. Traces	
		eP	04 53 01
		ePcP	08
	NIE	Δ=80,0°	
		eiP	04 53 02,0 C

International Seismological Centre

Date	Station	Phase	T.U. h m s
12.IV	NIE	eiPcP	04 53 06
12.IV		Hokkaido, Japon, USCGS: 41,6°N, 142,0°E, H=05^{h}03^m 18,8^s, h=73 km; mb=5,4 (USCGS), mPV=5,8 (Niedzica)	
	NIE	Δ=75,8°	
		iP	05 15 00,0
		Z: 0,8^s; 0,065μ	
		eiPcP	15
		ipP	19,4
		isP	25,5
12.IV		Région de l'Hindou-Kouch, USCGS: 36,4°N, 70,8°E, H=08^h 31^{m}07,8^s, h=189 km; mb=4,9 (USCGS)	
	NIE	Δ=38,5°	
		eiP	08 38 14,0 C
		Z: 0,8^s; 0,038μ	
		eipP	52
	KRA (SKM)	Δ=38,7°	
		iP	08 38 16
		epP	55
12.IV		Iles Kouriles, USCGS: 50,9°N, 157,4°E, H=13^{h}49^{m}15,8^s, h= 52 km; mb=6,1 (USCGS), mPV=6,1 (Kraków), 5,7 (Niedzica), MLH= 6,7 (Warszawa)	
	WAR (SKD)	Δ=70,8°	
		iP	14 00 29 C
		iPcP	48
		eiS	09 41
		eiSKS	10 33
		Lm	33 45
		NEZ: 20^s;24^s;24^s; 32μ, 39μ, 45μ	
	KRA (SKM)	Δ=73,3°	
		eP	14 00 41 C
		Z: 1,6^s; 0,294μ	
		eipP	57
		i	01 15,4
	(GW)	ei	05 47
		iS	10 03
		Lm	38 15
		NEZ: 11^s; 3,0μ, 3,2μ, 1,3μ	

Date	Station	Phase	T.U. h m s
12.IV (suite)	KSP	Δ=73,4°	
		eiP	14 00 42,5
	NIE	Δ=73,8°	
		iP	14 00 45,2 C
		Pm	47,0
		Z: 1,0s; 0,068 μ	
		i	53,0
		ipP	01 00,5
13.IV		Italie du Sud, BCIS: 38,9°N, 17,0°E, H=08h12m16s, h=40 km ± 15 km; MLH= 4,4 (Pruhonice)	
	NIE	Δ=10,5°	
		eiP	08 14 48,4
		ipP	57,1
	KRA (SKM)	Δ=11,1°	
		eP	08 14 55 C
13.IV			
	KRA (SKM)	Traces	
		eiP	12 46 56,2 C
		Z: 0,6s; 0,027 μ	
13.IV			
	KRA (SKM)	eiP	13 02 18
		ei	24
13.IV			
	KSP		
		eP	19 27 40
		i	55
13.IV		Sud des Iles Fidji, USCGS: 19,9°S, 179,8°E, H=19h54m 14,8s, h=665 km; mb=5,0 (USCGS)	
	KRA (Ch)	Δ=146,1°. Traces	
		ePKIKP	20 12 40
		$ePKP_2$	45
	KSP	Δ=146,5°	
		ePKIKP	20 12 42
		$iPKP_2$	44,6
		Z: 1s; 0,19 μ	
		i	55
14.IV		Costa-Rica, USCGS: 10,7°N, 84,8°W, H=08h34m00,1s, h normale; mb=5,7 (USCGS), MLH= 6,4 (Kraków)	

Date	Station	Phase	T.U. h m s
14.IV	KSP	Δ=88,7°	
		eP	08 46 50
	WAR (SKD)	Δ=91,2°	
		eP	08 47 09
		eiPP	50 37
		eiS	57 53
		Lm	09 17 14
		N: 24s; 34 μ	
		Lm	19 09
		EZ: 28s; 42 μ, 33 μ	
	KRA (SKM)	Δ=91,2°	
		eP	08 47 09
		ei	24
		eiPP	50 53
	(GW)	Lm	09 32,7
		NEZ: 16s; 6,5 μ, 10,5 μ, 3,3 μ	
	NIE	Δ=91,7°	
		eP	08 47 09
		ei	20
14.IV		Iles Kermadec, USCGS: 30,4°S, 178,1°W, H=15h07m35,1s, h=282 km; mb=4,4 (USCGS)	
	KSP	Δ=156,9°	
		$ePKP_2$	15 27 30
15.IV		Région des Iles Fidji, USCGS: 20,6°S, 178,8°W, H=06h10m 50,9s, h=610 km; mb=5,5 (USCGS)	
	KRA (SKM)	Δ=147,3°	
		eiPKIKP	06 29 23,9
		$iPKP_2$	27,4
		i	31,9
	KSP	Δ=147,6°	
		ePKIKP	06 29 25,9
		$iPKP_2$	27,9
		Z: 1s; 0,39 μ	
		i	32,9
		Z: 1s; 0,19 μ	
	NIE	Δ=147,7°	
		iPKIKP	06 29 25,0
		Z: 1,1s; 0,17 μ	
		$iPKP_2$	28,7
		Z: 1s; 0,11 μ	
		i	33,4

Date	Station	Phase	T.U. h m s
15.IV (suite)	NIE	i	06 29 45,1
15.IV		Région des Iles Fidji, USCGS: 17,8°S, 178,5°W, H=23h04m 52,2s, h=590 km; mb=4,9 (USCGS)	
	NIE	Δ=145,2°	
		ePKIKP	23 23 26
16.IV		Mer Egée, BCIS: 34,7°N, 25,0°E, H=00h05m45s, h=55 km ML=4,2 (Athènes)	
	NIE	Δ=14,8°	
		eP	00 09 16
		ePP	22
	KSP	Δ=17,3°	
		eP	00 09 42
16.IV			
	KRA (SKM)	Traces	
		iP	09 01 22,6
		Z: 0,6s; 0,035 μ	
16.IV		Iles Andreanov, Aléoutiennes USCGS: 51,1°N, 178,8°W, H=14h48m02,8s, h=54 km; mb=5,5 (USCGS), mPV=5,2 (Niedzica)	
	KSP	Δ=77,6°	
		eiP	14 59 54,0
	KRA (SKM)	Δ=78,2°	
		iP	14 59 56,7 D
		Z: 0,3s; 0,106 μ	
		esP	15 00 19
	NIE	Δ=78,8°	
		eiP	15 00 01,5 C
		Z: 1,0s; 0,021 μ	
		epP	14
16.IV		Hondo, Japon, USCGS: 35,6°N, 140,7°E, H=20h23m39,5s, h=52 km; mb=4,3 (USCGS)	
	NIE	Δ=80,4°	
		eP	20 35 49
		ePcP	59
16.IV			
	NIE	Traces	
		eP	22 45 35 D

Date	Station	Phase	T.U. h m s
16.IV	KSP	Traces	
		eiP	23 23 24,9
17.IV		Afghanistan, USCGS: 33,3°N, 68,1°E, H=03h37m48,1s, h=40 km; mb=5,1 (USCGS)	
	NIE	Δ=38,6°	
		iP	03 45 14 C
		Z: 1,0s; 0,021 μ	
		ei	19
		eisP	31
17.IV			
	NIE		
		iP	11 45 13,5
17.IV		Philippines, USCGS: 5,8°N, 127,1°E, H=14h21m57,9s, h=69 km; mb=5,1 (USCGS)	
	KSP	Δ=90,4°. Traces	
		eiP	14 35 32,5
17.IV		Iles Kouriles, USCGS: 50,8°N, 157,5°E, H=22h09m 49,1s, h=41 km; mb=5,6 (USCGS), mPV=5,9 (Kraków), 5,4 (Niedzica)	
	KRA (SKM)	Δ=73,4°	
		iP	22 21 17,1 D
		Z: 0,8s; 0,074 μ	
	(SKD)	eiPPS	31 44
	KSP	Δ=73,5°	
		eP	22 21 18
	NIE	Δ=73,9°	
		iP	22 21 21,2 D
		Z: 1,0s; 0,033 μ	
		ei	30,0
		i	55,9
		i	22 03,5
		i	16,3
18.IV		Iles Tonga, USCGS: 18,3°S, 175,6°W, H=01h03m13,4s, h=290 km; mb=4,9 (USCGS)	
	KSP	Δ=146,2°	
		eiPKIKP	01 22 20,0
	NIE	Δ=146,6°	
		iPKIKP	01 22 23,5 D
		Z: 0,7s; 0,032 μ	

International Seismological Centre

Date	Station	Phase	T.U. h m s
18.IV (suite)	NIE	ei	01 23 34,0
18.IV		Crête médiane de l'Atlantique USCGS: 4,0°N, 31,5°W, H=03h 09m23,3s, h normale; mb=4,8 (USCGS)	
	KRA (SKM)	Δ =62,9°. Traces	
		eP	03 19 49
18.IV		Région des Iles Fidji, USCGS: 18,6°S, 178,0°W, H= 18h12m13,5s, h=617 km; mb= 4,5 (USCGS)	
	NIE	Δ =146,1°	
		eiPKIKP	18 30 46,0 D
		Z: 0,6s; 0,032 μ	
	KSP	Δ =145,9°	
		iPKIKP	18 30 47,4
19.IV		Iles Loyauté, USCGS: 20,2°S, 168,8°E, H=01h32m24,4s, h= 36 km; mb=5,2 (USCGS)	
	KSP	Δ =142,5°	
		ePKIKP	01 51 50
19.IV		Région de Semipalatinsk, Kazakhstan, URSS; BCIS: 50,2°N, 78,2°E, H=04h33m00s; mPV=5,6 (Kraków)	
	KRA (SKM)	Δ =36,6°	
		iP	04 40 04,4 D
		Z: 0,6s; 0,046 μ	
	KSP	Δ =38,3°	
		iP	04 40 19,7 D
19.IV		Région des Iles Loyauté, USCGS: 22,3°S, 170,3°E, H= 06h21m04,9s, h=41 km; mb=4,9 (USCGS)	
	KSP	Δ =145,0°	
		ePKIKP	06 40 37
	NIE	Δ =144,2°. Traces	
		ePKIKP	06 40 38
	KRA (SKD)	Δ =144,0°	
		ePKIKP	06 40 39
19.IV			
	KSP	Traces	
		eP	07 09 24

Date	Station	Phase	T.U. h m s
19.IV			
	NIE		
		eP	07 52 02
		Z: 0,6s; 0,015 μ	
		e	24
19.IV			
	NIE		
		eP	08 32 21
		Z: 0,5s; 0,017 μ	
19.IV		Italie Centrale, BCIS: 43,8° 12,4°E, H=17h41m40s; M=4,3 (Roma)	
	KSP	Δ =7,8°	
		ePn	17 43 31
20.IV		Région des Iles Samoa, USCGS 14,8°S, 173,1°W, H=00h33m 10,1s, h=49 km; mb=5,3 (USCGS)	
	KRA (SKM)	Δ =143,5°. Traces	
		ePKIKP	00 52 39
	NIE	Δ =144,0°	
		ePKIKP	00 52 41
20.IV		Moselle, France, BCIS: 49°25' 6°02'E, H=12h24m21s	
	KSP	Δ =6,8°	
		ePg	12 26 34
	NIE	Δ =9,4°. Traces	
		eiSg	12 29 32
21.IV		Région du Kamtchatka, USCGS: 55,1°N, 161,9°E, H=22h12m 12,4s, h normale; mb=4,4 (USCGS)	
	KSP	Δ =70,6°	
		eP	22 23 26
22.IV			
	NIE	Traces	
		eP	03 47 45
22.IV		Chine, USCGS: 27,7°N, 104,1°E H=05h46m20,9s, h normale; mb=5,0 (USCGS)	
	KSP	Δ =67,7°. Traces.	
		eiP	95 57 16,2
		eiPcP	46

Date	Station	Phase	T.U. h m s
22.IV			
	NIE	Traces	
		eP	07 28 38
22.IV		Iles Riou-Kiou, USCGS: 29,4°N, 129,9°E, H=11h49m 08,7s, h=48 km; mb=4,8 (USCGS), mPV=5,0 (Niedzica)	
	NIE	Δ =79,8°. Traces	
		eiP	12 01 15
		Z: 0,8s; 0,010 μ	
22.IV		Méditerranée à l'Ouest de la Crète, BCIS: 35,0°N, 23,5°E, H=13h39m47s, h=50 km ± 10 km	
	NIE	Δ =14,3°	
		eP	13 43 08 D
		i	15,5
	KSP	Δ =16,7°	
		e P	13 43 35
		i	37,7
22.IV			
	NIE		
		eiP	21 13 46,2
22.IV		Iran occidental, BCIS: 30,6°N, 50,0°E, H=21h29m59s h=65 km ± 10 km; mPV=5,1 (Kraków)	
	NIE	Δ =29,1°	
		eP	21 35 53
	KRA (SKM)	Δ =29,6°	
		eiP	21 35 58,1 D
		Z: 0,7s; 0,025 μ	
	KSP	Δ =32,2°	
		eiP	21 36 18,2
22.IV			
	KSP		
		eP	22 40 25
	NIE	Traces	
		eP	22 40 26
23 IV			
	KSP	Traces	
		eP	02 02 01

Date	Station	Phase	T.U. h m s
23.IV		Italie du Nord, au voisinage de Rimini BCIS: 44,0°N, 12,8°E, H=13h38m37s	
	KSP	Δ =7,2°	
		ePn	13 40 18
		eiSn	41 51
		eiSg	42 31
	NIE	Δ =7,3°	
		ePn	13 40 24
		e	34
23.IV		Iles Kermadec, USCGS: 34,5°S, 179,8°E H=14h11m 19,1s, h normale; mb=5,3 (USCGS)	
	KSP	Δ =159,7°	
		ePKIKP	14 31 14
		iPKP2	53,6
	NIE	Δ =158,9°	
		ePKIKP	14 31 14
		Z: 1,0s; 0 009μ	
23.IV		Régiondes Iles Fidji USCGS: 20,9°S, 179,3°W, H=18h29m44,8s, h=645 km; mb=4,0 (USCGS)	
	NIE	Δ =147,7°	
		eiPKIKP	18 48 20
		Z: 1,4s; 0,025 μ	
		eiPKP2	25
24.IV			
	KSP	Traces	
		eiP	04 02 57
24.IV		Région des Iles Philippines, USCGS: 7,1°N, 127,0°E, H= 03h52m33,6s, h normale; mb=5,0 (USCGS)	
	NIE	Δ =75,4°	
		eP	04 05 57
24.IV		Région de Honshu, Japon, USCGS: 40,6°N, 143,5°E, H=09h49m53,4s, h=32 km, mb=4,9 (USCGS), mPV=5,0 (Niedzica)	
	KRA (SKM)	Δ =77,2°	
		eiP	19 01 45,8
		eiPcP	55

International Seismological Centre

Date	Station	Phase	T.U. h m s
24.IV (suite)	NIE	Δ=77,6°	
		eiP	10 01 47
		Z: 1,1s; 0,015μ	
		eiPcP	57
	KSP	Δ=77,9°	
		eP	10 01 49
24.IV			
	NIE		
		eiP	12 29 18,5
		Z: 0,9s; 0,010μ	
24.IV		Colombie, USCGS: 5,2°N, 75,8°W, H=18h42m31,9s, h=118 km; mb=5,5 (USCGS)	
	KSP	Δ=87,3°	
		eP	18 55 07 D
	KRA (SKM)	Δ=89,7°	
		eP	18 55 20
		eipP	50
	NIE	Δ=90,1°	
		iP	18 55 23,0 D
24.IV		Iles Kouriles, USCGS: 43,5°N, 146,6°E, H=19h42m57,6s, h=68 km; mb=4,4 (USCGS)	
	NIE	Δ=76,4°. Traces	
		eP	19 54 41
24.IV		Panama, USCGS: 5,0°N, 78,1°W, H=21h30m09,9s, h=50 km; mb=6,3 (USCGS), mPV=6,0 (Niedzica)	
	KSP	Δ=88,9°	
		eP	21 43 01 D
		ipP	14,5
	RAC (SK)	Δ=90,3°	
		eP	21 43 09
	KRA (SKM)	Δ=91,4°	
		eiP	21 43 13,4 D
		iPcP	16,0
		i	22,6
		ipP	27,9
		iPP	46 48
	(GW)	Lm	22 32,4
		EZ: 16,0s; 5,5μ, 3,7μ	
	WAR (SKD)	Δ=91,7°	
		iP	21 43 13 D

Date	Station	Phase	T.U. h m s
24.IV	WAR	eipP	21 43 29
		iPP	46 51
		i(S)	54 15
		Lm	22 17,45
		EZ: 28s; 24μ, 20μ	
	NIE	Δ=91,7°	
		iP	21 43 15 D
		i	16,5
		Z: 1,5s; 0,130μ	
		i	20
		ipP	29
		i	49
		eiPP	46 56
24.IV		Panama, USCGS: 4,9°N, 78,2°W, H=22h47m01,8s, h normale; mb=5,3 (USCGS)	
	KSP	Δ=89,1°	
		eP	22 59 56
	KRA (SKM)	Δ=91,5°. Traces	
		eP	23 00 08
	NIE	Δ=91,9°	
		eiP	23 00 10
25.IV		Tadzhikistan, URSS; USCGS: 37,6°N, 72,1°E, H=03h16m52,1s, h=136 km; mb=5,2 (USCGS)	
	NIE	Δ=38,6°	
		iP	03 24 05,0 D
		Z: 0,9s; 0,065μ	
		ei	11
	KRA (SKM)	Δ=38,9°	
		iP	03 24 05,9 D
		Z: 0,7s; 0,099μ	
		i	11,6
		epP	35
		ePP	25 35
25.IV		Iles Tonga, USCGS: 15,6°S, 175,8°W, H=06h40m27,7s, h=350 km; mb=5,1 (USCGS)	
	KSP	Δ=143,5°	
		iPKIKP	06 59 20,5
	NIE	Δ=144,0°	
		iPKIKP	06 59 22,5
		Z: 1,0s; 0,031μ	
		ei	38

Date	Station	Phase	T.U. h m s
25.IV		Iles Tonga, 17,8°S, 173,3°W, H=08h02m55,0s, h=78 km; mb=4,6 (USCGS)	
	KSP	Δ=146,1°	
		iPKIKP	08 22 26,5
		ei	49
	NIE	Δ=146,8°	
		iPKIKP	08 22 29
		Z: 1,0s; 0,011μ	
		ei	34
25.IV			
	NIE		
		eP	12 29 54
		i	30 15
		i	17
25.IV		Région de Hondo, Japon, USCGS: 33,4°N, 140,7°E, H=14h21m13,2s, h=65 km; mb=5,7 (USCGS), mPV=5,8 (Niedzica)	
	KRA (SKM)	Δ=81,9°	
		eP	14 33 26
		Pm	28,5
		Z: 1,0s; 0,084μ	
		ei	36
		ipP	43,7
	NIE	Δ=82,2°	
		iP	14 33 28,5 C
		i	32,5
		i	33,8
		isP	52
	KSP	Δ=82,9°	
		iP	14 33 33,6 D
25.IV		Région des Iles Kermadec, USCGS: 31,7°S, 179,7°E, H=20h13m41,4s, h=387 km; mb=4,7 (USCGS)	
	NIE	Δ=156,7°	
		ePKIKP	20 32 51
		iPKP2	33 22,5
	KSP	Δ=157,3°	
		iPKP2	20 33 24,7
25.IV		Région des Iles Sandwich, USCGS: 59,3°S, 26,1°W, H=21h34m37,9s, h=67 km; mb=6,0 (USCGS)	

Date	Station	Phase	T.U. h m s
25.IV	KSP	Δ=115,0°	
		ePKIKP	21 53 12
	KRA (SKM)	Δ=115,0°	
		eiPKIKP	21 53 12
		ei	54 12
	(SKD)	ePKKP	22 03 58
		Lm	30,7
		Z: 40s; 4μ	
	NIE	Δ=114,5°	
		ePKIKP	21 53 12
		e	30
		ei	54 04
26.IV		Nevada, USCGS: 37,123°N, 116,059°W, H=17h15m00,2s, h=0; mb=5,6 (USCGS), mPV=5,7 (Niedzica)	
	KRA (SKM)	Δ=85,1°	
		eiP	17 27 37
	NIE	Δ=85,8°	
		iP	17 27 41 D
		Z: 1,5s; 0,095μ	
		eiPcP	46
26.IV			
	NIE		
		eiP	18 09 30,5
		i	37,5
		i	47,0
		i	50,5
		ei	10 04
26.IV		Hawai, USCGS: 19,933°N, 155,100°W, H=20h26m28,0s, h=50 km; mb=6,0 (USCGS),	
	WAR (SKD)	Δ=108,1°	
		ePP	20 45 21
		eSKS	51 41
		eiS	52 49
		ei	21 00 21
	NIE	Δ=111,1°	
		eiPKIKP	20 45 02
		ePP	39
		ei	45
27.IV		Anatolie centrale, BCIS: 38,6°N, 32,9°E, H=00h31m02s	

International Seismological Centre

Date	Station	Phase	T.U. h m s.
27.IV (suite)	NIE	Δ=13,9°	
		eP	00 34 22
		ePP	39
		e	50
27.IV			
	NIE		
		eP	20 57 55
28.IV		Région des Iles Riou-Kiou, USCGS: 25,7°N, 125,1°E, H=04h43m11,4s, h=103 km; mb=4,9 (USCGS)	
	NIE	Δ=80,0°	
		eP	04 55 11 C
28.IV		Sumatra, USCGS: 4,0°S, 102,6°E, H=10h49m28,2s, h=82 km; mb=5,4 (USCGS)	
	NIE	Δ=87,9°	
		iP	11 02 12,5 D
		Z: 1,1s; 0,016μ	
	KSP	Δ=90,7°	
		iP	11 02 24,3
28.IV		Équateur, USCGS: 1,4°S, 79,9°W, H=12h21m11,7s, h=109 km; mb=5,5 (USCGS)	
	KSP	Δ=95,0°	
		eP	12 34 23
28.IV		Région des Iles Fidji, USCGS: 17,3°S, 178,5°W, H=21h14m06,7s, h=398 km; mb=4,5 (USCGS)	
	KSP	Δ=144,5°	
		iPKIKP	21 32 53,9
	NIE	Δ=144,7°. Traces	
		iPKIKP	21 32 55 D
29.IV			
	NIE		
		eiP	14 40 18
29.IV		Maroc septentional, BCIS: 34,7°N, 4,2°W, H=14h37m55s; M=3,8 (Porto), mPV=5,0 (Niedzica)	
	KSP	Δ=21,9°	
		eiP	14 42.48

Date	Station	Phase	T.U. h m s
29.IV	NIE	Δ=23,1°	
		iP	14 43 02,1
		Z: 0,5s; 0,029μ	
		e	06
		eiPP	34
29.IV		Région des Iles Fidji, USCGS: 19,8°S, 177,7°W, H=18h3[illegible] 25,5s, h=364 km; mb=4,9 (USCGS)	
	KSP	Δ=147,1°	
		iPKIKP	18 56 24,1
	NIE	Δ=147,3°	
		ePKIKP	18 56 28
29.IV		Pakistan, USCGS: 29,3°N, 68,7°E, H=19h56m14,3s, h=24 km; mb=4,9 (USCGS)	
	NIE	Δ=41,6°	
		eP	20 04 03
29.IV		Région du Kamtchatka, USCGS: 56,8°N, 161,7°E, H=21h36m19,5s, h normale; mb=4,8 (USCGS)	
	NIE	Δ=69,6°	
		eP	21 47 21,5
29.IV			
	KSP	Traces	
		eP	22 02 24
29.IV			
	KSP	Traces	
		eiP	23 50 24
	NIE		
		eiP	23 50 24,3
		Z: 1,0s; 0,010μ	
30.IV	KSP		
		iP	02 12 57,1
30.IV		Russie Centrale, USCGS: 51,0°N, 89,7°E, H=07h29m48,7s; h normale; mb=4,6 (USCGS), mPV=4,7 (Niedzica)	
	NIE	Δ=43,0°	
		eiP	07 37 47,3
		Z: 0,9s; 0,010μ	

Date	Station	Phase	T.U. h m s
30.IV (suite)	NIE	epP	07 37 58
		esP	38 05
30.IV		Iles Fidji, USCGS: 17,5°S, 179,6°E, H=08h39m07,7s, h=613 km; mb=5,4 (USCGS)	
	KRA (SKM)	Δ=143,8°	
		iPKIKP	08 57 34
		i	45,8
	KSP	Δ=144,2°	
		iPKIKP	08 57 36,3
		Z: 0,6s; 10μ	
		i	09 00 30,8
	NIE	Δ=144,3°	
		eiPKIKP	08 57 36,5
30.IV			
	NIE (SKM)	eP	09 00 16
		i	20,7
		Z: 1,0s; 0,039μ	

Date	Station	Phase	T.U. h m s
30.IV	KRA (SKM)	eiP	09 00 18,7
30.IV		Région de Hondo, Japon, USCGS: 36,2°N, 141,4°E, H=22h37m47,9s, h=51 km; mb=4,8 (USCGS), mPV=5,5 (Kraków), 5,2 (Niedzica)	
	KRA (SKM)	Δ=80,0°	
		eiP	22 49 52,4
		Z: 0,6s; 0,023μ	
		epP	50 04
	NIE	Δ=80,2°	
		eiP	22 49 54,5
		Z: 0,9s; 0,017μ	
		eipP	50 07
		esP	11
	KSP	Δ=80,8°	
		iP	22 49 58,0
		ipP	50 10

Date	Station	Phase	T.U. h m s
1.V		Région des Iles Kouriles, USCGS: 43,9°N, 148,4°E, H=00h52m39,7s, h=57 km; mb=4,9 (USCGS)	
	KRA (SKM)	Δ=76,4°	
		eiP	01 04 23,4
		eiPcP	33
	NIE	Δ=76,8°	
		iP	01 04 26
		Z: 1,1s; 0,027μ	
		iPcP	35
	KSP	Δ=76,9°	
		eiP	01 04 27
1.V			
	NIE		
		eP	05 46 05
1.V		Région des Iles Fidji, USCGS 18,0°S, 178,3°W, H=07h43m09,1s, h=596 km; mb=5,0 (USCGS)	

Date	Station	Phase	T.U. h m s
1.V	KRA (SKM)	Δ=145,0°	
		iPKIKP	08 01 41,7 D
		Z: 0,9s; 0,10	
	KSP	Δ=145,2°	
		eiPKIKP	08 01 42,2 C
		Z: 1s; 0,16μ	
		epPKIKP	03 50
	NIE	Δ=145,5°	
		eiPKIKP	08 01 43
		Z: 1,0s; 0,075μ	
		i	48
1.V		Iles Tonga, USCGS: 19,8°S, 173,8°W, H=09h53m31,7s, h normale; mb=5,0 (USCGS)	
	KSP	Δ=148,0°	
		ePKIKP	10 13 16
1.V		Est de la Nouvelle Guinée, USCGS: 10,0°S, 150,2°E, H=10h40m46,9s, h=27 km; mb=5,9 (USCGS)	

Date	Station	Phase	T.U. h m s
1.V (suite)	KRA (SKM) (SKD)	Δ=122,9°	
		ePKIKP	10 59 42
		iPP	11 01 20
		ePS	11 18
	KSP	Δ=124,5°	
		ePKIKP	10 59 45
		ePP	11 01 33
1.V		Sud des Iles Fidji, USCGS: 25,2°S, 179,4°E, H=15h15m15,1s h=544 km; mb=4,7 (USCGS)	
	KSP	Δ=151,3°	
		iPKIKP	15 34 08,3 D
		Z: 0,5s; 0,03 μ	
		eiPKP2	19
1.V		Iles Andreanov, Aléoutiennes. USCGS: 50,0°N, 178,5°W, H=20h 16m38;3s, h normale; mb=4,2 (USCGS)	
	NIE	Δ=79,9°	
		eP	20 28 46
2.V		Nouvelle Guinée, USCGS: 10,0°S, 150,2°E, H=01h26m20,9s h=29 km; mb=5,6 (USCGS)	
	KRA (SKM)	Δ=122,9°. Traces	
		ePKIKP	01 45 16
	(SKD)	ePS	56 49
	NIE	Δ=123,0°	
		ePKIKP	01 45 17 C
		Z: 1,2s; 0,014 μ	
		i	25
	KSP	Δ=124,5°. Traces	
		ePKIKP	01 45 18
		e	47 26
2.V		Iles Kouriles, USCGS: 44,0°N, 148,4°E, H=05h19m02,9s, h= 48 km; mb=4,5 (USCGS)	
	NIE	Δ=76,7°	
		iP	05 30 50,1
		Pm	52
		Z: 1,0s; 0,017 μ	
	KSP	Δ=76,8°	
		eP	05 30 51 D
2.V		Zone séismique transatlantique au Sud-Ouest du Portugal,	

Date	Station	Phase	T.U. h m s
2.V		BCIS: 36,4°N, 12,6°W, 17m09s; mPV=4,8 (Niedzica)	
	KSP	Δ=25,2°	
		eP	23 22 31
	KRA (SKM)	Δ=27,0°	
		eiP	23 22 52
	NIE	Δ=27,1°	
		iP	23 22 53
		Z: 1,1s; 0,021 μ	
		i	54
3.V			
	NIE	Traces	
		eP	04 40 18
		Z: 1,0s; 0,007 μ	
3.V		Région des Iles Fidji, USCGS: 16,3°S, 176,6°W, H=04h31m 15,0s, h=429 km; mb=4,3 (USCGS)	
	NIE	Δ=144,4°. Traces	
		ePKIKP	04 56 02
3.V		Iran, BCIS: 28,1°N, 52,3°E, H=07h44m24s,	
	NIE	Δ=32,3°	
		eP	07 50 51
	KRA (SKM)	Δ=32,8°. Traces	
		eiP	07 50 55
	KSP	Δ=35,4°. Traces	
		eP	07 51 16
3.V			
	NIE		
		iP	12 53 48
		i	59
	KRA (SKM)	eiP	12 53 53,6
3.V			
	KSP	Traces	
		eP	12 55 10
3.V			
	KSP		
		eP	13 59 10
4.V			
	KSP		
		eP	00 35 00

Date	Station	Phase	T.U. h m s
4.V		Région des Iles Fidji, USCGS: 17,6°S, 178,6°W, H=01h21m 21,7s, h=590 km; mb=4,0 (USCGS)	
	NIE	Δ=145,0°	
		iPKIKP	01 39 54,5 D
		Z: 0,4s; 0,030 μ	
4.V		Détroit des Moluques, USCGS: 2,3°N, 126,7°E, H=11h27m13,3s h normale; mb=5,9 (USCGS)	
	NIE	Δ=98,9°	
		eP	11 40 52
		ipP	41 05
		iPP	44 51
		i	45 08
	KRA (SKM)	Δ=99,0°	
		eiP	11 40 52,7
	(SKD)	ePS	53 43
		ei	12 10 23
	KSP	Δ=100,9°	
		eP	11 41 03
5.V		Sumatra, USCGS: 1,5°S, 99,9°E H=23h56m06,1s, h=51 km; mb= 5,9 (USCGS), mPV=5,7 (Niedzica), 6,0 (Kraków)	
	NIE	Δ=84,3°	
		iP	00 08 34,5 D
		Z: 1,0s; 0,065 μ	
		eipP	46
		isP	50,5
		i	09 09
	KRA (SKM)	Δ=84,6°	
		eP	00 08 36
		Z: 1,1s; 0,124 μ	
		eipP	47
		i	56,1
	KSP	Δ=87,1°	
		eiP	00 08 48 D
	WAR (SKD)	Δ=81,3°	
		eiSKS	00 18 51
5.V		Région E de Hondo, Japon, USCGS: 37,1°N, 141,3°E, H=03h 52m26,4s, h=41 km; mb=5,4 (USCGS), mPV=6,0 (Kraków),	

Date	Station	Phase	T.U. h m s
5.V		5,4 (Niedzica)	
	KRA (SKM)	Δ=79,2°	
		eiP	04 04 27,6 C
		Pm	28,1
		Z: 1,0s; 0,120 μ	
		eisP	40,6
	NIE	Δ=79,5°	
		eiP	04 04 29,8 C
		Pm	31
		Z: 1,0s; 0,037 μ	
		iSP	42,5
	KSP	Δ=80,0°	
		eiP	04 04 32,9
		ei	45
5.V			
	KRA (SKM)	Traces	
		eP	12 04 57
5.V			
	NIE		
		eP	19 12 54
		i	58
	KRA (SKM)	eP	19 12 56
5.V			
	KSP	Traces	
		eP	21 16 22 D
6.V		Iran méridional, BCIS: 27,5°N, 55,3°E, H=03h59m29s, h=75 km ± 10 km; mPV=5,3 (Kraków)	
	NIE	Δ=34,5°	
		eP	04 06 10
	KRA (SKM)	Δ=35,0°	
		iP	04 06 14,4 C
		Z: 0,7s; 0,029 μ	
		i	18
	KSP	Δ=37,5°	
		eiP	04 06 35,3
6.V		Région de l'Hindou-Kouch, USCGS: 36,4°N, 70,4°E, H= 13h22m46,8s, h=234 km; mb= 4,6 (USCGS)	
	NIE	Δ=38,2°	
		eP	13 29 48
		Z: 1,0s; 0,006 μ	

International Seismological Centre

Date	Station	Phase	T.U. h m s
6.V (suite)	NIE	epP	13 30 34
6.V		Près de la côte de l'Est Russie, USCGS: 43,5°N, 132,3°E, H=14h39m28,1s, h=497 km; mb=5,3 (USCGS)	
	KRA (SKM)	Δ=70,0°	
		iP	14 49 48,9 D
		Pm	49,4
		Z: 0,8s; 0,194 μ	
		eipP	51 35
		eisP	52 32
	NIE	Δ=70,2°	
		iP	14 49 51,5 D
		Pm	52,3
		Z: 0,9s; 0,192 μ	
		i	55,5
		eipP	51 37
		eisP	52 37
	KSP	Δ=70,8°	
		iP	14 49 56,3 D
		Z: 0,7s; 0,12 μ	
6.V		Région du Kamtchatka, USCGS: 53,9°N, 160,5°E, H=15h11m37,8s, h=57 km; mb=5,0 (USCGS)	
	NIE	Δ=72,0°	
		eP	15 22 56
6.V		Pakistan, Moskva: 30,1°N, 67,9°E, H=18h37m41s	
	NIE	Δ=40,5°	
		eP	18 45 20
6.V		Région des Iles Nicobar, USCGS: 7,2°N, 91,3°E, H=10h53m29,2s, h=35 km; mb=4,8 (USCGS)	
	NIE	Δ=72,2°	
		eP	11 04 54
	KRA (Ch)	Δ=72,5°. Traces	
		eP	11 04 55
	KSP	Δ=75,0°	
		eiP	11 05 09 C
8.V		Iles Nouvelles Hébrides, USCGS: 15,7°S, 167,8°E, H=00h43m47,9s, h=153 km;	

Date	Station	Phase	T.U. h m s
8.V		mb=5,2 (USCGS)	
	NIE	Δ=137,4°	
		e(PKHKP)	
		eiPKIKP	01 02 [illegible]
		Z: 1,3s; 0,020 μ	
8.V		Région des Iles Fidji, USCGS: 17,6°S, 178,9°W, H=04h[illegible] 56,4s, h=543 km; mb=5,3 (USCGS)	
	KRA (SKM)	Δ=144,5°	
		eiPKIKP	05 03 31,1
		Z: 1,4s; 0,139 μ	
		ei	36
	NIE	Δ=144,9°	
		iPKIKP	05 03 34
		Z: 1,0s; 0,076 μ	
		i	39
		ei	06 25
		ei	34
8.V		Iles Kouriles, USCGS: 45,[illegible] 149,6°E, H=07h48m59,8s, h=95 km; mb=5,4 (USCGS)	
	KRA (SKM)	Δ=75,3°	
		eiP	08 00 32,3
	NIE	Δ=75,7°	
		eiP	08 00 34
		Z: 1,0s; 0,014 μ	
		eiPcP	46
	KSP	Δ=75,7°	
		eiP	08 00 35
8.V		Italie du Nord, USCGS: 45,7°N, 9,7°E, H=19h08m23,9s, h normale;	
	KSP	Δ=6,76°	
		eiPn	19 10 01,8
		eiPg	31,8
		iL	12 00
8.V		Italie du Nord, BCIS: 45,[illegible] 9,7°N, H=19h08m24s; MLV=3,[illegible] (Wien)	
	KRA (SKM)	Δ=8,02°. Traces	
		eSg	19 12 41
		ei	51

Date	Station	Phase	T.U. h m s
9.V	NIE	Traces	
		eP	08 55 28
9.V	NIE		
		eiP	14 01 21
		Z: 0,6s; 0,026 μ	
10.V		Iles Andréanov, Aleoutiennes, USCGS: 51,4°N, 179,5°W H=11h39m31,5s, h=61 km; mb=5,3 (USCGS), mPV=5,6 (Kraków)	
	KSP	Δ=77,2°	
		eP	11 51 19
	KRA (SKM)	Δ=77,8°	
		eiP	11 51 22,9 C
		Z: 1,0s; 0,060 μ	
	NIE	Δ=78,4°	
		iP	11 51 26,5 C
		epP	44
11.V		Rift Nord Atlantique à l'Ouest du Spitsberg, BCIS: 79,2°N, 2,5°E, H=00h08m21s	
	NIE	Δ=30,8°	
		eiP	00 14 37
	KRA (SKM)	Δ=30,2°	
		eiP	00 14 40
11.V		Détroit des Moluques, USCGS: 1,0°N, 126,0°E, H=10h45m25,4s, h=24 km; mb=5,4 (USCGS)	
	KRA (SKM)	Δ=99,5°	
		eiP	10 59 13,4
12.V		Sumatra, USCGS: 3,2°S, 101,2°E, H=05h46m48,7s, h=51 km; mb=5,5 (USCGS)	
	NIE	Δ=86,4°	
		iP	05 59 31,5
		Z: 1,1s; 0,009 μ	
		ipP	47
	KSP	Δ=89,2°	
		eP	05 59 39

Date	Station	Phase	T.U. h m s
12.V		Région de la Nouvelle Irlande, USCGS: 3,7°S, 152,1°E, H=16h20m09,2s, h=13 km; mb=5,5 (USCGS)	
	NIE	Δ=119,0°	
		ePKIKP	16 39 01
		i	05
12.V		Région de l'Hindou-Kouch, USCGS: 35,6°N, 69,7°E, H=22h25m03,8s, h=95 km; mb=5,1 (USCGS)	
	NIE	Δ=38,2°	
		iP	22 32 18 C
		Z: 1,1s; 0,029 μ	
		ipP	40
		isP	54
	KRA (SKM)	Δ=38,5°	
		eiP	22 32 19,5 C
		Z: 1,1s; 0,082 μ	
		eisP	55
13.V		Région N de l'Ascension, USCGS: 0,9°S, 13,2°W, H=01h32m36,0s, h normale; mb=5,3 (USCGS), mPV=5,2 (Niedzica), 5,3 (Kraków)	
	KSP	Δ=57,3°	
		eP	01 42 21
	NIE	Δ=57,6°	
		eiP	01 42 27 D
		Z: 0,9s; 0,019 μ	
		eipP	37
	KRA (SKM)	Δ=57,9°	
		eiP	01 42 28,8
		Z: 1,1s; 0,028 μ	
		eipP	31,8
13.V	NIE	Traces	
		eP	03 13 28 D
13.V	NIE	Traces	
		eP	05 12 21
		Z: 1,0s; 0,013 μ	
13.V		Mer d'Arabie, USCGS: 14,8°N, 55,7°E, H=11h19m36,5s, h=11 km; mb=5,0 (USCGS)	

International Seismological Centre

International Seismological Centre

Date	Station	Phase	T.U. h m s
13.V (suite)	NIE	Δ =44,8°	
		eP	11 27 55
	KSP	Δ =47,9°	
		eP	11 28 17
13.V		Mindoro, Philippines, USCGS: 13,6°N, 120,8°E, H=12h55m 42,6s, h=1 km; mb=5,3 (USCGS) mPV=5,3 (Kraków, Niedzica)	
	KRA (SKM)	Δ =86,6°	
		eP	13 08 28
		Z: 0,8s; 0,018 μ	
	NIE	Δ =86,5°	
		eP	13 08 28
		Z: 0,9s; 0,019 μ	
13.V		Région de l'Ile Est, USCGS: 23,7°S, 112,0°W, H=16h31m 52,9s, h normale; mb=5,3 (USCGS)	
	KRA (SKM)	Δ =134,5°. Traces	
		ePKIKP	16 51 11
14.V		Iles Kouriles, USCGS: 44,1°N, 148,2°E, H=02h19m01,6s, h= 64 km; mb=5,5 (USCGS), mPV= 6,3 (Kraków), 6,1 (Niedzica), 5,9 (Książ)	
	KRA (SKM)	Δ =76,2°	
		iP	02 30 43,4 C
		Z: 0,7s; 0,148 μ	
	NIE	Δ =76,5°	
		iP	02 30 45,8
		Z: 0,9s; 0,139 μ	
		iPcP	57,8
	KSP	Δ =76,6°	
		iP	02 30 46,4 C
		Z: 1s; 0,11 μ	
14.V		Région des Iles Fidji, USCGS: 16,6°S, 175,9°E, H=17h11m13,8s h=54 km; mb=5,8 (USCGS)	
	NIE	Δ =141,9°	
		ePKHKP	17 30 37
		e1PKIKP	42
	KSP	Δ =142,1°	
		ePKHKP	17 30 37
		e1PKIKP	43

Date	Station	Phase	T.U. h m s
14.V	KSP		
		e1P	20 33 46
14.V		Sud des Iles Fidji, USCGS: 23,7°S, 179,6°E, H=21h07m 08,8s, h=662 km; mb=4,5 (USCGS)	
	NIE	Δ =149,8°	
		e1PKIKP	21 25 48,1
		Z: 0,9s; 0,014 μ	
	KSP	Δ =150,0°	
		iPKIKP	21 25 49
14.V		Sud des Iles Fidji, USCGS: 22.0°S, 179,1°W, H=21h15m 47,9s, h=501 km; mb=5,4 (USCGS)	
	NIE	Δ =148,8°	
		ePKIKP	21 34 35
		Z: 0,9s; 0,054 μ	
		ei	56
	KRA (SKM)	Δ =148,4°	
		e1PKIKP	21 34 37,9
		Z: 0,7s; 0,033 μ	
	KSP	Δ = 148,5	
		e1PKIKP	21 34 38,6
		Z: 1s; 0,09 μ	
		i	46
15.V		Région Sud du Sinkiang, Chine, USCGS: 39,9°N, 77,8°E, H=04h17m05,8s, h=45 km; mb= 4,4 (USCGS)	
	NIE	Δ =41,1°. Traces	
		e1P	04 24 47,5
		epP	58
15.V		Région Est de Hondo, Japon, USCGS: 37,8°N, 141,8°E, H=06h14m10,7s, h=50 km; mb= 4,8 (USCGS)	
	NIE	Δ =79,1°	
		eP	06 26 11
		Z: 0,9s; 0,011 μ	
15.V			
	KSP	Traces	
		eP	08 52 30

Date	Station	Phase	T.U. h m s
15.V	KSP	Traces	
		eP	13 02 59
15.V	NIE		
		eP	15 12 33
15.V		Région frontière Afghanistan-URSS; USCGS: 37,3°N, 71,7°E, H=18h40m32,8s, h= 126 km; mb=4,9 (USCGS)	
	NIE	Δ =38,6°	
		e1P	18 47 46,5 C
		Z: 0,9s; 0,011 μ	
		e1pP	48 15
	KRA (SKM)	Δ =38,8°	
		e1P	18 47 47,5
		Z: 0,6s; 0,023 μ	
15.V		Autriche, BCIS: 47,1°N, 13,1°E, H=22h50m55s	
	KSP	Δ =4,29°	
		e1Pn	22 51 59,7
		i	52 16
		1Sn	53 09,7
16.V		Région Sud des Iles Fidji, USCGS: 22,0°S, 179,4°W, H= 07h51m00,6s, h=606 km; mb= 4,1 (USCGS)	
	KSP	Δ =148,7°. Traces	
		e1PKIKP	08 15 41,2 D
		Z: 0,6s; 0,025 μ	
		e1PKP2	48
	NIE	Δ =148,7°	
		e1PKIKP	08 15 42 D
		Z: 1,0s; 0,014 μ	
		e1PKP2	48
16.V		Région Sud des Iles Fidji, USCGS: 22,0°S, 179,5°W, H=19h07m29,4s, h=607 km; mb=5,0 (USCGS)	
	NIE	Δ =148,7°. Traces	
		e1PKIKP	19 26 11,4
		Z: 0,9s; 0,015 μ	
		e1PKP2	17

Date	Station	Phase	T.U. h m s
17.V		Iles Tonga, USCGS: 18,1°S, 175,0°W, H=01h44m28,9s, h=215 km; mb=5,0 (USCGS)	
	KSP	Δ =146,1°	
		1PKIKP	02 03 45,2 D
		epPKIKP	04 43
	NIE	Δ =146,6°	
		1PKIKP	02 03 47
		Z: 0,9s; 0,011 μ	
17.V		Iles Kouriles, USCGS: 44,6°N, 149,2°E, H=06h17m46,4s, h normale; mb=5,1 (USCGS), mPV=5,9 (Kraków), 5,6 (Książ), 5,5 (Niedzica)	
	KRA (SKM)	Δ =76,1°	
		1P	06 29 32,5 C
		Z: 0,6s; 0,058 μ	
		e1	38
	KSP	Δ =76,5°	
		e1P	06 29 34
	NIE	Δ =76,5°	
		e1P	06 29 34,6
		Z: 0,9s; 0,040 μ	
		e1	30 00
17.V		Région Sud du Sinkiang, Chine, USCGS: 41,0°N, 82,2°E, H=09h 38m09,9s, h normale; mb=5,5 (USCGS), mPV=5,6 (Kraków)	
	NIE	Δ =43,3°	
		1P	09 46 10
		1sP	28
		e1	47 32
	KRA (SKM)	Δ =43,4°	
		e1P	09 46 10
		Pm	13
		Z: 1,0s; 0,084 μ	
	KSP	Δ =45,5°	
		e1P	09 46 26
17.V		Région Sud de Hondo, Japon. USCGS: 33,1°N, 140,7°E, H=15h44m19,5s, h=62 km; mb=5,5 (USCGS), mPV=5,4 (Niedzica)	
	KRA (SKM)	Δ =82,2°	
		e1P	15 56 34,8
		e1	46

Date	Station	Phase	T.U. h m s	
17.V (suite)	NIE	Δ=82,4°		
		eiP	15 56 36	C
		Z: 0,9s; 0,027 μ		
		iPcP	41,1	
		ei	48	
	KSP	Δ=83,1°		
		eP	15 56 39	
17.V		Colorado, USCGS: 39,793°N, 108,366°W, H=16h00m00,0s, h=0; mb=5,4 (USCGS)		
	KSP	Δ=77,6°		
		eP	16 11 57	
	KRA (SKM)	Δ=79,9°. Traces		
		eP	16 12 07	
17.V		Khorassan, Iran, BCIS: 35,6°N 57,9°E, H=16h11m40s, h=50 ± 10 km; mPV=5,0 (Niedzica), 5,4 (Kraków)		
	NIE	Δ=30,5°		
		eiP	16 17 49	C
		Z: 1,0s; 0,022 μ		
		ei	56	
		i	18 32	
	KRA (SKM)	Δ=30,9°		
		iP	16 17 51,5	C
		Z: 0,7s; 0,049 μ		
		i	56,8	
	KSP	Δ=33,4°		
		eiP	16 18 12,9	
17.V		Sumatra, USCGS: 2,3°S,100,8°E H=19h21m33,9s, h=80 km; mb=5,1 (USCGS)		
	NIE	Δ=85,5°		
		eP	19 34 06	
		eipP	20	
18.V		Iles Kouriles, USCGS: 44,6°N, 149,3°E, H=10h36m50,3s, h normale; mb=5,4 (USCGS), mPV=6,1 (Kraków), 5,9 (Niedzica, Książ)		
	KRA (SKM)	Δ=76,1°		
		iP	10 48 35,7	C
		Z: 1,2s; 0,220 μ		
		i	39,8	

Date	Station	Phase	T.U. h m s	
16.V	KRA (SKD)	iPcP	10 48 50	
		e	11 08 06	
	NIE	Δ=76,5°		
		eiP	10 48 38	C
		Z: 1,0s; 0,107 μ		
		i		
		iPcP	42,5	
			56,4	
	KSP	Δ=76,6°		
		iP	10 48 39,1	C
		NZ: 1,2s; 0,09 μ, 0,16 μ		
		i	43,1	
		NZ: 1,2s; 0,53 μ, 0,09 μ		
18.V		Région de la Nouvelle Bretagne, USCGS: 6,2°S, 151,8°E, h 13h20m10,2s, h=34 km; mb=5,8 (USCGS)		
	NIE	Δ=120,9°		
		ePKIKP	13 39 01	
		Z: 0,9s; 0,029 μ		
		ipPKIKP	13	
19.V		Rift médiane de l'Atlantique Nord, BCIS: 57,5°N, 33,4°W, H=00h37m22s; MLV=5,3 (Mos)		
	KSP	Δ=29,3°		
		eP	00 43 20	
	WAR (SKD)	Δ=31,1°		
		eP	00 43 35	
		ePP	44 41	
		eS	48 45	
	KRA (Ch) (SKD)	Δ=31,8°		
		eP	00 43 42	
		eS	49 25	
19.V				
	NIE			
		eP	02 01 08	
		Z: 0,6s; 0,017 μ		
		i	29,5	
20.V		Alaska, USCGS: 61,0°N, 152,4°W, H=18h18m18,0s, h=118 km; mb=4,9 (USCGS)		
	KSP	Δ=68,1°		
		iP	18 29 06,2	C
	NIE	Δ=70,0°		
		eiP	18 29 17	
		Z: 1,0s; 0,016 μ		

Date	Station	Phase	T.U. h m s	
21.V	NIE			
		eiP	03 41 46,8	
		Z: 1,0s; 0,010 μ		
	KSP			
		iP	03 41 56,8	D
21.V		Région des Iles Fidji, USCGS 20,2°S, 178,0°W, H=04h59m38,6s h=550 km; mb=5,1 (USCGS)		
	KSP	Δ=147,4°		
		iPKIKP	05 18 25,8	D
		Z: 0,6s; 0,02 μ		
21.V				
	NIE	Traces		
		eiP	18 16 03	
		Z: 0,6s; 0,013 μ		
21.V		Région des Iles Samoa, USCGS: 16,1°S, 172,1°W, H=23h08m 17,6s, h normale; mb=5,0 (USCGS)		
	NIE	Δ=145,5°		
		iPKIKP	23 27 53,5	
		Z: 1,0s; 0,012 μ		
22.V		Sud du Péloponèse, BCIS: 36,8°N, 22,3°E, H=15h26m14s; ML=4,1 (Athènes)		
	KSP	Δ=14,7°		
		eiP	15 29 43	
22.V		Iles Tonga, USCGS: 20,9°S, 174,0°W, H=17h05m25,7s, h normale; mb=5,1 (USCGS)		
	NIE	Δ=149,5°		
		ePKHKP	17 25 08	
		eiPKIKP	11,5	
		Z: 1,0s; 0,015 μ		
		ipPKIKP	21	
		i	31	
22.V				
	NIE	Traces		
		eiP	20 24 30	
22.V		Est de la Nouvelle Guinée, USCGS: 10,0°S, 150,3°E, H=22h04m58,4s, h=13 km; mb=5,5 (USCGS)		

Date	Station	Phase	T.U. h m s	
22.V	NIE	Δ=123,1°		
		eiPKIKP	22 23 53,6	
		ipPKIKP	24 00,7	
23.V				
	NIE			
		eP	00 06 19	
		Z: 0,9s; 0,008 μ		
	KSP			
		eiP	00 06 22,1	
23.V				
	NIE			
		eiP	00 20 49,6	
		Z: 0,6s; 0,015 μ		
		e	21 08	
23.V				
	NIE	Traces		
		eP	09 16 14	
		Z: 0,8s; 0,012 μ		
23.V		Région de l'Ile Ascension, USCGS: 5,0°S, 11,0°W, H=10h17m59,6s, h normale; mb=4,8 (USCGS)		
	NIE	Δ=60,7°		
		eP	10 28 12	
23.V				
	NIE			
		iP	13 17 28,8	
		i	44,5	
24.V		Région des Iles Philippines, USCGS: 20,3°N, 121,3°E, H=01h52m47,3s, h normale; mb=5,0 (USCGS)		
	KRA (SKM)	Δ=81,8°		
		eP	02 05 03	
	NIE	Δ=81,8°		
		eiP	02 05 04,5	
		Z: 1,1s; 0,006 μ		
		eisP	18	
	KSP	Δ=83,5°		
		eiP	02 05 13,4	
24.V		Iles Andreanov, Aléoutiennes, USCGS: 51,6°N, 173,4°W, H=18h47m11,6s, h=43 km; mb=5,4 (USCGS), mPV=5,8 (Kraków)		

International Seismological Centre

Date	Station	Phase	T.U. h m s
24.V (suite)		5,6 (Niedzica)	
	KRA (Ch)	Δ=78,3°	
		iP	18 59 07,2 C
		Z: 1,0s; 0,085 µ	
		isP	20
		eS	19 09 53
	NIE	Δ=78,9°	
		iP	18 59 11,5
		Z: 0,9s; 0,046 µ	
		iPcP	16,5
24.V		Iles Kouriles, USCGS: 45,5°N, 150,7°E, H=20h54m15,8s, h normale; mb=4,8 (USCGS)	
	NIE	Δ=76,3°. Traces	
		eP	21 06 02
24.V		Région du Pakistan, USCGS: 25,5°N, 66,5°E, H=08h39m53,9s, h=57 km; mb=4,9 (USCGS)	
	KRA (SKM)	Δ=43,2°	
		eP	08 47 50
	KSP	Δ=45,7°	
		eP	08 48 10
25.V			
	NIE		
		iP	12 29 54 C
		Z: 0,3s; 0,114 µ	
		i	56,5
25.V		Sud de l'Alaska, USCGS: 53,2°N 161,3°W, H=13h17m26,1s, h=39 km; mb=4,9 (USCGS)	
	KSP	Δ=76,3°	
		eP	13 28 12
25.V		Sud des Iles Fidji, USCGS: 23,1°S, 176,1°W, H=17h46m39,5s h normale; mb=4,9 (USCGS)	
	KSP	Δ=150,7°	
		ePKP$_2$	18 06 30
26.V		Région de Hondo, Japon, USCGS: 37,2°N, 141,4°E, H=02h15m35,4s h=56 km; mb=5,0 (USCGS)	

Date	Station	Phase	T.U. h m s
26.V	KSP	Δ=79,9°	
		eP	
		eipP	02 27 30
			44
	KRA (SKM)	Δ=79,1°	
		eiP	
		eipP	02 27 34,1
			49
	NIE	Δ=79,4°	
		eP	02 27 37
		Z: 1,0s; 0,009 µ	
		epP	49
26.V		Iles Andreanov, Aléoutiennes USCGS: 51,4°N, 179,7°W, H=12h19m34,4s, h=39 km; mb=5,1 (USCGS), mPV=6,0 (Kraków), MLH=5,9 (Kraków)	
	KSP	Δ=77,2°	
		eiP	12 31 25,2
	KRA (SKM)	Δ=77,8°	
		eiP	12 31 28,1
		Z: 0,9s; 0,121 µ	
	(GW)	ePP	34 28
		Lm	13 22,8
		NEZ: 15s; 4,6 µ, 1,8 µ, 1,1 µ	
	NIE	Δ=78,4°	
		eiP	12 31 31,5
		iPcP	33
		i	41,5
26.V		Iles Andreanov, Aléoutiennes USCGS: 51,3°N, 179,7°W, H=13h12m10,1s, h=56 km; mb=4,1 (USCGS)	
	KSP	Δ=77,3°	
		eP	13 23 59
	NIE	Δ=78,5°	
		eiP	13 24 05
26.V			
	NIE		
		eP	20 10 27
26.V			
	KSP	Traces	
		eiP	20 50 33,1

Date	Station	Phase	T.U. h m s
27.V		Région des Iles Fidji, USCGS 21,3°S, 177,9°W, H=06h38m 13,4s, h=422 km; mb=5,0 (USCGS)	
	KSP	Δ=148,5°	
		ePKIKP	06 57 08
		iPKP$_2$	12,0
		i	17,3
	NIE	Δ=148,6°	
		ePKIKP	06 57 10
		eiPKP$_2$	13
		i	19
		i	32
27.V			
	NIE		
		eiP	17 58 24
28.V		Région des Iles Mascareignes USCGS: 18,1°S, 65,3°E, H=20h27m11,2s, h normale; mb=5,0 (USCGS)	
	KRA (SKM)	Δ=78,6°	
		eP	20 39 12
29.V			
	NIE		
		eiP	01 21 35,5
		Z: 0,6s; 0,013 µ	
29.V		Iles Aléoutiennes, USCGS: 51,7°N, 176,2°E, H=01h46m 44,9s, h=46 km; mb=5,2 (USCGS)	
	KSP	Δ = 76,4	
		eiP	01 58 30,5
		i	32,5
		e pP	44
	KRA (SKM)	Δ =76,9	
		eiP	01 58 32,9
		i	36,5
		ei	58,1
	(SKD)	e	02 08 29
		e	17 19
		eL	23,8
	NIE	Δ=77,4	
		iP	01 58 36
		i	40
		i pP	49

Date	Station	Phase	T.U. h m s
29.V	NIE	i	01 58 58,5
		ei	59 15,5
29.V	KRA (SKM)	eiP	02 02 43,4
		i	50,1
29.V	KRA	Mer du Groenland, USCGS: 73,7°N, 9,5°E, H=04h51m57,9s, h normale; mb=4,8 (USCGS), mPV=5,5 (Niedzica)	
	NIE	Δ=25,1°	
		eiP	04 57 19,5
		Z: 0,9s; 0,011 µ	
		ipP	30
29.V			
	NIE	Traces	
		eiP	05 26 09
29.V		Région de l'Ile Unimaque, USCGS: 54,0°N, 163,8°W, H=06h14m22,3s, h=30 km; mb=6,0 (USCGS), mPV=6,2 (Kraków), 5,9 (Niedzica)	
	KSP	Δ=75,5°	
		eiP	06 26 04,9 C
		Z: 1s; 0,10 µ	
		i	12
	KRA (SKM)	Δ=76,5°	
		iP	06 26 09,1
		Pm	10,6
		Z: 1,0s; 0,240 µ	
		i	15,1
	(SKD)	eS	35 33
		eL	51,2
	NIE	Δ=77,2°	
		iP	06 26 14
		Z: 1,0s; 0,092 µ	
		iPP	22
		isP	28
29.V			
	NIE	Traces	
		eiP	08 08 52
		Z: 0,8s; 0,021 µ	
30.V		Équateur, USCGS: 2,3°S, 78,5°W, H=04h38m01,8s, h=111 km; mb=5,7 (USCGS)	

International Seismological Centre

International Seismological Centre

Date	Station	Phase	T.U. h m s
30.V (suite)	KSP	Δ=94,8°	
		eiP	04 51 13,3
		i	54 17
	NIE	Δ=97,5°	
		eP	04 51 26
	KRA (SKD)	Δ=97,2°	
		eiPP	04 55 21
		i	05 03 58
30.V	NIE		
		eiP	14 55 02
		ei	38
31.V		Près de Guatémala, USCGS: 13,9°N, 90,9°W, H=05h39m18,8s h=99 km; mb=5,4 (USCGS)	
	KRA (SKM)	Δ=92,4°	
		eP	05 52 19
	NIE	Δ=92,9°	
		eP	05 52 22
31.V	NIE		
		eP	13 59 41,5
		iP	43
		i	14 00 00
	KRA (SKM)	eiP	13 59 54
		ei	14 00 17,5
		Z: 0,7s; 0,020 μ	
		ei	26
31.V	NIE		
		eP	14 15 16

Date	Station	Phase	T.U. h m s
31.V		Iles aux Rats, Aléoutiennes, USCGS: 51,3°N, 176,3°E, H=17h36m52,9s, h=10 km; mb=4,7 (USCGS)	
	KSP	Δ=76,8°	
		eiP	17 48 45
	KRA (SKM)	Δ=77,3°	
		iP	17 48 45
		Z: 1,0s; 0,048 μ	
31.V		Région frontière Birmanie-Inde, USCGS: 24,3°N, 93,6°E, H=23h39m56,7s, h=30 km; mb=5,9 (USCGS), mPV=6,1 (Niedzica), 5,7 (Kraków)	
	NIE	Δ=61,2°	
		eiP	23 50 10
		Pm	12,1
		Z: 0,9s; 0,156 μ	
		ipP	20,1
		isP	25,1
		ipPcP	43
	KRA (Ch)	Δ=61,4°	
		eP	23 50 11
		Pm	12,1
		Z: 0,9s; 0,062 μ	
		isP	26
		ipPcP	41,5
	(GW)	eiPP	52 40
	WAR (SKD)	Δ=60,5°	
		eiPP	23 52 32
		eiS	58 13
		ei	26
		eL	00 03,2
	KSP	Δ=63,6°	
		iP	23 50 26,0

1973	J U I N	
1.VI		Océan Indien, USCGS: 47,8°S, 99,7°E, H=07h22m57,0s, h normale; mb=5,8(USCGS)
	NIE	Δ=118,4°
		ePKIKP 07 41 50
1.VI	KSP	Traces
		eP 13 13 48

1.VI	NIE		
		iP	16 16 02,0
		Z: 0,9s; 0,015 μ	
		ei	06
	KRA (SKM)	ei(P)	16 16 06

Date	Station	Phase	T.U. h m s
1.VI		Région des Iles Fidji, USCGS: 20,8°S, 178,6°W, H=20h00m 28,3s, h=613 km; mb=4,6 (USCGS)	
	NIE	Δ=147,9°	
		ePKIKP	20 19 07
		Z: 0,9s; 0,010 μ	
		iPKP2	12
2.VI		Région de République Dominicaine, USCGS: 19,6°N, 70,6°W, H=20h07m30,5s, h=40 km; mb=5,2(USCGS)	
	NIE	Δ=76,0°. Traces	
		eP	20 19 16
3.VI		Sinkiang, Chine, USCGS: 44,1°N, 83,6°E, H=23h57m04,2s h=26 km; mb=5,8(USCGS), mPV=6,2(Niedzica)	
	WAR (SKD)	Δ=41,2°	
		ei P	00 04 58
		eiPP	06 32
		eiS	11 00
		Lm	22 08
		EZ: 16s; 20 μ, 20 μ	
	NIE	Δ=42,6°	
		iP	00 05 00
		ipP	10
		isP	16
		i	36
4.VI		Région Sud de Hondo, Japon, USCGS: 33,3°S, 140,4°E, H=02h43m24,3s, h=62 km; mb=4,4(USCGS)	
	NIE	Δ=82,1°. Traces	
		eP	02 55 40
4.VI		Sud des Iles Fidji, USCGS: 23,4°S, 179,9°W, H=09h23m 40,1s, h=554 km; mb=5,0 (USCGS)	
	NIE	Δ=149,7°	
		ePKIKP	09 42 23
		i	29
		Z: 1,0s; 0,035 μ	
		i	37

Date	Station	Phase	T.U. h m s
4.VI		Région de la Nouvelle Bretagne, USCGS: 5,8°S, 151,3°E, H=13h02m38,0s, h=77 km; mb=4,7(USCGS)	
	NIE	Δ=120,3°	
		eiPKIKP	13 21 23
		Z: 0,8s; 0,013 μ	
5.VI		Nouvelles Hébrides, USCGS: 17,2°S, 167,8°E, H=03h12m25,8s, h=24 km; mb=5,6(USCGS)	
	WAR (SKD)	Δ=136,5°	
		ePKIKP	03 31 46
		eiPP	34 28
		eiPKS	35 20
		eL	04 06,0
		Lm	26 02
		Z: 32s; 5 μ	
	NIE	Δ=138,7°	
		ePKIKP	03 31 43
		eiPKIKP	52
		i	32 06,5
		Z: 1,0s; 0,011 μ	
5.VI	KSP		
		eiP	09 27 00,4
5.VI		Taiwan, USCGS: 23,2°N, 121,5°E, H=13h29m44,2s, h normale; mb=4,6(USCGS)	
	KSP	Δ=81,4°	
		eiP	13 41 59,8
5.VI		Nevada, USCGS: 37,185°N, 116,215°W H=17h00m00,2s, h=0 km; mb=5,1 (USCGS)	
	KRA (SKM)	Δ=85,1°. Traces	
		eP	17 12 37
	NIE	Δ=85,8°	
		iP	17 12 41,5 D
		Z: 1,0s; 0,010 μ	
		ei	48
5.VI		Région de Honda, Japon, USCGS: 38,4°N, 142,2°E, H=22h52m26,7s, h=44 km; mb=4,7(USCGS), mPV=4,9(Niedzica)	
	NIE	Δ=78,8°	

International Seismological Centre

Date	Station	Phase	T.U. h m s
5.VI (suite)	NIE	eiP	23 04 26
		Z: 0,9^{s}; 0,009 μ	
		epP	38
6.VI		Sinkiang, Chine, USCGS: 39,7°N, 74,8°E, H=02^{h}15^{m}41,9^{s} h=20 km; mb=4,7(USCGS), mPV=4,6(Niedzica)	
	NIE	Δ =39,3°	
		eiP	02 23 11
		Z: 1,0^{s}; 0,009 μ	
6.VI			
	NIE		
		iP	03 46 55,0 D
		Z: 0,7^{s}; 0,013 μ	
		ei	58
6.VI		Nevada, USCGS: 37,245°N, 116,346°W, H=13^{h}00^{m}00,1^{s}, h=0 km; mb=6,1(USCGS), mPV=6,3(Kraków), 6,1(Niedzica)	
	KRA	Δ =85,1°	
	(Ch)	iP	13 12 36,2 C
		Z: 1,4^{s}; 0,321 μ	
		ei	42
		i	13 00,6
	NIE	Δ =86,4°	
		iP	13 12 40,5 C
		Z: 1,0^{s}; 0,143 μ	
		i	42,5
6.VI		Région de l'Hindou-Kouch, USCGS: 36,3°N, 70,6°E, H=15^{h} 51^{m}17,1^{s}, h=220 km; mb=5,1 (USCGS)	
	NIE	Δ =38,4°	
		iP	15 58 20 C
		Z: 0,6^{s}; 0,039 μ	
		ei	27
		eipP	59 06
		eisP	30
	KRA	Δ =38,6°	
	(SKM)	iP	15 58 21 D
		Z: 0,4^{s}; 0,035 μ	
6.VI			
	NIE		
		iP	16 39 36
		Z: 0,9^{s}; 0,016 μ	

Date	Station	Phase	T.U. h m s
6.VI		Montenegro, Yougoslavie, BCIS: 42,4°N, 18,7°E, H=21 11^{m}21^{s}; M=5,5(Trieste)	
	NIE	Δ =6,88°	
		iPn	21 13 07,1
		Z: 1,0^{s}; 0,020 μ	
		i	11
		ei	15
	KRA	Δ =7,49°	
	(SKM)	ePn	21 13 15
		ei	21
		iSn	14 41,4
6.VI			
	KSP		
		eiP	23 48 08,9
	NIE	Traces	
		iP	23 48 10,0
		Z: 0,8^{s}; 0,010 μ	
7.VI		Région des Iles Macquarie, 53,9°S, 159,4°E, H=02^{h}43^{m}31,(h normale; mb=5,8(USCGS)	
	NIE	Δ =154,4°	
		eiPKHKP	03 03 28,5
		Z: 0,7^{s}; 0,011 μ	
		eiPKP$_2$	43
7.VI		Région du Mexique, USCGS: 1 92,0°W, H=18^{h}32^{m}42,9^{s}, h=7 mb=5,5(USCGS)	
	KRA	Δ =92,8°. Traces	
	(SKM)	eP	18 45 47
	NIE	Δ =93,3°	
		eiP	18 45 51,5
		Z: 0,7^{s}; 0,017 μ	
		ei	57
		epP	46 12
7.VI		Guatémala, USCGS: 14,2°N, H=18^{h}34^{m}46,3^{s}, h=70 km; (USCGS), mPV=5,1(Niedzica)	
	KRA	Δ =92,8	
	(SKM)	iP	18 47 52
	NIE	Δ =93,3°	
		eiP	18 47 57
		Z: 1,1^{s}; 0,010 μ	

Date	Station	Phase	T.U. h m s
7.VI		Région Sud des Iles Fidji, USCGS: 22,1°S, 176,8°W, H=18^{h}55^{m}43,4^{s}, h=220 km; mb=5,2(USCGS)	
	KRA	Δ =149,4°	
	(SKM)	eiPKHKP	19 15 07,3
	NIE	Δ =149,8°	
		ePKIKP	19 15 05
		iPKHKP	09,0
		Z:-1,4^{s}; 0,139 μ	
		eiPKP$_2$	15,5
		i	21,0
8.VI		Iles Kouriles, USCGS: 45,4°N, 151,0°E, H=00^{h}23^{m}05,4^{s}, h normale; mb=4,8(USCGS), mPV=4,9(Niedzica)	
	NIE	Δ =76,5°	
		eiP	00 34 53,5
		Z: 0,9^{s}; 0,009 μ	
		epP	35 15
8.VI		Nouvelles Hebrides, USCGS: 17,5°S, 167,7°E, H=01^{h}01^{m} 11,4^{s}, h=21 km; mb=5,2(USCGS)	
	NIE	Δ =138,9°	
		ePKHKP	01 20 29
		eiPKIKP	37,5
		i	41,5
	KRA	Δ =138,7°	
	(SKM)	ePKIKP	01 20 39
	(SKD)	ePP	23 23
		eL	02 11 51
8.VI		Région de Hondo, Japon, USCGS: 36,1°N, 140,0°E, H=10^{h} 24^{m}48,1^{s}, h=80 km; mb=4,8 (USCGS)	
	KSP	Δ =78,0	
		eiP	10 36 50,8
8.VI		Iran, USCGS: 26,6°N, 61,0°E, H=21^{h}49^{m}56,8^{s}, h normale; mb=4,6(USCGS)	
	KRA	Δ =39,0°. Traces	
	(SKM)	eP	21 57 24
9.VI		Mer de Bismark, USCGS: 3,4°S, 147,0°E, H=01^{h}05^{m}13,9^{s},	

Date	Station	Phase	T.U. h m s
9.VI		h=17 km; mb=5,0(USCGS)	
	NIE	Δ =115,8°	
		ePKIKP	01 24 00
9.VI			
	KRA		
	(SKD)	eL	02 04,6
9.VI		Région E du Kamtchatka, USCGS: 53,9°N, 160,5°E, H=01^{h}37^{m}21,4^{s}, h normale; mb=5,3(USCGS)	
	KRA	Δ =71,4°. Traces	
	(SKM)	eP	01 48 39
	NIE	Δ =71,1°	
		eP	01 48 41
		Z: 1,0^{s}; 0,012 μ	
		eipP	50
9.VI		Région des Iles Kouriles, USCGS: 44,1°N, 151,7°E, H=03^{h}43^{m}09,1^{s}, h=34 km; mb=5,0(USCGS), mPV=4,8 (Niedzica)	
	NIE	Δ =77,8°	
		eiP	03 55 05
		Z: 1,0^{s}; 0,009 μ	
		eiPcP	11
		eipP	15
9.VI		Sinkiang, Chine, USCGS: 41,0°N, 82,3°E, H=04^{h}19^{m}14,3^{s}, h normale; mb=5,1(USCGS), mPV=4,8(Niedzica), 5,3(Kraków)	
	NIE	Δ =43,4°	
		iP	04 27 15
		Z: 0,9^{s}; 0,010 μ	
		i	17
		eisP	29,5
	KRA	Δ =43,5°. Traces	
	(SKM)	eiP	04 27 16,5
		Z: 0,9^{s}; 0,032 μ	
9.VI		Chine, USCGS: 39,4°N, 95,4°E, H=08^{h}18^{m}32,5^{s}, h normale; mb=5,0(USCGS)	
	NIE	Δ =52,6°	
		eiP	08 27 45,5 C
9.VI		Iles Salomon, USCGS: 10,3°S, 161,4°E, H=08^{h}21^{m}27,3^{s}, h=70 km; mb=6,3(USCGS), MLH=6,0(Kraków)	

Date	Station	Phase	T.U. h m s
9.VI (suite)	KRA (SKM)	Δ =129,4°	
		ePKIKP	08 40 28,7
		Z: 1,3s; 0,073 μ	
		i	48,5
		ei	42 38
		Lm	09 00 37
		NE: 7,0s; 1,1 μ, 0,8 μ	
	NIE	Δ =129,6°	
		iPKIKP	08 40 29,5 C
		Z: 1,5s; 0,071 μ	
		ipPKIKP	49
		m	52
		Z: 1,5s; 0,27 μ	
		i	41 02
		i	28
		iPP	42 41
	WAR (SKD)	Δ =127,3°	
		ei(PKIKP)	08 40 46
		eiPP	42 24
		ei	43 44
		eLm	09 34,1
		NEZ: 24s; 9 μ, 15 μ, 14 μ	
9.VI		Iran méridional, BCIS: 27,8°N, 52,4°E, H=20h36m12s, mb=4,7 (USCGS)	
	NIE	Δ =32,5°	
		eP	20 42 43
9.VI		Région des Iles Andaman, USCGS: 11,6°N, 95,1°E, H=21h 57m14,1s, h normale; mb=5,0 (USCGS), mPV=5,0(Niedzica), 5,3(Kraków)	
	NIE	Δ =71,4°	
		iP	22 08 32,5
		Z: 1,0s; 0,013 μ	
		eiPcP	51
	KRA (SKM)	Δ =71,6°	
		eP	22 08 34
		Z: 0,9s; 0,021 μ	
		eipP	42
9.VI		Région E du Kamtchatka, USCGS: 52,9°N, 160,1°E, H=22h45m58,9s h normale; mb=5,4(USCGS), mPV=5,9(Kraków,Książ), 5,7 (Niedzica)	

Date	Station	Phase	T.U. h m s
9.VI	KRA (SKM)	Δ =72,3°	
		iP	22 57 21,2
		Z: 0,9s; 0,11 μ	
	KSP	Δ =72,2°	
		iP	22 57 21,8
	NIE	Δ =72,7°	
		iP	22 57 24,0
		Z: 1,0s; 0,061 μ	
		i	28
		eipP	33
		ePcP	43
10.VI		Région E du Kamtchatka, USCG 53,1°N, 160,0°E, H=23h55m47 h normale; mb=4,6(USCGS)	
	NIE	Δ =72,5°	
		eiP	00 10 12
10.VI		Sud du Sinkiang, Chine, USCG 39,5°N, 74,8°E, H=16h08m42,9 h normale; mb=5,2(USCGS), m 5,4(Niedzica), 5,8(Kraków), 5,3(Książ)	
	NIE	Δ =39,4°	
		eP	16 16 10
		Z: 0,8s; 0,044 μ	
		i	16
		eipP	21
	KRA (SKM)	Δ =39,5°	
		iP	16 16 11,2
		Z: 0,6s; 0,085 μ	
	KSP	Δ =41,7°	
		eP	16 16 29
		Z: 1,0s; 0,04 μ	
11.VI		Au Nord de Zagreb, Yougoslav BCIS: 46,2°N, 16,1°E, H=03h	
	NIE	Δ =4,12°	
		ePn	03 16 45
		Z: 0,6s; 0,017 μ	
		iPg	17 01
		i	07
		iSn	35
		eiSg	55
	KSP	Δ =4,64°	
		ePn	03 16 50
		i	18 03

Date	Station	Phase	T.U. h m s
11.VI (suite)	KSP	NEZ: 1,0s; 0,12 μ, 0,15 μ, 0,28 μ	
		i	03 18 26
11.VI		Région du Kamtchatka, USCGS: 53,7°N, 161,6°E, H=08h42m04,0s h=30 km; mb=5,6(USCGS), MLH= 6,2(Kraków), 6,8(Warszawa)	
	WAR (SKD)	Δ =69,0°	
		iP	08 53 12
		eisP	26
		eiS	09 02 20
		i	30
		eiScS	03 24
		Lm	28,0
		NEZ: 16s; 40 μ, 34 μ, 19 μ	
	KRA (SKM) (GW)	Δ =71,9°	
		eiP	08 53 24,7
		Pm	27
		Z: 4,0s; 1,912 μ	
		isS	40
		eiS	09 02 47
		Lm	29,6
		NEZ: 14s; 8,1 μ, 4,6 μ, 2,3 μ	
	KSP	Δ =71,8°	
		iP	08 53 25
		isP	37
		Z: 0,8s; 0,08 μ	
	NIE	Δ =72,4°	
		eiP	08 53 27,5
		isP	41
		i	54 10
11.VI		Samar, Philippines, USCGS: 11,6°N, 125,8°E, H=10h14m 29,9s, h=20 km; mb=5,3(USCGS)	
	NIE	Δ =91,2°	
		eiP	10 27 35,0 D
		Z: 0,8s; 0,012 μ	
11.VI		Région frontière URSS - Afghanistan, USCGS: 36,7°N, 71,3°E H=20h06m07,1s, h=97 km; mb= 4,9(USCGS)	
	NIE	Δ =38,6°	
		iP	20 13 23,5 D
		Z: 0,9s; 0,017 μ	
12.VI		Région du Kamtchatka, USCGS:	

Date	Station	Phase	T.U. h m s
12.VI		33,6°N, 161,6°E, H=06h44m01,9s, h normale; mb=4,8(USCGS)	
	NIE	Δ =72,5°. Traces	
		eP	06 55 25
		eisP	38
12.VI		Région du Kamtchatka, USCGS: 53,6°N, 161,6°E, H=14h21m24,2s, h normale; mb=5,4(USCGS), mPV= 6,1(Kraków), 5,2(Niedzica)	
	WAR (SKD)	Δ =69,0°	
		eP	14 32 32
		ePS	42 00
		eL	15 07,0
	KRA (SKM)	Δ =72,0°	
		eiP	14 32 44,6 C
		Z: 1,7s; 0,299 μ	
	(SKD)	eS	42 17
		eL	15 00,5
	KSP	Δ =71,8°	
		iP	14 32 44,7 C
		i	48,7
		i	56
	NIE	Δ =72,5°	
		iP	14 32 48,0 C
		Z: 1,1s; 0,024 μ	
		eisP	33 02
		iPcP	10
12.VI		Hokkaido, Japon, USCGS: 41,6°N, 139,2°E, H=15h24m42,1s, h=199 km; mb=4,8(USCGS)	
	NIE	Δ =74,8°	
		eiP	15 36 02
		Z: 0,6s; 0,019 μ	
		ei	09
12.VI		Région Sud des Iles Fidji, USCGS: 25,8°S, 177,4°W, H=19h 03m40,9s, h=45 km; mb=4,7(USCGS)	
	NIE	Δ =152,9°	
		$ePKP_2$	19 23 37
		$eipPKP_2$	49
12.VI		Autriche, BCIS: 47,5°N, 15,4°E, H=21h02m58s	
	KSP	Δ =3,39°	
		iPn	21 03 51,6
		$i(P^x)$	58,6

International Seismological Centre

International Seismological Centre

Date	Station	Phase	T.U. h m s
12.VI (suite)	KSP	iS^X	21 04 43
		eiL	05 08
	NIE	Δ=3,78°	
		eiPn	21 03 57
		Z: 0,6s; 0,022 µ	
		iPg	04 10
	KRA (SKM)	Δ=3,96°	
		e(P^X)	21 04 07
		iPg	14
		iSn	52
		iSg	05 19
13.VI		Iles Kouriles, USCGS: 47,0°N, 151,0°E, H=00h20m49,5s, h=142 km; mb=5,5(USCGS)	
	KRA (SKM)	Δ=74,7°	
		iP	00 32 13,0 C
		Z: 0,7s; 0,058 µ	
		eisP	33 00
	KSP	Δ=75,0°	
		iP	00 32 15,5 C
		i	29
		eisP	33 04
	NIE	Δ=75,1°	
		iP	00 32 16 C
		Z: 0,8s; 0,060 µ	
		iPcP	30
		Z: 0,9s; 0,037 µ	
13.VI			
	NIE	Traces	
		eiP	01 10 16
		Z: 0,8s; 0,018 µ	
13.VI		Région du Kamtchatka, Moskva: 53,8°N, 161,0°E, H=16h00m59s	
	KSP	Δ=71,6°	
		eP	16 12 18
13.VI			
	KSP		
		iP	21 21 01,7 C
		Z: 0,7s; 0,075 µ	
		i	10,7
14.VI		Région des Iles Fidji, USCGS: 21,1°S, 78,8°W, H=03h31m30,9s, h=593 km; mb=5,2(USCGS)	
	KSP	Δ=148,0°	

Date	Station	Phase	T.U. h m s
14.VI	KSP	ePKIKP	
		i	03 50 07
		Z: 0,8s; 0,10 µ	11,
		i	
		Z: 1,0s; 0,08 µ	18,
	KRA (SKM)	Δ=147,7°	
		$iPKP_2$	03 50 10,
		Z: 0,6s; 0,043 µ	
		i	15,
14.VI		Région de l'Hindou-Kouch, USCGS: 36,4°N, 70,8°E, H=[illegible] 20m29,2s, h=203 km; mb=5, (USCGS)	
	NIE	Δ=38,5°	
		iP	18 27 34,
		Z: 0,9s; 0,014 µ	
		eipP	28 12
14.VI			
	NIE	Traces	
		eP	19 05 09
		ei	07 20
15.VI			
	NIE	Traces	
		eiP	04 46 10,5
		Z: 0,7s; 0,011 µ	
15.VI		Région du Kamtchatka, USCGS: 53,5°N, 161,4°E, H_I=11h20m[illegible], H_{II}=11h20m51,5s, h normale; mb_I=5,0, mb_{II}=5,6(USCGS), 6,2(Kraków)	
	WAR (SKD)	Δ=69,0°	
		eP_{II}	11 31 56
		$eipP_{II}$	32 08
		ei	38 08
		eS_{II}	41 00
		$eiPS_{II}$	41 24
		ei	42 12
		eL	47,0
		Lm	12 00 02
		E: 18s; 40 µ	
		Lm	06 00
		NZ: 16s; 18s; 39 µ, 39 µ	
	KRA (SKM)	Δ=72,1°	
		eP_I	11 32 05,4
		eiP_{II}	11,4

Date	Station	Phase	T.U. h m s
15.VI (suite)	KRA (GW)	i	11 32 20,4
		eS_{II}	41 19
		Lm	12 08,3
		NEZ: 15s; 10,8 µ, 7,2 µ, 4,1 µ	
	KSP	Δ=72,0°	
		eiP_I	11 32 03,8
		Z: 0,8s; 0,07 µ	
		iP_{II}	10,8
		m	13,8
		Z: 0,8s; 0,13 µ	
		i	26,8
15.VI		Iles Andreanov, Aléoutiennes, USCGS: 51,3°N, 179,4°W, H=12h11m02,3s, h=48 km; mb=5,8(USCGS), mPV=6,2(Kraków)	
	KRA (SKM)	Δ=77,9°	
		iP	12 22 55,4 C
		Pm	56,9
		Z: 0,7s; 0,156 µ	
15.VI		Région du Kamtchatka, USCGS: 53,6°N, 161,8°E, H=13h16m 56,1s, h=39 km; mb=5,1(USCGS)	
	KSP	Δ=72,5°	
		iP	13 28 16,8 D
		Z: 1,0s; 0,070 µ	
		ipP	28,8
15.VI		Iles Andreanov, Aléoutiennes USCGS: 51,3°N, 179,4°W, H=13h38m23,1s, h=50 km; mb=5,4(USCGS), mPV=5,7(Kraków)	
	KRA (SKM)	Δ=77,9°	
		iP	13 50 16,3 D
		Pm	17,0
		Z: 0,9s; 0,063 µ	
		eipP	31
15.VI		Californie, USCGS: 41,2°N, 125,5°W, H=19h18m51,7s, h normale; mb=5,2(USCGS), mPV=5,6(Kraków), 5,1 (Niedzica)	
	KRA (SKM)	Δ=84,4°	
		eiP	19 31 21,7
		Z: 1,1s; 0,055 µ	

Date	Station	Phase	T.U. h m s
15.VI	KRA	eipP	19 31 30,2
	NIE	Δ=85,1°	
		eiP	19 31 25 D
		Z: 1,0s; 0,013 µ	
		epP	32
		esP	42
15.VI		Région du Kamtchatka, USCGS: 53,6°N, 161,6°E, H=21h09m41,7s, h=45 km; mb=5,5(USCGS), mPV=6,0(Kraków), 5,4(Niedzica)	
	WAR (SKD)	Δ=69,0°	
		eP	21 20 46
		eiS	29 56
		e	30 08
		eL	21 46,0
	KRA (SKM)	Δ=72,0°	
		iP	21 21 01,2 C
		Pm	02,7
		Z: 1,4s; 0,189 µ	
	(SKD)	eiPKKS	44 07
		eL	50 29
	NIE	Δ=72,5°	
		eiP	21 21 04,0 C
		Pm	05,5
		Z: 1,1s; 0,037 µ	
		eipP	13
		isP	25
15.VI		Région Sud des Iles Fidji, USCGS: 25,9°S, 177,4°W, H=23h 04m58,6s, h=94 km; mb=5,6(USCGS)	
	KRA (SKM)	Δ=152,6°	
		ePKIKP	23 24 38
		iPKHKP	45,2
		Z: 1,2s; 0,138 µ	
		$iPKP_2$	55,2
	KSP	Δ=153,0°	
		ePKIKP	23 24 38
		ePKHKP	46
		Z: 0,9s; 0,08 µ	
		$iPKP_2$	58
		Z: 1,0s; 0,16 µ	
	NIE	Δ=153,0°	
		iPKIKP	23 24 38,5 C
		Z: 0,9s; 0,014 µ	
		iPKHKP	46

International Seismological Centre

Date	Station	Phase	T.U. h m s
15.VI (suite)	NIE	Z: 0,9^{s}; 0,069μ	
		1PKP$_2$	23 24 57,5
		eipPKIKP	25 06
		eipPKIIKP	12
16.VI		Région de Hokkaido, Japon, USCGS: 43,0°N, 145,9°E, H=00^{h}54^{m}34,2^{s}, h=54 km; mb=4,8 (USCGS), mPV=5,2(Niedzica)	
	KRA (SKM)	Δ=76,2°	
		iP	01 06 17,6
		Z: 0,5^{s}; 0,074μ	
	NIE	Δ=76,5°	
		eiP	01 06 19,5 C
		Z: 0,9^{s};0,019μ	
		eipP	36
16.VI		Région de Hokkaido, Japon, USCGS: 42,9°N, 144,6°E, H=01^{h}36^{m}51,9^{s}, h=70 km; mb=4,9 (USCGS), mPV=5,8(Kraków), 5,3(Niedzica)	
	KRA (SKM)	Δ=75,7°	
		eiP	01 48 31,5
		Z: 0,6^{s}; 0,046μ	
		ipP	48
	NIE	Δ=76,1°	
		iP	01 48 33,5 C
		Z: 0,7^{s}; 0,022μ	
		eipP	48
16.VI		Chine, USCGS: 37,7°N, 95,6°E, H=07^{h}22^{m}48,1^{s}, h normale; mb=5,4(USCGS), mPV=5,0(Niedzica)	
	NIE	Δ=53,7°	
		iP	07 32 09 C
		Z: 1,0^{s}; 0,013μ	
		ei	13
16.VI		Région du Lac Baikal, USCGS: 55,2°N, 112,6°E, H=12^{h}12^{m}32,2^{s}, h normale; mb=4,5 (USCGS), mPV=5,3(Niedzica)	
	NIE	Δ=53,0°	
		eP	12 21 46
		Pm	49
		Z: 0,6^{s}; 0,019μ	
		eisP	22 01

Date	Station	Phase	T.U. h m s
16.VI		Région de l'Orégon, USCGS: 45,0°N, 125,8°W, H=14^{h}4?^{m} h normale; mb=5,6(USCGS), mPV=6,0(Kraków), 5,4(Nie	
	KRA (SKM)	Δ=81,0°	
		eiP	14 55 59,3
		Z: 1,5^{s}; 0,184μ	
	(SKD)	ei	15 18 59
		eL	30,0
	NIE	Δ=81,7°	
		eiP	14 56 03,1
		Z: 1,2^{s}; 0,033μ	
		eiPcP	11
		eisP	19
16.VI			
	NIE	Traces	
		eP	17 54 44
		Z: 0,7^{s}; 0,013μ	
16.VI		Région du Kamtchatka, USCGS: 53,6°N, 161,5°E, H=18^{h}35^{m} h=45 km; mb=4,7(USCGS)	
	KSP	Δ=71,9°	
		eP	18 46 46
16.VI		Région du Kamtchatka, USCGS: 53,5°N, 161,5°E, H=19^{h}49^{m} h normale; mb=4,9(USCGS), 5,2(Niedzica)	
	KSP	Δ=71,7°	
		eP	20 00 52
		epP	01 04
		i	30
	NIE	Δ=72,6°	
		eP	20 00 54
		Z: 0,8^{s}; 0,015μ	
		epP	01 05
16.VI		Région de Hondo, Japon, USCGS: 35,9°N, 140,1°E, H=20^{h}27^{m} h=76 km; mb=4,6(USCGS), m (Niedzica)	
	NIE	Δ=79,9°	
		eiP	20 39 22,5
		Z: 0,9^{s}; 0,010μ	
		eipP	41
16.VI		Sinkiang, Chine, USCGS: 41 82,0°E, H=22^{h}38^{m}44,4^{s}, h	

Date	Station	Phase	T.U. h m s
16.VI		1e; mb=4,6(USCGS), mPV=5,1 (Niedzica)	
	NIE	Δ=43,2°	
		eP	22 46 46
		Z: 0,7^{s}; 0,015μ	
17.VI		Région de Hokkaido, Japon, USCGS: 43,2°N, 145,8°E, H=03^{h}55^{m}02,9^{s}, h=48 km; mb=6,5(USCGS)	
	WAR (SKD)	Δ=73,2	
		iP	04 06 33
		Z: 15^{s}; 37μ	
		ipP	49
		i	07 11
		i(PP)	09 35
		iS	15 57
		i	16 07
	KRA	Δ=76,0°	
		iP	04 06 45,1 C
		eiS	16 21
		i	45
		i	17 14
	NIE	Δ=76,3°	
		iP	04 06 47,0 D
		Z: 1,1^{s}; 0,02μ	
		i	07 56
		iPPS	17 32
17.VI		Iles Kouriles, USCGS: 43,0°N, 146,4°E, H=04^{h}09^{m}12,4^{s}, h normale; mb=5,9(USCGS), mPV=6,2 (Kraków)	
	KRA (SKM)	Δ=76,4°	
		iP	04 20 59,1 C
		Z: 1,0^{s}; 0,216μ	
		ipP	21 11,6
		i	24,6
17.VI		Région de Hokkaido, Japon, USCGS: 42,4°N, 145,8°E, H=04^{h}19^{m}32,2^{s}, h=35 km; mb=5,4 (USCGS), mPV=6,0(Kraków)	
	KRA (SKM)	Δ=76,7°	
		eiP	04 31 20,2
		Z: 0,7^{s}; 0,078μ	
		eipP	31
17.VI		Région de Hokkaido, Japon,	

Date	Station	Phase	T.U. h m s
17.VI		USCGS: 42,7°N, 146,1°E, H=05^{h}12^{m}09,3^{s}, h=44 km; mb=5,4 (USCGS), mPV=5,7(Kraków)	
	KRA (SKM)	Δ=76,6°	
		eiP	05 23 55,2
		Z: 0,8^{s}; 0,051μ	
		ei	24 10
17.VI		Iles Kouriles, USCGS: 43,1°N, 146,1°E, H=05^{h}52^{m}10,9^{s}, h=44 km; mb=5,1(USCGS), mPV=5,9(Kraków), 5,4(Niedzica)	
	KRA (SKM)	Δ=76,2°	
		eiP	06 03 55,2 D
		Z: 0,8^{s}; 0,078μ	
	NIE	Δ=76,5°	
		iP	06 03 58 D
		Z: 1,0^{s}; 0,029μ	
		ipP	04 10
		isP	19
17.VI		Région du Kamtchatka, USCGS: 53,5°N, 161,5°E, H=07^{h}43^{m}31,6^{s}, h=45 km; mb=5,0(USCGS)	
	NIE	Δ=72,6°	
		eP	07 54 55
		eisP	55 17
17.VI		Iles Kouriles, USCGS: 43,0°N, 146,4°E, H=08^{h}17^{m}47,7^{s}, h=41 km; mb=5,2(USCGS), mPV=5,9(Kraków), 5,6(Niedzica)	
	KRA (Ch)	Δ=76,4°	
		eiP	08 29 33,9
		Pm	34,4
		Z: 0,6^{s}; 0,069μ	
		eipP	45
	NIE	Δ=76,8°	
		iP	08 29 37
		Z: 0,6^{s}; 0,032μ	
		ei	43
		ipP	48
	KSP	Δ=76,9°	
		eP	08 29 37
17.VI		Région de Hokkaido, Japon, USCGS: 42,9°N, 146,5°E, H=08^{h}48^{m}19,4^{s}, h=37 km; mb=5,2(USCGS), mPV=5,4(Niedzica)	

International Seismological Centre

Date	Station	Phase	T.U. h m s
17.VI	KRA	Δ=76,5°	
	(CH)	iP	09 00 06,4
		ei	28
	KSP	Δ=77,1°	
		eP	09 00 09
	NIE	Δ=76,9°	
		eiP	09 00 10 C
		Z: 0,6s; 0,019μ	
		ipP	14
		isP	18
17.VI		Iles Kouriles, USCGS: 43,0°N, 146,9°E, H=10h59m18,8s, h=37 km; mb=4,8(USCGS), mPV=4,9(Niedzica)	
	KRA	Δ=76,6°. Traces	
	(SKM)	eiP	11 11 06
		epP	20
	NIE	Δ=77,0°	
		eiP	11 11 10
		Z: 0,9s; 0,008μ	
		iPcP	20
17.VI		Région de Hokkaido, Japon, USCGS: 42,9°N, 145,0°E, H=12h14m25,8s, h=41 km; mb=5,5(USCGS), mPV=6,4(Kraków), 6,1(Niedzica)	
	KRA	Δ=76,2°	
	(SKM)	iP	12 26 10 C
		Z: 0,6s; 0,216μ	
		ipP	22
		i	34
	NIE	Δ=76,3°	
		iP	12 26 12,5 CC
		Z: 0,7s; 0,12μ	
		i	16,5
		ipP	23
		isP	29
	KSP	Δ=77,1°	
		iP	12 26 13,5 C
		Z: 0,8s; 0,07μ	
		isP	30
17.VI			
	NIE		
		eiP	12 31 04,5
		Z: 0,8s; 0,008μ	

Date	Station	Phase	T.U. h m s
17.VI		Région de Hokkaido, Japon, USCGS: 42,6°N, 146,4°E, H=12h24m34,6s, h=36 km; mb=5,5(USCGS), mPV=5,9(Kraków), 5,5(Książ), 5,3(Niedzica)	
	KRA	Δ=76,7°	
	(SKM)	iP	
		Pm	12 36 23,8
		Z: 1,0s; 0,114μ	24,8
		ipP	
		eisP	35,8
	(SKD)	eL	36
	NIE	Δ=77,1°	13 00,0
		iP	12 36 25,8
		Z: 1,0s; 0,028μ	
		iPcP	34
		isP	40
		i	46
		i	37 10
	KSP	Δ=77,3°	
		iP	12 36 27,0
		Z: 1,0s; 0,04μ	
		i	38
17.VI		Région de Hokkaido, Japon, USCGS: 42,6°N, 146,0°E, H=13h22m15,2s, h normale; mb=4,9(USCGS), mPV=4,7(Niedzica)	
	NIE	Δ=76,9°	
		iP	13 34 06,5
		Z: 1,0s; 0,006μ	
17.VI		Région de Hokkaido, Japon, USCGS: 43,1°N, 145,4°E, H=13h33m28,3s, h=46 km; mb=(USCGS), mPV=6,4(Kraków), 6,0(Niedzica ,Książ)	
	KRA	Δ=75,9°	
	(SKM)	iP	13 45 10,8
		Z: 0,7s; 0,220μ	
		i	14,8
	(SKD)	eiS	54 50
		eL	14 12,5
	NIE	Δ=76,3°	
		iP	13 45 13
		Z: 0,6s; 0,08μ	
		i	18

Date	Station	Phase	T.U. h m s
17.VI (suite)	NIE	iPcP	13 45 24
		eisP	33
	KSP	Δ=76,5°	
		eiP	13 45 13,5
		Z: 0,7s; 0,09μ	
		i	20
17.VI		Iles Kouriles, USCGS: 43,0°N, 146,7°E, H=13h43m08,7s, h=40 km; mb=5,5(USCGS), mPV=5,7(Kraków)	
	KRA	Δ=76,5°	
	(SKM)	iP	13 54 55 C
		Pm	56,5
		Z: 1,0s; 0,072μ	
		i	55 05,5
	NIE	Δ=76,9°	
		iP	13 54 58 C
		i	55 06
		isP	11
	KSP	Δ=77,0°	
		eiP	13 54 58,5 C
		iPcP	55 08
17.VI		Région de Hokkaido, Japon, USCGS: 42,9°N, 145,3°E, H=14h24m13,8s; h=34 km; mb=4,9(USCGS), mPV=5,6(Kraków), 5,3(Niedzica)	
	KRA	Δ=76,0°	
	(SKM)	iP	14 35 59,2
		Z: 0,7s; 0,041μ	
	NIE	Δ=76,4°	
		eiP	14 36 01,5
		Z: 0,8s; 0,023μ	
	KSP	Δ=76,6°	
		eP	14 36 02
17.VI			
	NIE		
		eiP	16 41 36
17.VI		Iles aux Rats, Aléoutiennes, USCGS: 51,7°N, 176,4°E, H=16h53m24,3s, h=53 km; mb=5,0(USCGS)	
	KSP	Δ=76,4°	
		iP	17,05 04 D

Date	Station	Phase	T.U. h m s
17.VI	NIE	Δ=77,5°	
		eiP	17 05 14,0 C
		Z: 0,7s; 0,022μ	
		epP	30
17.VI		Iles Kouriles, USCGS: 43,0°N, 146,5°E, H=18h55m39,6s, h=45 km; mb=5,7(USCGS)	
	KRA	Δ=76,4°	
	(SKM)	iP	19 07 26 C
		Z: 0,5s; 0,138μ	
		iPcP	35
		ipP	40
		eL	36,7
		Lm	48 39
		Z: 20s; 8,8μ	
	NIE	Δ=76,8°	
		eiP	19 07 27,5 C
		Z: 0,9s; 0,073μ	
		eiPcP	34
		eisP	46
	KSP	Δ=77,0°	
		eiP	19 07 28,5 C
		Z: 1,0s; 0,08μ	
17.VI		Région de Hokkaido, Japon, USCGS: 42,7°N, 146,3°E, H=19h03m35,1s, h=32 km; mb=5,6(USCGS)	
	KRA	Δ=76,6°	
	(SKM)	iP	19 15 23,8
		Z: 0,6s; 0,031μ	
		i	28
	NIE	Δ=77,0°	
		eiP	19 15 25,5
		Z: 0,9s; 0,041μ	
		i	30
		eisP	40
	KSP	Δ=77,2°	
		eP	19 15 27,0
17.VI		Région de Hokkaido, Japon, USCGS: 42,7°N, 146,0°E, H=20h37m57,3s, h=50 km; mb=6,0(USCGS), mPV=5,9(Kraków, Niedzica), MLH=6,7(Kraków), 7,0(Warszawa)	
	WAR	Δ=74,1°	
	(SKD)	eiP	20 49 32

Date	Station	Phase	T.U. h m s
17.VI	WAR	ei	20 49 56
		iS	58 58
		eL	21 04,5
		Lm	25 30
		NEZ: 18^s, 16^s, 20^s; 30 μ, 60 μ, 50 μ	
	KRA (SKM)	Δ=76,5°	
		iP	20 49 43,5
		Z: $0,9^s$; 0,084 μ	
		ipP	59
		eiS	59 26,5
		ei	21 08 20
		Lm	26,7
		NEZ: 16^s; 33 μ, 12 μ 5,5 μ	
	NIE	Δ=76,9°	
		eiP	20 49 45 D
		Z: $0,8^s$; 0,075 μ	
		i	47
		i	53
	KSP	Δ=77,0°	
		iP	20 49 46,5
		ipP	50 00,5
17.VI		Région de Hokkaido, Japon, USCGS: 42,8°N, 146,0°E, H=$21^h03^m35,7^s$, h=47 km; mb=5,0 (USCGS)	
	NIE	Δ=76,9°	
		eP	21 15 23
		ePcP	33
		isP	40
		Z: $0,8^s$; 0,020 μ	
	KSP	Δ=77,0°	
		eP	21 15 23
17.VI		Région de Hokkaido, Japon, USCGS: 43,0°N, 145,9°E, H=$21^h23^m42,6^s$, h normale; mb=4,8 (USCGS), mPV=5,1(Niedzica)	
	KRA (SKM)	Δ=76,2°. Traces	
		iP	21 35 29,3
	NIE	Δ=76,6°	
		eiP	21 35 31,5
		Z: $0,9^s$; 0,015 μ	
		eiPcP	41

Date	Station	Phase	T.U. h m s
17.VI		Région de Hokkaido, Japon, USCGS: 43,0°N, 145,3°E, [illegible] $26^m14,2^s$, h=50 km; mb=5,2 (USCGS), mPV=6,0(Kraków)	
	KRA (SKM)	Δ=76,0°	
		iP	21 37 56,5
		Z: $0,7^s$; 0,099 μ	
		isP	38 14
	NIE	Δ=76,3°	
		eiP	21 37 55 [illegible]
		eipP	38 10
		eisP	15
	KSP	Δ=76,5°	
		iP	21 38 00,5
		Z: $1,0^s$; 0,07 μ	
17.VI			
	KRA (SKM)	iP	22 27 16,5
		Z: $0,7^s$; 0,041 μ	
	NIE		
		iP	22 27 19 [illegible]
		Z: $0,9^s$; 0,019 μ	
	KSP		
		eP	22 27 20
18.VI		Iles Kouriles, USCGS: 43,2°N, 146,3°E, H=$01^h09^m00,0^s$, h normale; mb=4,5(USCGS), mPV=5,1 (Niedzica)	
	NIE	Δ=76,6°	
		eiP	01 20 49 C
		Z: $0,6^s$; 0,013 μ	
18.VI		Région de Hokkaido, Japon, USCGS: 42,8°N, 146,8°E, H=$12^m06,9^s$, h=36 km; mb=4,9 (USCGS), mPV=5,3(Niedzica)	
	KRA (SKM)	Δ=76,7°. Traces	
		eiP	02 23 56,5
		Z: $0,8^s$; 0,023 μ	
	NIE	Δ=77,1°	
		eiP	02 23 58,5
		eiPcP	24 06
		eipP	11
		eisP	13
	KSP	Δ=77,3°. Traces	
		eP	02 23 58

Date	Station	Phase	T.U. h m s
18.VI		Région de Hokkaido, Japon, USCGS: 42,6°N, 146,2°E, H=$02^h19^m30,0^s$, h=30 km; mb=5,2 (USCGS)	
	KRA (SKM)	Δ=76,7°	
		eiP	02 31 18,5
	NIE	Δ=77,0°	
		eiP	02 31 20,5
		i	23
		ipP	33
		i	45
	KSP	Δ=77,2°	
		eP	02 31 22
		epP	34
18.VI		Région des Iles Fidji, USCGS: 21,1°S, 179,3°W, H=$02^h58^m10,1^s$, h=648 km; mb=4,9(USCGS)	
	NIE	Δ=147,9°	
		eiPKIKP	03 16 45,5 D
		Z: $0,7^s$; 0,015 μ	
18.VI		Iles Kouriles, USCGS: 43,0°N, 146,4°E, H=$04^h23^m00,4^s$, h=37 km; mb=4,7(USCGS)	
	NIE	Δ=76,8°. Traces	
		eP	04 34 49
18.VI		Région de Hokkaido, USCGS: 42,6°N, 146,4°E, H=$05^h37^m37,7^s$, h=38 km; mb=5,5(USCGS) mPV=5,8(Kraków), 5,2(Niedzica)	
	KRA (SKM)	Δ=76,7°	
		iP	05 49 26,5
		Z: $0,6^s$; 0,054 μ	
		ipP	40,5
	(SKD)	eS	59 24
		eL	06 14,2
	NIE	Δ=77,1°	
		iP	05 49 28,5 D
		Z: $1,0^s$; 0,021 μ	
		iPcP	37,5
		ipP	42
		i	52
	KSP	Δ=77,3	
		eiP	05 49 30,0 D
		eipP	52 44

Date	Station	Phase	T.U. h m s
18.VI		Sud de l'Alaska, USCGS: 52,2°N, 164,9°W, H=$10^h17^m26,3^s$, h=15km; mb=5,4(USCGS)	
	KSP	Δ=77,3°	
		eiP	10 29 21,5
	KRA (SKM)	Δ=78,3°	
		iP	10 29 27
		Z: $0,9^s$; 0,042 μ	
18.VI		Iles Kouriles, USCGS: 43,5°N, 147,0°E, H=$14^h29^m39,2^s$, h normale; mb=4,5(USCGS)	
	NIE	Δ=76,6°. Traces	
		eP	14 41 27
		eipP	38
18.VI		Iles Kouriles, USCGS: 43,4°N, 147,1°E, H=$14^h31^m39,8^s$, h=36 km; mb=4,7(USCGS),	
	NIE	Δ=76,7°	
		eP	14 43 28
		eipP	40
		Z: $0,8^s$; 0,021 μ	
	KSP	Δ=76,8°	
		eP	14 43 30
18.VI		Région de Hokkaido, USCGS: 42,5°N, 146,0°E, H=$17^h45^m43,7^s$, h=29 km; mb=5,8(USCGS), mPV=6,1(Kraków), 5,8(Niedzica), MLH=6,0(Kraków, Warszawa)	
	WAR (SKD)	Δ=74,3°	
		eP	17 57 20
		eiS	18 06 58
		eiSKS	07 28
		eL	13,0
		Lm	27 32
		NE: 28^s; 7,8 μ, 10 μ	
	KRA (SKM)	Δ=76,7°	
		iP	17 57 32,5 C
		Pm	34,5
		Z: $1,0^s$; 0,180 μ	
		ipP	43
	(GW)	e	58 48
		ei	18 07 10
		eL	28,3
		Lm	29,6
		NE: 16^s; 5,0 μ, 4,4 μ	

International Seismological Centre

Date	Station	Phase	T.U. h m s
18.VI (suite)	NIE	Δ=77,0°	
		iP	17 57 34,5 C
		Z: 0,9s; 0,068 μ	
		i	41
		ipP	45
		isP	51
	KSP	Δ=77,2°	
		eiP	17 57 36,0 C
		Z: 1,0s; 0,07 μ	
		ipP	46,0
18.VI		Région de Hokkaido, USCGS: 42,3°N, 145,4°E, H=18h24m 19,6s, h=29 km; mb=5,3(USCGS) mPV=5,5(Kraków)	
	KRA (SKM)	Δ=76,6°	
		iP	18 36 08,5
		Z: 1,0s; 0,042 μ	
		i	11,9
		ipP	17,5
	NIE	Δ=76,9°	
		iP	18 36 11
		i	14
		ipP	20
		eisP	26
	KSP	Δ=77,2°	
		eP	18 36 12
18.VI		Région de Hokkaido, USCGS: 42,7°N, 146,3°E, H=20h31m 37,4s, h=34 km; mb=5,1(USCGS) mPV=5,0(Niedzica)	
	NIE	Δ=77,0°	
		eiP	20 43 28
		Z: 0,8s; 0,010 μ	
		epP	39
	KSP	Δ=77,2°. Traces	
		eP	20 43 28
19.VI		Région de Hokkaido, USCGS: 42,9°N, 146,7°E, H=02h22m 05,6s, h=49 km; mb=5,2(USCGS) mPV=5,5(Niedzica)	
	KRA (SKM)	Δ=76,6°	
		iP	02 33 51,9 C
		i	58,5
		isP	34 08,5

Date	Station	Phase	T.U. h m s
19.VI	NIE	Δ=77,0°	
		eiP	02 33 50,1
		Z: 0,7s; 0,032 μ	
		ipP	
		i	34 05,1
		ei	19,1
	KSP	Δ=77,1°	31
		eiP	02 33 54,1
19.VI		Région de Hokkaido, USCGS: 42,7°N, 146,0°E, H=02h54m 09,8s, h=43 km; mb=5,6(USCGS) mPV=6,1(Kraków), 5,8(Niedzica) 5,6(Książ)	
	KRA (SKM)	Δ=76,5°	
		iP	03 05 56,3
		Z: 0,7s; 0,106 μ	
		i	06 03,3
		i	09,0
	NIE	Δ=76,7°	
		eiP	03 05 58
		Z: 0,8s; 0,065 μ	
		i	06 06
		ipP	12
		i	26
	KSP	Δ=77,1°	
		iP	03 05 59,1
		Z: 0,7s; 0,04 μ	
19.VI		Iles Carolines, USCGS: 8,1°N, 137,3°E, H=03h34m19,4s, h normale; mb=5,5(USCGS), MLH=6,1 (Kraków), 6,7(Warszawa)	
	NIE	Δ=100,9°	
		eP	03 48 07
	KRA (SKM)	Δ=100,9°. Traces	
		eP	03 48 06
		eiPP	52 12
		eiSKS	58 46
		eL	04 37,3
		Lm	39,3
		NE: 17s; 52 μ, 4,5 μ	
	WAR (SKD)	Δ=99,1°	
		eiSKS	03 58 24
		eL	04 19,0
		Lm	38 12
		NEZ: 18s, 20s, 18s; 12 μ, 20 μ, 24 μ	

Date	Station	Phase	T.U. h m s
19.VI		Région de Hokkaido, USCGS: 42,4°N, 145,8°E, H=04h29m 27,8s, h=52 km; mb=4,9(USCGS) mPV=5,0(Niedzica)	
	KRA (SKM)	Δ=76,7°	
		eiP	04 41 15,0
	NIE	Δ=77,0°	
		eiP	04 41 17 D
		Z: 0,9s; 0,013 μ	
		eiPcP	28
		ei	45
	KSP	Δ=77,2°. Traces	
		eP	04 41 18
		ePcP	42 27
19.VI		Région de Hokkaido, USCGS: 42,7°N, 145,6°E, H=06h26m 12,6s, h normale; mb=4,6 (USCGS), mPV=5,6(Kraków), 5,2(Niedzica)	
	KRA (SKM)	Δ=76,3°	
		eiP	06 37 59,0
		Z: 0,9s; 0,047 μ	
	NIE	Δ=76,7°	
		eiP	06 38 02 C
		Z: 0,8s; 0,018 μ	
		eisP	15
	KSP	Δ=76,9°	
		eP	06 38 04
19.VI		Région de Hokkaido, USCGS: 42,9°N,146,5°E, H=06h37m54,4s, h=42 km; mb=5,3(USCGS), mPV=5,3(Niedzica), 5,7(Kraków)	
	KRA (SKM)	Δ=76,5°	
		iP	06 49 41,5
		Z: 0,7s; 0,045 μ	
		ipP	54,5
	NIE	Δ=76,9°	
		eiP	06 49 44
		Z: 0,9s; 0,023 μ	
		i	47
		ipP	56
		isP	57
		Z: 0,8s; 0,105 μ	
	KSP	Δ=77,1°	
		eiP	06 49 45,2

Date	Station	Phase	T.U. h m s
19.VI		Région de Hokkaido, USCGS: 42,9°N, 146,5°E, H=08h36m18,9s, h=36 km; mb=5,3(USCGS)	
	KSP	Δ=77,1°	
		eiP	08 48 04,2 D
	KRA (SKM)	Δ=76,5°	
		eiP	08 48 06,4
		ipP	18,4
19.VI		Région des Iles Fidji, USCGS: 20,3°S, 178,0°W, H=16h46m16,6s, h=258 km; mb=4,4(USCGS)	
	NIE	Δ=147,7°	
		eiPKIKP	17 05 28,5 C
		Z: 1,0s; 0,009 μ	
19.VI		Région de Hokkaido, USCGS: 42,6°N, 145,9°E, H=17h10m14,9s, h=41 km; mb=5,3(USCGS), mPV=5,4(Kraków), 5,0(Niedzica)	
	KRA	Δ=76,6°	
		iP	17 22 02
		Z: 0,6s; 0,023 μ	
		iPcP	14
	NIE	Δ=76,9°	
		eiP	17 22 05 D
		Z: 1,0s; 0,014 μ	
		ipP	08
		eisP	13
		i	20
19.VI		Région de Hokkaido, USCGS: 42,8°N, 146,3°E, H=20h05m52,7s, h=45 km; mb=5,3(USCGS), mPV=5,6(Kraków)	
	KRA	Δ=76,5°	
		iP	20 17 39,7
		Z: 0,6s; 0,039 μ	
19.VI		Région de Hondo, USCGS: 36,5°N, 140,6°E, H=22h31m18,5s, h=65 km; mb=5,2(USCGS), mPV=5,7(Kraków), 5,3(Niedzica)	
	KRA (SKM)	Δ=79,4°	
		iP	22 43 18,4
		Z: 1,0s; 0,078 μ	
	NIE	Δ=79,5°	
		iP	22 43 20 C
		Z: 1,0s; 0,026 μ	

International Seismological Centre

International Seismological Centre

Date	Station	Phase	T.U. h m s
19.VI (suite)	NIE	eiPcP	22 43 24
		eipP	36
	KSP	Δ=80,2°	
		iP	22 43 24
20.VI		Iles Kouriles, USCGS: 43,1°N, 146,0°E, H=09h20m34,3s, h=36 km; mb=5,1(USCGS), mPV=5,6 (Kraków), 5,0(Niedzica)	
	KRA (SKM)	Δ=76,2°	
		iP	09 32 19,8 C
		Z: 0,9s; 0,047 μ	
		iPcP	29,9
	NIE	Δ=76,5°	
		eiP	09 32 21,5 C
		Z: 1,1s; 0,015 μ	
		eiPcP	31
20.VI		Région des Iles Kermadec, USCGS: 28,5°S, 176,8°W, H=12h 01m56,7s, h=41 km; mb=5,8 (USCGS)	
	NIE	Δ=155,5°	
		ePKIKP	12 21 42,5
		ePKHKP	56
		eiPKP$_2$	22 13
		eipPKP$_2$	23
20.VI		Région des Iles Kermadec, USCGS: 28,5°S, 176,6°W, H=18h 29m56,2s, h=52 km; mb=4,6 (USCGS)	
	NIE	Δ=155,6°	
		ePKHKP	18 49 56
		eiPKP$_2$	50 11
		ipPKP$_2$	23
	KSP	Δ=155,6°	
		ePKP$_2$	18 50 11
21.VI		Région des Iles Fidji, USCGS: 17,7°S, 178,7°W, H=10h15m 33,4s, h=587 km; mb=4,2(USCGS)	
	NIE	Δ=145,1°	
		iPKIKP	10 34 07 D
		Z: 0,4s; 0,021 μ	
21.VI			
	NIE		
		iP	10 57 12,5 C
		Z: 0,9s; 0,022 μ	

Date	Station	Phase	T.U. h m s
21.VI	NIE	i	
		i	10 57 20
			40
21.VI		Nevada, USCGS: 37,1°N, 11[illegible] H=14h44m59,6s, h=5 km; [illegible] (USCGS), mPV=5,6(Kraków), [illegible] (Niedzica)	
	KRA (SKM)	Δ=85,1°	
		eiP	14 57 37
		Z: 0,9s; 0,047 μ	
	NIE	Δ=85,8°	
		iP	14 57 41
		Z: 1,0s; 0,013 μ	
22.VI		Région des Iles Fidji, USCG[illegible] 17,6°S, 178,9°W, H=02h00m[illegible] h=565 km; mb=5,0(USCGS)	
	KRA (SKM)	Δ=144,5°	
		eiPKIKP	02 19 04,4
		Z: 0,5s; 0,049 μ	
	KSP	Δ=144,7°	
		iPKIKP	02 19 06,1
		Z: 0,6s; 0,065 μ	
		epPKIKP	21 55
	NIE	Δ=144,9°	
		iPKIKP	02 19 06,5
		Z: 0,9s; 0,040 μ	
22.VI		Région du Kamtchatka, Moskv[illegible] 52,2°N, 160,5°E, H=04h20m12[illegible]	
	NIE	Δ=73,5°. Traces	
		eP	04 31 43
22.VI		Région de Hokkaido, USCGS: 42,9°N, 146,3°E H=06h07m3[illegible] h=53 km; mb=5,5(USCGS), MLH= 6,4(Kraków), 6,8(Warszawa)	
	WAR (SKD)	Δ=74,1°	
		iP	06 19 10 D
		eiPcP	24
		iS	28 40
		eL	34,5
		Lm	54 00
		N: 18s; 27 μ	
		Lm	55 04
		PZ: 18s; 45 μ, 34 μ	
	KRA (SKM)	Δ=76,5°	
		iP	06 19 22,1 C
		iPcP	38

Date	Station	Phase	T.U. h m s
22.VI	KRA (GW)	eisP	06 19 43
		eiS	29 06
		i	22
		Lm	56,2
		NEZ: 14s; 13 μ, 5,5 μ, 2,9 μ	
	NIE	Δ=76,8°	
		iP	06 19 24,5 C
		Z: 1,0s; 0,022 μ	
		i	27,5
		Z: 0,9s; 0,135 μ	
		isP	40
	KSP	Δ=77,0°	
		eiP	06 19 26,5
		iPcP	38,5
		isP	42,5
22.VI		Région des Iles Mariannes, USCGS: 21,9°N, 142,9°E, H=18h 47m36,6s, h=269 km; mb=5,2 (USCGS)	
	NIE	Δ=92,8°	
		eiP	19 00 19 C
		Z: 1,0s; 0,010 μ	
22.VI		Iles Tonga, USCGS: 21,2°S, 174,3°W, H=19h51m40,5s, h normale; mb=5,5(USCGS)	
	WAR (SKD)	Δ=146,8°. Traces	
		eiPKIKP	20 11 20
	KRA	Δ=149,3°	
		ePKIKP	20 11 23
		ePKP$_2$	28
		Z: 0,6s; 0,052 μ	
		eipPKIKP	34
		ei	46
	KSP	Δ=149,3°	
		ePKIKP	20 11 23
		iPKP$_2$	28
	NIE	Δ=149,8°	
		ePKIKP	20 11 24
		iPKP$_2$	29
		Z: 1,0s; 0,028 μ	
		ipPKIKP	34,5
		eipPKP$_2$	40
23.VI		Iles Kouriles, USCGS: 43,2°N, 147,3°E, H=02h09m40,1s, h= 41 km; mb=5,5(USCGS), mPV=	

Date	Station	Phase	T.U. h m s
23.VI		mPV=6,1(Kraków), 5,5(Niedzica)	
	WAR (SKD)	Δ=74,2°. Traces	
		eP	02 21 14
	KRA (Ch)	Δ=76,6°	
		iP	02 21 27,5 C
		Z: 1,0s; 0,160 μ	
		iPcP	39
		isP	48
	(SKD)	eS	31 22
		eL	55,4
	NIE	Δ=77,0°	
		eiP	02 21 29,0 C
		Z: 1,1s; 0,049 μ	
		iPcP	41
		isP	49
		i	58
23.VI		Région de Hokkaido, USCGS: 42,9°N, 145,3°E, H=04h30m55,7s, h=38 km; mb=4,7(USCGS)	
	KRA (Ch)	Δ=76,1°	
		eP	04 42 42
		ePcP	54
	NIE	Δ=76,4°	
		eP	04 42 44
		eiPcP	55
23.VI		Iles Kouriles, USCGS: 43,1°N, 147,3°E, H=08h16m55,5s, h=66 km; mb=4,0(USCGS), mPV=5,1(Niedzica)	
	NIE	Δ=77,0°	
		eP	08 28 43
		Z: 0,8s; 0,013 μ	
24.VI			
	NIE		
		eiP	01 26 10
		Z: 0,6s; 0,015 μ	
24.VI		Iles Kouriles, USCGS: 43,3°N, 146,4°E, H=02h43m25,5s, h=50 km; mb=6,3(USCGS), mPV=6,6(Kraków, Niedzica), MLH=7,1(Warszawa)	
	WAR (SKD)	Δ=73,7°	
		iP	02 54 58 D
		iPcP	55 14
		i	28
		iPP	57 48
		i	03 03 40

Date	Station	Phase	T.U. h m s
24.VI (suite)	WAR	iS	03 04 20
		Lm	10 44
		NE: 32^{s}; 93μ , 130 μ	
	KRA	Δ=76,2^{o}	
	(Ch)	iP	02 55 08,9 C
		Z: 0,9^{s}; 0,51μ	
	(SKM)	eiS	03 04 49
		eiSKS	05 08
		eiPS	42
		ei	08 31
	NIE	Δ=76,5^{o}	
		iP	02 55 11,0 C
		Z: 1,5^{s}; 1,0μ	
		i	15
		ipP	30
24.VI		Iles Kouriles, USCGS: 43,2^{o}N, 146,8^{o}E, H=03^{h}04^{m}18,6^{s}, h=55 km; mb=5,8(USCGS), mPV=6,4 (Kraków)	
	KRA	Δ=76,4^{o}	
	(SKM)	eiP	03 16 03 C
		Z: 0,6^{s}; 0,21μ	
		i	09
	NIE	Δ=76,8^{o}	
		eP	03 16 05
		ei	10
		eiPcP	15
		ipP	40
24.VI		Iles Kouriles, USCGS: 43,3^{o}N, 146,8^{o}E, H=03^{h}28^{m}38,5^{s}, h=47 km; mb=5,5(USCGS), mPV=5,8 (Kraków)	
	KRA	Δ=76,4^{o}	
	(SKM)	iP	03 40 23,5
		Z: 0,6^{s}; 0,050μ	
		i	28
	NIE	Δ=76,8^{o}	
		eP	03 40 26
24.VI		Iles Kouriles, USCGS: 43,2^{o}N, 146,7^{o}E, H=03^{h}40^{m}35,0^{s}, h normale; mb=5,1(USCGS), mPV=5,5 (Kraków)	
	KRA	Δ=76,4^{o}	
	(SKM)	eiP	03 52 23
		Z: 0,7^{s}; 0,029μ	
24.VI		Iles Kouriles, USCGS: 43,0	

Date	Station	Phase	T.U. h m s
24.VI		Iles Kouriles, USCGS: 43,0^{o}N, 146,5^{o}E, H=03^{h}47^{m}45,8^{s}, h=[illegible] km; mb=5,0(USCGS), mPV=5,3([illegible]) (Kraków)	4.VI suite)
	KRA	Δ=76,6^{o}	
	(SKM)	eiP	03 59 33,3 4.VI
		Z: 0,7^{s}; 0,020μ	
		eiPcP	44
24.VI		Iles Kouriles, USCGS: 43,1^{o}N, 146,7^{o}E, H=04^{h}43^{m}25,7^{s}, h=[illegible] mb=5,0(USCGS), mPV=5,6(Kraków) 5,2(Niedzica)	
	KRA	Δ=76,4^{o}	4.VI
	(SKM)	eiP	04 55 10 C
		Z: 0,8^{s}; 0,041μ	
	NIE	Δ=76,7^{o}	
		iP	04 55 12,5 C
		Z: 0,9^{s}; 0,019μ	
		i	20
24.VI		Iles Kouriles, USCGS: 43,1^{o}N, 146,6^{o}E, H=05^{h}07^{m}46,8^{s}, h=44 km mb=5,8(USCGS), mPV=6,2(Kraków) 5,6(Niedzica)	
	KRA	Δ=76,4^{o}	
	(SKM)	iP	05 19 32 C 4.VI
		Z: 1,0^{s}; 0,216μ	
		i	35
		iPcP	41
	NIE	Δ=76,8^{o}	
		iP	05 19 34,5 C
		Z: 1,2^{s}; 0,08μ	
		i	40
		ipP	46
24.VI		Iles Kouriles, USCGS: 43,1^{o}N, 146,7^{o}E, H=07^{h}08^{m}52,1^{s}, h=42 km mb=4,8(USCGS), mPV=4,9(Niedzica)	4.VI
	KRA	Δ=76,4^{o}. Traces	
	(SKM)	eP	07 20 38
	NIE	Δ=76,7^{o}	
		iP	07 20 41
		Z: 1,0^{s}; 0,009μ	
		eipP	52
24.VI		Région de Hokkaido, USCGS: 42,9^{o}N, 146,5^{o}E, H=09^{h}49^{m}21,6^{s}, h=54 km; mb=4,4(USCGS)	

Date	Station	Phase	T.U. h m s
	NIE	Δ=76,8^{o}	
		eP	10 01 08
		ei	14
		eiPcP	21
		Iles Kouriles, USCGS: 43,2^{o}N, 146,7^{o}E, H=10^{h}28^{m}45,3^{s}, h=59 km; mb=4,3(USCGS)	
	NIE	Δ=76,7^{o}	
		eiP	10 40 31,5
		iPcP	41,5
		i	52
		Iles Kouriles, USCGS: 43,1^{o}N, 146,5^{o}E, H=10^{h}53^{m}54,1^{s}, h=60 km; mb=5,4(USCGS), mPV=5,9 (Kraków), 5,3(Niedzica)	
	KRA	Δ=76,6^{o}	
		iP	11 05 37,9 C
		Z: 1,0^{s}; 0,101μ	
		ei	45
	NIE	Δ=76,7^{o}	
		iP	11 05 40 C
		Z: 1,2^{s}; 0,036μ	
		i	44
		eiPcP	52
	KRA	Traces	
	(SKM)	eP	12 32 51
	NIE		
		iP	12 32 53,5
		Z: 0,8^{s}; 0,018μ	
		i	33 04,5
		Iles Kouriles, USCGS: 43,2^{o}N, 146,4^{o}E, H=17^{h}49^{m}25,4^{s}, h=40 km; mb=4,9(USCGS), mPV=5,2 (Niedzica)	4.VI
	NIE	Δ=76,6^{o}	
		eiP	18 01 14
		Z: 0,6^{s}; 0,015μ	
		eiPcP	25
		Iles Kouriles, USCGS: 43,1^{o}N, 146,9^{o}E, H=18^{h}41^{m}49,3^{s}, h=36 km; mb=5,2(USCGS), mPV=5,6 (Kraków), 5,2(Niedzica)	4.VI
	KRA	Δ= 76,4^{o}	
	(SKM)	eP	18 53 38

Date	Station	Phase	T.U. h m s
24.VI	KRA	Z: 0,8^{s}; 0,041μ	
		iPcP	18 53 48,5
	NIE	Δ=76,9^{o}	
		eiP	18 53 39,5
		Z: 0,9^{s}; 0,017μ	
		i	42
		iPcP	50
24.VI		Iles Kouriles, USCGS: 43,3^{o}N, 146,8^{o}E, H=20^{h}00^{m}16,1^{s}, h=51 km; mb=5,1(USCGS)	
	KRA	Δ=76,3^{o}	
	(SKM)	eiP	20 12 00,5
		Z: 1,0^{s}; 0,048μ	
		iPcP	11
	NIE	Δ=76,7^{o}	
		eiP	20 12 02,5 C
		Z: 1,0^{s}; 0,014μ	
	KSP	Δ=76,8^{o}	
		eiP	20 12 03,6
24.VI		Région des Iles Fidji, USCGS: 20,7^{o}S, 178,8^{o}W, H=21^{h}36^{m}54,2^{s}, h=624 km; mb=4,2(USCGS)	
	NIE	Δ=147,8^{o}	
		ePKIKP	21 55 31
		Z: 0,9^{s}; 0,008μ	
		ePKP$_{2}$	36
25.VI		Iles Kouriles, USCGS: 43,0^{o}N, 147,1^{o}E, H=00^{h}23^{m}48,7^{s}, h=67 km; mb=4,3(USCGS), mPV=5,1(Niedzica)	
	NIE	Δ=77,0^{o}	
		eiP	00 35 36,5
		Z: 0,7^{s}; 0,011μ	
25.VI		Région des Iles Philippines, USCGS: 19,1^{o}N, 121,2^{o}E, H=07^{h}19^{m}46,2^{s}, h=50 km; mb=5,7(USCGS) mPV=5,7(Kraków), 5,4(Niedzica)	
	KRA	Δ=82,6^{o}	
	(SKM)	eiP	07 32 05,5 C
		Z: 0,8^{s}; 0,055μ	
		eipP	14
	(SKD)	eS	42 20
		eL	08 02,6
	NIE	Δ=82,6^{o}	
		eiP	07 32 06 C
		Z: 0,9^{s}; 0,031μ	

International Seismological Centre

Date	Station	Phase	T.U. h m s
25.VI		Iles Kouriles, USCGS: 43,1°N, 146,4°E, H=08h19m33,8s, h=39 km; mb=4,6(USCGS), mPV=5,1 (Niedzica)	
	NIE	Δ=76,7°	
		eiP	08 31 22,5
		Z: 0,7s; 0,013μ	
25.VI		Iran, BCIS: 30,0°N, 50,4°E, H=10h29m04s, mPV=5,1(Niedzica)	
	NIE	Δ=29,8°	
		eiP	10 35 08
		Z: 0,5s; 0,017μ	
25.VI		Détroit des Moluques, USCGS: 0,9°N, 126,0°E, H=11h37m51,6s, h normale; mb=5,7(USCGS). mPV=5,5(Niedzica)	
	NIE	Δ=99,5°	
		eP	11 51 33
		Z: 0,9s; 0,011μ	
		i	37,5
25.VI			
	NIE	Traces	
		eiP	13 15 29,5
		Z: 0,8s; 0,015μ	
25.VI		Iles Kouriles, USCGS: 43,3°N, 146,9°E, H=16h12m33,4s, h=40 km; mb=4,3(USCGS)	
	NIE	Δ=76,7°. Traces	
		eP	16 24 22
25.VI		Région Sud des Iles Fidji, USCGS: 25,3°S, 179,5°E, H=18h 09m15,3s, h=497 km; mb=4,4 (USCGS)	
	NIE	Δ=151,2°	
		eiPKHKP	18 28 13
		Z: 0,9s; 0,008μ	
		eiPKP2	19
25.VI		Mindanao, Philippines, USCGS: 6,9°N, 126,8°E, H=20h46m46,3s, h=73 km; mb=5,2(USCGS). mPV=5,3(Niedzica)	
	NIE	Δ=95,4°	
		eiP	21 00 04 C
		Z: 0,9s; 0,011μ	

Date	Station	Phase	T.U. h m s
25.VI		Iles Kouriles, USCGS: 43,[illegible]°N, 146,2°E, H=22h13m50,2s, h=49 km; mb=4,2(USCGS)	
	NIE	Δ=76,7°. Traces	
		eP	22 25 3[illegible]
26.VI		Iles Proches, Aléoutiennes, USCGS: 52,2°N, 174,1°E, H=[illegible] 35m17,0s, h=41 km; mb=4,[illegible] (USCGS)	
	KRA (SKM)	Δ=76,0°. Traces	
		eP	05 47 02
	NIE	Δ=76,6°	
		eP	05 47 04
		ei	17
26.VI		Iles Kouriles, USCGS: 43,[illegible]°N, 146,6°E, H=11h39m23,9s, h=[illegible] mb=5,3(USCGS), mPV=5,2(Nied[illegible]	
	KRA (SKM)	Δ=76,4°	
		iP	11 51 08,[illegible]
	NIE	Δ=76,8°	
		eiP	11 51 10,[illegible]
		Z: 1,0s; 0,019μ	
		eipP	15
	KSP	Δ=76,9°	
		eiP	11 51 12,[illegible]
26.VI			
	NIE		
		eP	12 00 55
26.VI		Iles Kouriles, USCGS: 43,[illegible]°N, 146,0°E, H=12h18m08,9s, h=[illegible] km; mb=5,3(USCGS), mPV=6,[illegible] (Kraków), 5,3(Niedzica)	
	KRA (SKM)	Δ=76,2°	
		eiP	12 29 53,[illegible]
		Z: 1,0s; 0,120μ	
		i	30 00,[illegible]
	NIE	Δ=76,5°	
		iP	12 29 56 C
		Z: 1,0s; 0,028μ	
		eipP	30 07,5
	KSP	Δ=76,7°	
		eiP	12 29 57,[illegible]

Date	Station	Phase	T.U. h m s
26.VI	KSP		
		eP	13 39 10
26.VI		Iles Kouriles, USCGS: 43,0°N, 147,1°E, H=18h02m24,1s, h=39 km; mb=5,6(USCGS), mPV=5,9 (Kraków), 5,6(Niedzica), 5,8 (Książ), MLH=5,9(Kraków)	
	WAR (SKD)	Δ=74,1°	
		eP	18 14(00)
		iS	23 28
		ei	46
		eL	29,0
	KRA (SKM)	Δ=76,7°	
		iP	18 14 11,9 C
		Z: 0,8s; 0,092μ	
		ipP	23,1
	(GW)	i	36
		eiS	23 55
		i	24 10
		eL	47,6
		Lm	52,9
		NE: 14s; 4,3μ, 2,8μ	
	NIE	Δ=77,0°	
		eiP	18 14 14,5 C
		Z: 1,4s; 0,083μ	
		i	16
		m	19
		Z: 0,6s; 0,12μ	
		ipP	26
		isP	29
	KSP	Δ=77,2°	
		eiP	18 14 15
		Z: 1,0s; 0,07μ	
		ipP	26,7
		Z: 0,8s; 0,008μ	
26.VI		Méditerranée au Sud-Est de la Crète, BCIS: 34,3°N, 26,3°E, H=19h05m24s, h=50 km± 10 km; M_L=4,5(Athènes)	
	NIE	Δ=15,5°	
		eiP	19 09 04
		i	13
26.VI	NIE	Traces	
		eP	21 27 39

International Seismological Centre

Date	Station	Phase	T.U. h m s
26.VI	NIE	Pm	21 27 39,5
		Z: 0,6s; 0,013μ	
26.VI			
	NIE	Traces	
		eP	21 42 27
		Pm	28
		Z: 0,9s; 0,008μ	
26.VI		Iles Kouriles, USCGS: 43,2°N, 146,6°E, H=22h32m00,2s	
	WAR (SKD)	Δ=73,9°	
		iP	22 43 32 D
		Pm	44
		Z: 18s; 17μ	
		eiPP	46 28
		iS	53 08
		eL	58,8
		Lm	23 14 16
		E: 24s; 140μ	
		Lm	16 32
		Z: 28s; 90μ	
	KRA (SKM)	Δ=76,4°	
		iP	22 43 45 C
		Z: 0,9s; 0,110μ	
		i	51,7
		ipP	44 02,4
	(SKD)	iS	53 38
	NIE	Δ=76,8°	
		iP	22 43 47,5 C
		Z: 0,9s; 0,052μ	
		i	52
		iPcP	57
		isP	44 05
	KSP	Δ=76,8°	
		iP	22 43 48,7 C
		Z: 1,0s; 0,07μ	
		i	44 01,2
		Z: 1,1s; 0,2μ	
26.VI		Région de Hokkaido, USCGS: 42,8°N, 146,7°E, H=22h41m34,6s, h=41 km; mb=5,5(USCGS)	
	KRA (SKM)	Δ=76,7°	
		eiP	22 53 21,9
		Z: 0,8s; 0,092μ	
	KSP	Δ=77,2°	
		eP	22 53 22

Date	Station	Phase	T.U. h m s
26.VI	NIE	Δ =77,1°	
		eiP	22 53 24,5
		i	30
		eisP	43
26.VI		Iles Kouriles, USCGS: 43.0°N, 146,7°E, H=22h45m32,5s, h=44 km; mb=5,4(USCGS), mPV=6,0 (Kraków)	
	KRA (SKM)	Δ =76,5°	
		eiP	22 57 18
		Z: 1,0s; 0,126 μ	
		eipP	30
	NIE	Δ =76,9°	
		eiP	22 57 20,5
		i	24
		ipP	33
		isP	39
26.VI		Région de Hokkaido, USCGS: 42,8°N, 146,6°E, H=22h57m13,0s h=44 km; mb=5,3(USCGS)	
	NIE	Δ =77,1°	
		eP	23.09 03
		ipP	18
	KSP	Δ =77,2°	
		eP	23 09 05
27.VI		Iles Kouriles, USCGS: 43,3°N, 146,5°E, H=23h51m16,8s, h=26 km; mb=4,1(USCGS)	
	NIE	Δ =76,6°	
		eP	00 03 06
27.VI		Région de Hokkaido, USCGS: 42,8°N, 146,6°E, H=01h02m59,2s h=41 km; mb=5,1(USCGS), mPV=5,7(Kraków), 5,2(Niedzica)	
	KRA (SKM)	Δ =76,6°	
		iP	01 14 47,8
		Z: 0,6s; 0,039 μ	
	NIE	Δ =77,0°	
		eiP	01 14 50 C
		Z: 0,9s; 0,019 μ	
		ipP	15 03,5
	KSP	Δ =77,2°	
		eP	01 14 51

Date	Station	Phase	T.U. h m s
27.VI			
	NIE		
		eP	01 31
27.VI		Iles Kouriles, USCGS: 146,5°E, H=01h41m18,1 km; mb=5,4(USCGS), mPV=5,9 (Niedzica), 5,9(Kraków)	
	KRA (SKM)	Δ =76,4°	
		eiP	01 53
		Z: 0,9s; 0,10 μ	
		i	
		eipP	
	NIE	Δ =76,8°	
		iP	01 53
		Z: 1,0s; 0,039 μ	
		i	
		iPcP	
	KSP	Δ =76,9°	
		iP	01 53
27.VI		Iles Kouriles, USCGS: 146,8°E, H=03h15m20,4 km; mb=5,0(USCGS), mPV=5,5 (Niedzica)	
	KSP	Δ =77,0°	
		eiP	03 27
	NIE	Δ =76,8°	
		eiP	03 27
		Z: 1,0s; 0,021 μ	
		iPcP	
27.VI		Région de Hokkaido, USCGS: 42,6°N, 145,8°E, H=03h41m h=38 km; mb=5,2(USCGS), 5,7(Kraków), 5,4(Niedzica)	
	KRA (SKM)	Δ =76,5°	
		iP	03 54
		Z: 0,8s; 0,055 μ	
		iPcP	
	(SKD)	iS	04 05
	NIE	Δ =76,9°	
		eiP	03 54
		Z: 0,8s; 0,026 μ	
		ipP	
		m	
		Z: 0,9s; 0,034 μ	

Date	Station	Phase	T.U. h m s
27.VI	KSP	Δ =77,1°	
		eiP	03 54 29,1
27.VI		Sinkiang, Chine, USCGS: 40,6°N, 89,5°E, H=03h59m51,0s h normale; mb=4,8(USCGS), mPV=4,9(Niedzica)	
	NIE	Δ =41,6°	
		iP	04 08 31 C
		Z: 0,8s; 0,018 μ	
27.VI		Région du Kamtchatka, USCGS: 53,2°N, 159,8°E, H=11h50m 40,0s, h=40 km; mb=5,0(USCGS) mPV=5,0(Niedzica)	
	NIE	Δ =72,4°	
		iP	12 02 03,5 D
		Z: 1,0s; 0,013 μ	
27.VI		Iles Kermadec, USCGS: 30,6°S, 178,0°W, H=12h16m48,7s, h=42 km; mb=5,3(USCGS)	
	KSP	Δ =157,1°	
		ePKIKP	12 36 37
		e1PKP2	37 10
	NIE	Δ =156,8°	
		ePKIKP	12 36 39
		Z: 1,5s; 0,035 μ	
		iPKP2	37 15
27.VI		Sinkiang, Chine, USCGS: 40,6°N, 79,2°E, H=13h11m11,0s h normale; mb=5,0(USCGS)	
	NIE	Δ =41,6°	
		eiP	13 18 58
		i	19 05
27.VI		Région de Hokkaido, USCGS: 42,7°N, 145,4°E, H=20h22m 27,2s, h normale; mb=4,7 (USCGS), mPV=5,3(Niedzica)	
	NIE	Δ =76,6°	
		eiP	20 34 16,5
		Z: 0,6s; 0,015 μ	
28.VI		Région des Iles Fidji, USCGS: 18,2°S, 178,6°W, H=10h28m 56,5s, h=642 km; mb=4,5 (USCGS)	
	NIE	Δ =149,9°	

Date	Station	Phase	T.U. h m s
28.VI	NIE	e1PKIKP	10 47 25
		Z: 1,0s; 0,017 μ	
		e1PKP2	42
28.VI		Région des Iles Riou-Kiou, USCGS: 23,4°N, 123,5°E, H=10h 49m33,4s, h=41 km; mb=5.2 (USCGS), mPV=5,6(Kraków), 5,3(Niedzica)	
	KRA (SKM)	Δ =80,7°	
		iP	11 01 43,9 C
		Z: 1,0s; 0,048 μ	
		i	54,9
	NIE	Δ =80,8°	
		iP	11 01 44
		Z: 0,9s; 0,022 μ	
		ipP	56
		m	59
		Z: 1,1s; 0,049 μ	
		i	02 13
28.VI		Nevada, USCGS: 37,140°N, 116,086°W, H=19h15m12,4s, h= h=0 km; mb=4,9(USCGS), mPV=4,9(Niedzica)	
	NIE	Δ =85,8°	
		eiP	19 27 53,5 D
		Z: 0,9s; 0,009 μ	
28.VI		Chine, USCGS: 29,1°N, 103,6°E, H=21h58m02,9s, h normale; mb=5,2(USCGS)	
	NIE	Δ =64,4°	
		eP	22 08 38
28.VI		Chine, USCGS: 28,9°N, 103,6°E, H=21h59m30,3s, h normale; mb= 5,4(USCGS), mPV=5,2(Niedzica)	
	NIE	Δ =64,5°	
		eiP	22 10 06,5
		Z: 1,0s; 0,019 μ	
		ipP	18
29.VI		Iles Kouriles, USCGS: 43,6°N, 146,0°E, H=01h27m53,8s, h=58 km; mb=4,9(USCGS), mPV=5,5 (Niedzica)	
	KRA (Ch)	Δ =75,7°. Traces	
		iP	01 39 34,8

International Seismological Centre

Date	Station	Phase	T.U. h m s
29.VI	NIE	Δ =76,1°	
		iP	01 39 37,5D
		Z: 0,7s; 0,035 μ	
29.VI		Région des Iles Mariannes, USCGS: 21,1°N, 143,1°E, H=02h23m20,9s, h=24 km; mb=5,7(USCGS),	
	KRA	Δ =93,3°	
	(Ch)	eP	02 36 34
		ePP	40 20
	(SKD)	eL	03 12,7
	NIE	Δ =93,6°	
		eP	02 36 35
29.VI		Région de Hokkaido, USCGS: 43,4°N, 145,8°E, H=03h26m 53,2s, h=50 km; mb=5,9(USCGS) mPV=6,8(Kraków), 6,4(Niedzica)	
	KRA	Δ =75,8°	
	(Ch)	iP	03 38 34,9C
		Z: 0,8s; 0,784 μ	
		i	40,4
		iPcP	47,4
	(SKD)	eS	48 12
		eL	04 04,6
	NIE	Δ =76,2°	
		iP	03 38 36,5 C
		Z: 0,9s; 0,35 μ	
29.VI			
	NIE		
		eiP	13 06 49
		Z: 0,8s; 0,029 μ	
		i	07 12
		Z: 0,7s; 0,085 μ	
29.VI		Chine, USCGS: 28,8°N, 103,7°E, H=17h52m00,6s, h normale; mb=5,2(USCGS)	
	NIE	Δ =64,7°	
		eP	18 02 37
		ei	41
	KSP	Δ =66,7°	
		eP	18 02 50
29.VI		Océan Atlantique Nord, USCGS: 54,0°N, 35,2°W, H=23h14m14,3s	

Date	Station	Phase	T.U. h m s
29.VI		h normale; mb=4,6(USCGS)	
	NIE	Δ =34,1°	
		eP	23 20 51
30.VI		Région des Iles Fidji, USCGS: 19,9°S, 177,6°W, H=03h21m h=576 km; mb=5,0(USCGS)	
	KSP	Δ =147,2°	
		eiPKIKP	05 42 46,1
		Z: 0,8s; 0,08 μ	
		ePKP2	53,3
	KRA	Δ =147,0°	
	(SKM)	iPKIKP	05 42 49,4
		Z: 0,8s; 0,032 μ	
	NIE	Δ =147,5°	
		iPKIKP	05 42 51
		Z: 1,1s; 0,019 μ	
		iPKP2	55
30.VI		Région de Formose, USCGS: 2 121,4°E, H=17h43m27,6s, h mb=5,2(USCGS), mPV=4,9(Nied	
	KRA	Δ =79,9°	
	(SKM)	eiP	17 55 34
		iPcP	39,4
	NIE	Δ =79,9°	
		iP	17 55 36
		Z: 1,0s; 0,010 μ	
		iPcP	40
	KSP	Δ =81,5°	
		iP	17 55 44,6
		Z: 1,0s; 0,25 μ	
		iPcP	47,6
30.VI		Iles Proches, Aléoutiennes, USCGS: 52,7°N, 172,3°E, H=17h55m55,9s, h=44 km; mb=5, (USCGS), mPV=5,7(Kraków), 5,4 (Niedzica)	
	KSP	Δ =74,9°	
		iP	18 07 33,1
	KRA	Δ =75,2°	
	(SKM)	eiP	18 07 34,4
		Z: 1,1s; 0,076 μ	
		eipP	44,9
	NIE	Δ =75,8°	
		iP	18 07 38

POLSKA AKADEMIA NAUK
INSTYTUT GEOFIZYKI

International Seismological Centre

BULLETIN SÉISMOLOGIQUE

1973

JUILLET AOÛT SEPTEMBRE

(3)

WARSZAWA

Komitet Redakcyjny

Roman TEISSEYRE (redaktor naczelny), Zdzisław MAŁKOWSKI (zastępca redaktora), Jan SŁOMKA (członek Redakcji), Wacław KOWALSKI (sekretarz Redakcji)

Adres Redakcji
Instytut Geofizyki Polskiej Akademii Nauk
02-093 Warszawa, ul. Pasteura 3

Printed in Poland

Państwowe Wydawnictwo Naukowe
Oddział w Łodzi 1974

Wydanie I. Nakład 300+55 egz. Ark. wyd. 5,00. Ark. druk. 3,75.
Papier offset. kl. III 80 g. 70×100. Podpisano do druku 9. IV. 1974 r.
Druk ukończono w kwietniu 1974 r. Zam. 229.

Zakład Graficzny Wydawnictw Naukowych
Łódź, ul. Żwirki 2

International Seismological Centre

INTRODUCTION

La présente élaboration trimestrielle des résultats d'enregistrement des observatoires séismologiques de l'Institut de Géophysique de l'Académie Polonaise des Sciences constitue la suite des élaborations annuelles paraissant dans le cadre des "Publications of the Institute of Geophysics, Polish Academy of Sciences".

Cette publication contient une élaboration des tremblements de terre distants. Un relevé des secousses les plus fortes provenant du territoire de la Haute Silésie en 1973, ainsi que des secousses locales dont les épicentres sont situés en dehors de la région de la Haute Silésie, sera présenté séparement dans un cahier du même volume. L'identification des secousses distantes s'appuie sur les données fournies par les centres séismologiques de NOAA, BCIS, ISC et Moskva. Les distances épicentrales Δ sont calculées d'après les coordonnées géocentriques avec une exactitude de $\pm 0{,}01^{\circ}$. Les valeurs des magnitudes des secousses dont les distances épicentrales sont $\geqslant 5^{\circ}$ ont été établies à base des ondes volumétriques (m) et des ondes superficielles (M).

CONSTANTES DES SÉISMOGRAPHES

Station	Type séismo-graphe	Comp.	Ts sec	Tg sec	Ds	Dg	σ^2	Vo	Vm	Tm sec	Période de validité
Warszawa (WAR)	GW	N-S	10,1	11,7	0,80	1,00	0,075	1410	1430	6,5-10,5	VII - IX
φ=52°14′30″N		E-W	9,80	11,3	1,01	1,00	0,077	1675	1030	4,0-9,7	
λ=21°01′25″E		Z	8,65	11,2	0,54	1,00	0,057	1130	1110	5,6-8,0	
h=110 m	SKD	N-S	25	80,0	1,0	0,4	0,114	645	700	18-60	VII - IX
		E-W	25	83,8	1,0	0,4	0,091	585	620	17-52	
		Z	25	83,2	1,1	0,5	0,137	723	790	17-60	
Kraków (KRA)	Ch	N-S	1,27	0,281	0,50	2,0	0,132	10500	11200	0,15-1,05	VII - IX
φ=50°03′22″N		E-W	1,27	0,280	0,50	2,0	0,139	10500	11200	0,15-1,05	
λ=19°56′23″E		Z	1,27	0,282	0,50	2,0	0,155	10500	11570	0,15-1,05	
h=223 m	SKM-3	N-S	1,28	0,580	0,50	0,49	0,013	21670	23670	0,47-0,78	VII - IX
		E-W	1,30	0,575	0,50	0,47	0,012	21440	23490	0,48-0,77	
		Z	1,45	0,580	0,60	0,49	0,014	24840	25790	0,47-0,75	
	GW	N-S	9,7	1,01	0,49	5,0	0,1	1475	1590	0,3-8	VII - IX
		E-W	11,1	1,00	0,47	5,0	0,1	1475	1530	0,3-8,5	
		Z	10,5	1,01	0,47	5,0	0,1	2200	2340	0,3-8	
	SKD	Z	25,0	91,5	1,00	0,50	0,204	760	810	17-59	VII - IX
Racibórz (RAC)	SK-58	N-S	1,18	1,00	0,6	0,5	0,011	3000	2900	0,75-1,1	VII - IX
φ=50°05′00″N		E-W	1,18	1,00	0,5	0,5	0,015	3000	3420	0,77-1,14	
λ=18°11′39″E		Z	1,11	1,05	0,5	0,5	0,015	3000	3300	0,78-1,13	
h=209 m	M	N-S	9,0	–	0,2	–	–	160	370	7,5-9,5	VII - IX
		E-W	9,0	–	0,2	–	–	157	450	6,5-9,2	
		Z	2,0	–	0,1	–	–	126	660	1,8-2,1	
Niedzica (NIE)	SK-58	N-S	1,82	0,366	3,63	4,5	0,813	39500	44450	0,56-0,91	VII - IX
φ=49°25′25″N		E-W	2,01	0,312	3,44	4,1	0,904	37800	66780	0,68-0,88	
λ=20°19′19″E		Z	1,77	0,426	2,34	4,8	0,950	40480	128000	0,99-1,16	
h=555 m											
Książ (KSP)	SU-59	N-S	1,22	0,238	0,52	1,52	0,142	103000	106000	0,14-0,67	VII - IX
φ=50°50,6′N		E-W	1,22	0,277	0,51	1,51	0,091	102000	108000	0,16-0,75	
λ=16°17,6′E		Z	1,02	0,204	0,52	1,53	0,174	100000	105000	0,13-0,57	
h=380 m											

S y m b o l e s

Ts - période du pendule

Tg - période du galvanomètre

Ds - amortissement du pendule

Dg - amortissement du galvanomètre

σ^2 - coefficient du couplage

Vo - amplification statique $Vo = \frac{2A}{Io}\sqrt{\frac{Ks}{Kg}}\sqrt{\frac{Ds}{Dg}\frac{Tg}{Ts}\sigma^2}$

Vo - amplification statique

pour les séismographes SKD $Vo = \frac{2A}{Io}\sqrt{\frac{Ks}{Kg}}\sqrt{\frac{Dg}{Ds}\frac{Ts}{Tg}\sigma^2}$

Vm - valeur de l'amplification maximalle de l'appareil séismique

Tm - intervalle des périodes pour lesquelles l'amplification est supérieure ou égale à 0,9 Vm

International Seismological Centre

International Seismological Centre

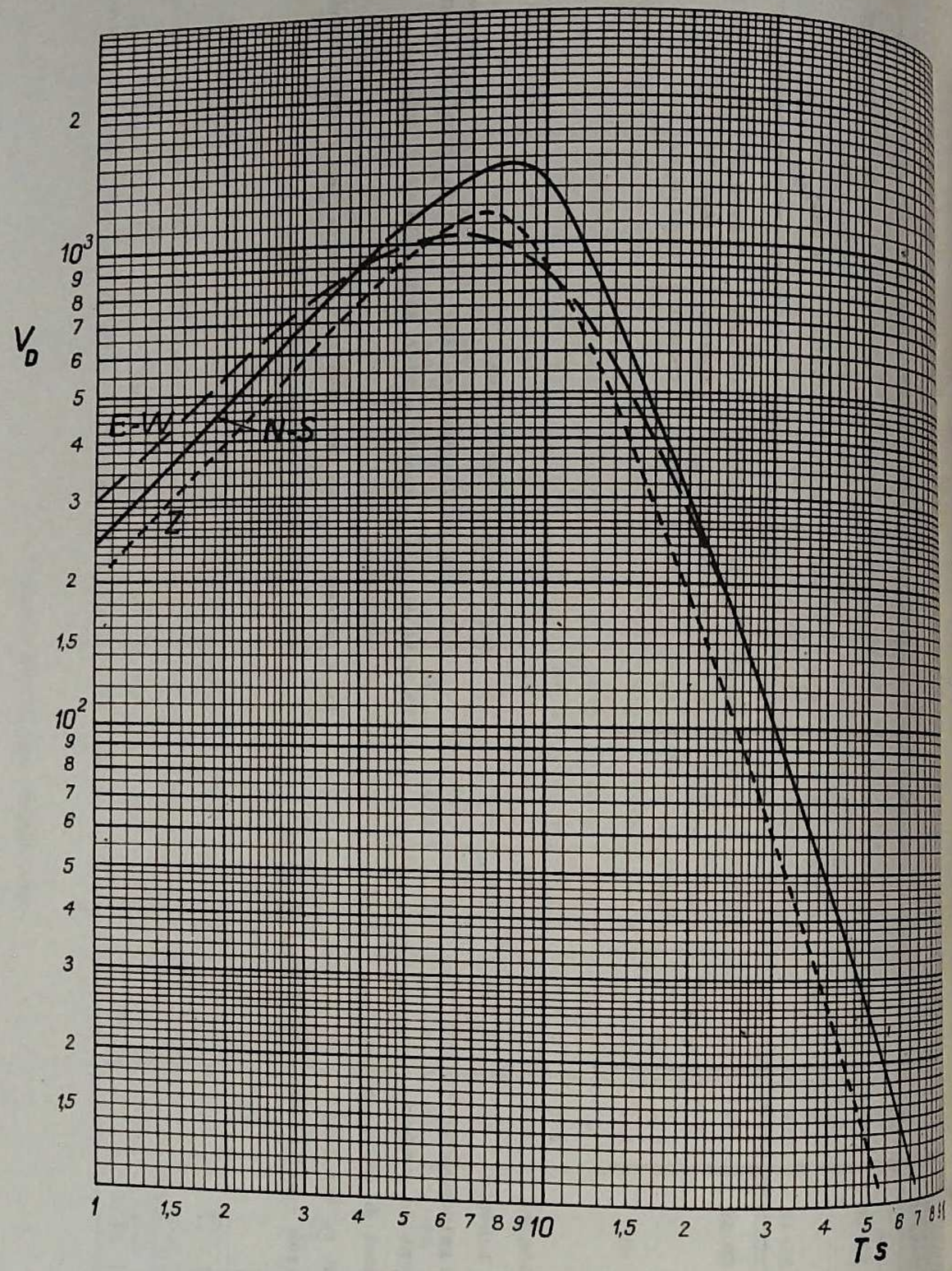

Fig. 1. L'amplification dynamique des séismographes Galitzine-Wilip à Wars

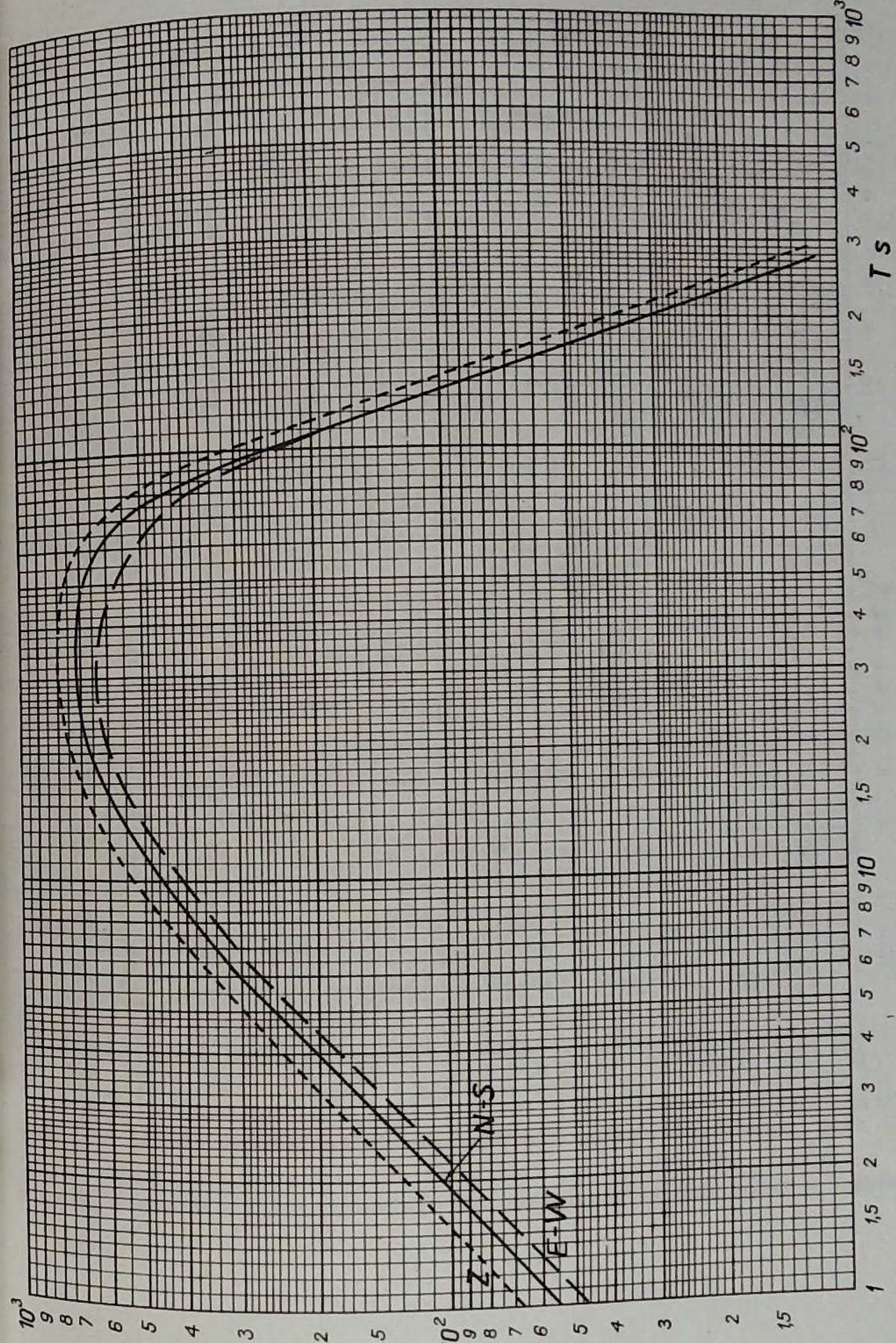

Fig. 2. L'amplification dynamique des séismographes type SKD à Warszawa

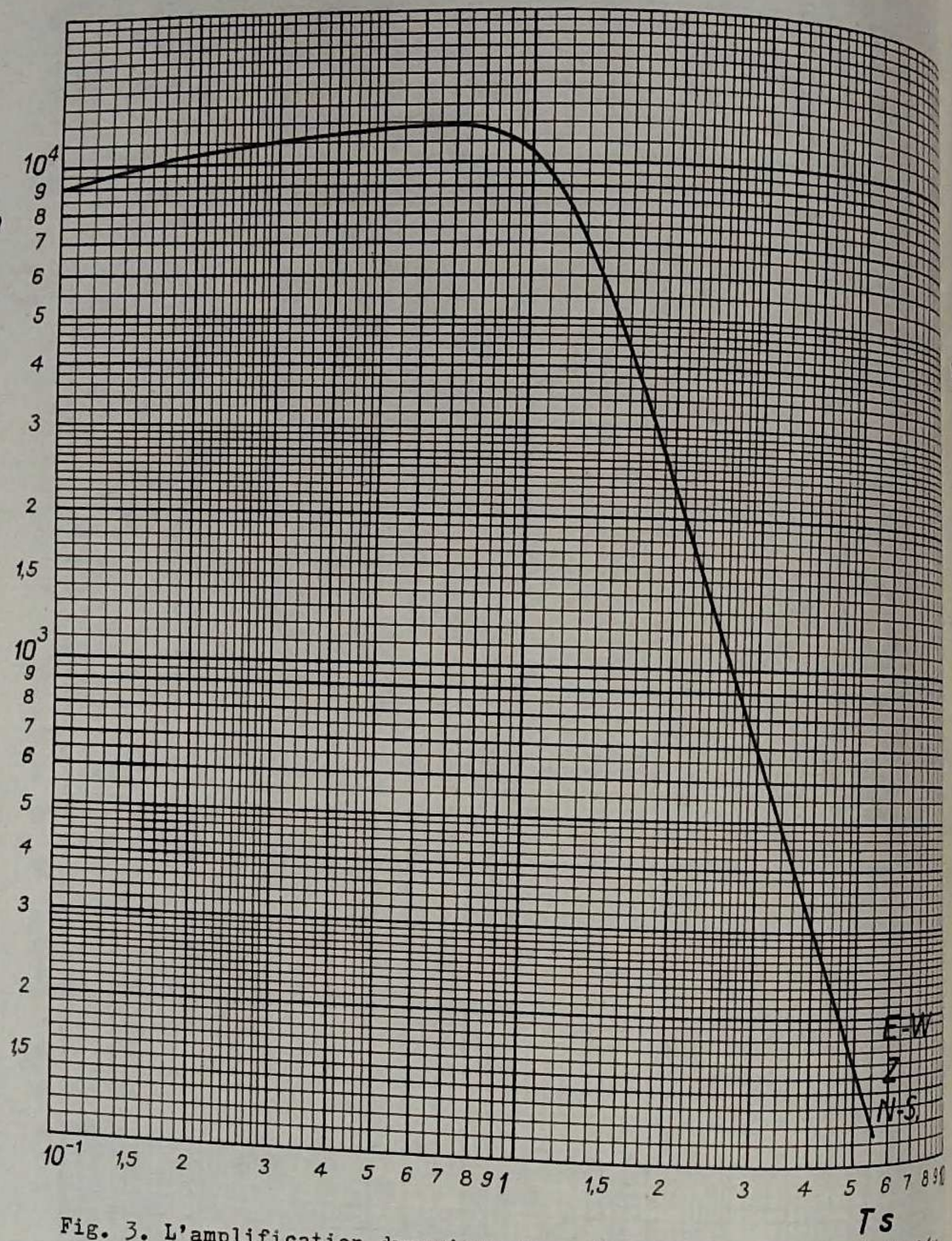

Fig. 3. L'amplification dynamique des séismographes Charin à Kraków

International Seismological Centre

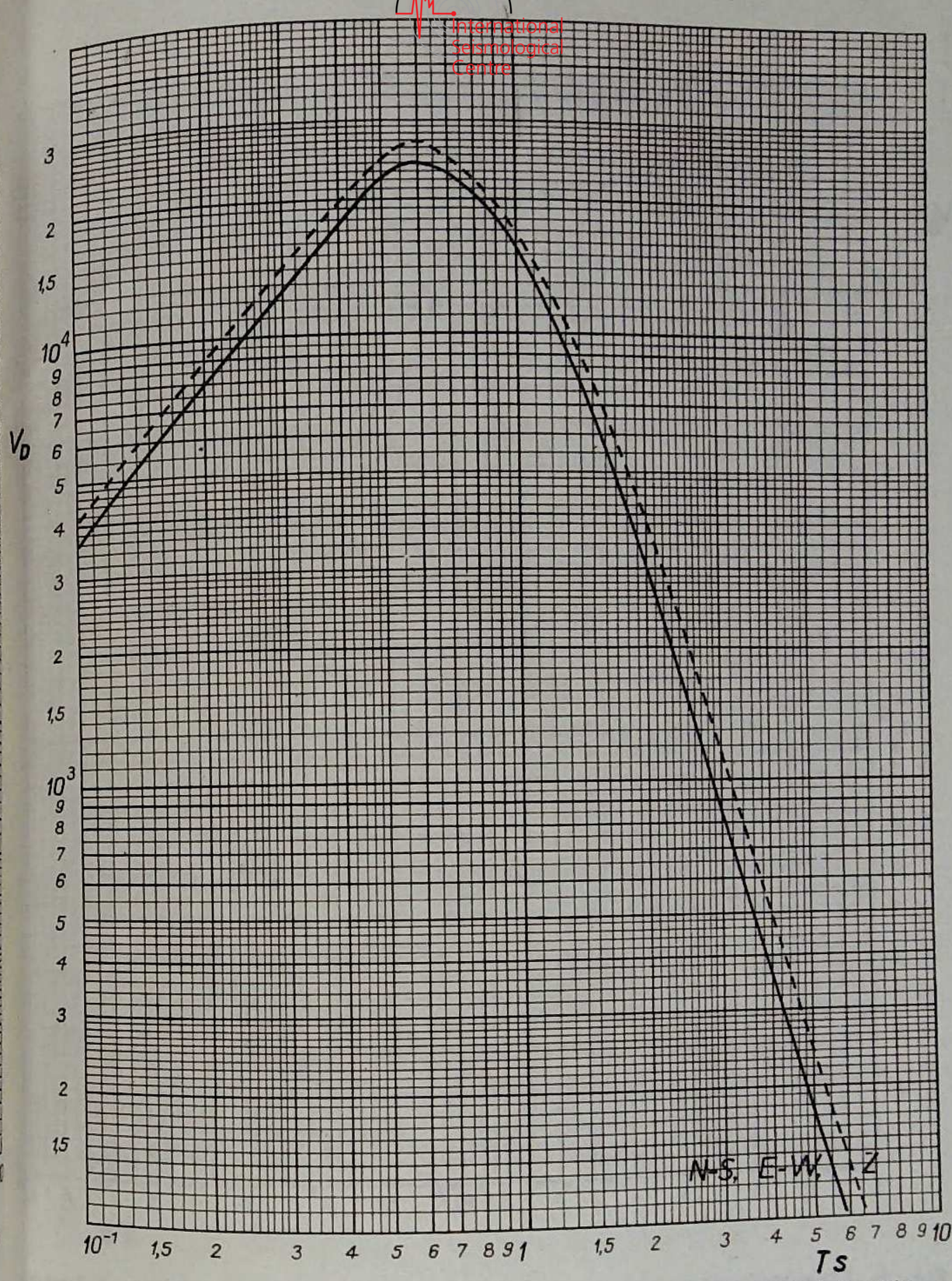

Fig. 4. L'amplification dynamique des séismographes type SKM-3 à Kraków

International Seismological Centre

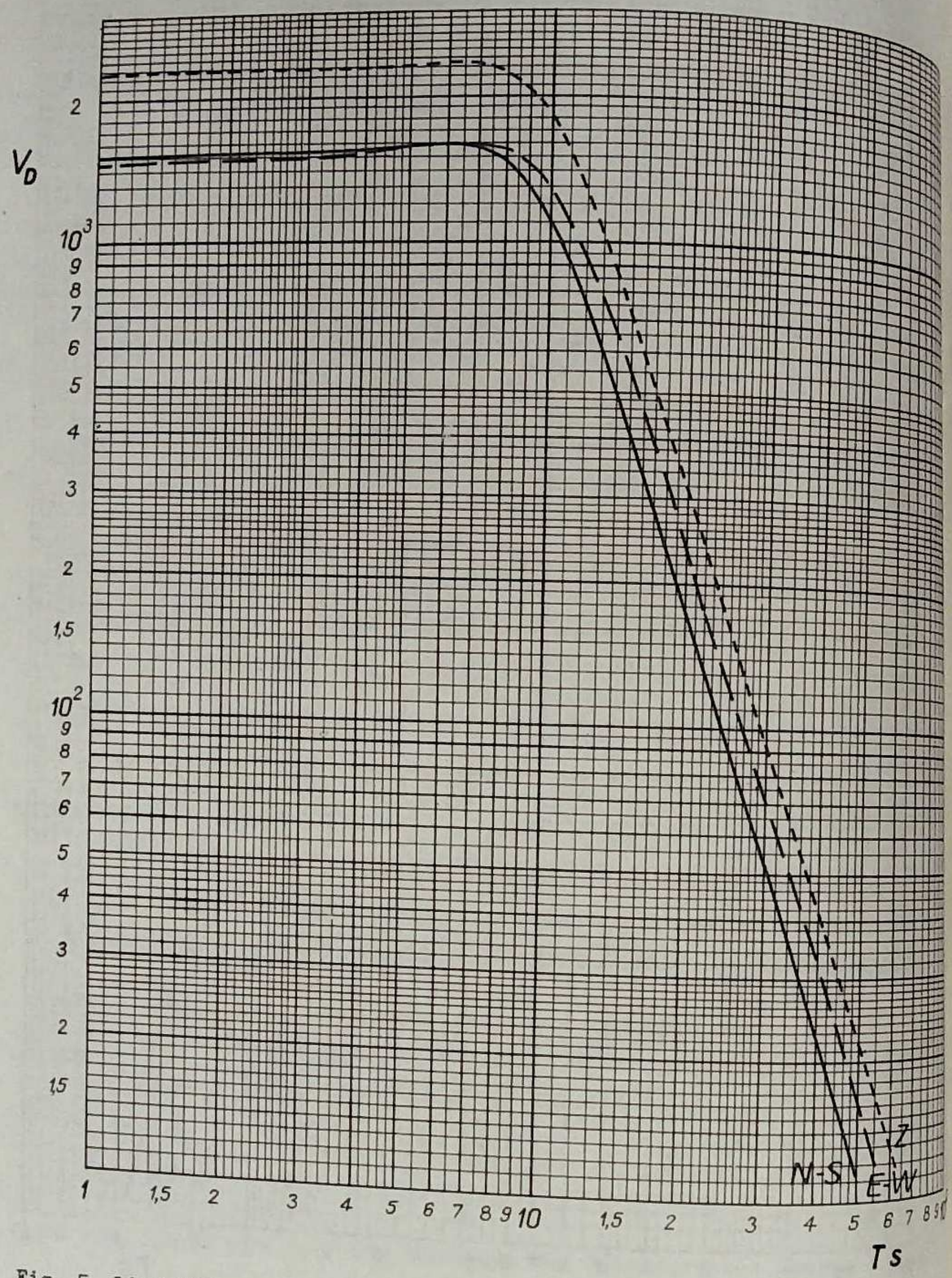

Fig. 5. L'amplification dynamique des séismographes Galitzine-Wilip à Krak

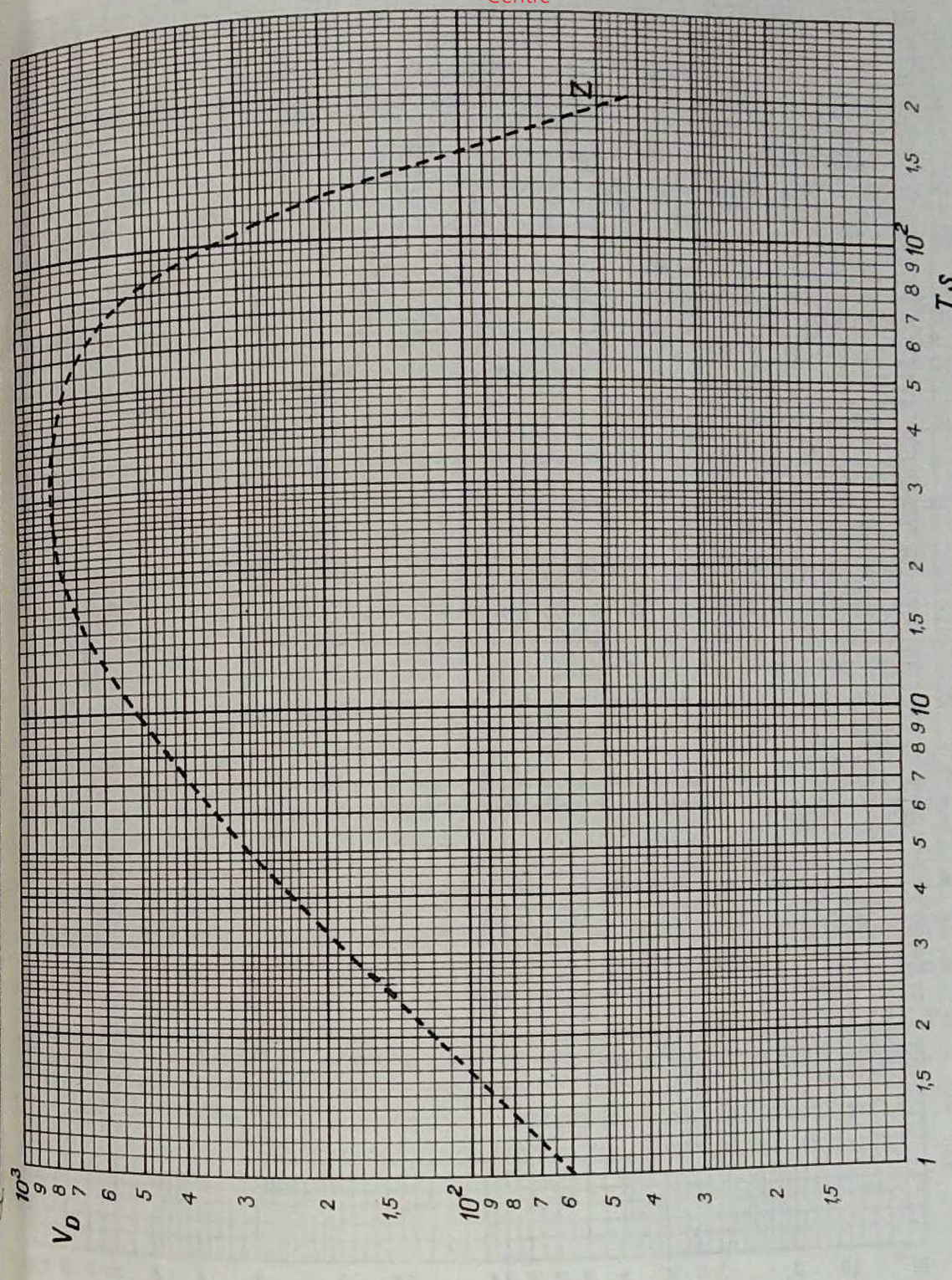

Fig. 6. L'amplification dynamique du séismographe vertical type SKD à Kraków

International Seismological Centre

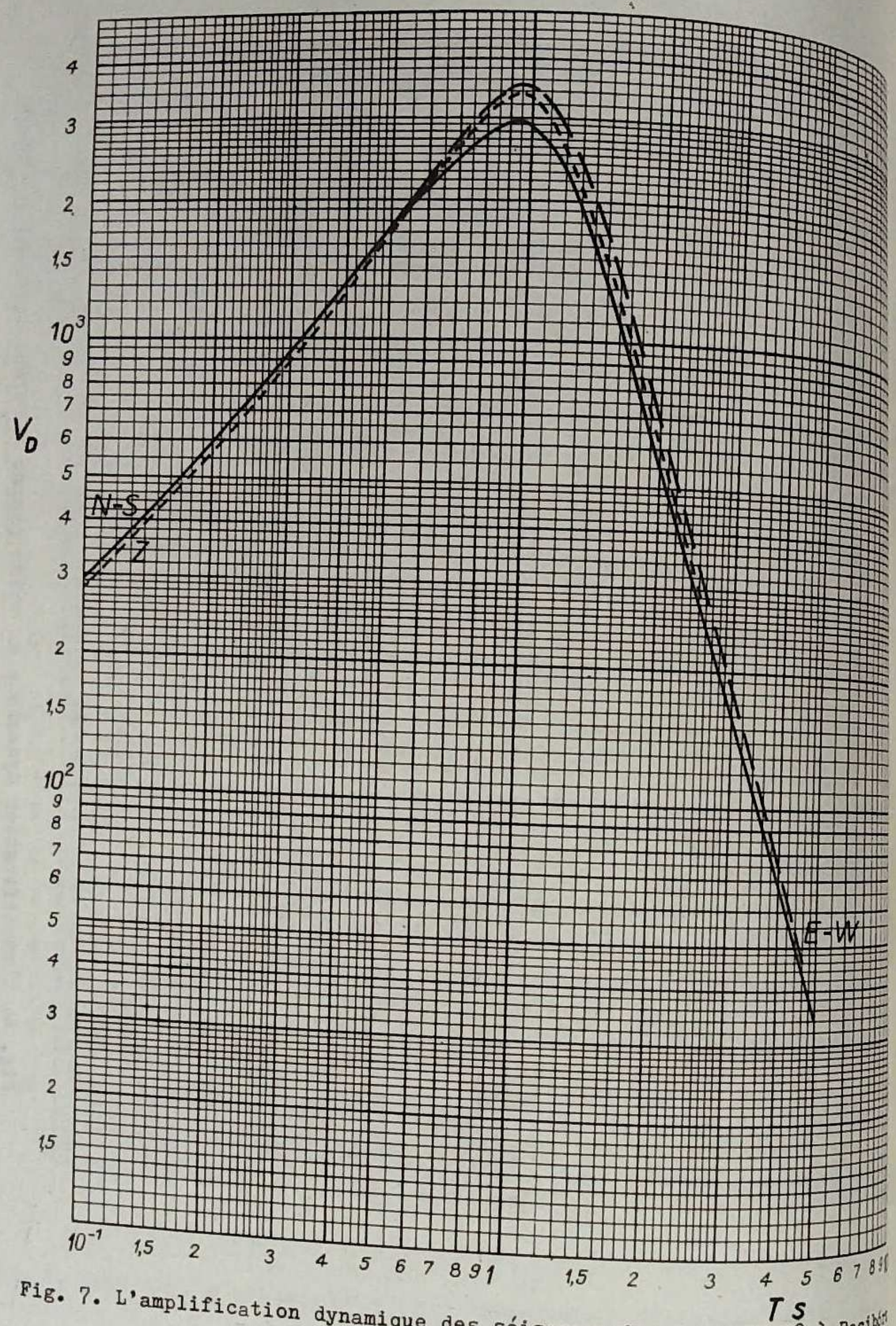

Fig. 7. L'amplification dynamique des séismographes type SK-58 à Racib

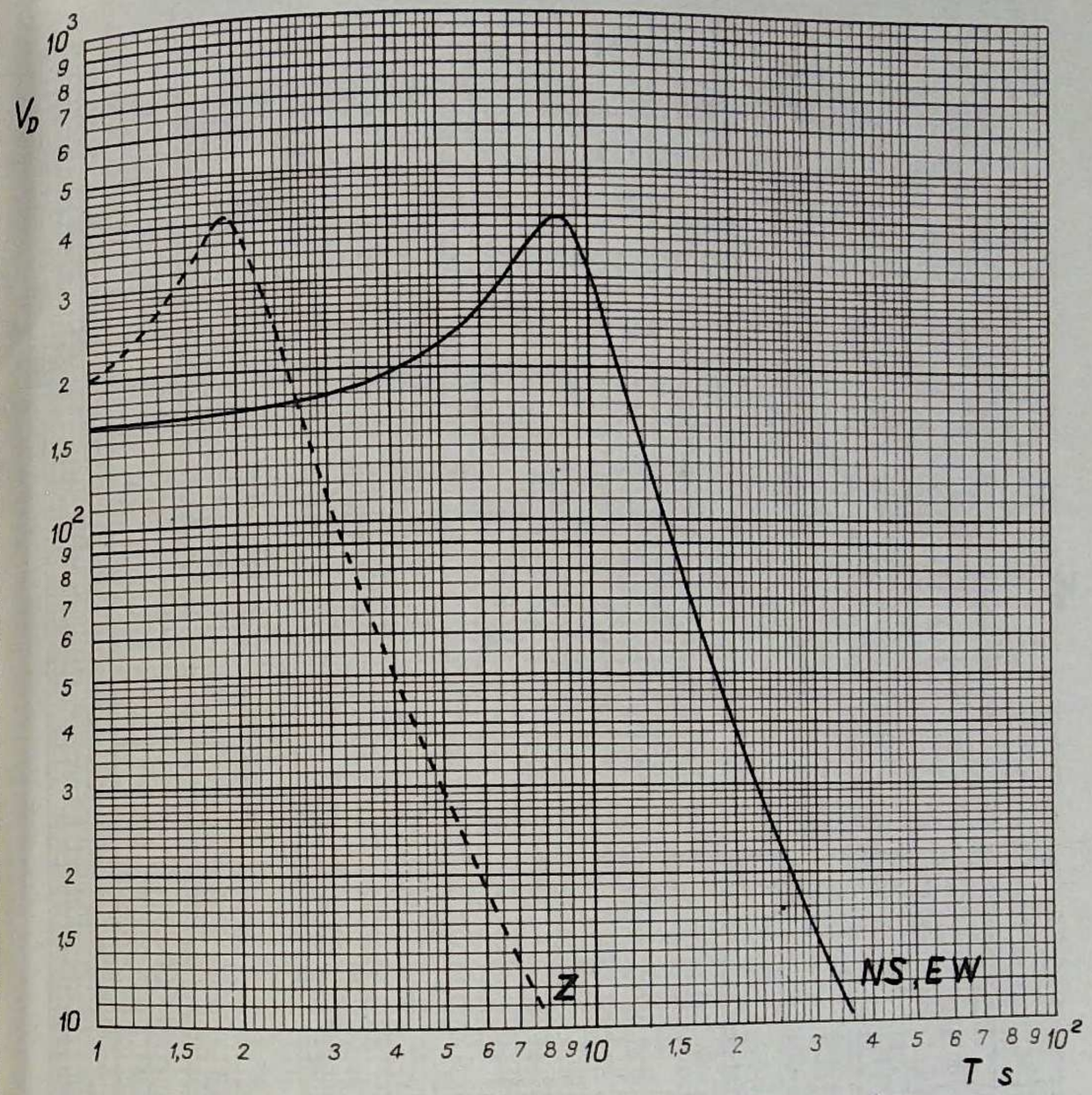

Fig. 8. L'amplification dynamique des séismographes Mainka à Racibórz

International Seismological Centre

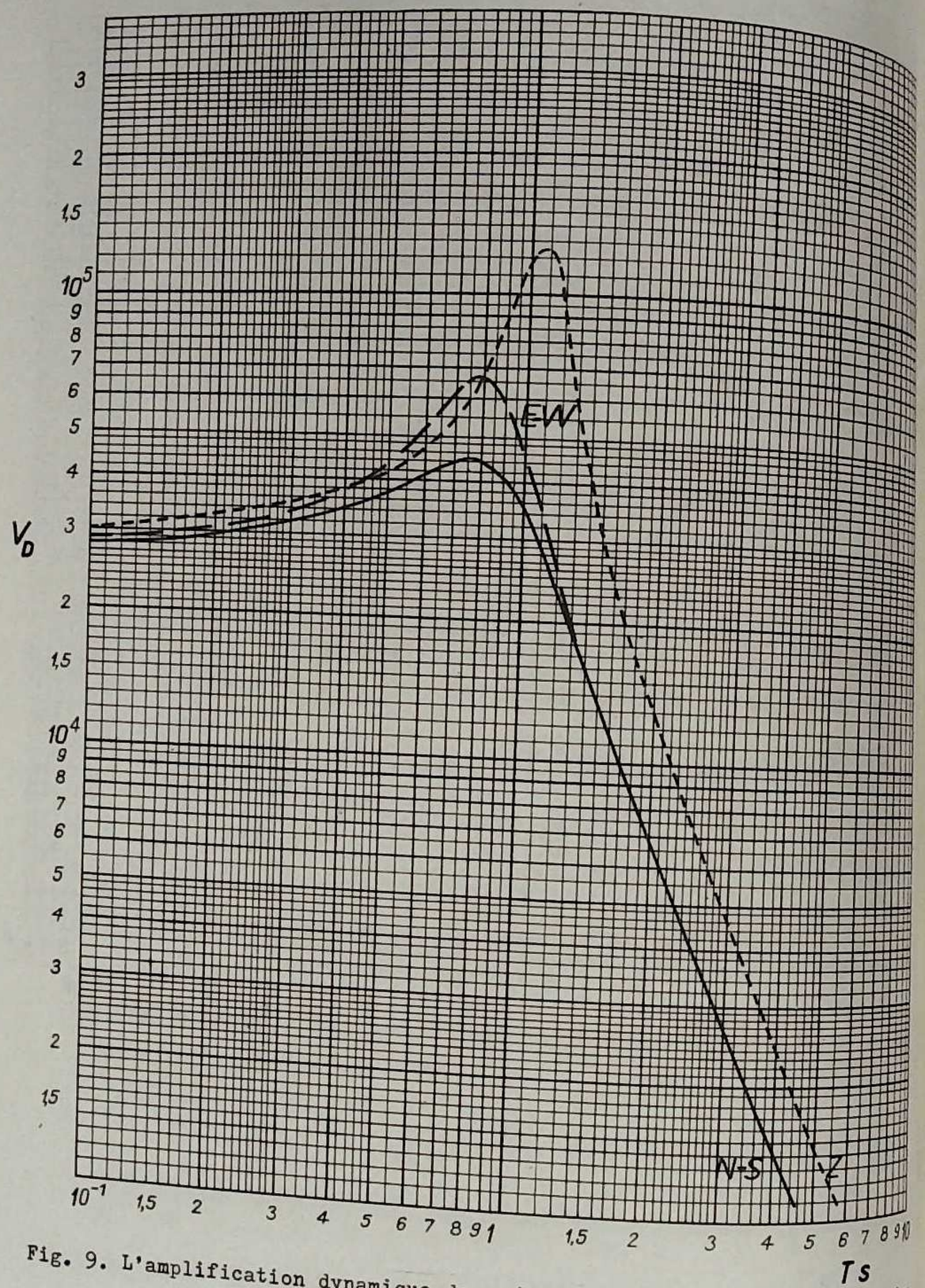

Fig. 9. L'amplification dynamique des séismographes type SK-58 à Niedzica

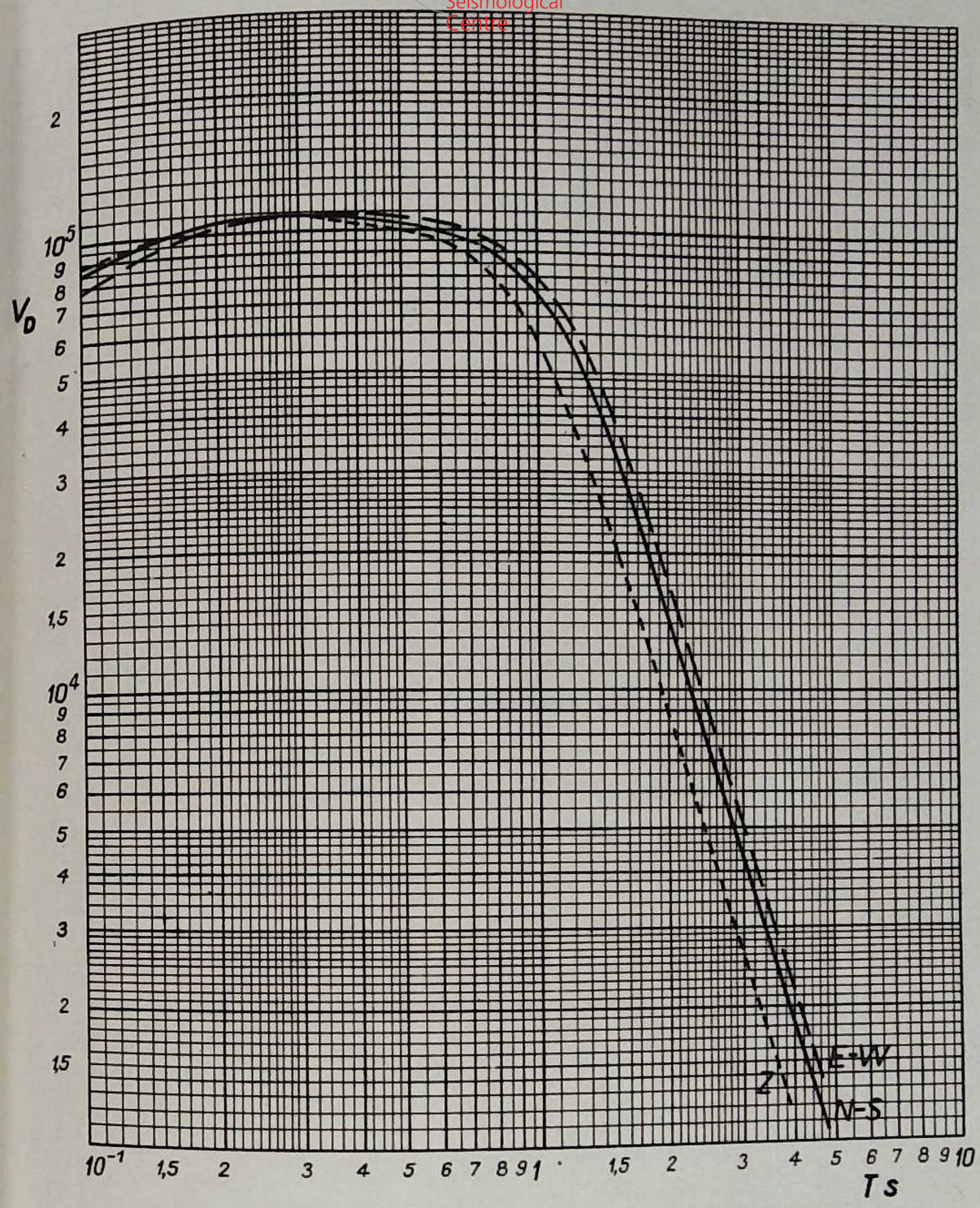

Fig. 10. L'amplification dynamique des séismographes type SU-59 à Książ

International
Seismological
Centre

RÉSULTATS DES ENREGISTREMENTS

International Seismological Centre

Date	Station	Phase	T.U. h m s
1973		JUILLET	
1.VII		Région SE de l'Alaska, NOAA: 57,8°N, 137,3°W, H=13h33m34,6s, h normale; mb=6,1 (NOAA), mPV=6,4 (Kraków), 6,3 (Niedzica)	
	WAR (SKD)	Δ=68,9°	
		iP	13 44 37 C
		Pm	50
		Z: 8s; 40μ	
		eiPcP	45 05
		i	47 09
		iS	53 45
		i	51
		Lm	14 06 23
		E: 36s; 90μ	
		Lm	08 31
		Z: 38s; 75μ	
	KRA (SKM)	Δ=71,1°	
		eiP	13 44 50,1 C
		Z: 1,8s; 0,660μ	
		i	55,9
		ipP	59,9
	(GW)	i	54 11
		Lm	14 18,9
		NEZ: 16s; 30,1μ, 22,9μ, 8,0μ	
	NIE	Δ=71,8°	
		iP	13 44 53,5 C
		Pm	55
		Z: 2,0s; 0,465μ	
1.VII		Région de l'Alaska, NOAA: 57,8°N, 137,3°W, H=15h12m05,0s, h normale; mb=5,2 (NOAA), mPV=5,6 (Kraków), 5,0 (Niedzica)	
	KRA (SKM)	Δ=71,1°	
		eiP	15 23 21,1
		Z: 1,1s; 0,055μ	
	NIE	Δ=71,8°	
		iP	15 23 24,5
		Z: 1,1s; 0,013μ	
		i	32,5
		eipP	36
		eiPcP	41
2.VII		Océan Atlantique Nord, 49,5°N, 28,5°W, H=01h0?m h normale; mb=5,0 (NOAA)	
	KRA (SKM)	Δ=30,9°. Traces	
		eP	01 11 10
	NIE	Δ=31,4°	
		eiP	01 11 1?
2.VII		Région Nord du Spitzberg, NOAA: 84,1°N, 0,6°W, H=?h 45m59,4s, h normale, mb=? (NOAA), mPV=5,4 (Kraków), 4,6 (Niedzica)	
	KRA (SKM)	Δ=34,9°	
		eiP	01 52 4?,?
		Z: 1,1s; 0,062μ	
	NIE	Δ=35,5°	
		eiP	01 52 51,?
		Z: 1,0s; 0,009μ	
2.VII		Région de Hokkaido, Japon, NOAA: 42,9°N, 145,4°E, H=05h51m30,9s, h=57 km; mb=5,2 (NOAA), mPV=5,9 (Kraków), 5,4 (Niedzica)	
	KRA (SKM)	Δ=76,1°	
		iP	06 03 13,4 C
		Z: 0,9s; 0,089μ	
		eipP	24
		isP	29
	NIE	Δ=76,4°	
		iP	06 03 16 C
		Z: 1,0s; 0,031μ	
		isP	33
2.VII		Région des Iles du Commandeur, NOAA: 54,0°N, 164,1°E, H=05h56m12,4s, h normale; mb=5,4 (NOAA), mPV=5,6 (Kraków), 5,1 (Niedzica)	
	NIE	Δ=72,8°	
		eP	06 07 2?
		Z: 1,1s; 0,018μ	
		i	52

Date	Station	Phase	T.U. h m s
2.VII (suite)	KRA (SKM)	Δ=72,3°	
		iP	06 07 34,9
		Pm	36,4
		Z: 1,0s; 0,048μ	
2.VII		Nord de la Mer Egée, BCIS: 39,7°N, 24,1°E, H=12h14m07s; M=4,1 (Athènes)	
	NIE	Δ=9,8°	
		ePn	12 16 34
		eiP*	54
		eSg	19 34
2.VII		Tadzhikistan, URSS, NOAA: 37,8°N, 72,2°E, H=12h48m25,9s, h normale; mb=4,6 (NOAA), mPV=4,7 (Niedzica)	
	NIE	Δ=38,6°	
		eiP	12 55 47
		Z: 0,8s; 0,008μ	
		i	53
2.VII		Région de République Dominicaine, NOAA: 17,2°N, 71,?°W, H=18h22m10,4s, h=25 km; mb=4,8 (NOAA), mPV=5,1 (Niedzica)	
	NIE	Δ=78,5°	
		eiP	18 34 12,5 C
		Z: 0,8s; 0,012μ	
		iPcP	21,5
2.VII		Iles Kermadec, NOAA: 29,7°S, 177,6°W, H=19h55m26,0s, h=51 km; mb=4,8 (NOAA)	
	NIE	Δ=156,2°	
		ePKIKP	20 15 15
		ePKHKP	25
		eiPKP$_2$	42
		eipPKP$_2$	55
	KRA (SKM)	Δ=155,9°. Traces	
		ePKP$_2$	20 15 41
3.VII		Iles Kouriles, NOAA: 43,7°N, 146,6°E, H=02h54m57,7s, h=48 km; mb=4,2 (NOAA), mPV=4,9 (Niedzica)	
	NIE	Δ=76,3°. Traces	
		eP	03 06 42
		Z: 0,7s; 0,007μ	
		ePcP	52
3.VII		Mexique, NOAA: 19,1°N, 101,8°W, H=03h59m53,7s, h=125 km; mb=5,6 (NOAA)	
	KRA (SKM)	Δ=94,3°. Traces	
		eP	04 13 01
		Z: 0,7s; 0,029μ	
	NIE	Δ=94,9°	
		eP	04 13 02
		Z: 1,0s; 0,010μ	
3.VII	KSP		
		eiP	04 24 20,0
3.VII		Philippines, NOAA: 12,3°N, 125,4°E, H=06h37m34,4s, h=44 km; mb=5,5 (NOAA), mPV=5,6 (Kraków), 5,1 (Niedzica)	
	WAR (SKD)	Δ=88,9°	
		eiP	06 50 25
		eiS	07 01(00)
		eiPS	02 25
	KRA (SKM)	Δ=90,5°	
		eiP	06 50 32,9
		Pm	34,4
		Z: 0,9s; 0,037μ	
		eipP	43
		eisP	50
	NIE	Δ=90,4°	
		iP	06 50 33,5 C
		Z: 1,0s; 0,013μ	
		i	41,5
		ipP	45
3.VII		Philippines, NOAA: 12,2°E, 125,3°E, H=07h03m43,9s, h=normale; mb=6,1 (NOAA), mPV=6,1 (Kraków)	
	WAR (GW)	Δ=88,9°	
		eiP	07 16 37
		eiS	27 11
	(SKD)	Lm	08 00 29
		EZ: 18s; 44μ, 34μ	
	KRA (SKM)	Δ=90,4°	
		eiP	07 16 43,4 C
		Pm	46,4
		Z: 1,6s; 0,206μ	

International Seismological Centre

Date	Station	Phase	T.U. h m s
3.VII (suite)	KRA (GW)	ipP	07 16 54,4
		iScS	27 50
		Lm	08 55,0
		NE: 18^s; 17,7μ, 5,1μ	
	NIE	Δ=90,4^o	
		iP	07 16 44 C
		ipP	55
3.VII		Philippines, NOAA, 12,3^{o}N, 125,4^{o}E, H=07^{h}49^{m}22,3^s, h=51 km; mb=5,4 (NOAA)	
	NIE	Δ=90,4^o. Traces	
		eP	08 02 21
3.VII		Philippines, NOAA: 12,1^{o}N, 125,4^{o}E, H=07^{h}57^{m}24,0^s, h=56 km; mb=5,3 (NOAA), mPV=4,9 (Niedzica)	
	KRA (SKM)	Δ=90,6^o	
		eiP	08 10 21,4
	NIE	Δ=90,6^o	
		eiP	08 10 22,5 C
		Z: 1,1^s; 0,009μ	
		ipP	36,5
3.VII		Kiou-Siou, Japon, NOAA: 31,1^{o}N, 130,2^{o}E, H=10^{h}57^{m}07,5^s, h=139 km; mb=5,0 (NOAA)	
	KRA (SKM)	Δ=78,5^o	
		iP	11 08 55,4 C
		Z: 0,6^s; 0,062μ	
		epP	09 31
	NIE	Δ=78,7^o	
		iP	11 08 56 C
		Z: 0,8^s; 0,049μ	
		i	09 05
		eisP	40
3.VII			
	NIE	Traces	
		eiP	12 15 05
		ei	22
3.VII			
	NIE		
		eP	12 46 05
		ei	20

Date	Station	Phase	T.U. h m s
3.VII		Hondo, NOAA: 37,9^{o}N, H=13^{h}05^{m}46,0^s, h=53 km, 4,0 (NOAA)	
	NIE	Δ=79,1^o	
		eP	
		eiPcP	13 17 54
		eipP	18 09 11
3.VII		Adriatique, BCIS: 43,9^{o}N, 13,1^{o}E, H=16^{h}10^{m}10^s; M=4,2 (Roma MP, Trieste)	
	NIE	Δ=7,2^o	
		e(Pn)	
		eiP*	16 12 01
		iSg	07
			14 10
	KRA (SKM)	Δ=7,5^o	
		eiSg	16 14 17
3.VII		Alaska, NOAA: 58,0^{o}N, 138,0^{o}W, H=16^{h}59^{m}35,1^s, h normale; mb=6,0 (NOAA), mPV=6,2 (Kraków, Niedzica)	
	WAR (SKD)	Δ=68,8^o	
		iP	17 10 39
		eiPP	13 11
		eiS	19 47
		ei	27 44
		Lm	35 00
		Z: 36^s; 13μ	
		Lm	41 31
		EZ: 20^s; 15μ, 18μ	
	KRA (SKM)	Δ=71,0^o	
		eiP	17 10 50
		Pm	52
		Z: 1,7^s; 0,352μ	
		i	53,9
	(SKD)	eS	20 16
		eL	33,5
	NIE	Δ=71,7^o	
		iP	17 10 54
		Pm	55,5
		Z: 2,0^s; 0,314μ	
3.VII		Alaska, NOAA: 58,0^{o}N, 137,9^{o}W, H=17^{h}44^{m}16,5^s, h normale; mb=5,1 (NOAA), mPV=5,5 (Kraków), 5,1 (Niedzica)	
	KRA (SKM)	Δ=71,0^o. Traces	
		eiP	17 55 31,9
		Z: 0,6^s; 0,023μ	

Date	Station	Phase	T.U. h m s
3.VII (suite)	NIE	Δ=71,7^o	
		eP	17 55 36
		Pm	38
		Z: 0,9^s; 0,015μ	
3.VII	NIE	Traces	
		eiP	18 57 57
3.VII	NIE	Traces	
		eP	23 29 22
4.VII	NIE	Traces	
		eiP	11 13 54
4.VII		Région frontière Inde-Chine, NOAA: 27,2^{o}N, 92,5^{o}E, H=16^{h}44^{m}11,4^s, h=26 km; mb=5,2 (NOAA), mPV=5,1 (Niedzica)	
	NIE	Δ=58,5^o	
		eiP	16 54 08,5
		Z: 0,9^s; 0,016μ	
		epP	20
4.VII		Région frontière Birmanie-Inde, NOAA: 23,6^{o}N, 94,8^{o}E, H=21^{h}04^{m}46,3^s, h=127 km; mb=5,2 (NOAA)	
	NIE	Δ=62,5^o	
		eP	21 14 50
		i	59,5
		max	15 01,5
		Z: 0,9^s; 0,017μ	
		eipP	17
4.VII		Région de Hokkaido, Japon, NOAA: 42,5^{o}N, 148,0^{o}E, H=21^{h}29^{m}22,5^s, h=36 km; mb=4,9 (NOAA), mPV=5,2 (Kraków)	
	KRA (SKM)	Δ=77,5^o. Traces	
		eP	21 41 12
		e	16
		eipP	22
		ei	30
	NIE	Δ=77,8^o	
		eP	21 41 13
		Pm	16
		Z: 0,7^s; 0,017μ	
		ipP	25,5

Date	Station	Phase	T.U. h m s
5.VII	NIE		
		eP	01 00 39
		Z: 0,7^s; 0,009μ	
5.VII		Kouriles, NOAA: 44,0^{o}N, 147,8^{o}E, H=00^{h}58^{m}45,0^s, h=40 km; mb=5,5 (NOAA), mPV=5,8 (Kraków)	
	KRA (SKM)	Δ=76,1^o	
		eiP	01 10 29,5 C
		Z: 0,6^s; 0,058μ	
		eisP	47
	(SKD)	eS	20 17
		eL	40,6
	NIE	Δ=76,5^o	
		eiP	01 10 32,5 C
		eipP	46
5.VII		Région SE de l'Alaska, NOAA: 57,9^{o}N, 137,9^{o}W, H=07^{h}49^{m}04,5^s, h normale; mb=5,4 (NOAA), mPV=5,5 (Kraków), 5,2 (Niedzica)	
	KRA (SKM)	Δ=71,1^o	
		iP	08 00 19,4
		Z: 1,1^s; 0,048μ	
		ei	25
		iPcP	31,9
	(SKD)	eL	25,4
	NIE	Δ=71,8^o	
		eiP	08 00 24,5
		Z: 1,1^s; 0,018μ	
		ei	43
5.VII			
	NIE		
		eiP	12 04 33,5
		ei	49
5.VII		Iles Kouriles, NOAA: 43,1^{o}N, 146,5^{o}E, H=12^{h}21^{m}00,0^s, h=39 km; mb=4,5 (NOAA), mPV=4,9 (Niedzica)	
	NIE	Δ=76,7^o	
		eiP	12 32 49,5
		Z: 0,8^s; 0,008μ	
		esP	05
5.VII			
	NIE	eP	16 27 47

International Seismological Centre

Date	Station	Phase	T.U. h m s
5.VII			
	NIE	Traces	
		eiP	21 00 20,5
		Z: 0,9^s; 0,006μ	
5.VII		Luçon, Philippines, NOAA: 13,2°N, 124,7°E, H=22^{h}46^{m}16,3^s; h=38 km; mb=5,6 (NOAA) mPV=5,2 (Niedzica), MLH=6,3 (Kraków), 6,2 (Warszawa)	
	WAR	Δ=87,8°	
	(SKD)	eiP	22 59 05
		ei	23 01 17
		eiPP	02 29
		eiScS	09 49
		eiPS	10 45
		Lm	41 21
		NEZ: 16^s;18^s;18^s; 27μ, 28μ, 23μ	
	NIE	Δ=89,3°	
		eP	22 59 10
		max	15
		Z: 1,1^s; 0,019μ	
	KRA	Δ=89,3°	
	(SKM)	eP	22 59 11
		ipP	22
	(GW)	eiPP	23 02 34
		i	09 57
		Lm	42 17
		NEZ: 16^s; 8,6μ, 7,2μ, 2,2μ	
6.VII		Près de la côte Nord du Chili NOAA: 27,2°S, 71,1°W, H=09^{h}27^{m}30,7^s, h=34 km; mb=5,4 (NOAA)	
	KRA	Δ=110,9°. Traces	
	(SKD)	eiPPS	09 57 25
6.VII		Près de la côte E de Hondo, Japon, NOAA: 40,2°N, 142,5°E, H=13^{h}37^{m}53,7^s, h=51 km; mb=5,1 (NOAA), mPV=5,6 (Kraków), 5,0 (Niedzica)	
	KRA	Δ=77,1°. Traces	
	(SKM)	eP	13 49 43
		Z: 1,1^s; 0,062μ	
		eipP	
	(SKD)	eL	55
			14 23,5

Date	Station	Phase	T.U. h m s
6.VII	NIE	Δ=77,5°	
		eiP	13 49 45
		Z: 1,0^s; 0,012μ	
		ipP	59
		i	50 08
7.VII		Iles aux Renards, Aléoutiennes, NOAA: 52,5°N, 168,3°W, H=02^{h}57^{m}19,2^s, h=47 km; mb=4,8 (NOAA), mPV=4,8 (Niedzica)	
	NIE	Δ=78,5°	
		eiP	03 09 17
		Z: 1,0^s; 0,009μ	
		ePcP	27
7.VII			
	NIE		
		eiP	09 18 58
		Z: 0,9^s; 0,006μ	
7.VII			
	KRA	Traces	
	(SKM)	eP	11 50 34
		ei	39
		ei	53
7.VII			
	NIE		
		iP	14 21 01
		Z: 1,0^s; 0,010μ	
		i	06
7.VII		Région de la Nouvelle Bretagne, NOAA: 6,0°S, 150,6°E, H=15^{h}40^{m}40,0^s, h=53 km; mb=5,4 (NOAA)	
	NIE	Δ=120,0°	
		iPKIKP	15 59 27,5
		Z: 0,9^s; 0,017μ	
		ipPKIKP	41,5
7.VII		Près de la côte du Chili Nord, NOAA: 27,0°S, 71,2°W, H=18^{h}44^{m}32,7^s, h=28 km; mb=5,4 (NOAA)	
	NIE	Δ=110,9°. Traces	
		ePKIKP	19 03 06
8.VII		Samar, Philippines, NOAA: 12,3°N, 125,6°E, H=00^{h}02^{m}46,4	

Date	Station	Phase	T.U. h m s
		h=47 km; mb=5,3 (NOAA), mPV=4,9 (Niedzica)	
8.VII (suite)	KRA	Δ=90,6°	
	(SKM)	eP	00 15 46
	NIE	Δ=90,6°	
		iP	00 15 46
		Pm	48
		Z: 1,1^s; 0,009μ	
8.VII		Colombie, NOAA: 6,8°N, 73,0°W H=04^{h}03^{m}34,5^s, h=156 km; mb=5,7 (NOAA)	
	KRA	Δ=86,7°	
	(SKM)	eiP	04 16 03,8
		Z: 1,0^s; 0,042μ	
		ipP	45,3
		ei	17 47
	NIE	Δ=87,1°	
		eiP	04 16 06
		Z: 1,4^s; 0,025μ	
		i	12
		ei	20
		ipP	47
		isP	17 05
8.VII			
	NIE		
		eP	06 38 10
		Pm	11,5
		Z: 0,9^s; 0,006μ	
8.VII		Iles Kouriles, NOAA: 43,4°N 146,4°E, H=09^{h}59^{m}45,8^s, h=61 km; mb=5,0 (NOAA), mPV=6,0 (Kraków), 5,5 (Niedzica)	
	KRA	Δ=76,1°	
	(Ch)	iP	10 11 28,5 C
		Z: 0,5^s; 0,061μ	
		ei	33
		eiPcP	39
		eipP	46
	NIE	Δ=76,4°	
		eiP	10 11 30,5 C
		Z: 0,9^s; 0,037μ	
8.VII			
	NIE	Traces	
		eP	12 38 17

Date	Station	Phase	T.U. h m s
8.VII		Antilles, NOAA: 15,9°N, 60,7°W, H=16^{h}59^{m}08,1^s, h=5,1 (NOAA)	
	KSP	Δ=69,6°	
		eP	17 10 18
8.VII		Iles Kouriles, NOAA: 45,3°N, 148,3°E, H=23^{h}35^{m}32,4^s, h=121 km; mb=4,7 (NOAA)	
	KSP	Δ=75,6°. Traces	
		eP	23 47 06
9.VII		Suisse, BCIS: 46,8°N, 9,7°E, H=00^{h}27^{m}06^s; M=4,2 (Bensberg)	
	KSP	Δ=5,9°	
		eiPn	00 28 31,9
		eiPg	34,4
		iSg	34 23,0
		NEZ: 1^s; 0,10μ, 0,11μ, 0,12μ	
	KRA	Δ=7,4°	
	(Ch)	ePg	00 29 25
		eSn	30 28
		ei	31 01
		iSg	12
9.VII		Kamtchatka, NOAA: 54,5°N, 158,4°E, H=02^{h}04^{m}21,4^s; h=100 km; mb=4,8 (NOAA)	
	KSP	Δ=70,3°	
		eP	02 15 26
9.VII		Iles Tonga, NOAA: 16,6°S, 174,8°W, H=11^{h}02^{m}49,6^s, h=236 km; mb=5,0 (NOAA)	
	KRA	Δ=144,8°	
	(SKM)	iPKIKP	11 21 58,7
		Z: 0,4^s; 0,070μ	
		ei	22 01
9.VII		Région des Iles Andaman, NOAA: 10,7°N, 92,6°E, H=16^{h}19^{m}46,8^s, h=46 km; mb=5,7 (NOAA), mPV=5,4 (Niedzica), 5,7 (Kraków)	
	NIE	Δ=70,4°	
		eiP	16 30 58,5
		Z: 0,9^s; 0,027μ	
		eipP	31 13
		eiPcP	19

International Seismological Centre

Date	Station	Phase	T.U. h m s
9.VII (suite)	KRA (SKM)	Δ=70,7°	
		eiP	16 31 00 C
		Z: 0,7s; 0,041 μ	
		eipP	15
	(SKD)	ei(S)	40 32
	WAR (SKD)	Δ=70,3°	
		eisP	16 31 12
		eiSKS	40 52
		eL	57,0
9.VII		Région des Iles Fidji, NOAA: 21,5°S, 177,9°W, H=21h27m 39,2s, h=463 km; mb=4,6(NOAA)	
	NIE	Δ=148,8°. Traces	
		eiPKP_2	21 46 36
10.VII		Kazakstan, URSS, NOAA: 49,8°N 78,1°E, H=01h26m57,6s, h=0 ; mb=5,4 (NOAA), mPV=5,7 (Kraków), 5,8 (Niedzica)	
	KRA (SKM)	Δ=36,7°	
		iP	01 34 07,4
		Z: 0,6s; 0,066 μ	
	NIE	Δ=36,7°	
		iP	01 34 08,5 C
		Z: 0,7s; 0,096 μ	
		eiPP	28
10.VII		Région des Iles Fidji, NOAA: 24,1°S, 177,4°W, H=04h02m 18,5s, h=118 km; mb=5,1 (NOAA)	
	WAR (SKD)	Δ=148,5°	
		eiPKIKP	04 21 52
		eipPKIKP	22 24
		ei	40
		eL	05 17,0
	KRA (SKM)	Δ=151,0°	
		ePKIKP	04 21 52
		iPKP_2	22 01
	(SKD)	eL	05 14,5
	NIE	Δ=151,4°	
		ePKIKP	04 21 55
		iPKP_2	22 04,5
10.VII		Région des Iles Fidji, NOAA: 24,1°S, 177,3°W, H=06h59m 43,7s, h=103 km; mb=5,2 (NOAA)	

Date	Station	Phase	T.U. h m s
10.VII	WAR (SKD)	Δ=148,5°	
		eiPKIKP	07 19 18
	KRA (Ch)	Δ=151,0°	
		ePKIKP	07 19 20
		eipPKIKP	43
	NIE	Δ=151,4°	
		ePKIKP	07 19 21
		ei$PKHKP_2$	27
		eipPKIKP	35
			44
10.VII		Kamtchatka, NOAA: 51,8°N, 159,3°E, H=08h32m47,6s, h normale; mb=4,2 (NOAA)	
	KSP	Δ=73,0°	
		eP	08 44 16
10.VII			
	NIE		
		eiP	11 26 48
		Z: 0,7s; 0,017 μ	
		i	27 04,5
	KSP	Traces	
		ei(P)	11 27 50,5
10.VII			
	NIE		
		eiP	16 40 10,5
		ei	22
10.VII		Iles Kouriles, NOAA: 43,6°N, 146,6°E, H=17h43m15,5s, h=44 km; mb=4,0 (NOAA)	
	NIE	Δ=76,3°. Traces	
		eiP	17 55 02,5
		eipP	14
10.VII		Région de Hondo, Japon, NOAA: 37,5°N, 142,5°E, H=23h25m 31,2s, h=45 km; mb=5,2 (NOAA) mPV=5,6 (Kraków), 5,1 (Niedzica)	
	KRA (SKM)	Δ=79,4°	
		eiP	23 37 33,7 C
		Z: 1,0s; 0,048 μ	
		epP	42
		eisP	54
	(SKD)	Lm	00 15 38
		Z: 17s; 3,0 μ	

Date	Station	Phase	T.U. h m s
10.VII (suite)	NIE	Δ=79,7°	
		eiP	23 37 35,5 C
		Z: 1,0s; 0,018 μ	
		i	38,5
		eipP	46
		i	38 04
11.VII	NIE		
		eiP	02 27 14,5
		Pm	16
		Z: 0,9s; 0,027 μ	
		ei	23
	KRA (SKM)	eiP	02 27 13,2
11.VII	NIE		
		eiP	02 29 21,5
		Z: 0,9s; 0,006 μ	
11.VII		Iles Kouriles, NOAA: 43,2°N, 146,3°E, H=05h16m34,7s, h=5,3 km; mb=4,4 (NOAA)	
	KSP	Δ=76,7°, Traces	
		eP	05 28 21
11.VII		Mer des Moluques, NOAA: 0,1°S 125,0°E, H=05h57m20,0s, h normale; mb=5,4 (NOAA), mPV=5,8 (Niedzica)	
	NIE	Δ=99,6°	
		eiP	06 10 55
		Z: 0,4s; 0,011 μ	
		ei	58
		eipP	11 06
		iPP	15 15
	KRA (SKM)	Δ=99,8°. Traces	
		eiP	06 11 02,9
		ePP	15 13
11.VII		Région des Iles Fidji, NOAA: 25,3°S, 178,3°E, H=08h05m38,8s h=627 km; mb=4,8 (NOAA)	
	NIE	Δ=150,6°	
		iPKIKP	08 24 24,5
		Z: 0,9s; 0,016 μ	
		eiPKP_2	33

Date	Station	Phase	T.U. h m s
11.VII		Région de Hondo, Japon, NOAA: 30,8°N, 142,1°E, H=14h28m40,6s h=45 km; mb=5,1 (NOAA), mPV=5,5 (Kraków), 5,3 (Niedzica)	
	KRA (SKM)	Δ=84,8°	
		iP	14 41 11,6
		Z: 0,8s; 0,032 μ	
		ei	19
		eisP	32
	NIE	Δ=85,0°	
		eP	14 41 13
		Pm	15,5
		Z: 0,9s; 0,023 μ	
		eisP	33
11.VII	KSP		
		eP	22 31 04
11.VII		Iles Tonga, NOAA: 15,2°S, 173,9°W, H=22h47m49,1s, h normale; mb=5,4 (NOAA)	
	KSP	Δ=143,5°	
		ePKHKP	23 07 20
12.VII	NIE	Traces	
		eP	01 03 55
12.VII		Iles Proches, Aléoutiennes, NOAA: 52,2°N, 174,2°E, H=07h51m07,9s, h=47 km; mb=5,2 (NOAA), mPV=5,0 (Niedzica)	
	KRA (SKM)	Δ=76,1°. Traces	
		eiP	08 02 50,4 C
		Z: 0,9s; 0,032 μ	
		eipP	03 01,0
	NIE	Δ=76,6°	
		iP	08 02 55 C
		Z: 1,0s; 0,011 μ	
		i	59
		ipP	03 06
		isP	12
12.VII		Région Hokkaido, NOAA: 42,7°N, 146,8°E, H=07h56m12,8s, h=21 km; mb=5,3 (NOAA), mPV=5,7 (Kraków)	

International Seismological Centre

Date	Station	Phase	T.U. h m s
12.VII (suite)	KRA (SKM)	Δ=76,8°	
		eiP	08 08 03,9
		Z: 0,9s; 0,053µ	
		ipP	13,9
		eisP	22
	NIE	Δ=77,2°	
		iP	08 08 06 C
		isP	24
		i	36
12.VII			
	KRA (SKM)	Traces	
		eiP	12 52 33,4
		ei	48
	NIE		
		eiP	12 52 38,5
		ei	43,5
		i	54,5
12.VII		Région du Chili, NOAA: 27,1°S 71,2°W, H=13h45m30,3s, h= 20 km; mb=5,5 (NOAA)	
	NIE	Δ=110,9°. Traces	
		eiPKIKP	14 04 04,5
		eiPP	41
13.VII		Région des Iles Kermadec, NOAA: 27,5°S, 176,8°W, H=00h 18m34,4s, h=35 km; mb=4,4 (NOAA)	
	NIE	Δ=154,7°	
		ePKIKP	00 38 32
		eiPKP$_2$	47
		i	39 08
13.VII		Région de l'Vancouver, NOAA: 49,0°N, 128,0°W, H=02h59m39,1s h normale; mb=5,3 (NOAA)	
	KRA (SKM)	Δ=77,8°	
		eP	03 11 31
13.VII		Mer Caspienne, NOAA: 38,5°N, 49,5°E, H=10h05m25s, h normale; mb=4,4 (NOAA)	
	KRA (SKM)	Δ=23,9°. Traces	
		eP	10 10 34
		ei	38
		eipP	46

Date	Station	Phase	T.U. h m s
13.VII		Cachemire, NOAA: 33,1°N, 75,5°E, H=22h03m38,7s, h= 52 km; mb=4,8 (NOAA), mPV= 5,1 (Niedzica)	
	NIE	Δ=43,5°	
		iP	22 11 41,2
		Z: 0,7s; 0,017µ	
		eipP	51
14.VII		Iles Kouriles, Moskva: 41,1 149,6°E, H=00h04m19s	
	KRA (SKM)	Δ=76,7°. Traces	
		eP	00 16 06
	NIE	Δ=77,9°	
		eP	00 16 10
14.VII		Tibet, NOAA:35,2°N, 86,5°E, H=04h51m21,0s, h normale, mb=6,0 (NOAA), mPV=5,5 (Niedzica), MLH=7,0 (Kraków)	
	WAR (SKD) (GW) (SKD)	Δ=48,5°	
		eiP	05 00(00)
		i	04
		eisP	18
		iPP	01 55
		eiS	06 52
		iPS	07 05
		Lm	18 00
		Z: 32s; 130µ	
	NIE	Δ=49,4°	
		eP	05 00 10
		Z: 1,5s; 0,080µ	
		i	15
	KRA (SKM)	Δ=49,6°	
		eiP	05 00 10,4
		i	15,4
		ipP	19,4
	(GW)	eiPP	02 10
		Lm	54 26
		Z: 11s; 18,7µ	
		Lm	55 02
		NE: 11s; 64µ, 55µ	
14.VII			
	NIE		
		eP	10 41 53
		Z: 0,6s; 0,009µ	
		i	42 21,5

Date	Station	Phase	T.U. h m s
14.VII		Canal de Zante, BCIS: 37,8°N 21,2°E, H=12h38m19s; MLH=5,2 (Skopje)	
	NIE	Δ=11,4°	
		eP	12 41 02
		Z: 1,2s; 0,008µ	
		i	09,5
		i	28,5
14.VII		Tibet, NOAA: 35,3°N, 86,6°E, H=13h39m30,0s, h normale; mb=5,9 (NOAA), mPV=6,1 (Kraków, Niedzica), MLH=5,9 (Kraków)	
	WAR (SKD)	Δ=48,5°	
		iP	13 48 13 D
		eiPP	50 06
		eiS	55 18
		eiPS	24
		eL	14 04
		Lm	12 48
		Z: 16s; 20µ, 20µ	
	NIE	Δ=49,5°	
		iP	13 48 20 D
		Pm	21,5
		Z: 2,2s; 0,458µ	
		i	27
		isP	34
	KRA (SKM)	Δ=49,6°	
		eiP	13 48 20 D
		Pm	21,4
		Z: 1,8s; 0,350µ	
		ei	23
		eiPP	50 16
	(GW)	Lm	14 21,1
		NEZ: 9,0s; 4,1µ, 3,6µ, 1,1µ	
15.VII		Région des Iles Kermadec, NOAA: 28,0°S, 176,4°W, H=12h 46m31,4s, h=69 km; mb=3,9 (NOAA)	
	KRA (SKM)	Δ=155,8°. Traces	
		ePKP$_2$	13 06 48
15.VII		Iles Kouriles, NOAA: 43,4°N, 146,5°E, H=14h06m49,8s, h= 43 km; mb=5,4 (NOAA); mPV= 6,1 (Kraków), 5,5 (Niedzica)	

Date	Station	Phase	T.U. h m s
15.VII	KRA (SKM)	Δ=76,1°	
		eiP	14 18 33,9 C
		Pm	34,7
		Z: 0,7s; 0,124µ	
		i	38,4
		isP	49,1
	NIE	Δ=76,5°	
		iP	14 18 36 C
		Pm	37,5
		Z: 1,1s; 0,047µ	
		isP	48
15.VII		Iles Kermadec, NOAA: 28,0°S, 176,4°W, H=18h30m19,4s, h= 63 km; mb=4,6 (NOAA)	
	KSP	Δ=155,2°	
		ePKIKP	18 50 06
16.VII		Région des Iles Dentrecasteaux, NOAA: 10,2°S, 151,9°E, H=03h 59m30,3s, h=40 km; mb=5,3 (NOAA)	
	NIE	Δ=124,2°	
		ePKIKP	04 18 27
16.VII		Région de l'Ile Sumbawa, NOAA: 10,2°S, 117,1°E, H=05h42m47,6s h normale; mb=5,5 (NOAA)	
	NIE	Δ=102,1°. Traces	
		eP	05 56 42
16.VII			
	NIE		
		iP	13 00 05
		Z: 0,9s; 0,011µ	
	KSP	Traces	
		ei(P)	13 00 22,1
16.VII			
	KSP		
		eP	14 12 14
16.VII			
	NIE	Traces	
		eiP	17 04 38
		Z: 0,6s; 0,013µ	
		i	40
16.VII		Mexique, USCGS: 17,3°N, 100,7°W, H=18h12m57,2s, h= 44 km; mb=5,6 (NOAA),	

Date	Station	Phase	T.U. h m s
16.VII (suite)		mPV=5,9 (Kraków), 5,6 (Niedzica)	
	KRA (SKM)	Δ=95,2°	
		eiP	18 26 17,2
		Pm	18,9
		Z: 0,8s; 0,037μ	
		ei	23
		eL	19 00
	NIE	Δ=95,7°	
		iP	18 26 20,5 C
		Pm	22,5
		Z: 1,0s; 0,023μ	
		i	28,5
		ipP	34
16.VII		Tibet, NOAA: 35,1°N, 86,4°E, H=19h45m38,2s, h=15 km; mb=5,4 (NOAA), mPV=5,5 (Kraków) 4,9 (Niedzica)	
	NIE	Δ=49,4°	
		eiP	19 54 33
		Z: 1,1s; 0,013μ	
		i	35
		i	54
	KRA (Ch)	Δ=49,6°	
		eiP	19 54 33,4
		Z: 0,7s; 0,034μ	
		ePP	56 32
16.VII	KSP		
		eP	21 53 29
17.VII	NIE	Traces	
		eiP	22 03 52
		Z: 0,6s; 0,010μ	
		i	56,5
	KSP		
		eP	22 03 51
18.VII		Luçon, Philippines, NOAA: 14,9°N, 119,9°E, H=03h53m 41,2s, h=56 km; mb=5,1 (NOAA) mPV=4,7 (Niedzica)	
	KRA (SKM)	Δ=85,0°. Traces	
		eP	04 06 11
		i	22,4

Date	Station	Phase	T.U. h m s
18.VII	NIE	Δ=85,0°	
		eP	04 06 12
		Z: 1,0s; 0,007μ	
		i	
		isP	20,8 31,5
18.VII	KRA (SKM)	Traces	
		eiP	04 20 18,4
18.VII	KRA (SKM)	eP	09 23 19
		i	40,8
18.VII		Région des Iles Fidji, NOAA: 21,4°S, 179,0°W, H=17h41m 39,5s, h=633 km; mb=4,3 (NOAA)	
	NIE	Δ=148,3°	
		eiPKIKP	18 00 15
		i	21,5
19.VII		Iles Kouriles, NOAA: 43,5°N, 146,8°E, H=02h21m14,8s, h=68 km; mb=4,2 (NOAA)	
	KRA (SKM)	Δ=76,1°. Traces	
		eiP	02 32 56
		eisP	33 16
	NIE	Δ=76,5°	
		eiP	02 32 58,5
		ei	33 03
19.VII		Iles Kouriles, NOAA: 43,2°N, 146,4°E, H=04h06m21,6s, h=66 km; mb=4,8 (NOAA), mPV=5,3 (Niedzica)	
	KRA (SKM)	Δ=76,2°. Traces	
		eP	04 18 03
	NIE	Δ=76,6°	
		iP	04 18 06 C
		Z: 0,7s; 0,017μ	
		ei	09
19.VII		Région des Iles Fidji, NOAA: 18,1°S, 178,3°W, H=05h44m 25,6s, h=571 km; mb=5,8 (NOAA)	
	KRA (SKM)	Δ=145,1°	
		eiPKIKP	06 02 58,9
		Z: 0,8s; 0,156μ	

International Seismological Centre

Date	Station	Phase	T.U. h m s
19.VII (suite)	KRA	i	06 03 02,4
		ei	23
	NIE	Δ=145,5°	
		iPKIKP	06 03 01
		Z: 1,0s; 0,105μ	
		i	08
		i	19
19.VII		Iles Kouriles, NOAA: 43,2°N, 146,8°E, H=13h15m29,5s, h=50 km; mb=4,7 (NOAA), mPV=4,8 (Niedzica)	
	NIE	Δ=76,8°	
		eiP	13 27 17
		Z: 1,0s; 0,009μ	
		eipP	31
19.VII	NIE	Traces	
		eiP	17 33 09
		Z: 0,6s; 0,015μ	
		ei	25
19.VII		Mer du Groenland, NOAA: 73,8°N 8,6°E, H=19h28m43,7s, h normale; mb=4,7 (NOAA)	
	KRA (SKM)	Δ=24,6°. Traces	
		eP	19 33 55
	NIE	Δ=25,2°	
		eP	19 34 06
19.VII	NIE	Traces	
		eP	20 42 12
19.VII		Iles Tonga, NOAA: 19,6°S, 175,1°W, H=21h22m16,5s, h=133 km; mb=5,0 (NOAA)	
	NIE	Δ=148,0°	
		ePKP$_2$	21 41 48
20.VII		Région de l'Ile Macquarie, NOAA: 56,3°S, 146,9°E, H=08h 01m16,7s, h normale; mb=5,2 (NOAA)	
	NIE	Δ=147,6°	
		ePKIKP	08 20 58
20.VII		Région de Hondo, Japon, NOAA: 36,4°N, 141,0°E, H=08h12m53,5s	

Date	Station	Phase	T.U. h m s
20.VII		h=46 km; mb=5,8 (NOAA), mPV=5,9 (Kraków), 5,2 (Niedzica)	
	WAR (SKD)	Δ=77,3° MLH=6 (Kraków)	
		eiP	08 24 44
		eiPcP	59
		eiPP	27 38
		ei(S)	34 36
		eL	50,0
		Lm	09 00
		Z: 24s; 7,2μ	
	KRA (SKM)	Δ=79,6°	
		iP	08 24 56,4 C
		Pm	57,9
		Z: 0,8s; 0,080μ	
		i	25 00,4
		i	14,4
		isP	20,4
	(GW)	iPP	27 55
		iSKS	35 15
		Lm	09 03,7
		NEZ: 15s; 4,1μ, 5,8μ, 2,7μ	
	NIE	Δ=79,9°	
		iP	08 24 58,5 C
		Pm	59,5
		Z: 1,0s; 0,021μ	
		iPcP	25 05
		isP	20
20.VII		Mer du Groenland, NOAA: 79,7°N, 4,7°E, H=19h55m33,6s, h normale; mb=4,3 (NOAA)	
	NIE	Δ=31,1°. Traces	
		eiP	20 01 50,5
20.VII		Océan Atlantique, BCIS: 79,9°N, 2,0°E, H=23h27m48s; mPV=4,6 (Niedzica)	
	KRA (Ch) (SKD)	Δ=30,9°	
		eiP	23 34 03,4
		eL	42,8
	NIE	Δ=31,5°	
		eP	23 34 09
		Z: 1,0s; 0,009μ	
		i	12,5
20.VII		Iles Kouriles, NOAA: 43,0°N, 146,2°E, H=23h42m02,1s, h normale; mb=4,4 (NOAA)	

International Seismological Centre

Date	Station	Phase	T.U. h m s
20.VII (suite)	NIE	Δ=76,7°. Traces	
		eP	23 53 51
		eisP	54 02
21.VII		Hokkaido, Japon, NOAA: 41,4°N 142,8°E, H=01h18m52,7s, h= 34 km; mb=4,6 (NOAA), mPV= 4,9 (Niedzica)	
	NIE	Δ=76,6°. Traces	
		eP	01 30 42
		Z: 0,8s; 0,007μ	
21.VII		Région des Iles Fidji, NOAA: 24,8°S, 179,2°W, H=04h19m 17,1s, h=411 km; mb=5,9 (NOAA)	
	WAR (SKD)	Δ=148,5°	
		eiPKIKP	04 38 12
	KRA (Ch)	Δ=150,9°	
		iPKIKP	04 38 16,7
		PKIKPm	17,4
		Z: 1,5s; 0,132μ	
		i	22,8
		$iPKP_2$	29,4
		i	39 00,9
	NIE	Δ=151,3°	
		eiPKIKP	04 38 17
		PKIKPm	19
		Z: 1,0s; 0,052μ	
		i	24
		$iPKP_2$	29
21.VII		Chine, NOAA: 35,5°N, 96,1°E, H=05h25m25,0s, h normale; mb=5,2 (NOAA), mPV=4,9 (Niedzica)	
	NIE	Δ=55,4°	
		eiP	05 34 58
		Z: 0,9s; 0,010μ	
		i	35 01
		esP	12
21.VII			
	NIE		
		eP	08 31 59
		i	32 13
21.VII		Région des Iles Philippines, NOAA: 20,0°N, 121,4°E, H=11h 46m34,9s, h=72 km; mb=5,0 (NOAA), mPV=5,1 (Niedzica)	

Date	Station	Phase	T.U. h m s
21.VII	KRA (SKM)	Δ=82,1°. Traces	
		eiP	
		eiPcP	11 58 47,1
			52
	NIE	Δ=82,1°	
		eP	
		Z: 0,7s; 0,011μ	11 58 49
		eiPcP	
		eipP	59 03
21.VII			
	NIE	Traces	
		eP	16 06 41
		Z: 0,7s; 0,007μ	
	KRA (SKM)	eiP	16 06 51,6
21.VII		Région des Iles Fidji, NOAA: 22,1°S, 179,4°W, H=19h13m 36,2s, h=598 km; mb=4,9 (NOAA)	
	NIE	Δ=148,8°	
		iPKIKP	19 32 18
		Z: 0,9s; 0,009μ	
		ePKIKP	23
21.VII		Tibet, NOAA: 35,1°N, 86,4°E, H=19h50m06,3s, h normale; mb=5,3 (NOAA), mPV=5,1 (Niedzica)	
	NIE	Δ=49,4°	
		eiP	19 58 55,5
		Z: 0,7s; 0,013μ	
		eipP	59 03
22.VII			
	NIE	Traces	
		eP	00 51 11,5
		Z: 0,7s; 0,007μ	
22.VII		Région de Hondo, Japon, NOAA: 36,5°N, 140,6°E, H=01h37m 33,5s, h=62 km; mb=3,8 (NOAA), mPV=4,9 (Niedzica)	
	NIE	Δ=79,6°. Traces	
		eiP	01 49 35
		Z: 0,8s; 0,008μ	
22.VII		Détroit de Sunda, NOAA: 6,7°S, 105,6°E, H=08h35m01,9s, h=75 km; mb=5,4 (NOAA), mPV= 4,9 (Niedzica)	

Date	Station	Phase	T.U. h m s
22.VII (suite)	NIE	Δ=91,9°	
		eiP	08 48 05
		Z: 0,9s; 0,008μ	
22.VII		Région des Iles Kermadec, NOAA: 30,5°S, 179,3°W, H=15h 11m25,6s, h=261 km; mb=4,5 (NOAA)	
	NIE	Δ=156,2°	
		ePKIKP	15 30 49
		$iPKP_2$	31 18,5
		Z: 1,1s; 0,013μ	
23.VII		Région de Semipalatinsk, URSS: BCIS: 50,1°N, 79,2°E, H=01h 23m00s, M=7,1 (Uppsala), mPV= 6,3 (Kraków), MLH=5,5 (Kraków)	
	KRA (SKM)	Δ=37,2°	
		iP	01 30 10,4 C
		Z: 1s; 0,396μ	
		i	15,4
		i	52,9
	(GW)	iPcP	42 34
		eL	45,6
		Lm	46,8
		NEZ: 6,0s; 1,4μ, 1,6μ, 1,0μ	
	NIE	Δ=37,3°	
		iP	01 30 12 C
		i	17
23.VII			
	KSP		
		eiP	05 43 56,9
23.VII		Région de Taiwan, NOAA:24,1°N 122,3°E, H= 10h02m05,2s, h= 42 km; mb=5,4 (NOAA)	
	KRA (SKM)	Δ=79,5°	
		eiP	10 14 08,4
		eiPcP	13
	NIE	Δ=79,5°	
		iP	10 14 09
		Pm	10,5
		Z: 1,2s; 0,024μ	
		eisP	24
23.VII		Région de Taiwan, NOAA: 21,8°N 121,3°E, H=14h34m05,0s, h= 73 km; mb=5,0 (NOAA),	

Date	Station	Phase	T.U. h m s
23.VII		mPV=6,0 (Kraków), 5,5 (Niedzica)	
	KRA (SKM)	Δ=80,6°	
		eiP	14 46 11,6 C
		Z: 0,9s; 0,100μ	
		ePcP	19
		eipP	32
	NIE	Δ=80,7°	
		iP	14 46 12 C
		Pm	14
		Z: 1,0s; 0,044μ	
23.VII		Adriatique, BCIS: 44,0°N, 12,8°E, H=23h25m10s	
	KSP	Δ=7,2°	
		ePn	23 26 53
		eSg	29 08
24.VII		Allemagne, NOAA: 47,2°N, 9,6°E, H=00h46m38,1s, h normale	
	KSP	Δ=5,71°	
		eiP	00 49 40,2
24.VII		Région des Iles Kermadec, NOAA: 31,5°S, 179,6°E, H= 07h55m08,2s, h=429 km; mb= 5,1 (NOAA)	
	NIE	Δ=156,4°. Traces	
		ePKIKP	08 14 13
		$iPKP_2$	44
	KRA (SKM)	Δ=156,2°. Traces	
		eiPKP$_2$	08 14 42
24.VII		Iles Kouriles, NOAA: 43,2°N, 146,3°E, H=14h50m22,5s, h= 56 km; mb=4,7 (NOAA)	
	NIE	Δ=76,6°	
		iP	15 02 08 C
24.VII		Région du Chili centrale, NOAA: 30,5°S, 71,6°W, H=20h 03m35,3s, h=60 km; mb=5,6 (NOAA)	
	KRA (SKM)	Δ=113,5°. Traces	
		ePKIKP	20 22 08
	NIE	Δ=113,6°	
		iPKIKP	20 22 09 C
		Z: 0,8s; 0,017μ	
		epPKIKP	23

International Seismological Centre

Date	Station	Phase	T.U. h m s
25.VII		Iles Salomon, NOAA: 8,7°S, 160,7°E, H=06h08m38,7s, h=69 km; mb=5,5 (NOAA)	
	KRA (SKM)	Δ=127,6°. Traces	
		ePKIKP	06 27 40
		ei	28 04
	NIE	Δ=127,8°	
		eiPKIKP	06 27 45
		PKIKPm	46,5
		Z: 1,0s; 0,010μ	
		eipPKIKP	28 00
		eiPP	29 41
	WAR (SKD)	Δ=125,5°	
		ePP	06 29 28
25.VII		Philippines, Moskva: 12,1°N, 125,9°E, H=19h58m50s; mPV=5,4 (Kraków), 5,0 (Niedzica)	
	KRA (SKM)	Δ=90,9°	
		iP	20 11 57,4
		Z: 1,0s; 0,030μ	
	NIE	Δ=90,9°	
		eiP	20 11 57,5 C
		Z: 1,1s; 0,009μ	
		i	12 07
		ePP	15 28
25.VII		Samar, Philippines, NOAA: 12,0°N, 125,4°E, H=21h08m28,0s h normale; mb=5,2 (NOAA)	
	NIE	Δ=90,6°	
		eiP	21 21 29
		esP	43
25.VII			
	NIE		
		eiP	22 06 37
		Z: 0,7s; 0,007μ	
26.VII			
	NIE		
		eP	16 42 38
26.VII		Région des Iles Andaman, NOAA 10,4°N, 94,3°E, H=19h25m25,1s, h normale; mb=4,5 (NOAA)	
	NIE	Δ=71,7°	
		eP	19 36 47
		eiPcP	37 03

Date	Station	Phase	T.U. h m s
26.VII		Iles Andaman, NOAA: 10,4°N, 95,1°E, H=19h35m26,4s, h normale; mb=4,2 (NOAA)	
	KSP	Δ=74,9°	
		eP	19 46 13
26.VII		Région des Iles Andaman, NOAA: 10,5°N, 93,9°E, H=20h06m33,2s, h normale; mb=5,1 (NOAA), mPV=4,9 (Niedzica)	
	NIE	Δ=71,4°	
		eP	20 17 51
		Z: 0,8s; 0,008μ	
		eipP	18 03
		ePP	20 30
	KRA (SKM)	Δ=71,7°	
		eiP	20 17 54,9
		i	59,9
		eipP	18 06
27.VII			
	NIE		
		eP	03 53 03
		i	09
27.VII			
	NIE		
		eiP	07 51 49,5
		Z: 0,9s; 0,008μ	
27.VII		Région de Hondo, Japon, NOAA: 36,2°N, 140,0°E, H=14h52m22,3s, h=81 km; mb=4,6 (NOAA)	
	NIE	Δ=79,6°. Traces	
		eiP	15 04 21,5 D
		Z: 0,8s; 0,010μ	
27.VII		Nouvelles Hébrides, NOAA: 17,2°S, 167,8°E, H=16h05m32,6s, h=15 km; mb=5,1 (NOAA)	
	NIE	Δ=138,7°. Traces	
		eiPKIKP	16 28 01,5
27.VII		Iles Kouriles, NOAA: 43,6°N, 146,8°E, H=19h20m54,4s, h=62 km; mb=4,9 (NOAA), mPV=5,1 (Niedzica)	
	NIE	Δ=76,4°	
		eiP	19 32 38 D
		Z: 1,0s; 0,017μ	

Date	Station	Phase	T.U. h m s
27.VII		Iles Tonga, NOAA: 15,5°S, 173,1°W, H=19h26m41,9s, h normale; mb=5,4 (NOAA)	
	KRA (SKM)	Δ=144,2°	
		ePKIKP	19 46 13
	NIE	Δ=144,7°	
		eiPKIKP	19 46 14,5 C
		PKIKPm	16
		Z: 1,5s; 0,048μ	
		ipPKIKP	28,5
		ei	50
27.VII		Région frontière Birmanie-Inde, NOAA: 23,3°N, 94,5°E, H=20h23m50,7s, h=79 km; mb=5,3 (NOAA), mPV=5,8 (Niedzica)	
	NIE	Δ=62,5°	
		iP	20 34 08 C
		Z: 0,9s; 0,088μ	
		ipP	28
		isP	40,5
		iPcP	47,5
27.VII			
	NIE		
		iP	21 00 34
		Z: 0,3s; 0,049μ	
27.VII		Iles Salomon, NOAA: 6,8°S, 155,0°E, H=23h36m46,7s, h=75 km; mb=5,1 (NOAA)	
	NIE	Δ=123,2°. Traces	
		ePKIKP	23 55 37
27.VII		Hondo, Japon, NOAA: 40,9°N, 143,2°E, H=03h41m12,8s, h=38 km; mb=4,5 (NOAA)	
	KSP	Δ=77,5°	
		eP	03 53 06
28.VII		Région de Hondo, Japon, NOAA 40,9°N, 143,1°E, H=14h28m44,4s, h=37 km; mb=5,3 (NOAA) mPV=5,3 (Niedzica)	
	KRA (SKM)	Δ=76,8°	
		eiP	14 40 32,1
		i	41 00,9

Date	Station	Phase	T.U. h m s
28.VII	NIE	Δ=77,1°	
		eiP	14 40 34,5 C
		Z: 1,0s; 0,023μ	
		iPcP	44
		eisP	52
28.VII		Région de Taiwan, NOAA: 22,1°N, 121,5°E, H=17h53m32,3s, h normale; mb=5,4 (NOAA), mPV=5,3 (Niedzica), 5,7 (Kraków)	
	NIE	Δ=80,5°	
		eiP	18 05 41,5 D
		Z: 1,0s; 0,023μ	
		ipP	52
	KRA (SKM)	Δ=80,5°	
		iP	18 05 42,4
		Z: 0,7s; 0,045μ	
		isP	57,4
28.VII		Golfe d'Antalya, BCIS: 36,1°N, 31,4°E, H=18h55m13s, h=70 ± 15 km	
	NIE	Δ=15,3°	
		iP	18 58 52
		Z: 1,1s; 0,010μ	
28.VII		Région des Iles Fidji, NOAA: 18,9°S, 178,2°W, H=19h15m46,4s, h=515 km; mb=4,8 (NOAA)	
	NIE	Δ=146,3°. Traces	
		ePKIKP	19 34 31
		Z: 0,6s; 0,017μ	
28.VII		Mer d'Okhotsk, NOAA: 50,5°N, 148,8°E, H=20h06m36,0s, h=592 km; mb=5,5 (NOAA)	
	WAR (SKD)	Δ=68,5°	
		eiP	20 16 42
		eipP	18 46
		eiS	24 56
	KRA (SKM)	Δ=70,9°	
		iP	20 16 54,7 D
		Z: 0,8s; 0,138μ	
		i	17 02,4
		iPcP	10,9
		eipP	18 58,9
		Z: 1,4s; 0,147μ	

Date	Station	Phase	T.U. h m s
28.VII (suite)	NIE	Δ=71,4°	
		iP	20 16 57,5 D
		i	17 04,5
		iPcP	14,5
		eipP	18 57,5
		Z: 0,9s; 0,027μ	
29.VII		Océan Atlantique, NOAA: 1,1°S 24,7°W, H=01h14m17,3s, h normale; mb=5,2 (NOAA)	
	NIE	Δ=63,3°. Traces	
		eP	01 24 45
29.VII			
	NIE		
		eiP	01 45 51,5 D
		Z: 1,1s; 0,007μ	
29.VII		Iles Kouriles, NOAA: 45,3°N, 150,1°E, H=09h11m03,8s, h=46 km; mb=5,1 (NOAA), mPV=5,0 (Niedzica)	
	KRA	Δ=75,8°	
	(SKM)	eiP	09 22 45,0
		eisP	23 03
	NIE	Δ=76,2°	
		iP	09 22 47,5 C
		Z: 0,9s; 0,010μ	
		isP	23 07
29.VII		Région frontière Tadzhik-Sinkiang, NOAA: 38,6°N, 73,6°E, H=11h27m18,0s, h=105 km; mb=4,7 (NOAA)	
	NIE	Δ=39,1°	
		eP	11 34 35
29.VII		Iles Kouriles, NOAA:. 43,1°N, 146,8°E, H=14h51m03,1s, h=52 km; mb=5,4 (NOAA), mPV=5,9 (Kraków), 5,5 (Niedzica)	
	KRA	Δ=75,5°	
	(SKM)	iP	15 02 48,4 C
		Z: 1,1s; 0,124μ	
		ipP	03 00,4
		isP	06,9
	NIE	Δ=76,8°	
		eiP	15 02 49,5 C
		Z: 1,0s; 0,038μ	

Date	Station	Phase	T.U. h m s
29.VII		Région de l'Ile Macquarie, NOAA: 56,3°S, 147,4°E, H=21h42m21,4s, h normale; mb=5,3 (NOAA)	
	KRA	Δ=148,4°	
	(SKM)	ePKIKP	22 02 03
		ipPKIKP	14,8
30.VII		Région de l'Ile de Pâques, NOAA: 26,5°S, 114,6°W, H=06h15m32,1s, h normale; mb=5,1 (NOAA)	
	NIE	Δ=138,6°. Traces	
		ePKIKP	06 34 56
		Z: 1,3s; 0,010μ	
30.VII		Kiou-Siou, Japon, NOAA: 31,9°N, 131,8°E, H=14h16m14,4s, h=41 km; mb=4,8 (NOAA), mPV=4,8 (Niedzica)	
	KRA	Δ=78,7°. Traces	
	(SKM)	eP	14 28 12
		eipP	23
	NIE	Δ=78,9°	
		eiP	14 28 13,5
		Z: 0,9s; 0,008μ	
		ipP	23,5
31.VII		Près de la côte du Chili, NOAA: 37,7°S, 73,4°W, H=05h41m04,0s, h=32 km; mb=5,3 (NOAA)	
	WAR	Δ=121,2°	
	(SKD)	eiPP	06 01 24
		eiPS	11 24
		eL	38,0
31.VII		Près de la côte du Chili, NOAA: 27,1°S, 71,5°W, H=10h51m13,2s, h normale; mb=5,6 (NOAA), MLH=6,3 (Kraków)	
	NIE	Δ=111,1°	
		iPKIKP	11 09 42,5
	KRA	Δ=111,1°	
	(GW)	ePdif	11 05 49
		iPP	10 20
		ei	20 04
		eL	51,9

International Seismological Centre

Date	Station	Phase	T.U. h m s
31.VII (suite)	KRA	Lm	12 01,6
		NE: 16s; 4,5μ, 5,6μ	
	WAR	Δ=108,0°	
	(SKD)	eiPKIKP	11 10 32
		eiSKS	16 39
		eL	38,0
		Lm	55 00
		EZ: 20s; 27μ, 16μ	
		Lm	57 44
		N: 20s; 14μ	
1.VIII		Nouvelles Hébrides, NOAA: 14,3°S, 167,3°E, H=01h31m30,9s, h=200 km; mb=6,1 (NOAA)	
	KRA	Δ=135,7°	
	(SKM)	iPKIKP	01 50 28,9
		i	43,4
		ipPKHKP	51 04,4
	(GW)	iPP	53 08
		iPKS	54 01
	NIE	Δ=135,9°	
		iPKIKP	01 50 30,5
	WAR	Δ=133,5°	
	(SKD)	iPKIKP	01 50 25 D
		eipPKIKP	51 12
		eiPP	52 52
		ei	53 40
		iPKS	56
		i	54 40
		Lm	02 46 24
		EZ: 24s; 20μ	
1.VIII		Région Nord du Chili, NOAA: 26,8°S, 71,0°W, H=15h44m25,5s h=16 km; mb=5,7 (NOAA)	
	WAR	Δ=112,0°	
	(SKD)	ePP	16 03 43
		ei	10 28
		eiPS	13 23
1.VIII		Tibet, NOAA: 29,6°N, 89,1°E, H=14h05m16,2s, h=71 km; mb=4,9 (NOAA)	
	NIE	Δ=54,7°	
		eP	14 14 41

Date	Station	Phase	T.U. h m s
31.VII		Iles Salomon, NOAA: 8,8°S, 161,0°E, H=20h44m52,2s, h=30 km; mb=5,4 (NOAA)	
	NIE	Δ=128,1°	
		ePKIKP	21 03 58
	KRA	Δ=127,9°	
	(SKM)	ePKIKP	21 04 01
	(SKD)	eiPP	05 58
		eL	45,5

1.VIII		Région de Hondo, Japon, NOAA: 37,1°N, 141,6°E, H=17h56m23,4s, h=48 km; mb=4,5 (NOAA), mPV=4,7 (Niedzica)	
	NIE	Δ=79,0°	
		eiP	18 08 27
		Z: 0,9s; 0,006μ	
		i	57
1.VIII		Turquie, BCIS: 40,8°N, 34,8°E, H=19h56m07s	
	NIE	Δ=13,2°	
		eP	19 59 14
		i	35
1.VIII		Chine, NOAA: 30,9°N, 101,1°E, H=21h33m12,3s, h normale; mb=4,6 (NOAA), mPV=4,7 (Niedzica)	
	NIE	Δ=61,6°	
		eP	21 43 28
		Z: 0,9s; 0,006μ	
2.VIII			
	NIE	Traces	
		eP	05 16 53
		Z: 0,9s; 0,008μ	
2.VIII		Chine, NOAA: 27,8°N, 104,5°E, H=08h58m15,1s, h normale; mb=5,4 (NOAA), mPV=5,8 (Kraków), 5,3 (Niedzica)	
	KRA	Δ=65,9°	
	(SKM)	eP	09 08 55
		Pm	09 01
		Z: 0,9s; 0,074μ	

International Seismological Centre

Date	Station	Phase	T.U. h m s
2.VIII (suite)	KRA	ipP	09 09 06
	NIE	Δ=65,9°	
		iP	09 09 00
		Pm	01,5
		Z: 1,4s; 0,040μ	
2.VIII			
	NIE		
		eiP	12 11 09
		Z: 1,0s; 0,009μ	
2.VIII		Iran, BCIS: 37,3°N, 56,8°E, H=19h56m27s; mPV=4,7 (Niedzica)	
	NIE	Δ=28,8°	
		eiP	20 02 22
		Pm	24
		Z: 1,2s; 0,016μ	
		i	33
	KRA (Ch)	Δ=29,2°	
		eP	20 02 24
		eiPP	03 23
2.VIII		Iran, BCIS: 37,1°N, 56,8°E, H=20h29m00s; mPV=4,5 (Niedzica)	
	NIE	Δ=28,9°	
		eiP	20 34 52,5
		Z: 1,1s; 0,008μ	
	KRA (Ch)	Δ=29,3°	
		eP	20 34 55
		ePP	35 52
2.VIII		Iles Talaud, NOAA: 3,9°N, 126,2°E, H=21h38m12,6s, h=51 km; mb=4,9 (NOAA)	
	NIE	Δ=97,4°. Traces	
		eP	21 51 42
2.VIII		Mer Est du Japon, NOAA: 43,6°N, 139,3°E, H=22h54m55,6s h=176 km; mb=4,2 (NOAA)	
	NIE	Δ=73,3°. Traces	
		eP	23 06 08
		Z: 0,7s; 0,007μ	
3.VIII		Iles aux Renards, Aléoutiennes, NOAA: 53,2°N, 169,8°W, H=03h57m06,8s, h=124 km; mb=5,0 (NOAA)	

Date	Station	Phase	T.U. h m s
3.VIII	KRA (Ch)	Δ=77,0°. Traces	
		eiP	04 08 46,1
		Z: 0,9s; 0,036μ	
	NIE	Δ=77,7°	
		eiP	04 08 49 C
		Z: 0,9s; 0,019μ	
3.VIII		Hokkaido, Japon, NOAA: 42,1°N 145,7°E, H=06h26m25,4s, h=45 km; mb=5,0 (NOAA), mPV=5,1 (Niedzica)	
	KRA (Ch)	Δ=76,5°	
		eiP	06 38 12,0
		eiPoP	22
	NIE	Δ=76,9°	
		eiP	06 38 15,5 C
		Z: 0,8s; 0,012μ	
		eiPcP	26
3.VIII		Région d'Haiti, NOAA: 20,0°N 73,1°W, H=15h44m26,9s, h=37 km; mb=5,2 (NOAA), mPV=5,5 (Kraków), 5,2 (Niedzica)	
	KRA (SKM)	Δ=76,9°	
		eP	15 56 18 D
		Z: 1,0s; 0,042μ	
		eisP	36
	NIE	Δ=77,3°	
		eiP	15 56 20 D
		Z: 1,0s; 0,019μ	
3.VIII		Région du Kamtchatka, NOAA: 54,8°N, 162,4°E, H=17h23m 57,0s; h=28 km; mb=5,3 (NOAA), MLH=5,5 (Kraków)	
	KRA (SKM)	Δ=71,1°	
		iP	17 35 13,7 D
		ipP	24,5
	(GW)	e(SKS)	45 28
		eL	18 07,7
		Lm	20,1
		NE: 18s; 2,5μ, 1,6μ	
	NIE	Δ=71,6°	
		eiP	17 35 17
		ipP	27,5
3.VIII		Région du Kamtchatka, NOAA: 54,8°N, 162,4°E, H=17h31m 42,0s, h normale; mb=4,9 (NOAA	

Date	Station	Phase	T.U. h m s
3.VIII (suite)	KSP	Δ=71,0°	
		iP	17 43 02,0
3.VIII		Région du Kamtchatka, NOAA: 54,7°N, 162,4°E, H=17h35m 20,4s, h normale; mb=4,9 (NOAA), mPV=4,9 (Niedzica)	
	KRA (SKM)	Δ=71,1°. Traces	
		eiP	17 46 37,5
		epP	45
	NIE	Δ=71,6°	
		eiP	17 46 40,5
		Z: 1,0s; 0,009μ	
3.VIII		Iles Kouriles, NOAA: 43,0°N, 147,6°E, H=19h13m05,1s, h=53 km; mb=4,6 (NOAA)	
	KRA (SKM)	Δ=76,9°	
		iP	19 24 55,5
	NIE	Δ=77,2°	
		eP	19 24 56
3.VIII		Costa-Rica, NOAA: 9,8°N, 84,6°W, H=00h44m42,8s, h normale, mb=5,3 (NOAA), mPV=4,8 (Niedzica)	
	KRA (SKM)	Δ=91,8°	
		eiP	00 57 48,5
	(SKD)	eL	01 21,8
	NIE	Δ=92,2°	
		eiP	00 57 50,5
		Z: 1,1s; 0,006μ	
		eipP	58 02
4.VIII			
	NIE	Traces	
		eP	02 10 43
		Z: 0,3s; 0,014μ	
4.VIII		Mer Ionienne, BCIS: 38,6°N, 20,2°E, H=04h09m49s	
	NIE	Δ=10,5°	
		eiPn	04 12 20
		Z: 1,0s; 0,006μ	
4.VIII		Hokkaido, Japon, NOAA: 42,8°N 145,5°E, H=06h07m08,5s, h=53 km; mb=4,9 (NOAA), mPV=5,8 (Kraków), 5,2 (Niedzica)	

Date	Station	Phase	T.U. h m s
4.VIII	KRA (SKM)	Δ=76,2°	
		iP	06 18 52,0
		Z: 0,8s; 0,069μ	
		iPP	19 08,0
	NIE	Δ=76,6°	
		eiP	06 18 54 C
		Z: 1,0s; 0,021μ	
4.VIII			
	NIE		
		eP	14 29 38
		Z: 0,7s; 0,011μ	
4.VIII		Détroit des Moluques, NOAA: 2,0°N, 126,7°E, H=21h51m25,0s h=40 km; mb=5,6 (NOAA), mPV=5,7 (Niedzica)	
	NIE	Δ=99,1°	
		eP	22 05 04
		Pm	11,5
		Z: 0,9s; 0,022μ	
5.VIII		Iles Tonga, NOAA: 16,2°S, 173,1°W, H=15h47m32,9s, h normale; mb=6,1 (NOAA)	
	NIE	Δ=145,3°	
		iP	16 07 09 C
		Z: 0,9s; 0,577μ	
	KRA (SKM)	Δ=144,9°	
		eiPKIKP	16 07 07,3 C
		i	14,5
		ipPKIKP	23,5
	(SKD)	eiPP	10 20
		eL	55,2
6.VIII		Epire, Grèce, BCIS: 39,6°N, 20,6°E, H=01h11m11s;MLH=4,0 (Skopje)	
	NIE	Δ=9,5°	
		iPn	01 13 31
		Z: 1,0s; 0,011μ	
		eiPK	53
6.VIII		Région de l'Hindou-Kouch, NOAA: 36,4°N, 70,1°E, H=01h17m55,1s, h=222 km; mb=5,4 (NOAA)	
	NIE	Δ=38,0°	
		iP	01 24 53,5 C
		ipP	25 40

International Seismological Centre

Date	Station	Phase	T.U. h m s
6.VIII (suite)	KRA (SKM)	Δ=38,3°	
		eiP	01 24 55,8
		Z: 0,8s; 0,088μ	
		eipP	25 40
6.VIII		Iles Kouriles, NOAA: 44,3°N, 147,8°E, H=23h11m59,8s, h= 89 km; mb=5,3 (NOAA)	
	KRA (SKM)	Δ=75,8°	
		iP	23 23 37,3
		Z: 0,6s; 0,031μ	
		eisP	24 02
	NIE	Δ=76,2°	
		eiP	23 23 39 C
		Z: 1,0s; 0,020μ	
		ipP	56,5
7.VIII		Région Nord du Chili, NOAA: 26,8°S, 70,9°W, H=03h41m25.6s h=25 km; mb=5,6 (NOAA)	
	KRA (SKM)	Δ=110,5°	
		eiPP	04 00 30
	WAR (SKD)	Δ=111,9°	
		eiPP	04 00 40
		eiPS	10 18
		eL	36,0
7.VIII		Cordillère Pacifique Sud, NOAA: 54,4°S, 136,6°W, H=06h 39m00,8s, h normale; mb=5,4 (NOAA), M=5,9 (Berkeley)	
	KRA (SKM)	Δ=164,9°. Traces	
		ePKIKP	06 59 02
		eiPKP$_2$	07 00 00
	(SKD)	ePP	03 38
		i	10 22
		eL	55,5
		Lm	08 25,5
		Z: 20s; 5,1 μ	
	NIE	Δ=164,8°	
		ePKIKP	06 59 03
		epPKIKP	15
		eiPKP$_2$	07 00 01
7.VIII		Région du Chili, NOA : 26,8°S 70,9°W, H=14h22m45,4s, h= 14 km; mb=5,9 (NOAA)	
	NIE	Δ=110,5°	
		ePKIKP	14 41 19

Date	Station	Phase	T.U. h m s
7.VIII	NIE	ePP	14 41 51
	WAR (SKD)	Δ=111,9°	
		eiPP	14 42 02
		eiPS	50 28
		eiPKKP	51 36
		eiPPS	52 06
		Lm	52
		EZ: 18s, 10μ, 20μ	15 23 52
8.VIII			
	NIE	Traces	
		eiP	04 42 19
		Z: 0,8s; 0,007μ	
8.VIII		Adriatique près des côtes d'Albanie, BCIS: 41,7°N, 19,5°E, H=08h23m46s; M= 5,3 (Trieste)	
	NIE	Δ=7,5°	
		iPn	08 25 43
		Z: 0,7s; 0,044μ	
	KRA (SKM)	Δ=8,1°	
		ePn	08 25 51,4
		ei	27 27
8.VIII			
	NIE		
		iP	09 21 04
		Z: 0,6s; 0,022μ	
8.VIII			
	NIE		
		iP	13 55 48,3
		Z: 0,6s; 0,057μ	
		i	56 02,5
		Z: 0,6s; 0,099μ	
8.VIII		Italie, BCIS: 40,7°N, 15,4°E, H=14h36m10s; M=5,1 (Trieste)	
	NIE	Δ=9,1°	
		eiPn	14 38 27,5
	KRA (SKM)	Δ=9,6°	
		eiP*	14 38 49,6
	(GW)	eL	41 40
		Lm	42,8
		NE: 8,0s; 1,2μ, 1,2μ	

Date	Station	Phase	T.U. h m s
9.VIII		Californie, NOAA: 40,260°N, 124,233°W, H=02h18m25,8s, h=2 km; mb=5,1 (NOAA)	
	KRA (Ch)	Δ=84,9°. Traces	
		eP	02 30 58
	NIE	Δ=85,6°	
		eP	02 30 59
9.VIII		Iles Salomon, NOAA: 6,1°S, 154,5°E, H=09h38m59,2s, h= 404 km; mb=5,4 (NOAA)	
	NIE	Δ=122,3°	
		iPKIKP	09 57 09,5 D
		Pm	10,5
		Z: 1,1s; 0,021μ	
		eiPP	58 47
9.VIII		Iles Kouriles, NOAA: 43,4°N, 146,4°E, H=10h44m26,5s, h= 55 km; mb=6,0 (NOAA), mPV= 6,3 (Kraków), 6,1 (Niedzica), MLH=5,9 (Kraków)	
	WAR (SKD)	Δ=73,7°	
		eiP	10 55(56)
		eisP	56 14
		eiS	11 05 26
		eiPPS	06 14
		eL	10,0
		Lm	28 40
		Z: 24s; 7,5μ	
	KRA (SKM)	Δ=76,1°	
		iP	10 56 08,3 C
		Z: 1,0s; 0,280μ	
		iPcP	20,3
	(GW)	isP	26
		eiS	11 05 49
		eiSKS	06 05
		eL	27,6
		Lm	31,6
		NE: 22s; 6,1μ, 4,0μ	
	NIE	Δ=76,4°	
		iP	10 56 11 C
		Z: 0,8s; 0,126μ	
9.VIII		Iles Kouriles, NOAA: 43,4°N, 146,3°E, H=10h54m44,4s, h normale; mb=4,8 (NOAA)	
	KSP	Δ=76,6°	
		eiP	11 06 14,4

Date	Station	Phase	T.U. h m s
9.VIII		Région de l'Ile Macquarie, NOAA: 56,3°S, 147,4°E, H=13h 06m36,6s, h normale; mb=5,6 (NOA)	
	NIE	Δ=147,9°	
		ePKIKP	13 26 17
	KRA (SKM)	Δ=148,4°	
		ePKIKP	13 26 19
		ei	27
	(SKD)	eL	14 17,6
	WAR (SKD)	Δ=149,0°	
		ePKP$_2$	13 26 34
		ei	27 16
		ei	30 10
		eL	14 02,0
10.VIII		Région de Hondo, Japon, NOAA: 34,0°N, 141,4°E, H=00h08m 05,8s, h=55 km; mb=5,0 (AA), mPV=4,7 (Niedzica), MLH=5,7 (Kraków)	
	WAR (SKD)	Δ=79,5°	
		eiP	00 20 08
		eL	50,2
	KRA (SKM)	Δ=81,8°	
		eP	00 20 20 C
	(GW)	eS	30 34
		eL	52,9
		Lm	59,6
		NE: 14s; 2,0μ, 1,5μ	
	NIE	Δ=82,0°	
		eP	00 20 21
		Z: 1,0s; 0,005μ	
10.VIII		Alaska, NOAA: 54,2°N, 162,6°W, H=09h41m25,1s, h=53 km; mb=4,8 (NOAA), mPV=4,7 (Niedzica)	
	NIE	Δ=77,0°	
		eP	09 53 13
		Z: 1,0s; 0,006μ	
		ePcP	23
10.VIII			
	NIE		
		eiP	14 46 55
		Pm	57
		Z: 0,9s; 0,019μ	
		ei	47 12

International Seismological Centre

Date	Station	Phase	T.U. h m s
10.VIII		Iles Tonga, NOAA: 19,2°S, 173,0°W, H=14h43m41,6s, h normale; mb=5,4 (NOAA)	
	KRA (SKM)	Δ=147,8°	
		ePKIKP	15 03 24,1
	NIE	Δ=148,2°	
		ePKIKP	15 03 23,5
		i	39
10.VIII		Iles Kouriles, NOAA: 43,4°N 146,4°E, H=15h44m51,8s, h=59 km; mb=4,8 (NOAA), mPV=5,5 (Kraków), 5,0 (Niedzica)	
	KRA (SKM)	Δ=76,1°	
		e1P	15 56 34,1
		Z: 0,9s; 0,037μ	
		is P	54,8
	NIE	Δ=76,4°	
		e1P	15 56 36
		Z: 1,0s; 0,013μ	
		ipP	46,5
10.VIII		Iles Tonga, NOAA: 19,2°S, 173,2°W, H=18h55m20,3s, h normale; mb=4,6 (NOAA)	
	KRA (SKM)	Δ=147,7°. Traces	
		ePKIKP	19 15 01
	NIE	Δ=148,1°	
		ePKIKP	19 15 05
		Z: 1,3s; 0,011μ	
11.VIII			
	NIE		
		e1P	01 50 50
		Z: 1,0s; 0,008μ	
11.VIII		Région des Iles Fidji, NOAA: 17,8°S, 177,0°W, H=03h46m12,3s, h=399 km; mb=5,4 (NOAA)	
	KRA (SKM)	Δ=145,3°. Traces	
		e1PKIKP	04 05 04,8
	NIE	Δ=145,7°	
		e1PKIKP	04 05 06,5
		Z: 1,0s; 0,0012μ	
		i	06 53

Date	Station	Phase	T.U. h m s
11.VIII		Chine, NOAA: 33,0°N, 104,0°E, H=07h15m39,7s, h normale; mb=5,4 (NOAA), mPV=5,0 (Niedzica), 6,0 (Kraków), MLE=6,8 (Kraków)	
	WAR (SKD)	Δ=60,5°	
		e1P	07 25 54
		e1PcP	26 20
		e1S	34 06
		eL	39,0
		Lm	49 04
		N: 15s; 45μ	
		Lm	51 20
		E: 12s; 31μ	
	NIE	Δ=62,0°	
		iP	07 25 58,5 C
		Z: 0,9s; 0,011μ	
	KRA (SKM)	Δ=62,0°	
		e1P	07 25 59,3
		Z: 1,9s; 0,265μ	
	(GW)	e1L	49,1
		Lm	49,8
		NE: 12s; 41,7μ, 10,5μ	
11.VIII		Hokkaido, Japon, NOAA: 42,8°N, 145,4°E, H=14h04m27,0s, h=55 km; mb=4,4 (NOAA), mPV=4,9 (Niedzica)	
	KRA (SKM)	Δ=76,2°. Traces	
		e1P	14 16 09,3
		es P	28
	NIE	Δ=76,5°	
		e1P	14 16 12,5 D
		Z: 1,0s; 0,009μ	
12.VIII			
	NIE		
		eP	10 28 58
		Z: 0,7s; 0,009μ	
12.VIII		Région de l'ile de Jan Mayen, BCIS: 72,6°N, 0,8°E, H=15h36m51s	
	NIE	Δ=25,1°	
		eP	15 42 04
		i	37
	KRA (SKM)	Δ=24,4°	
		eP	15 42 08

Date	Station	Phase	T.U. h m s
13.VIII		Pakistan, NOAA: 29,9°N, 68,4°E, H=02h00m20,4s, h=7 km; mb=4,7 (NOAA), mPV=5,5 (Niedzica)	
	NIE	Δ=41,0°	
		eP	02 08 05
		Pm	10,5
		Z: 1,0s; 0,007μ	
		i	16
13.VIII		Région de la Nouvelle Guinée NOAA: 4,5°S, 144,0°E, H=08h28m19,7s, h=112 km; mb=6,0 (NOAA)	
	NIE	Δ=114,9°	
		ipPKIKP	08 46 49 C
		Z: 0,6s; 0,050μ	
		ipPKIKP	47 20
		pPKIKPm	22,5
		Z: 1,1s; 0,039μ	
	KRA (SKM)	Δ=114,9°	
		e1PKIKP	08 46 49,7
		e ip PKIKP	47 19
	(GW)	e1PP	52
		i	48 31
		iSKS	53 29
	WAR (SKD)	Δ=113,2°	
		e1PP	08 47 32
		i	55 10
		i	56 00
		Lm	09 28 16
		Z: 36s; 7μ	
13.VIII			
	NIE		
		iP	08 57 27,5
		i	58 04
		Z: 1,0s; 0,040μ	
14.VIII		Région du Chili, NOAA: 26,6°S 70,8°W, H=01h57m00,5s, h=29 km; mb=5,7 (NOAA)	
	KRA (SKM)	Δ=110,3°. Traces	
		ePKIKP	02 15 32
		ePP	16 17
	WAR (SKD)	Δ=111,7°	
		ePP	02 16 16
		e1PS	25 52
		e1PPS	27 12

Date	Station	Phase	T.U. h m s
14.VIII	WAR	eL	02 52,0
14.VIII		Région des Iles Fidji, NOAA: 22,3°S, 179,6°W, H=04h19m20,2s, h=592 km; mb=5,2 (NOAA)	
	KRA (SKM)	Δ=148,5°	
		ePKIKP	04 37 57
		PKIKPm	38 01,8
		Z: 0,8s; 0,055μ	
		ePKP2	07
	NIE	Δ=148,9°	
		e1PKIKP	04 37 58,5
		PKIKPm	38 04
		Z: 1,0s; 0,044μ	
		iPKP2	08,5
14.VIII			
	NIE		
		iP	05 00 41,5 C
		Z: 1,0s; 0,016μ	
14.VIII			
	NIE		
		e1P	13 03 24,5
		Pm	26
		Z: 1,0s; 0,017μ	
		i	33,5
		i	50
		Z: 1,0s; 0,043μ	
	KRA (SKM)		
		e1P	13 03 29,7 D
		Z: 0,7s; 0,029μ	
14.VIII		Pakistan, NOAA: 25,4°N, 65,7°E, H= 18h24m20,2s, h normale; mb=5,1 (NOAA)	
	NIE	Δ=42,4°	
		eP	18 32 15
	KRA (SKM)	Δ=42,8°	
		e1P	18 32 17,1
15.VIII		Kazakhstan, URSS, NOAA: 42,7°N, 67,4°E, H=01h59m57,8s, h=0 ; mb=5,3 (NOAA), mPV=5,7 (Kraków), 5,2 (Niedzica)	
	NIE	Δ=32,9°	
		iP	02 06 35,5 C
		Z: 1,0s; 0,042μ	

International Seismological Centre

Date	Station	Phase	T.U. h m s
15.VIII (suite)	NIE	1	02 07 32
	KRA (SKM)	Δ=33,1°	
		eiP	02 06 37,1 C
		Z: 1,0s; 0,120μ	
15.VIII		Région de l'Hindou-Kouch, NOAA: 36,4°N, 70,8°E, H=15h 09m08,8s, h=200 km; mb=4,8 (NOAA)	
	NIE	Δ=38,5°. Traces	
		eiP	15 16 14,0
		Z: 1,0s; 0,009μ	
	KRA (SKM)	Δ=38,7°. Traces	
		eiP	15 16 15,7
		epP	17 53
16.VIII			
	NIE		
		eiP	00 38 50,5
		Z: 0,9s; 0,006μ	
16.VIII		Chine, NOAA: 23,1°N, 101,1°E H=03h58m10,7s, h normale; mb=5,4 (NOAA), mPV=5,2 (Niedzica)	
	KRA (SKM) (GW)	Δ=67,1°	
		eP	04 09 02
		eiS	17 57
		eL	35,2
		Lm	38,5
		NE: 14,0s;8,0s; 3,9μ, 0,9μ	
	NIE	Δ=67,0°	
		eiP	04 09 03,5 D
		Z: 0,9s; 0,019μ	
		i	05
		eiPcP	28
16.VIII		Chine, NOAA: 23,2°N, 100,9°E H=06h05m28,2s, h normale; mb=5,1 (NOAA)	
	NIE	Δ=66,8°	
		eiP	06 16 20
		ei	24
		ei	31
16.VIII		Tibet, NOAA: 33,1°N, 86,9°E, H=08h02m53,8s, h normale; mb=5,3 (NOAA), mPV=5,5 (Kraków), 5,2 (Niedzica),	

Date	Station	Phase	T.U. h m s
16.VIII		MLH=5,2 (Kraków)	
	WAR (SKD)	Δ=50,2°	
		eiP	08°11 50
		eiPP	13 48
		ei	23 08
		eL	33,0
	NIE	Δ=51,0°	
		eP	08 11 55
		Z: 1,5s; 0,040μ	
		ePcP	13 10
	KRA (SKM)	Δ=51,2°	
		eiP	08 11 55,7
		Z: 1,6s; 0,088μ	
	(GW)	eS	19 16
		eScS	48
		eL	31,1
		Lm	32,6
		NE: 10,0s; 1,4μ, 0,6μ	
16.VIII		Iles Andreanov, Aléoutiennes, NOAA: 51,3°N, 176,6°W, H=12h 16m59,8s, h=47 km; mb=5,6 (NOAA), MLH=5,8 (Kraków)	
	WAR (SKD)	Δ=75,7°	
		eiP	12 28 42
		ei	29 20
		eiPP	31 32
		eiPPP	33 24
		eiS	38 36
		eiScS	39 06
		eiPS	14
		eL	53,4
		Lm	13 05 45
		N: 18s; 7,0μ	
		Lm	08 28
		Z: 18s; 10μ	
	KRA (SKM) (GW)	Δ=78,3°	
		eP	12 28 55
		eS	38 47
		ePPS	39 43
		eL	13 01,6
		Lm	10,4
		NE: 17,0s; 4,5μ, 2,1μ	
	NIE	Δ=78,9°	
		eP	12 28 58
16.VIII		Andreanov, Aléoutiennes, NOAA: 51,4°N, 176,6°W,	

Date	Station	Phase	T.U. h m s
16.VIII (suite)		H=14h25m34,4s, h=62 km; mb=5,6 (NOAA)	
	NIE	Δ=78,8°	
		eP	14 37 31
17.VIII		Iles Kouriles, NOAA: 46,4°N, 152,7°E, H=00h53m11,4s, h=52 km; mb=4,8 (NOAA), mPV=4,9 (Niedzica)	
	NIE	Δ=76,2°	
		eiP	01 04 54,5
		Z: 0,9s; 0,009μ	
		epP	05 08
17.VIII		Iles Riou-Kiou, NOAA: 23,3°N 123,6°E, H=01h42m11,9s, h=28 km; mb=5,4 (NOAA)	
	WAR (SKD)	Δ=79,1°	
		eP	01 54 12
		eisP	28
		eiS	02 04 10
		eL	22,0
		Lm	24 35
		N: 24s; 6,5μ	
		Lm	25,0
		E: 24s; 7,0μ	
	KRA (SKM)	Δ=80,8°	
		eiP	01 54 23,8 C
		esP	39
	(SKD)	eS	02 04 29
		eL	21,4
	NIE	Δ=80,9°	
		eiP	01 54 24,5 C
17.VIII			
	NIE		
		eiP	10 59 10
		i	42,5
17.VIII		Philippines, NOAA: 11,5°N, 121,5°E, H=18h48m16,8s, h=40 km; mb=5,4 (NOAA)	
	KRA (Ch)	Δ=88,6°. Traces	
		eP	19 01 06
		ePP	04 45
18.VIII		Hokkaido, Japon, NOAA: 42,0°N 142,5°E, H=02h08m32,0s, h=71 km; mb=5,2 (NOAA), mPV=5,9 (Kraków)	

Date	Station	Phase	T.U. h m s
18.VIII	KRA (SKM)	Δ= 75,6°	
		eiP	02 20 09,3
		Pm	11,1
		Z: 1,0s; 0,120μ	
		epP	26
18.VIII		Philippines, NOAA: 11,5°N, 121,4°E, H=08h25m44,1s, h=14 km; mb=5,9 (NOAA), mPV=5,8 (Kraków), MLH=6,0 (Kraków)	
	WAR (SKD)	Δ=87,2°	
		1P	08 38 32 C
		eiPP	41 59
		eiPPPP	45 32
		eiSKS	48 52
		1S	49 08
		eL	09 07,0
		Lm	17 04
		N: 20s; 20μ	
		Lm	23 28
		EZ: 18s;16s; 28μ, 21μ	
	KRA (SKM)	Δ=88,6°	
		eiP	08 38 37,8 C
		Z: 1,0s; 0,084μ	
	(GW)	ePP	45 33
		eSKS	49 09
		eiS	23
		ePS	50 33
		eL	09 14,7
		Lm	18,3
		NE: 15s; 5,1μ, 3,1μ	
	NIE	Δ=88,5°	
		eiP	08 38 38,5 C
		i	42
18.VIII			
	NIE		
		eP	12 57 17
		Z: 0,9s; 0,006μ	
19.VIII		Philippines, NOAA: 11,4°N, 121,2°E, H=01h45m18,9s, h=22 km; mb=5,2 (NOAA)	
	NIE	Δ=88,5°	
		eP	01 58 18
19.VIII		Frontière Albanie-Yougoslavie, BCIS: 41,5°N, 20,3°E, H=16h33m52s; MLH=3,5 (Skopje)	

Date	Station	Phase	T.U. h m s
19.VIII (suite)	NIE	Δ=7,6°	
		eiP^{K}	16 35 55
19.VIII		Région des Iles Mariannes, NOAA: 21,6°N, 142,9°E, H=19^{h}29^{m}52,2^{s}, h=326 km; mb=5,4 (NOAA)	
	KRA (SKM)	Δ=92,8°	
		eiP	19 42 30 D
		Z: 1,1^{s}; 0,035μ	
	NIE	Δ=93,0°	
		eiP	19 42 31,5 D
		Z: 1,2^{s}; 0,009μ	
19.VIII		Région du Spitsberg, BCIS: 75,0°N, 7,7°E, H=23^{h}19^{m}17^{s}; mPV=4,8 (Kraków), 4,3 (Niedzica)	
	KRA (SKM)	Δ=25,8°	
		eiP	23 24 47,1
		Z: 1,1^{s}; 0,028μ	
	NIE	Δ=26,5°	
		eiP	23 24 53,5
		Z: 1,0^{s}; 0,007μ	
20.VIII		Région de Vrancea, Roumanie, BCIS: 45,7°N, 26,6°E, H=15^{h}18^{m}30^{s}, h=75 km ± 5 km; m=6,4 (Uppsala)	
	NIE	Δ=5,5°	
		eiPn	15 19 51 D
		iP^{K}	20 03
	KRA (SKM)	Δ=6,1°	
		iPn	15 19 59,7 D
		Z: 1,3^{s}; 0,637μ	
		iP^{K}	20 13,7
	(GW)	i	23
		i	58
	WAR (GW)	Δ=7,5°	
		eiP	15 20 19
		i	22 08
20.VIII			
	NIE		
		eiP	18 33 07,5
20.VIII			
	NIE		
		eP	21 55 10
		i	24,5

Date	Station	Phase	T.U. h m s
21.VIII		Détroit des Moluques, NOAA: 2,9°N, 126,6°E, H=01^{h}45^{m}45,7^{s}, h=62 km; mb=5,2 (NOAA)	
	NIE	Δ=98,4°. Traces	
		eP	01 59 25
21.VIII		Région des Iles Fidji, NOAA: 18,8°S, 176,2°E, H=01^{h}43^{m}11,0^{s}, h=32 km; mb=4,6 (NOAA)	
	KSP	Δ=144,3°. Traces	
		ePKIKP	02 02 43
21.VIII		Sumatra, NOAA: 5,2°S, 102,6°E, H=14^{h}02^{m}44,8^{s}, h normale; mb=5,3 (NOAA), mPV=5,5 (Niedzica), 5,8 (Kraków)	
	NIE	Δ=88,8°	
		eP	14 15 37
		Pm	39
		Z: 1,0^{s}; 0,037μ	
	KRA (SKM)	Δ=89,2°	
		eiP	14 15 40,1 D
		Z: 1,4^{s}; 0,105μ	
	(GW)	eS	26 27
	(SKD)	eL	53,2
22.VIII		Mer du Japon, NOAA: 36,8°N, 134,6°E, H=01^{h}54^{m}13,9^{s}, h=383 km; mb=4,6 (NOAA)	
	KRA (SKM)	Δ=76,3°	
		eiP	02 05 28,6 C
		Z: 1,1^{s}; 0,041μ	
		epP	07 00
	NIE	Δ=76,5°	
		eP	02 05 30
		Z: 1,1^{s}; 0,014μ	
22.VIII		Kermadec, NOAA: 32,8°S, 179,2°W, H=06^{h}39^{m}21,4^{s}, h normale; mb=5,5 (NOAA), MLH=6,2 (Kraków)	
	WAR (SKD)	Δ=155,6°	
		eiPKIKP	06 59 11
		eiPKP$_2$	35
		eiPP	07 03 13
		Lm	08 00 31
		EZ: 32^{s};30^{s}; 5,0μ, 8,0μ	

International Seismological Centre

Date	Station	Phase	T.U. h m s
22.VIII (suite)	NIE	Δ=158,1°	
		iPKIKP	06 59 14
		Z: 1,5^{s}; 0,035μ	
		ipPKIKP	27
		iPKP$_2$	45
	KRA (Ch)	Δ=157,8°	
		ePKIKP	06 59 14 D
		Z: 1,2^{s}; 0,028μ	
	(SKD)	eiPP	07 03 25
	(GW)	eL	08 02,7
		Lm	10,2
		NE: 25^{s}; 7,8μ, 6,0μ	
22.VIII		Région de l'Ile Kodiak, NOAA: 57,1°N, 154,1°W, H=18^{h}14^{m}37,2^{s}, h=38 km; mb=5,9 (NOAA) mPV=6,0 (Kraków), 5,6 (Niedzica)	
	WAR (SKD)	Δ=70,9°	
		eP	18 25 55
		eiS	35 07
		eL	43,0
	KRA (SKM)	Δ=73,4°	
		eiP	18 26 05 D
		Pm	06,6
		Z: 1,1^{s}; 0,131μ	
		iPcP	14,5
	(SKD)	eS	35 30
		eL	50,9
	NIE	Δ=74,0°	
		iP	18 26 09 D
		Pm	11
		Z: 1,1^{s}; 0,058μ	
		iPcP	19,5
22.VIII		Crête médiane de l'Atlantique, NOAA: 0,6°N, 25,3°W, H=22^{h}15^{m}17,3^{s}, h normale; mb=5,1 (NOAA), mPV=5,2 (Niedzica)	
	NIE	Δ=62,1°	
		iP	22 25 39,5
		Z: 0,7^{s}; 0,015μ	
23.VIII		Iran occidental, BCIS: 31,8°N, 50,9°E, H=12^{h}26^{m}27^{s}; mPV=5,2 (Kraków)	
	NIE	Δ=28,7°	
		eP	12 32 22

Date	Station	Phase	T.U. h m s
23.VIII	NIE	iPP	12 33 18
	KRA (SKM)	Δ=29,2°	
		eiP	12 32 27,2 D
		Z: 0,6^{s}; 0,027μ	
		i	54,5
23.VIII		Roumanie, BCIS: 45,8°N, 21,2°E, H=14^{h}52^{m}43^{s}, h=39 km (NOAA); MLH=3,7 (Skopje)	
	NIE	Δ=3,40°	
		iP^{K}	14 53 40,5
		Z: 1,0^{s}; 0,032μ	
		iSn	54 21
	KRA (SKM)	Δ=4,07°	
		eiP^{K}	14 53 49,4 D
		Z: 0,9^{s}; 0,032μ	
		i	54 09
	(GW)	eiS^{K}	44
		Lm	56,7
		NEZ: 9,0^{s}; 0,7μ, 1,4μ, 0,5μ	
23.VIII			
	NIE		
		eiP	15 42 25,5 C
		Z: 1,0^{s}; 0,007μ	
		i	54
		max	57
		Z: 1,1^{s}; 0,023μ	
23.VIII		Roumanie, NOAA: 45,7°N, 21,1°E, H=16^{h}56^{m}25,9^{s}, h=51 km	
	NIE	Δ=3,49°	
		i(Pn)	16 57 24,5 D
		Z: 0,8^{s}; 0,012μ	
		i	50
		Z: 1,0^{s}; 0,032μ	
23.VIII		Région de Nouvelle Bretagne, NOAA: 5,4°S, 151,5°E, H=16^{h}55^{m}25,9^{s}, h=78 km; mb=5,7 (NOAA)	
	KRA (SKM) (SKD)	Δ=119,9°. Traces	
		ePKIKP	17 14 08
		ePP	15 35
		eSP	25 23
		eL	52,7

Date	Station	Phase	T.U. h m s
23.VIII (suite)	NIE	Δ=120,1°	
		1PKIKP	17 14 09,5 C
		PKIKPm	12,5
		Z: 1,0s; 0,026μ	
23.VIII		Roumanie, NOAA: 46,3°N, 21,5°E, H=18h23m43,8s, h=86 km	
	NIE	Δ=2,95°	
		ei	18 24 39
		max	41,5
		Z: 0,6s; 0,032μ	
		i	25 04
	KRA (SKM)	Δ=3,64°	
		e	18 24 48
		ei	25 14
23.VIII		Hondo, Japon, NOAA: 36,5°N, 139,6°E, H=19h16m41,0s, h=115 km; mb=5,1 (NOAA)	
	KRA (SKM)	Δ=78,9°	
		eiP	19 28 32
		Z: 0,8s; 0,060μ	
	NIE	Δ=79,2°	
		iP	19 28 34
		Z: 1,0s; 0,021μ	
		i	43
23.VIII		Iles Aléoutiennes, NOAA: 51,8°N, 173,5°W, H=20h58m13,6s h=38 km; mb=4,7 (NOAA)	
	KSP	Δ=77,4°. Traces	
		eP	21 10 05
24.VIII		Hondo, Japon, NOAA: 37,2°N, 142,1°E, H=23h50m32,4s, h=34 km; mb=5,7 (NOAA), mPV=6,0 (Kraków), 5,8 (Książ), 5,6 (Niedzica)	
	KRA (SKM)	Δ=79,4°	
		eiP	00 02 36 C
		Z: 1,2s; 0,157μ	
		eiPcP	43
		eipP	49
		eS	12 33
		eL	36,2
		Lm	40,7
		NE: 18s; 4,6μ, 3,1μ	

Date	Station	Phase	T.U. h m s
24.VIII	NIE	Δ=79,7°	
		iP	00 02 39 C
		Z: 1,2s; 0,072μ	
		iPcP	46
		isP	55
	WAR (SKD)	Δ=77,2°	
		eiS	00 12 12
		eL	35,0
24.VIII		Iran, BCIS: 27,8°N, 52,9°E, H=02h06m05s, h=50 km ± 10 km mPV=4,9 (Niedzica), 5,5 (Kraków)	
	NIE	Δ=32,8°	
		eP	02 12 34
		Z: 1,0s; 0,019μ	
		i	13 01,5
	KRA (SKM)	Δ=33,4°	
		iP	02 12 39 D
		Z: 0,8s; 0,055μ	
24.VIII		Iran, BCIS: 27,9°N, 52,5°E, H=09h34m20s; mPV=5,2 (Kraków)	
	NIE	Δ=32,5°. Traces	
		eP	09 40 43
	KRA (SKM)	Δ=33,1°	
		eiP	09 40 47,4 D
		Z: 0,8s; 0,032μ	
24.VIII		Gibraltar, NOAA: 36,2°N, 2,0°W, H=10h50m59,7s, h normale; mb=3,9 (NOAA)	
	KSP	Δ=19,7°. Traces	
		eP	10 56 17
24.VIII			
	KRA (SKM)	eiP	12 44 36,3
		Z: 0,4s; 0,020μ	
24.VIII		Iles Salomon, NOAA: 7,2°S, 156,0°E, H=20h18m21,4s, h=62 km; mb=5,8 (NOAA)	
	KRA (SKM)	Δ=123,9°	
		iPKIKP	20 37 14,2 D
		PKIKPm	16,2
		Z: 0,5s; 0,033μ	
		ei	39 17,1

International Seismological Centre

Date	Station	Phase	T.U. h m s
24.VIII (suite)	KRA (SKD)	eSP	20 48 45
		eL	21 18,2
25.VIII		Iles Tonga, NOAA: 17,6°S, 174,8°W, H=06h04m41,9s, h=200 km; mb=4,4 (NOAA)	
	KSP	Δ=145,7°. Traces	
		eiPKIKP	06 23 59
25.VIII		Région du Kamtchatka, NOAA: 56,0°N, 163,6°E, H=12h15m 53,0s, h normale; mb=5,2 (NOAA)	
	KRA (SKM)	Δ=70,3°	
		eiP	12 27 03,5 C
		Z: 1,5s; 0,074μ	
	(SKD)	eL	58 10
	NIE	Δ=70,8°. Traces	
		eP	12 27 07
25.VIII		Riou-Kiou, NOAA: 25,8°N, 129,5°E, H=14h39m15,1s, h normale; mb=5,6 (NOAA), mPV=5,8 (Książ), 5,6 (Kraków)	
	NIE	Δ=82,4°	
		eP	14 51 30
		iPcP	36
	KRA (SKM)	Δ=82,3°	
		eiP	14 51 34,8 D
		Z: 1,0s; 0,048μ	
	(SKD)	eL	15 21 10
25.VIII		Iran méridional, BCIS: 28,1°N, 56,8°E, H=14h58m16s h=90 km ± 10 km; mb=5,4 (NOAA)	
	KRA (SKM)	Δ=35,4°	
		eiP	15 05 03,3 C
		Z: 0,7s; 0,164μ	
		i	07,8
25.VIII		Iles Kouriles, NOAA: 43,5°N 146,8°E, H=15h15m40,8s, h=39 km; mb=5,0 (NOAA), mPV=5,6 (Kraków)	
	KRA (SKM)	Δ=76,1°	
		iP	15 27 25,4 C
		Z: 1,0s; 0,048μ	

Date	Station	Phase	T.U. h m s
25.VIII	NIE	Δ=76,5°	
		iP	15 27 27,5
		epP	39
25.VIII		Philippines, NOAA: 19,5°N, 121,6°E, H=21h50m01,4s, h=44 km; mb=5,1 (NOAA), mPV=5,6 (Kraków)	
	KRA (SKM)	Δ=82,6°	
		iP	22 02 21,2 C
		Z: 0,7s; 0,033μ	
		eipP	36
	NIE	Δ=82,6°	
		eiP	22 02 21,5
26.VIII		Mer de Moluques, NOAA: 0,2°S, 125,0°E, H=01h46m14,1s, h=85 km; mb=5,4 (NOAA), mPV=5,8 (Kraków)	
	KRA (SKM)	Δ=99,8°	
		eiP	01 59 50,8 D
		Z: 1,0s; 0,030μ	
26.VIII		Iles Fidji, NOAA: 18,0°S, 178,7°W, H=18h00m37,4s, h=634 km; mb=4,5 (NOAA)	
	KSP	Δ=145,1°	
		iPKIKP	18 19 06,7
26.VIII		Kermadec, NOAA: 29,6°S, 177,4°W, H=21h27m34,1s, h=55 km; mb=5,4 (NOAA)	
	KRA (SKM)	Δ=155,9°	
		ePKIKP	21 47 22
		Z: 1,7s; 0,070μ	
	WAR (SKD)	Δ=153,5°	
		ePKIKP	21 47 30
		eL	22 14,0
26.VIII		Andreanov, Aléoutiennes, NOAA: 51,2°N, 179,3°W, H=21h47m12,0s, h=48 km; mb=5,2 (NOAA)	
	KRA (SKM)	Δ=78,0°	
		eiP	21 59 05,5 D
		Z: 0,8s; 0,037μ	
27.VIII		Iles Aléoutiennes, NOAA: 51,7°N, 173,7°W, H=04h 37m05,4s, h=45 km, mb=4,8 (NOAA)	

Date	Station	Phase	T.U. h m s
27.VIII (suite)	KSP	Δ=77,5°	
		eiP	04 48 56,4
27.VIII		Andreanov, Aléoutiennes, NOAA: 51,7°N, 173,7°W, H=06h26m45,1s, h=51 km; mb=5,1 (NOAA)	
	KRA	Δ=78,2°. Traces	
	(Ch)	eP	06 38 40
27.VIII		Iles Aléoutiennes, NOAA: 51,1°N, 179,0°W, H=06h45m44,4s, h=62 km; mb=4,5 (NOAA)	
	KSP	Δ=77,6°	
		eP	06 57 34
27.VIII		Nouvelles Hébrides, NOAA: 16,0°S, 168,1°E, H=13h48m31,6s, h=11 km; mb=5,7 (NOAA)	
	KRA	Δ=137,6°	
	(GW)	ePKIKP	14 07 55
		PKIKPm	58
		Z: 3,0s; 0,220μ	
		iPP	10 42
		ePKS	11 32
	(SKD)	eSKKKS	18 02
		eL	15 03
	WAR	Δ=135,4°	
	(SKD)	ePP	14 10 33
		eiPKS	11 26
		eL	15 00
27.VIII		Région des Iles Fidji, NOAA: 18,1°S, 178,4°W, H=14h23m06,1s, h=610 km; mb=5,1 (NOAA)	
	KRA	Δ=145,1°. Traces	
	(Ch)	eiPKIKP	14 41 36,7
27.VIII		Région des Iles Fidji, NOAA: 18,1°S, 178,5°W, H=14h27m02,2s, h=631 km; mb=5,0 (NOAA)	
	KRA	Δ=145,1°. Traces	
	(SKM)	eiPKIKP	14 45 30,3
		Z: 0,7s; 0,020μ	
28.VIII		Mexique, NOAA: 18,3°N, 96,6°W, H=09h50m40,0s, h=84 km; mb=6,8 (NOAA) mPV=7,1 (Książ), MLH=6,8 (Kraków)	

Date	Station	Phase	T.U. h m s
28.VIII	WAR	Δ=91,5°	
	(SKD)	iP	
		isP	10 03 39
		eiPP	04 06
		ei	07 12
		ei	10 42
		iS	11 24
		iPS	14 36
		Lm	15 42
		EZ: 40s; 140μ, 125μ	34 40
		Lm	38 26
		N: 26s; 43μ	
	KRA	Δ=92,1°	
	(GW)	iP	10 03 41
	(SKM)	Pm	42,9
		Z: 1,6s; 0,944μ	
		ipP	04 03,3
	(GW)	eisP	11
		ei	07 30
		eiS	14 07
		iSKS	40
		Lm	51,7
		NEZ: 18s; 5,9μ, 18,8μ 6,8μ	
	NIE	Δ=92,7°	
		eiP	10 03 45
		isP	04 15
28.VIII		Iran occidental, BCIS: 31,8°N, 51,4°E, H=12h27m22'	
	KRA	Δ=29,5°. Traces	
	(SKM)	eiP	12 33 24,3
28.VIII		Crête médiane de l'Atlantique, NOAA: 0,2°S, 18,0°W, H=15h01m59,1s, h normale; mb=5,8 (NOAA), mPV=5,8 (Kraków), MLH=6,8 (Kraków)	
	KRA	Δ=59,4°	
	(GW)	eP	15 12 01
	(SKM)	Pm	04,8
		Z: 1,0s; 0,084μ	
		i	20,8
	(GW)	eL	34,9
		Lm	40,7
		NEZ: 14s; 44μ, 27μ, 18μ	
	WAR	Δ=61,7°	
	(SKD)	iPP	15 12 34

Date	Station	Phase	T.U. h m s
28.VIII (suite)	WAR	i	15 20 57
		Lm	41 14
		NEZ: 20s; 120μ	
28.VIII	KSP	Traces	
		eP	21 04 02
30.VIII	KRA (SKM)	iP	01 25 55,8
		Z: 0,6s; 0,027μ	
30.VIII		Turquie au Sud-Est du lac de Van, BCIS: 37,9°N, 42,8°E, H=07h36m28s	
	KRA	Δ=20,2°	
	(SKM)	eP	07 40 58
30.VIII		Nouvelle Zélande, NOAA: 37,3°S, 179,4°E, H=08h54m32,4s, h=46 km; mb=5,8 (NOAA)	
	KRA	Δ=160,6°	
	(SKM)	ePKIKP	09 14 30
		ePKP2	15 13
30.VIII		Région des Iles Fidji, NOAA: 24,3°S, 180,0°E, H=13h00m45,9s, h=505 km; mb=4,9 (NOAA)	
	KSP	Δ=150,6°	
		iPKIKP	13 19 39,9
30.VIII		N Colombie, NOAA: 7,3°N, 72,8°W, H=18h25m43,1s, h=181 km; mb=5,7 (NOAA)	
	KRA	Δ=86,2°	
	(SKM)	eiP	18 38 05,8 C
		Z: 0,6s; 0,027μ	
		ipP	50,3
	(GW)	ei(S)	48 05
	WAR	Δ=86,7°	
	(SKD)	eiP	18 38 08
		eipP	48

Date	Station	Phase	T.U. h m s
30.VIII	WAR	ei	18 39 22
		iS	48 18
		ei	49 34
		eL	19 01,0
30.VIII		Bengal, NOAA: 7,1°N, 84,3°E, H=19h50m02,9s, h normale; mb=5,9 (NOAA), mPV=5,9 (NOAA)	
	WAR	Δ=68,1°	
	(SKD)	eiP	20 00(58)
		eiS	09 57
	KRA	Δ=68,2°	
	(SKM)	eiP	20 01 01,9 C
30.VIII		Région des Iles Fidji, NOAA: 21,0°S, 178,9°W, H=23h08m41,7s, h=627 km; mb=5,1 (NOAA)	
	KRA	Δ=147,6°	
	(SKM)	iPKIKP	23 27 17,9
		Z: 0,7s; 0,025μ	
31.VIII		Alaska, NOAA: 61,1°N, 147,4°W, H=02h30m57,9s, h=49 km; mb=5,1 (NOAA)	
	KRA	Δ=69,0°	
	(SKM)	eP	02 42 06
		ePcP	25
31.VIII		Bord nord du Caucase, URSS, BCIS: 43,6°N, 45,8°E, H=04h57m12s	
	KRA	Δ=18,7°	
	(SKM)	eiP	05 01 32,0 C
31.VIII		Région des Iles Samoa, NOAA: 16,1°S, 172,5°W, H=23h29m49,4s; h normale; mb=5,1 (NOAA)	
	KRA	Δ=144,9°	
	(SKM)	eiPKIKP	23 49 22,8 C
		Z: 1,0s; 0,066μ	

International Seismological Centre

International Seismological Centre

Date	Station	Phase	T.U. h m s
1973		S E P T E M B R E	
1.IX		Iles Fidji, NOAA: 22,8°S, 176,3°W, H=18h07m08,8s, h normale; mb=5,2 (NOAA)	
	KSP	Δ=150,3°	
		ePKIKP	18 26 58 C
		Z: 0,8s; 0,02μ	
2.IX		Mindanao, Philippines, NOAA: 7,4°N, 123,7°E, H=00h29m26,2s h=619 km; mb=5,3 (NOAA)	
	KRA (SKM)	Δ=93,2°. Traces	
		ei P	00 41 37,3
2.IX		Israel, BCIS: 32,7°N, 35,7°E H=04h01m28s	
	KRA (SKM)	Δ=20,7°. Traces	
		ei P	04 06 14,3
2.IX		Pakistan, NOAA: 24,9°N, 63,1°E, H=07h23m17,1s, h= 25 km; mb=5,3 (NOAA), mPV= 6,1 (Kraków)	
	KRA (SKM)	Δ=41,6°	
		ei P	07 31 05,8 C
		Z: 1,0s; 0,066μ	
		ipP	14,8
3.IX		Région des Iles Fidji, NOAA: 20,9°S, 179,0°W, H=03h23m 47,4s, h=639 km; mb=5,4 (NOAA)	
	KSP	Δ=147,8°	
		ePKIKP	03 42 18,2
		PKIKPm	22,7
		Z: 0,8s; 0,1μ	
		iPKP2	28,2
	KRA (Ch)	Δ=147,9°	
		ei(PKIKP)	03 42 21,6 D
		Z: 1,3s; 0,147μ	
		iPKP2	26,0
	NIE	Δ=147,9°	
		ei(PKIKP)	03 42 23,5
		iPKP2	28,5
3.IX			
	KRA (SKM)	Traces	
		ei P	12 44 13,9
		Z: 0,4s; 0,035μ	

Date	Station	Phase	T.U. h m s
1973			
4.IX		Mexique, NOAA: 15,0°N, 94,3°W H=17h24m59,4s, h=51 km; mb= 5,2 (NOAA), MLH=5,6 (NOAA)	
	WAR (SKD)	Δ=93,0°	
		ei P	
		ei PP	17 38 09
		ei SKS	41 51
		ei (S)	48 45
		eL	49 21
		Lm	18 08,5
	KRA (SKM)	Δ=93,0°. Traces	
		eP	17 38 10
		epP	21
	(GW)	eSKS	48 48
		Lm	18 24,2
		NEZ: 17s; 1,4μ, 1,6μ, 0,60μ	
4.IX		Iles Kermadec, NOAA: 30,4°S, 177,9°W, H=20h41m55,4s, h normale; mb=5,4 (NOAA)	
	WAR (SKD)	Δ=154,1°	
		ei PKIKP	21 01 45
		ei PP	05 37
		eL	57,0
	KRA (SKM)	Δ=156,4°	
		ei PKIKP	21 01 47,1
		PKIKPm	48,8
		Z: 1,4s; 0,042μ	
		ei pPKIKP	58
		ei PKP2	02 15
		ei pPKP2	29
5.IX		Hondo, Japon, NOAA: 40,7°N, 139,6°E, H=00h30m53,5s, h= 191 km; mb=5,6 (NOAA)	
	KRA (SKM)	Δ=75,5°	
		ei P	00 42 17,1 D
		Z: 0,9s; 0,100μ	
		ei PoP	25
		ei pP	43 06
	(GW)	eS	51 38
5.IX		Iles Aléoutiennes, NOAA: 51,7°N, 173,4°W, H=01h07m 36,4s; h=42 km; mb=4,9 (NOAA)	

Date	Station	Phase	T.U. h m s
5.IX (suite)	KSP	Δ=77,5°	
		eP	01 19 29
5.IX		Région des Iles Fidji, NOAA: 19,7°S, 177,9°W, H=03h44m 21,0s, h=402 km; mb=5,0 (NOAA)	
	KRA (SKM)	Δ=146,7°. Traces	
		ei PKIKP	04 03 17,8
		Z: 1,2s; 0,031μ	
5.IX		Iles Kouriles, NOAA: 44,0°N 148,3°E, H=09h08m14,0s, h=47 km; mb=4,6 (NOAA), mPV= 5,3 (Kraków)	
	KRA (SKM)	Δ=76,3°	
		eP	09 19 58
		Z: 0,9s; 0,026μ	
5.IX		Hondo, Japon, NOAA: 39,5°N, 143,1°E, H=13h03m13,9s, h= 41 km; mb=5,5 (NOAA), MLH= 6,6 (Kraków)	
	WAR (SKD)	Δ=75,7°	
		ei P	13 14 57
		ei pP	15 07
		ei PPP	19 33
		iS	24 37
		ei	26 14
		eL	46,5
		Lm	50 07
		E: 22s; 30μ	
		Lm	59
		Z: 16s; 25μ	
	KRA (SKM)	Δ=78,0°	
		ei P	13 15 09,2 C
		ei pP	21
		is P	25,3
		eS	24 59
		Lm	52,9
		NEZ: 16s; 18 μ, 12 μ, 4,5 μ	
5.IX			
	KRA (SKM)	iP	14 30 44,8
6.IX		Sumatra, NOAA: 4,4°N, 94,9°E H=01h05m50,3s, h normale; mb=4,8 (NOAA)	

Date	Station	Phase	T.U. h m s
6.IX	KRA (SKM)	Δ=76,9°. Traces	
		ei P	01 17 40,3
		ei pP	53
6.IX		Alaska, NOAA: 61,0°N, 146,8°W, H=10h59m36,7s, h=29 km; mb= 5,5 (NOAA)	
	KRA (SKM)	Δ=69,0°	
		ei P	11 10 39,8
		e	11 25
6.IX			
	KRA (SKM)	Traces	
		ei P	15 35 20,6
7.IX		Région de la Nouvelle Bretagne, NOAA: 5,5°S, 151,1°E, H=13h58m33,6s, h=71 km; mb= 5,6 (NOAA)	
	KRA (SKM)	Δ=119,8°. Traces	
		ePKIKP	14 17 18
7.IX		Région de Vrancea, Roumanie, BCIS: 45,9°N, 26,8°E, H=19h 37m52s, h=85 km ± 10 km	
	NIE	Δ=5,46°	
		ei P	19 39 14,5 D
	KRA (SKM)	Δ=6,04°	
		i P	19 39 22,1 D
		Z: 0,7s; 0,103μ	
	(GW)	e	40 40
8.IX		Iles Aléoutiennes, NOAA: 51,3°N, 179,2°W, H=01h13m 52,2s, h=54 km; mb=4,9 (NOAA), mPV=5,3 (Kraków)	
	KRA (SKM)	Δ=78,0°. Traces	
		eP	01 25 45
		Z: 0,7s; 0,020μ	
		epP	57
8.IX		Tibet, NOAA: 33,2°N, 86,7°E, H=07h25m43,9s, h normale; mb=5,5 (NOAA), mPV=5,5 (Kraków)	
	WAR (SKD)	Δ=50,0°	
		ei P	07 34 38
		ei S	41 52
		ei SS	45 26
		ei sS	40

Date	Station	Phase	T.U. h m s
8.IX (suite)	WAR	Lm	07 56 12
		Z: 22^s; 11 μ	
		Lm	58 41
		N: 12^s; 29 μ	
	KRA	Δ=51,0^o	
	(SKM)	eiP	07 34 44,8 D
		Z: 1,5^s; 0,086μ	
	(GW)	eiPP	36 46
		eS	42 04
		Lm	55,5
		N: 11^s; 6,3μ	
		Lm	59,9
		E: 10^s; 2,5μ	
8.IX		Région frontière Perou-Brésil, NOAA: 8,3^{o}S, 74,2^{o}W, H=07^{h}46^{m}52,7^s, h=168 km; mb=5,6 (NOAA)	
	KRA	Δ=98,9^o	
	(SKM)	eiP	08 00 16,0
		Z: 1,3^s; 0,064μ	
8.IX		Tibet, NOAA: 33,2^{o}N, 86,7^{o}E H=07^{h}59^{m}31,2^s, h normale; mb=5,1 (NOAA), mPV=5,1 (Kraków)	
	KRA	Δ=51,0^o. Traces	
	(SKM)	eP	08 08 32 C
		Z: 1,1^s; 0,021μ	
8.IX		Iles Kermadec, NOAA: 29,2^{o}S 178,5^{o}W, H=19^{h}41^{m}32,0^s, h=142 km; mb=4,9 (NOAA)	
	KRA	Δ=155,1^o. Traces	
	(SKM)	ePKIKP	20 01 07
		Z: 1,3^s; 0,027μ	
		ePKP$_2$	35
9.IX		Chine, NOAA: 31,6^{o}N, 100,0^{o}E H=02^{h}13^{m}39,4^s, h normale; mb=5,5 (NOAA), mPV=5,4 (Kraków)	
	WAR	Δ=59,2^o	
	(SKD)	eiP	02 23 40
	KRA	Δ=60,5^o	
	(SKM)	eP	02 23 47
		Z: 1,5^s; 0,049μ	
9.IX		Hondo, Japon, NOAA: 39,9^{o}N, 143,4^{o}E, H=04^{h}59^{m}04,7^s, h=25 km; mb=4,0 (NOAA)	

Date	Station	Phase	T.U. h m s
9.IX	KRA	Δ=77,8^o. Traces	
	(SKM)	eP	05 11 01
9.IX		Hondo, Japon, NOAA: 39,9^{o}N, 143,5^{o}E, H=05^{h}16^{m}31,7^s, h=23 km; mb=4,6 (NOAA)	
	KRA	Δ=77,8^o. Traces	
	(SKM)	eiP	05 28 28,5
9.IX		Région de l'Ile Ascension, NOAA: 7,1^{o}S, 12,8^{o}W, H=03^{h}32^{m}14,8^s, h normale; mb=5,1 (NOAA)	
	KRA	Δ=63,4^o	
	(SKM)	eP	08 42 45
	(SKD)	eS	51 22
		eL	09 02,7
	WAR	Δ=65,8^o	
	(SKD)	eP	08 43 04
		ei(S)	51(56)
9.IX		Hondo, Japon, NOAA: 39,5^{o}N, 143,1^{o}E, H=18^{h}25^{m}49,4^s, h=23 km; mb=5,7 (NOAA), mPV=6,0 (Kraków), MLH=6,5 (Kraków)	
	WAR	Δ=75,7^o	
	(SKD)	eiP	18 37 36
		ei	38 28
		eiPP	40 30
		eiPPP	42 04
		eiS	47 20
		Lm	19 13 30
		Z: 20^s; 20μ	
	KRA	Δ=77,9^o	
	(GW)	eiP	18 37 46 C
	(SKM)	Pm	48,8
		Z: 1,1^s; 0,151μ	
		iPcP	55,3
		isP	59,8
	(GW)	iPP	40 41
		eS	47 46
		Lm	19 15,5
		NEZ: 16^s; 13 μ, 12 μ, 3,3 μ	
9.IX		Hondo, Japon, NOAA: 39,4^{o}N, 143,3^{o}E, H=20^{h}09^{m}11,9^s, h=28 km; mb=5,0 (NOAA), MLH=5,7 (Kraków)	

Date	Station	Phase	T.U. h m s
9.IX	KRA	Δ=77,8^o	
(suite)	(SKM)	eiP	20 21 09,8 D
		eiPcP	20
	(GW)	ePS	31 52
		Lm	58,9
		NE: 16^s; 2,4 μ, 2,2 μ	
10.IX		Turquie orientale, BCIS: 38,4^{o}N, 39,6^{o}E, H=03^{h}02^{m}10^s; MPV=4,5 (Moxa)	
	KRA	Δ=18,1^o	
	(SKM)	eiP	03 06 14,1
		Z: 1,7^s; 0,088 μ	
10.IX		Région frontière URSS-Chine, NOAA: 42,5^{o}N, 130,9^{o}E, H=07^{h}43^{m}30,5^s, h=532 km; mb=6,0 (NOAA)	
	WAR	Δ=67,8^o	
	(SKD)	iP	07 53 36
		ipP	55 32
		eiPP	56 10
		eiPPP	58 02
		iS	08 01 48
		iSKS	02 32
		ei	05 16
		ei	10 34
		Lm	24 56
		NZ: 12^s; 24 μ, 9,3 μ	
	KRA	Δ=70,0^o	
	(GW)	iP	07 53 49 D
		Pm	51
		Z: 1,4^s; 2,105 μ	
		ipP	55 44
		iS	08 02 12
		Lm	25,5
		NEZ: 10^s; 3,5 μ, 3,5 μ, 0,9 μ	
10.IX			
	KRA		
	(SKM)	iP	08 21 40,8
10.IX			
	KRA		
	(SKM)	iP	12 54 59,8
		Z: 0,8^s; 0,041 μ	
		ei	55 09

Date	Station	Phase	T.U. h m s
10.IX		Hondo, Japon, NOAA: 39,5^{o}N, 143,5^{o}E, H=16^{h}56^{m}17,7^s, h=30 km; mb=4,6 (NOAA), mPV=5,2 (Kraków)	
	KRA	Δ=77,8^o. Traces	
	(SKM)	eiP	17 08 15,3
		Z: 0,9^s; 0,021 μ	
11.IX		Hondo, Japon, NOAA: 39,6^{o}N, 143,2^{o}E, H=18^{h}54^{m}49,0^s, h=29 km; mb=4,4 (NOAA)	
	KRA	Δ=77,9^o. Traces	
	(SKM)	eP	19 06 45
11.IX		Région de Taiwan, NOAA: 25,6^{o}N, 124,5^{o}E, H=23^{h}18^{m}50,8^s, h=141 km; mb=5,8 (NOAA)	
	WAR	Δ=77,8^o	
	(SKD)	iP	23 30 34 D
		eiPcP	44
		eiS	40 14
		eisS	41 16
		eL	57,0
	KRA	Δ=79,6^o	
	(SKM)	eiP	23 30 42,8 D
		Z: 1,3^s; 0,091 μ	
		eipP	31 22
	(GW)	eiS	40 29
		eiSKS	47
		eiPS	41 40
		Lm	00 01
		NE: 8,0^s; 1,5 μ, 0,87 μ	
12.IX		Nouvelle Zemble, NOAA: 73,3^{o}N, 55,2^{o}E, H=06^{h}59^{m}54,3^s, h=0; mb=6,8 (NOAA), mPV=6,5 (Kraków), MLH=6,5 (Kraków), 7,1 (Warszawa)	
	WAR	Δ=25,6^o	
	(SKD)	iP	07 05 26 C
		i	32
		i	42
		ei	06 24
		eiS	09 48
		i	10 10
		i	17 44
		Lm	
		NEZ: 6^s; 8^s; 6^s; 150 μ, 140 μ, 63 μ	

International Seismological Centre

International Seismological Centre

Date	Station	Phase	T.U. h m s
12.IX (suite)	KRA (GW)	Δ=28,1°	
		iP	07 05 47 C
		Z: 2,5s; 2,6μ	
		iS	10 34
		Lm	18,9
		NZ: 7,5s; 42μ, 17μ	
12.IX			
	KRA (SKM)	eiP	07 38 12,8 D
		Z: 1,4s; 0,1μ	
12.IX		Région frontière Grèce-Albanie, BCIS: 40,7°N, 21,0°E, H=09h36m52s, h=90 km ± 10 km; ML=4,3 (Athènes)	
	KRA (SKM)	Δ=9,1°	
		eiP	09 39 05,8
		Z: 0,6s; 0,035μ	
12.IX			
	KRA (SKM)	Traces	
		eiP	14 44 21,3 D
		Z: 0,7s; 0,016μ	
12.IX		Iles Kouriles, NOAA: 45,9°N, 149,5°E, H=20h12m25,1s, h=164 km; mb=4,8 (NOAA)	
	KRA (SKM)	Δ=75,1°. Traces	
		iP	20 23 49,5 D
		Z: 1,1s; 0,028μ	
13.IX		Mindanao, Philippines, NOAA: 9,2°N, 126,1°E, H=06h19m45,8s h=68 km; mb=5,8 (NOAA), mPV=5,9 (Kraków)	
	KRA (SKM)	Δ=93,3°	
		eiP	06 32 54,3 D
		Z: 1,1s; 0,069μ	
		epP	33 20
	(GW)	eScS	44 20
14.IX			
	KRA (SKM)	Traces	
		iP	13 02 14,6
15.IX		Atlantique au Sud-Ouest de l'Islande, BCIS: 63,8°N, 22,4°W, H=01h46m00s; MLH=5,7 (Skopje), MLH=5,6 (Warszawa),	

Date	Station	Phase	T.U. h m s
15.IX	WAR (SKD)	Δ=25,2°	
		eiP	
		ei	01 51 24
		ei	51 32
		eiSS	56 06
		Lm	41
		Z: 16s; 8,8μ	02 01 58
		Lm	
		E: 24s; 13μ	02 34
		Lm	
		N: 20s; 8,5μ	03 28
	KRA (Ch)	Δ=26,5°	
		eiP	
		eiPP	01 51 34,3
	(GW)	eiS	52 10
		Lm	56 17
		NZ: 15s; 4,6μ, 1,2μ	02 03,7
		Lm	04,6
		E: 13s; 4,6μ	
15.IX		Riou-Kiou, NOAA: 29,3°N, 130,3°E, H=04h25m08,7s, h=34 km; mb=5,3 (NOAA), mPV=5,7 (Kraków)	
	KRA (Ch)	Δ=80,0°	
		eiP	04 37 15,1
		Z: 0,6s; 0,043μ	
		eipP	27
	(SKD)	eL	05 11,3
16.IX		Région du Panama, NOAA: 5,2°N, 78,0°W, H=04h52m 50,9s, h normale; mPV=5,3 (Kraków)	
	KRA (SKM)	Δ=91,2°	
		eP	05 05 55
		Z: 1,0s; 0,018μ	
	(SKD)	ePP	09 40
16.IX		Région du Panama, NOAA: 5,2°N, 78,1°W, H=08h21m 38,1s, h normale; mb=5,3 (NOAA)	
	KRA (SKM)	Δ=91,2°. Traces	
		eP	08 34 42
16.IX		Atlantique, au Sud-Ouest de l'Islande, BCIS: 63,9°N, 22,4°W, H=21h26m56s; MLH=5,1 (Skopje), mPV=5,9 (Kraków)	

Date	Station	Phase	T.U. h m s
		MLH=5,3 (Kraków)	
16.IX (suite)	WAR (SKD)	Δ=25,3°	
		eiP	21 32 21
		eiS	36(56)
		eL	39,0
		Lm	43 32
		E: 16s; 12μ	
		Lm	56
		NZ: 12s; 14s; 9,7μ, 7,8μ	
	KRA (SKM)	Δ=26,5°	
		eP	21 32 31
		Pm	36,1
		Z: 1,2s; 0,10μ	
	(GW)	ePP	33 21
		eS	37 03
		Lm	45,5
		NEZ: 12s; 2,7μ, 3,9μ, 0,6μ	
17.IX		Iran, BCIS: 36,6°N, 51,1°E, H=04h06m07s; MLH=4,8 (Skopje) mPV=5,0 (Kraków)	
	KRA (SKM)	Δ=26,0°	
		iP	04 11 35,8 D
		Z: 0,7s; 0,025μ	
		ei	45
17.IX		Iles Tonga, NOAA: 17,3°S, 174,3°W, H=07h21m47,4s, h=135 km; mb=5,5 (NOAA)	
	KRA (SKM)	Δ=145,6°. Traces	
		iPKIKP	07 41 10,3
		PKIKPm	11,8
		Z: 1,4s; 0,274μ	
		eipPKIKP	50
17.IX		Iles Tonga, NOAA: 23,8°S, 175,2°W, H=15h31m37,2s, h normale; mb=4,6 (NOAA)	
	KRA (SKM)	Δ=151,5°	
		eiPKIKP	15 51 28,7
		Z: 0,9s; 0,032μ	
		$eiPKP_2$	39
17.IX		Orégon, NOAA: 44,4°N, 129,3°W, H=23h33m33,0s, h normale; mb=5,1 (NOAA)	
	KRA (SKM)	Δ=82,4°	
		eiP	23 45 57,7

Date	Station	Phase	T.U. h m s
18.IX		Turquie, BCIS: 36,8°N, 30,5°E, H=08h47m45s; MLV=5,2 (Skopje)	
	KRA (SKM)	Δ=15,1°. Traces	
		eP	08 51 17
18.IX		Pérou, NOAA: 7,0°S, 76,1°W, H=12h58m25,2s, h=133 km; mb=5,8 (NOAA)	
	KRA (SKM)	Δ=99,2°	
		eiP	13 11 55
		Z: 1,4s; 0,094μ	
19.IX		Kazakstan, URSS, NOAA: 45,6°N, 67,8°E, H=02h59m57,2s, h=0; mb=5,2 (NOAA), mPV=5,2 (Kraków)	
	KRA (Ch)	Δ=32,0°	
		eiP	03 06 26,3
20.IX		Philippines, NOAA: 9,0°N, 123,8°E, H=20h43m39,8s, h=560 km; mb=6,0 (NOAA)	
	WAR (SKD)	Δ=90,6°	
		eiP	20 55 44
		ei	52
		eiPP	59 32
		i	21 05 22
		iS	52
		eL	16,0
	KRA (SKM)	Δ=91,7°	
		eiP	20 55 48,9 C
		Pm	53,1
		Z: 1,5s; 0,31μ	
		ei	56 08
		ei	56
	(GW)	epP	57 54
		eiPP	59 39
		eiSKS	21 05 20
		eiS	06 02
21.IX		Hondo, Japon, NOAA: 35,1°N, 134,4°E, H=02h21m04,1s, h=23 km; mb=5,1 (NOAA), mPV=5,3 (Kraków)	
	KRA (SKM)	Δ=77,5°. Traces	
		eiP	02 32 59,3 D
		Z: 0,8s; 0,023μ	
21.IX		Pacifique Sud, NOAA: 4,4°S, 102,0°W, H=07h13m34,0s, h normale; mb=6,1 (NOAA)	

International Seismological Centre

Date	Station	Phase	T.U. h m s
21.IX (suite)	KRA (GW)	Δ=113,6°. Traces	
	(SKD)	ePP	07 33 07
		ePS	42 37
21.IX		Pacifique Sud, NOAA: 4,4°S, 101,9°W, H=07h31m02,6s, h normale; mb=6,0 (NOAA)	
	KRA (SKM)	Δ=113,6°	
		ePKIKP	07 49 40
		Z: 1,2s; 0,024 μ	
		eiP	50 36
21.IX		Région de l'Ile Kodiak, NOAA: 57,2°N, 154,0°W, H=10h35m 55,9s, h=45 km; mb=5,0 (NOAA) mPV=5,3 (Kraków)	
	KRA (Ch)	Δ=73,2°	
		eP	10 47 22
		Z: 1,4s; 0,038 μ	
21.IX	KRA (Ch)	eiP	13 03 59 D
		Z: 0,8s; 0,026 μ	
21.IX		Luçon, Philippines, NOAA: 18,8°N, 120,7°E, H=13h48m 32,2s, h=20 km; mb=5,2 (NOAA), mPV=5,5 (Kraków)	
	KRA (Ch)	Δ=82,6°	
		eiP	14 00 54,7 C
		Z: 1,0s; 0,038 μ	
21.IX		Région des Iles Fidji, NOAA: 26,1°S, 178,3°E, H=19h28m 29,3s, h=651 km; mb=5,6 (NOAA)	
	KRA (SKM)	Δ=151,0°	
		eiPKIKP	19 47 04,8
		Z: 1,3s; 0,045 μ	
		iPKHKP	11,3
		Z: 1,0s; 0,408 μ	
		$eiPKP_2$	19
	(GW)	ePKS	50 35
21.IX	KSP	Traces	
		eiP	21 02 46,0
22.IX		Océan Atlantique Nord, NOAA: 26,5°N, 44,6°W, H=02h57m 19,5s, h normale; mb=5,1 (NOAA)	

Date	Station	Phase	T.U. h m s
22.IX	KRA (Ch)	Δ=54,0°	
		eP	
		eS	03 06 42
	(SKD)	eL	14 26
			22,2
22.IX		Région des Iles Philippines, NOAA: 10,0°N, 126,3°E, H=05h01m44,2s, h=36 km; mb=5,3 (NOAA)	
	KRA (SKM)	Δ=92,8°	
		eP	05 14 56
22.IX		Région de l'Hindou-Kouch, NOAA: 36,0°N, 70,5°E, H=11h36m 02,7s, h=117 km; mb=5,0 (NOAA)	
	KRA (SKM)	Δ=38,8°. Traces	
		eP	11 43 18
22.IX		Iles Aléoutiennes, NOAA: 51,6°N, 173,7°W, H=18h36m 24,6s, h=36 km; mb=5,0 (NOAA)	
	KRA (Ch)	Δ=78,3°. Traces	
		eP	18 48 22
22.IX		Iles Aléoutiennes, NOAA: 51,6°N, 173,7°W, H=19h27m 49,3s, h=49 km; mb=5,4 (NOAA), mPV=5,3 (Kraków)	
	KRA (SKM)	Δ=78,3°	
		eiP	19 39 44,3
		Z: 0,9s; 0,026 μ	
23.IX		Philippines, NOAA: 10,3°N, 125,3°E, H=12h25m52,0s, h=39 km; mb=5,7 (NOAA), mPV=5,6 (Kraków)	
	KRA (SKM)	Δ=91,9°	
		eiP	12 38 57,1 D
		Z: 1,1s; 0,041 μ	
		eiPP	42 38
	(SKD)	eL	13 14,8
23.IX		Mindanao, Philippines, NOAA: 9,9°N, 126,3°E, H=16h40m34,0s, h=46 km; mb=5,2 (NOAA)	
	KSP	Δ=94,7°. Traces	
		eiP	16 53 53,5

Date	Station	Phase	T.U. h m s
23.IX		Philippines, NOAA: 19,3°N, 121,0°E, H=22h02m55,9s, h=35 km; mb=4,7 (NOAA)	
	KRA (SKM)	Δ=82,4°. Traces	
		eiP	22 15 16,7 D
24.IX		Région des Iles Fidji, NOAA: 20,1°S, 178,4°W, H=02h52m 31,5s, h=576 km; mb=4,3 (NOAA)	
	KSP	Δ=147,2°. Traces	
		$eiPKP_2$	03 11 14,5
24.IX		Région du Spitzberg, NOAA: 86,1°N, 32,0°E, H=09h08m39,4s h normale; mb=4,9 (NOAA)	
	KRA (Ch)	Δ=36,6°	
		eP	09 15 41
24.IX		Hondo, Japon, NOAA: 40,1°N, 142,3°E, H=09h14m29,0s, h=61 km; mb=4,6 (NOAA)	
	KRA (Ch)	Δ=77,4°	
		eP	09 26 17
24.IX	KRA (Ch)	Traces	
		eiP	12 47 57,5
24.IX		Iles Kouriles, NOAA: 43,5°N, 146,6°E, H=13h41m20,4s, h=46 km; mb=4,9 (NOAA), mPV=5,5 (Kraków)	
	KRA (SKM)	Δ=76,1°	
		eiP	13 53 04,3 D
		Z: 0,9s; 0,037 μ	
		eipP	14
25.IX	KRA (SKM)	eiP	12 47 19
		Z: 0,6s; 0,027 μ	
25.IX		Région de l'Ile Macquarie, NOAA: 54,8°S, 145,0°E, H=16h17m28,3s, h normale; mb=5,9 (NOAA)	
	KRA (SKM)	Δ=146,8°	
		$ePKP_2$	16 37 10
		ipPKIKP	15
	(GW)	ei	58

Date	Station	Phase	T.U. h m s
26.IX		Philippines, NOAA: 10,2°N, 125,3°E, H=09h46m48,8s, h normale; mb=5,4 (NOAA), mPV=5,5 (Kraków)	
	KRA (SKM)	Δ=91,9°. Traces	
		eP	09 59 56
		Z: 1,4s; 0,042 μ	
		e	10 00 06
	(SKD)	eSKKS	10 40
		ePS	12 00
		eL	32
	WAR (SKD)	Δ=90,5°	
		eiSKS	10 10 16
		eS	36
		eL	35,0
26.IX		Région de l'Ile Macquarie, NOAA: 55,4°S, 146,3°E, H=16h27m47,2s, h normale; mb=5,5 (NOAA)	
	KRA (SKM)	Δ=147,6°	
		ePKIKP	16 47 29
27.IX		Nouvelle Zemble, NOAA: 70,8°N, 53,9°E, H=06h59m58,0s, h=0; mb=6,0 (NOAA), mPV=5,3 (Kraków)	
	WAR (GW)	Δ=23,8°	
		eiP	07 05 13
	KRA (Ch)	Δ=26,3°	
		iP	07 05 33,5
		Z: 0,7s; 0,060 μ	
		i	44,5
		eiS	10 26
		Lm	16,9
		NE2: 9,0s; 0,6 μ, 0,6 μ, 0,2 μ	
	KSP	Δ=26,4°	
		iP	07 05 36,5
27.IX		Région de Jan Mayen, NOAA: 71,9°N, 12,0°W, H=12h29m00s; MLH=5,1 (Moxa), MLH=5,2 (Kraków)	
	WAR (SKD)	Δ=24,5°	
		eiP	12 34 20
		ei	35 08
		eiS	38 40
		eL	40,0

Date	Station	Phase	T.U. h m s
27.IX (suite)	WAR	Lm	12 42 16
		EZ: 20^s;28^s; 15 μ, 5,1 μ	
		Lm	43 56
		N: 16^s; 6,8 μ	
	KRA (SKM)	Δ=26,4°	
		eP	12 34 34
		Z: $1,5^s$; 0,161 μ	
		ei	35 02
		e	39 15
		Lm	46,9
		NEZ: 14^s; 3,7 μ, 3,9 μ, 1,0 μ	
28.IX		Sumatra, NOAA: 1,9°N, 99,2°E H=$00^h58^m59,5^s$; h=132 km; mb=5,0 (NOAA)	
	KRA (Ch)	Δ=81,6°. Traces	
		eP	01 11 04
		epP	35
28.IX		Région d'Aden, NOAA: 13,2°N, 50,7°E, H=$11^h32^m23,3^s$, h normale; mb=5,5 (NOAA), mPV=5,3 (Kraków)	
	KRA (SKM)	Δ=44,3°	
		eiP	11 40 33,5
		Z: $1,1^s$; 0,041 μ	
28.IX	NIE		
		eP	13 49 21
		ei	34
	KRA (SKM)	eP	13 49 21
29.IX		Région de l'Ile Macquarie, NOAA: 55,4°S, 146,0°E, H=$23^h51^m46,9^s$, h normale; mb=5,1 (NOAA)	
	NIE	Δ=146,9°	
		e1PKIKP	00 11 27
		ei	36
	KRA (SKM)	Δ=147,7°	
		e1PKIKP	00 11 28,4 D
		Z: $1,0^s$; 0,030 μ	
		ei	41
29.IX		Korea, NOAA: 41,9°N, 130,9°E H=$00^h44^m00,8^s$, h=575 km; mb=6,5 (NOAA)	

Date	Station	Phase	T.U. h m s
29.IX	WAR (SKD)	Δ=68,3°	
		iP	
		i	00 54 06,1
		i(PcP)	12
		i	22
		isP	44
		i	56 04
		i	58 36
		iS	01 01 20
		Lm	02 20
		EZ: 16^s; 130 μ, 110 μ	26 00
	KRA (SKM)	Δ=70,5°	
		e1P	00 54 16,0
		iS	01 02 42,2
	(GW)	Lm	12,2
		NEZ: 14^s; 69 μ, 52 μ, 8,6 μ	
	NIE	Δ=70,7°	
		iP	00 54 19,7
		Pm	23,5
		Z: $0,9^s$; 0,916 μ	
29.IX		Région de l'Ile Macquarie, NOAA: 60,3°S, 150,0°E, H=$03^h04^m22,5^s$, h normale; mb=4,8 (NOAA)	
	NIE	Δ=149,6°	
		e1PKP$_2$	03 24 16
		Z: $1,0^s$; 0,009 μ	
	KRA (SKM)	Δ=150,2°	
		e1PKP$_2$	03 24 17
		Z: $0,8^s$; 0,023 μ	
29.IX	KRA (SKM)	iP	08 29 55,3
29.IX	NIE	iP	12 02 58,2
		Z: $0,8^s$; 0,015 μ	
29.IX	NIE	e1P	12 34 46,4
		Z: $0,6^s$; 0,039 μ	
29.IX	KRA (SKM)	eP	23 29 14
		Z: $1,3^s$; 0,027 μ	

Date	Station	Phase	T.U. h m s
30.IX		Oural, URSS, BCIS: 51,7°N, 54,7°E, H=$05^h00^m00^s$; mPV=4,7 (Kraków)	
	KRA (SKM)	Δ=21,9°	
		e1P	05 04 51,6
		Z: $1,2^s$; 0,047 μ	
		e	11 27
	NIE	Δ=21,9°	
		eP	05 04 52
		iPP	05 12
30.IX		Hondo, Japon, NOAA: 35,6°N, 140,4°E, H=$06^h17^m52,8^s$, h=62 km; mb=5,9 (NOAA), mPV=5,5 (Książ), 6,1 (Kraków), MLH=5,9 (Kraków)	
	WAR (SKD)	Δ=77,8°	
		e1P	06 29 44
		e1sP	30 08
		e1PP	32 40
		e1S	39 32
		e1	40 12
		eL	46,0

Date	Station	Phase	T.U. h m s
30.IX	KRA (Ch)	Δ=80,0°	
		iP	06 29 56,3 C
		Z: $1,4^s$; 0,218 μ	
		e1PP	32 59
	(GW)	e1	39 54
		eSKS	40 16
		eL	07 02,2
		Lm	04,2
		NE: 15^s; 2,9 μ, 2,2 μ	
		Lm	09,2
		NEZ: 15^s; 3,4 μ, 3,3 μ, 1,5 μ	
30.IX		Iran, NOAA: 32,6°N, 48,3°E, H=$21^h00^m22,5^s$, h=50 km; mb=4,3 (NOAA), mPV=4,7 (Niedzica)	
	NIE	Δ=26,6°	
		eP	21 06 02
		Z: $0,9^s$; 0,016 μ	

International Seismological Centre

International Seismological Centre

POLSKA AKADEMIA NAUK
INSTYTUT GEOFIZYKI

BULLETIN SÉISMOLOGIQUE

1973
OCTOBRE NOVEMBRE DÉCEMBRE
(4)

WARSZAWA

Komitet Redakcyjny

Roman TEISSEYRE (redaktor naczelny), Zdzisław MAŁKOWSKI (zastępca redaktora), Jan SŁOMKA (członek Redakcji), Wacław KOWALSKI (sekretarz Redakcji)

Adres Redakcji
Instytut Geofizyki Polskiej Akademii Nauk
ul. Pasteura 3, 02-093 Warszawa

Printed in Poland

Państwowe Wydawnictwo Naukowe
Oddział w Łodzi 1974

Wydanie I. Nakład 300+55. egz. Ark. wyd. 5,00 Ark. druk. 3,75.
Papier offset. kl. III, 80 g, 70 × 100. Podpisano do druku 2. VIII. 1974r.
Druk ukończono we wrześniu 1974 r. Zam. 459/74.

Zakład Graficzny Wydawnictw Naukowych
Łódź, ul. Żwirki 2

International Seismological Centre

INTRODUCTION

La présente élaboration trimestrielle des résultats d'enregistrement des observatoires séismologiques de l'Institut de Géophysique de l'Académie Polonaise des Sciences constitue la suite des élaborations annuelles paraissant dans le cadre des "Publications of the Institute of Geophysics, Polish Academy of Sciences".

Cette publication contient une élaboration des tremblements de terre distants. Un relevé des secousses les plus fortes provenant du territoire de la Haute Silésie en 1973, ainsi que des secousses locales dont les épicentres sont situés en dehors de la région de la Haute Silésie, sera présenté séparement dans un cahier du même volume. L'identification des secousses distantes s'appuie sur les données fournies par les centres séismologiques de USDI (U.S. Department of the Interior), BCIS, ISC et Moskva. Les distances épicentrales Δ sont calculées d'après les coordonnées géocentriques avec une exactitude de $\pm 0{,}01^{\circ}$. Les valeurs des magnitudes des secousses dont les distances épicentrales sont $\geqslant 5^{\circ}$ ont été établies à base des ondes volumétriques (m) et des ondes superficielles (M).

CONSTANTES DES SÉISMOGRAPHES

Station	Type séismo-graphe	Comp.	Ts sec	Tg sec	Ds	Dg	σ^2	Vo	Vm	Tm sec	Période de validité
Warszawa (WAR)	GW	N-S	10,1	11,7	0,80	1,00	0,075	1410	1430	6,5-10,5	X - XII
φ =52°14´30˝N		E-W	9,80	11,3	1,01	1,00	0,077	1675	1030	4,0-9,7	
λ =21°01´25˝E		Z	8,65	11,2	0,54	1,00	0,057	1130	1110	5,6-8,0	
h=110 m	SKD	N-S	25	80,0	1,0	0,4	0,114	645	700	18-60	X - XII
		E-W	25	83,8	1,0	0,4	0,091	583	620	17-52	
		Z	25	83,2	1,1	0,5	0,137	723	790	17-60	
Kraków (KRA)	Ch	N-S	1,27	0,281	0,50	2,0	0,132	10500	11200	0,15-1,05	X - XII
φ =50°03´22˝N		E-W	1,27	0,280	0,50	2,0	0,139	10500	11200	0,15-1,05	
λ =19°56´23˝E		Z	1,27	0,282	0,50	2,0	0,155	10500	11570	0,15-1,05	
h=223 m	SKM-3	N-S	1,28	0,580	0,50	0,49	0,013	21670	23670	0,47-0,78	X - XII
		E-W	1,30	0,575	0,50	0,47	0,012	21440	23490	0,48-0,77	
		Z	1,45	0,580	0,60	0,49	0,014	24840	25790	0,47-0,75	
	GW	N-S	9,7	1,01	0,49	5,0	0,1	1475	1590	0,3-8	X - XII
		E-W	11,1	1,00	0,47	5,0	0,1	1475	1530	0,3-8,5	
		Z	10,5	1,01	0,47	5,0	0,1	2200	2340	0,3-8	
	SKD	Z	25,0	91,5	1,0	0,50	0,204	760	810	17-59	X - XII
Racibórz (RAC)	SK-58	N-S	1,18	1,00	0,6	0,5	0,011	3000	2900	0,75-1,1	X - XII
φ =50°05´00˝N		E-W	1,18	1,00	0,5	0,5	0,015	3000	3420	0,77-1,14	
λ =18°11´39´E		Z	1,11	1,05	0,5	0,5	0,015	3000	3300	0,78-1,13	
h=209 m	M	N-S	9,0	–	0,2	–	–	160	370	7,5-9,5	X - XII
		E-W	9,0	–	0,2	–	–	157	450	6,5-9,2	
		Z	2,0	–	0,1	–	–	126	660	1,8-2,1	
Niedzica (NIE)	SK-58	N-S	1,82	0,366	3,63	4,5	0,813	39500	44450	0,56-0,91	X - XII
φ =49°25´25˝N		E-W	2,01	0,312	3,44	4,1	0,904	37800	66780	0,68-0,88	
λ =20°19´19˝E		Z	1,77	0,426	2,34	4,8	0,950	40480	128000	0,99-1,16	
h=555 m											
Książ (KSP)	SU-59	N-S	1,22	0,238	0,52	1,52	0,142	103000	106000	0,14-0,67	1 - 18 X
φ =50°50,6´N		E-W	1,22	0,277	0,51	1,51	0,091	102000	108000	0,16-0,75	
λ =16°17,6´E		Z	1,02	0,204	0,52	1,53	0,174	100000	105000	0,13-0,57	
h=380 m	SU-59	N-S	1,19	0,250	0,50	1,37	0,089	87450	90000	0,14-0,67	19 X - XII
		E-W	1,22	0,240	0,62	1,44	0,142	108700	110000	0,16-0,75	
		Z	1,00	0,208	0,50	1,53	0,171	106300	110000	0,13-0,57	

International Seismological Centre

S y m b o l e s

Ts – période du pendule

Tg – période du galvanomètre

Ds – amortissement du pendule

Dg – amortissement du galvanomètre

σ^2 – coefficient du couplage

Vo – amplification statique $Vo = \frac{2A}{Io}\sqrt{\frac{Ks}{Kg}}\sqrt{\frac{Ds}{Dg}\frac{Tg}{Ts}\sigma^2}$

Vo – amplification statique

pour les séismographes SKD $Vo = \frac{2A}{Io}\sqrt{\frac{Ks}{Kg}}\sqrt{\frac{Dg}{Ds}\frac{Ts}{Tg}\sigma^2}$

Vm – valeur de l'amplification maximalle de l'appareil séismique

Tm – intervalle des périodes pour lesquelles l'amplification est supérieure ou égale à 0,9 Vm

Fig. 2. L'amplification dynamique des sésmographes SKD à Warszawa

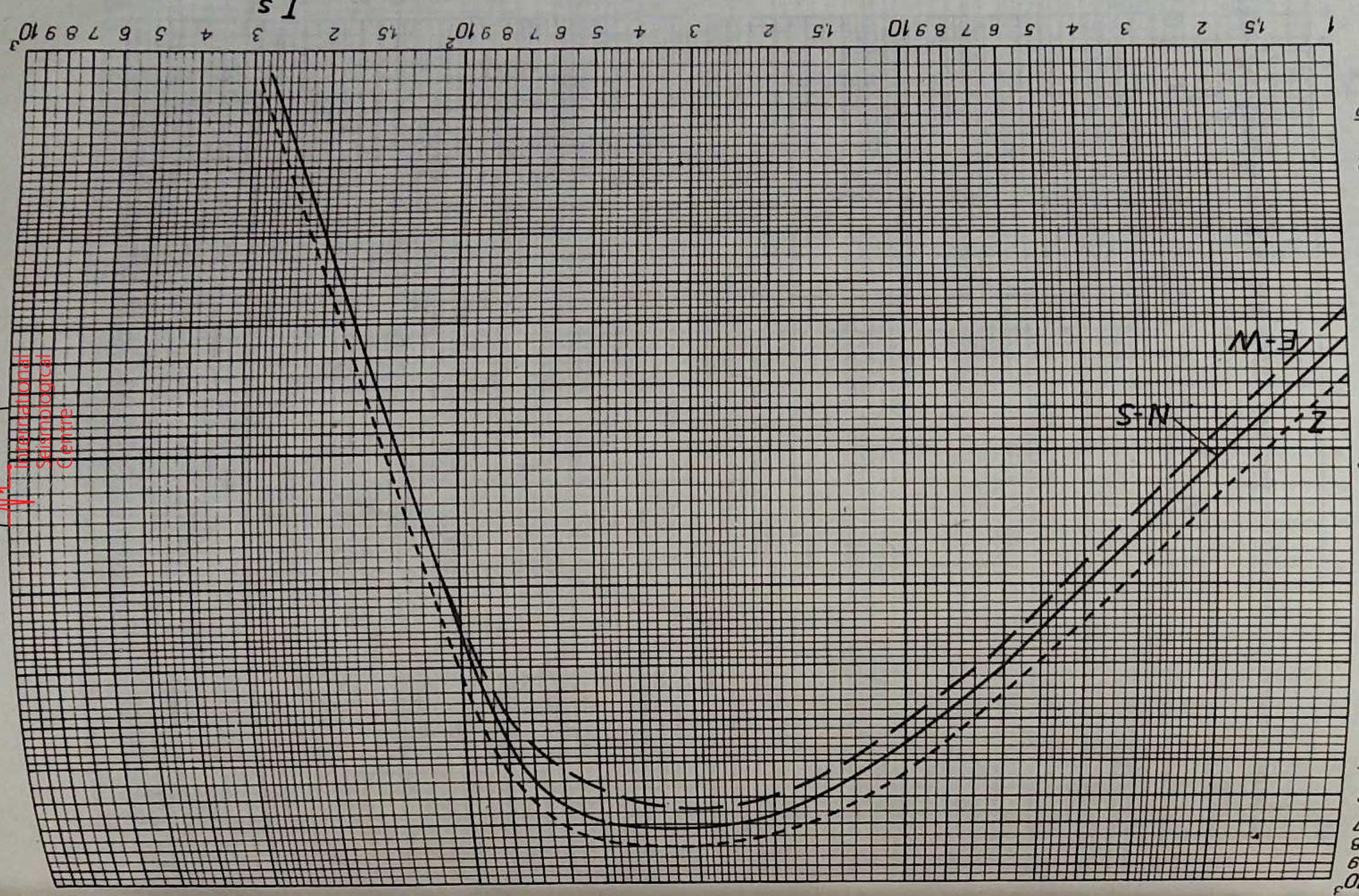

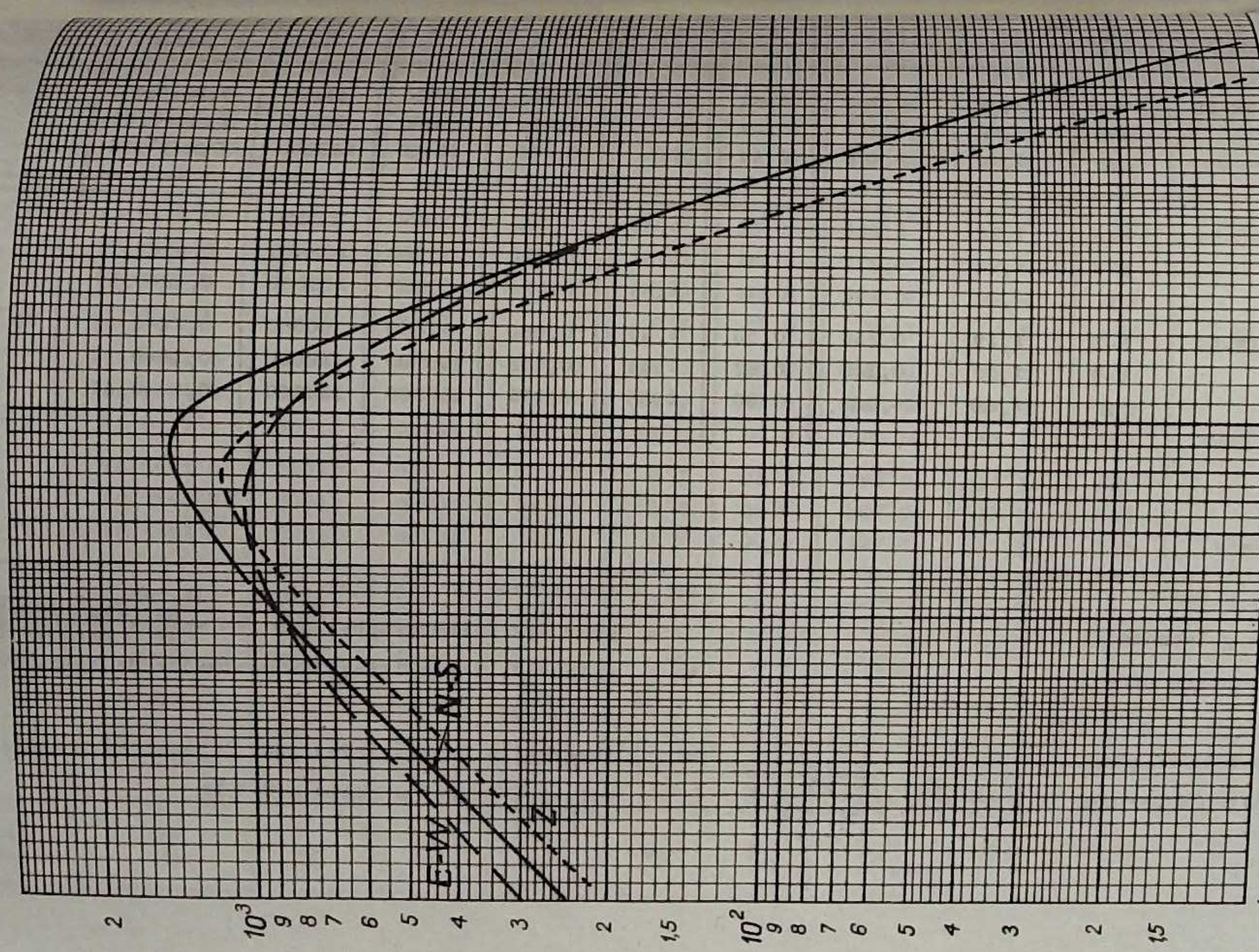

Fig. 1. L'amplification dynamique des séismographes Galitzine-Wilip à Warsz

International Seismological Centre

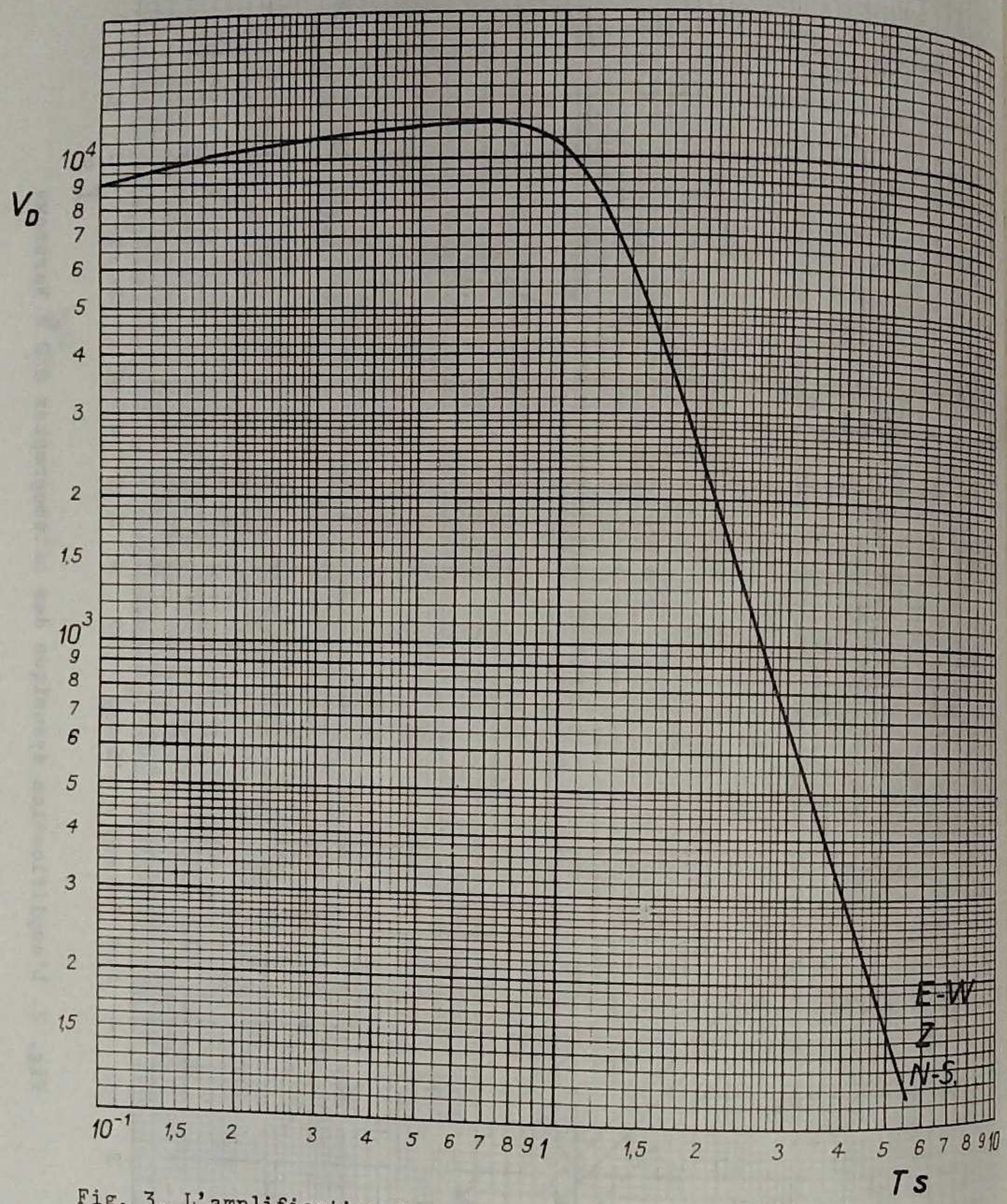

Fig. 3. L'amplification dynamique des séismographes Charin à Kraków

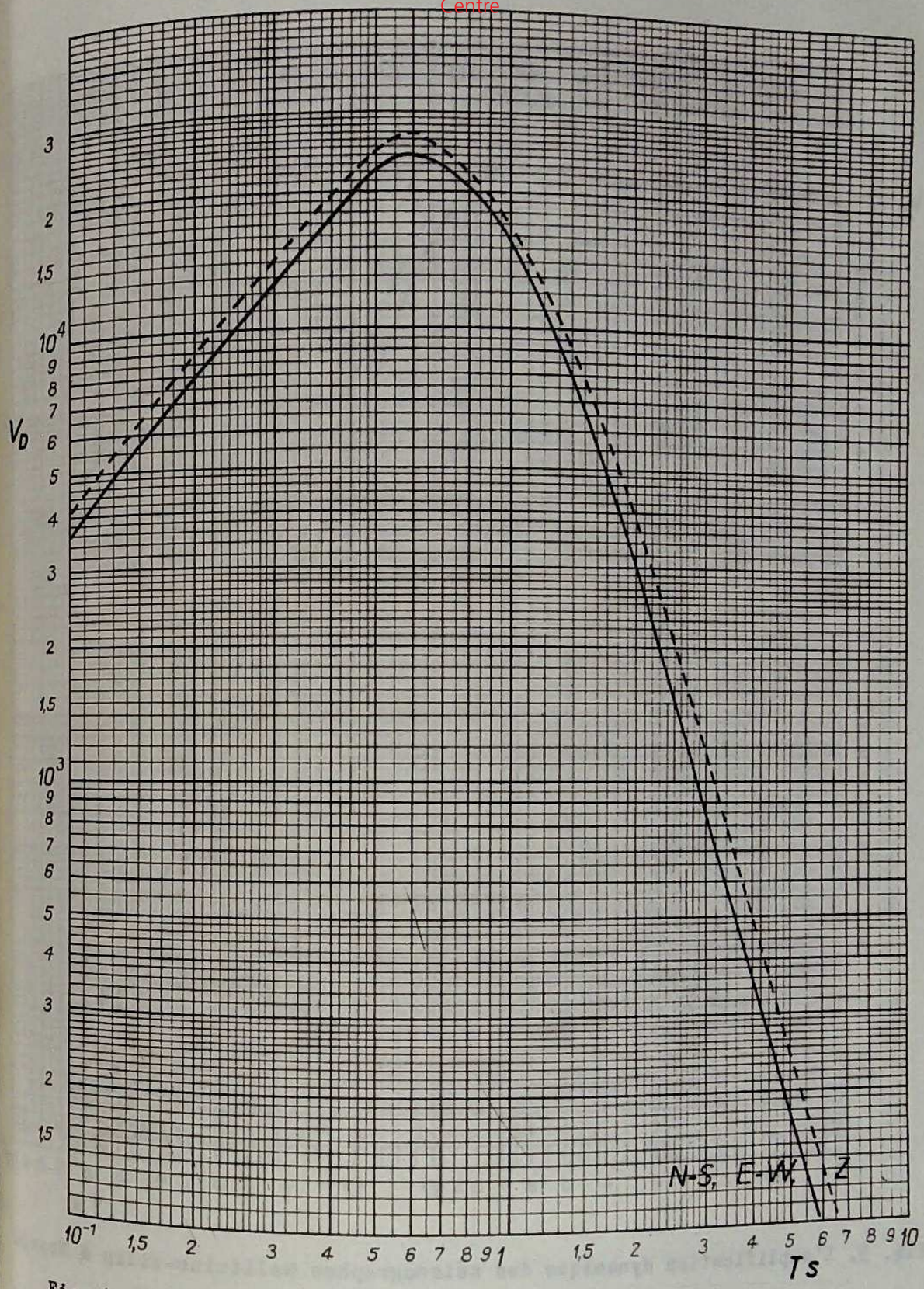

Fig. 4. L'amplification dynamique des séismographes SKM-3 à Kraków

International Seismological Centre

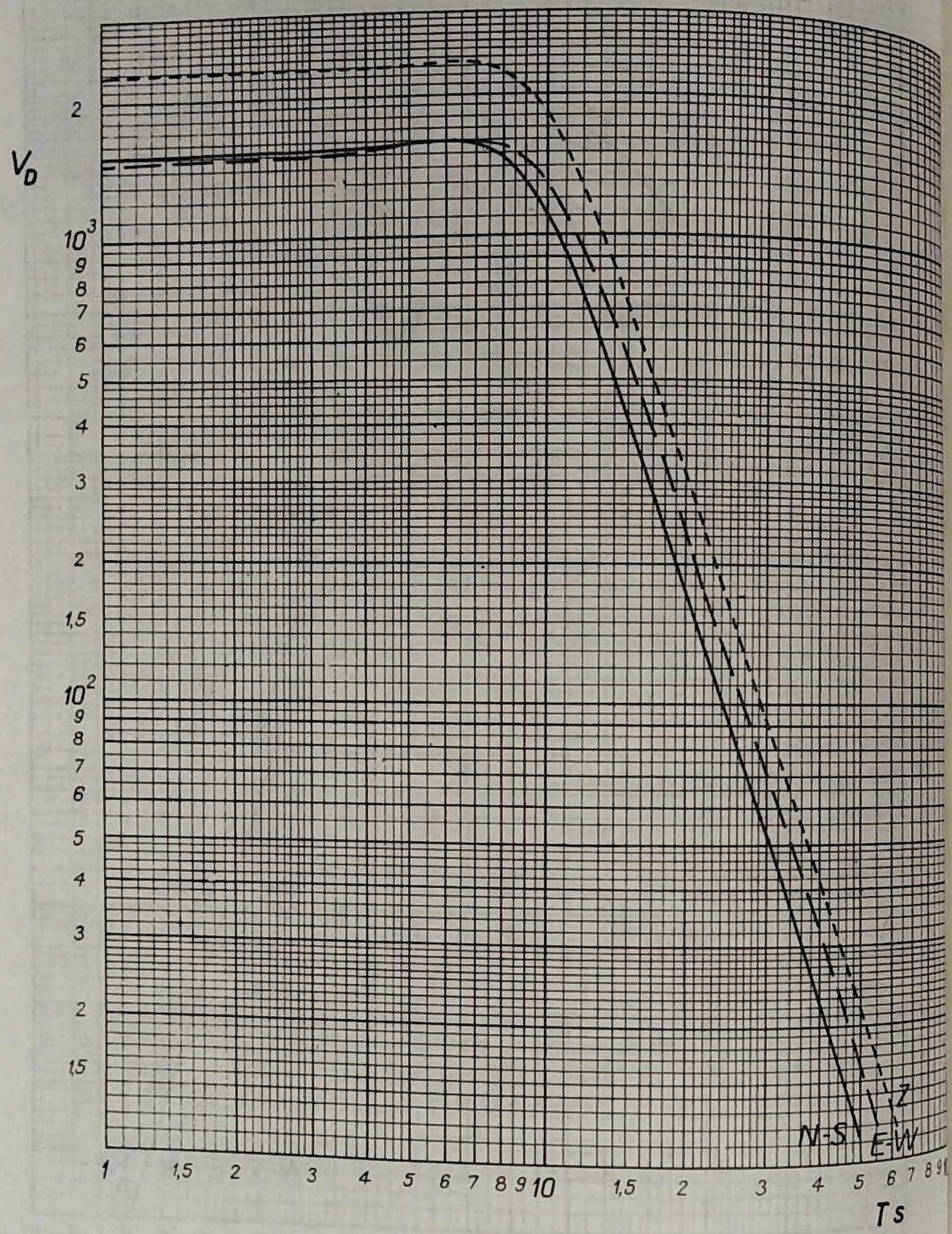

Fig. 5. L'amplification dynamique des séismographes Galitzine-Wilip à Krakó

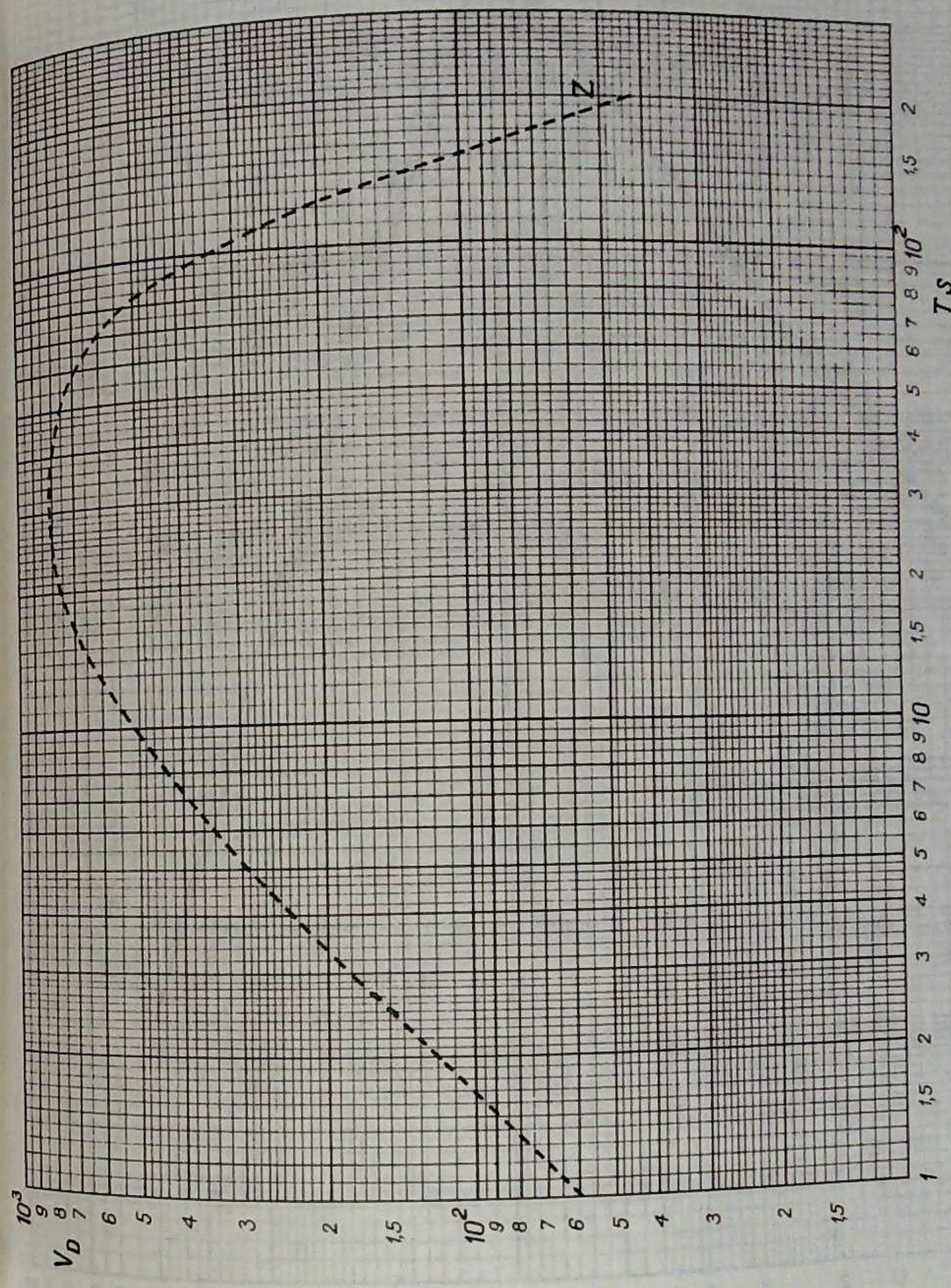

Fig. 6. L'amplification dynamique du séismographe vertical SKD à Kraków

International Seismological Centre

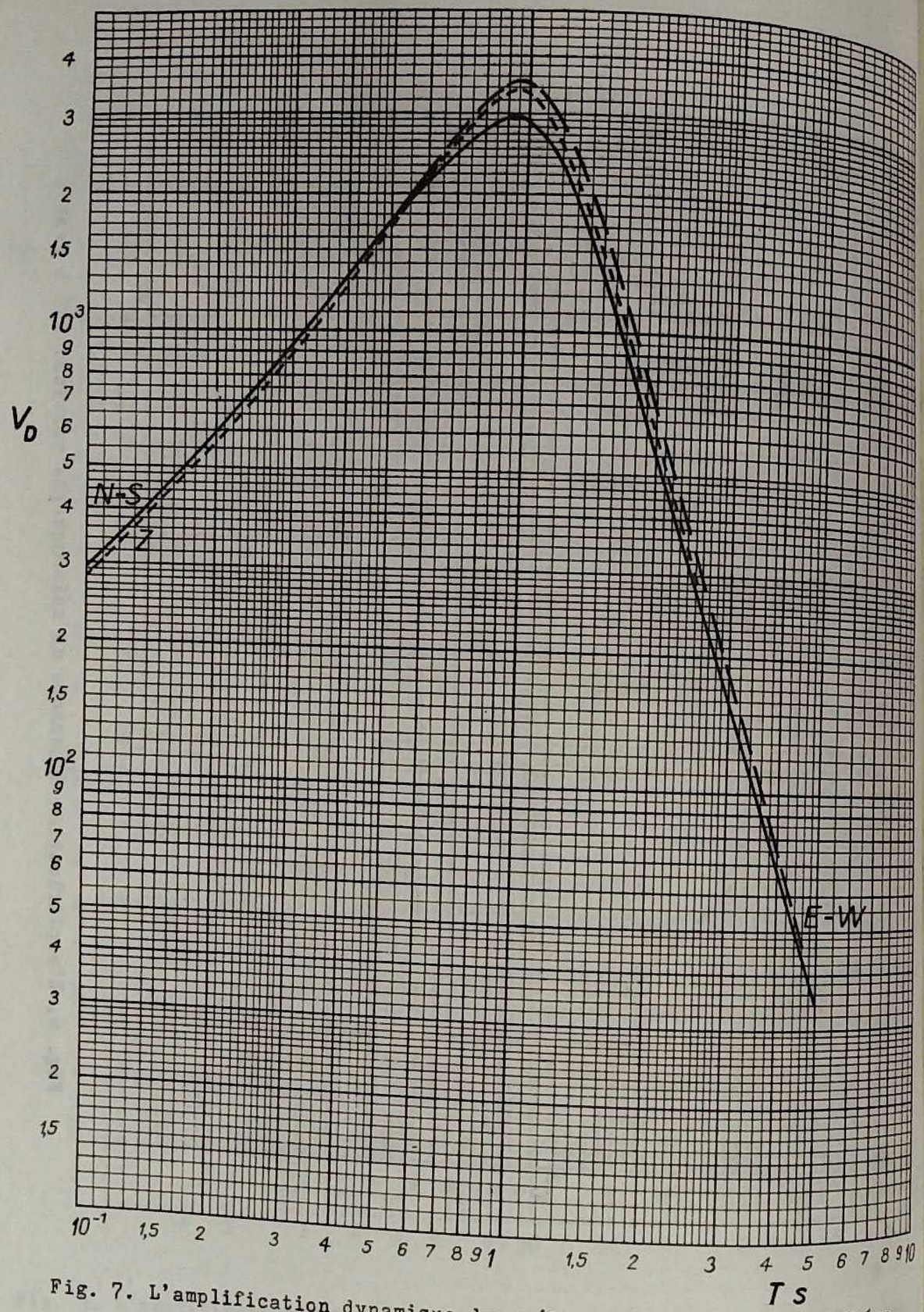

Fig. 7. L'amplification dynamique des séismographes SK-58 à Racibórz

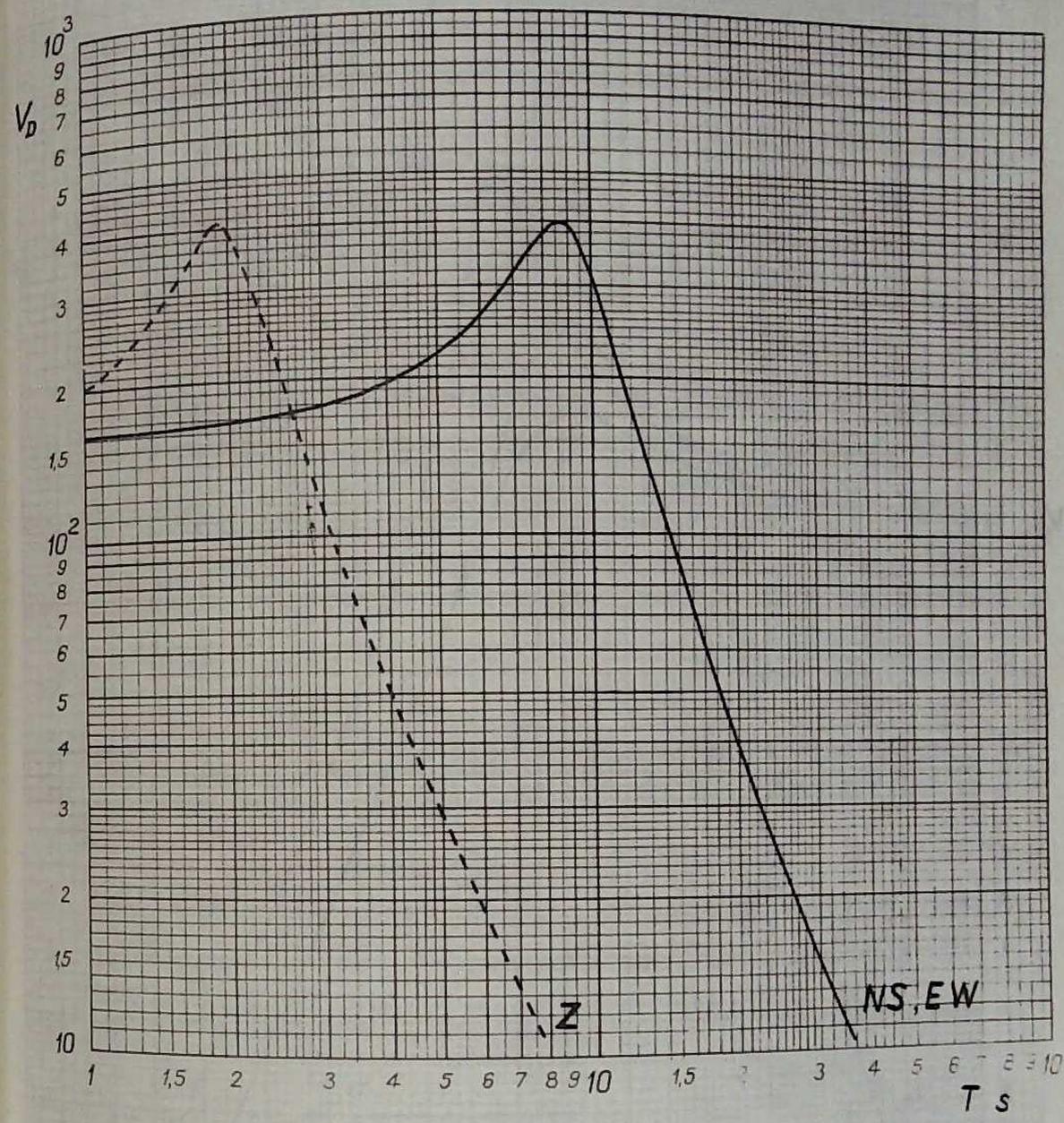

Fig. 8. L'amplification dynamique des séismographes Mainka à Racibórz

International Seismological Centre

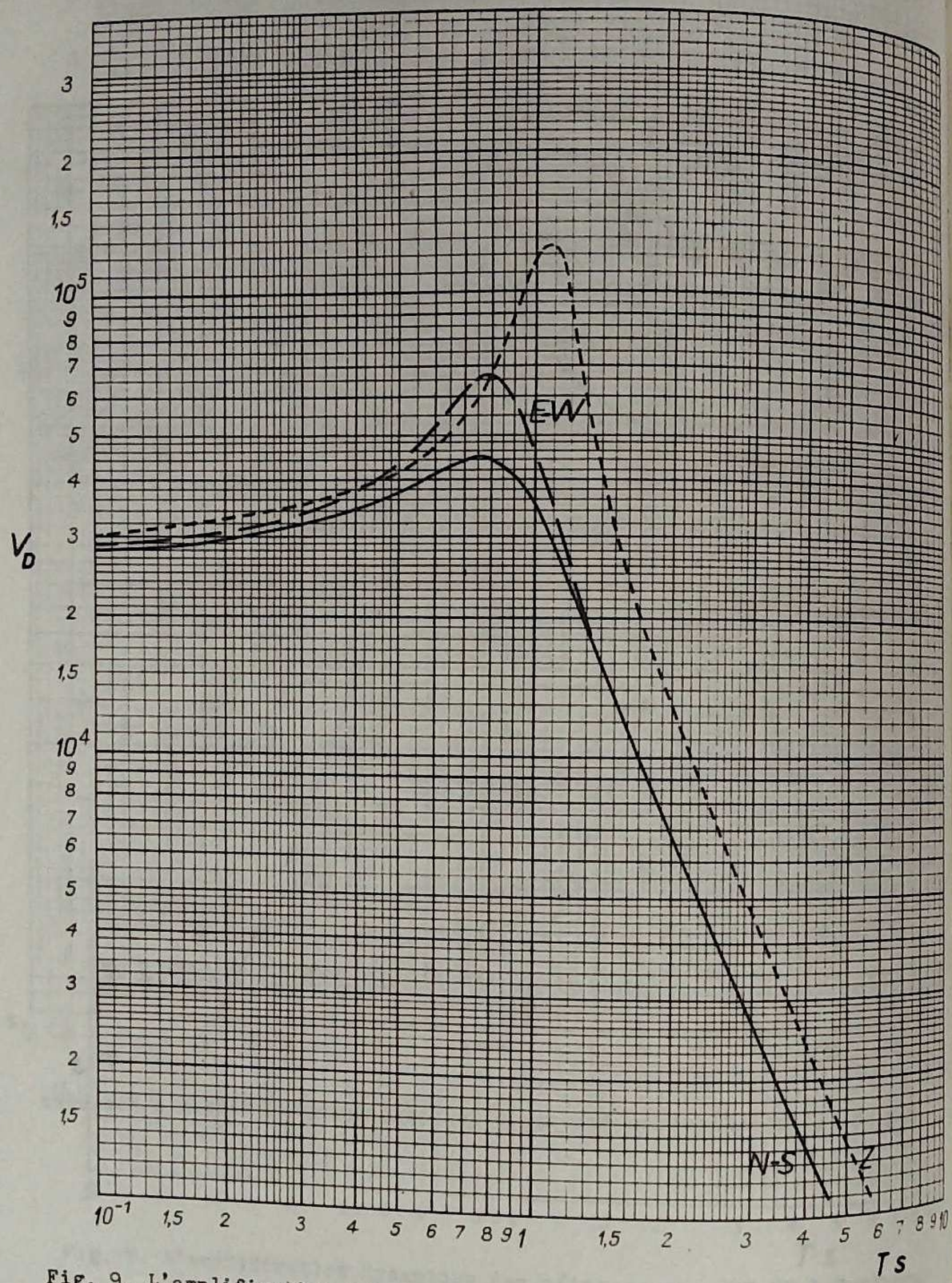

Fig. 9. L'amplification dynamique des séismographes SK-58 à Niedzica

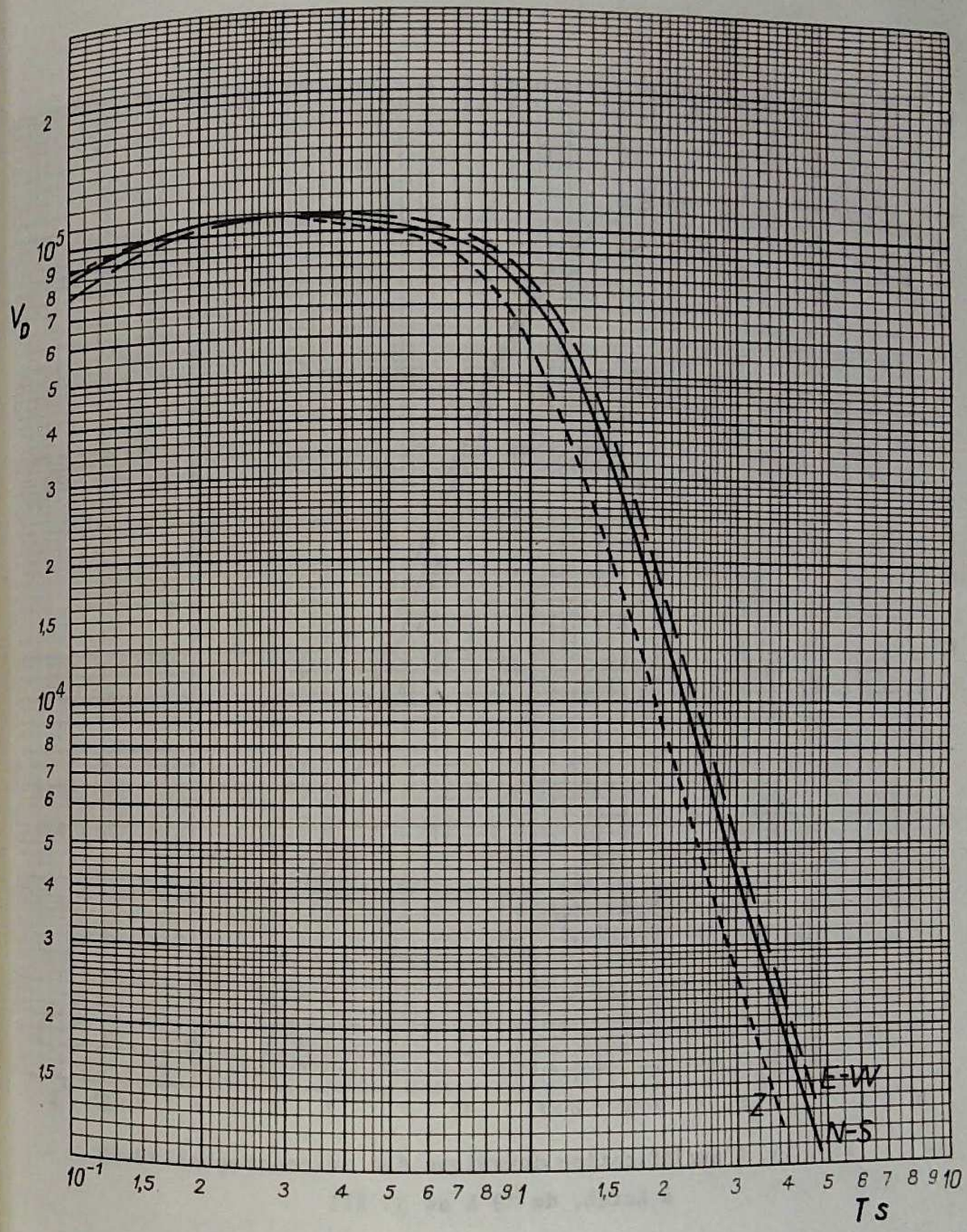

Fig. 10. L'amplification dynamique des séismographes SU-59 à Książ, du 1 au 18 X

International
Seismological
Centre

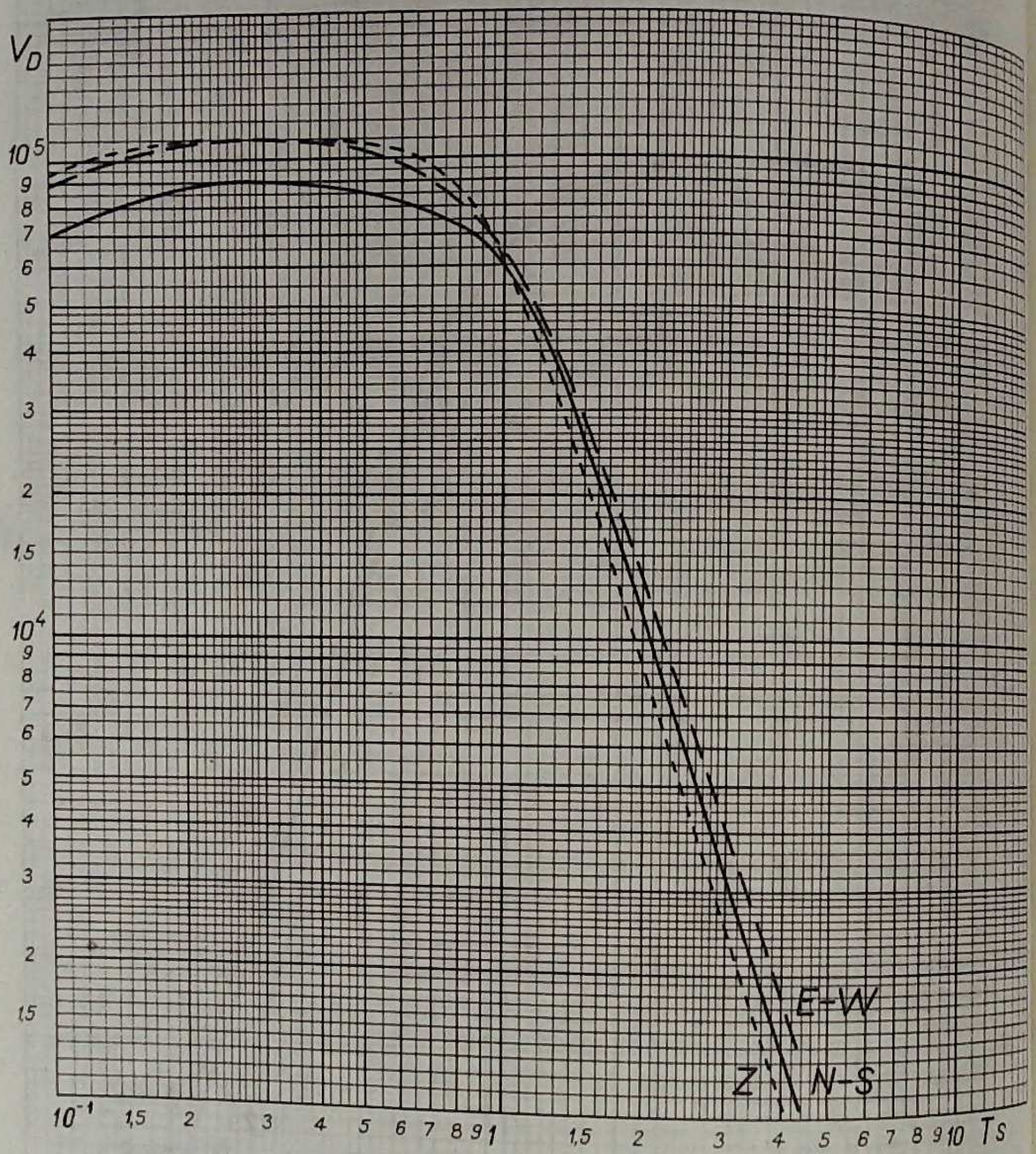

Fig. 11. L'amplification dynamique des séismographes SU-59 à Książ, du 19 X au 31 XII

RÉSULTATS DES ENREGISTREMENTS

International Seismological Centre

Date	Station	Phase	T.U. h m s
1973		O C T O B R E	
1.X			
	NIE	Traces	
		eP	14 19 13
1.X		Région de Hondo, Japon, USDI: 35,7°N, 140,6°E, H=14h16m23,0s, h=56 km; mb=5,6 (USDI), mPV=5,8 (Kraków) 5,4 (Niedzica), MLH=5,8 (Kraków)	
	WAR	Δ =77,8°	
	(SKD)	eiP	14 28 16
		eipP	34
		eiPP	31 12
		eiS	38 04
		eiSKS	24
		eL	53,0
	KRA	Δ =80,0°	
	(SKM)	eiP	14 28 27,2
		Z: 1,4s; 0,137 μ	
		i	40
	(GW)	ePP	31 28
		eS	38 27
		Lm	15 07,7
		NEZ: 14s; 2,0 μ, 2,4 μ, 0,7 μ	
	NIE	Δ =80,3°	
		eP	14 28 28 C
		Pm	30,6
		Z: 1,1s; 0,032 μ	
		eiPcP	35
		eipP	40
		isP	48
1.X			
	NIE	Traces	
		eP	18 40 24
		e	33
1.X			
	NIE		
		eiP	20 55 50,8
		i	57
2.X		Région de la Nouvelle Bretagne, USDI: 4,5°S, 151,5°E	

Date	Station	Phase	T.U. h m s
2.X		H=23h44m12,0s; h=226 km; mb=5,4 (USDI)	
	NIE	Δ =119,3°. Traces	
		ePKIKP	00 02 36
		Z: 1,0s; 0,017 μ	
2.X		Taiwan, USDI: 23,9°N, 121,4°E, H=02h59m42,2s, h=49 km; mb=5,1 (USDI)	
	NIE	Δ =79,3°	
		eP	03 11 44
		esP	12 06
2.X		Hokkaido, Japon, USDI: 42,1°N, 145,3°E, H=08h29m35,8s, h=52 km; mb=5,0 (USDI), mPV=5,1 (Niedzica), 6,0 (Kraków)	
	KRA	Δ =76,0°	
	(SKM)	eiP	08 41 18,7 C
		eiPcP	30
		isP	44
	NIE	Δ =76,4°	
		eiP	08 41 20,8
		Z: 0,9s; 0,033 μ	
		eiPcP	33
2.X		Région de l'Ile Bali, USDI: 8,7°S, 115,4°E, H=12h23m23,2s, h=92 km; mb=5,6 (USDI)	
	NIE	Δ =99,8°	
		eP	12 37 00
		epP	26
		eiPP	41 04
2.X		Région des Philippines, USDI: 10,0°N, 126,1°E, H=15h05m11,4s, h=76 km; mb=4,9 (USDI)	
	NIE	Δ =92,6°. Traces	
		eiP	15 18 13 C
2.X		Iles Kouriles, USDI: 43,4°N, 146,7°E, H=19h28m09,0s, h normale; mb=4,7 (USDI)	
	NIE	Δ =76,5°	
		eiP	19 39 58

Date	Station	Phase	T.U. h m s
3.X		Région des Iles Fidji, USDI: 22,2°S, 176,4°W, H=08h38m33,7s, h=91 km; mb=4,8 (USDI)	
	KSP	Δ =149,7°	
		eiPKIKP	08 58 14,0
3.X		Iles Kouriles, USDI: 45,5°N, 151,8°E, H=10h35m51,2s, h normale; mb=5,2 (USDI), mPV=5,6 (Książ), 6,0 (Kraków)	
	KRA	Δ =76,3°	
	(SKM)	iP	10 47 37,1
		Z: 1,0s; 0,120 μ	
	(SKD)	ePP	50 19
3.X		Sud des Iles Kermadec, USDI: 32,6°S, 179,1°W, H=11h08m27,2s, h=37 km; mb=5,4 (USDI)	
	KRA	Δ =157,7°	
	(SKM)	ePKIKP	11 28 18
3.X		Région de Hondo, Japon, USDI: 37,7°N, 142,1°E, H=12h41m34,1s h=50 km; mb=4,7 (USDI), mPV=5,3 (Kraków)	
	KRA	Δ =79,0°. Traces	
	(SKM)	eiP	12 53 33,8
		Z: 0,8s; 0,023 μ	
3.X		Iles Kouriles, USDI: 45,7°N, 151,7°E, H=12h54m52,3s, h normale; mb=4,7 (USDI), mPV=5,3 (Kraków)	
	KRA	Δ =76,0°. Traces	
	(SKM)	eiP	13 06 37,3 D
		Z: 0,8s; 0,023 μ	
3.X			
	NIE		
		eiP	14 04 48,4
		Z: 0,8s; 0,007 μ	
		ei	56
		ei	05 08
		Z: 0,8s; 0,039 μ	
3.X		Région des Iles Fidji, USDI 17,7°S, 176,9°W, H=15h51m35, h=360 km; mb=4,9 (USDI)	

Date	Station	Phase	T.U. h m s
3.X	NIE	Δ =145,7°	
		eiPKIKP	16 10 33,5 C
		ei	52
4.X			
	NIE		
		eP	05 15 22
		Z: 0,9s; 0,006 μ	
4.X		Iles Kouriles, USDI: 45,8°N, 151,7°E, H=13h38m44,6s, h normale; mb=4,8 (USDI), mPV=5,4 (Kraków, Niedzica)	
	KRA	Δ =76,0°	
	(SKM)	eiP	13 50 29,9
		Z: 0,8s; 0,028 μ	
	NIE	Δ =76,4°	
		eiP	13 50 32,8 D
		Z: 0,8s; 0,024 μ	
4.X		Région des Iles Fidji, USDI: 21,1°S, 179,2°W, H=17h59m48,3s, h=638 km; mb=5,0 (USDI)	
	KRA	Δ =147,6°	
	(SKM)	eiPKIKP	18 18 23,1 C
		Z: 0,8s; 0,046 μ	
		eiPKP2	28
	NIE	Δ =148,0°	
		eiPKIKP	18 18 24,5
		Z: 0,9s; 0,023 μ	
		eiPKP2	30
5.X			
	NIE		
		eP	04 45 11
		Z: 0,6s; 0,010 μ	
5.X		Prés de la côte du Chili Central, USDI: I 33,0°S, 71,9°W, H=05h45m27,3s, h=14 km; mb=5,8 (USDI) II 32,5°S, 71,5°W, H=05h47m51,1s, h normale; mb=5,8 (USDI), MLH=6,6 (Kraków)	
	KRA	Δ I=115,5°, Δ II= 114,9°	
	(SKD)	ePdifI	06 00 30

International Seismological Centre

Date	Station	Phase	T.U. h m s
5.X (suite)	KRA (SKM)	eiPPI	06 05 12,8
		Z: 1,5^{s}; 0,160 μ	
		eiPPII	07 33,8
	(GW)	eSKSII	13 24
		eL	46,2
		Lm	07 00,2
		NEZ: 17^{s}; 11 μ, 10 μ, 2,7 μ	
5.X		Près de la côte du Chili, Central, USDI: 32,9°S, 71,9°W H=07^{h}07^{m}33,8^{s}, h=24 km; mb=5,6 (USDI)	
	KRA (SKM)	Δ =115,5°	
		ePKP	07 26 16
		eiPP	27 25
5.X		Région des Iles Tonga, USDI: 17,4°S, 172,8°W, H=19^{h}30^{m} 07,0^{s}, h normale; mb=5,0 (USDI)	
	NIE	Δ =146,6°	
		eiPKIKP	19 49 46
		Z: 0,7^{s}; 0,013 μ	
5.X		Iles Kouriles, USDI: 43,4°N, 146,7°E, H=21^{h}20^{m}23,4^{s}, h normale; mb=5,0 (USDI), mPV=5,7 (Kraków), 5,1 (Niedzica)	
	KRA (SKM)	Δ =76,2°	
		iP	21 32 09,1 D
		Z: 0,5^{s}; 0,041 μ	
		ipP	18,8
	NIE	Δ =76,5°	
		eiP	21 32 11,3 C
		esP	25
6.X		Océan Atlantique, USDI: 60,8°S, 21,5°W, H=15^{h}07^{m}37,3^{s} h normale; mb=6,2 (USDI), MLH=6,7 (Kraków), 6,8 (Warszawa)	
	KRA (SKD) (SKM)	Δ =115,2°	
		ePdif	15 22 35
		ePKIKP	26 20
		PKIKPm	22,8
		Z: 1,5^{s}; 0,030 μ	

Date	Station	Phase	T.U. h m s
6.X	KRA (GW) (SKD)	eipPKIKP	15 26 33
		eiPP	27 25
		ei	37 24
		eiL	16 02,6
		Lm	03,5
		Z: 50^{s}; 45 μ	
	(GW)	Lm	10,7
		NEZ: 23^{s}; 17 μ, 16 μ, 5,8 μ	
	WAR (SKD)	Δ =117,7°	
		eP	15 22 48
		ei	23 16
		eiPP	27 36
		ei	31 24
		Lm	16 00 14
		E: 44^{s}; 60 μ	
		Lm	04 32
		NZ: 50^{s};48^{s}; 38 μ, 150 μ	
		Lm	48
		E: 46^{s}; 52 μ	
6.X		Mindanao, Philippines, USDI: 9,7°N, 125,6°E, H=16^{h}34^{m} 33,3^{s}, h=82 km; mb=5,0 (USDI) mPV=5,1 (Niedzica)	
	NIE	Δ =92,5°	
		eiP	16 47 36,5
		Z: 0,9^{s}; 0,009 μ	
6.X		Crète, USDI: 34,9°N, 26,3°E, H=21^{h}19^{m}58,2^{s}, h normale; mb=4,4 (USDI)	
	NIE	Δ =14,9°	
		ei(P)	21 23 41,4
7.X		Région des Iles Samoa, USDI: 16,0°S, 172,8°W, H=07^{h}36^{m} 45,1^{s}, h normale; mb=4,9 (USDI)	
	KRA (SKM)	Δ =144,7°	
		eiPKIKP	07 56 21,3
		Z: 1,3^{s}; 0,054 μ	
	NIE	Δ =145,2°	
		eiPKIKP	07 56 21,7
		i	44
7.X		Région de Hokkaido, Japon, USDI: 42,3°N, 146,6°E,	

Date	Station	Phase	T.U. h m s
		H=09^{h}27^{m}02,2^{s}, h=27 km; mb=5,2 (USDI), mPV=5,2 (Kraków), 5,1 (Niedzica)	
7.X (suite)	KRA (SKM)	Δ =77,1°	
		eiP	09 38 53,6
		Z: 1,1^{s}; 0,069 μ	
		ei	39 01,5
		eisP	07
	(GW)	eS	48 47
	NIE	Δ =77,4°	
		iP	09 38 56,0 C
		Z: 1,0^{s}; 0,017 μ	
7.X		Lucon, Philippines, USDI: 16,2°N, 122,2°E, H=11^{h}11^{m} 26,2^{s}, h=78 km; mb=4,8 (USDI) mPV=4,6 (Niedzica)	
	NIE	Δ =85,4°	
		eiP	11 23 58
		Z: 1,0^{s}; 0,005 μ	
7.X		Lucon, Philippines, USDI: 16,2°N, 122,4°E, H=11^{h}42^{m} 08,2^{s}, h=62 km; mb=4,6 (USDI) mPV=4,7 (Niedzica)	
	NIE	Δ =85,6°	
		eiP	11 54 40,5
		Pm	41,5
		Z: 1,0^{s}; 0,006 μ	
		eiPcP	44
7.X		Luçon,Philippines, USDI: 16,3°N, 122,3°E, H=12^{h}20^{m} 37,2^{s}, h normale; mb=5,0 (USDI), mPV=4,9 (Niedzica)	
	KRA (SKM)	Δ =85,4°. Traces	
		eP	12 33 14
	NIE	Δ =85,4°	
		eP	12 33 14
		Pm	15,5
		Z: 1,0^{s}; 0,008 μ	
		iPcP	17,5
		eipP	24
7,X		Près de la côte du Vénézuéla USDI: 9,0°N, 61,1°W, H=17^{h} 05^{m}59,8^{s}, h=42 km; mb=4,9 (USDI)	

Date	Station	Phase	T.U. h m s
7.X	KRA (SKM)	Δ =77,4°. Traces	
		eP	17 17 53
7.X	NIE		
		eiP	18 06 30,5
		Z: 0,8^{s}; 0,008 μ	
8.X		Région des Iles Fidji, USDI: 17,8°S, 178,3°W, H=03^{h}46^{m} 09,0^{s}, h=544 km; mb=5,4 (USDI)	
	KRA (SKM)	Δ =144,9°. Traces	
		iPKIKP	04 04 45,3
	NIE	Δ =145,3°	
		iPKIKP	04 04 47,3 D
		Z: 0,9^{s}; 0,030 μ	
		i	59,0
		i	05 17
8.X			
	KRA (SKM)	eP	05 09 37
		i	49
	NIE		
		eiP	05 09 41,8 C
		Z: 0,7^{s}; 0,022 μ	
		ei	52
		i	10 04
8.X		Région des Iles Fidji, USDI: 25,1°S, 179,8°E, H=06^{h}19^{m} 18,0^{s}, h=500 km; mb=4,9 (USDI)	
	NIE	Δ =151,1°	
		eiPKIKP	06 37 48,5 C
		Z: 1,0^{s}; 0,006 μ	
		i	38 15
8.X		Iles Kouriles, USDI: 45,8°N, 151,7°E, H=08^{h}26^{m}20,6^{s}, h=60 km; mb=4,5 (USDI), mPV=4,7 (Niedzica)	
	NIE	Δ =76,4°	
		eiP	08 38 05
		Z: 0,9^{s}; 0,006 μ	

International Seismological Centre

Date	Station	Phase	T.U. h m s
8.X			
	NIE		
		eiP	14 40 45,2
		Z: 0,6^{s}; 0,017 μ	
		ei	41 06
8.X			
	NIE		
		eiP	15 41 05,5
9.X		Luçon, Philippines, USDI: 16,3°N, 122,4°E, H=01^{h}44^{m}57,5^{s}, h normale; mb=5,2 (USDI), mPV=5,3 (Niedzica)	
	NIE	Δ =85,5°	
		eP	01 57 34
		Z: 0,9^{s}; 0,019 μ	
		eipP	43
		eisP	47
	KRA (SKM)	Δ =85,5°	
		eP	01 57 34
		eipP	42
		i	58 01
	(SKD)	eSKS	02 08 02
	WAR (SKD)	Δ =84,0°	
		eiS	02 07 46
		eiSoS	56
		eiPS	08 48
		eL	26,0
9.X		Inde, USDI: 27,8°N, 93,3°E, H=04^{h}01^{m}47,4^{s}, h normale; mb=4,8 (USDI), mPV=4,7 (Niedzica)	
	NIE	Δ =58,6°	
		eP	04 11 45
		Z: 1,0^{s}; 0,006 μ	
9.X		Iles Kouriles, USDI: 43,3°N, 146,9°E, H=07^{h}47^{m}14,9^{s}, h normale; mb=5,1 (USDI), mPV=5,7 (Kraków), 5,1 (Niedzica)	
	KRA (SKM)	Δ =76,3°	
		iP	07 59 01,6 D
		Z: 1,0^{s}; 0,072 μ	
		eipP	10

Date	Station	Phase	T.U. h m s
9.X	NIE	Δ =76,7°	
		eiP	07 59 03,5
		Z: 1,0^{s}; 0,016 μ	
		eipP	13
		eisP	17
9.X		Nouvelles Hébrides, USDI: 14,2°S, 167,2°E, H=07^{h}[illegible] 31,0^{s}, h=9 km; mb=5,8 (USDI)	
	NIE	Δ =135,8°	
		ePKIKP	08 16 54
		ei	17 03
	KRA (SKM)	Δ =135,6°	
		ePKIKP	08 16 58
		ei	17 08
		ePP	19 40
	(SKD)	eiPKS	20 32
		eL	09 01,4
	(GW)	Lm	10,2
		NE: 26^{s}; 15 μ, 11 μ	
	WAR (SKD)	Δ =133,4°	
		ei	08 19 28
		eiPKS	20 24
		ei	21 04
		eiPKKP	26 32
		Lm	09 00 56
		E: 36^{s}; 18 μ	
		Lm	15 40
		E: 20^{s}; 24 μ	
9.X		Hokkaido, Japon, USDI: 42,5°N, 145,8°E, H=13^{h}03^{m}45,5^{s}, h normale; mb=4,8 (USDI),	
	NIE	Δ =76,9°	
		eiP	13 15 37
		Z: 0,7^{s}; 0,015 μ	
		epP	48
9.X		Crête médiane de l'Atlantique, USDI: 7,4°N, 35,2°W, H=19^{h}06^{m}02,6^{s}, h normale; mb=4,9 (USDI), mPV=5,4 (Kraków, Niedzica)	
	KRA (SKM)	Δ =62,3°	
		eiP	19 16 24,1 D
		Z: 0,8^{s}; 0,028 μ	

Date	Station	Phase	T.U. h m s
9.X (suite)	KRA	eipP	19 16 36
		eiPcP	17 01
	NIE	Δ =62,3°	
		iP	19 16 24,5 D
		Z: 0,6^{s}; 0,019 μ	
		eipP	36
10.X	NIE		
		eiP	05 40 44
10.X	NIE	Traces	
		eiP	07 42 33,3
		Z: 0,6^{s}; 0,010 μ	
11.X		Crête médiane de l'Atlantique, USDI: 0,8°N, 29,2°W, H=02^{h}07^{m}40,5^{s}, h normale; mb=5,1 (USDI), mPV=5,5 (Kraków), 5,2 (Niedzica), MLH=5,7 (Kraków)	
	KRA (SKM)	Δ =64,2°	
		eiP	02 18 15,0 D
		Z: 1,1^{s}; 0,048 μ	
		eisP	30
		i	38
		iPcP	54
	(GW)	eiPS	27 30
		ei	28 26
		ei	30 36
	(SKD)	iSS	31 14
		iL	38,6
		Lm	39,7
		Z: 50^{s}; 30 μ	
	(GW)	Lm	45,0
		NE: 12^{s}; 2,5 μ, 1,2 μ	
	NIE	Δ =64,1°	
		eiP	02 18 15,3
		Z: 0,9^{s}; 0,017 μ	
		isP	29
		iPcP	50
		i	19 13
11.X	NIE	Traces	
		eiP	07 42 24,5
		Z: 0,8^{s}; 0,008 μ	

Date	Station	Phase	T.U. h m s
11.X	KRA (SKM)	Traces	
		eP	08 45 03
		Z: 1,1^{s}; 0,021 μ	
11.X		Région des Iles Fidji, USDI: 18,0°S, 178,7°W, H=08^{h}39^{m}00,8^{s}, h=654 km; mb=4,7 (USDI)	
	KSP	Δ =145,1°	
		eiPKIKP	08 57 29,0
11.X	KRA (SKM)		
		eiP	12 51 56,6
		Z: 0,7^{s}; 0,033 μ	
		ei	52 07
11.X	KRA (SKM)	Traces	
		eiP	15 17 13,3
		Z: 0,7^{s}; 0,020 μ	
	NIE		
		ei(P)	15 17 24 D
		Z: 0,9^{s}; 0,010 μ	
11.X		Région de Hondo, Japon, USDI: 34,9°N, 141,6°E, H=18^{h}32^{m}35,4^{s}, h=52 km; mb=4,6 (USDI)	
	NIE	Δ =81,4°	
		eP	18 44 48
		eipP	45 01
11.X	NIE		
		eiP	20 21 12,5
		Z: 0,8^{s}; 0,010 μ	
11.X		Région des Iles Fidji, USDI: 18,3°S, 178,1°W, H=21^{h}19^{m}42,7^{s}, h=619 km; mb=5,1 (USDI)	
	KRA (SKM)	Δ =145,4°	
		eiPKP	21 38 14,3 D
		Z: 0,7^{s}; 0,029 μ	
	NIE	Δ =145,8°	
		iPKP	21 38 15,7
		Z: 0,8^{s}; 0,030 μ	

International Seismological Centre

Date	Station	Phase	T.U. h m s
12.X		Tadzhik, URSS, USDI: 37,7°N 72,0°E, H=02h54m07,7s, h= 11 km; mb=5,3 (USDI), mPV= 5,2 (Niedzica), 5,5 (Kraków)	
	NIE	Δ =38,5°	
		eiP	03 01 32,5 D
		Z: 0,9s; 0,028 μ	
		ipP	36
		i	47
		iPP	03 06
	KRA	Δ =38,7°	
	(SKM)	eiP	03 01 33,5 D
		Z: 0,9s; 0,058 μ	
		i(pP)	36
		eiPP	03 05
12.X		Orégon, USDI: 43,7°N,127,5°W H=05h54m27,7s, h=6 km; mb= 5,4 (USDI), mPV=5,3 (Kraków)	
	KRA	Δ =82,6°	
	(SKM)	eP	06 06 54
		Z: 1,0s; 0,024 μ	
	(SKD)	eL	28,7
		Lm	37,5
		Z: 32s; 1,5 μ	
		Lm	47,7
		Z: 16s; 2,6 μ	
	NIE	Δ =83,3°	
		eP	06 06 58
		eiPcP	07 02
12.X		Région du Spitzberg, USDI: 77,1°N, 5,9°E, H=08h35m 51,9s, h normale; mb=4,2 (USDI)	
	KRA	Δ =27,9°. Traces	
	(SKM)	eiP	08 41 40,8
12.X		Nevada, USDI: 37,200°N, 116,203°W, H=17h00m00,8s; h=0 ; mb=4,8 (USDI)	
	KRA	Δ =85,1°. Traces	
	(SKM)	eP	17 12 38
	NIE	Δ =85,8°	
		eP	17 12 42

Date	Station	Phase	T.U. h m s
12.X			
	KRA		
	(SKM)	eiP	17 55 32
		Z: 0,7s; 0,016 μ	
		ei	42
	NIE		
		eiP	17 55 42
		Z: 0,8s; 0,012 μ	
12.X		Crête de l'Atlantique Nord, USDI: 12,0°N, 43,7°W, H= 23h02m20,6s, h normale; mb= 4,9 (USDI), mPV=5,5 (Kraków) 4,6 (Niedzica)	
	KRA	Δ =64,0°	
	(SKM)	eiP	23 12 53,5
		Pm	55,3
		Z: 1,3s; 0,054 μ	
	NIE	Δ =64,0°	
		eP	23 12 55
		Z: 1,2s; 0,006 μ	
		epP	13 05
12.X		Région des Iles Fidji, USDI: 17,6°S, 179,2°W, H=23h37m 59,9s, h=588 km; mb=4,8 (USDI)	
	KRA	Δ =144,4°. Traces	
	(SKM)	eiPKP	23 56 31
		Z: 0,7s; 0,016 μ	
	NIE	Δ =144,8°	
		iPKP	23 56 32,7
		Z: 1,0s; 0,010 μ	
13.X		Golfe de Californie, USDI: 29,6°N, 113,6°W, H=01h43m 47,2s, h=15 km; mb=5,2 (USDI), mPV=5,0 (Niedzica)	
	KRA	Δ =90,8°. Traces	
	(SKM)	eiP	01 56 49,8
	NIE	Δ =91,5°	
		eP	01 56 53
		Z: 0,8s; 0,008 μ	
13.X			
	NIE		
		eP	05 45 22
		Z: 0,9s; 0,008 μ	

Date	Station	Phase	T.U. h m s
13.X		Crête, USDI: 34,7°N, 26,2°E H=06h00m33,7s, h=39 km; mb= 4,6 (USDI)	
	NIE	Δ =15,1°	
		ePP	06 04 13
		i	39
13.X		Hokkaido, Japon, USDI: 41,9°N, 142,3°E, H=16h24m 27,3s, h=71 km; mb=4,9 (USDI)	
	KSP	Δ =76,3°	
		eP	16 36 10 C
13.X			
	NIE		
		eP	18 28 39
		ei	48
13.X			
	NIE	Traces	
		eiP	20 22 19
13.X		Kiou-Siou, Japon, USDI: 30,7°N, 131,9°E, H=20h24m 37,2s, h=12 km; mb=5,1 (USDI)	
	NIE	Δ =79,9°. Traces	
		eP	20 36 47
		epP	52
13.X		Crête médiane de l'Atlantique USDI: 4,8°N, 32,6°W, H=21h10m 49,3s, h normale; mb=5,4 (USDI)	
	NIE	Δ =62,8°	
		eiP	21 21 15,5
13.X			
	NIE		
		eiP	21 47 32
		Z: 0,9s; 0,008 μ	
14.X		Severnaya Zemble, USDI: 85,0°N, 99,5°E, H=22h07m46,8s h normale; mb=5,2 (USDI), mPV=5,1 (Niedzica)	
	NIE	Δ =40,3°	
		eP	22 15 21

Date	Station	Phase	T.U. h m s
14.X	NIE	Pm	22 15 23
		Z: 1,0s; 0,023 μ	
		ipP	28
		i	51
15.X		Région des Iles Kouriles, Moskva: 45,1°N, 151,5°E, H=03h21m51s; mPV=5,3 (Moskva, Niedzica)	
	NIE	Δ =76,7°	
		iP	03 33 40,5
		Z: 0,9s; 0,022 μ	
15.X			
	NIE		
		eP	15 37 38
		Z: 1,9s; 0,006 μ	
15.X			
	NIE		
		eiP	18 48 20,5
		Z: 0,8s; 0,007 μ	
		ei	25,5
16.X			
	NIE		
		eiP	04 00 43,5
		Z: 1,0s; 0,007 μ	
		ei	56
16.X		Nepal, USDI: 28,2°N, 82,9°E, H=09h50m43,3s, h normale; mb=5,2 (USDI), mPV=5,0 (Niedzica)	
	NIE	Δ =51,6°	
		iP	09 59 49,5 C
		Z: 1,0s; 0,014 μ	
		i	56
		ipP	10 00 00
		isP	07
	KRA	Δ =52,0°. Traces	
	(SKM)	eP	09 59 51
		eipP	10 00 01
17.X		Région frontière URSS-Afghanistan, USDI: 36,4°N, 71,2°E, H=03h16m18,6s, h=221 km; mb=5,5 (USDI)	

International Seismological Centre

Date	Station	Phase	T.U. h m s	
17.X (suite)	WAR (SKD)	Δ =38,3°		
		iP	03 23 15	C
		eisP	24 25	
		eiPcP	25 23	
	(GW)	eiS	28 57	
		eisS	30 13	
		i	31 35	
		eiSS	32 09	
	NIE	Δ =38,7°		
		iP	03 23 23	C
		Pm	25	
		Z: 1,0s; 0,135 μ		
		ipP	57	
	KRA (SKM)	Δ =39,0°		
		eiP	03 23 24,3	C
		Pm	26	
		Z: 0,9s; 0,210 μ		
		i	26,8	
		i	24 10,8	
	(GW)	Lm	32,5	
		NEZ: 7s; 0,2 μ, 2,8 μ, 1,4 μ		
17.X		Région frontière Panama-Colombie, USDI: 7,5°N, 77,2°W, H=20h24m52,2s, h=15 km; mb=4,9 (USDI), mPV=5,6 (Kraków), 4,8 (Niedzica)		
	KRA (SKM)	Δ =88,9°. Traces		
		eiP	20 37 48,7	D
		Z: 1,3s; 0,054 μ		
	NIE	Δ =89,3°		
		eiP	20 37 50,5	
		Z: 1,1s; 0,008 μ		
17.X		Chiapas, Mexique, USDI: 17,4°N, 93,8°W, H=21h02m24,9s, h=202 km; mb=4,7 (USDI)		
	NIE	Δ =91,8°		
		eiP	21 15 08	
		Pm	12,6	
		Z: 1,0s; 0,007 μ		
		ei	23	
	KRA (SKM)	Δ =91,3°		
		eiP	21 15 08,6	C
		Z: 0,6s; 0,031 μ		

Date	Station	Phase	T.U. h m s	
18.X		Costa-Rica, USDI: 9,2°N, 84,0°W, H=01h09m04,8s, h=41 km; mb=5,3 (USDI), mPV=5,7 (Kraków), 5,0 (Niedzica)		
	KRA (SKM)	Δ =91,9°		
		eiP	01 22 11,2	D
		Z: 1,5s; 0,061μ		
		eipP	20	
	(SKD)	eiPS	34 38	
		eL	53,6	
		Lm	56,7	
		Z: 28s; 1,9μ		
	NIE	Δ =92,3°		
		eiP	01 22 15	D
		Z: 1,2s; 0,009μ		
18.X				
	NIE	Traces		
		eiP	05 35 14,8	
		Z: 0,7s; 0,011μ		
		ei	35	
18.X				
	NIE	Traces		
		eiP	06 13 07,5	
		Z: 0,6s; 0,010μ		
18.X				
	NIE			
		eiP	09 23 14,2	
		Z: 0,6s; 0,010μ		
18.X		Colombie, USDI: 3,0°N, 74,9°W, H=09h18m32,6s, h=42 km; mb=5,2 (USDI)		
	NIE	Δ =91,2°		
		eP	09 31 41	
18.X		Mexique, USDI: 19,4°N, 105,0°W, H=10h49m37,5s, h=45 km; mb=6,0 (USDI)		
	KRA (SKM)	Δ =95,7°		
		eP	11 02 59	
		iPP	06 54	
18.X		Région de Severnaya Zemblt, USDI: 85,0°N, 99,6°E, H=11h40m23,4s, h normale;		

Date	Station	Phase	T.U. h m s	
18.X (suite)		mb=4,9 (USDI); mPV=5,7 (Kraków), 4,9 (Niedzica)		
	KRA (SKM)	Δ =39,7°		
		iP	11 47 52,2	D
		Z: 1,0s; 0,096 μ		
		ipP	48 01	
	NIE	Δ =40,3°		
		eiP	11 47 57,3	D
		Z: 1,0s; 0,015 μ		
		eisP	48 11	
18.X				
	NIE			
		eiP	12 30 46	
		ei	54	
18.X				
	NIE			
		iP	13 49 51,1	
		Z: 0,9s; 0,011μ		
		ei	50 06	
18.X		Atlantique Nord, USDI: 20,0°N, 62,9°W, H=13h48m38,3s, h normale, mb=4,9 (USDI), mPV=5,3 (Kraków), 4,7 (Niedzica)		
	KRA (SKM)	Δ =70,4°. Traces		
		eiP	13 59 51,2	
		Z: 0,8s; 0,018 μ		
	NIE	Δ =70,8°		
		eP	13 59 54	
		Z: 1,0s; 0,006 μ		
		epP	14 00 06	
18.X				
	NIE			
		eiP	17 42 35	
		Z: 1,0s; 0,007 μ		
19.X		Région des Iles Macquarie, USDI: 54,7°S, 158,5°E, H=00h13m00,5s, h normale; mb=5,8 (USDI)		
	NIE	Δ =153,9°		
		eiPKP	00 32 57,5	
		i	33 10,7	
		Z: 1,1s; 0,014 μ		

Date	Station	Phase	T.U. h m s	
19,X	NIE	iPKP2	00 33 14,4	
		ei	34 12	
19.X		Mer de Norvège, Moskva: 73,6°N, 10,6°E, H=15h46m09s		
	NIE	Δ =24,9°		
		eP	15 51 30	
		i	40	
19.X		Iles Kouriles, USDI: 44,1°N, 149,0°E, H=21h04m07,8s, h=51 km; mb=4,7 (USDI), mPV=5,5 (Kraków), 5,3 (Niedzica)		
	KRA (SKM)	Δ =76,5°		
		iP	21 15 53,2	
		Z: 0,9s; 0,037 μ		
		isP	16 09,1	
	NIE	Δ =76,8°		
		iP	21 15 56,5	
		Z: 1,0s; 0,023 μ		
		eisP	16 13	
19.X		Iles Kouriles, USDI: 44,2°N, 149,0°E, H=23h40m09,3s, h=51 km; mb=5,2 (USDI), mPV=5,8 (Kraków), 5,6 (Książ), 5,4 (Niedzica)		
	KRA (SKM)	Δ =76,4°		
		iP	23 51 53,9	C
		Z: 1,0s; 0,084 μ		
		eiPcP	52 02,0	
		ipP	08,4	
	NIE	Δ =76,7°		
		iP	23 51 57	C
		Z: 1,0s; 0,035 μ		
		ipP	52 11	
		isP	19	
20.X		Iles Kouriles, USDI: 44,1°N, 149,1°E, H=00h24m36,3s, h=49 km; mb=4,7 (USDI), mb=4,7 (USDI), mPV=5,2 (Niedzica)		
	KRA (SKM)	Δ =76,5°. Traces		
		eP	00 36 22	
		eisP	39	
	NIE	Δ =76,8°		
		iP	00 36 24,3	
		Z: 1,0s; 0,020μ		

International Seismological Centre

Date	Station	Phase	T.U. h m s
20.X			
	NIE		
		eiP	05 44 12
		Z: 0,4^s; 0,016 μ	
		ei	39
20.X			
	NIE		
		eiP	09 31 02 C
		Z: 0,6^s; 0,013 μ	
20.X		Région de Sumatra, Moskva: 2,8°N, 94,8°E, H=11^{h}48^{m}04^s; mPV=5,1 (Moskva), 4,7 (Niedzica)	
	NIE	Δ =77,7°	
		eiP	12 00 08
		Z: 1,0^s; 0,006 μ	
		ePcP	20
20.X		Région des Iles Fidji, USDI: 18,3°S, 178,2°W, H=16^{h}11^{m}17,5^s; h=596 km; mb=4,5 (USDI)	
	NIE	Δ =145,8°	
		eiPKP	16 29 51,9
		Z: 0,9^s; 0,013 μ	
20.X			
	NIE		
		eP	17 15 41
		Z: 0,7^s; 0,020 μ	
20.X		Hokkaido, Japon, USDI: 41,7°N, 143,7°E, H=18^{h}07^{m}47,1^s, h=38 km; mb=4,7 (USDI)	
	NIE	Δ =76,7°	
		eP	18 19 35
		epP	46
20.X		Région des Iles Fidji, USDI: 21,7°S, 179,4°W, H=19^{h}53^{m}05,5^s, h=614 km; mb=5,4 (USDI)	
	NIE	Δ =148,4°	
		ePKIKP	20 11 41
		iPKHKP	45,5
		Z: 1,1^s; 0,042 μ	

Date	Station	Phase	T.U. h m s
20.X	NIE	eiPKP$_2$	20 11 55
		eipPKP	14 10
20.X			
	NIE	Traces	
		eiP	23 27 27
		Z: 0,8^s; 0,008 μ	
21.X		Région de l'ile Unimak, USDI: 53,8°N, 163,1°W, H=10^{h}59^{m}53,5^s, h=44 km; mb=4,8 (USDI)	
	NIE	Δ =77,4°	
		eiP	11 11 50
21.X		Région des Iles Fidji, USDI: 22,2°S, 179,6°W, H=11^{h}21^{m}50,8^s, h=607 km; mb=5,0 (USDI)	
	KSP	Δ =148,8°	
		eiPKHKP	11 40 31,5
		epPKP$_2$	42 48
21.X		Région des Iles Fidji, USDI: 24,1°S, 176,5°W, H=14^{h}02^{m}45,2^s, h=85 km; mb=5,1 (USDI)	
	NIE	Δ =151,7°	
		eiPKHKP	14 22 31,8
		Z: 0,9^s; 0,016 μ	
		eiPKP$_2$	42
		eipPKHKP	50
		eipPKP$_2$	23 07
21.X			
	NIE		
		eiP	14 54 17,5
		Z: 0,9^s; 0,010 μ	
		i	31,8
21.X			
	NIE		
		eiP	14 57 48,2 C
		Z: 1,0^s; 0,007 μ	
21.X		Hondo, Japon, USDI: 35,6°N, 140,7°E, H=19^{h}40^{m}18,4^s, h=60 km; mb=4,7 (USDI), mPV=4,8 (Niedzica)	
	NIE	Δ =80,4°	
		eiP	19 52 25
		Z: 1,0^s; 0,008 μ	

Date	Station	Phase	T.U. h m s
21.X (suite)	NIE	epP	19 52 38
		eisP	45
21.X		Région des Iles Fidji, USDI: 23,8°S, 179,7°E, H=21^{h}08^{m}17,8^s, h=558 km; mb=4,3 (USDI)	
	NIE	Δ =149,9°	
		iPKHKP	21 27 06 C
		Z: 1,0^s; 0,020 μ	
22.X		Hondo, Japon, USDI: 32,4°N, 141,7°E, H=03^{h}00^{m}27,3^s, h=40 km; mb=4,4 (USDI), mPV=5,0 (Niedzica)	
	NIE	Δ =83,5°. Traces	
		eP	03 12 53
		Z: 0,8^s; 0,010 μ	
23.X			
	NIE		
		eiP	04 18 31
		Z: 0,8^s; 0,012 μ	
23.X			
	NIE		
		eiP	08 56 28,8
		Z: 0,8^s; 0,010 μ	
23.X		Roumanie, USDI: 45,7°N, 26,5°E, H=10^{h}50^{m}58,6^s, h=174 km; mb=4,9 (USDI)	
	NIE	Δ =5,42°	
		eiP	10 52 22,3 D
		Z: 0,9^s; 0,064 μ	
		i	32
		i	44
		ei	53 26
23.X			
	KRA (SKM)	iP	12 35 47,7
		Z: 0,9^s; 0,037 μ	
23.X			
	NIE	Traces	
		eiP	17 51 13,5
		Z: 0,6^s; 0,015 μ	

Date	Station	Phase	T.U. h m s
23.X			
	NIE	Traces	
		eiP	22 14 44,5 C
		Z: 0,8^s; 0,010 μ	
23.X		Hondo, Japon, USDI: 32,3°N, 141,8°E, H=23^{h}32^{m}31,0^s, h normale; mb=3,6 (USDI)	
	KSP	Δ =84,3°. Traces	
		eP	23 45 00
24.X			
	NIE		
		eP	01 43 28
		Z: 1,0^s; 0,006 μ	
	KSP		
		eP	01 43 43
24.X		Région des Iles Fidji, USDI: 16,8°S, 177,1°W, H=03^{h}08^{m}19,2^s, h normale; mb=5,0 (USDI)	
	NIE	Δ =144,7°	
		ePKP	03 27 52
		eipPKP	28 05
24.X		Mer d'Okhotsk, USDI: 48,3°N, 146,2°E, H=04^{h}27^{m}54,8^s, h=470 km; mb=4,6 (USDI)	
	NIE	Δ =72,3°	
		eiP	04 38 31,4 D
		Z: 0,8^s; 0,012 μ	
24.X		Kamtchatka, USDI: 56,0°N, 162,9°E, H=04^{h}43^{m}26,6^s, h normale; mb=4,7 (USDI), mPV=4,7 (Niedzica)	
	NIE	Δ =70,7°	
		eP	04 54 38
		Z: 1,1^s; 0,006 μ	
		epP	49
		ePcP	55
24.X		Cachemire, USDI: 33,1°N, 75,9°E, H=05^{h}23^{m}50,9^s, h normale; mb=5,4 (USDI), mPV=5,3 (Niedzica) Kraków), 5,2 (Książ)	

International Seismological Centre

Date	Station	Phase	T.U. h m s
24.X (suite)	NIE	Δ =43,8°	
		eiP	05 31 56,4 C
		Z: 1,0s; 0,046 μ	
		ipP	32 04
		eisP	12
	KRA (Ch)	Δ =44,1°	
		iP	05 31 58,3 C
		Z: 1,0s; 0,036 μ	
		eipP	32 06
		isP	12
		eiPP	33 42
24.X			
	NIE		
		eiP	11 05 16
		Z: 0,9s; 0,006 μ	
24.X		Mer d'Okhotsk, USDI: 48,4°N, 146,3°E, H=11h28m30,9s, h= 450 km; mb=4,8 (USDI)	
	NIE	Δ =72,2°. Traces	
		iP	11 39 09
		Z: 1,0s; 0,009 μ	
24.X			
	NIE		
		eiP	19 57 20 C
		Z: 1,0s; 0,010 μ	
		i	34
25.X		Roumanie, USDI: 45,5°N, 26,5°E, H=01h19m16,6s, h= 137 km; mb=3,8 (USDI)	
	NIE	Δ =5,56°	
		eiP	01 20 38,8
		Z: 1,1s; 0,043 μ	
		ei	47
		ei	58
25.X		Mindoro, Philippines, USDI: 13,8°N, 120,2°E, H=06h41m11,3s h=63 km; mb=5,6 (USDI), mPV= 5,8 (Kraków), 5,9 (Niedzica)	
	KRA (Ch)	Δ =86,1°	
		eP	06 53 45 C
		Pm	47
		Z: 1,4s; 0,121 μ	
		eiPoP	49

Date	Station	Phase	T.U. h m s
25.X	NIE	Δ =86,0°	
		eiP	
		Pm	06 53 47 C
		Z: 0,9s; 0,081μ	50,5
		i	53
		eipP	54 06
		isP	12
25.X			
	KRA (SKM)	eiP	13 00 15,2
	NIE		
		e(P)	13 00 18
		ei	23
		i	26
	KSP	Traces	
		ei	13 00 47
25.X		Argentine, USDI: 22,0°S, 63,7°W, H=14h08m59,5s, H= 529 km; mb=6,1 (USDI)	
	KRA (SKM)	Δ =102,5°	
		eiP	14 22 00
		Pm	03
		Z: 1,4s; 0,084 μ	
		ei	23 59
		eiPP	26 17
	(GW)	iSKS	31 49
		i	34 39
	NIE	Δ =102,5°	
		eP	14 22 01 D
		Pm	02,5
		Z: 1,1s; 0,024μ	
		i	24 01
	WAR (SKD)	Δ =104,0°	
		ei	14 28 08
		iSKS	31 58
		eiS	33 10
		i	34 42
25.X			
	NIE	Traces	
		eiP	17 49 37
		Z: 0,8s; 0,010 μ	
25.X			
	KRA (Ch)	eP	22 54 39

Date	Station	Phase	T.U. h m s
25.X	NIE		
		eiP	22 54 49,8 D
		Z: 0,9s; 0,009 μ	
		ei	55 10
26.X		Région du Kamtchatka, USDI: 56,3°N, 162,9°E, H=03h23m 09,2s, h normale; mb=4,4 (USDI), mPV=4,6 (Niedzica)	
	NIE	Δ =70,4°. Traces	
		eP	03 34 20
		Z: 1,0s; 0,005 μ	
26.X		Kazakhstan, URSS, USDI: 49,8°N, 78,2°E, H=04h26m 57,7s, h=0; mb=5,3 (USDI), mPV=5,5 (Kraków, Niedzica, Książ)	
	KRA (Ch)	Δ =36,8°	
		eiP	04 34 08,2
		Z: 0,9s; 0,054 μ	
	NIE	Δ =36,8°	
		eiP	04 34 08,6 C
		Z: 0,9s; 0,054 μ	
		ei	22
		ePP	35 32
26.X		Alaska, USDI: 59,1°N, 135,4°W H=05h40m56,1s, h normale; mb=4,8 (USDI), mPV=5,0 (Niedzica)	
	NIE	Δ =70,3°	
		iP	05 52 06,7 D
		Z: 1,0s; 0,011 μ	
		eipP	15
26.X		Oural, URSS, USDI: 53,7°N, 55,4°E, H=05h59m57,6s, h=0; mb=4,8 (USDI), mPV=4,8 (Kraków), 5,2 (Niedzica)	
	KRA (Ch)	Δ =22,1°	
		eiP	06 04 54,4
		Z: 1,0s; 0,037 μ	
	NIE	Δ =22,2°	
		iP	06 04 55,2 D
		Pm	58,5
		Z: 0,6s; 0,071 μ	

Date	Station	Phase	T.U. h m s
26.X	NIE	i	06 05 14
26.X			
	KRA (SKM)	Traces	
		eP	08 38 26
		Z: 1,0s; 0,018 μ	
26.X		Iles Kouriles, USDI: 45,3°N, 150,0°E, H=10h09m10,9s, h=60 km; mb=4,8 (USDI), mPV= 5,1 (Niedzica)	
	NIE	Δ =76,2°	
		eiP	10 20 53,6
		Z: 0,9s; 0,013 μ	
		eipP	21 11
26.X			
	KRA (SKM)	Traces	
		eiP	12 56 15,2
		Z: 0,7s; 0,020 μ	
26.X		Région des Iles Fidji, USDI: 20,4°S, 177,7°W, H=15h11m 59,1s, h=525 km; mb=4,7 (USDI)	
	NIE	Δ =147,9°	
		eiPKHKP	15 30 46 D
		Z: 1,0s; 0,007 μ	
26.X		Honsiou, Japon, USDI: 29,0°N, 142,4°E, H=18h35m33,4s, h= 43 km; mb=5,1 (USDI), mPV= 4,9 (Niedzica)	
	NIE	Δ =86,6°	
		eP	18 48 15
		Pm	17
		Z: 0,9s; 0,009 μ	
		eipP	26
		isP	36
27.X		Nouvelle Zemble, USDI: 70,8°N, 54,2°E, H=06h59m 57,4s, h=0; mb=6,9 (USDI), mPV=7,7 (Warszawa), MLH= 7,3 (Warszawa)	
	WAR (SKD)	Δ =23,8°	
		iP	07 05 13 C
		Z: 3s; 66 μ	

Date	Station	Phase	T.U. h m s	
27.X (suite)	WAR	ei	07 05 24	
		iS	09 30	
		i	38	
		Lm	15 22	
		Z: 8^s; 130 μ		
		Lm	16 38	
		NE 6^s; 210 μ, 260 μ		
	KRA	Δ =26,4°		
	(GW)	iP	07 05 34	C
		Z: $2,0^s$; 2,4 μ		
	(SKM)	i	43	
		i(S)	10 21	
		Lm	16 13	
		Z: 12^s; 170 μ		
	NIE	Δ =26,8°		
		iP	07 05 38,8	C
27.X				
	NIE			
		eiP	07 38 21,5	D
		Z: $1,0^s$; 0,014 μ		
		ei	39 21	
	KRA (SKM)	eiP	07 38 24,2	
		Z: $1,0^s$; 0,024 μ		
27.X		Nouvelle Zemble, USDI: 71,3°N, 51,9°E, H=$09^h13^m51,3^s$, h=0; mb=4,8 (USDI), mPV=4,4 (Niedzica)		
	NIE	Δ =26,6°		
		eP	09 19 29	
		Z: $0,9^s$; 0,008 μ		
27.X				
	NIE	Traces		
		eiP	14 19 44,5	
		Z: $0,9^s$; 0,009 μ		
27.X		Mer d'Arabie, USDI: 14,4°N, 53,3°E, H=$15^h41^m48,8^s$, h normale; mb=4,7 (USDI)		
	KSP	Δ =47,0°		
		eP	15 50 20	
27.X		Région des Iles Fidji, USDI: 25,7°S, 179,6°E, H=$16^h42^m22,8^s$, h=497 km; mb=4,9 (USDI)		

Date	Station	Phase	T.U. h m s	
27.X	KSP	Δ =151,8°		
		iPKHKP	17 01 21,5	
		Z: 1^s; 0,03 μ		
28.X		Tchécoslovaquie, USDI: 48,4°N, 17,1°E, H=03^h $15,4^s$, h=2 km; Mlg=3,4 (Srobarova)		
	NIE	Δ =2,25°		
		ePg	03 56 57	
		i	57 00,5	
		eiSg	26,1	
		i	36,5	
	KSP	Δ =2,49°		
		iPg	03 57 00,0	
		i	05,0	
		iSg	36,0	
		F	04 01	
	KRA (SKM)	Δ =2,32°		
		ePg	03 57 01	
		ei	10,0	
		ei	43,0	
28.X		Région de l'Islandie, USDI: 66,6°N, 19,9°W, H=10^h01^m $54,1^s$; h normale; mb=4,5 (USDI)		
	KSP	Δ =24,0°		
		eP	10 07 05	
28.X		Région de l'Islandie, USDI: 66,7°N, 19,7°W, H=10^h42^m $50,6^s$, h normale; mb=4,4 (USDI)		
	KSP	Δ =24,0°		
		eP	10 48 00	
28.X		Région de l'Islandie, USDI: 66,8°N, 19,7°W, H=10^h53^m $21,3^s$, h normale; mb=4,7 (USDI)		
	KSP	Δ =24,0°		
		eP	10 58 32	
28.X		Région de l'Islandie, USDI: 67,0°N, 19,3°W, H=11^h11^m $02,5^s$, h normale; mb=4,7 (USDI), mPV=4,8 (Kraków)		

Date	Station	Phase	T.U. h m s	
28.X (suite)	KRA (SKM)	Δ =26,2°. Traces		
		eP	11 17 32	
		Z: $1,4^s$; 0,032 μ		
	NIE	Δ =26,8°. Traces		
		eP	11 17 38	
28.X		Région de l'Islandie, USDI: 66,9°N, 19,2°W, H=11^h31^m $44,1^s$, h normale; mb=5,0 (USDI), mPV=5,1 (Kraków)		
	KRA (SKM)	Δ =26,1°		
		eP	11 37 14	
		Pm	17	
		Z: $1,5^s$; 0,074 μ		
	NIE	Δ =26,8°		
		eP	11 37 20	
		eisP	35	
28.X		Région de l'Islandie, USDI: 66,8°N, 19,3°W, H=11^h47^m $37,6^s$, h normale; mb=4,7 (USDI)		
	KSP	Δ =23,9°		
		eiP	11 52 47,0	
28.X		Région de l'Islandie, USDI: 66,9°N, 19,5°W, H=14^h25^m $54,2^s$, h normale; mb=4,5 (USDI), mPV=4,4 (Niedzica)		
	NIE	Δ =26,9°. Traces		
		eP	14 31 32	
		Z: $0,9^s$; 0,008 μ		
28.X		Philippines, USDI: 9,1°N, 123,9°E, H=$14^h52^m04,1^s$, h=554 km; mb=5,1 (USDI)		
	NIE	Δ =91,9°		
		eiP	15 04 14,5	
	KRA (Ch)	Δ =92,0°		
		eP	15 04 15	
		Z: $1,0^s$; 0,028 μ		
28.X		Japon, USDI: 35,6°N, 140,7°E H=$22^h22^m12,9^s$, h=57 km; mb=4,9 (USDI), mPV=5,3 (Kraków)		
	KRA (Ch)	Δ =80,1°		
		eP	22 34 18	
		Z: $1,0^s$; 0,028 μ		

Date	Station	Phase	T.U. h m s	
28.X	NIE	Δ =80,4°		
		eiP	22 34 19,5	C
		Z: $1,0^s$; 0,009 μ		
		eipP	34	
		eisP	37	
29.X		Nouvelle Guinée, USDI: 3,0°S, 139,3°E, H=05^h27^m $25,5^s$, h=36 km; mb=5,7 (USDI)		
	NIE	Δ =110,9°. Traces		
		eiPP	05 46 33	
29.X		Iles Kouriles, USDI: 44,1°N, 149,7°E, H=$14^h45^m11,3^s$, h=52 km; mb=4,8 (USDI). mPV=5,4 (Kraków), 5,0 (Niedzica)		
	KRA (SKM)	Δ =76,5°. Traces		
		eP	14 56 56	
		Z: $1,0^s$; 0,030 μ		
	NIE	Δ =76,9°		
		iP	14 56 58,7	C
		Z: $1,0^s$; 0,013 μ		
		eiPcP	57 13	
29.X		Philippines, USDI: 19,2°N, 121,1°E, H=$15^h53^m07,9^s$, h=50 km; mb=4,7 (USDI), mPV=4,9 (Niedzica)		
	NIE	Δ =82,5°		
		eiP	16 05 26,8	
		Z: $0,09^s$; 0,009 μ		
		epP	39	
29.X	NIE	Traces		
		eP	19 33 55	
	KRA (SKM)	Traces		
		eiP	19 33 59,8	
29.X	NIE			
		eP	21 05 08	
		i	24,8	
30.X		Italie, USDI: 41,7°N, 13,9°E, H=$01^h14^m06,0^s$, h normale; mb=4,4 (USDI)		

International Seismological Centre

Date	Station	Phase	T.U. h m s	
30.X (suite)	NIE	Δ =8,7°		
		e1P	01 16 18	C
		Z: 1,0s; 0,009 μ		
		1Sg	18 50,3	
30.X		Birmanie, USDI: 20,9°N, 93,2°E, H=02h45m00,6s, h= 32 km; mb=4,9 (USDI)		
	KSP	Δ =65,9°		
		eP	02 55 45	
30.X		Région du Spitzberg, USDI: 81,5°N, 5,1°W, H=03h02m05,4s h normale; mb=4,6 (USDI)		
	KRA (SKM)	Δ =32,8°		
		e1P	03 08 34,9	
		ipP	42,4	
	NIE	Δ =33,5°		
		eP	03 08 40	C
		eisP	53	
30.X		Iles Kermadec, USDI: 29,2°S, 177,5°W, H=04h32m12,6s, h= 63 km; mb=4,8 (USDI)		
	KSP	Δ =156,0°		
		e PKIKP	04 52 00,0	
30,X		Iran, USDI: 36,9°N, 50,7°E, H=15h59m30,0s, h=45 km; mb= 3,7 (USDI), mPV=4,5 (Niedzica)		

Date	Station	Phase	T.U. h m s	
30.X	NIE	Δ =25,2°		
		eP	16 04 54	
		Z: 1s; 0,012 μ		
		ipP	05 06	
30.X				
	KRA (SKM)	Traces		
		e1P	19 35 32,7	
		Z: 0,7s; 0,020 μ		
31.X				
	KRA (SKM)	Traces		
		e1P	09 24 42,0	
		Z: 0,7s; 0,020 μ		
		ei	56	
31.X		Hokkaido, Japon, USDI: 42,8°N, 145,3°E, H=23h07m 01,6s, h=54 km; mb=5,1 (USDI), mPV=5,8 (Kraków), 5,4 (Niedzica), 5,2 (Kat		
	KRA (SKM)	Δ =76,1°		
		e1P	23 18 43,9	
		Z: 0,9s; 0,079 μ		
		eisP	19 02	
	NIE	Δ =76,5°		
		1P	23 18 46	
		Z: 1,0s; 0,032 μ		
		1PcP	58	

1973 NOVEMBRE 1973

Date	Station	Phase	T.U. h m s	
1.XI		Sud des Iles Fidji, USDI: 23,8°S, 179,9°W, H=05h15m 06,6s, h=538 km; mb=4,8 (USDI)		
	NIE	Δ=150,1°. Traces		
		e1PKHKP	05 33 58	
		Z: 1,0s; 0,007 μ		
1.XI		Sud des Iles Fidji, USDI: 24,2°S, 176,4°W, H=06h38m 54,1s, h=35 km; mb=5,7 (USDI		
	KRA (Ch)	Δ=151,4°		
		ePKIKP	06 58 39	
		e1(PKHKP)	45	
		Z: 1,1s; 0,146 μ		
1.XI	KRA (SKD)	e	06 59 02	
		eLZ	07 54,8	
	NIE	Δ=151,8°		
		ePKIKP	06 58 41	
		Z: 1,6s; 0,060 μ		
		i(PKHKP)	47,5	
		Z: 0,9s; 0,112 μ		
		e1PKP2	52	
1.XI		Yougoslavie, BCIS: 45,5°N, 16,4°E, H=11h22m36s; M=3,6 (Zagreb)		
	NIE	Δ=4,5°		
		ePg	11 24 07	
		e1Sg	25 02	

Date	Station	Phase	T.U. h m s	
2.XI		Iran, USDI: 32,7°N, 48,2°E, H=05h46m37,6s, h=55 km; mb= 4,9 (USDI)		
	NIE	Δ=26,5°		
		e1P	05 52 16,5	D
		Z: 0,9s; 0,015μ		
		i	26,7	
		ipP	34	
	KRA (Ch) (SKD)	Δ=27,0°		
		eP	05 52 17	
		i	57 22	
		i	06 03 18	
		Lm	06 04	
		Z: 20s; 35 μ		
	WAR (SKD)	Δ=27,6°		
		e1P	05 52 30	
		e1S	57 18	
		ei	06 00 18	
2.XI		Iran, USDI: 32,6°N, 48,2°E, H=05h57m33,0s, h=59 km; mb= 4,9 (USDI), mPV=5,0 (Niedzica)		
	NIE	Δ=26,6°		
		e1P	06 03 12	D
		Pm	14	
		Z: 0,9s; 0,030 μ		
		ipP	27,3	
	KRA (Ch)	Δ=27,0°		
		eP	06 03 13	
2.XI		Union Soviétiques, Moskva: 54,0°N, 125,5°E, H=07h31m 30s; mPV=5,4 (Obninsk), 5,0 (Niedzica)		
	KRA (SKM) (SKD)	Δ=59,2°		
		eP	07 41 31	
		Lm	08 08,9	
		Z: 20s; 6,2 μ		
	NIE	Δ=59,5°		
		e1P	07 41 34,5	
		Z: 0,8s; 0,010 μ		
2.XI		Région frontière Inde-Pakistan, USDI: 25,7°N, 91,6°E,		

Date	Station	Phase	T.U. h m s	
2.XI		H=12h09m55,2s		
	NIE	Δ=58,9°		
		eP	12 19 56	
3.XI		Kamtchatka, USDI: 54,6°N, 161,4°E, H=00h19m51,5s, h= 61 km; mb=5,3 (USDI), mPV= 5,1 (Niedzica)		
	KRA (SKM)	Δ=71,1°. Traces		
		e1P	00 31 04,1	D
		epP	20	
	NIE	Δ=71,6°		
		eP	00 31 07	D
		Z: 0,9s; 0,014 μ		
		epP	26	
3.XI		Colombie, USDI: 7,3°N, 74,3°W, H=01h46m05,3s, h=18 km; mb= 5,0 (USDI)		
	NIE	Δ=87,5°		
		eP	01 58 55	
3.XI		Mer d'Arabie, USDI: 9,9°N, 57,9°E, H=08h29m35,3s, h normale; mb=5,1 (USDI)		
	NIE	Δ=50,1°		
		eP	08 38 31	
		eipP	40,5	
		esP	47	
		ei	39 21,5	
	KRA (SKM)	Δ=50,7°. Traces		
		eP	08 38 34	
		ipP	43,6	
	(SKD)	eL	56,0	
3.XI		Argentine, USDI: 26,1°S, 67,8°W, H=14h17m41,8s, h= 36 km; mb=5,9 (USDI)		
	KRA (SKD)	Δ=108,1°		
		ePdif	14 32 00	
		e1PP	36 30	
		e1PS	46 01	
		eL	56,2	
		Lm	15 22,5	
		Z: 20s; 4,5 μ		

International Seismological Centre

Date	Station	Phase	T.U. h m s
3.XI (suite)	WAR (SKD)	Δ=109,6°	
		eiP(PKP)	14 36 34
		eiPS	46 02
	(GW)	eiPKKP	47 14
		eL	56,0
3.XI			
	NIE		
		eiP	17 05 19
		Z: 1,0s; 0,012 μ	
		i	35,5
	KRA (SKM)	Traces	
		eP	17 05 59,2
		ei	06 03
4.XI		Ile Sakhaline, USDI: 53,9°N, 141,4°E, H=13h01m45,2s, h normale; mb=5,1 (USDI), mPV=5,0 (Niedzica)	
	KRA (Ch)	Δ=65,6°. Traces	
		eP	13 12 25
	NIE	Δ=66,0°	
		iP	13 12 29,5 D
		Z: 0,9s; 0,011 μ	
4.XI		Grèce, USDI: 38,9°N, 20,4°E, H=15h52m11,7s, h=8 km; mb=5,8 (USDI); MLH=5,7 (Kraków)	
	NIE	Δ=10,2°	
		eiP	15 54 46 C
		Pm	48,2
		Z: 1,1s; 0,347 μ	
		i	55
		i	55 19
		Lm	59 45
		Z: 11,0s; 86 μ	
	KRA (Ch)	Δ=10,9°	
		iP	15 54 54,5 C
		Z: 1,4s; 0,161 μ	
	(GW)	i	57 24
		Lm	16 00,1
		NEZ: 10s; 34 μ, 31 μ, 13 μ	
	WAR (SKD)	Δ=13,3°	
		eiP	15 55 23
		eiS	58 01

Date	Station	Phase	T.U. h m s
4.XI	WAR	Lm	16 00 12
		E: 16s; 126 μ	
		Lm	01 32
		NZ: 10s; 12s; 87 μ, 66 μ	
4.XI		Région frontière Grèce - Albanie, USDI: 39,1°N, 20,[illegible] H=16h11m36,0s, h=6 km; [illegible] (USDI)	
	NIE	Δ=10,0°	
		eiP	16 14 11
		Z: 0,9s; 0,029 μ	
4.XI		Kamtchatka, USDI: 52,5°N, 160,8°E, H=19h58m59,0s, h [illegible] male; mb=4,8 (USDI)	
	NIE	Δ=73,3°	
		eP	20 10 28
		epP	40
5.XI		Mexique, USDI: 18,7°N, 100,[illegible] H=02h16m08,5s, h=88 km; mb= 5,1 (USDI)	
	KRA (SKM)	Δ=94,0°. Traces	
		eP	02 29 17
		eipP	40
	NIE	Δ=94,5°	
		eP	02 29 20
5.XI		Italie, USDI: 41,7°N, 13,[illegible]h H=08h40m46,7s, h normale; mb=4,0 (USDI)	
	KRA (SKM)	Δ=9,1°	
		eiSn	08 44 36,8
	(SKD)	eL	46,9
5.XI		Sud des Iles Fidji, USDI: 24,3°S, 179,2°E, H=11h19m 59,3s, h=580 km; mb=5,5 (USDI)	
	NIE	Δ=150,2° Traces	
		eiPKIKP	11 38 47,4
		Z: 1,0s; 0,012 μ	
		ePKP2	55
5.XI		Hokkaido, Japon, USDI: 42,6°N, 146,4°E, H=20h00m[illegible]	

Date	Station	Phase	T.U. h m s
5.XI (suite)		h=63 km; mb=4,8 (USDI), mPV=5,4 (Kraków)	
	KRA (Ch)	Δ=76,7°	
		eiP	20 12 28,3 D
		Z: 0,8s; 0,026 μ	
		ePoP	38
	NIE	Δ=77,1°	
		iP	20 12 30,7 D
		eiPoP	40
		Z: 0,8s; 0,018 μ	
5.XI		Turquie, USDI: 37,9°N, 42,8°E H=20h11m57,8s, h=47 km; mb=4,7 (USDI), mPV=4,5 (Niedzica)	
	NIE	Δ=19,7°	
		eP	20 16 27
		Pm	32,5
		Z: 0,9s; 0,029 μ	
		i	34,7
		eisP	41
	KRA (Ch)	Δ=20,2°	
		eP	20 16 33
		eiPP	41
6.XI		Hondo, Japon, USDI: 33,1°N, 140,7°E, H=23h49m11,5s, h=67 km; mb=4,9 (USDI)	
	NIE	Δ=82,4°. Traces	
		eP	00 01 28
		ePcP	34
		epP	45
6.XI		Sud des Iles Fidji, USDI: 23,8°S, 179,1°E, H=05h19m18,3s h=546 km; mb=5,5 (USDI)	
	NIE	Δ=149,7°	
		eiPKIKP	05 38 02 C
		PKIKPm	04
		Z: 0,8s; 0,008 μ	
		i(PKHKP)	07,9
		PKHKPm	09
		Z: 0,9s; 0,111 μ	
		i	18,5
	KRA (Ch)	Δ=149,4°	
		iPKHKP	05 38 06,3 C
		Z: 1,0s; 0,189 μ	

Date	Station	Phase	T.U. h m s
6.XI		Sud des Iles Fidji, USDI: 23,9°S, 179,0°E, H=06h04m 10,2s, h=594 km; mb=4,8 (USDI)	
	NIE	Δ=149,7°	
		eiPKHKP	06 22 55,9
		Z: 0,9s; 0,019	
6.XI		Iles Andreanov, Aléoutiennes, USDI: 51,6°N, 175,4°W, H=09h 36m05,0s, h=34 km; mb=5,8 (USDI)	
	KRA (SKM)	Δ=78,1°	
		eP	09 48 00
	(SKD)	iSKS	58 06
	NIE	Δ=78,7°	
		eP	09 48 03
		eiPcP	10
6.XI		Iles Andreanov, Aléoutiennes, USDI: 51,6°N, 175,2°W, H=18h 26m35,1s, h=41 km; mb=5,9 (USDI), mPV=5,6 (Książ)	
	KRA (SKM)	Δ=78,1°	
		eP	18 38 29
		esP	47
	(SKD)	eiPS	48 56
		eL	19 03 08
		Lm	13 22
		Z: 20s; 36 μ	
	NIE	Δ=78,7°	
		eP	18 38 33
6.XI			
	NIE		
		eiP	23 23 02 C
7.XI		Iles Tonga, USDI: 15,3°S, 173,5°W, H=05h28m35,1s, h normale; mb=4,8 (USDI)	
	NIE	Δ=144,4°	
		eiPKP	05 48 08
		Pm	09,8
		Z: 0,9s; 0,025 μ	
7.XI		Italie, USDI: 44,0°N, 11,2°E, H=17h06m15,5s, h normale; mb=4,2 (USDI)	

International Seismological Centre

International Seismological Centre

Date	Station	Phase	T.U. h m s
7.XI (suite)	KSP	Δ=7,7°. Traces	
		eiP	17 08 07
7.XI		Sud des Iles Fidji, USDI: 22,3°S, 176,8°W, H=20h58m 09,5s, h=192 km; mb=4,9 (USDI)	
	KSP	Δ=149,7°	
		iPKHKP	21 17 38 C
		Z: 1,0s; 0,04 μ	
8.XI		Iles Kouriles, USDI: 50,1°N, 156,3°E, H=08h59m10,0s, h normale; mb=6,0 (USDI), MLH=6,6 (Kraków), mPV=6,2 (Kraków), 6,0 (Książ)	
	WAR (SKD)	Δ=71,2°	
		iP	09 10 26
		eiPcP	46
		eiPP	13 10
		eiS	19 38
		eL	34,5
		Lm	44 38
		NEZ: 18s;20s;16s; 36 μ, 20 μ, 56 μ	
	KRA (SKM)	Δ=73,7°	
		eiP	09 10 40
		Pm	43,5
		Z: 0,8s; 0,156 μ	
	(GW)	eL	41,4
		Lm	46,6
		NEZ: 19s; 26,8 μ, 15,6 μ, 9,6 μ	
8.XI		Iran, USDI: 32,4°N, 48,1°E, H=13h00m52,8s, h=46 km; mb=42 km	
	KRA (SKM)	Δ=27,2°	
		eP	13 06 36
8.XI		Mexique, USDI: 18,1°N, 99,7°W, H=13h18m12,0s, h=71 km; mb=5,3 (USDI)	
	KRA (SKM)	Δ=94,0°	
		eiP	13 31 23,9 C
		Z: 0,7s; 0,037 μ	
		epP	40

Date	Station	Phase	T.U. h m s
9.XI		Région des Iles Samoa, 16,1°S, 172,6°W, H=08h[illegible] 25,0s, h normale; mb=5,1 (USDI)	
	KRA (SKM)	Δ=144,9°	
		iPKP	08 27 59,2
		Z: 0,6s; 0,035 μ	
		e	28 05
9.XI		Région du Spitzberg, USDI: 86,1°N, 32,7°E, H=13h42m 43,7s, h normale; mb=5,1 (USDI), mPV=6,0 (Kraków)	
	KRA (SKM)	Δ=36,6°	
		eP	13 49 44
		Pm	46,9
		Z: 1,0s; 0,126 μ	
		i	50 06,2
9.XI		Aléoutiennes, USDI: 52,4°N, 178,4°E, H=14h13m03,5s, h=182 km; mb=5,6 (USDI)	
	KSP	Δ=76,0°	
		eiP	14 24 30
9.XI		Iran, USDI: 27,7°N, 55,5°E, H=18h50m50,4s, h=39 km; mb=4,5 (USDI)	
	KSP	Δ=37,5°. Traces	
		eP	18 58 04
9.XI		Région des Iles Nicobar, USDI: 6,0°N, 94,0°E, H=23h 26m39,0s, h normale; mb=5,1 (USDI)	
	KRA (Ch)	Δ=75,2°. Traces	
		iP	23 38 20,2
		esP	35
10.XI		Adriatique, USDI: 44,0°N, 13,2°E, H=03h01m11,6s, h normale; mb=4,4 (USDI)	
	KSP	Δ=7,2°	
		eP	03 02 56
11.XI		Iles Kouriles, USDI: 50,0°N, 156,4°E, H=02h43m06,2s, h=51 km; mb=6,0 (USDI),	

Date	Station	Phase	T.U. h m s
		mPV=6,2 (Kraków), 5,6 (Niedzica)	
11.XI (suite)	KRA (SKM)	Δ=73,8°	
		iP	02 54 35,4 D
		Pm	37,1
		Z: 1,4s; 0,294 μ	
		i	45,9
		eisP	55 02
	(SKD)	iPPS	03 05 01
		eL	19,3
		Lm	20,6
		Z: 20s; 21 μ	
	NIE	Δ=74,3°	
		eP	02 54 37
		Pm	39,5
		Z: 1,0s; 0,048 μ	
		iPcP	49,8
11.XI		Iran, USDI: 30,6°N, 52,9°E, H=07h14m51,5s, h=11 km; mb=5,5 (USDI)	
	NIE	Δ=30,8°	
		eP	07 21 11
		ei	28
		iPP	22 01
	KRA (SKM)	Δ=31,3°	
		eP	07 21 14
		Pm	16,3
		Z: 1,1s; 0,103 μ	
		ei	27
		eiL	32,0
		Lm	37,1
		Z: 20s; 6,6 μ	
11.XI		Région des Iles Fidji, USDI: 18,1°S, 178,4°W, H=10h02m56,7s h=583 km; mb=4,6 (USDI)	
	NIE	Δ=145,5°	
		eiPKP	10 21 31,2
		Z: 1,1s; 0,016 μ	
11.XII		Sud des Iles Fidji, USDI: 22,1°S, 179,5°W, H=16h54m 11,6s, h=568 km; mb=5,1 (USDI)	
	NIE	Δ=148,7°	
		eiPKHKP	17 12 56
		Z: 1,0s; 0,029 μ	

Date	Station	Phase	T.U. h m s
11.XI		Région des Iles Fidji, USDI: 19,9°S, 176,5°W, H=21h55m 13,1s, h=274 km; mb=5,4 (USDI)	
	KRA (SKM)	Δ=147,7°	
		eiPKIKP	22 14 22,8 C
		Z: 1,0s; 0,036 μ	
		i	25,7
		i	35,1
		ei	53
		epPKP	15 39
	NIE	Δ=147,8°	
		ePKIKP	22 14 24
		iPKHKP	27,3
		PKHKPm	29,5
		Z: 1,0s; 0,105 μ	
11.XI			
	KRA (SKM)	eP	22 17 41
		Pm	42,1
		Z: 1,2s; 0,055 μ	
12.XI		Iles du Dodécanèse, USDI: 35,5°N, 27,7°E, H=00h07m 13,3s, h=69 km; mb=4,7 (USDI)	
	NIE	Δ=14,7°	
		eP	00 10 48
	KRA (SKM)	Δ=15,4°	
		eP	00 10 55
12.XI		Iles du Dodécanèse, USDI: 35,6°N, 27,7°E, H=00h11m 52,2s, h normale; mb=5,1 (USDI), MLH=5,3 (Kraków)	
	NIE	Δ=14,7°	
		eP	00 15 27 C
	KRA (SKM)	Δ=15,4°	
		eP	00 15 32
		i	41,1
		i	49,1
	(GW)	i	20 35
		Lm	22 39
		NEZ: 13s; 8,1 μ, 12,2 μ 2.3 μ	

International Seismological Centre

Date	Station	Phase	T.U. h m s
12.XI (suite)	WAR (SKD)	Δ=17,3°	
		eP	00 15 46
		eiS	19 17
		Lm	24 32
		NEZ: 12s;12s;15s; 30 μ	
			26 μ, 15 μ
12.XI		Iles Salomon, USDI: 6,2°S, 154,5°E, H=03h53m44,0s, h= 50 km; mb=5,6 (USDI)	
	NIE	Δ=122,4°	
		iPKIKP	04 12 37
	KRA (SKD)	Δ=122,3°	
		eL	04 50,9
		Lm	05 12,1
		Z: 20s; 4,5 μ	
12.XI		Iles du Dodécanèse, USDI: 35,3°N, 27,3°E, H=07h54m 07,5s, h normale; mb=4,1 (USDI)	
	NIE	Δ=14,8°	
		eP	07 57 49
		Z: 0,7s; 0,009 μ	
12.XI			
	NIE		
		eiP	12 58 24
		Z: 0,9s; 0,034 μ	
		i	31,5
		i	41
		i	51
	KRA (Ch)	iP	12 58 29,7
		Z: 0,8s; 0,035 μ	
13.XI		Hondo, Japon, USDI: 38,6°N, 142,1°E, H=01h12m11,5s, h= 78 km; mb=5,5 (USDI)	
	KRA (Ch)	Δ=78,3°	
		eiP	01 24 05 D
		Z: 1,2s; 0,075 μ	
	NIE	Δ=78,6°	
		iP	01 24 06,5
		Z: 1,0s; 0,020 μ	
		eiPcP	15

Date	Station	Phase	T.U. h m s
13.XI	NIE	eipP	
		isP	01 24 23
			30
13.XI		Mer d'Okhotsk, Moskva: 49,6°N, 151,5°E, H=02h(illegible) 14s, h=330 km; mPV=5,5 (Moskva)	
	NIE	Δ=73,0°	
		eiP	02 58 09
		Z: 0,9s; 0,022 μ	
13.XI		Région des Iles Fidji, 18,3°S, 178,1°W, H=16h(illegible) 58,9s, h=571 km; mb=5,6 (USDI)	
	NIE	Δ=145,8°	
		iPKP	16 29 33,9
		PKPm	36
		Z: 1,2s; 0,217 μ	
		i	30 18
	KRA (Ch)	Δ=145,4°	
		eiPKP	16 29 34
		Z: 1,4s; 0,331 μ	
		ei	30 16
13.XI			
	NIE		
		eiP	17 22 38
		Z: 0,6s; 0,015 μ	
13.XI		Turquie, USDI: 37,8°N, 42,4°E, H=21h10m50,0s, h= 36 km; mb=3,9 (USDI)	
	NIE	Δ=19,5°	
		iP	21 15 25
		Z: 1,0s; 0,007 μ	
		eiPP	37
13.XI		Iran, USDI: 32,6°N, 48,3°E, H=22h19m24,7s, h=48 km; mb= 4,8 (USDI), mPV=4,8 (Niedzica)	
	NIE	Δ=26,6°	
		eP	22 25 05
		Pm	07,5
		Z: 1,0s; 0,019 μ	

Date	Station	Phase	T.U. h m s
13.XI (suite)	KRA (SKM)	Δ=27,2°	
		iP	22 25 09,3
13.XI		Région des Iles Fidji, USDI: 17,7°S, 178,7°W, H=22h31m26,3s h=554 km; mb=5,1 (USDI)	
	KRA (SKM)	Δ=144,6°. Traces	
		iPKP	22 50 01,3 D
		Z: 0,5s; 0,045 μ	
	NIE	Δ=145,1°	
		iPKP	22 50 03,3 C
		Z: 0,5s; 0,202 μ	
13.XI		Iran, USDI: 32,7°N, 48,3°E, H=22h52m15,1s, h=59 km; mb= 4,9 (USDI), mPV=4,8 (Niedzica)	
	NIE	Δ=26,6°	
		eP	22 57 54
		Pm	56,5
		Z: 1,0s; 0,018 μ	
		i	58 09
	KRA (SKM)	Δ=27,2°	
		eP	22 57 55
14.XI		Spitzberg, Moskva: 78,0°N, 18,2°E, H=03h56m18s; mPV=4,9 (Moskva)	
	NIE	Δ=29,0°. Traces	
		eP	04 02 13
15.XI		Région de l'Ile Ascension, USDI: 1,4°S, 15,9°W, H=06h05m 57,4s, h normale; mb=5,2 (USDI)	
	KRA (Ch) (SKD)	Δ=59,5°	
		eP	06 16 00
		eL	34,5
15.XI		Région des Iles Nicobar, USDI: 9,9°N, 93,8°E, H=08h20m 09,3s, h normale; mb=5,2 (USDI), mPV=5,9 (Kraków)	
	KRA (SKM)	Δ=72,1°	
		iP	08 31 31,7
		Z: 0,6s; 0,054 μ	
		eipP	44

Date	Station	Phase	T.U. h m s
15.XI		Région de l'Ile Ascension, USDI: 1,4°S, 15,8°W, H=15h 06m35,5s, h normale; mb= 5,5 (USDI)	
	NIE	Δ=59,2°	
		eiP	15 16 37
		eipP	50
	KRA (SKM) (SKD)	Δ=59,5°	
		eP	15 16 36
		ePPP	20 21
		eL	36,0
15.XI		Pakistan, USDI: 29,3°N, 69,8°E, H=17h10m22,2s, h normale; mb=5,1 (USDI), mPV=4,7 (Niedzica)	
	NIE	Δ=42,3°	
		eiP	17 18 16
		Z: 1,0s; 0,009 μ	
16.XI		Région des Iles Fidji, USDI: 18,1°S, 178,4°W, H=18h03m55,4s, h=608 km; mb=4,7 (USDI)	
	NIE	Δ=145,5°	
		eiPKP	18 22 29
		Z: 0,8s; 0,023 μ	
		ei	34
16.XI		Iles Tonga, USDI: 20,6°S, 174,3°W, H=19h31m16,1s, h normale; mb=4,7 (USDI)	
	NIE	Δ=149,2°	
		ePKIKP	19 51 03
16.XI		Au Sud de l'Australie, USDI: 51,2°S, 139,5°E, H=23h08m49,0s, h normale; mb=5,4 (USDI)	
	KSP	Δ=145,0°	
		iPKP	23 28 25,0
17.XI		Iles Kouriles, USDI: 43,2°N, 147,3°E, H=00h26m27,3s, h normale; mb=5,0 (USDI), mPV=5,5 (Kraków), 5,0 (Niedzica)	

Date	Station	Phase	T.U. h m s
17.XI (suite)	KRA (SKM)	Δ=76,6°	
		eP	00 38 17
		Pm	19,0
		Z: 1,1s; 0,048 μ	
	NIE	Δ=76,9°	
		eiP	00 38 18
		Pm	20,5
		Z: 1,0s; 0,015 μ	
		eiPcP	28
17.XI		Océan Indien, USDI: 1,6°S, 69,8°E, H=10h51m21,8s, h normale; mb=5,5 (USDI), mPV=5,1 (Niedzica)	
	NIE	Δ=66,1°	
		eP	11 02 06
		Pm	09,3
		Z: 1,2s; 0,020 μ	
		ei	13
		ipP	19,2
	KRA (Ch)	Δ=66,6°	
		eP	11 02 12
17.XI			
	NIE		
		iP	13 47 33,2
		Z: 1,0s; 0,014 μ	
18.XI			
	NIE		
		iP	01 38 14
		Z: 0,9s; 0,009 μ	
18.XI		Lucon, Philippines, USDI: 15,9°N, 119,2°E, H=08h38m 26,5s, h normale; mb=4,9 (USDI), mPV=5,2 (USDI)	
	NIE	Δ=83,8°	
		iP	08 50 56
		Z: 0,7s; 0,013 μ	
		epP	51 08
18.XI		Iles Kouriles, USDI: 44,5°N, 148,8°E, H=12h07m35,8s, h= 50 km; mb=5,1 (USDI), mPV= 5,8 (Kraków), 5,5 (Niedzica) 5,2 (Książ)	

Date	Station	Phase	T.U. h m s
18.XI	KRA (SKM)	Δ=76,1°	
		eiP	
		Z: 0,7s; 0,062 μ	12 19 19,0
	NIE	Δ=76,4°	
		eiP	
		Z: 0,9s; 0,037 μ	12 19 22
		epP	33
18.XI			
	NIE		
		eiP	15 36 03
		Z: 0,9s; 0,015 μ	
18.XI		Kiou-Siou, Japon, USDI: 31,9°N, 129,2°E, H=15h[illegible] 03,3s, h=45 km; mb=4,6 (USDI), mPV=4,7 (Niedzica)	
	NIE	Δ=77,5°	
		eiP	16 04 53
		Z: 0,9s; 0,006 μ	
		epP	05 05
19.XI		Sud des Iles Fidji, USDI: 25,5°S, 176,2°W, H=02h[illegible] 16,4s, h=77 km; mb=4,8 (USDI)	
	KRA (SKM)	Δ=152,7°. Traces	
		eiPKIKP	02 48 06
	NIE	Δ=153,1°	
		ePKIKP	02 48 07
		Z: 1,0s; 0,007 μ	
19.XI		Iles du Dodécanèse, USDI: 35,4°N, 27,6°E, H=07h[illegible] 57,6s, h normale; mb=4,7 (USDI)	
	NIE	Δ=14,7°	
		eiP	07 32 36
		Z: 0,7s; 0,015 μ	
	KRA (SKM)	Δ=15,4°	
		eP	07 32 42
19.XI		Hondo, Japon, USDI: 38,9°N, 141,9°E, H=13h01m56,1s, h= 56 km; mb=6,1 (USDI), mPV= 6,6 (Kraków), 6,2 (Niedzica)	

Date	Station	Phase	T.U. h m s
		MLH=6.8 (Kraków)	
19.XI (suite)	KRA (SKM)	Δ=78,0°	
		iP	13 13 48,6
		Pm	50,1
		Z: 1,2s; 0,633 μ	
		eipP	14 03
		isP	22,1
	(GW)	eiSKS	23 57
		Lm	51,3
		NEZ: 17s; 35,0 μ, 30,6 μ 11,1 μ	
	NIE	Δ=78,3°	
		iP	13 13 50,5
		Pm	53
		Z: 1,0s; 0,008 μ	
		ipP	14 07
19.XI		Hondo, Japon, USDI: 38,9°N, 141,9°E, H=21h11m17,1s, h= 60 km; mb=5,1 (USDI), mPV= 5,3 (Niedzica), 5,0 (Książ)	
	NIE	Δ=78,0°	
		iP	21 23 12
		Z: 0,9s; 0,025 μ	
20.XI		Mer Egée, USDI: 39,4°N, 24,0°E, H=13h02m36,8s, h normale; mb=4,8 (USDI)	
	NIE	Δ=10,1°	
		eiP	13 05 07,5
	KRA (SKM)	Δ=10,8°	
		eP	13 05 17
20.XI		Kamtchatka, USDI: 52,5°N, 160,9°E, H=16h57m38,6s, h normale; mb=5,0 (USDI), mPV=4,9 (Niedzica)	
	KRA (SKM)	Δ=72,8°	
		eP	17 09 03
		eipP	14
	NIE	Δ=73,3°	
		eP	17 09 07
		Z: 0,9s; 0,009 μ	
		ipP	18
		ePcP	24

Date	Station	Phase	T.U. h m s
20.XI		Sumatra, USDI: 1,3°S, 100,6°E, H=19h10m45,6s, h normale; mb=5,0 (USDI), mPV=4,7 (Niedzica)	
	NIE	Δ=84,6°	
		eP	19 23 19
		Z: 0,9s; 0,006 μ	
		eiPcP	23
21.XI			
	NIE		
		eiP	09 13 36,5 D
21.XI		Mindoro, Philippines, USDI: 13,5°N, 121,0°E, H=12h05m 46,3s, h=39 km; mb=5,1 (USDI)	
	NIE	Δ=86,7°. Traces	
		eP	12 18 28
		eiPcP	32
21.XI		Mexique, USDI: 14,5°N, 92,7°W, H=13h31m32,1s, h=59 km; mb= 5,3 (USDI)	
	NIE	Δ=93,5°	
		eiP	13 44 45,5
		Z: 0,9s; 0,006 μ	
		epP	45 01
		esP	13
21.XI		Région des Iles Fidji, USDI: 20,1°S, 178,4°W, H=15h01m 52,6s, h=617 km; mb=5,1 (USDI)	
	KRA (Ch)	Δ=147,0°	
		ePKIKP	15 20 25
		ePKHKP	27
		Z: 0,8s; 0,104 μ	
		eiPKP$_2$	31
	NIE	Δ=147,4°	
		ePKIKP	15 20 25,5
		eiPKHKP	28,6
		PKHKPm	30
		Z: 0,9s; 0,052 μ	
		iPKP$_2$	33,5
21.XI		Tibet, USDI: 34,7°N, 81,0°E, H=19h47m56,3s, h=26 km;	

International Seismological Centre

Date	Station	Phase	T.U. h m s
21.XI (suite)		mb=5,0 (USDI), mPV=5,0 (Niedzica), 5,4 (Kraków)	
	NIE	Δ=46,2°	
		eP	19 56 22
		Pm	25,1
		Z: 1,1s; 0,009 μ	
		esP	36
	KRA (SKM)	Δ=46,4°	
		e1P	19 56 25,5 D
		Z: 0,6s; 0,027 μ	
21.XI		Iles Kouriles, USDI: 46,1°N, 151,4°E, H=21h05m20,4s, h=84 km; mb=5,6 (USDI)	
	KRA (SKM)	Δ=75,6°	
		e1P	21 16 56,5 C
		Z: 1,6s; 0,514 μ	
		epP	17 19
	NIE	Δ=76,0°	
		1P	21 16 59,2 C
23.XI		Açores, USDI: 38,5°N, 28,3°W, H=13h36m19,3s, h=5 km; mb=5,0 (USDI)	
	KRA (SKM)	Δ=35,8°	
		e1P	13 43 22 C
23.XI		Iles Tonga, USDI: 16,6°S, 174,6°W, H=19h56m08,5s, h=150 km; mb=4,5 (USDI)	
	NIE	Δ=145,3°	
		1PKP	20 15 30,5
24.XI		Chine, USDI: 38,9°N, 77,6°E, H=23h58m18,7s, h normale; mb=4,5 (USDI)	
	NIE	Δ=41,5°	
		eP	00 06 20
24.XI		Iles Tonga, USDI: 18,2°S, 173,4°W, H=10h44m13,8s, h=42 km; mb=4,6 (USDI)	
	NIE	Δ=147,2°	
		e1PKP2	11 03 54,4
		Z: 0,9s; 0,010 μ	

Date	Station	Phase	T.U. h m s
24.XI			
	NIE		
		eP	11 30 49
		Pm	52,1
		Z: 0,4s; 0,024 μ	
24.XI			
	NIE		
		iP	11 59 09
		Z: 0,9s; 0,015 μ	
24.XI		Algérie, USDI: 36,1°N, 4,4°E, H=14h05m46,4s, h=17 km; mb=5,1 (USDI)	
	NIE	Δ=17,5°	
		eP	14 09 54
		Pm	56,5
		Z: 1,7s; 0,087 μ	
	KRA (SKM)	Δ=17,7°	
		e1P	14 09 57,7
		i	10 02,3
		iPP	10,7
	(GW)	e1(S)	13 28
	WAR (SKD)	Δ=20,0°	
		e1PP	14 10 45
		e1S	14 13
		Lm	19 28
		NE: 12s; 15 μ, 12 μ	
24.XI		Algérie, USDI: 36,1°N, 4,4°E, H=15h22m09,8s, h normale; mb=5,1 (USDI), MLH=5,2 (Kraków)	
	NIE	Δ=17,5°	
		eP	15 26 16
	KRA (SKM)	Δ=17,7°	
		eP	15 26 19
	(GW)	1S	29 39
		Lm	33,6
		NE: 14s; 7,7 μ, 6,1 μ	
	WAR (SKD)	Δ=20,0°	
		e1P	15 26 57
		e1S	30 29
		Lm	35 33
		NE: 12s; 16s; 23 μ, 16 μ	

Date	Station	Phase	T.U. h m s
25.XI		Algérie, USDI: 36,2°N, 4,5°E, H=04h20m22,5s, h normale; mb=4,9 (USDI)	
	NIE	Δ=17,4°	
		eP	04 24 29
		ipP	45,9
	KRA (Ch)	Δ=17,6°	
		eP	04 24 31
25.XI		Région de Hondo, Japon, USDI 33,8°N, 135,5°E, H=04h24m47,3s h=51 km; mb=5,7 (USDI), mPV=4,9 (Niedzica)	
	NIE	Δ=79,3°	
		eP	04 36 50
		ipP	37 04,4
25.XI		Hondo, Japon, USDI: 33,8°N, 135,4°E, H=09h19m14,6s, h=56 km; mb=5,7 (USDI), mPV=5,4 (Niedzica), 5,7 (Kraków)	
	NIE	Δ=79,3°	
		eP	09 31 14,5 D
		Pm	17
		Z: 0,9s; 0,029 μ	
25.XI		Iles Tonga, USDI: 21,5°S, 174,2°W, H=11h45m49,8s, h normale; mb=4,9 (USDI)	
	NIE	Δ=150,1°	
		e1PKIKP	12 05 39,5
		Z: 0,9s; 0,010 μ	
		iPKP2	45,8
25.XI			
	KRA (SKD)	eP	17 34 00
		eL	18 11,4
		Lm	16,4
		Z: 18s; 2,6 μ	
26.XI		Hokkaido, Japon, USDI: 41,6°N, 142,0°E, H=15h37m48,1s, h=73 km; mb=4,6 (USDI)	
	NIE	Δ=76,1°. Traces	
		eP	15 49 29
		Z: 0,9s; 0,006 μ	

Date	Station	Phase	T.U. h m s
26.XI	NIE	epP	15 49 45
		eisP	54
27.XI		Pakistan, USDI: 31,7°N, 72,0°E, H=00h47m34,6s, h=26 km; mb=4,6 (USDI)	
	NIE	Δ=42,1°. Traces	
		eP	00 55 28
27.XI		Iles Kouriles, USDI: 43,0°N, 146,3°E, H=06h19m27,7s, h=57 km; mb=4,7 (USDI), mPV=4,9 (Niedzica)	
	NIE	Δ=76,7°	
		eP	06 31 15
		Z: 0,8s; 0,008 μ	
		e1PcP	25
		eisP	30
27.XI		Tibet, USDI: 33,0°N, 86,7°E, H=09h31m10,8s, h normale; mb=5,0 (USDI), mPV=4,8 (USDI)	
	NIE	Δ=50,9°	
		eP	09 40 10,5 C
		Pm	13,7
		Z: 1,3s; 0,013 μ	
27.XI		Kamtchatka, USDI: 53,6°N, 160,5°E, H=13h52m29,6s, h=60 km; mb=5,9 (USDI), mPV=6,2 (Kraków), 6,0 (Niedzica)	
	KRA (SKM)	Δ=71,7°	
		eiP	14 03 45,7 C
		Z: 1,1s; 0,240 μ	
	(SKD)	eL	31,7
	NIE	Δ=72,2°	
		eiP	14 03 48,2 C
		Pm	51,2
		Z: 0,9s; 0,132 μ	
		iPoP	04 08,7
28.XI		Région des Iles Fidji, USDI: 20,6°S, 177,8°W, H=00h50m49,5s, h=443 km; mb=4,8 (USDI)	

International Seismological Centre

International Seismological Centre

Date	Station	Phase	T.U. h m s
28.XI (suite)	NIE	Δ=148,0°	
		ePKIKP	01 09 46
		Z: 1,0s; 0,006 μ	
28.XI		Iles Kouriles, USDI: 43,3°N, 147,5°E, H=05h40m41,6s, h= 63 km; mb=4,5 (USDI), mPV= 5,1 (Niedzica)	
	NIE	Δ=76,9°	
		eP	05 52 29
		Pm	31,1
		Z: 1,0s; 0,014 μ	
		eipP	47,5
28.XI		Sumatra, USDI: 2,9°N, 96,4°E H=07h05m39,0s, h normale; mb=5,2 (USDI), mPV=4,8 (Niedzica)	
	NIE	Δ=78,7°	
		eiP	07 17 40,2
		Z: 1,1s; 0,009 μ	
		esP	54
		i	18 11,5
	KRA (SKM)	Δ=79,0°. Traces	
		eP	07 17 42
28.XI		Océan Indien, USDI: 41,9°S, 42,8°E, H=08h12m31,4s, h normale; mb=5,7 (USDI)	
	NIE	Δ=92,8°	
		eiP	08 25 52,8
		eipP	26 05,6
	KRA (SKD)	Δ=93,5°	
		eP	08 25 54
		eL	51,4
	WAR (SKD)	Δ=95,6°	
		eiS	08 37 05
		eiPPS	39 23
		eiSSP	43 58
		eL	53,0
		Lm	09 02 01
		Z: 32s; 5 μ	
28.XI		Chine, USDI: 37,9°N, 81,5°E, H=15h55m20,8s, h normale;	

Date	Station	Phase	T.U. h m s
28.XI		mb=4,8 (USDI), mPV=5,2 (Niedzica)	
	NIE	Δ=44,6°	
		eiP	16 03 32,7
		Z: 0,8s; 0,023 μ	
29.XI		Crête, USDI: 35,2°N, 23,5°E, H=10h57m42,7s, h=26 km; mb= 5,7 (USDI)	
	NIE	Δ=14,2°	
		eiP	11 01 07
		Pm	12,5
		Z: 1,0s; 0,048 μ	
		iPP	20,8
		Lm	08 22,5
		Z: 13,8s; 42,5 μ	
	KRA (SKM)	Δ=14,8°	
		eiP	11 01 15,4
		i	22,6
	(GW)	i	04 24
		Lm	08 43
		NZ: 9,0s; 17,8 μ, 5,2 μ	
	WAR (SKD)	Δ=17,1°	
		eiP	11 01 47
		eiS	04 19
		ei	06 31
		i	08 11
		Lm	11 24
		NEZ: 12s; 10s; 16s; 43 μ, 90 μ, 30 μ	
29.XI		Hokkaido, Japon, USDI: 42,9°N, 145,4°E, H=17h19m 34,4s, h=56 km; mb=4,8 (USDI)	
	KRA (SKM)	Δ=76,1°	
		iP	17 31 17,9
		eipP	34,9
		eisP	42,6
29.XI		Mer d'Okhotsk, USDI: 53,3°N, 153,4°E, H=17h59m21,3s, h= 491 km; mb=5,2 (USDI)	
	KRA (SKM)	Δ=70,0°	
		eiP	18 09 42,6 D
		Z: 0,9s; 0,105 μ	
		epP	11 27

Date	Station	Phase	T.U. h m s
29.XI (suite)	NIE	Δ=70,5°	
		iP	18 09 46 D
		Pm	47,5
		Z: 1,0s; 0,035 μ	
30.XI		Nouvelles Hébrides, USDI: 15,2°S, 167,4°E, H=08h09m55,4s h=124 km; mb=6,0 (USDI)	
	WAR (SKD)	Δ=134,4°	
		iPKIKP	08 28 58
		eipPKIKP	29 35
		eiPP	31 37
		iPKS	32 36
		ei	39 23
		ei	41 15
	KRA (SKM)	Δ=136,5°	
		ePKIKP	08 28 54
		iPKIKP	29 06,8
		PKIKPm	08,2
		Z: 1,3s; 0,290 μ	

Date	Station	Phase	T.U. h m s
30.XI	KRA (GW)	iPP	08 31 48
		iPKS	32 41
		i	41 46
	(SKD)	iSS	49 45
	NIE	Δ=136,8°	
		ePKIKP	08 28 57,5
		iPKIKP	29 08
		PKIKPm	10
		Z: 1,3s; 0,199 μ	
30.XI		Hondo, Japon, USDI: 34,7°N, 138,6°E, H=17h01m27,7s, h= 223 km	
	NIE	Δ=80,1°	
		iP	17 13 06,5 D
		Z: 1,0s; 0,019 μ	

1973 — D É C E M B R E — 1973

Date	Station	Phase	T.U. h m s
1.XII		Hokkaido, Japon, USDI: 42,0°N, 141,9°E, H=06h09m 39,8s, h=65 km; mb=4,4 (USDI) mPV=5,1 (Niedzica)	
	NIE	Δ=75,9°	
		eiP	06 21 22
		Z: 0,7s; 0,013 μ	
		esP	43
1.XII		Iles Kouriles, USDI: 43,0°N, 146,1°E, H=10h38m51,0s, h= 36 km; mb=5,4 (USDI), mPV= 6,3 (Kraków), 5,6 (Książ), 5,9 (Niedzica)	
	KRA (SKM)	Δ=76,3°	
		iP	10 50 37,4 C
		Z: 1,0s; 0,288 μ	
		i	44
		ipP	46,9
	(SKD)	eS	11 00 20
		eL	17,2
		Lm	27,0
		Z: 20s; 5,8 μ	

Date	Station	Phase	T.U. h m s
1.XII	NIE	Δ=76,6°	
		eiP	10 50 39,2 C
		Z: 0,9s; 0,096 μ	
		ipP	50
		i	51 14
1.XII		Région du Chili, USDI: 35,6°S, 74,5°W, H=17h00m56,2s, h=35 km, mb=5,8 (USDI)	
	KRA (SKM)	Δ=118,8°	
		ePKP	17 19 42
	(SKD)	ePP	21 04
		eL	18 00,7
		Lm	17,6
		Z: 20s; 3,8 μ	
	NIE	Δ=118,8°	
		eiPKP	17 19 42,6
		Z: 1,0s; 0,012 μ	
1.XII		Iles Kouriles, USDI: 43,1°N, 146,9°E, H=23h16m54,8s, h=31 km; mb=5,3 (USDI), mPV= 5,6 (Kraków), 5,0 (Niedzica), 5,2 (Książ)	

International Seismological Centre

Date	Station	Phase	T.U. h m s	
1.XII (suite)	KRA (Ch)	Δ=76,5°		
		eiP	23 28 42,3	C
		Z: 1,6s; 0,092 μ		
		ipP	52,5	
		i	30 00	
		max	06	
		Z: 1,4s; 0,359 μ		
		i	26	
	NIE	Δ=76,9°		
		eiP	23 28 44,6	C
		Z: 1,1s; 0,015 μ		
		eipP	56	
		i	29 24	
1.XII		Iles Kouriles, USDI: 43,2°N, 146,9°E, H=23h18m03,9s, h=40 km; mb=5,8 (USDI), mPV=5,8 (Niedzica, Książ)		
	WAR (SKD)	Δ=73,7°		
		iP	23 29 38	D
		eiPcP	51	
		eiS	39 07	
		eL	45,0	
		Lm	00 02 31	
		EZ: 24s; 16 μ, 15 μ		
		Lm	07 19	
		EZ: 16s; 25 μ, 23 μ		
	NIE	Δ=76,9°		
		iP	23 29 52,5	
		Z: 1,1s; 0,091 μ		
		i	56	
		isP	30 09	
2.XII		Iles Kouriles, USDI: 43,2°N, 146,6°E, H=00h45m37,1s, h normale; mb=4,6 (USDI), mPV=4,6 (Niedzica)		
	NIE	Δ=76,7°		
		eP	00 57 28	
		Z: 1,1s; 0,006 μ		
		ipP	38	
2.XII		Iles Kouriles, USDI: 43,9°N, 147,6°E, H=10h17m12,7s, h normale; mb=4,7 (USDI)		

Date	Station	Phase	T.U. h m s	
2.XII	KRA (SKM)	Δ=76,1°. Traces		
		eP	10 28 51	
	NIE	Δ=76,7°		
		eP		
		eipP	10 29 00	
			12	
2.XII				
	NIE			
		eiP	12 26 37	
		Z: 0,6s; 0,013 μ		
2.XII		Sud des Iles Fidji, USDI: 24,4°S, 179,9°W, H=13h..26,3s, h=464 km; mb=5,6 (USDI)		
	KRA (SKM)	Δ=150,3°		
		iPKHKP	13 22 23,5	
		Z: 0,6s; 0,070 μ		
		iPKP2	32,1	
	NIE	Δ=150,6°		
		eiPKHKP	13 22 24	
		PKHKPm	25,5	
		Z: 1,0s; 0,034 μ		
		iPKP2	34,3	
2.XII		Aléoutiennes, USDI: 52,1°N, 168,7°W, H=22h09m54,5s, h=40 km; mb=5,6 (USDI), mPV=6,0 (Kraków), 5,8 (Książ), 5,6 (Niedzica)		
	KRA (SKM)	Δ=78,0°		
		iP	22 21 49,7	
		Z: 1,1s; 0,137 μ		
		isP	22 08	
		i	33	
	NIE	Δ=78,6°		
		eiP	22 21 52,7	
		Pm	54,4	
		Z: 1,0s; 0,047 μ		
		eipP	22 06	
		eisP	11	
2.XII		Iles Salomon, USDI: 6,9°S, 155,8°E, H=23h12m26,6s, h=70 km; mb=4,8 (USDI)		

Date	Station	Phase	T.U. h m s	
2.XII (suite)	NIE	Δ=123,7°. Traces		
		ePKP	23 31 18	
3.XII.		Iles Riou Kiou, USDI: 27,5°N 129,3°E, H=11h57m01,7s, h=65 km; mb=4,8 (USDI)		
	KRA (SKM)	Δ=80,9°. Traces		
		eP	12 09 10	
		eiPcP	16	
	NIE	Δ=81,0°. Traces		
		eP	12 09 12	
3.XII		Iles Tonga, USDI: 17,1°S, 174,1°W, H=21h27m40,8s, h=115 km; mb=4,7 (USDI)		
	KRA (SKM)	Δ=145,4°. Traces		
		eiPKP	21 47 06,4	D
		Z: 1,2s; 0,079 μ		
	NIE	Δ=146,0°		
		ePKP	21 47 08	D
		Z: 1,3s; 0,015 μ		
4.XII		Iles Kouriles, USDI: 43,2°N, 146,9°E, H=01h26m03,2s, h normale; mb=5,1 (USDI), mPV=5,6 (Kraków), 5,2 (Niedzica)		
	KRA (SKM)	Δ=76,4°		
		eiP	01 37 50,6	C
		Z: 0,6s; 0,035 μ		
		eipP	38 02	
	NIE	Δ=76,8°		
		iP	01 37 53,9	D
		Z: 0,9s; 0,017 μ		
		ipP	38 04	
4.XII		Birma, USDI: 22,6°N, 94,1°E, H=12h48m50,1s, h=63 km; mb=4,6 (USDI), mPV=5,2 (Niedzica)		
	NIE	Δ=62,8°		
		eiP	12 59 11,2	C
		Z: 0,8s; 0,018 μ		
		eipP	22	
		eisP	34	

Date	Station	Phase	T.U. h m s	
4.XII		Nouvelles Hébrides, USDI: 16,5°S, 167,1°E, H=15h30m39,0s, h=9 km; mb=5,3 (USDI)		
	KRA (SKM)	Δ=137,5°. Traces		
		eiPKIKP	15 50 07,5	
		ei	22	
	(SKD)	Lm	16 50 25	
		Z: 24s; 5,7 μ		
5.XII		Crête, USDI: 35,4°N, 26,4°E, H=03h50m51,4s, h=80 km; mb=5,1 (USDI)		
	NIE	Δ=14,5°		
		eP	03 54 18	
		Z: 1,1s; 0,008 μ		
		i	22	
		i	35,5	
	KRA (Ch)	Δ=15,1°		
		eP	03 54 25	D
		i	28	
5.XII				
	NIE			
		eP	15 18 28	
5.XII		Rift médiane de l'Atlantique, USDI: 52,5°N, 31,6°W, H=17h57m11,3s, h normale; mb=4,8 (USDI), mPV=5,2 (Kraków, Niedzica)		
	KRA (SKM)	Δ=31,9°. Traces		
		iP	18 03 34,1	D
		Z:-0,9s; 0,032 μ		
		epP	45	
	NIE	Δ=32,4°		
		eP	18 03 39	D
		Z: 1,0s; 0,011 μ		
5.XII				
	NIE			
		iP	19 23 36,1	
		Z: 0,5s; 0,017 μ		
6.XII		Mer d'Arabie, USDI: 14,3°N, 53,6°E, H=07h53m44,5s,		

International Seismological Centre

Date	Station	Phase	T.U. h m s	
6.XII (suite)	KSP	h normale; mb=4,7 (USDI) Δ=47,3°		
		eP	08 02 17	
6.XII				
	NIE	Traces		
		iP	12 48 30,3	
		Z: 0,4s; 0,013 μ		
		i	54,5	
6.XII		Dodécanèse, USDI: 35,2°N, 27,7°E, H=19h51m55,5s, h=39 km; mb=4,3 (USDI)		
	NIE	Δ=15,0°		
		iPP	19 55 40	
		i	56 07	
7.XII				
	NIE			
		eiP	17 10 42	C
		Z: 0,9s; 0,010 μ		
		i	57,5	
7.XII		Hondo, Japon, USDI: 39,3°N, 141,9°E, H=21h07m21,9s, h=62 km; mb=4,8 (USDI), mPV=5,6 (Kraków)		
	KRA (SKM)	Δ=77,6°. Traces		
		eiP	21 19 12,7	
		Z; 0,7s; 0,029 μ		
7.XII				
	KSP			
		iP	23 45 38,3	C
		Z: 1,2s; 0,02 μ		
	NIE			
		iP	23 45 40	
		Z: 1,0s; 0,017 μ		
8.XII		Philippines, USDI: 50,1°N, 127,6°E, H=04h47m59,5s, h=121 km; mb=5,0 (USDI)		
	KSP	Δ=99,3°		
		eP	05 01 25	
8.XII		Sumatra, USDI: 0,2°S, 98,4°E, H=06h10m03,5s, h normale;		

Date	Station	Phase	T.U. h m s	
8.XII		mb=5,7 (USDI), mPV=5,0 (Niedzica), 5,6 (Kraków)		
	NIE	Δ=82,4°		
		eiP	06 22 24,8	
		Z: 1,0s; 0,013 μ		
		i	32	
		isP	30,1	
	KRA (Ch)	Δ=82,7°		
		eP	06 22 25	
		Z: 1,1s; 0,065 μ		
		ei	33	
	(SKD)	eS	45	
8.XII				
	NIE			
		eiP	12 00 19	
		Z: 0,7s; 0,011		
		i	25	
		i	34	
8.XII		Iles Talaud, USDI: 3,6°N, 127,1°E, H=12h19m43,6s, h=38 km; mb=5,3 (USDI), mPV=5,3 (Niedzica)		
	KRA (Ch)	Δ=98,2°. Traces		
		eP	13 03 18	
	NIE	Δ=98,2°		
		eP	13 03 19	
		Z: 1,0s; 0,009 μ		
		esP	41	
8.XII		Dodécanèse, USDI: 35,2°N, 27,8°E, H=21h02m41,4s, h normale; mb=3,7 (USDI)		
	KRA (SKM)	Δ=15,6°. Traces		
		eP	22 06 21	
		eipP	22	
9.XII		Cachemire, USDI: 33,9°N 73,3°E, H=02h36m52,2s, h normale; mb=5,0 (USDI) mPV=5,4 (Niedzica), 5,3 (Kraków)		
	NIE	Δ=40,4°		
		iP	02 44 30,7	
		Z: 0,9s; 0,044 μ		
		eipP	38	
		esP	44	

Date	Station	Phase	T.U. h m s	
9.XII (suite)	KRA (SKM)	Δ=40,7°		
		eiP	02 44 31,1	C
		Z: 0,8s; 0,101 μ		
9.XII		Nouvelles Hébrides, USDI: 19,9°S, 169,8°E, H=19h55m 45,6s, h=39 km; mb=6,2 (USDI)		
	WAR (SKD)	Δ=139,7°		
		eiPKIKP	20 15 11	
		eipPKP	21	
		eiPP	18 09	
		eiPKS	53	
		ei	27 47	
		Lm	21 08 00	
		EZ: 32s; 24 μ, 20 μ		
		Lm	12 35	
		EZ: 28s; 22 μ		
	KRA (SKM)	Δ=141,7°		
		ePKHKP	20 15 14	
		iPKIKP	22,4	
	(GW)	ePP	18 16	
		eL	21 14,5	
		Lm	15,0	
		NEZ: 22s; 11,4 μ, 6,5 μ, 5,2 μ		
	NIE	Δ=141,9°		
		ePKHKP	20 15 15	C
		Z: 1,1s; 0,013 μ		
		iPKIKP	20,5	
		ipPKP	31,6	
9.XII		Nouvelles Hébrides, USDI: 19,8°S, 169,9°E, H=20h57m 57,8s, h=34 km; mb=5,9 (USDI)		
	NIE	Δ=141,9°		
		ePKHKP	21 17 24	
		ePKIKP	30	
10.XII		Grèce, USDI: 38,9°N, 21,0°E, H=02h00m38,5s, h normale; mb=3,8 (USDI)		
	NIE	Δ=10,3°		
		eP	02 03 14	

Date	Station	Phase	T.U. h m s	
10.XII		Hondo, Japon, USDI: 30,7°N, 141,7°E, H=08h06m08,0s, h=18 km; mb=4,8 (USDI), mPV=4,9 (Niedzica)		
	NIE	Δ=84,9°		
		eP	08 18 44	
		Z: 0,9s; 0,008 μ		
10.XII		Hondo, Japon, USDI: 30,7°N, 141,7°E, H=15h57m42,7s, h=19 km; mb=5,0 (USDI)		
	KSP	Δ=85,6°		
		eP	16 10 20	
10.XII		Equateur, USDI: 1,4°S, 77,7°W, H=19h28m13,2s, h=181 km; mb=5,3 (USDI)		
	KRA (SKM)	Δ=96,0°		
		eiP	19 41 22,4	D
		Z: 1,2s; 0,047 μ		
		epP	42 08	
	NIE	Δ=96,3°		
		eiP	19 41 24,6	D
		Z: 1,0s; 0,010 μ		
10.XII		Iran, USDI: 28,0°N, 57,0°E, H=21h06m47,6s, h=14 km; mb=4,6 (USDI), mPV=5,4 (USDI)		
	NIE	Δ=35,1°		
		eP	21 13 45	
		ei	58	
	KRA (SKM)	Δ=35,6°		
		eiP	21 13 47,6	
		Z: 0,9s; 0,047 μ		
		isP	56	
11.XII		Acores, USDI: 38,7°N, 28,7°W, H=00h10m09,2s, h normale; mb=5,0 (USDI)		
	KSP	Δ=33,7°		
		eP	00 16 46	
11.XII		Crête, USDI: 35,0°N, 23,3°E, H=03h49m00,1s, h=37 km; mb=4,2 (USDI)		

Date	Station	Phase	T.U. h m s
11.XII (suite)	NIE	Δ=14,3°	
		ePP	03 52 31
12.XII		Autriche, USDI: 47,2°N, 14,1°E, H=00h02m38,1s, h= 5 km; mb=4,1 (USDI)	
	NIE	Δ=4,60°	
		eiPn	00 03 52,2
		Z: 0,6s; 0,019 μ	
		eiPg	04 03
		i	19,9
		ei(S*)	05 03
		i	34,5
	KRA (Ch)	Δ=4,67°	
		ePg	00 04 06
		eiSn	48
		eiS*	05 01
		eiSg	18
13.XII		Pyrénées, USDI: 43,2°N, 0,4°W, H=08h08m39,2s, h= 5 km; mb=4,4 (USDI)	
	KRA (SKM)	Δ=15,5°	
		eL	08 17,0
13.XII		Iles Tonga, USDI: 15,2°S, 173,8°W, H=19h53m30,1s, h=32 km; mb=5,4 (USDI)	
	NIE	Δ=144,2°	
		iP	20 13 03 D
		Z: 1,1s; 0,017 μ	
		ei	08
13.XII			
	NIE		
		eiP	21 47 48,5
		Z: 0,9s; 0,016 μ	
14.XII		Aléoutiennes, USDI: 51,3°N, 178,3°W, H=03h44m43,7s, h= 54 km; mb=5,2 (USDI)	
	NIE	Δ=78,7°. Traces	
		eP	03 56 40
		eisP	57 01
14.XII		Sud des Iles Fidji, USDI: 24,5°S, 176,1°W, H=05h59m07,9s	

Date	Station	Phase	T.U. h m s
14.XII	NIE	h normale; mb=5,1 (USDI) Δ=152,2°	
		eiPKHKP	06 19 02,3
		Z: 1,0s; 0,014 μ	
		iPKP2	10,5
14.XII		Kazakstan, URSS, USDI: 50,0°N, 79,0°E, H=07h49m h=0; mb=6,0 (USDI), mPV= (Kraków), 5,6 (Książ)	
	KRA (SKM)	Δ=37,2°	
		iP	07 54 10,4
		Z: 0,9s; 0,210 μ	
		ei	15
		ei	55 26
14.XII		Mer Caspienne, USDI: 41,6° 49,0°E, H=09h11m46,3s, h= 79 km; mb=5,1 (USDI)	
	KRA (SKM)	Δ=21,6°	
		eiP	09 16 33,1
		Z: 0,8s; 0,041 μ	
		eiPP	54
		esS	20 36
14.XII		Aléoutiennes, USDI: 51,4° 177,9°W, H=17h37m35,4s, h= 53 km; mb=5,8 (USDI), mPV= 5,8 (Kraków), 5,3 (Niedzica Książ)	
	KRA (SKM)	Δ=78,0°	
		eiP	17 49 28,2
		Pm	29,8
		Z: 1,4s; 0,126 μ	
		i	50 10,2
		ei(PP)	52 26
	NIE	Δ=78,6°	
		eiP	17 49 31,5
		Pm	33,4
		Z: 1,1s; 0,024 μ	
		ipP	44,5
		isP	51,4
14.XII		Iles Riou Kiou, USDI: 28,6° 129,8°E, H=18h28m20,7s, h= 208 km; mb=4,9 (USDI)	

Date	Station	Phase	T.U. h m s
14.XII (suite)	NIE	Δ=80,4°	
		eP	18 40 11,5
14.XII		Hokkaido, USDI: 41,1°N, 145,6°E, H=21h35m50,5s, h= 48 km; mb=4,6 (USDI)	
	KSP	Δ=78,3°	
		eP	21 47 47
15.XII		Océan Indien, USDI: 5,4°S, 68,6°E, H=04h10m24,2s, h normale; mb=5,1 (USDI)	
	KSP	Δ=71,7°	
		eP	04 21 43
15.XII		Ile Kodiak, USDI: 58,4°N, 153,1°W, H=04h25m07,0s, h=52 km; mb=4,8 (USDI)	
	KSP	Δ=70,8°	
		eiP	04 36 19,0
		eiPcP	39
15.XII	NIE		
		eiP	10 08 39,2
		Z: 0,9s; 0,016 μ	
15.XII		Sud des Iles Fidji, USDI: 21,6°S, 175,2°E, H=10h54m 52,1s; h=567 km; mb=5,3 (USDI)	
	NIE	Δ=146,0°	
		ePKIKP	11 13 28
		eiPKHKP	29
		Z: 0,8s; 0,102 μ	
		i	52,6
	KRA (SKM)	Δ=145,7°	
		eiPKHKP	11 13 28 D
		Z: 0,8s; 0,041 μ	
15.XII		Iles Kouriles, USDI: 45,6°N, 151,1°E, H=18h07m01,6s, h=1; mb=4,4 (USDI), mPV=5,1 (Niedzica)	
	NIE	Δ=76,3°	
		eiP	18 18 54,3
		Z: 0,9s; 0,013 μ	

Date	Station	Phase	T.U. h m s
15.XII	NIE		
		eP	18 49 42
		Z: 0,9s; 0,017 μ	
	KSP		
		iP	18 49 42,0
		Z: 1s; 0,02 μ	
15.XII		Nouvelles Hébrides, USDI: 16,8°S, 168,1°E, H=22h57m 02,9s, h=7 km; mb=5,6 (USDI)	
	NIE	Δ=138,5°. Traces	
		ePKHKP	23 16 21
		ePKIKP	33
15.XII		Union Soviétiques, USDI: 74,3°N, 147,1°E, H=23h31m 44,3s, h normale; mb=5,0 (USDI), mPV=5,8 (Kraków), 5,2 (Niedzica), 5,4 (Książ)	
	KRA (SKM)	Δ=51,2°	
		eiP	23 40 45 C
		Z: 1,4s; 0,137 μ	
		i	50
	NIE	Δ=51,8°	
		eiP	23 40 49,9 C
		Z: 1,0s; 0,017 μ	
		i	54,5
16.XII		Iran, USDI: 28,5°N, 52,6°E, H=08h25m00,4s, h normale; mb=4,9 (USDI), mPV=5,1 (Kraków)	
	NIE	Δ=32,2°	
		eP	08 31 30
		esP	45
	KRA (SKM)	Δ=32,7°. Traces	
		eP	08 31 33
		Pm	35,3
		Z: 0,9s; 0,026 μ	
16.XII		Région frontière Cachemire-Inde, USDI: 32,3°N, 76,0°E, H=09h16m14,1s, h normale; mb=4,9 (USDI), mPV=5,1 (Niedzica)	

International Seismological Centre

Date	Station	Phase	T.U. h m s	
16.XII (suite)	NIE	Δ=44,4°		
		iP	09 24 23	D
		Z: 1,0s; 0,025 μ		
		epP	34	
		esP	40	
16.XII		Cachemire, USDI: 34,2°N, 74,1°E, H=19h09m47,7s, h= 47 km; mb=5,2 (USDI), mPV= 5,1 (Niedzica), 5,2 (Kraków)		
	NIE	Δ=42,0°		
		iP	19 37 37	D
		Z: 1,0s; 0,025 μ		
	KRA (SKM)	Δ=42,2°		
		eiP	19 17 37,4	D
		Z: 0,9s; 0,032 μ		
17.XII		Région des Iles Loyauté, USDI: 22,4°S, 171,0°E, H= 19h11m59,0s, h=115 km		
	KSP	Δ=145,4°		
		ePKP	19 31 23	
17.XII		Iles Kouriles, USDI: 48,1°N, 154,5°E, H=21h54m02,5s, h normale; mb=5,6 (USDI), mPV=5,9 (Kraków), 5,7 (Książ)		
	KRA (SKM)	Δ=74,9°		
		eiP	22 05 39,4	C
		Z: 0,9s; 0,095 μ		
		i	42,4	
	(SKD)	Lm	40	
		Z: 30s; 2,7 μ		
	NIE	Δ=75,3°		
		eP	22 05 43	C
		i	06 41,0	
18.XII				
	KRA (SKM)	iP	13 08 42,2	
		Z: 0,6s; 0,031 μ		
19.XII		Région de l'île Sumba, USDI: 9,4°S, 119,5°E, H=04h43m 01,5s, h=58 km; mb=6,0 (USDI)		
	NIE	Δ=103,0°		
		eP	04 56 56	D

Date	Station	Phase	T.U. h m s	
19.XII	KRA (SKM) (SKD)	Δ=103,3°		
		eP		
		ePPP	04 56 57	
		ei	05 03 34	
		eL	10 32	
			36,5	
	WAR (SKD)	Δ=102,5°		
		eiPS		
		Lm	05 10 11	
			48 00	
		EZ: 32s;24s; 7,3μ,4,		
19.XII		Région des Iles Fidji, USDI: 20,6°S, 176,5°W, H=12h[illegible] 57,1s, h=246 km; mb=5,1 (USDI)		
	WAR (SKD)	Δ=145,7°		
		iPKP	13 15 09	
		eipPKP	57	
		eiPKS	18 23	
		ei	24 52	
	KRA (SKM)	Δ=148,1°		
		ePKIKP	13 15 12	
		Z: 1,5s; 0,135 μ		
		iPKIKP	16,1	
		iPKP$_2$	19,6	
	(SKD)	iPKS	18 44	
		i	19 58	
		i	28 50	
		ei	30 21	
		Lm	14 06,6	
		Z: 54s; 5,5 μ		
	NIE	Δ=148,5°		
		ePKIKP	13 15 13	
		Z: 1,6s; 0,078 μ		
		iPKIKP	17,5	
		iPKP$_2$	20	
20.XII		Mer Tyrrhénienne, USDI: 38,8°N, 14,8°E, H=17h[illegible] 25,8s, h=272 km; mb=5,1 (USDI)		
	NIE	Δ=11,1°		
		eiP	17 47 03,2	
		Z: 1,0s; 0,117 μ		
	KRA (SKM)	Δ=11,6°		
		eiP	17 47 08,5	
		Z: 1,2s; 0,110 μ		

Date	Station	Phase	T.U. h m s	
21.XII		Tibet, USDI: 30,3°N, 94,9°E, H=02h08m47,5s, h normale; mb=4,8 (USDI), mPV=4,7 (Niedzica)		
	NIE	Δ=58,2°. Traces		
		eP	02 18 40	
		Z: 1,2s; 0,008 μ		
21.XII		Roumanie, USDI: 45,6°N, 26,5°E, H=02h46m36,8s, h= 172 km; mb=4,0 (USDI)		
	NIE	Δ=5,49°		
		iP	02 47 58,9	C
		Z: 1,0s; 0,014 μ		
21.XII		Yougoslavie, USDI: 46,1°N, 14,3°E, H=08h17m50,9s, h= 11 km; mb=4,1 (USDI)		
	KSP	Δ=4,9°		
		ePn	08 19 10	
		eiPg	26	
21.XII		Aléoutiennes, USDI: 52,2°N, 169,4°W, H=09h51m41,3s, h=44 km; mPV=5,4 (Kraków)		
	KRA (SKM)	Δ=78,3°. Traces		
		eiP	10 03 36	
		Z: 1,0s; 0,030 μ		
	NIE	Δ=78,7°		
		eiP	10 03 40	
21.XII				
	NIE			
		eiP	15 15 53	
		Z: 1,0s; 0,009 μ		
21.XII		Aléoutiennes, USDI: 52,3°N, 169,4°W, H=15h28m19,2s, h=49 km; mb=4,7 (USDI), mPV= 5,1 (Niedzica), 5,4 (Kraków)		
	NIE	Δ=78,7°		
		eiP	15 40 16	
		Pm	18	
		Z: 1,0s; 0,016 μ		
		eisP	41	
	KRA (SKM)	Δ=78,3°. Traces		
		eP	15 40 12	
		Z: 1,1s; 0,035 μ		

Date	Station	Phase	T.U. h m s	
21.XII	KRA	epP	15 46 26	
21.XII		Région des Iles Fidji, USDI: 20,5°S, 178,8°W, H=16h53m 34,8s, h=606 km; mb=5,0 (USDI)		
	NIE	Δ=147,6°		
		iPKP	17 12 13,4	D
		Z: 0,9s; 0,019 μ		
		iPKP$_2$	18	
21.XII				
	NIE			
		eP	18 32 42	C
		Z: 1,0s; 0,012 μ		
21.XII		Près de la côte de Californie, USDI: 40,6°N, 124,6°W, H=19h12m43,5s, h=30 km; mb= 5,2 (USDI)		
	NIE	Δ=85,4°		
		ei(P)	19 25 28	
22.XII		Hondo, Japon, USDI: 35,1°N, 140,2°E, H=01h19m59,5s, h= 70 km; mb=4,9 (USDI)		
	NIE	Δ=80,6°		
		eP	01 32 05	
		i	59	
		ePP	35 11	
22.XII				
	KRA (SKM)	iP	12 59 17,2	D
		Z: 0,6s; 0,062 μ		
23.XII		Iles Tonga, USDI: 20,2°S, 174,1°W, H=07h28m19,3s, h normale; mb=4,3 (USDI)		
	NIE	Δ=148,9°. Traces		
		eiPKP	07 48 06,5	
24.XII		Région des Iles Kermadec, USDI: 31,9°S, 179,7°W, H= 07h11m39,5s, h=200 km; mb= 4,9 (USDI)		

International Seismological Centre

International Seismological Centre

Date	Station	Phase	T.U. h m s	
24.XII (suite)	NIE	Δ=157,1°. Traces		
		ePKIKP	07 31 11	C
		e(PKHKP)	20	
		iPKP$_2$	42,5	
		PKP$_2$m	43,5	
		Z: 1,0^s; 0,015 μ		
		epPKIKP	55	
24.XII		Iles Tonga, USDI: 19,1°S, 174,9°W, H=08^{h}14^{m}25,1^s, h=121 km; mb=5,7 (USDI)		
	KRA (SKM)	Δ=147,1°		
		ePKIKP	08 33 53,7	
		iPKHKP	54,7	
		PKHKPm	56,2	
		Z: 1,2^s; 0,236 μ		
		ipPKIKP	34 28,7	
	NIE	Δ=147,6°		
		eiPKIKP	08 33 53,8	D
		iPKHKP	56,5	
		PKHKPm	58,2	
		Z: 1,0^s; 0,106 μ		
		i	34 20	
		ipPKIKP	29,5	
24.XII	NIE			
		eiP	09 58 54,3	
		Z: 1,0^s; 0,011 μ		
		ei	59 16	
24.XII		Région des Iles Fidji, USDI: 23,9°S, 179,4°E, H=10^{h}31^{m}58,3^s, h=561 km; mb=5,1 (USDI)		
	NIE	Δ=149,9°		
		eiPKHKP	10 50 48,5	C
		Z: 1,0^s; 0,010 μ		
24.XII		Dodécanèse, USDI: 35,0°N, 27,8°E, H=13^{h}53^{m}50,9^s, h normale; mb=4,3 (USDI)		
	NIE	Δ=15,2°		
		eP	13 57 32	
	KRA (SKM)	Δ=15,9°		
		eP	13 57 41	

Date	Station	Phase	T.U. h m s	
24.XII		Mer du Japon, USDI: 37,4°N, 134,3°E, H=15^{h}36^{m}14,1^s, h=395 km		
	NIE	Δ=75,9°		
		eP		
		ePcP	15 49 20	
		epP	33	
			50 41	
24.XII		Crète, USDI: 34,7°N, 24,[illegible]°E, H=20^{h}22^{m}45,4^s, h=37 km; mb=4,9 (USDI)		
	NIE	Δ=14,8°		
		eP	20 26 1[illegible]	
	KRA (SKM)	Δ=15,5°		
		eP	20 26 25,[illegible]	
24.XII		Crète médiane de l'Atlantique, USDI: 22,6°N, 45,1[illegible]°E, H=20^{h}41^{m}37,3^s, h normale; mb=4,9 (USDI)		
	KRA (SKM)	Δ=57,1°. Traces		
		eP	20 51 22	
		esP	33	
	NIE	Δ=57,3°		
		eP	20 51 25	
		eisP	40	
24.XII		Taiwan, USDI: 24,3°N, 121,[illegible]°E, H=20^{h}50^{m}08,0^s, h=24 km; mb=4,8 (USDI)		
	NIE	Δ=78,6°		
		eP	21 02 13	
24.XII		Hokkaido, Japon, USDI: 42,[illegible]°N, 146,0°E, H=23^{h}38^{m}21,0^s, h=35 km; mb=4,7 (USDI), mPV=4,7 (Niedzica)		
	KRA (SKM)	Δ=76,8°		
		eiP	23 50 10,5	
		eisP	24	
	NIE	Δ=77,2°		
		eiP	23 50 13	
		Z: 1,0^s; 0,007 μ		
		eisP	26	

Date	Station	Phase	T.U. h m s	
25.XII		Au Sud de Portugal, BCIS: 36,4°N, 8,5°W, H=00^{h}44^{m}48^s, M=4,4 (Porto)		
	NIE	Δ=24,5°		
		eiP	00 50 13,5	
26.XII		Région frontière Birma-Inde USDI: 22,5°N, 93,4°E, H=01^{h}42^{m}21,6^s, h=50 km; mb=5,1 (USDI)		
	NIE	Δ=62,4°		
		eiP	01 52 41,3	
		eipP	52	
26.XII		Crête médiane Indienne, USDI: 15,2°S, 66,9°E, H=02^{h}59^{m}12,4^s, h normale; mb=5,2 (USDI)		
	NIE	Δ=76,2°		
		eP	03 11 00	
		epP	11	
26.XII		Iles Kouriles, USDI: 49,5°N 155,7°E, H=12^{h}52^{m}58,7^s, h=56 km; mb=4,9 (USDI)		
	NIE	Δ=74,5°		
		eP	13 04 31	
26.XII		Sud des Iles Fidji, USDI: 26,9°S, 177,7°W, H=17^{h}45^{m}59,7^s; h=186 km; mb=4,6 (USDI)		
	NIE	Δ=153,8°		
		eiPKP$_2$	18 05 52	
26.XII		Hondo, Japon, USDI: 33,4°N, 140,8°E, H=20^{h}30^{m}06,4^s, h=63 km; mb=5,6 (USDI), mPV=5,6 (Kraków), 5,2 (Niedzica)		
	KRA (SKM)	Δ=82,0°		
		eiP	20 42 20,8	C
		Z: 0,5^s; 0,025 μ		
		eiPcP	24	
		eipP	35	
	NIE	Δ=82,3°		
		iP	20 42 22	C
		Z: 1,0^s; 0,018 μ		

Date	Station	Phase	T.U. h m s	
27.XII		Grèce, USDI: 38,6°N, 20,4°E, H=13^{h}35^{m}18,6^s, h=38 km; mb=4,6 (USDI)		
	NIE	Δ=10,5°		
		eP	13 37 53,5	D
27.XII		Mer des Caraïbes, USDI: 16,7°N, 86,5°W, H=17^{h}29^{m}43,1^s		
	NIE	Δ=88,1°		
		eP	17 42 32	
28.XII	NIE			
		eP	02 05 44	C
		ei	54	
28.XII		Sud des Iles Fidji, USDI: 23,9°S, 180,0°E, H=05^{h}31^{m}06,4^s, h=549 km; mb=6,4 (USDI)		
	WAR (SKD)	Δ=147,5°		
		eiPKIKP	05 49 48	
		eipPKIKP	51 48	
		ei(SKS)	56 20	
		eiPcPPKP	06 01 32	
	KRA (SKM)	Δ=149,8°		
		iPKIKP	05 49 50,6	C
		Z: 2,0^s; 0,668 μ		
		iPKHKP	55	
		i	50 17,7	
		ipPKP	51 59,2	
		pPKPm	52 04,4	
		Z: 1,4^s; 1,142 μ		
		i	11,6	
	(SKD)	i	06 04 57	
		Lm	38,5	
		Z: 52^s; 3,9 μ		
28.XII	KRA (SKM)	Traces		
		eP	12 24 11	
28.XII		Nouvelles Hébrides, USDI: 14,5°S, 166,6°E, H=13^{h}41^{m}45,8^s, h=26 km; mb=6,4 (USDI)		

Date	Station	Phase	T.U. h	m	s
28.XII (suite)	WAR (SKD)	Δ=133,5°			
		eiPKIKP	14	01	05
		ei		02	36
		eiPP		03	36
		ei		04	52
		eiSKKS		10	32
		Lm		55	00
		Z: 24s; 84 μ			
		Lm		58	00
		E: 24s; 140 μ			
	KRA (SKM)	Δ=135,6°			
		eiPKIKP	14	01	10
		PKIKPm			13,8
		Z: 1,1s; 0,344 μ			
	(SKD)	iPP		03	49,4
		i		20,1	
28.XII		Nouvelles Hébrides, USDI: 14,5°S, 166,5°E, H=15h08m 12,6s, h normale; mb=5,5 (USDI)			
	KRA (SKM)	Δ=135,6°. Traces			
		eiPKIKP	15	27	37,6
29.XII		Nouvelles Hébrides, USDI: 15,1°S, 166,9°E, H=00h19m 31,1s, h=47 km; mb=6,2 (USDI) MLH=7,3 (Warszawa)			
	WAR (SKD)	Δ=134,0°			
		eiPKIKP	00	38	42
		eipPKIKP			56
		iPP		41	20
		eiPKS		42	16
		Lm	01	32	36
		NE: 24s; 70 μ, 70 μ			
		Lm		33	36
		Z: 24s; 65 μ			
	KRA (SKM)	Δ=136,2°			
		ePKIKP	00	38	46
		i		39	00,5
	(SKD)	iPP		41	33
		iSKKKS		48	53
		iPPS		53	45
	NIE	Δ=136,4°			
		ePKIKP	00	38	51

Date	Station	Phase	T.U. h	m	s
29.XII		Région des Iles Fidji, USDI: 18,2°S, 178,2°W, H=02h51m 33,6s, h=625 km; mb=4,6 (USDI)			
	KSP	Δ=145,4°. Traces			
		eiPKP	03	10	05
29.XII		Région des Iles Bonin, USDI: 26,9°N, 140,4°E, H=06h11m 37,2s, h normale; mb=5,3 (USDI)			
	KSP	Δ=88,3°. Traces			
		eiP	06	24	26,5
29.XII		Région des Iles du Commandeur, USDI: 54,6°N, 168,7°E, H=20m16,2s, h normale; mb=5,1 (USDI)			
	WAR (SKD)	Δ=69,5°			
		eiP	08	31	32
		eiPP		33	56
		ei		36	56
		eiS		40	22
		eiPS		38	
		eiPPS		41	08
		Lm	09	02	24
		Z: 24s; 16 μ			
	KRA (SKM)	Δ=72,7°			
		eP	08	31	41
		eipP			52
	(SKD)	eiS		41	14
		eiL			55,9
		Lm	09	04,1	
		Z: 28s; 16 μ			
30.XII		Hondo, Japon, USDI: 31,0°N, 141,8°E, H=11h53m12,9s, h normale; mb=5,0 (USDI)			
	KRA (SKM)	Δ=84,5°. Traces			
		eiP	12	05	44
30.XII		Hondo, USDI: 31,0°N, 141,8°E, H=12h09m23,3s, h normale; mb=4,4 (USDI)			
	KSP	Δ=85,4°. Traces			
		eP	12	22	00

POLSKA AKADEMIA NAUK
INSTYTUT GEOFIZYKI

International Seismological Centre

MATERIAŁY I PRACE

79 part 5

PUBLICATIONS OF THE INSTITUTE OF GEOPHYSICS POLISH ACADEMY OF SCIENCES

BULLETIN SÉISMOLOGIQUE

1973

LE SECOUSSES LOCALES
ENREGISTRÉES PAR LES STATIONS
SÉISMOLOGIQUES POLONAISES

PAŃSTWOWE WYDAWNICTWO NAUKOWE
WARSZAWA

Komitet Redakcyjny
Roman TEISSEYRE (redaktor naczelny), Zdzisław MAŁKOWSKI (zastępca redaktora), Jerzy JANKOWSKI, Jan SŁOMKA, Maria WERNIK, Anna UCHMAN (sekretarz Redakcji)

Adres Redakcji
Instytut Geofizyki Polskiej Akademii Nauk
02-093 Warszawa, ul. Pasteura 3

Printed in Poland

Państwowe Wydawnictwo Naukowe
Oddział w Łodzi 1975

Wydanie I. Nakład 300+55 egz. Ark. wyd. 14,00. Ark. druk. 10,50
Papier offset. kl. III 70 g. 70×100. Podpisano do druku w styczniu 1975 r.
Druk ukończono w lutym 1975 r. Zam. 88/75.

Zakład Graficzny Wydawnictw Naukowych
Łódź, ul. Żwirki 2

International Seismological Centre

WSTĘP

Niniejsza publikacja składa się z dwóch części: pierwsza część zawiera wykaz najsilniejszych wstrząsów z rejonu Górnego Śląska, druga - wybrane wstrząsy lokalne z wyraźnymi fazami P i S, zarejestrowane przez polskie stacje sejsmologiczne. Ogniska opracowanych wstrząsów znajdują się na obszarze Polski lub w pobliżu jej granic, a odległości epicentralne nie przekraczają 3°.

W części pierwszej opracowano najsilniejsze wstrząsy podziemne z rejonu Górnego Śląska, zarejestrowane przez stacje sejsmologiczne Instytutu Geofizyki PAN w Krakowie (KRA), Niedzicy (NIE), Raciborzu (RAC), Rybniku (RBN) i Książu (KSP), przez Stację Sejsmologiczną Planetarium i Obserwatorium Astronomicznego w Chorzowie (CHZ) oraz przez stacje Głównego Instytutu Górnictwa w Dąbrowie Górniczej (DGP) i Zabrzu (ZAB).

Pierwsze fazy wstrząsów śląskich zarejestrowane przez stacje GIG w Dąbrowie Górniczej i Zabrzu są umieszczone przed każdym opracowanym wstrząsem. Fazy powtórzone z biuletynu GIG są oznaczone "(GIG)".

W obu częściach współrzędne geograficzne epicentrów i czas wystąpienia wstrząsów w ognisku obliczone są na podstawie przebiegu fal podłużnych i różnicy czasów w przebiegu fal S - P. Wartości magnitud wstrząsów śląskich obliczono ze wzoru:

$$M = \log \frac{A}{T} + a \log \Delta \text{ km} + b$$

Współczynniki a i b wyznaczone zostały dla sejsmografów SK-58 w Chorzowie, Raciborzu i Dąbrowie Górniczej, oraz dla sejsmografów Charin i SKM w Krakowie.

Pierwsza część publikacji została opracowana przez D. Draber i M. Wernik, a druga przez B. Guterch i H. Lewandowską-Marciniak.

INTRODUCTION

International Seismological Centre

La publication que nous vous présentons ici se compose de deux parties: la première partie contient un recueil des plus fortes secousses de la région de Haute Silésie, la seconde, les secousses locales choisies pour la netteté de leur phases P et S, enrégistrées par le réseau séismologique polonais dont les foyers se situent sur le territoire de la Pologne ou bien à proximité ses frontières et dont les distances epicentrales ne dépassent pas 3°.

Dans la première partie ont été élaborées les plus fortes secousses souterraines de la région de la Haute Silésie enregistrées par les stations séismologiques de l'Institut de Géophysique de l'Académie Polonaise des Sciences à Kraków (KRA), Niedzica (NIE), Racibórz (RAC), Rybnik (RBN) et Książ (KSP), par la Station Séismologique du Planetarium et de l'Observatoire Astronomique à Chorzów (CHZ), ainsi que par les stations de l'Institut Central des Mines à Dąbrowa Górnicza (DGP) et Zabrze (ZAB).

Les premières phases des secousses silésiennes, enregistrées par les observatoires de GIG, à Dąbrowa Górnicza et Zabrze ont été indiquées avant chaque secousse élaborée. Les phases mentionnées d'après les publications GIG sont marquées "(GIG)".

Dans les deux parties les coordonnées géographiques des épicentres des secousses les plus fortes, ainsi que le temps de l'apparition des secousses dans le foyer ont été calculées à base des temps d'arrivée des ondes longitudinales et des intervalles des ondes S - P. Les valeurs des magnitudes des secousses silésiennes ont été calculées d'après la formule:

$$M = \log \frac{A}{T} + a \log \Delta \text{ km} + b$$

Les coefficients a et b ont été déterminés pour les séismographes SK - 58 à Chorzów, Racibórz et Dąbrowa Górnicza, ainsi que pour les séismographes Charin et SKM à Kraków.

La première partie de la présente publication a été redigée par D. Draber et M. Wernik, la seconde, par B. Guterch et H. Lewandowska-Marciniak.

CONSTANTES DES SÉISMOGRAPHES

Station	Type séismo-graphe	Comp.	Ts sec	Tg sec	Ds	Dg	σ^2	Vo	Vm	Tm sec	Période de validité
Chorzów (CHZ) $\varphi = 50^0 17' 33'' N$ $\lambda = 18^0 59' 30'' E$ h = 316 m	SK-58	N-S E-W Z	1,74 1,82 1,70	0,21 0,21 0,21	0,50 0,50 0,50	4,0 3,0 2,2	0,022 0,034 0,034	1815 2470 3030	1847 2495 3060	0,06-1,4 0,07-1,05 0,09-0,68	I - XII
Kraków (KRA) $\varphi = 50^0 03' 22'' N$ $\lambda = 19^0 56' 23'' E$ h = 223 m	Ch	N-S E-W Z	1,27 1,27 1,27	0,281 0,280 0,282	0,50 0,50 0,50	2,0 2,0 2,0	0,132 0,139 0,155	10500 10500 10500	11200 11200 11570	0,15-1,05 0,15-1,05 0,15-1,05	I - XII
	SKM-3	N-S E-W Z	1,28 1,30 1,45	0,580 0,575 0,580	0,50 0,50 0,60	0,49 0,47 0,49	0,013 0,012 0,014	21670 21440 24840	23670 23490 25790	0,47-0,78 0,48-0,77 0,47-0,75	I - XII
Książ (KSP) $\varphi = 50^0 50,6' N$ $\lambda = 16^0 17,6' E$ h = 380 m	SU-59	N-S E-W Z	1,22 1,22 1,02	0,238 0,277 0,204	0,52 0,51 0,52	1,52 1,51 1,53	0,142 0,091 0,174	103000 102000 100000	106000 108000 105000	0,14-0,67 0,16-0,75 0,13-0,57	1.I - 18.X
	SU-59	N-S E-W Z	1,19 1,22 1,00	0,250 0,240 0,208	0,50 0,62 0,50	1,37 1,44 1,53	0,089 0,142 0,171	87450 108700 106300	90000 110000 110000	0,14-0,67 0,16-0,75 0,13-0,57	19.X - XII
Niedzica (NIE) $\varphi = 49^0 25' 25'' N$ $\lambda = 20^0 19' 19'' E$ h = 555 m	SK-58	N-S E-W Z	1,82 2,01 1,77	0,366 0,312 0,426	3,63 3,44 2,34	4,5 4,1 4,8	0,813 0,904 0,950	39500 37800 40480	44450 66780 128000	0,56-0,91 0,68-0,88 0,99-1,16	I - XII
Racibórz (RAC) $\varphi = 50^0 05' 00'' N$ $\lambda = 18^0 11' 39'' E$ h = 200 m	SK-58	N-S E-W Z	1,18 1,18 1,11	1,00 1,00 1,05	0,61 0,50 0,50	0,5 0,5 0,5	0,011 0,015 0,015	3000 3000 3000	2897 3422 3299	0,75-1,1 0,77-1,14 0,78-1,13	I - XII

Station	Type séismo-graphe	Comp.	Ts sec	Tg sec	Ds	Dg	σ^2	Vo	Vm	Tm sec	Période de validité
Rybnik (RBN) $\varphi = 50^0 05' 53'' N$ $\lambda = 18^0 32' 01'' E$ h = 250 m	SK-58	N-S E-W Z	2,02 2,01 1,91	0,425 0,425 0,360	0,70 0,70 0,70	3,0 3,0 3,0	0,012 0,010 0,019	1000 1000 1000	1000 1000 1000	0,14-1,15 0,14-1,15 0,11-1,0	I - XII
OBSERVATOIRES DE L'INSTITUT CENTRAL DES MINES											
Dąbrowa Górnicza (DGP) $\varphi = 50^0 19' 45'' N$ $\lambda = 19^0 13' 40'' E$ h = 275 m	SK-58	N-S E-W Z	1,70 1,70 1,50	0,30 0,40 0,50	0,55 0,56 0,52	2,47 2,54 3,24	0,085 0,059 0,029	1500 1800 1400	1530 1880 1570	0,12-1,17 0,16-1,33 0,3-1,35	I - XII
Zabrze (ZAB) $\varphi = 50^0 18' 05'' N$ $\lambda = 18^0 47' 40'' E$ h = 258 m	SU-59	N-S E-W Z	1,20 1,50 1,40	0,22 0,21 0,22	0,55 0,50 0,50	5,02 5,00 4,01	0,004 0,008 0,003	1900 2050 2000	1990 2180 2090	0,06-1,03 0,06-1,3 0,07-1,2	I - VIII

International Seismological Centre

Symboles

Ts - période du pendule

Tg - période du galvanomètre

Ds - amortissement du pendule

Dg - amortissement du galvanomètre

σ^2 - coefficient du couplage

Vo - amplification statique $Vo = \frac{2A}{Io}\sqrt{\frac{Ks}{Kg}}\sqrt{\frac{Ds}{Dg}\frac{Tg}{Ts}}\ \sigma^2$

Vm - valeur de l'amplification maximalle de l'appareil séismique

Tm - intervalle des périodes pour lesquelles l'amplification est supérieure ou égale à 0,9 Vm

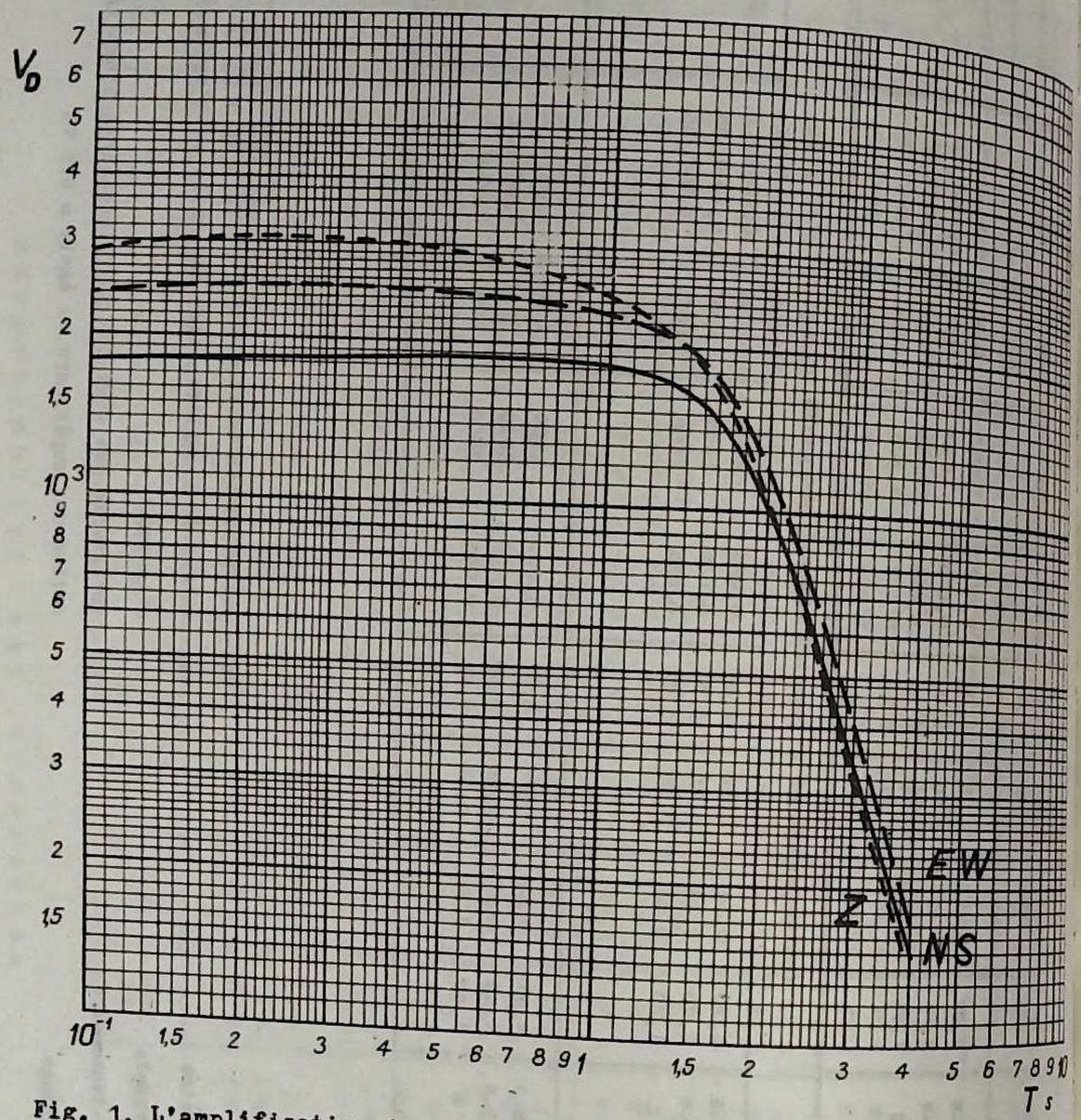

Fig. 1. L'amplification dynamique des séismographes type SK-58 à Chorzów

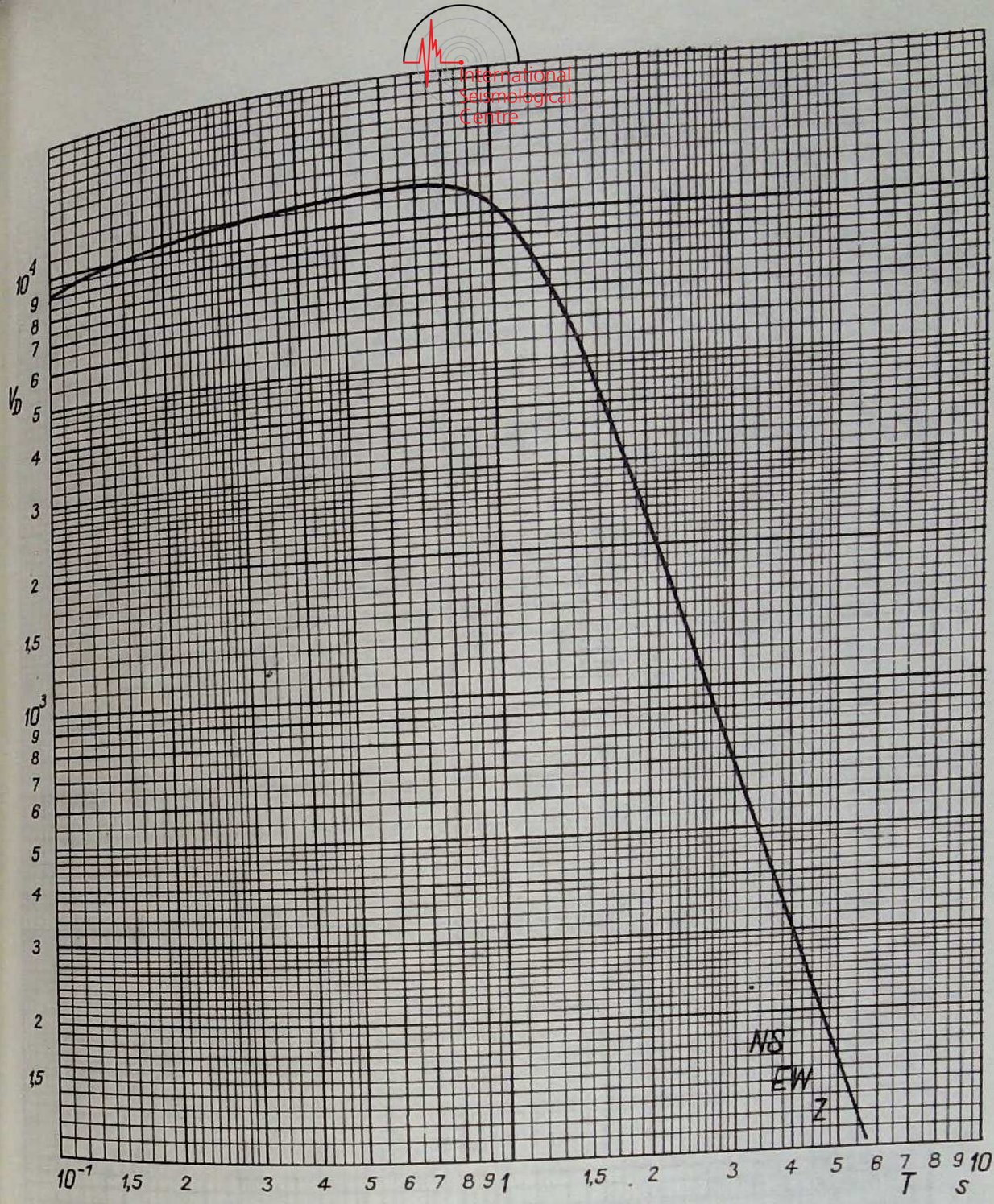

Fig. 2. L'amplification dynamique des séismographes Charin à Kraków

International Seismological Centre

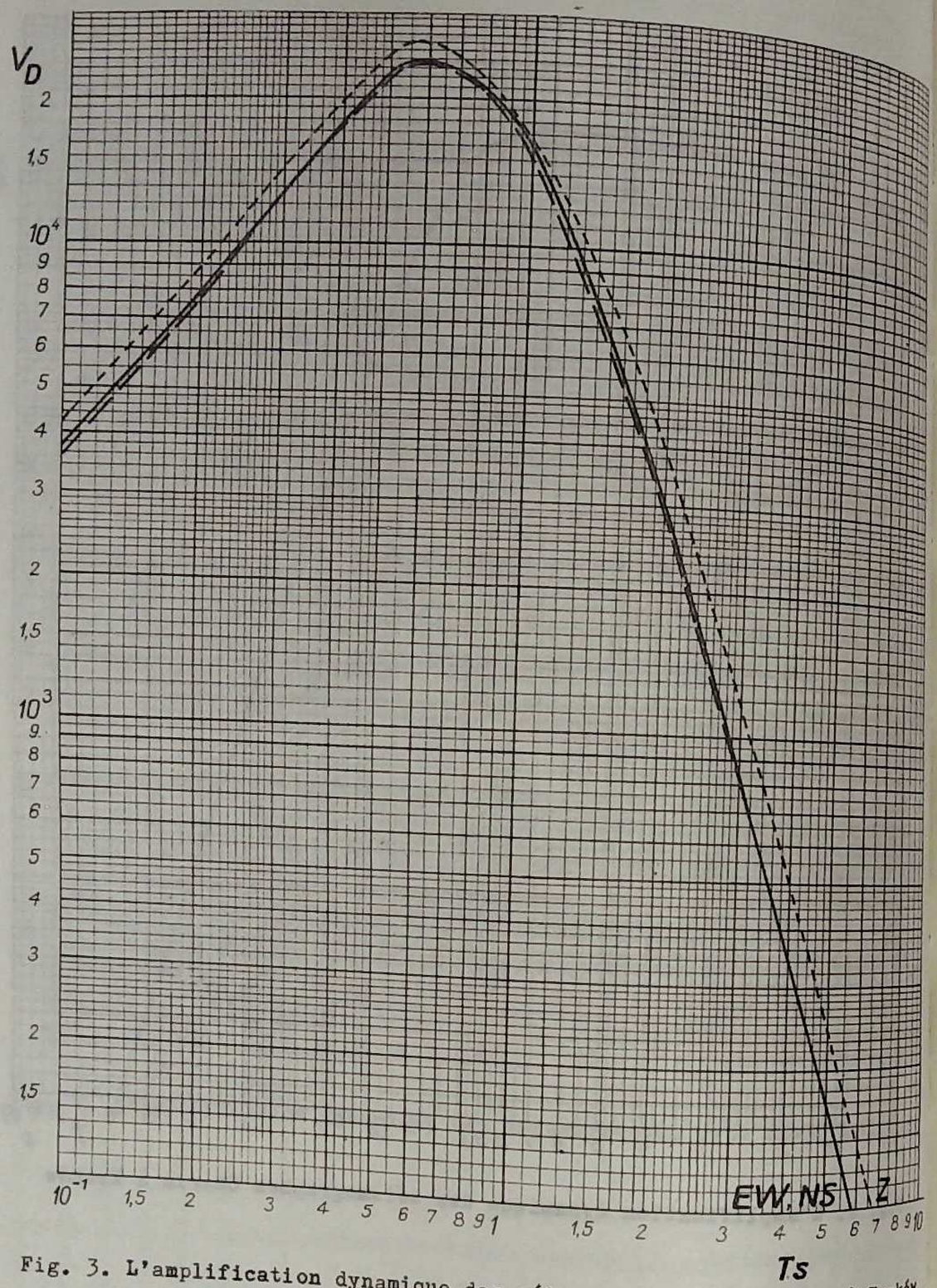

Fig. 3. L'amplification dynamique des séismographes type SKM-3 à Kraków

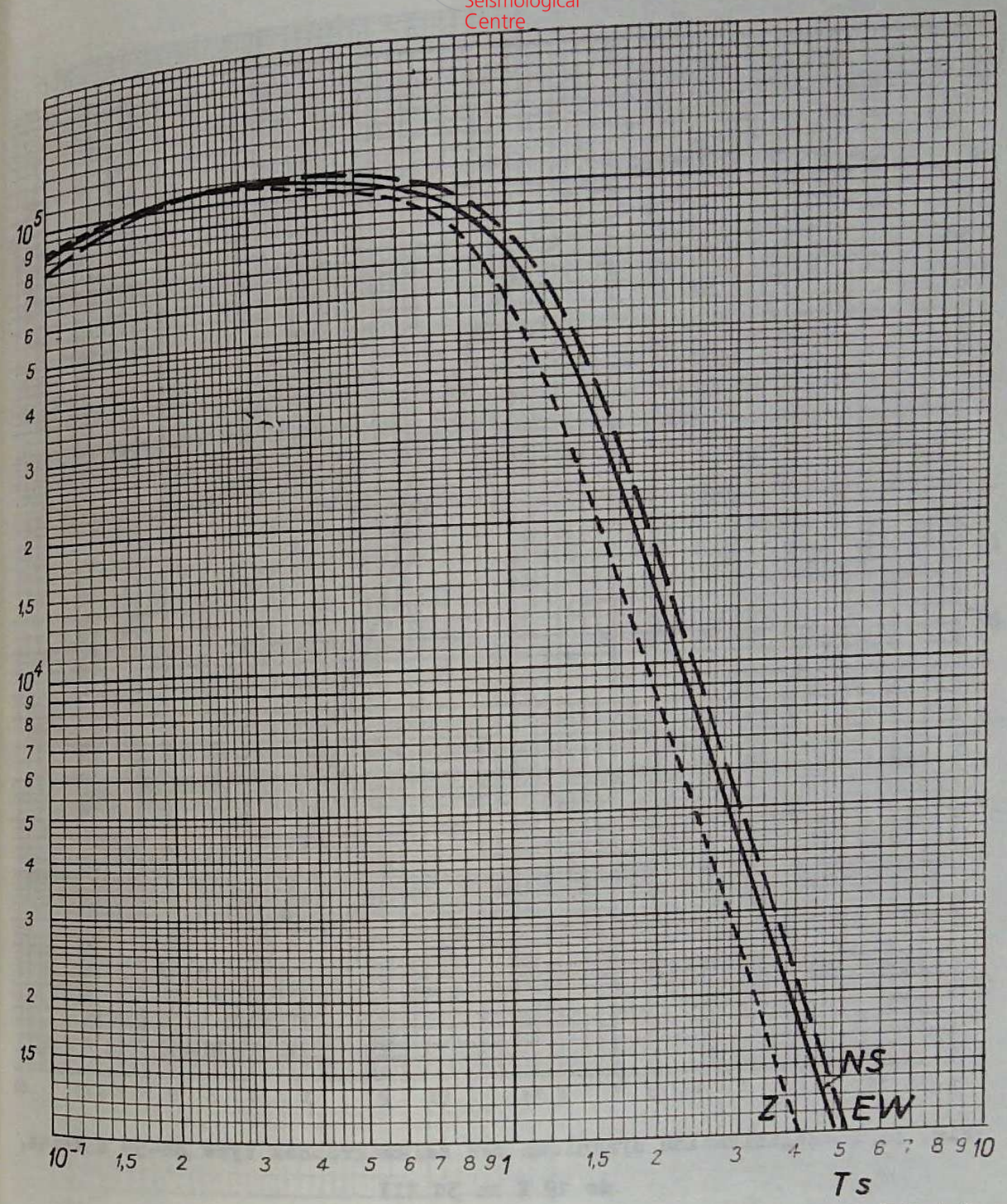

Fig. 4. L'amplification dynamique des séismographes type SU-59 à Książ, du 1 I au 18 X

International Seismological Centre

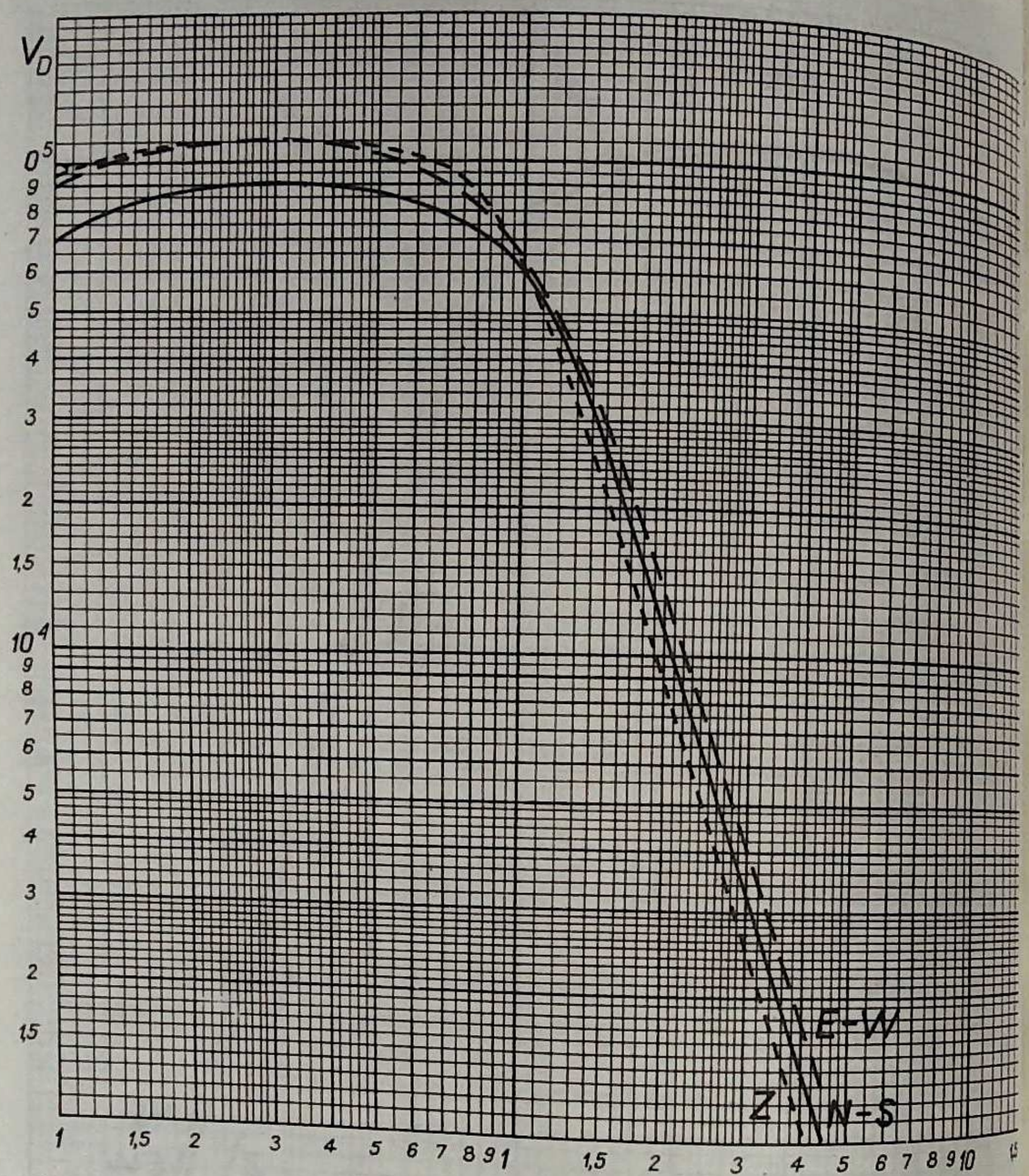

Fig. 5. L'amplification dynamique des séismographes type SU-59 à Książ, du 19 X au 31 XII

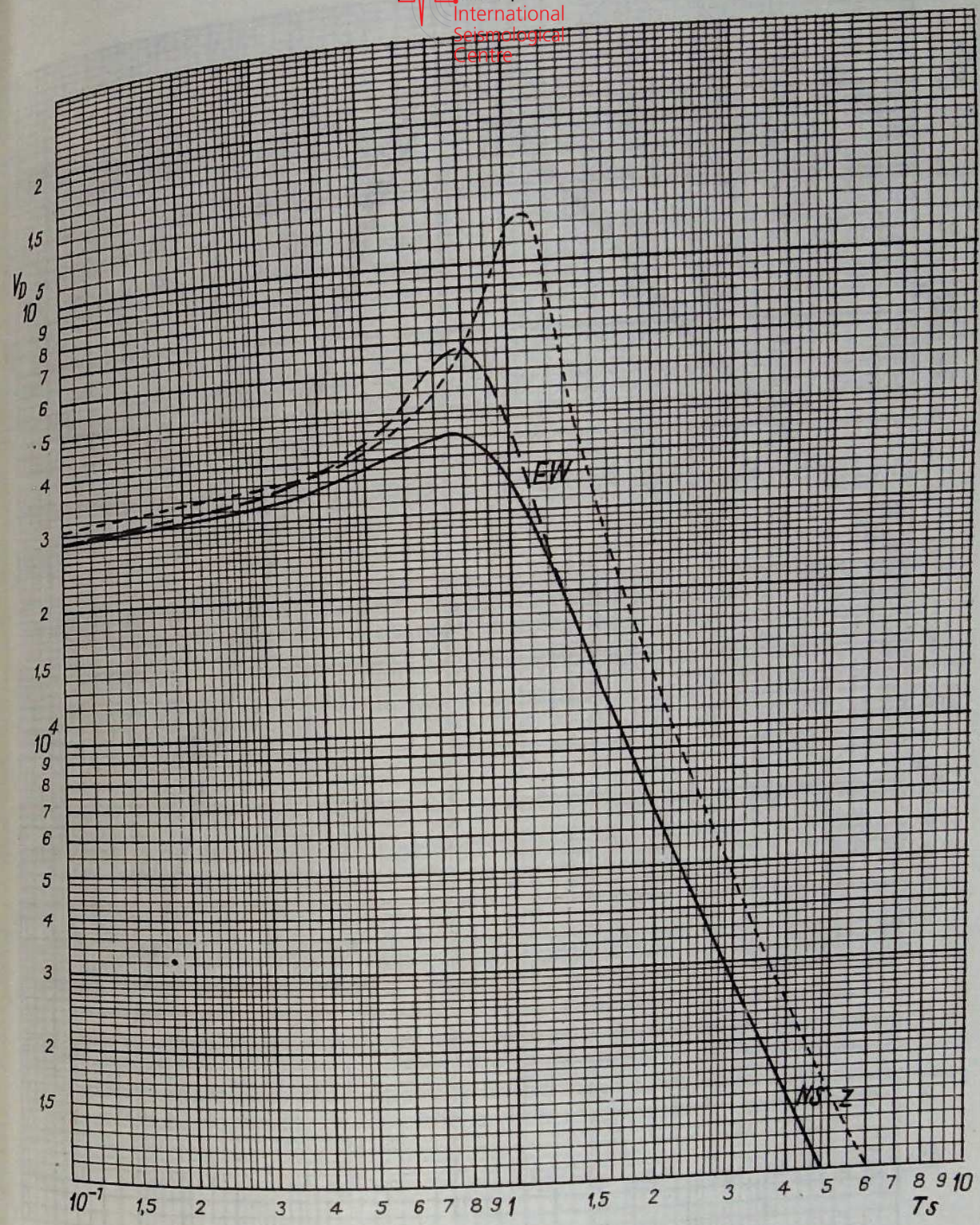

Fig. 6. L'amplification dynamique des séismographes type SK-58 à Niedzica

International Seismological Centre

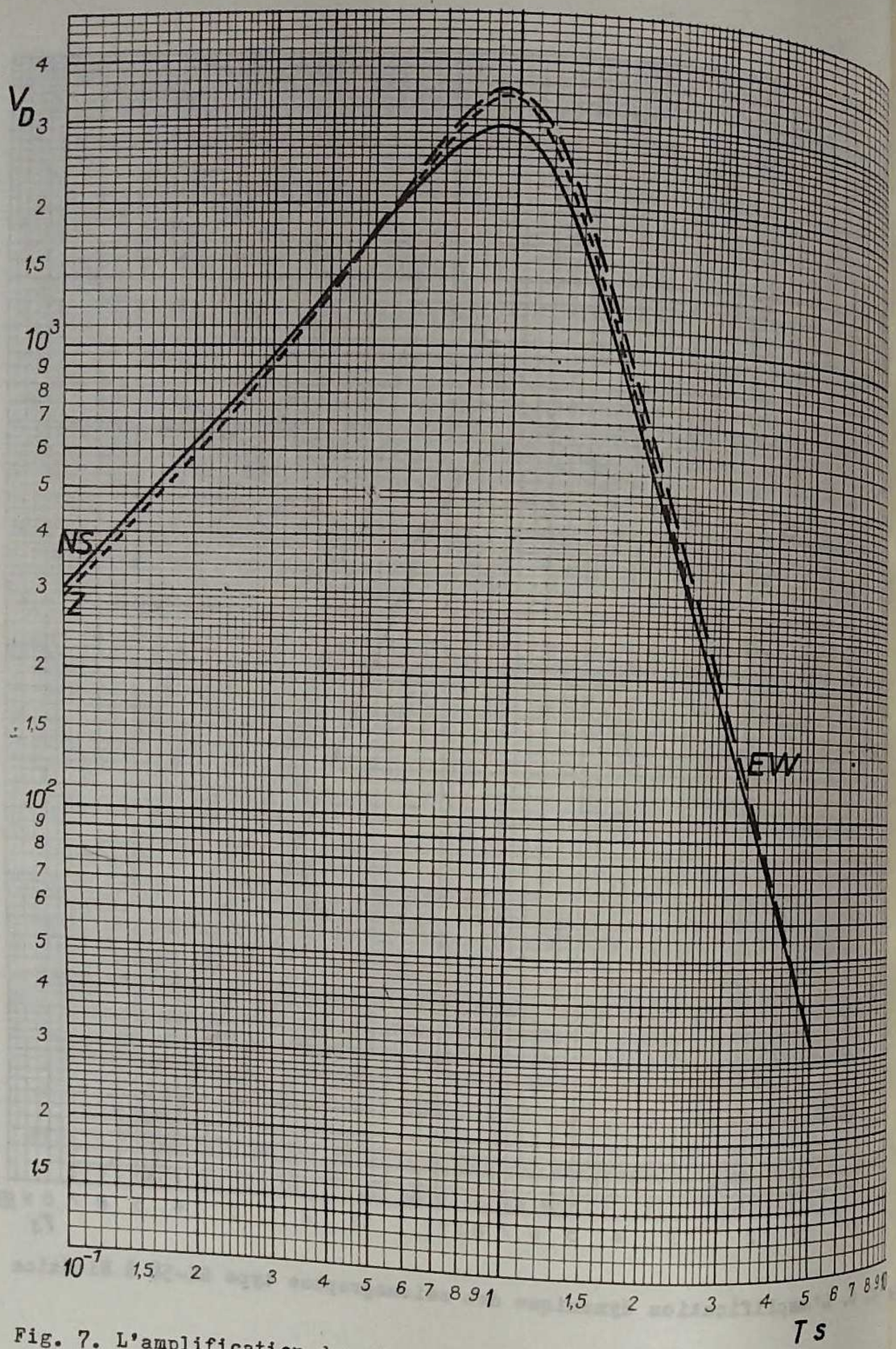

Fig. 7. L'amplification dynamique des séismographes type SK-58 à Racibórz

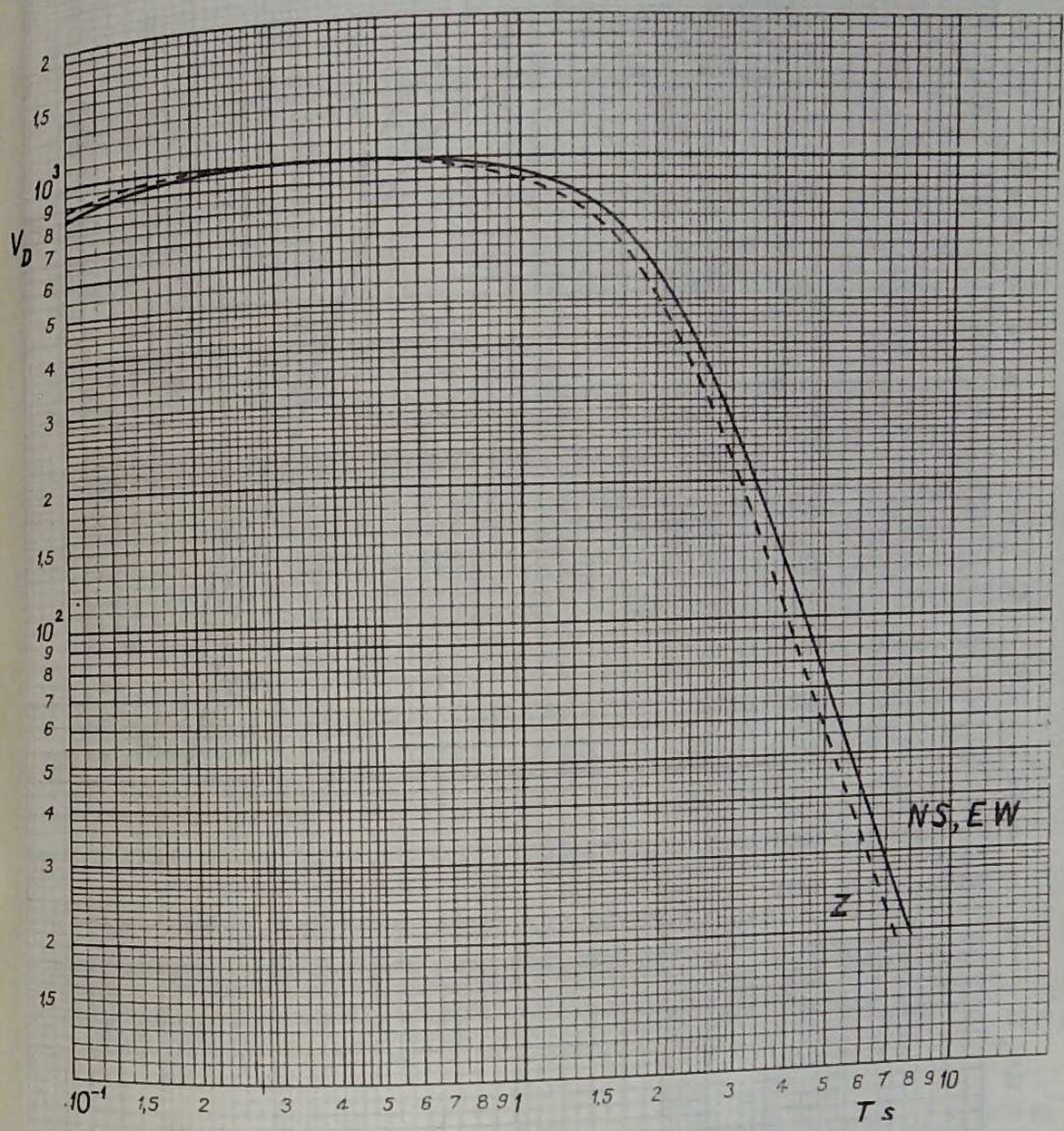

Fig. 8. L'amplification dynamique des séismographes type SK-58 à Rybnik

International Seismological Centre

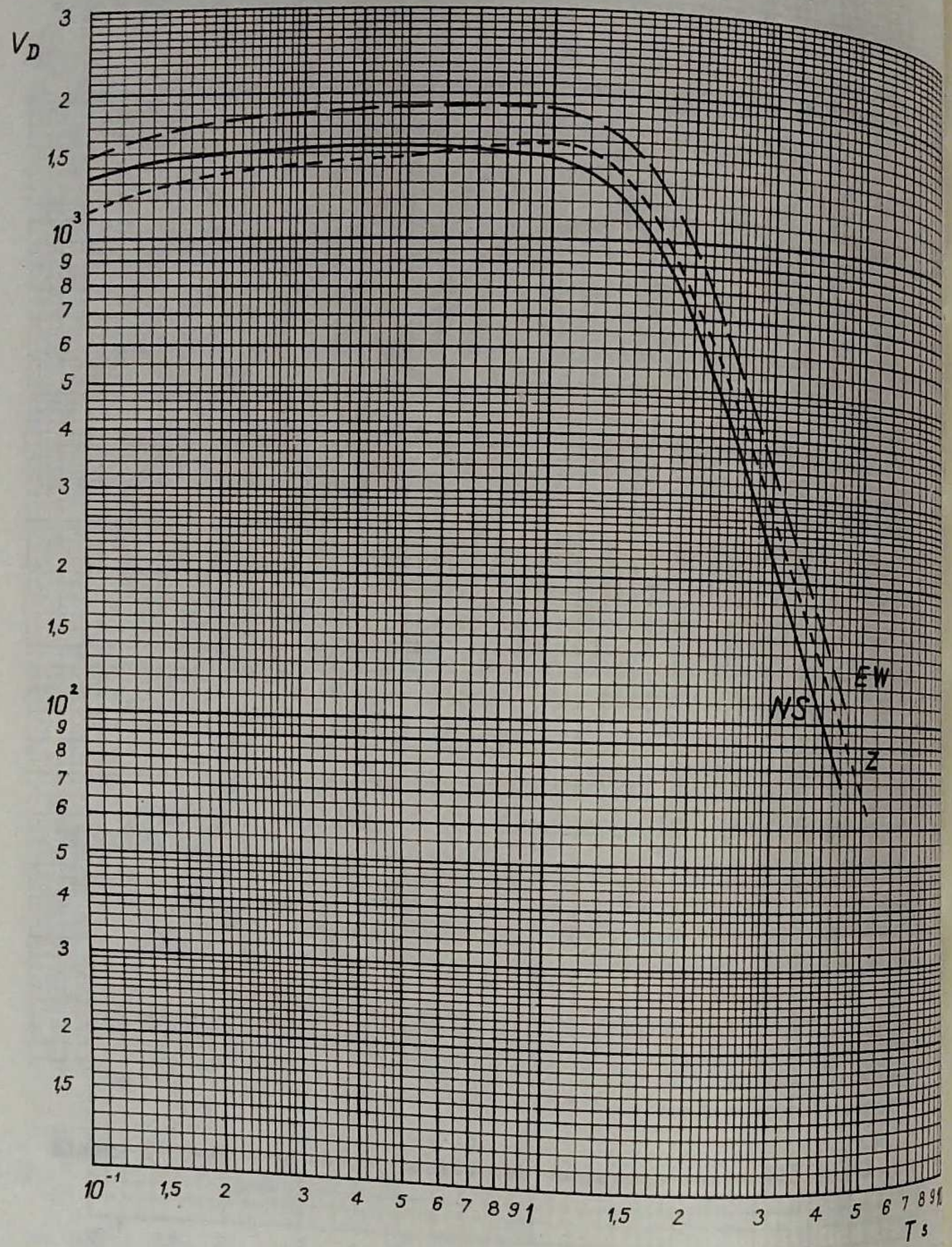

Fig. 9. L'amplification dynamique des séismographes type SK-58 à Dąbrowa Gór

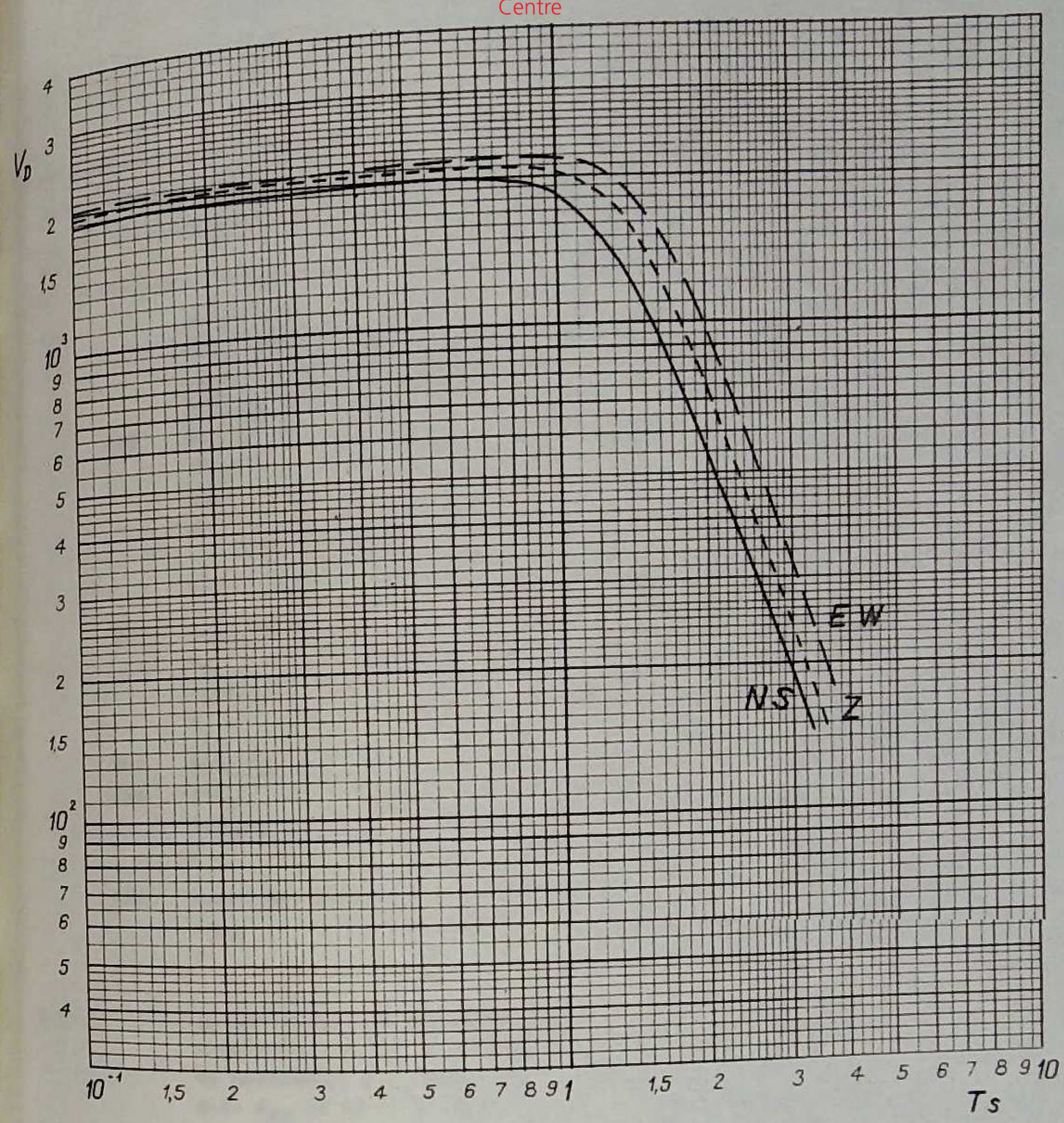

Fig. 10. L'amplification dynamique des séismographes type SU-59 à Zabrze

International Seismological Centre

RÉGION DE LA HAUTE SILÉSIE

Date	Station	Phase	T.U. h m s	Date	Station	Phase	T.U. h m s
1973		JANVIER		1973			
2.I		φ =50°15′; λ =18°59′; H=04^{h}23^{m}51,8^s; M=2,2 (Chorzów); DGP: P_Z 04 23 55,4; ZAB: S_N 04 23 56,7		2.I	KRA (Ch,SKM)	Δ=72 km. Faible	
	CHZ	Δ=5 km. Z - inactive				e_N,ei_{EZ}	09 16 30,2
		iP_{NE}	04 23 53,6			ei_N,e_Z	39,0
		iS_{NE}	54,8			F	17 30
		Lm	57		NIE	Δ=135 km. Faible. E - inactive	
		NE: 0,9^s; 3,5 μ, 2,6 μ				ePg_Z	09 16 32,3
		F	24 30			e_Z	49,1
	RBN	Δ=37 km. Faible				F	17 30
		e_E	04 24 02,1		KSP	Δ=207 km. Faible	
		e_N,ei_E	09,0			$eiPn_{EZ}$	09 16 42,7
		F	25 30			ei_N	17 07,7
	KRA (SKM)	Δ=73 km				ei_Z	09,0
		ePg_{EZ}	04 24 04,2			F	30
		iSg_{NEZ}	13,4				
		F	25	2.I		H=21^{h}00^{m}05,6^s; M=2,2 (Chorzów, Kraków); ZAB (GIG): 21 00 07,5; DGP (GIG): 21 00 10,9	
	NIE	Δ=136 km. Faible. E - inactive			CHZ	Δ=4 km	
		ePg_Z	04 24 15,0 C			i_{NZ},ei_E P	21 00 06,6 D
		F	25			iS_{NE}	07,4
2.I		φ =50°14,5′; λ =18°59,5′; H=09^{h}16^{m}09,0^s; M=2,3 (Dąbrowa Górnicza), 2,0 (Chorzów); ZAB: P_{NZ} 09 16 12,3; DGP: P_{NE} 09 16 13,4, Lm_Z 1,5^s; 0,9 μ				Lm	10
						Z: 0,8^s; 3,7 μ	
						F	01
	CHZ	Δ=5 km			KRA (Ch,SKM) (SKM)	Δ=76 km Faible	
		eiP_{NEZ}	09 16 10,0			ePg_Z	21 00 18,8
		i_E,ei_Z S	10,8			ei_N	27,5
		Lm	13			$eiSg_E$	28,5
		EZ: 1,0^s; 2,6 μ, 1,8 μ				Lm	58
		F	17			Z: 1,1^s; 0,03 μ	
	RBN	Δ=37 km. Faible				F	01 30
		e_{NE}	09 16 23,2		NIE	Δ=142 km. E - inactive	
		e_Z	29,2			$eiPg_Z$	21 00 29,8 C
		F	18			$eiSg_Z$	47,8
						ei_Z	52,6
						F	01 30

Date	Station	Phase	T.U. h m s	
2.I (suite)	RAC	Traces		
		e_Z	21 00 23,0	
		ei_N	39,7	
		F	01 30	
	RBN	Traces		
		NEZ	21 00 30-01 30	
3.I		$\varphi = 50^o 20,5'$; $\lambda = 18^o 53,5'$; $H = 23^h 37^m 23,7^s$; M=2,5 (Chorzów, Kraków); ZAB: P_N 23 37 25,6; DGP (GIG): 23 37 29,7		
	CHZ	Δ=9 km		
		eiP_{NEZ}	23 37 25,8	C
		i_N, ei_{EZ} S	27,5	
		Lm	31	
		EZ: $1,0^s$, $0,8^s$; 4,2 μ, 2,1 μ		
		F	38 30	
	RBN	Δ=38 km. Faible		
		e_E	23 37 33,6	
		e_N	37,4	
		F	39	
	KRA (Ch)	Δ=84 km. Faible		
		ePg_{EZ}	23 37 38,3	C
		$eiSg_{EZ}$	49,0	
		ei_N	50,0	
		Lm_{φ}	38 19	
		NEZ: $1,3^s$; 0,04 μ, 0,04 μ, 0,05 μ		
		F	39	
	NIE	Δ=148 km. Faible. E - inactive		
		$eiPg_Z$	23 37 49,3	C
		eSg_Z	38 08,1	
		ei_Z	19,2	
		F	39	
	KSP	Δ=196 km		
		$eiPn_{NEZ}$	23 37 56,0	
		e_Z	38 20,1	
		ei_{NE}	21,4	
		ei_{EZ}	22,9	
		F	39	
	RAC	Traces		
		EZ	23 37 30-39 00	

Date	Station	Phase	T.U. h m s	
5.I		$H = 02^h 26^m 58,4^s$; M=2,3 (Chorzów), DGP (GIG): 02 26 59,9		
	CHZ	Δ=17 km		
		e_E, ei_Z P	02 27 01,1	
		eiS_{NEZ}	04,1	
		Lm	12	
		NEZ: $0,8^s$; 1,3 μ, 0,6 μ		
		F	28	
	KRA (Ch, SKM)	Δ=64 km		
		$eiPg_Z$	02 27 09,8	
		e_{NEZ}	10,9	
		ei_{NZ}, e_E Sg	17,7	
		ei_E	18,7	
		F	28 30	
	NIE	Δ=139 km. E - inactive		
		$eiPg_Z$	02 27 22,5	
		$eiSg_Z$	40,2	
		F	28 30	
5.I		$H = 21^h 24^m 55,3^s$; M=2,4 (Chorzów, Kraków); ZAB (GIG): 21 24 [illegible] DGP (GIG): 21 25 00,6		
	CHZ	Δ=3 km		
		ei_{NE}, e_Z P	21 24 56,0	
		iS_E	57,0	
		Lm	59	
		NEZ: $0,8^s$; 10,8 μ, 6,0 μ		
		F	26	
	RBN			
		ei_{EZ}	21 25 04,8	
		e_{EZ}	10,8	
		ei_{NE}	12,0	
		F	26 30	
	KRA (SKM)	Δ=75 km		
		$eiPg_{EZ}$	21 25 08,4	
		ei_N	10,0	
	(Ch, SKM)	$eiSg_{NEZ}$	16,0	
		Lm	48	
	(Ch)	NEZ: $1,0^s$; 0,04 μ, 0,04 μ		
	(SKM)	NEZ: $1,0^s$; 0,03 μ, 0,04 μ		
		F	26 30	

Date	Station	Phase	T.U. h m s	
5.I (suite)	RAC	Traces		
		ei_Z	21 25 08,7	
		F	27	
	NIE	Δ=143 km. E - inactive		
		ePg_Z	21 25 19,7	
		$eiSg_Z$	37,9	
		ei_Z	42,4	
		F	26 30	
	KSP	Δ=209 km		
		ei_N, e_E Pn	21 25 28,3	
		$eiPn_Z$	28,8	
		$eiSn_{NE}$	53,1	
		$eiSn_Z$	53,5	
		F	26 30	
7.I		$\varphi = 50^o 17'$; $\lambda = 18^o 52'$; $H = 07^h 51^m 41,0^s$; M=2,0 (Chorzów); ZAB: eiP_N, iP_{EZ} 07 51 43,0, iS_{NE} 44,2; DGP (GIG): 07 51 47,6		
	CHZ	Δ=10 km		
		ei_{NE}, i_Z P	07 51 43,0	
		iS_{NEZ}	44,8	
		Lm	49	
		EZ: $1,0^s$; 1,5 μ, 0,8 μ		
		F	52 30	
	RBN	Δ=32 km		
		eP_E	07 51 48,4	
		e_N	51,7	
		e_E, ei_Z S	53,0	
		F	54	
	KRA (Ch, SKM)	Δ=83 km. Faible		
		$eiPg_{EZ}$	07 51 55,6	C
		ei_N, e_{EZ}	52 04,8	
		ei_E	06,7	
		F	53 30	
	NIE	Δ=145 km. E - inactive		
		ePg_Z	07 52 05,4	
		ei_Z	06,2	
		eSg_Z	23,7	
		ei_Z	42,4	
		F	53 30	
	KSP	Δ=196 km		
		e_N, ei_E, i_Z Pn	07 52 12,9	

Date	Station	Phase	T.U. h m s	
7.I	KSP	i_{NE}, ei_Z Sn	07 52 36,3	
		F	53 30	
	RAC	Traces		
		NEZ	07 51 30-54 00	
8.I		$\varphi = 50^o 14'$; $\lambda = 18^o 58'$; $H = 03^h 50^m 59,4^s$; M=2,5 (Chorzów), 2,4 (Kraków); DGP: P_{NEZ} 03 51 03,9; ZAB: S_Z 03 51 05,1		
	CHZ	Δ=7 km		
		ei_{NE}, i_Z P	03 51 01,5	D
		i_{NE}, ei_Z	02,9	
		Lm	06	
		NEZ: $0,9^s$; 5,8 μ, 4,9 μ, 3,6 μ		
		F	52	
	RBN	Δ=35 km		
		e_E	03 51 08,1	
		e_E	15,1	
		ei_N, e_Z	20,5	
		F	52 30	
	KRA (Ch, SKM)	Δ=74 km		
		$eiPg_{EZ}$	03 51 12,2	D
		ei_N	20,0	
		iSg_{EZ}	21,7	
		Lm	54	
	(Ch)	NEZ: $1,1^s$; 0,04 μ, 0,05 μ, 0,05 μ		
	(SKM)	NEZ: $1,1^s$; 0,04 μ, 0,04 μ, 0,04 μ		
		F	52 30	
	NIE	Δ=136 km. E - inactive		
		$eiPg_Z$	03 51 23,5	D
		Pgm	24,1	
		Z: $0,6^s$; 0,025 μ		
		eSg_Z	40,7	
		ei_Z	42,3	
		F	52 30	
	RAC	Δ=59 km. Faible		
		e_Z	03 51 25,0	
		e_N	28,3	
		e_{EZ}	32,5	
		F	53	

International Seismological Centre

International Seismological Centre

Date	Station	Phase	T.U. h m s
8.I (suite)	KSP	Δ=205 km	
		$eiPn_{NEZ}$	03 51 34,0
		$eiSn_{NEZ}$	59,3
		F	52 30
8.I		φ =50°20′; λ =19°02′; H=05h44m14,6s; M=2,4 (Chorzów, Kraków); DGP: P_E 05 44 17,7; ZAB: S_N 05 44 20,8	
	CHZ	Δ=6 km	
		iS_{NEZ}	05 44 17,9
		Lm	23
		NEZ: 0,6s; 4,5 μ, 1,6 μ, 1,9 μ	
		F	45
	KRA (SKM)	Δ=73 km	
		$eiPg_{EZ}$	05 44 27,3 C
		$eiSg_N$	36,4
		$eiSg_Z$	36,8
		ei_E	37,9
		Lm	45 02
		NEZ: 1,0s; 0,03 μ, 0,04 μ 0,05 μ	
		F	30
	NIE	Δ=141 km. Faible. E - inactive	
		ePg_Z	05 44 38,5
		ei_Z	45 02,0
		F	46
	KSP	Δ=207 km. Faible	
		iPn_{EZ}	05 44 47,4
		$eiSn_{NEZ}$	45 12,2
		i_Z	13,0
		F	46
	RBN	Traces	
		NE	05 44 30-45 30
9.I		H=01h00m33,2s; M=1,9 (Chorzów); ZAB (GIG): 01 00 35,1; DGP (GIG): 01 00 42,1	

Date	Station	Phase	T.U. h m s
9.I	CHZ	Δ=11 km	
		eiP_{NEZ}	01 00 35,6
		iS_{NEZ}	37,5
		Lm	42
		NZ: 1,0s; 0,9 μ, 0,5 μ	
		F	01 30
	RBN	Faible	
		ei_N	01 00 46,8
		ei_E	47,3
		e_Z	47,8
		F	02
	KRA (Ch)	Δ=79 km. Faible	
		ePg_{EZ}	01 00 47,1
		$eiSg_N$	57,1
		F	02
	KSP	Δ=192 km	
		e_N, ei_{EZ}	01 01 05,2
		i_{NZ}, ei_E Sn	28,2
		F	02
	NIE	Traces	
		Z	01 00 30-01 30
	RAC	Traces	
		EZ	01 01 - 02
9.I		H=13h17m07,2s; M=2,5 (Kraków), 2,2 (Chorzów); ZAB (GIG): 13 17 10,0; DGP (GIG): 13 17 12,7	
	CHZ	Δ=7 km	
		ei_{NE}, i_Z P	13 17 09,1 I
		ei_{NZ}	09,7
		iS_{NEZ}	10,5
		Lm	13
		EZ: 1,2s; 4,0 μ, 2,4 μ	
		F	18
	RBN		
		e_N, ei_E	13 17 19,6
		ei_{NZ}	22,8
		ei_E	30,6
		ei_N	32,2
		F	19

Date	Station	Phase	T.U. h m s
9.I (suite)	KRA (SKM)	Δ=81 km	
		e_{FZ}	13 17 21,6
		$eiSg_N$	30,8
		$eiSg_Z$	31,2
		ei_E	34,4
		Lm	18 00
		Z: 1,2s; 0,06 μ	
		F	30
	RAC	Faible	
		e_E	13 17 23,2
		ei_E	30,6
		ei_Z	36,7
		F	19
	NIE	Δ=145 km. E - inactive	
		ePg_Z	13 17 32,2 D
		eSg_Z	50,6
		F	18 30
	KSP	Δ=193 km	
		iPn_{EZ}	13 17 40,3
		i_N, ei_{EZ} Sn	18 03,4
		F	30
12.I		φ =50°18′; λ =18°52′; H=02h57m26,5s; M=1,9 (Chorzów); ZAB: eiP_{NEZ} 02 57 28,3, iS_{NEZ} 29,3; DGP (GIG): 02 57 36,1	
	CHZ	Δ=9 km	
		ei_N, i_{EZ} P	02 57 28,9 D
		iS_{NEZ}	30,7
		Lm	34
		EZ: 1,1s; 1,8 μ, 0,6 μ	
		F	58
	RBN	Δ=34 km	
		ei_N	02 57 38,5
		e_E	39,1
		ei_Z	42,5
		F	59
	KRA (SKM)	Δ=83 km. Faible	
		ePg_{NEZ}	02 57 41,3

Date	Station	Phase	T.U. h m s
12.I	KRA	$eiSg_{NZ}$	02 57 52,1
		F	59
	NIE	Δ=146 km. Faible. E - inactive	
		$eiPg_Z$	02 57 51,9 C
		F	59
	KSP	Δ=196 km Faible	
		i_E, ei_Z Pn	02 57 58,8
		F	59
13.I		H=21h39m18,7s; M=2,1 (Chorzów); ZAB (GIG): 21 39 18,8; DGP (GIG): 21 39 24,3	
	CHZ	Δ=9 km	
		iP_{NEZ}	21 39 20,8 D
		iS_{NEZ}	22,4
		Lm	27
		Z: 1,0s; 0,8 μ	
		Lm	29
		NE: 0,8s; 1,4 μ, 1,5 μ	
		F	40
	KRA (Ch)	Δ=86 km. Faible	
		ePg_{EZ}	21 39 33,5
		ei_N	43,0
		$eiSg_{EZ}$	44,4
		F	41
	NIE	Δ=145 km. Faible. E - inactive	
		ePg_Z	21 39 43,7
		e_Z	40 12,2
		F	41
	KSP	Δ=192 km	
		$eiPn_{EZ}$	21 39 50,0
		$eiPn_{NEZ}$	40 13,0
		F	41
14.I		φ =50°14′; λ =18°57′; H=01h04m16,7s; M=2,4 (Chorzów, Kraków); ZAB: S_{EZ} 01 04 21,0; DGP: P_E 01 04 21,0	

Date	Station	Phase	T.U. h m s	
14.I (suite)	CHZ	Δ=8 km		
		ei_{NE}, i_Z P	01 04 19,1	D
		i_{NE}	20,3	
		i_E, ei_Z S	20,7	
		Lm	23	
		NEZ: $1,0^s$; 4,5 μ, 3,9 μ, 2,8 μ		
		F	05	
	RBN	Δ=34 km		
		e_E	01 04 25,7	
		e_E	30,9	
		e_N	33,8	
		e_Z	36,8	
		F	06	
	KRA (Ch)	Δ=75 km		
		$eiPg_{EZ}$	01 04 29,6	
		ei_N	37,6	
		ei_E, e_Z	38,3	
		iSg_{EZ}	39,1	
		Lm	05 13	
		NEZ: $1,2^s$; 0,04 μ, 0,05 μ, 0,05 μ		
		F	06	
	NIE	Δ=137 km.		
		$eiPg_Z$	01 04 40,3	C
		ei_{EZ}	58,3	
		F	06	
	KSP	Δ=204 km. Faible		
		$eiSn_{NEZ}$	01 05 16,5	
		F	06	
	RAC	Traces		
		EZ	01 04 30-06 00	
14.I		φ =50°20,5′; λ =19°11,5′; H=$22^h07^m31,8^s$; M=2,2 (Chorzów, Kraków); DGP: P_{NEZ} 32 07 32,7		
	CHZ	Δ=16 km		
		iP_{NEZ}	22 07 35,1	C
		ei_E	36,8	

Date	Station	Phase	T.U. h m s	
14.I	CHZ	iS_{NE}	22 07 37,1	
		ei_Z	38,1	
		Lm	43	
		EZ: $1,0^s, 1,2^s$; 1,4 μ, 0,8 μ		
		F	08 30	
	KRA (Ch, SKM)	Δ=64 km		
		$eiPg_{EZ}$	22 07 43,1	
		ei_N	50,3	
		$eiSg_{NEZ}$	51,3	
		Lm	08 13	
		NEZ: $1,0^s$; 0,02 μ, 0,03 μ		
		F	30	
	NIE	Δ=134 km		
		ei_N, i_Z Pg	22 07 55,3	
		i_E	56,9	
		$eiSg_Z$	08 12,4	
		ei_{NE}	13,3	
		F	09	
	RBN	Traces		
		ei_E	22 08 09,7	
		F	09	
15.I		φ =50°22,5′; λ =18°50,0′; H=$01^h27^m21,9^s$; M=2,4 (Kraków), 2,2 (Chorzów); ZAB: $(S-P)_{NZ} = 1,5^s$; DGP (GIG): 01 27 30,2		
	CHZ	Δ=15 km. Faible. N - impulsive		
		e_E, ei_Z P	01 27 25,0	
		iS_E	27,3	
		i_Z	28,3	
		Lm	34	
		EZ: $0,8^s, 0,9^s$; 0,6 μ, 0,7 μ		
		F	28	
	RBN	Δ=39 km		
		eiS_N	01 27 34,5	

Date	Station	Phase	T.U. h m s	
			01 27 35,5	
15.I (suite)	RBN	e_{EZ}	29	
		F		
	KRA (Ch, SKM)	Δ=89 km		
		$eiPg_{EZ}$	01 27 38,0	
	(Ch)	ei_E	47,6	
		ei_{NZ}	48,3	
	(SKM)	Lm	28	
		NEZ: $1,2^s$; 0,05 μ, 0,03 μ, 0,05 μ		
		F	29	
	NIE	Δ=154 km		
		$eiPg_Z$	01 27 48,3	C
		ei_{NE}	28 06,2	
		$eiSg_Z$	07,9	
		F	29	
	RAC	Traces		
		e_Z	01 27 53,6	
		ei_E	58,6	
		F	29 30	
	KSP	Δ=192 km. Faible		
		ei_{NZ}, i_E Sn	01 28 15,4	
		F	30	
16.I		H=$17^h38^m26,3^s$; M=2,5 (Kraków), 2,4 (Chorzów); ZAB: eiP_{NEZ} 17 38 28,7, iS_N 30,3; DGP (GIG): 17 38 31,8		
	CHZ	Δ=6 km		
		i_{NZ}, ei_E P	17 38 28,1	D
		iS_{NEZ}	29,4	
		Lm	32	
		NEZ: $0,7^s, 1,0^s$; 5,4 μ, 4,6 μ, 3,3 μ		
		F	39	
	RBN			
		e_{NEZ}	17 38 35,1	
		e_{NE}	39,7	
		ei_N, e_Z	41,1	

Date	Station	Phase	T.U. h m s	
16.I	RBN	eL_{NE}	17 38 51,3	
		F	40	
	KRA (SKM)	Δ=81 km		
		$eiPg_{EZ}$	17 38 40,2	D
		Pgm	41,4	
		Z: $0,6^s$; 0,023 μ		
		ei_N, e_E	50,0	
		i_N, ei_Z Sg	50,5	
		Lm	39 20	
		NEZ: $1,1^s$; 0,06 μ, 0,05 μ, 0,05 μ		
		F	40	
	RAC	Traces		
		e_E	17 38 42,5	
		F	40 30	
	KSP	Δ=200 km		
		$eiPn_{NEZ}$	17 38 58,9	
		$eiSn_{NE}$	39 22,5	
		iSn_Z	22,9	
		F	40	
19.I		φ =50°17′; λ =19°15′; H=$05^h09^m15,5^s$; M=2,4 (Chorzów), 2,3 (Kraków); DGP: P_{EZ} 05 09 16,9; ZAB: S_N 05 09 25,7		
	CHZ	Δ=19 km		
		e_N, ei_{EZ} P	05 09 19,0	D
		eiS_Z	22,0	
		i_{NE}	23,5	
		Lm	29	
		NEZ: $1,0^s, 1,0^s, 1,2^s$; 1,9 μ, 1,2 μ, 0,9 μ		
		Lm	41	
		NEZ: $1,1^s$; 1,1 μ, 1,1 μ, 0,9 μ		
		F	10 30	
	KRA (Ch)	Δ=57 km		
		$eiPg_{NEZ}$	05 09 25,3	C

International Seismological Centre

Date	Station	Phase	T.U. h m s
19.I (suite)	KRA	$eiSg_N$	05 09 32,5
		ei_E, e_Z	33,6
		ei_E	36
		Lm	10 00
		NEZ: 1,1^s; 0,05 μ, 0,06 μ	
			0,06 μ
		F	11
	RBN	Traces	
		NE	05 09 30-11 00
	KSP	Traces	
		NEZ	05 09 30-11 00
20.I		φ=50°15′; λ=18°57′; H=23^{h}53^{m}59,9^s; M=2,6 (Chorzów), 2,5 (Kraków); ZAB: S_Z 23 54 04,4; DGP (GIG): 23 54 05,0	
	CHZ	Δ=6 km	
		iP_{NEZ}	23 54 01,8 D
		iS_Z	03,0
		Lm	05
		NEZ: 0,8^s,0,7^s,0,9^s; 8,5 μ, 4,6 μ, 5,2 μ	
		F	55
	RBN	Δ=35 km	
		ei_E	23 54 09,8
		ei_N, e_Z	19,7
		F	56
	RAC	Δ=59 km. Faible	
		ePg_Z	23 54 10,0
		e_{NE}	15,0
		$eiSg_Z$	17,5
		e_E	18,0
		F	56 30
	KRA (SKM) (Ch, SKM)	Δ=76 km	
		iPg_{EZ}	23 54 12,8 D
		ei_{NE}, i_Z Sg	22,5
		Lm	51
		EZ: 1,2^s; 0,06 μ, 0,06 μ	
		F	55 30

Date	Station	Phase	T.U. h m s
20.I	KSP	Δ=203 km	
		$eiPn_{NEZ}$	23 54 33,7
		$eiSn_{NE}$	38,4
		i_Z	39,1
		F	55 30
21.I		φ=50°16′; λ=18°54′; H=21^{h}46^{m}03,6^s; M=2,1 (Chorzów); ZAB: eiP_{NE} 21 46 08,2; iS_{NE} 07,2; DGP (GIG): 21 46 09,5	
	CHZ	Δ=7 km	
		eiP_{NEZ}	21 46 05,3
		eiS_{NE}	06,8
		Lm	10
		NEZ: 1,0^s,0,8^s,1,2^s; 3,0 μ, 1,9 μ, 1,6 μ	
		F	47
	RBN	Δ=33 km. Faible	
		e_E, ei_Z	21 46 11,3
		ei_N	17,6
		ei_E	18,8
		F	47 30
	KRA (Ch)	Δ=80 km. Faible	
		$eiPg_{EZ}$	21 46 17,7 I
		$eiSg_N$	27,8
		e_E, ei_Z	28,8
		F	48
	KSP	Δ=199 km	
		$eiPn_{EZ}$	21 46 36,2
		ei_N, i_E Sn	47 00,0
		ei_Z	01,0
		F	30
22.I		φ=50°15′; λ=18°57′; H=05^{h}13^{m}29,2^s; M=2,2 (Kraków), 2,1 (Chorzów); ZAB: P_{NZ} 05 13 32,1; DGP: P_E 05 13 34,0	
	CHZ	Δ=5 km	
		ei_{NE}, i_Z P	05 13 30,8 I

Date	Station	Phase	T.U. h m s
22.I (suite)	CHZ	iS_{NZ}	05 13 31,9
		Lm	34
		EZ: 0,6^s,1,0^s; 2,7 μ, 2,4 μ	
		F	14
	KRA (Ch)	Δ=77 km. Faible	
		ePg_{EZ}	05 13 42,3
		$eiSg_{EZ}$	52,0
		Lm	14 20
		NEZ: 1,2^s; 0,03 μ, 0,03 μ	
			0,03 μ
		F	15
	KSP	Δ=203 km. Faible	
		$eiPn_{NEZ}$	05 14 02,5
		ei_N, e_{EZ} Sn	26,7
		ei_Z	28,4
		F	15
	RBN	Traces	
		NE	05 13 30-14 30
23.I		H=14^{h}59^{m}41,8^s; M=2,5 (Kraków), 2,4 (Chorzów); ZAB (GIG): 14 59 41,8; DGP (GIG): 14 59 51,2	
	CHZ	Δ=15 km	
		eiP_Z	14 59 45,1 C
		e_N, ei_E P	45,5
		i_{NE}, ei_Z S	47,7
		Lm	53
		EZ: 1,2^s; 1,0^s; 1,8 μ, 1,0 μ	
		F	15 00 30
	KRA (Ch)	Δ=90 km	
		i_N	15 00 07,3
		$eiSg_{EZ}$	08,3
	(SKM)	Lm	45
		EZ: 1,2^s; 0,05 μ, 0,06 μ	
		F	01 30
	KSP	Δ=191 km. Faible	
		$eiPn_{NEZ}$	15 00 13,2
		ei_{NEZ}	37,1
		i_Z	38,2
		F	01

International Seismological Centre

Date	Station	Phase	T.U. h m s
23.I	RBN	Traces	
		NE	15 00 - 01
	RAC	Traces	
		EZ	15 00 - 01
23.I		H=20^{h}41^{m}54,2^s; M=2,4 (Kraków); ZAB (GIG): 20 41 55,8; DGP (GIG): 20 42 00,7	
	CHZ	Δ=14 km Faible	
		eiP_{NEZ}	20 41 57,3 C
		ei_Z	58,8
		iS_{NE}	59,6
		F	42 30
	KRA (Ch, SKM)	Δ=90 km. Faible	
		ei_E, e_Z Pg	20 42 09,8
		e_{NZ}	19,8
		e_E	20,7
		Lm	54
		NEZ: 1,1^s; 0,04 μ, 0,04 μ, 0,05 μ	
		F	43
	KSP	Δ=191 km. Faible	
		$eiPn_{EZ}$	20 42 25,5
		i_E	49,2
		ei_Z	50,0
		F	43
	RBN	Traces	
		NE	20 42 - 43
24.I		φ=50°16′; λ=18°56′; H=01^{h}53^{m}13,1^s; M=2,4 (Kraków, Dąbrowa Górnicza), 2,2 (Chorzów); ZAB: iP_{EZ} 01 53 15,3, eiS_{NZ} 16,9; DGP: eP_Z 01 53 18,0, Lm_Z 1,5^s; 0,8 μ	
	CHZ	Δ=5 km	
		iP_{NEZ}	01 53 14,5 D
		Lm	19
		NEZ: 1,0^s; 3,5 μ, 4,0 μ, 2,2 μ	
		F	54
	RBN	Δ=35 km	
		eiP_Z	01 53 20,1

Date	Station	Phase	T.U. h m s	
24.I (suite)	RBN	eiS_{NE}	01 53 25,3	
		ei_{NZ}	28,5	
		F	55 30	
	KRA (Ch)	Δ=77 km		
		e_N, ei_{EZ} Pg	01 53 26,4	D
		Pgm	27,0	
		Z: 0,6s; 0,034 μ		
		$eiSg_N$	35,8	
		ei_E, e_Z Sg	36,2	
		Lm	54 07	
		EZ: 1,1s; 0,05μ, 0,04μ		
		F	55	
	RAC	Δ=58 km. Faible		
		ei_E	01 53 28,0	
		e_Z	43,0	
		F	55	
	KSP	Δ=201 km		
		i_{NE}, ei_Z Pn	01 53 44,6	C
		i_{NE}, ei_Z Sn	54 08,5	
		F	55	
25.I		H=13h01m53,6s; M=2,4 (Chorzów)		
		DGP: P_{EZ} 13 01 54,8 ;		
		ZAB (GIG): 13 02 12,2		
	CHZ	Δ=14 km		
		eiP_{NEZ}	13 01 56,9	
		i_N, ei_{EZ} S	59,2	
		Lm	02 04	
		NEZ: 1,0s; 1,9μ, 1,7 μ, 1,0 μ		
		F	30	
	KRA (Ch,SKM)	Δ=65 km		
		e_N, ei_{EZ} Pg	13 02 05,2	C
		Pgm	06,1	
		Z: 0,9s; 0,037 μ		
		i_N, ei_E	12,2	
		$eiSg_{EZ}$	13,8	
		F	03	
	RBN	Traces		
		NE	13 02 00-03 30	
	KSP	Traces		
		NEZ	13 02 30-03 30	

Date	Station	Phase	T.U. h m s	
27.I		φ =50°18′; λ=18°49′; H=06h48m44,8s; M=2,8 (Kraków), 2,5 (Chorzów); ZAB: P_N 06 45,5 ; DGP (GIG): 06		
	CHZ	Δ=14 km		
		ei_{NZ}, i_E P	06 48 47,8	
		i_{NE}, ei_Z S	50,0	
		Lm	56	
		NE: 1,0s; 1,9 μ, 2,0μ		
		F	49 30	
	KRA (Ch)	Δ=88 km		
		e_{NZ}	06 49 09,3	
		eSg_{NE}	10,8	
		ei_E	14,3	
		ei_{NZ}	15,0	
		Lm	36	
		EZ: 1,3s; 0,08μ, 0,08μ		
		F	50	
	KSP	Δ=191 km. Faible		
		$eiPn_{NE}$	06 49 16,8	
		$eiSn_{NEZ}$	39,6	
		i_{NZ}	41,1	
		F	50 30	
	RBN	Traces		
		NE	06 49 00-[illegible]	
	RAC	Traces		
		NEZ	06 49 - [illegible]	
27.I		H=08h48m06,1s; M=2,5 (Kraków)		
		DGP: P_{NZ} 08 48 07,9		
	KRA (SKM)	Δ=59 km		
		$eiPg_{NEZ}$	08 48 16,9	
		Pgm	17,5	
		Z: 0,6s; 0,052 μ		
	(Ch,SKM) (SKM)	ei_{NE}, e_Z Sg	23,5	
		Lm	50	
		NEZ: 1,2s; 0,06μ, 0,0[illegible] 0,08 μ		
		F	49 30	
	RBN	Δ=56 km. Faible	08 49 23,5	
		eSg_E	32,5	
		ei_N	50	
		F		

Date	Station	Phase	T.U. h m s	
27.I (suite)	RAC	Traces EZ	08 48 30-50 00	
	KSP	Traces NEZ	08 49 00-49 30	
27.I		φ =50°16′; λ =18°55′; H=19h51m44,8s; M=2,8 (Kraków, Chorzów); ZAB: iP_Z 19 51 47,2 ; DGP: P_{NEZ} 19 51 (49)		
	CHZ	Δ=6 km		
		iP_{NEZ}	19 51 46,2	D
		iS_{NE}	47,1	
		iS_Z	47,4	
		Lm	49	
		NEZ: 1,0s; 14,7 μ, 14,7μ 10,4 μ		
		F	53	
	RBN	Δ=34 km		
		e_{NE}	19 51 52,6	
		i_N	59,8	
		ei_E	52 02,0	
		i_E	03,7	
		F	54	
	RAC	Δ=57 km		
		ePg_Z	19 51(55)	
		ei_Z	59,2	
		ei_{NE}	52 00,0	
		i_N	08,0	
		F	55	
	KRA (SKM)	Δ=79 km		
		Pg_{NEZ}	19 51(58)	
		Pgm	59,3	
		Z: 0,6s; 0,089 μ		
	(Ch,SKM)	i_{NZ}, ei_E Sg	52 08,0	
		Lm	40	
	(SKM) (Ch)	EZ: 1,0s; 0,09 μ, 0,11μ		
		EZ: 1,3s; 0,18 μ, 0,17μ		
		F	53 30	
	KSP	Δ=200 km		
		iPn_{NEZ}	19 52 16,9	
		iSn_{NEZ}	40,5	
		F	54	

Date	Station	Phase	T.U. h m s	
29.I		H=23h04m02,1s; M=2,3 (Kraków); ZAB (GIG): 23 04 03,2 ; DGP (GIG): 23 04 08,8		
	CHZ	Δ=14 km. Faible		
		eP_{NZ}	23 04 05,2	
		ei_{NZ}, i_E S	07,5	
		F	05	
	RBN	Faible		
		e_{NZ}	23 04 15,7	
		e_E	17,6	
		e_{NE}	22,7	
		F	05 30	
	KRA (Ch,SKM) (Ch) (Ch,SKM) (SKM) (Ch)	Δ=87 km. Faible		
		ei_N, e_Z Sg	23 04 27,8	
		ei_{NEZ}	29,0	
		ei_{NZ}	31,3	
		Lm	05 05	
		NZ: 1,1s; 0,03 μ, 0,06 μ		
		NZ: 1,2s; 0,04 μ, 0,05 μ		
		F	30	
	KSP	Δ=189 km		
		ePn_{EZ}	23 04 33,0	
		iSn_N	55,3	
		$eiSn_{EZ}$	55,8	
		F	05 30	
	RAC	Traces		
		EZ	23 04 30-06 00	
30.I		φ =50°14′; λ=18°58′; H=03h22m29,0s; M=2,5 (Chorzów), 2,4 (Kraków); DGP: P_Z 03 22 33,3 ; ZAB (GIG): 03 22 33,5		
	CHZ	Δ=7 km		
		i_{NZ}, ei_E P	03 22 30,9	D
		iS_{EZ}	32,3	
		Lm	34	
		Z: 0,9s; 3,2 μ		
		F	23 30	
	RBN	Δ=35 km		
		ei_E	03 22 39,4	
		ei_E	43,4	
		e_{NE}	45,4	
		F	24 30	

International Seismological Centre

Date	Station	Phase	T.U. h m s
30.I (suite)	KRA (SKM)	Δ=74 km	
		eiPg$_{EZ}$	03 22 41,7 D
		eiSg$_{NEZ}$	51,1
		Lm	23 26
		NEZ: 0,8^s; 0,03 μ, 0,03 μ, 0,04 μ	
		F	24
	RAC	Δ=59 km. Faible	
		ei$_Z$	03 22 43,5
		eSg$_E$	47,3
		e$_Z$	51,3
		F	24 30
	KSP	Δ=205 km	
		e$_N$,ei$_{EZ}$ Pn	03 23 03,3
		e$_N$	27,3
		eiSn$_{NEZ}$	28,3
		F	24
30.I		H=04^{h}10^{m}17,5^s; M=2,2 (Chorzów), 2,0 (Kraków); DGP: P$_Z$ 04 10 18,4	
	CHZ	Δ=14 km. Faible	
		eiP$_{NEZ}$	04 10 21,0
		i$_E$,ei$_Z$ S	23,3
		ei$_Z$	25,3
		Lm	30
		NEZ: 1,0^s; 1,1 μ, 0,9 μ, 0,7 μ	
		F	11
	KRA (SKM)	Δ=62 km. Faible	
		e$_E$,ei$_Z$ Pg	04 10 28,4
		eiSg$_{NZ}$	36,7
		ei$_E$	37,7
	(Ch)	Lm	54
		NE: 1,0^s; 0,02 μ, 0,03 μ	
		F	11 30
	RBN	Traces	
		NE	04 10 30-11 30
30.I		φ =50°21′; λ=18°51′; H=17^{h}31^{m}35,5^s; M=2,3 (Kraków), 2,0 (Chorzów); ZAB: P$_{NEZ}$ 17 31 36,9; DGP: P$_N$ 17 31 40,7	

Date	Station	Phase	T.U. h m s
30.I	CHZ	Δ=11 km	
		ei$_{NZ}$,e$_E$ P	17 31 36,0
		iS$_{NZ}$	39,6
		Lm	45
		NEZ: 1,3^s,1,0^s,1,2^s; 1,2 μ, 0,7 μ, 0,8 μ	
		F	32
	KRA (Ch,SKM)	Δ=86 km. Faible	
		eiPg$_{EZ}$	17 31 50,3
		ei$_Z$	32 00,8
	(Ch)	Lm	32
		Z: 1,0^s; 0,03μ	
		F	33
	KSP	Δ=193 km. Faible	
		eiPn$_{EZ}$	17 32 07,0
		ei$_N$	31,4
		i$_Z$	32,3
		ei$_E$	33,1
		F	33
	RBN	Traces	
		NE	17 31 30-32 00
	RAC	Traces	
		Z	17 32 - 33
30.I		φ =50°18′; λ=18°52′; H=19^{h}24^{m}30,1^s; M=2,3 (Chorzów); ZAB: eiP$_{NEZ}$ 19 24 31,6; DGP (GIG): 19 24 36,1	
	CHZ	Δ=9 km	
		i$_{NZ}$,ei$_E$ P	19 24 32,4 D
		iS$_{NZ}$	34,1
		Lm	38
		NZ: 1,0^s,1,2^s; 3,0 μ, 1,6 μ	
		E: 1,0^s; 1,1 μ	39
		F	25
	RBN	Δ=34 km	
		eP$_{NEZ}$	19 24 37,5
		eS$_N$	42,4
		ei$_{EZ}$	43,9
		F	26
	RAC	Δ=55 km. Traces	
		e$_Z$	19 24 41,5
		F	26

Date	Station	Phase	T.U. h m s
30.I (suite)	KRA (Ch,SKM)	Δ=83 km. Faible	
		eiPg$_{NZ}$	19 24 44,0
		eiPg$_E$	44,4
		eSg$_{EZ}$	54,8
		F	26
	KSP	Δ=196 km. Faible	
		e$_N$,i$_E$,ei$_Z$ Pn	19 25 02,4 C
		ei$_N$,e$_Z$ Sn	23,5
		F	26
30.I		H=19^{h}34^{m}24,9^s; M=2,5 (Kraków), 2,2 (Chorzów); ZAB (GIG): 19 34 26,4; DGP (GIG): 19 34 32,1	
	CHZ	Δ=14 km	
		e$_N$,ei$_{EZ}$ P	19 34 28,0
		iS$_N$	30,1
		iS$_E$	30,5
		i$_N$,ei$_Z$	31,1
		Lm	36
		NZ: 1,2^s; 1,1 μ, 0,9 μ	
		F	35
	KRA (Ch)	Δ=89 km Faible	
		ei$_E$,e$_Z$ Pg	19 34 40,4
		Lm	35 26
		Z: 1,2^s; 0,04 μ	
		F	36
	RBN	Faible	
		e$_N$	19 34 38,4
		ei$_E$	41,5
		F	36
	RAC	Traces	
		EZ	19 34 30-36 30

Date	Station	Phase	T.U. h m s
30.I	KSP	Traces	
		NEZ	19 35 - 36
31.I		H=11^{h}09^{m}37,7^s; M=2,1 (Chorzów); DGP (GIG): 11 09 40,4; ZAB (GIG): 11 09 48,8	
	CHZ	Δ=13 km. Faible	
		eiP$_{NEZ}$	11 09 40,9
		ei$_E$	42,5
		ei$_N$,i$_E$ S	43,0
		Lm	47
		NZ: 0,8^s,1,2^s; 1,6 μ, 0,8 μ	
		F	10 30
	KRA (SKM)	Δ=65 km. Faible	
		eiPg$_E$	11 09 48,6
		i$_{NE}$,ei$_Z$ Sg	56,8
		F	11
	KSP	Δ=211 km. Faible	
		eiPn$_{NEZ}$	11 10 13,6
		ei$_N$	37,1
		eiSn$_{EZ}$	38,6
		F	11
	RBN	Traces	
		NE	11 10 - 11
	RAC	Traces	
		EZ	11 10 00-11 30

Date	Station	Phase	T.U. h m s
1.II		H=21^{h}14^{m}42,5^s; M=2,6 (Kraków); ZAB (GIG): 21 14 45,3 DGP (GIG): 21 14 45,9	
	RBN	e$_{EZ}$	21 14 51,2
		e$_N$,ei$_E$	56,0
		ei$_{NZ}$	59,3
		F	17
1.II	RAC	Faible	
		e$_Z$	21 14 52,6
		ei$_N$	56,4
		ei$_Z$	58,4
		ei$_E$	59,6
		F	17 30
	KRA (Ch,SKM)	Δ=71 km	
		e$_N$,ei$_{EZ}$ Pg	21 14 54,8

International Seismological Centre

Date	Station	Phase	T.U. h m s	
1.II (suite)	KRA	Pgm	21 14 55,4	
		Z: 0,6^{s}; 0,050 μ		
		eiSg$_{NZ}$	15 03,8	
		i$_{EZ}$	05,0	
		Lm	35	
		NEZ: 1,1^{s}; 0,06 μ, 0,07 μ		
		0,08 μ		
		F	16 30	
	KSP	Δ=206 km		
		eiPn$_{NEZ}$	21 15 15,0	D
		ei$_{E}$	38,2	
		eiSn$_{NEZ}$	39,5	
		F	17	
5.II		H=02^{h}56^{m}42,8^{s}; ZAB (GIG): 02 56 46,3; DGP (GIG): 02 56 49,7		
	KRA (SKM)	Δ=76 km. Faible		
		ePg$_{NE}$	02 56 56,0	
		eiPg$_{Z}$	56,5	C
		e$_{N}$	57 04,7	
		eiSg$_{EZ}$	05,9	
		F	58	
	RBN	Faible		
		e$_{Z}$	02 56 59,0	
		ei$_{N}$	59,8	
		ei$_{EZ}$	57 10,4	
		F	58 30	
	KSP	Traces		
		e$_{EZ}$	02 57 16,2	
		e$_{NEZ}$	41,2	
		F	58	
	RAC	Traces		
		EZ	02 57 - 58	
7.II		H=10^{h}24^{m}19,0^{s}; M=2,7 (Kraków); ZAB (GIG): 10 24 20,5; DGP (GIG): 10 24 23,9		
	RBN			
		ei$_{N}$	10 24 29,7	
		e$_{E}$	30,9	
		ei$_{Z}$	32,1	
		i$_{Z}$	40,1	
		F	26 30	

Date	Station	Phase	T.U. h m s	
7.II	KRA (Ch, SKM)	Δ=79 km		
		eiPg$_{EZ}$	10 24 32,7	
		ei$_{N}$	34,1	
	(Ch)	eiSg$_{N}$	42,1	
		eiSg$_{Z}$	43,0	
		Lm	25 33	
		EZ: 1,5^{s}; 0,10 μ, 0,10 μ		
		F	26	
	KSP	Δ=197 km		
		iPn$_{NEZ}$	10 24 50,8	
		ei$_{N}$	25 13,0	
		i$_{E}$,ei$_{Z}$ Sn	14,3	
		F	26	
	RAC	Traces		
		NEZ	10 24 30-35	
7.II		φ=50°15′; λ=19°04′; H=18^{h}52^{m}26,6^{s}; M=2,5 (Dąbrowa Górnicza), 2,3 (Kraków)		
		DGP: P$_{Z}$ 18 52 28,8, Lm$_{NEZ}$ 1,3^{s}; 1,4 μ, 1,3 μ, 1,5 μ,		
		ZAB: P$_{Z}$ 18 52 30,7		
	KRA (Ch, SKM) (SKM)	Δ=67 km		
		eiPg$_{EZ}$	18 52 38,1	
		ei$_{N}$	40,5	
		i$_{N}$,ei$_{EZ}$ Sg	46,5	
		Lm	53 19	
		NEZ: 1,1^{s}; 0,04 μ, 0,0		
		0,04 μ		
		F	54	
	RBN	Δ=42 km. Faible		
		e$_{N}$	18 52 43,4	
		e$_{Z}$	45,4	
		ei$_{E}$	48,6	
		e$_{NZ}$	51,4	
		F	54	
	RAC	Δ=67 km. Traces		
		e$_{N}$	18 52 54,0	
		ei$_{E}$	56,0	
		F	54 30	
	KSP	Δ=212 km		
		eiPn$_{EZ}$	18 52 59,8	
		i$_{EZ}$	53 00,3	
		iSn$_{NE}$	24,6	

Date	Station	Phase	T.U. h m s	
7.II (suite)			18 53 25,5	
	KSP	eiSn$_{Z}$	54	
		F		
7.II		H=19^{h}44^{m}18,5^{s}; M=2,4 (Kraków); ZAB (GIG): 19 44 19,9		
		DGP (GIG): 19 44 22,2		
	RBN	Δ=37 km		
		eP$_{NEZ}$	19 44 25,5	
		ei$_{NZ}$,e$_{E}$	33,5	
		F	46	
	KRA (SKM)	Δ=73 km		
		eiPg$_{NEZ}$	19 44 31,1	D
		Pgm	31,8	
		Z: 0,4^{s}; 0,045 μ		
	(Ch, SKM)	eiSg$_{NEZ}$	40,3	
		Lm	45 18	
		EZ: 1,0^{s}; 0,04 μ, 0,05 μ		
		F	46	
	KSP	Δ=203 km		
		ei$_{NZ}$,i$_{E}$ Pn	19 44 50,0	C
		ei$_{E}$,e$_{Z}$	45 12,7	
		iSn$_{N}$	13,9	
		ei$_{E}$,i$_{Z}$ Sn	14,3	
		F	46	
	RAC	Traces		
		NEZ	19 44 30-46 00	
9.II		H=07^{h}38^{m}38,0^{s}; M=2,7 (Kraków); DGP.(GIG): 07 38 41,2		
	RBN			
		e$_{EZ}$	07 38 47,6	
		e$_{N}$	50,2	
		ei$_{E}$	52,3	
		ei$_{N}$	53,3	
		F	41	
	KRA (SKM)	Δ=68 km		
		eiPg$_{EZ}$	07 38 49,9	C
		Pgm	50,9	
		Z: 0,9^{s}; 0,100 μ		
		iSg$_{NEZ}$	58,6	
		Lm	39 31	
		NEZ: 1,1^{s}; 0,10 μ, 0,14 μ		
	(Ch)	Lm	0,11 μ	
			32	
		NEZ: 1,1^{s}; 0,11 μ, 0,14 μ		
		F	0,10 μ	
			40 30	

Date	Station	Phase	T.U. h m s	
9.II	RAC			
		ei$_{N}$,e$_{Z}$	07 38 51,5	
		e$_{N}$,ei$_{E}$	56,5	
		F	41 30	
	KSP	Δ=211 km		
		eiPn$_{EZ}$	07 39 12,5	
		ei$_{N}$,i$_{EZ}$	13,0	
		ei$_{N}$	36,2	
		i$_{E}$,ei$_{Z}$ Sn	37,5	
		F	41	
10.II		H=00^{h}17^{m}21,9^{s}; M=2,5 (Kraków); ZAB (GIG): 00 17 25,0; DGP (GIG): 00 17 28,0		
	RBN	Δ=39 km		
		e$_{NE}$,ei$_{Z}$ P	00 17 29,4	
		ei$_{N}$,e$_{Z}$	34,2	
		ei$_{EZ}$	36,2	
		eL$_{NE}$	44	
		F	20	
	RAC	Δ=63 km. Faible		
		ePg$_{Z}$	00 17 33,5	
		e$_{EZ}$	36,7	
		ei$_{N}$	37,7	
		F	20	
	KRA (Ch)	Δ=83 km		
		ePg$_{NEZ}$	00 17 36,2	C
		ei$_{NEZ}$	36,6	
		eiSg$_{N}$	46,5	
		ei$_{E}$,e$_{Z}$ Sg	46,8	
		ei$_{Z}$	47,3	
		Lm	18 10	
		NEZ: 1,0^{s}; 0,03 μ, 0,05 μ, 0,04 μ		
		F	19	
	KSP	Δ=195 km		
		eiPn$_{EZ}$	00 17 54,8	D
		ei$_{N}$,i$_{EZ}$	55,2	
		e$_{Z}$	18 15,7	
		eiSn$_{N}$	17,9	
		eiSn$_{E}$	18,4	
		i$_{NZ}$	19,0	
		F	19	

International Seismological Centre

Date	Station	Phase	T.U. h m s	
13.II		φ =50°18′; λ =18°51′; H=17^{h}46^{m}25,0^s; M=2,3 (Kraków) 2,0 (Chorzów); ZAB: P_{NEZ} 17 46 26,3; DGP: 17 46 30,4		
	CHZ	Δ=10 km		
		e_{NZ},ei_E P	17 46 27,3	C
		eS_Z	29,1	
		ei_{NZ}	29,8	
		Lm	36	
		EZ: 1,0^s,1,2^s; 0,8 μ, 0,8 μ		
		F	47	
	KRA (SKM)	Δ=84 km		
		$eiPg_{EZ}$	17 46 40,1	
		ei_N	41,9	
		i_E,ei_Z Sg	51,0	
		i_N	52,3	
		Lm	47 26	
		NZ: 1,1^s,1,2^s; 0,03 μ, 0,04 μ		
		F	48	
	RBN	Traces		
		NE	17 46 30-48 00	
	RAC	Traces		
		EZ	17 47 - 48	
14.II		φ =50°21′; λ =18°50′; H=15^{h}04^{m}10,5^s; M=3,2 (Kraków Racibórz), 2,9 (Chorzów); ZAB: eiP_{NEZ} 15 04 12,4, iS_{EZ} 13,9; DGP (GIG): 15 04 17,2		
	CHZ	Δ=13 km		
		e_{NE},ei_Z P	15 04 13,2	
		i_N,ei_Z	14,3	
		Lm	22	
		NEZ: 1,2^s,1,0^s,1,0^s; 4,7 μ, 6,6 μ, 3,9 μ		
		F	06	
	RBN	Δ=37 km		
		eP_{NE}	15 04 17,5	
		ei_{NE}	22,7	
		ei_Z	23,4	
		i_N,ei_E	25,0	
		F	07	

Date	Station	Phase	T.U. h m s	
14.II	RAC	Δ=56 km		
		$eiPg_{NEZ}$	15 04 22,0	
		ei_N	27,2	
		ei_E	28,2	
		ei_Z	29,2	
		Lm	44	
		EZ: 1,0^s,1,2^s; 0,6 μ,0,1		
		F	07	
	KRA (Ch,SKM)	Δ=87 km		
		$eiPg_{EZ}$	15 04 25,7	C
	(SKM)	i_E	26,6	
	(Ch,SKM)	e_E,ei_Z Sg	36,7	
		i_{NEZ}	37,8	
		Lm	05 14	
	(SKM)	NEZ: 1,1^s; 0,13 μ, 0,17 μ, 0,26 μ		
	(Ch)	NEZ: 1,2^s; 0,16 μ, 0,24 μ, 0,30 μ		
		F	06	
	KSP	Δ= 192 km		
		$eiPn_{EZ}$	15 04 41,6	D
		ei_N	42,3	
		iSn_{NE}	05 04,3	
		iSn_Z	04,8	
		F	06 30	
14.II		H=20^{h}31^{m}48,2^s; M=2,2 (Chorzów); ZAB (GIG): 20 31 50,2; DGP (GIG): 20 31 54,3		
	CHZ	Δ=8 km		
		iP_{NEZ}	20 31 50,0	D
		ei_{NZ},i_E S	51,5	
		Lm	54	
		NEZ: 0,8^s,1,1^s,1,1^s; 2,2 μ, 2,0 μ, 1,8 μ		
		F	32 30	
	KRA (SKM)	Δ=80 km. Faible		
		$eiPg_{EZ}$	20 32 02,1	D
		$eiSg_Z$	12,2	
		ei_{EZ}	14,9	
		i_N	17,0	
		F	33	
	RBN	Faible		
		e_{NZ}	20 32 03,1	
		i_E	04,3	

Date	Station	Phase	T.U. h m s	
14.II (suite)	RBN	ei_N	20 32 13,3	
		F	33	
	KSP	Δ=196 km		
		$eiPn_{EZ}$	20 32 20,8	C
		Sn_{NEZ}	(44)	
		F	33	
14.II		H=22^{h}16^{m}36,4^s; M=2,4 (Chorzów); ZAB (GIG): 22 16 40,8; DGP (GIG): 22 16 41,7		
	CHZ	Δ=7 km		
		eiP_{NEZ}	22 16 38,3	C
		i_N,ei_Z S	39,7	
		Lm	43	
		NZ: 0,7^s;1,0^s; 4,4 μ, 2,8 μ		
		F	17 30	
	RBN	Faible		
		ei_N	22 16 49,3	
		i_N	51,8	
		e_E	55,3	
		F	18 30	
	KRA (SKM)	Δ=75 km. Faible		
		e_N,ei_{EZ} Pg	22 16 49,4	D
		ei_{NZ}	58,0	
		ei_{EZ}	17 00,0	
		F	18	
	KSP	Δ=202 km. Faible		
		$eiPn_{NEZ}$	22 17 11,0	
		$eiSn_{NZ}$	35,0	
		ei_Z	37,0	
		F	18	
	RAC	Traces		
		EZ	22 17 00-18 30	
17.II		φ =50°18,5′; λ =19°11,5′; H=16^{h}58^{m}13,2^s; M=2,5 (Chorzów), 2,3 (Kraków); DGP: P_Z 16 58 14,2; ZAB: S_N 16 58 22,7		
	CHZ	Δ=15 km		
		i_{NZ},e_E P	16 58 16,5	D
		Lm	24	
		NZ: 1,0^s; 2,0 μ, 1,4 μ		
		F	59	

Date	Station	Phase	T.U. h m s	
17.II	KRA (Ch)	Δ=61 km		
		ePg_{NEZ}	16 58 23,8	C
		$eiSg_{NEZ}$	31,6	
		Lm	51	
		NE: 1,2^s; 0,03 μ, 0,07 μ		
		F	59 30	
	RBN	Δ=54 km. Faible		
		e_E	16 58 31,5	
		ei_N	35,6	
		e_Z	37,5	
		F	17 00	
	KSP	Δ=219 km. Traces		
		ei_{NE}	16 59 14,1	
		e_Z	14,7	
		F	17 00	
	RAC	Traces		
		EZ	16 59 - 17 00	
17.II		φ =50°18′; λ =18°54′; H=17^{h}15^{m}27,2^s; ZAB (GIG): 17 15 29,2		
	CHZ	Δ=7 km		
		e_{NE},ei_Z P	17 15 29,1	C
		i_{NZ},ei_E S	30,5	
		F	16	
	RBN	Δ=35 km. Faible		
		eS_{NE}	17 15 38,9	
		ei_{NZ},e_E	42,4	
		F	17	
	KRA (SKM)	Δ=81 km. Faible		
		e_{EZ}	17 15 42,1	
		$eiSg_N$	50,8	
		F	17	
	KSP	Δ=198 km		
		$eiPn_{NEZ}$	17 16 00,0	
		$eiSn_{NEZ}$	23,5	
		F	17	
	RAC	Traces		
		EZ	17 16 - 17	
18.II		φ =50°15,5′; λ =18°54,5′; H=04^{h}09^{m}18,7^s; M=2,2 (Chorzów); ZAB: eiP_{NEZ} 04 09 20,7,		

International Seismological Centre

Date	Station	Phase	T.U. h m s
18.II (suite)		iS_{NE} 23,8; DGP (GIG): 04 09 24,4	
	CHZ	Δ=7 km	
		ei_N, i_{EZ} P	04 09 20,4
		iS_{NEZ}	21,8
		Lm	24
		Z: 1,1^s; 2,3 μ	
		F	10
	RBN	Δ=33 km	
		eiP_E	04 09 24,0
		ei_N, e_E	33,5
		ei_{NE}, e_Z	41,0
		F	11 30
	KRA (SKM)	Δ=79 km	
		$eiPg_{EZ}$	04 09 32,5
		ei_Z	40,7
		i_N, e_Z Sg	42,4
		ei_{EZ}	43,0
		F	11
	KSP	Δ=200 km	
		ei_{NZ}, i_E Pn	04 09 51,0
		ei_{NZ}, i_E Sn	10 15,0
		F	11
	RAC	Traces	
		NEZ	04 09 30-11 00
19.II		H=04^{h}36^{m}06,5^s; M=2,3 (Chorzów); DGP (GIG): 04 36 11,0	
	CHZ	Δ=10 km	
		eiP_{NEZ}	04 36 09,0
		iS_{NEZ}	10,8
		Lm	13
		NEZ: 0,8^s, 0,8^s, 1,0^s; 2,1 μ, 2,1 μ, 1,7 μ	
		F	37
	KRA (SKM)	Δ=78 km. Faible	
		ePg_Z	04 36 19,9
		e_{NE}	27,6
		i_E	29,3
		F	37 30
	RBN	Traces	
		NEZ	04 36 00-37 30

Date	Station	Phase	T.U. h m s
19.II		H=07^{h}41^{m}29,1^s; M=2,3 (Chorzów, Kraków); DGP (GIG): 07 41 32,[illegible]	
	CHZ	Δ=13 km	
		eiP_{NEZ}	07 41 32,0 [illegible]
		i_{NE}, e_Z S	34,1
		i_Z	35,0
		Lm	38
		EZ: 1,1^s; 1,9 μ, 1,1 μ	
		N: 0,8^s; 1,1 μ	41
		F	42 30
	KRA (Ch, SKM) (Ch)	Δ=60 km. Faible	
		$eiPg_{EZ}$	07 41 39,5
		ei_{NEZ}	48,6
		Lm	42 17
		NEZ: 1,2^s; 0,04 μ, 0,06 μ, 0,06 μ	
		F	43
	KSP	Δ=218 km. Faible	
		$eiPn_{NEZ}$	07 42 04,2
		ei_{EZ}	30,4
		ei_N	31,2
		F	43
	RBN	Traces	
		NE	07 41 30-43 00
20.II		H=05^{h}31^{m}52,7^s; M=2,5 (Kraków), ZAB (GIG): 05 31 53,8; DGP (GIG): 05 31 58,9	
	CHZ	Δ=14 km. Faible	
		eP_{EZ}	05 31 55,8
		eiS_{NE}	58,1
		ei_Z	32 00,1
		F	30
	KRA (Ch, SKM) (Ch) (Ch, SKM)	Δ=87 km. Faible	
		$eiSg_{NE}$	05 32 18,2
		ei_{NZ}	19,5
		ei_E	20,2
		Lm	55
		NEZ: 1,2^s; 0,04 μ, 0,05 μ, 0,06 μ	
		F	33 30
	KSP	Δ=187 km	
		ei_E, e_Z Pn	05 32 23,0

Date	Station	Phase	T.U. h m s
			05 32 45,4
20.II (suite)	KSP	$eiSn_{NEZ}$	33
		F	
	RAC	Traces	
		EZ	05 32 30-33 30
20.II		φ=50°17′; λ=19°09′; H=07^{h}40^{m}54,2^s; M=2,5 (Chorzów), 2,4 (Kraków); DGP: P_{NEZ} 07 40 55,9; ZAB: S_N 07 41 03,1	
	CHZ	Δ=11 km	
		eiP_Z	07 40 57,0 D
		ei_{NE}	57,8
		eiS_{EZ}	58,9
		Lm	41 05
		EZ: 1,0^s; 2,5 μ, 2,0 μ	
		N: 0,9^s; 2,2 μ	08
		F	42
	KRA (SKM)	Δ=63 km	
		e_E, ei_Z Pg	07 41 04,8 C
		Pgm	06,2
		Z: 0,8^s; 0,059 μ	
		$eiSg_{NZ}$	12,8
		ei_E	13,8
		Lm	37
		EZ: 1,0^s; 0,05 μ, 0,05 μ	
		NEZ: 1,0^s; 0,06 μ, 0,07 μ, 0,06 μ	
		F	42 30
	RBN	Δ=50 km	
		ei_E	07 41 12,0
		ei_N	15,0
		ei_{NEZ}	19,0
		F	42 30
	KSP	Δ=216 km	
		$eiPn_{EZ}$	07 41 29,4 D
		ei_N	30,9
		e_E, ei_Z Sn	54,4
		$eiSn_N$	55,0
		ei_E	56,0
		F	43
20.II		φ=50°21′; λ=18°54′; H=09^{h}06^{m}11,9^s; M=3,0 (Kraków)	

Date	Station	Phase	T.U. h m s
20.II		2,8 (Chorzów); ZAB: eP_{NZ} 09 06 14,0; DGP: eP_Z 09 06 16,5, eiS_Z 19,3	
	CHZ	Δ=9 km	
		iP_{NEZ}	09 06 13,8 D
		Lm	20
		Z: 0,8^s; 4,2 μ	
		F	07 30
	RBN	Δ=39 km	
		ei_{NE}	09 06 21,4
		iS_N	25,0
		i_E, ei_Z	26,2
		F	08 30
	KRA (SKM)	Δ=83 km	
		$eiPg_{NEZ}$	09 06 26,3 D
		i_N	36,0
		$eiSg_{EZ}$	37,0
		Lm	07 06
		NZ: 1,2^s, 1,4^s; 0,09 μ, 0,17 μ	
		F	08
	KSP	Δ=197 km	
		Pn_{NEZ}	09 06(43)
		ei_{NE}, e_Z Sn	07 06,4
		F	08
	RAC	Traces	
		NEZ	09 06 30-09 00
20.II		φ=50°15,0′; λ=19°02,5′; H=14^{h}15^{m}34,5^s; M=2,4 (Chorzów, Kraków); DGP: P_Z 14 15 37,9; ZAB: P_Z 14 15 38,4	
	CHZ	Δ=6 km	
		iP_{NEZ}	14 15 35,6 D
		Lm	39
		Z: 1,0^s; 4,3 μ	
		F	16 30
	KRA	Δ=69 km	
		$eiPg_{EZ}$	14 15 46,5
		ei_N	51,3
		$eiSg_N$	55,1
		$eiSg_{EZ}$	55,5
		i_{EZ}	56,4

International Seismological Centre

Date	Station	Phase	T.U. h m s	
20.II (suite)	KRA	Lm	14 16 30	
		EZ: 1,0^s; 0,04 μ, 0,04 μ		
		F	17	
	RBN	Δ=41 km. Faible		
		ei$_E$	14 15 50,3	
		e$_N$	51,3	
		F	17	
	KSP	Δ=210 km		
		eiPn$_{NEZ}$	14 16 08,0	
		eiSn$_{NE}$	32,7	
		eiSn$_Z$	33,4	
		F	17	
	RAC	Traces		
		EZ	14 16 - 17	
21.II		φ =50°22′; λ =18°49′; H=20^{h}08^{m}36,0^s; M=3,3 (Kraków), 3,1 (Chorzów);		
		ZAB: iP$_{NEZ}$ 20 08 37,7;		
		DGP: P$_Z$ 20 08 41,9		
	CHZ	Δ=15 km		
		e$_N$, ei$_{EZ}$ P	20 08 39,2	C
		iS$_{NEZ}$	41,6	
		Lm	47	
		EZ: 1,2^s; 10,2 μ; 6,3 μ		
		F	10 30	
	RBN	Δ=37 km		
		eiP$_{NEZ}$	20 08 44,1	
		ei$_{NEZ}$	48,8	
		F	12	
	RAC	Δ=56 km		
		e$_E$, ei$_Z$	20 08 47,5	
		eSg$_{EZ}$	52,5	
		iSg$_N$	53,5	
		ei$_{NZ}$	57,5	
		F	11 30	
	KRA (SKM)	Δ=89 km		
		eiPg$_{EZ}$	20 08 51,6	
		ei$_N$, i$_{EZ}$	52,6	
	(Ch, SKM)	i$_{NE}$, ei$_Z$	09 01,7	
		iSg$_{EZ}$	03,0	
		Lm	40	
	(SKM)	NEZ: 1,3^s; 0,15 μ, 0,23 μ, 0,26 μ		

Date	Station	Phase	T.U. h m s	
21.II	KRA (Ch)	EZ: 1,3^s; 0,29 μ, 0,21 μ		
		Lm	20 09 44	
		N: 1,3^s; 0,21 μ		
		F	10 30	
	KSP	Δ=191 km		
		eiPn$_{EZ}$	20 09 06,4	
		ei$_N$	07,2	
		eiSn$_{NEZ}$	29,4	
		i$_{NEZ}$	31,8	
		F	11	
22.II		φ =50°20,5′; λ =18°55,5′; H=17^{h}14^{m}11,1^s; M=2,6 (Chorzów, Kraków); ZAB: eP$_{NE}$ 17 14 14,0, iS$_{NE}$, eiS$_Z$ 15,7;		
		DGP: S$_N$ 17 14 18,7		
	CHZ	Δ=8 km		
		ei$_N$, e$_{EZ}$ P	17 14 13,0	
		ei$_{NZ}$, i$_E$ S	14,4	
		i$_N$	15,3	
		Lm	19	
		Z: 1,1^s; 4,6 μ		
		Lm	21	
		NE: 0,8^s; 5,8 μ, 2,6 μ		
		F	15	
	RBN	Δ=40 km		
		ei$_N$, e$_Z$	17 14 25,7	
		e$_E$	26,7	
		ei$_{NZ}$	30	
		F	16 30	
	KRA (SKM)	Δ=81 km		
		e$_E$	17 14 25,9	
		e$_Z$	33,8	
		eiSg$_{NE}$	35,2	
		Lm	57	
		NEZ: 1,5^s; 0,12 μ, 0,09 μ, 0,06 μ		
		F	16	
	KSP	Δ=199 km		
		Pn$_{EZ}$	17 14(43)	
		eiSn$_{NEZ}$	15 06,0	
		F	16 30	
	RAC	Traces		
		NEZ	17 14 30-17 00	

Date	Station	Phase	T.U. h m s	
23.II		H=10^{h}24^{m}38,3^s; M=2,2 (Chorzów); DGP (GIG): 10 24(43)		
	CHZ	Δ=5 km		
		ei$_{NE}$, i$_Z$ P	10 24 39,8	D
		iS$_{EZ}$	40,9	
		Lm	43	
		NEZ: 0,7^s, 0,8^s, 1,0^s; 4,8 μ, 2,5 μ; 2,4 μ		
		F	25	
	KRA (Ch)	Δ=74 km. Faible		
		i$_E$, ei$_Z$ Sg	10 25 00,2	
		e$_E$, ei$_Z$	07,4	
		F	26	
	RBN	Traces		
		NE	10 25 - 26	
24.II		φ =50°16,5′; λ =18°54,0′; H=20^{h}02^{m}04,3^s; M=2,7 (Chorzów); ZAB: P$_N$ 20 02 06,4;		
		DGP (GIG): 20 02.10,1		
	CHZ	Δ=7 km		
		eiP$_{NEZ}$	20 02 06,1	
		iS$_{NEZ}$	07,5	
		Lm	10	
		NE: 0,9^s; 4,6 μ, 2,7 μ		
		F	03	
	RBN	Δ=33 km		
		ei$_Z$	20 02 12,3	
		e$_E$	12,8	
		ei$_N$, e$_E$ S	15,3	
		ei$_E$	16,7	
		F	04	
	KRA (SKM)	Δ=80 km		
		eiPg$_{EZ}$	20 02 18,6	C
		ei$_N$	27,4	
		eiSg$_Z$	28,9	
		F	03 30	
	KSP	Δ=199 km		
		ei$_N$, i$_{EZ}$ Pn	20 02 36,6	
		ei$_N$	59,1	
		ei$_{EZ}$	59,6	
		F	03 30	
	RAC	Traces		
		NEZ	20 02 30-04 00	

Date	Station	Phase	T.U. h m s	
26.II		H=03^{h}34^{m}52,4^s; M=2,2 (Chorzów); DGP (GIG): 03 34 53,2		
	CHZ	Δ=11 km. Faible		
		eP$_{EZ}$	03 34 54,9	C
		eiS$_N$	56,8	
		Lm	35 06	
		NEZ: 0,9^s; 1,8 μ, 1,3 μ, 0,8 μ		
		F	36	
	KRA (Ch, SKM) (SKM)	Δ=61 km. Faible		
		ePg$_{NEZ}$	03 35 03,0	
		eiSg$_N$	10,7	
		ei$_{EZ}$	11,7	
		F	36	
	RBN	Traces		
		NEZ	03 35 - 36	
	KSP	Traces		
		NEZ	03 35 30-36 30	
27.II		φ =50°14,5′; λ =18°54,0′; H=06^{h}02^{m}30,0^s; M=2,8 (Chorzów), 2,7 (Kraków); ZAB: iP$_Z$ 06 02 32,4, iS$_Z$ 34,4;		
		DGP: P$_Z$ 06 02 35,3		
	CHZ	Δ=9 km		
		ei$_N$, i$_{EZ}$ P	06 02 31,8	D
		iS$_{NZ}$	33,3	
		Lm	36	
		NEZ: 1,0^s; 7,4 μ, 7,9 μ, 5,1 μ		
		F	04	
	RBN	Δ=31 km		
		ei$_{NZ}$, e$_E$	06 02 38,3	
		ei$_N$, i$_E$	46,2	
		Lm	03	
		NE: 1,8^s, 1,3^s; 4,0 μ, 3,0 μ		
		F	05	
	RAC	Δ=55 km. Faible		
		ei$_Z$	06 02 42,4	
		ei$_E$	45,4	
		F	05	
	KRA (Ch, SKM)	Δ=79 km		
		ei$_N$, i$_{EZ}$ Pg	06 02 44,4	D

Date	Station	Phase	T.U. h m s	
27.II (suite)	KRA (SKM)	Pgm	06 02 45,0	
		Z: 0,9^{s}; 0,068 μ		
	(Ch,SKM)	ei_N	53,3	
		iSg_{NEZ}	54,7	
	(Ch)	Lm	03 21	
		EZ: 1,2^{s}; 0,09 μ, 0,09 μ		
		Lm	35	
		NE: 1,1^{s}; 0,07 μ, 0,06 μ		
		F	04 30	
	KSP	Δ=200 km		
		ei_N, i_{EZ} Pn	06 03 02,8	C
		$eiSn_{NEZ}$	26,3	
		F	04 30	
27.II		H=17^{h}28^{m}17,1^{s}; M=2,7 (Chorzów); DGP (GIG): 17 28 21,8		
	CHZ	Δ=13 km		
		ei_N, e_{EZ} P	17 28 20,0	D
		iS_{NEZ}	22,2	
		Lm	25	
		NEZ: 1,0^{s}; 3,4 μ, 3,8 μ, 2,7 μ		
		F	29	
	KRA (SKM)	Δ=75 km		
		ei_E, e_Z Pg	17 28 30,4	
		e_N	33,1	
		ei_N, i_{EZ} Sg	40,0	
		F	29 30	
	RBN	Faible		
		e_N	17 28 35,5	
		ei_{NZ}	40,5	
		ei_E	41,5	
		F	30	
	KSP	Δ=207 km. Faible		
		ePn_{EZ}	17 28 53,3	
		$eiSn_{NE}$	29 17,9	

Date	Station	Phase	T.U. h m s	
27.II	KSP	ei_E, e_Z	17 29 22,6	
		F	30	
	RAC	Traces		
		NEZ	17 28 30-30	
28.II		H=14^{h}57^{m}37,8^{s}; M=2,4 (Kraków), 2,3 (Chorzów); ZAB (GIG): 14 57 40,3; DGP (GIG): 14 57 45,6		
	CHZ	Δ= 16 km		
		eP_{EZ}	14 57 41,2	
		eiS_{NEZ}	43,7	
		Lm	49	
		EZ: 1,1^{s}, 1,3^{s}; 1,6 μ, 1,0 μ		
		F	58 30	
	KRA (SKM)	Δ=91 km. Faible		
		$eiPg_E$	14 57 53,7	
		e_N	57,0	
		ei_{NZ}, i_E Sg	58 05,3	
		Lm	40	
		EZ: 1,2^{s}; 0,05 μ, 0,05 μ		
		F	59	
	KSP	Δ=193 km. Faible		
		ePn_{EZ}	14 58 09,5	
		ePn_N	10,5	
		$eiSn_{NEZ}$	33,1	
		F	59	
	RBN	Traces		
		NEZ	14 58 - 59	
	RAC	Traces		
		EZ	14 58 00-59 30	

International Seismological Centre

Date	Station	Phase	T.U. h m s	
1973		M A R S		1973
1.III		H=14^{h}52^{m}50,4^{s}; M=2,4 (Chorzów); ZAB (GIG): 14 52 52,9 DGP (GIG): 14 52 55,6		
	CHZ	Δ=9 km		
		ei_{NE}	14 52 52,7	D
		eiP_{NEZ}	54,8	
		ei_{EZ}	58	
		Lm		
		NEZ: 1,1^{s}; 2,3 μ, 2,9 μ, 2,1 μ		
		F	54	
	KRA (SKM)	Δ=84 km. Faible		
		ePg_Z	14 53 05,0	D
		e_E	05,5	
	(Ch,SKM)	e_E	14,9	
		$eiSg_{NEZ}$	15,7	
		F	54	
	KSP	Δ=199 km. Faible		
		$eiPn_{EZ}$	14 53 22,5	
		$eiSn_{NEZ}$	46,2	
		ei_E	48,0	
		F	54	
	RBN	Traces		
		NE	14 53 - 54	
	RAC	Traces		
		EZ	14 53 00-54 30	
3.III		H=10^{h}35^{m}35,1^{s}; M=2,4 (Chorzów); DGP (GIG): 10 35 38,6 ZAB (GIG): 10 35 39,4		
	CHZ	Δ=6 km		
		eiP_{NEZ}	10 35 37,1	
		i_{NE}, ei_Z S	38,4	
		Lm	42	
		NEZ: 1,0^{s}; 4,9 μ, 5,7 μ, 2,9 μ		
		F	36 30	
	KRA (Ch)	Δ= 73 km. Faible		
		ePg_Z	10 35 47,6	
		e_E	48,8	
		eSg_N	56,3	
		i_E, ei_Z Sg	56,8	
		F	37	

Date	Station	Phase	T.U. h m s	
3.III	RBN	ei_{NE}	10 35 52,9	
		ei_{NZ}	57,7	
		F	37 30	
	KSP	Δ=211 km. Faible		
		$eiPn_{NEZ}$	10 36 09,8	
		$eiSn_{NEZ}$	34,8	
		F	37	
	RAC	Traces		
		NE	10 36 00-37 30	
3.III		H=13^{h}01^{m}21,4^{s}; M=2,6 (Chorzów); ZAB (GIG): 13 01 24,7; DGP (GIG): 13 01 27,6		
	CHZ	Δ=10 km		
		ei_N, i_{EZ} P	13 01 24,1	D
		iS_{NEZ}	25,8	
		Lm	28	
		NEZ: 1,2^{s}; 6,5 μ, 4,2 μ, 3,1 μ		
		F	03	
	RBN	Δ=42 km		
		$eiPg_N$	13 01 29,0	
		ei_Z	30,2	
		ei_E	30,7	
		$eiSg_N$	34,8	
		i_E, ei_Z	37,6	
		eL_{NE}	45	
		F	03 30	
	RAC	Faible		
		ei_Z	13 01 33,2	
		ei_E	38,2	
		e_N	49,5	
		F	03 30	
	KRA (SKM)	Δ=86 km		
		ePg_{NEZ}	13 01 36,2	
		ei_N	45,7	
		$eiSg_{EZ}$	47,1	
		F	03	
	KSP	Δ=199 km		
		e_{NE}, ei_Z Pn	13 01 54,8	C
		i_E	02 16,3	

Date	Station	Phase	T.U. h m s	
3.III (suite)	KSP	$eiSn_{NEZ}$	13 02 18,5	
		F	03	
4.III		H=$02^h01^m27,7^s$; M=2,2 (Chorzów); ZAB (GIG): 02 01 29,9		
	CHZ	Δ=4 km		
		eiP_{NEZ}	02 01 28,8	
		i_E	29,6	
		i_Z	30,1	
		Lm	31	
		NZ: $0,8^s$; 7,5 μ, 3,4 μ		
		F	02 30	
	KRA (Ch)	Δ=77 km. Faible		
		ePg_{NEZ}	02 01 41,4	
		$eiSg_{EZ}$	51,2	
		ei_N	55,4	
		F	02 30	
	KSP	Δ=202 km		
		e_{NZ}, ei_E Pn	02 02 01,5	
		eSn_{NE}	25,5	
		ei_{NEZ}	27,0	
		F	03	
	RBN	Traces		
		NEZ	02 01 30-03 00	
5.III		H=$07^h46^m34,3^s$; M=2,8 (Chorzów), 2,6 (Kraków); DGP (GIG): 07 46 38,2 ; ZAB (GIG): 07 46 39,1		
	CHZ	Δ=8 km		
		i_N, ei_{EZ} P	07 46 36,5	
		iS_E	38,0	
		Lm	40	
		NEZ: $1,0^s$; 9,3 μ, 7,0 μ, 5,9 μ		
		F	47 30	
	RBN			
		ei_E	07 46 44,4	
		e_E	48,6	
		ei_{NZ}	52,0	
		F	48 30	
	RAC	Faible		
		ei_Z	07 46 46,2	
		e_E	48,4	

Date	Station	Phase	T.U. h m s	
5.III	RAC	ei_Z	07 46 52,3	
		ei_E	53,2	
		F	48 30	
	KRA (Ch, SKM)	Δ=74 km		
		ePg_{NEZ}	07 46 47,0	C
		ei_N	55,4	
		i_E, ei_Z Sg	56,2	
		iSg_N	56,6	
		Lm	47 29	
		NEZ: $1,0^s$; 0,05 μ, 0,08 μ, 0,07 μ		
		F	48	
	KSP	Δ=205 km		
		$eiPn_{NEZ}$	07 47 09,3	
		ei_{NE}, e_Z Sn	33,6	
		ei_Z	34,3	
		F	48	
5.III		H=$19^h56^m56,4^s$; M=2,3 (Chorzów), 2,0 (Dąbrowa Górnicza); DGP: P_E 10 56 57,6, Lm_{NEZ} $1,0^s$; 1,9 μ, 1,7 μ, 1,9 μ		
	CHZ	Δ=18 km		
		eP_{EZ}	19 57 00,2	
		e_N	01,0	
		S_{NEZ}	(03)	
		Lm	10	
		NEZ: $1,0^s$, $1,1^s$, $1,3^s$; 0,8 μ, 0,9 μ, 0,9 μ		
		F	58	
	KRA (Ch, SKM) (SKM)	Δ=56 km. Faible		
		ePg_Z	19 57 06,1	
		e_N	13,5	
		e_{EZ}	14,3	
		F	58	
	KSP	Traces		
		$eiSn_N$	19 57 58,7	
		$eiSn_Z$	59,2	
		e_E	58 02,2	
		F	30	
	RBN	Traces		
		NE	19 57 00-58 30	

Date	Station	Phase	T.U. h m s	
6.III		H=$10^h17^m13,1^s$; M=2,9 (Kraków), 2,4 (Chorzów); DGP (GIG): 10 17 17,0		
	CHZ	Δ=4 km		
		iP_{NEZ}	10 17 14,4	
		Lm	21	
		EZ: $0,9^s$; 10,1 μ, 5,9 μ		
		F	19	
	RBN	Δ=34 km		
		ei_{NE}, i_Z P	10 17 19,3	
		ei_N	21,7	
		iS_{NEZ}	24,1	
		F	20 30	
	RAC	Δ=58 km		
		ei_{NE}, e_Z Pg	10 17 23,6	
		ei_{NZ}	26,2	
		ei_E	33,2	
		i_Z	34,1	
		F	20 30	
	KRA (Ch)	Δ=75 km		
		$eiPg_{NEZ}$	10 17 26,4	
		ei_E	33,9	
		$eiSg_{NZ}$	35,9	
		Lm	18 10	
		NEZ: $1,4^s$; 0,16 μ, 0,18 μ, 0,16 μ		
		F	19 30	
	KSP	Δ=192 km		
		ei_N, i_{EZ} Pn	10 17 44,0	D
		ei_N, i_{EZ} Sn	18 07,0	
		F	20	
11.III		H=$10^h46^m32,2^s$; M=2,3 (Kraków); DGP (GIG): 10 46 37,3; ZAB (GIG): 10 46 37,9		
	KRA (Ch, SKM) (SKM)	Δ=75 km		
		ePg_{EZ}	10 46 45,2	
		ei_N	53,9	
		i_E, ei_Z Sg	54,7	
		Lm	47 27	
		Z: $1,0^s$; 0,04 μ		
		F	48	
	RBN	Faible. E - inactive		
		ei_N	10 46 47,1	

Date	Station	Phase	T.U. h m s	
11.III	RBN	ei_N	10 46 51,3	
		e_Z	52,1	
		F	48	
	KSP	Δ=202 km		
		e_N, ei_{EZ} Pn	10 47 08,0	
		$eiSn_{NEZ}$	32,0	
		F	48	
	RAC	Traces		
		EZ	10 47 - 48	
12.III		H=$13^h36^m25,2^s$; M=2,4 (Kraków), 2,3 (Chorzów); ZAB (GIG): 13 36 26,6 ; DGP (GIG): 13 36 31.3		
	CHZ	Δ=12 km		
		e_N, ei_{EZ} P	13 36 27,6	D
		i_N, ei_{EZ} S	29,6	
		Lm	35	
		NEZ: $1,0^s$, $1,2^s$, $1,2^s$; 1,3 μ, 1,6 μ, 1,5 μ		
		F	37	
	KRA (SKM)	Δ=86 km. Faible		
		$eiPg_Z$	13 36 40,2	
		ei_E	40,8	
		$eiSg_{EZ}$	51,1	
		Lm	37 22	
		Z: $1,1^s$; 0,04 μ		
		F	38	
	KSP	Δ=202 km. Faible		
		$eiPn_{NEZ}$	13 36 56,4	
		$eiSn_{NEZ}$	37 20,4	
		F	38	
	RBN	Traces		
		NE	13 36 30-38 00	
12.III		H=$18^h36^m48,1^s$; M=2,3 (Chorzów, Kraków); ZAB (GIG): $18^h36^m50,0^s$; DGP (GIG): 18 36 57,4		
	CHZ	Δ=18 km		
		eP_{EZ}	18 36 51,9	
		iS_{NEZ}	54,7	
		Lm	37 00	
		EZ: $1,0^s$, $1,4^s$; 1,1 μ, 0,9 μ		
		F	30	

International Seismological Centre

International Seismological Centre

Date	Station	Phase	T.U. h m s	
12.III (suite)	KRA (SKM)	Δ=94 km. Faible		
		$ei Sg_{NEZ}$	18 37 15,9	
		ei_N	17,4	
		Lm	45	
		EZ: $1,2^s$; 0,05 μ, 0,04 μ		
		F	38	
	KSP	Δ=183 km. Faible		
		ei_E, e_Z Pn	18 37 20,3	
		$eiSn_{NEZ}$	42,3	
		F	38	
	RBN	Traces		
		NEZ	18 37 - 38	
14.III		H=$23^h02^m10,5^s$; M=2,1 (Chorzów); DGP (GIG): 23 02 12,4		
	CHZ	Δ=13 km. E - illisible		
		eP_{NZ}	23 02 13,6	C
		eiS_N	15,7	
		e_Z	16,5	
		Lm	23	
		NZ: $1,2^s$; 1,1 μ, 0,9 μ		
		F	03	
	KRA (Ch, SKM)	Δ=58 km. Faible		
		$eiPg_{NEZ}$	23 02 21,1	D
		iSg_N	28,2	
		ei_{EZ}	29,3	
		F	03 30	
	RBN	Traces		
		NEZ	23 02 30-04 00	
15.III		H=$04^h37^m18,2^s$; M=2,0 (Chorzów); ZAB (GIG): 04 37 19,4 DGP (GIG): 04 37 27,4		
	CHZ	Δ=10 km		
		eP_{NEZ}	04 37 20,5	
		i_{NE}, ei_Z S	22,2	
		Lm	26	
		EZ: $0,9^s$, $1,1^s$; 1,4 μ, 0,8 μ		
		F	38	
	RBN	Faible		
		e_N	04 37 30,0	
		ei_{NE}	31,0	
		F	39 30	

Date	Station	Phase	T.U. h m s	
15.III	KRA (SKM)	Δ=83 km. Faible		
		ei_{EZ}	04 37 32,9	
		i_N, ei_Z Sg	42,2	
		F	39	
	KSP	Δ=190 km		
		e_N, ei_{EZ} Pn	04 37 50,1	
		$eiSn_{NEZ}$	38 12,8	
		F	30	
15.III		ZAB (GIG): 04 59 44,2; DGP (GIG): 04 59 47,0		
	CHZ			
		ei_N, e_{EZ} P	04 59 44,0	
		Lm	48	
		NZ: $1,0^s$, $1,1^s$; 6,0 μ, 1,9 μ		
		F	05 00 30	
	RBN			
		e_E	04 59 53,0	
		e_N, ei_E	58,9	
		ei_{NZ}	05 00 06,0	
		F	01 30	
	KRA (Ch)			
		e_Z	04 59 57,3	
		ei_N, e_{EZ} Sg	05 00 05,1	
		Lm	34	
		NZ: $1,2^s$; 0,12 μ, 0,08 μ		
		F	01	
	RAC	Faible		
		ei_E	05 00 01,8	
		ei_Z	18,2	
		ei_{NE}	19,0	
		F	02	
	KSP	Δ=193 km		
		$eiPn_Z$	05 00 14,6	
		$eiPn_E$	15,3	
		i_N, ei_E Sn	38,1	
		F	01 30	
15.III		H=$15^h23^m24,0^s$; M=2,5 (Kraków), 2,4 (Chorzów); DGP (GIG): 15 23 30,8		
	CHZ	Δ=10 km. N - inactive		
		eiP_{EZ}	15 23 26,2	

Date	Station	Phase	T.U. h m s	
15.III (suite)	CHZ	iS_{EZ}	15 23 28,0	
		Lm	32	
		EZ: $1,0^s$; 3,3 μ, 2,1 μ		
		F	24	
	KRA (SKM)	Δ=84 km. Faible		
		ei_{NE}, e_Z Pg	15 23 38,8	C
		ei_N	48,6	
		$eiSg_{EZ}$	49,5	
		Lm	24 19	
		NEZ: $1,2^s$; 0,04 μ, 0,05 μ, 0,06 μ		
		F	30	
	KSP	Δ=196 km		
		iSn_{NE}	15 24 21,6	
		ei_Z	23,3	
		F	25	
	RBN	Traces		
		NE	15 23 30-25 00	
16.III		H=$09^h55^m50,1^s$; M=2,3 (Kraków)		
		ZAB (GIG): 09 55 53,1; DGP (GIG): 09 55 55,5		
	CHZ	Δ=6 km. N - inactive		
		eiP_{EZ}	09 55 51,9	
		F	57	
	KRA (SKM)	Δ=76 km		
		ePg_{EZ}	09 56 03,2	
		$eiSg_{NEZ}$	12,8	
		Lm	43	
		EZ: $1,2^s$; 0,06 μ, 0,04 μ		
		F	57	
	KSP	Δ=205 km. Faible		
		i_E, ei_Z Pn	09 56 23,6	
		$eiSn_{NEZ}$	48,0	
		F	57 30	
	RBN	Traces		
		E	05 56 - 57	
	RAC	Traces		
		EZ	09 56 - 57	
18.III		φ =50°20′; λ =18°49′; H=$02^h04^m27,7^s$; M=2,6 (Chorzów, Kraków); ZAB: P_Z 02 04		

Date	Station	Phase	T.U. h m s	
18.III		29,2; DGP (GIG): 02 04 34,2		
	CHZ	Δ=13 km		
		e_N, ei_Z P	02 04 30,2	D
		ei_E	30,8	
		i_N	31,1	
		i_N, e_Z S	32,2	
		Lm	37	
		Z: $1,3^s$; 2,2 μ		
		Lm	39	
		NE: $0,8^s$; 1,9 μ, 3,6 μ		
		F	05 30	
	RBN	Δ=34 km. Faible		
		e_{EZ}	02 04 36,0	
		ei_N, e_E	40,0	
		e_Z	44,1	
		e_{NE}	46,0	
		F	06 30	
	RAC	Δ= 54 km		
		ePg_Z	02 04 36,9	
		ei_{NEZ}	47,7	
		ei_{NEZ}	55,2	
		F	06	
	KRA (Ch)	Δ=87 km		
		e_N, ei_{EZ} Pg	02 04 43,2	D
		ei_Z	53,4	
		$eiSg_{NEZ}$	54,4	
		Lm	05 30	
		NZ: $1,1^s$; 0,05 μ, 0,05 μ		
		F	06	
	KSP	Δ=192 km		
		e_N, i_{EZ} Pn	02 04 59,6	C
		ei_{NE}, i_Z Sn	05 22,3	
		i_Z	23,8	
		F	06	
18.III		φ =50°18,5′; λ =18°52,0′; H=$02^h06^m53,2^s$; M=3,1 (Kraków, Racibórz), 2,9 (Chorzów); DGP: P_{EZ} 02 06 58,6		
	CHZ	Δ=9 km		
		iP_{NEZ}	02 06 55,3	D
		eiS_Z	56,8	
		Lm	07 02	
		NEZ: $1,0^s$; 5,8 μ, 9,9 μ, 6,2 μ		
		F	08 30	

Date	Station	Phase	T.U. h m s
18.III (suite)	RBN	Δ=34 km	
		eiP$_Z$	02 06 59,6
		ei$_{NE}$	07 00,4
		eiS$_{NE}$	04,4
		i$_E$, ei$_Z$	05,2
		i$_N$	08,9
		F	10
	RAC	Δ=56 km	
		e$_E$, ei$_Z$ Pg	02 07 02,7 C
		ei$_Z$	09,2
		ei$_N$	10,1
		i$_E$	10,5
		Lm	33
		NE: 1,0^s; 0,6 μ, 0,6 μ	
		F	10
	KRA	Δ=83 km	
	(Ch)	Pg$_{NEZ}$	02 07(08)
		ei$_N$	17,7
		iSg$_{NEZ}$	18,7
		Lm	47
		NEZ: 1,2^s,1,2^s,1,7^s; 0,14 μ, 0,09 μ, 0,39 μ	
		F	09
	KSP	Δ=196 km	
		eiPn$_{EZ}$	02 07 21,5
		eiPn$_N$	22,0
		i$_{EZ}$	23,4
		ei$_N$	24,0
		eiSn$_{NE}$	45,5
		i$_{NEZ}$	46,7
		F	10
19.III		φ =50°22′; λ =18°52′; H=10^{h}01^{m}41,1^s; M=2,6 (Kraków, Dąbrowa Górnicza); ZAB (GIG): 10 01 44,0; DGP (GIG): 10 01 47,6, Lm$_Z$ 1,4^s; 1,0 μ	
	CHZ	Δ=13 km	
		iP$_{NEZ}$	10 01 44,0
		F	03
	RBN	Δ=39 km. Z - illisible	
		ei$_E$	10 01 50,2
		e$_N$, ei$_E$ S	53,8
		Lm	02 11
		NE: 1,5^s; 3,1 μ, 4,0 μ	
		F	04

Date	Station	Phase	T.U. h m s
19.III	RAC	Δ=59 km. Faible	
		eiPg$_{NZ}$	10 01 50,9
		ei$_{EZ}$	52,7
		eiSg$_Z$	58,2
		F	04
	KRA	Δ=86 km	
	(Ch, SKM)	eiPg$_{EZ}$	10 01 55,9 C
		eiPg$_N$	56,3
	(SKM)	Pgm	56,8
		Z: 1,0^s; 0,087 μ	
	(Ch, SKM)	ei$_N$	02 06,0
		Sg$_{EZ}$	(07)
	(SKM)	Lm	31
		EZ: 1,0^s; 0,06 μ, 0,07 μ	
	(Ch)	Lm	33
		NEZ: 1,2^s; 0,06 μ, 0,07 μ, 0,08 μ	
		F	03 30
20.III		H=17^{h}27^{m}22,6^s; M=2,3 (Chorzów, Kraków); ZAB (GIG): 17 27 25,8; DGP (GIG): 17 27 33,0	
	CHZ	Δ=9 km	
		eiP$_{NEZ}$	17 27 24,8
		iS$_{NZ}$	26,4
		Lm	30
		NEZ: 1,0^s; 3,3 μ, 3,1 μ, 1,6 μ	
		F	28 30
	RBN	Faible	
		e$_E$	17 27 33,0
		e$_N$	35,0
		e$_E$	37,5
		ei$_{NZ}$	38,8
		F	29
	KRA	Δ=81 km. Faible	
	(SKM)	e$_E$	17 27 38,0
		ei$_N$, e$_{EZ}$ Sg	46,4
		Lm	28 16
		EZ: 1,2^s; 0,04 μ, 0,04 μ	
		F	30
	KSP	Faible	
		iSn$_N$	17 28 19,5
		eiSn$_{EZ}$	20,3
		F	29

Date	Station	Phase	T.U. h m s
20.III (suite)	RAC	Traces EZ	17 27 30-29 00
20.III		φ =50°18′; λ =18°54′; H=21^{h}12^{m}50,0^s; M=3,0 (Kraków), 2,8 (Chorzów); ZAB: P$_{NEZ}$ 21 12 51,9; DGP: S$_E$ 21 12 58,0	
	CHZ	Δ=7 km	
		eiP$_{NEZ}$	21 12 51,9
		iS$_{NE}$	53,3
		Lm	55
		NE: 0,8^s; 13,0 μ, 6,6 μ	
		Lm	57
		Z: 1,0^s; 5,3 μ	
		F	14 30
	RBN	Δ=35 km	
		eP$_Z$	21 12 56,8
		e$_{NE}$, ei$_Z$	57,8
		ei$_N$	13 01,3
		ei$_{EZ}$	02,3
		Lm	16
		NE: 1,1^s, 1,4^s; 4,9 μ, 3,7 μ	
		F	16
	RAC	Δ=57 km	
		ei$_{EZ}$	21 13 03,3
		ei$_N$	08,8
		i$_{EZ}$	11,8
		i$_E$	22,8
		F	15 30
	KRA	Δ=80 km	
	(Ch, SKM)	eiPg$_{EZ}$	21 13 03,9 C
	(SKM)	Pgm	05,0
		Z: 0,6^s; 0,062 μ	
	(Ch)	ei$_N$	13,1
		eiSg$_{EZ}$	14,1
		Lm	14 06
		EZ: 1,6^s; 0,17 μ, 0,17 μ	
		EZ: 1,6^s; 0,16 μ, 0,20 μ	
		F	30
	KSP	Δ=198 km	
		ei$_N$, i$_{EZ}$ Pn	21 13 22,4
		ei$_{NZ}$	44,0
		ei$_E$	44,8
		i$_N$, ei$_Z$ Sn	45,6
		F	15

Date	Station	Phase	T.U. h m s
21.III		H=13^{h}42^{m}27,1^s; M=2,7 (Kraków), 2,4 (Chorzów); ZAB (GIG): 13 42 28,9	
	CHZ	Δ=11 km	
		eiP$_{NEZ}$	13 42 29,7
		i$_N$, ei$_{EZ}$ S	31,6
		Lm	35
		Z: 1,3^s; 1,7 μ	
		F	43 30
	KRA	Δ=83 km	
	(SKM)	ei$_{EZ}$	13 42 44,0
		e$_N$	44,5
		e$_E$	50,4
	(Ch, SKM)	eiSg$_N$	51,6
		Lm	43 17
		Z: 1,3^s; 0,08 μ	
		F	44
	KSP		
		eiSn$_{NE}$	13 43 21,3
		eiSn$_Z$	22,3
		F	30
	RBN	Traces NE	13 42 30-44 00
	RAC	Traces NEZ	13 43 - 44
22.III		H=10^{h}28^{m}35,7^s; M=2,6 (Kraków), 2,2 (Chorzów); ZAB (GIG): 10 28 38,0; DGP (GIG): 10 28 41,2	
	CHZ	Δ=10 km	
		e$_{NE}$, ei$_Z$ P	10 28 38,2
		i$_{NE}$, ei$_Z$ S	40,0
		Lm	45
		N: 0,9^s; 3,4 μ	
		Lm	46
		Z: 1,0^s; 1,3 μ	
		Lm	49
		E: 0,8^s; 2,9 μ	
		F	29 30
	KRA	Δ=81 km. Faible	
	(SKM)	eiSg$_{NEZ}$	10 28 59,5
		ei$_Z$	29 03,9
		ei$_N$	04,4

International Seismological Centre

Date	Station	Phase	T.U. h m s	
22.III (suite)	KRA	Lm	10 29 32	
		NZ: 1,0^{s},1,2^{s}; 0,06 μ, 0,08 μ		
		F	30	
	KSP	Faible		
		ei_N,e_{EZ} Sn	10 29 30,1	
		F	30	
	RBN	Traces		
		NE	10 29-30	
23.III		φ =50°22´; λ =18°51´; H=02^{h}01^{m}38,8^{s}; M=3,1 (Kraków, Racibórz), 2,9 (Chorzów); ZAB: P_{NEZ} 02 01 40,6 DGP (GIG): 02 01 45,3		
	CHZ	Δ=13 km		
		ei_{NZ},e_E P	02 01 42,0	D
		i_N	44,2	
		i_{EZ}	45,0	
		Lm	49	
		NE: 0,9^{s}; 4,6 μ, 5,0 μ		
		i_N	56,4	
		F	03 30	
	RBN	Δ=39 km. Z - inactive		
		e_{NE}	02 01 46,6	
		e_E	50,2	
		i_N	51,5	
		ei_E	53,6	
		F	05	
	RAC	Δ=58 km		
		ePg_{EZ}	02 01 49,6	
		ei_N	56,1	
		$eiSg_E$	56,9	
		$eiSg_{NZ}$	57,3	
		Lm	02 13	
		EZ: 1,0^{s},1,2^{s}; 0,5 μ, 0,5 μ		
		Lm	19	
		NE: 0,9^{s};1,1^{s}; 0,9 μ, 0,5 μ		
		F	05	
	KRA (Ch,SKM)	Δ=87 km		
		e_E,ei_Z Pg	02 01 53,8	C
		e_N,i_E,ei_Z	54,6	

Date	Station	Phase	T.U. h m s	
23.III	KRA (SKM)	Pgm		
		Z: 0,5^{s}; 0,051 μ	02 01 55,1	
		ei_N	02 04,2	
		$eiSg_{EZ}$	05,0	
		i_E	06,5	
		Lm	42	
		NEZ: 1,2^{s}; 0,15 μ, 0,20 μ, 0,27 μ		
		F	03 30	
	KSP	Δ=193 km		
		ePn_{EZ}	02 02 09,0	
		ei_{NE},i_Z	10,1	
		iSn_{NEZ}	32,0	
		F	04	
23.III		H=07^{h}57^{m}57,6^{s}; M=2,3 (Kraków), 2,1 (Chorzów); DGP (GIG): 07 57 58,3		
	CHZ	Δ=11 km		
		eP_{EZ}	07 58 00,4	
		iS_N	02,3	
		e_Z	03,3	
		Lm	08	
		NE: 1,0^{s}; 1,1 μ,0,9 μ		
		F	59	
	KRA (Ch)	Δ=61 km		
		Pg_{NEZ}	07 58(08)	
		ei_N	14,8	
		$eiSg_{EZ}$	15,8	
		Lm	42	
		NZ: 1,0^{s}; 0,04 μ, 0,06 μ		
		F	59	
	KSP	Traces		
		NEZ	07 58 30-59 00	
24.III		φ =50°19´; λ =18°53´; H=15^{h}53^{m}39,5^{s}; M=2,5 (Kraków), 2,3 (Chorzów); ZAB: P_{NEZ} 15 53 41,1 ; DGP (GIG): 15 53 46,8		
	CHZ	Δ=9 km		
		eiP_{NEZ}	15 53 41,7	
		iS_{NE}	43,4	

Date	Station	Phase	T.U. h m s	
24.III (suite)	CHZ	Lm	15 53 49	
		Z: 1,1^{s}; 1,9 μ		
		F	55	
	RBN	Δ=36 km. NZ - illisibles		
		iS_E	15 53 51,0	
		ei_E	52,0	
		F	56	
	KRA (SKM)	Δ=83 km		
		ePg_{EZ}	15 53 53,9	C
		ei_{EZ}	54,5	
		ei_N	57,7	
		$eiSg_N$	54 04,1	
		iSg_Z	04,6	
		ei_E	06,0	
		Lm	43	
		NEZ: 1,1^{s}; 0,07 μ, 0,06 μ, 0,05 μ		
		F	55 30	
	RAC	Δ=57 km		
		i_N,ei_E Sg	15 53 56,6	
		ei_{NE}	54 00,3	
		ei_{NEZ}	03,3	
		F	56 30	
	NIE	Δ=147 km. NE - inactives		
		$eiPg_Z$	15 54 04,6	
		Pgm	07,0	
		Z: 0,8^{s}; 0,037 μ		
		ei_Z	25,8	
		F	55 30	
	KSP	Δ=196 km		
		ei_{NE},i_Z Pn	15 54 11,2	D
		i_N,ei_{EZ} Sn	34,0	
		i_Z	34,8	
		F	55 30	
25.III		H=03^{h}05^{m}00,2^{s}; M=2,0 (Chorzów); ZAB (GIG): 03 05 04,2 DGP (GIG): 03 05 05,8		
	CHZ	Δ=3 km		
		ei_{NZ},e_E P	03 05 01,5	D
		iS_E	02,3	
		Lm	04	
		NZ: 0,6^{s},0,8^{s}; 6,2 μ, 2,9 μ		
		F	06	

Date	Station	Phase	T.U. h m s	
25.III	KRA (SKM)	Δ=78 km. Faible		
		ePg_E	03 05 13,4	
		e_Z	13,9	
		$eiSg_{NZ}$	23,3	
		ei_{EZ}	23,8	
		F	06	
	KSP	Δ=204 km. Traces		
		ei_E,e_Z Pn	03 05 33,4	
		ei_{NE},e_Z	58,9	
		F	06 30	
	RBN	Traces		
		E	03 05 00-06 30	
25.III		H=04^{h}35^{m}02,3^{s}; M=2,6 (Chorzów), 2,4 (Kraków); ZAB (GIG); 04 35 06,5 ; DGP (GIG): 04 35 08,5		
	CHZ	Δ=15 km		
		eiP_Z	04 35 05,6	D
		eiP_{NE}	05,9	
		eiS_{EZ}	08,2	
		Lm	14	
		Z: 1,1^{s}; 1,8 μ		
		Lm	17	
		NE: 0,8^{s}; 2,9 μ, 1,1 μ		
		F	36	
	KRA (SKM)	Δ=85 km. Faible		
		ePg_{EZ}	04 35 17,7	
		e_E	27,0	
		e_{NZ}	28,0	
		Lm	58	
		EZ: 1,2^{s}; 0,04 μ, 0,06 μ		
		F	36 30	
	KSP	Traces		
		eSn_{NEZ}	04 35 58,4	
		F	36 30	
	RBN	Traces		
		NE	04 35 - 37	
	RAC	Traces		
		EZ	04 35 30-37 00	
27.III		φ =50°20´; λ =18°56´; H=14^{h}27^{m}06,8^{s}; M=2,4 (Chorzów, Kraków); ZAB: P_{NE} 14		

International Seismological Centre

Date	Station	Phase	T.U. h m s
27.III (suite)	CHZ	27 09,8; DGP: P_Z	14 27 11,5
		Δ=6 km	
		eiP_{NEZ}	14 27 08,3
		eiS_{NZ}	09,5
		Lm	14
		NEZ: 0,9^s,1,0^s,1,2^s; 5,1 μ, 4,2 μ, 4,5 μ	
		F	29
	RBN	Δ=40 km. Traces	
		e_{NE}	14 27 19,3
		F	28 30
	KRA	Δ=81 km	
	(SKM)	$eiPg_{EZ}$	14 27 20,8
		e_N	23,3
	(Ch,SKM)	ei_E	30,0
		$eiSg_{NZ}$	31,0
		i_E	32,0
		Lm	28 02
	(SKM)	NEZ: 1,1^s; 0,05 μ, 0,04 μ, 0,05 μ	
		F	29
	NIE	Δ=146 km. NE - inactives	
		ePg_Z	14 27 32,6 D
		$eiSg_Z$	51,1
		F	28 30
	KSP	Δ=200 km. Faible	
		ei_{NE},e_Z Pn	14 27 38,8
		e_{NZ}	28 01,8
		ei_E,i_Z Sn	03,0
		F	30
28.III		H=13^{h}59^{m}02,5^s; M=2,4 (Chorzów, Kraków); DGP: P_{NEZ}	13 59 03,6
	CHZ	Δ=14 km	
		eiP_{EZ}	13 59 05,6
		e_N	06,4
		Lm	14
		NEZ: 1,0^s; 1,1 μ, 1,8 μ, 1,2 μ	
		F	14 00
	KRA	Δ=67 km	
	(SKM)	ei_{NZ},e_E Pg	13 59 14,1

Date	Station	Phase	T.U. h m s
28.III	KRA	Pgm	13 59 14,1
		Z: 1,0^s; 0,048 μ	
		$eiSg_{EZ}$	22,6
		i_Z	23,5
		ei_N	25,5
		Lm	45
		EZ: 1,0^s,1,2^s; 0,05 μ, 0,07 μ	
		Lm	50
		N: 1,0^s; 0,06 μ	
		F	14 00
	NIE	Δ=132 km. NE - inactives	
		ePg_Z	13 59 25,2
		i_Z	26,5
		ei_Z	43,7
		F	14 00
	RBN	Traces	
		e_E	13 59 41,0
		e_N	43,5
		F	14 00 30
	KSP	Traces	
		NEZ	13 59 30-14
28.III		φ =50°20,5′; λ =18°50,0′; H=20^{h}29^{m}57,9^s; M=3,1 (Racibórz), 3,0 (Chorzów), 2,9 (Kraków); ZAB (GIG): 20 30 00,8; DGP (GIG): 20 30 04,4	
	CHZ	Δ=13 km	
		ei_N,i_{EZ} P	20 30 00,6
		iS_{EZ}	02,6
		Lm	07
		NEZ: 0,7^s,1,0^s,1,1^s; 7,0 μ, 9,0 μ, 6,0 μ	
		F	32
	RBN	Δ=36 km	
		eP_Z	20 30 05,0
		e_{NE},ei_Z	06,0
		eiS_{NEZ}	10,0
		ei_N,e_Z	13,0
		Lm	27
		NEZ: 1,8^s,1,4^s,1,2^s; 7,7 μ, 4,7 μ, 2,3 μ	
		F	33

Date	Station	Phase	T.U. h m s
28.III (suite)	RAC	Δ=58 km	
		ei_Z	20 30 09,5
		ei_{NE}	10,8
		i_Z	18,2
		i_E	21,2
		Lm	27
		NE: 1,0^s; 0,5 μ, 0,6 μ	
		F	33
	KRA	Δ=87 km	
	(SKM)	$eiPg_{EZ}$	20 30 12,9
		ei_N,i_{EZ}	13,4
		Pgm	14,1
		Z: 0,7^s; 0,067 μ	
	(Ch,SKM)	i_{NZ},ei_E Sg	24,0
		Lm	51
	(SKM)	NZ: 1,2^s,1,6^s; 0,09 μ, 0,18 μ	

Date	Station	Phase	T.U. h m s
28.III	KRA	Lm	20 30 55
		E: 1,1^s; 0,08 μ	
		F	32
	NIE	Δ=151 km. NE - inactives	
		$eiPg_Z$	20 30 24,2 C
		i_Z	24,7
		Pgm	25,8
		Z: 0,7^s; 0,012 μ	
		ei_Z	41,3
		$eiSg_Z$	43,5
		F	32
	KSP	Δ=192 km	
		$eiPn_{NEZ}$	20 30 29,4
		ei_N,i_{EZ}	30,8
		ei_{NEZ}	54,2
		F	32

Date	Station	Phase	T.U. h m s
2.IV		ZAB (GIG): 22 46 51,3; DGP (GIG): 22 46 55,5	
	CHZ		
		eiP_{NEZ}	22 46 51,1 C
		i_N	52,4
		Lm	56
		EZ: 1,2^s,1,0^s; 6,1 μ, 3,2 μ	
		F	48 30
	RBN		
		ei_N	22 47 00,6
		i_E	01,8
		F	49 30
	KRA		
	(SKM)	e_E,ei_Z Pg	22 47 03,0
		ei_N	12,3
		ei_Z	12,9
		F	48 30
	KSP		
		$eiPn_{NEZ}$	22 47 21,1
		$eiSn_{NEZ}$	44,6
		F	48 30

Date	Station	Phase	T.U. h m s
4.IV		φ =50°14′; λ =19°05′; H=10^{h}13^{m}20,2^s; M=3,1 (Chorzów), 2,9 (Kraków); DGP: P_Z	10 13 23,2
		ZAB: P_N	10 13 24,7
	CHZ	Δ=9 km	
		iP_{NEZ}	10 13 22,7
		Lm	26
		Z: 1,0^s; 10,7 μ	
		Lm	27
		NE: 1,0^s; 14,5 μ, 12,7 μ	
		F	15
	RBN	Δ=41 km	
		e_E	10 13 30,8
		e_Z	38,2
		F	15 30
	KRA	Δ=64 km	
	(SKM)	ePg_Z	10 13 32,0 D
		ei_E	32,5
		ei_N,e_{EZ} Sg	40,9
		Lm	14 15
		EZ: 1,1^s,1,0^s; 0,17 μ, 0,14 μ	
		F	15

International Seismological Centre

Date	Station	Phase	T.U. h m s
4.IV (suite)	RAC	Δ=65 km	
		e_Z	10 13 34,6
		ei_E	38,8
		F	15 30
	KSP	Δ=207 km	
		$ei Pn_{NEZ}$	10 13 54,6
		$ei Sn_{NEZ}$	14 19,6
		F	15 30
5.IV		H=$14^h02^m14,8^s$; DGP (GIG): 14 02 17,1; ZAB (GIG): 14 02 18,6	
	KRA (SKM)	Δ=63 km	
		ePg_{EZ}	14 02 26,3
		e_{EZ}	33,5
		$eiSg_{NZ}$	34,7
		ei_E	35,6
		F	03 30
	RBN	Δ=39 km	
		eS_E	14 02 27,2
		e_N	31,2
		F	04
	NIE	Δ=130 km	
		iPg_Z	14 02 38,0
		eSg_Z	55,4
		F	04
	KSP	Δ=201 km	
		$ei Pn_{EZ}$	14 02 47,5
		ei_{NEZ}	03 13,5
		F	04 30
	RAC	Traces	
		EZ	14 02 30-04 30
5.IV		H=$19^h24^m13,4^s$; M=2,4 (Chorzów); ZAB (GIG): 19 24 14,3 DGP (GIG): 19 24 19,6	
	CHZ	Δ=14 km	
		iP_{EZ}	19 24 16,6
		Lm	24
		Z: $1,3^s$; 1,7 μ	
		Lm	26
		E: $1,1^s$; 3,0 μ	
		F	25 30

Date	Station	Phase	T.U. h m s
5.IV	RBN		
		e_{NE}	19 24 25,4
		F	26 30
	KRA (SKM)	Δ=86 km	
		ePg_Z	19 24 29,0
		$eiSg_Z$	40,4
		e_N	41,1
		F	26
	NIE	Δ=148 km	
		$eiPg_Z$	19 24 39,8
		e_Z	58,4
		F	25 30
	RAC	Traces	
		NEZ	19 24 30-25 30
6.IV		DGP (GIG): 17 21 30,6; ZAB (GIG): 17 21 32,5	
	CHZ		
		iP_{NEZ}	17 21 27,8 D
		Lm	30
		Z: $0,9^s$; 4,0 μ	
		F	22
	KRA (SKM)	Faible	
		ePg_{EZ}	17 21 39,9
		e_N	46,5
		e_Z	50,2
		F	23
	NIE		
		ePg_Z	17 21 51,4
		eSg_Z	22 09,8
		F	23
	KSP		
		$ei Pn_{EZ}$	17 22 00,0
		e_{NEZ}	21,0
		F	23
	RBN	Traces	
		NEZ	17 21 30-23 00
8.IV		ZAB (GIG): 02 03 23,0; DGP (GIG): 02 03 26,8	
	CHZ		
		iP_{NEZ}	02 03 22,9

Date	Station	Phase	T.U. h m s
8.IV (suite)	CHZ	Lm	02 03 28
		EZ: $1,1^s$,$1,2^s$; 5,1 μ, 2,8 μ	
		F	05
	RBN		
		e_Z	02 03 28,6
		e_E	29,3
		F	05 30
	KRA (SKM)	e_{NE},ei_Z Pg	02 03 35,4 C
		ei_N	44,4
		F	05
	NIE		
		ePg_Z	02 03 45,0
		ei_Z	04 04,1
		F	05
	KSP		
		iPn_{NEZ}	02 03 53,0
		$eiSn_{NEZ}$	04 16,0
		F	05
10.IV		H=$01^h36^m57,0^s$; M=1,9 (Chorzów); ZAB (GIG): 01 36 58,7	
	CHZ	Δ=7 km	
		ei_{NE},i_Z P	01 36 58,9 D
		iS_{NZ}	37 00,5
		Lm	04
		EZ: $1,0^s$,$1,2^s$; 2,2 μ, 1,3 μ	
		F	30
	RBN	Traces	
		e_E	01 37 04,3
		e_E	09,4
		F	38
	KRA (SKM)	Δ=80 km	
		ePg_{EZ}	01 37 11,6
		ei_N,e_Z	20,9
		F	38 30
	NIE	Δ=141 km. Faible	
		ePg_Z	01 37 22,0
		e_Z	41,8
		F	38

Date	Station	Phase	T.U. h m s
10.IV	KSP	Δ=194 km	
		$ei Pn_{NZ}$	01 37 28,8
		$ei Sn_{NZ}$	52,3
		F	38 30
10.IV		DGP (GIG): 16 11 20,9	
	CHZ		
		e(P)$_{EZ}$	16 11 23,8
		i_{NE},ei_Z S	25,7
		Lm	31
		NEZ: $1,1^s$,$1,0^s$,$1,1^s$; 4,8 μ, 2,2 μ, 1,4 μ	
		F	12
	KRA (SKM)	ePg_{EZ}	16 11 32,0
		e_E	38,2
		i_N,e_Z	39,1
		F	12 30
	KSP	Traces	
		ei_{NEZ}	16 12 21,1
		F	13
	RBN	Traces	
		N	16 11 30-13 30
10.IV		ZAB (GIG): 23 42 38,7; DGP (GIG): 23 42 41,9	
	CHZ		
		ei_N,i_{EZ} P	23 42 38,7 C
		F	43 30
	KRA (SKM)	ePg_{EZ}	23 42 51,8
		e_{NEZ}	43 00,5
		Lm	27
		Z: $1,7^s$; 0,30 μ	
		F	44
	NIE		
		$eiPg_Z$	23 43 02,8 C
		e_Z	19,5
		F	44
	KSP		
		$ei Pn_{EZ}$	23 43 08,6
		ei_{NEZ}	30,1
		F	44 30

International Seismological Centre

Date	Station	Phase	T.U. h m s
10.IV (suite)	RAC	Traces NEZ	23 43 - 45
13.IV		H=$15^h19^m22,4^s$; M=2,8 (Chorzów); ZAB (GIG): 15 19 27,4	
	CHZ	Δ=8 km	
		iP_{NEZ}	15 19 24,5 D
		Lm	29
		NEZ: $1,0^s$; 7,8 μ, 9,0 μ, 6,5 μ	
		F	20 30
	RBN		
		e_E	15 19 28,3
		e_E	33,4
		e_N	39,3
		F	21 30
	KRA (SKM)	Δ=63 km	
		ePg_{EZ}	15 19 34,0
		eSg_{NEZ}	42,5
		F	21
	NIE	Δ=127 km	
		ePg_Z	15 19 45,0
		eSg_Z	20 03,3
		F	21 30
	KSP	Δ=206 km	
		$eiPn_{NEZ}$	15 19 56,6
		$eiSn_{NEZ}$	20 21,1
		F	21 30
	RAC	Traces NEZ	15 19 30-21 30
17.IV		H=$11^h19^m09,5^s$; M=2,2 (Chorzów); DGP (GIG): 11 19 11,6	
	CHZ	Δ=11 km	
		e_{NE}, i_Z P	11 19 12,2 D
		Lm	19
		EZ: $1,1^s$, $1,2^s$; 2,6 μ, 1,3 μ	
		F	20
	KRA (SKM)	Δ=61 km	
		ePg_{EZ}	11 19 20,7
		ei_N, e_{EZ} Sg	28,9
		F	20 30

Date	Station	Phase	T.U. h m s
17.IV	NIE	Δ=130 km	
		ePg_Z	11 19 32,7
		e_Z	52,2
		F	20 30
	KSP	Δ=217 km	
		$eiPn_{EZ}$	11 19 44,5
		ei_{NEZ}	20 12,5
		F	30
	RBN	Traces NE	11 19 30-21
18.IV		φ=50°21′; λ=18°51′; H=$15^h20^m31,7^s$; M=2,9 (Kraków), 2,6 (Chorzów); ZAB: P_Z 15 20 33,7	
	CHZ	Δ=12 km	
		ei_N, i_{EZ} P	15 20 34,5 C
		iS_{NZ}	36,4
		Lm	41
		NZ: $1,2^s$, $1,3^s$; 4,5 μ, 3,2 μ	
		Lm	44
		E: $1,0^s$; 3,3 μ	
		F	21 30
	RBN	Δ=36 km	
		e_N	15 20 40,5
		e_E	42,0
		F	22
	KRA (SKM)	Δ=83 km	
		ePg_{EZ}	15 20 46,8
		iSg_{NE}	57,7
		Lm	21 29
		NZ: $1,3^s$, $1,2^s$; 0,12 μ, 0,14 μ	
		F	22
	NIE	Δ=147 km	
		iPg_Z	15 20 56,7 I
		Pgm	57,5
		Z: $0,8^s$; 0,070 μ	21 16,3
		$eiSg_Z$	22
		F	
	KSP	Δ=187 km	
		$eiPn_{NEZ}$	15 21 02,5

Date	Station	Phase	T.U. h m s
18.IV (suite)	KSP	ei_{NEZ}	15 21 26,9
		F	22
18.IV		H=$21^h43^m05,0^s$; M=2,2 (Chorzów); DGP (GIG): 21 43 09,4 ZAB (GIG): 21 43 09,5	
	CHZ	Δ=10 km	
		ei_N, e_E, i_Z P	21 43 07,5
			09,5
		iS_{NE}	13
		Lm	
		Z: $1,2^s$; 1,5 μ	
		Lm	14
		NE: $1,0^s$; 2,2 μ, 1,3 μ	
		F	44
	KRA (SKM)	Δ=68 km	
		ePg_{EZ}	21 43 17,3
		ei_{NZ}, i_E Sg	26,4
		F	44 30
	KSP	Δ=213 km	
		$eiPn_{EZ}$	21 43 39,4
		$eiSn_{NEZ}$	44 04,9
		F	30
	RBN	Traces NEZ	21 43 00-44 30
	RAC	Traces NEZ	21 43 30-45 00
19.IV		DGP (GIG): 13 06 59,1; ZAB (GIG): 13 06 59,3	
	CHZ		
		iP_{NEZ}	13 06 56,7
		Lm	07 01
		E: $1,0^s$; 6,0 μ	
		F	08
	RBN		
		e_E	13 07 03,9
		e_{NE}	09,8
		F	08 30
	KRA (SKM)	Pg_{NEZ}	13 07(07)
		ei_E, i_Z Sg	16,5
		F	08 30

Date	Station	Phase	T.U. h m s
19.IV	NIE		
		$eiPg_Z$	13 07 18,7
		$eiSg_Z$	35,8
		F	08 30
20.IV		φ=50°21′; λ=18°55′; H=$22^h24^m49,6^s$; M=2,9 (Chorzów); ZAB: P_{NEZ} 22 24 52,0	
	CHZ	Δ=9 km	
		iP_N	22 24 51,9
		iP_{EZ}	52,3
		Lm	57,2
		E: $1,1^s$; 7,9 μ	
		F	26
	RBN	Δ=39 km	
		eP_Z	22 24 57,0
		e_{EZ}	25 02,0
		e_N	02,5
		Lm	19
		NE: $1,6^s$, $1,4^s$; 3,1 μ, 7,8 μ	
		F	27
	RAC	Δ=59 km	
		e_Z	22 25 01,2
		F	27 30
	KRA (SKM)	Δ=79 km	
		e_{NE}, ei_Z Pg	22 25 03,9 C
			04,7
		Pgm	
		Z: $0,7^s$; 0,067 μ	
			14,4
		eSg_{NE}	26 30
		F	
	NIE	Δ=144 km	
		ePg_Z	22 25 14,7
			16,3
		Pgm	
		Z: $0,9^s$; 0,042 μ	
			35,5
		i_Z	39,4
		ei_Z	27
		F	
	KSP	Δ=192 km	
		iPn_{NEZ}	22 25 22,3
		$eiSn_{NEZ}$	45,8
		F	26

International Seismological Centre

Date	Station	Phase	T.U. h m s	
21.IV		H=16h53m25,5s; M=2,1 (Chorzów); ZAB (GIG): 16 53 27,1 DGP (GIG): 16 53 32,5		
	CHZ	Δ=7 km		
		ei_{NE}, e_Z P	16 35 27,4	
		i_{NEZ}	28,3	
		Lm	32	
		EZ: 1,1s; 3,4 μ, 1,8 μ		
		F	54	
	RBN			
		e_E	16 53 33,9	
		F	54 30	
	KRA (SKM)	Δ=78 km		
		ePg_Z	16 53 39,7	
		ei_N, e_Z Sg	49,9	
		F	55	
	KSP	Δ=197 km		
		$eiPn_{EZ}$	16 53 57,8	
		$eiSn_{NEZ}$	54 21,3	
		F	55	
21.IV		H=18h28m50,3s; M=2,2 (Chorzów); ZAB (GIG): 18 28 51,5 DGP (GIG): 18 29 00,1		
	CHZ	Δ=9 km		
		eP_{NZ}	18 28 52,5	
		i_E	53,1	
		iS_{NE}	54,1	
		Lm	59	
		EZ: 1,1s; 3,3 μ, 1,5 μ		
		F	29 30	
	KRA (SKM)	Δ=83 km		
		ei_E, e_Z Pg	18 29 05,3	
		e_{EZ}	14,6	
		F	30 30	
	NIE	Δ=144 km		
		ePg_Z	18 29 15,8	
		e_Z	35,4	
		F	30	
	KSP	Δ=192 km		
		iPn_{EZ}	18 29 22,3	
		$eiSn_{NEZ}$	45,3	
		F	30 30	

Date	Station	Phase	T.U. h m s	
24.IV		φ =50°14′; λ =18°02′; H=16h19m55,7s; M=3,0 (Kraków); DGP: P_{EZ} 16 19 59,6; ZAB (GIG): 16 20 00,5		
	CHZ	Δ=7 km		
		iP_{NEZ}	16 19 57,4	
		Lm	20 01,8	
		N: 1,0s; 20,3 μ		
		F	22	
	RBN	Δ=38 km		
		e_{EZ}	16 20 05,1	
		Lm	27	
		E: 1,4s; 5,5 μ		
		Lm	33	
		N: 1,4s; 4,9 μ		
		F	22 30	
	KRA (SKM)	Δ=67 km		
		ePg_{NEZ}	16 20 07,8	
		Pgm	08,8	
		Z: 0,9s; 0,079 μ		
		ei_{NE}, i_Z Sg	16,8	
		Lm	50	
		NEZ: 1,1s, 1,0s, 1,1s; 0,11 μ, 0,13 μ, 0,20 μ		
		F	21 30	
	RAC	Δ=62 km		
		e_Z	16 20 08,1	
		e_E	08,6	
		F	23	
	NIE	Δ=128 km		
		ePg_Z	16 20 18,4	
		Pgm	20,5	
		Z: 0,7s; 0,065 μ		
		ei_Z	37,3	
		F	22	
25.IV		ZAB (GIG): 05 57 11,4; DGP (GIG): 05 57 16,8		
	CHZ			
		eP_{EZ}	05 57 12,4	
		e_N	13,4	
		Lm	21	
		EZ: 1,5s, 1,3s; 2,0 μ, 1,2 μ		
		F	58	

Date	Station	Phase	T.U. h m s	
25.IV (suite)	NIE	$eiPg_Z$	05 57 35,9	
		e_Z	56,0	
		F	58 30	
	KRA (SKM)	eSg_Z	05 57 36,4	
		Lm	58 12	
		Z: 1,2s; 0,08 μ		
		F	30	
	KSP	$eiSn_{NEZ}$	05 58 03,0	
		F	30	
	RAC	Traces EZ	05 57 - 59	
27.IV		φ =50°14′; λ =18°59′; H=20h01m39,5s; M=2,5 (Chorzów); DGP: P_Z 20 01 43,8; ZAB: S_{NEZ} 20 01 44,8		
	CHZ	Δ=6 km		
		ei_E, i_Z P	20 01 41,4 D	
		i_N	41,7	
		iS_Z	42,8	
		Lm	46	
		NE: 1,0s; 5,3 μ, 4,7 μ		
		F	02 30	
	KRA (SKM)	Δ=70 km		
		ePg_{EZ}	20 01 52,3	
		e_N	02 00,6	
		iSg_{EZ}	01,7	
		F	03	
	NIE	Δ=131 km		
		$eiPg_Z$	20 02 03,3	
		e_Z	20,6	
		F	03	
	KSP	Δ=200 km		
		ei_{NEZ}	20 02 13,8	
		F	04	
28.IV		H=20h24m02,5s; M=2,2 (Chorzów); DGP (GIG): 20 24 05,6		
	CHZ	Δ=12 km		
		e_N, ei_{EZ} P	20 24 05,2 D	
		iS_N	07,2	

Date	Station	Phase	T.U. h m s	
28.IV	CHZ	Lm	20 24 12	
		EZ: 1,2s, 1,0s; 1,9 μ, 1,0 μ		
		F	25	
	KRA (SKM)	Δ=61 km. Faible		
		ePg_{EZ}	20 24 13,7	
		e_{NZ}	20,9	
		$eiSg_{NZ}$	21,8	
		F	25	
	NIE	Δ=128 km		
		ePg_Z	20 24 25,2	
		e_Z	41,5	
		F	25 30	
	KSP	Δ=217 km		
		$eiPn_{NEZ}$	20 24 37,4	
		ei_{NEZ}	25 03,4	
		F	26	
	RBN	Traces NEZ	20 24 - 26	
30.IV		H=02h54m28,7s; M=2,7 (Chorzów); ZAB (GIG): 02 54 33,1; DGP (GIG): 02 54 33,3		
	CHZ	Δ=7 km		
		iP_{NEZ}	02 54 30,7	
		i_E	32,6	
		Lm	35	
		NZ: 1,1s; 10,5 μ, 7,0 μ		
		F	55 30	
	KRA (SKM)	Δ=69 km		
		ePg_{NEZ}	02 54 41,3 C	
		eSg_{NZ}	50,5	
		F	56	
	NIE	Δ=132 km		
		ePg_Z	02 54 52,2	
		Pgm	57,3	
		Z: 0,9s; 0,029 μ		
		$eiSg_Z$	55 09,9	
		F	56 30	
	KSP	Δ=210 km		
		iPn_{NEZ}	02 55 02,7	
		iSn_{NEZ}	27,7	
		F	56	

International Seismological Centre

Date	Station	Phase	T.U. h m s
30.IV (suite)	RBN	Traces	
		NE	02 54 - 57
	RAC	Traces	
		NEZ	02 54 30-56 30
30.IV		ZAB (GIG) :	13 36 48,1
	CHZ		
		eiP_{NEZ}	13 36 47,0 C
		Lm	52
		Z: $1,1^s$; 2,6 µ	
		F	37 30
	KRA (SKM)		
		eSg_{NE}	13 37 09,8
		F	38

Date	Station	Phase	T.U. h m s
30.IV	NIE		
		$eiPg_Z$	13 37 11,0
		e_Z	29,8
		F	38
	KSP		
		iPn_{EZ}	13 37 17,4
		ei_{NEZ}	44,3
		F	36
	RBN	Traces	
		NE	13 37 00-36 30

1973 — M A I — 1973

Date	Station	Phase	T.U. h m s
3.V		$\varphi = 50^o21,5'$; $\lambda = 18^o49,0'$; $H = 09^h44^m37,7^s$; M=2,8 (Chorzów), 2,7 (Kraków) ; ZAB: P_{NZ} 09 44 39,5 ; DGP (GIG) : 09 44 44,7	
	CHZ	Δ=14 km	
		eP_Z	09 44 40,9
		e_N, ei_E	41,7
		i_N	43,9
		Lm	49
		Z: $1,4^s$; 1,2 µ	
		Lm	50
		E: $1,2^s$; 1,9 µ	
		F	45
	RBN	Δ=35 km	
		eS_N	09 44 49,6
		e_E	51,4
		F	46 30
	KRA (SKM)	Δ=86 km	
		ePg_E	09 44 53,4
		e_E, ei_Z Sg	45 04,9
		Lm	41
		Z: $1,2^s$; 0,10 µ	
		F	46
	NIE	Δ=149 km	
		ePg_Z	09 45 04,2

Date	Station	Phase	T.U. h m s
3.V	NIE	e_Z	09 45 21,6
		F	46
	KSP	Δ=184 km	
		$eiPn_{EZ}$	09 45 09,6
		ei_{NEZ}	30,6
		F	46
3.V		ZAB (GIG) : 18 12 42,5	
	CHZ		
		i_N, e_E, ei_Z P	18 12 42,9 C
		i_N	44,2
		Lm	49
		EZ: $1,0^s, 1,2^s$; 1,7 µ, 1,1 µ	
		F	13
	KRA (SKM)	Faible	
		ePg_Z	18 12 55,5
		e_Z	13 06,5
		F	14
	NIE		
		ePg_Z	18 13 06,3
		F	14 30
	RBN	Traces	
		NEZ	18 12 30-14 30

Date	Station	Phase	T.U. h m s
3.V		H=$20^h20^m54,5^s$; M=3,0 (Kraków) 2,5 (Chorzów) ; ZAB (GIG) : 20 20 55,7	
	CHZ	Δ=9 km	
		eP_{NZ}	20 20 56,8
		iS_{NZ}	58,2
		Lm	21 05
		EZ: $1,3^s, 1,4^s$; 5,2 µ, 3,7 µ	
		F	22
	RBN		
		e_N	20 21 03,4
		ei_N, e_E	06,5
		Lm	19
		N: $1,5^s$; 2,6 µ	
		F	23 30
	KRA (SKM)	Δ=80 km	
		Pg_{NEZ}	20 21(09)
		eSg_Z	19,1
		$eiSg_N$	19,6
		i_{NE}, ei_Z	20,6
		Lm	50
		NZ: $1,4^s, 1,5^s$; 0,22 µ, 0,28 µ	
		Lm	57
		EZ: $1,2^s, 1,3^s$; 0,13 µ, 0,24 µ	
		F	24
	NIE	Δ=146 km	
		ePg_Z	20 21 20,4
		Pgm	21,4
		Z: $1,0^s$; 0,029 µ	
		eSg_Z	39,3
		F	23
	RAC	Traces	
		NEZ	20 21 00-23 30
4.V		DGP (GIG) : 15 31 00,6	
	CHZ		
		eP_{NEZ}	15 31 02,4 D
		Lm	09
		Z: $1,0^s$; 0,8 µ	
		F	30
	KRA (SKM)		
		eSg_{EZ}	15 31 20,7
		F	32

Date	Station	Phase	T.U. h m s
4.V	NIE		
		ePg_Z	15 31 23,2
		e_Z	42,0
		F	32 30
4.V		H=$20^h40^m23,3^s$; M=2,1 (Chorzów) ; DGP (GIG) : 20 40 24,8	
	CHZ	Δ=8 km	
		e_N, ei_{EZ} P	20 40 25,4
		iS_{NZ}	27,2
		Lm	30
		NZ: $1,0^s$; 1,9 µ, 1,4 µ	
		Lm	31
		E: $0,9^s$; 1,8 µ	
		F	41
	KRA (SKM)	Δ=68 km. Faible	
		ePg_E	20 40 35,7
		e_Z	44,2
		eSg_E	44,8
		F	41 30
	NIE	Δ=132 km	
		ePg_Z	20 40 46,9
		e_Z	41 05,4
		F	30
7.V		DGP (GIG) : 20 26 41,7 ; ZAB (GIG) : 20 26 48,2	
	CHZ		
		iP_{NEZ}	20 26 43,9 D
		Lm	48
		Z: $1,0^s$; 11,8 µ	
		F	28 30
	RBN		
		e_Z	20 26 50,6
		e_E	51,4
		Lm	27 25
		NE: $1,8^s, 1,5^s$; 6,0 µ, 5,1 µ	
		F	29 30
	KRA (Ch)		
		$eiPg_{NEZ}$	20 26 54,2
		i_N	27 02,3
		i_{EZ}	03,2
		F	29

International Seismological Centre

Date	Station	Phase	T.U. h m s.
7.V (suite)	NIE		
		ePg_Z	20 27 04,7
		Pgm	06,5
		Z: 0,7^s; 0,078 μ	
		i_Z	24,7
		F	29 30
	KSP		
		iPn_{NE}	20 27 16,0
		$eiSn_{NE}$	40,7
		F	29
	RAC	Traces	
		NEZ	20 27 00-29 30
7.V		DGP (GIG) : 22 47 41,6 ;	
		ZAB (GIG) : 22 47 42,4	
	CHZ		
		eP_Z	22 47 40,9
		iP_{NE}	41,3
		i_N	42,3
		Lm	45
		Z: 1,2^s; 1,8 μ	
		F	48 30
	KRA (Ch)	$eiPg_{NEZ}$	22 47 53,5
		e_N	48 02,0
		e_{EZ}	08,5
		F	49
	NIE		
		ePg_Z	22 48 04,3
		e_Z	22,3
		F	49
9.V		H=09^{h}29^{m}56,8^s; M=2,1 (Chorzów) ;	
	CHZ	Δ= 9 km	
		e_{NE},ei_Z P	09 29 59,1
		Lm	30 06
		EZ: 1,1^s,1,3^s; 2,5 μ, 1,5 μ	
		F	31
	KRA (SKM)	Δ=59 km	
		ePg_Z	09 30 07,7
		eSg_Z	15,7

Date	Station	Phase	T.U. h m s
9.V	KRA	$eiSg_E$	09 30 16,1
		F	31 30
	NIE	Δ=126 km	
		ePg_Z	09 30 19,2
		eSg_Z	35,3
		F	31 30
	KSP	Δ=211 km	
		$eiPn_{NEZ}$	09 30 30,9
		ei_{NEZ}	58,9
		F	31 30
9.V		φ=50°16' ; λ=19°02' ; H=13^{h}20^{m}04,0^s; M=3,1 (Kraków), 2,8 (Chorzów) ; DGP (GIG) : 13 20 07,3 ; ZAB (GIG) : 13 20 08,4	
	CHZ	Δ=4 km	
		iP_{NEZ}	13 20 05,3 D
		Lm	10
		Z: 1,2^s; 18,7 μ	
		F	22
	RBN	Δ=40 km	
		eP_Z	13 20 11,6
		e_N	13,1
		F	22 30
	KRA (SKM)	Δ=68 km	
		e_N,ei_{EZ} Pg	13 20 16,4 C
		Pgm	17,3
		Z: 0,8^s; 0,11 μ	
		$eiSg_{NZ}$	25,2
		Lm	55
		NZ: 1,2^s,1,3^s; 0,27 μ, 0,29 μ	
		Lm	57
		E: 1,3^s; 0,30 μ	
		F	22
	NIE	Δ=131 km	
		ePg_Z	13 20 26,7
		Pgm	28,8
		Z: 1,0^s; 0,047 μ	
		e_Z	39,3
		ei_Z	45,2
		F	22 30

Date	Station	Phase	T.U. h m s
9.V (suite)	KSP	Δ=202 km	
		iPn_{NEZ}	13 20 36,9
		iSn_{NEZ}	21 01,4
		F	22 30
10.V		H=16^{h}29^{m}14,5^s; M=3,6 (Kraków) 3,4 (Chorzów) ; ZAB (GIG) : 16 29 16,2 ; DGP (GIG) : 16 29 21,0	
	CHZ	Δ=14 km	
		eiP_{EZ}	16 29 17,6 C
		Lm	27
		Z: 1,4^s; 18,6 μ	
		F	32
	KRA (SKM)	Δ=83 km	
		ePg_{EZ}	16 29 29,5
		ei_N	38,9
		ei_E	40,0
		iSg_Z	40,6
		Lm	30 09
		E: 1,2^s; 0,35 μ	
		Lm	11
		NZ: 1,3^s,1,5^s; 0,60 μ, 0,94 μ	
		F	32 30
	NIE	Δ=145 km	
		ePg_Z	16 29 40,1
		Pgm	42,7
		Z: 1,1^s; 0,059 μ	
		iSg_Z	58,0
		F	32 30
12.V		DGP (GIG) : 20 42 03,4 ;	
		ZAB (GIG) : 20 42 04,3	
	CHZ		
		iP_{NEZ}	20 42 01,4 D
		Lm	05
		NZ: 1,0^s; 8,8 μ, 4,9 μ	
		F	43
	KRA (SKM)	Faible	
		ePg_{EZ}	20 42 12,0
		i_N,e_{EZ}	20,1
		F	43 30
	NIE		
		$eiPg_Z$	20 42 23,1 D

Date	Station	Phase	T.U. h m s
12.V	NIE	e_Z	20 42 42,1
		F	43 30
	KSP		
		ePn_{EZ}	20 42 32,4
		ei_{NEZ}	57,9
		F	43 30
	RAC	Traces	
		NEZ	20 42 - 44
13.V		ZAB (GIG) : 01 20 17,8 ;	
		DGP (GIG) : 01 20 22,3	
	CHZ		
		i_{NE},ei_Z P	01 20 17,9
		Lm	24
		Z: 1,0^s; 11,4 μ	
		Lm	25
		N: 1,0^s; 17,0 μ	
		F	22 30
	RAC		
		e_Z	01 20 26,4
		e_Z	28,6
		F	23 30
	KRA (SKM)		01 20 30,0
		ePg_{NEZ}	38,9
		e_N	41,5
		ei_Z	43,0
		ei_E	21 12
		Lm	
		Z: 1,5^s; 0,25 μ	
		F	22 30
	NIE		01 20 40,4
		$eiPg_Z$	44,4
		Pgm	
		Z: 1,0^s; 0,056 μ	21 01,1
		i_Z	22 30
		F	
	KSP		01 20 47,7
		iPn_{NEZ}	21 11,2
		iSn_{NEZ}	23
		F	
13.V		ZAB (GIG) : 09 38 20,3	
	CHZ	P_{NEZ}	09 38(20)

International Seismological Centre

Date	Station	Phase	T.U. h m s	
13.V (suite)	CHZ	Lm	09 38 28	
		Z: 1,0^{s}; 1,6 μ		
		F	39	
	KRA (SKM)	ePg$_{Z}$	09 38 34,3	
		e$_{Z}$	44,2	
		e$_{E}$	44,6	
		F	39 30	
	NIE	ePg$_{Z}$	09 38 44,7	D
		e$_{Z}$	39 04,6	
		F	40	
	KSP	ei$_{EZ}$	09 38 47,9	
		ei$_{NEZ}$	39 14,4	
		F	40	
14.V		H=01^{h}55^{m}56,7^{s};		
		ZAB (GIG): 01 56 00,7 ;		
		DGP (GIG): 01 56 01,0		
	CHZ	Δ=4 km		
		iP$_{NEZ}$	01 55 58,0	C
		F	56 30	
	KRA (SKM)	Δ=70 km		
		e$_{NZ}$,ei$_{E}$ Pg	01 56 09,4	
		e$_{NE}$	17,4	
		ei$_{NE}$,i$_{Z}$ Sg	19,0	
		F	57 30	
	NIE	Δ=129 km		
		ePg$_{Z}$	01 56 19,6	
		e$_{Z}$	39,6	
		F	57 30	
	KSP	Δ=208 km		
		eiPn$_{NEZ}$	01 56 30,4	
		eiSn$_{NEZ}$	55,4	
		F	57 30	
	RAC	Traces		
		NEZ	01 56 - 58	
15.V		DGP (GIG): 02 54 32,5		
	CHZ			
		e$_{NE}$,ei$_{Z}$ P	02 54 31,8	

Date	Station	Phase	T.U. h m s	
15.V	CHZ	Lm	02 54 38	
		EZ: 1,1^{s},1,2^{s}; 1,7 μ,		
		F	0,9 μ	
	KRA (SKM)	e$_{E}$	55 30	
		eSg$_{N}$	02 54 41,7	
		eSg$_{EZ}$	48,1	
		F	48,5	
	KSP		56	
		eiPn$_{EZ}$	02 55 04,6	
		ei$_{NEZ}$	31,6	
		F	56	
15.V		ZAB (GIG): 20 13 29,4 ;		
		DGP (GIG): 20 13 38,8		
	CHZ			
		eP$_{Z}$	20 13 31,5	
		ei$_{N}$,i$_{E}$	32,0	
		i$_{E}$,ei$_{Z}$	34,7	
		Lm	41	
		NZ: 1,0^{s},1,1^{s}; 2,7 μ,		
			1,7 μ	
		Lm	43	
		E: 1,0^{s}; 2,5μ		
		F	15	
	RAC	e$_{Z}$	20 13 38,5	
		e$_{E}$	39,8	
		F	15 30	
	KRA (SKM)	e$_{E}$,ei$_{Z}$ Pg	20 13 43,5	C
		e$_{N}$	44,0	
		e$_{N}$	47,3	
		Sg$_{NEZ}$	(53)	
		F	15 30	
	NIE	ePg$_{Z}$	20 13 53,5	C
		Pgm	54,9	
		Z: 1,0^{s}; 0,032 μ		
		ei$_{Z}$	14 13,6	
		F	15 30	
	KSP	iPn$_{NEZ}$	20 13 59,8	

Date	Station	Phase	T.U. h m s	
15.V (suite)	KSP	eiSn$_{NEZ}$	20 14 21,8	
		F	15 30	
		DGP (GIG): 08 37 05,5		
21.V	CHZ	e$_{NE}$,ei$_{Z}$ P	08 37 05,0	
		Lm	12	
		EZ: 1,2^{s},1,1^{s}; 2,0 μ,		
			0,9 μ	
		F	38	
	KRA (SKM)	e$_{EZ}$	08 37 15,2	
		e$_{NZ}$,ei$_{E}$ Sg	21,1	
		F	38 30	
	NIE	ePg$_{Z}$	08 37 24,9	
		e$_{Z}$	44,3	
		F	38 30	
23.V	RBN	ZAB (GIG): 03 03 40,6		
		Δ=15 km		
		S - P = 02^{s}		
	RAC	iP$_{Z}$	03 03 37,2	D
		e$_{N}$,i$_{E}$	37,9	
		ei$_{N}$	42,2	
		Lm	04 07	
		NEZ: 0,8^{s}; 3,3 μ, 5,5 μ,		
			2,6 μ	
		F	05	
	CHZ	e$_{Z}$	03 03 41,4	
		e$_{N}$	41,9	
		i$_{E}$	48,2	
		F	05	
	KRA (SKM)	e$_{E}$	03 03 51,8	
		i$_{E}$	53,3	
		i$_{Z}$	53,8	
		eiSg$_{EZ}$	04 05,8	
		F	05 30	
	NIE	ePn$_{Z}$	03 03 55,8	
		e$_{E}$,i$_{Z}$ Pg	56,6	

Date	Station	Phase	T.U. h m s	
23.V	NIE	Pgm	03 03 57,2	
		0,7^{s}; 0,164 μ		
		iSg$_{EZ}$	04 16,0	
		F	06	
	KSP	i$_{EZ}$,e$_{N}$ Pn	03 04 00,5	
		i$_{NEZ}$	03,0	
		eiSn$_{NEZ}$	22,5	
		F	06	
24.V		ZAB (GIG): 06 56 00,4 ;		
		DGP (GIG): 06 56 04,3		
	CHZ	iP$_{Z}$	06 56 00,2	
		eiP$_{NE}$	00,5	
		Lm	07	
		Z: 1,5^{s}; 5,6 μ		
		Lm	08	
		N: 1,0^{s}; 5,2 μ		
		F	57	
	NIE	ePg$_{Z}$	06 56 23,6	
		Pgm	25	
		Z: 0,9^{s}; 0,054 μ		
		ei$_{Z}$	42,3	
		F	58	
	RAC	Traces		
		NEZ	06 56 - 59	
27.V		φ =50°17,5' ; λ =18°50,0' ; H=00^{h}11^{m}20,8^{s}; M=2,3 (Chorzów); ZAB: P$_{NE}$ 00 11 21,8; DGP: S$_{N}$ 00 11 30,0		
	CHZ	Δ=11 km		
		eP$_{EZ}$	00 11 23,2	D
		e$_{N}$	24,4	
		eS$_{Z}$	24,8	
		Lm	30	
		EZ: 1,2^{s},1,1^{s}; 2,3 μ,		
			1,6 μ	
		F	12 30	
	RBN.	Δ=30 km		
		e$_{NE}$	00 11 28,2	
		e$_{N}$	32	

International Seismological Centre

Date	Station	Phase	T.U. h m s
27.V (suite)	RBN	Lm	00 11 50
		NE: $1,3^s$, $1,5^s$; 3,5 μ, 2,7 μ	
		F	13
	RAC	Δ=51 km	
		e_{EZ}	00 11 31,8
		F	13
	KRA (SKM)	Δ=82 km	
		$eiPg_{EZ}$	00 11 35,7 D
		e_N	45,7
		eSg_Z	46,5
		F	13
	NIE	Δ=143 km	
		ePg_Z	00 11 45,5
		e_Z	12 02,7
		F	13
	KSP	Δ=188 km	
		$eiPn_{NEZ}$	00 11 52,1
		$eiSn_{NEZ}$	12 15,6
		F	30
27.V		φ=50°16′; λ=18°55′; H=$17^h58^m00,2^s$; M=2,0 (Chorzów); ZAB: P_{NEZ} 17 58 02,6; DGP (GIG): 17 58 05,6	
	CHZ	Δ=6 km	
		iP_{NEZ}	17 58 01,9 D
		iS_E	03,2
		Lm	05
		Z: $1,2^s$; 1,8 μ	
		F	59
	KRA (SKM)	Δ=76 km	
		ePg_{EZ}	17 58 13,9
		eSg_{EZ}	23,9
		F	59
	NIE	Δ=137 km	
		ePg_Z	17 58 24,5
		F	59 30
	RBN	Traces	
		NEZ	17 58 00-59 30
29.V		H=$08^h08^m27,7^s$; M=2,2 (Chorzów); ZAB (GIG): 08 08 28,7	

Date	Station	Phase	T.U. h m s
29.V		DGP (GIG): 08 08 38,6	
	CHZ	Δ=10 km	
		e_N, i_E, ei_Z P	08 08 30,1
		i_{NE}, e_Z S	31,7
		Lm	36
		Z: $1,2^s$; 1,3 μ	
		Lm	37
		E: $1,0^s$; 1,8 μ	
		F	09
	NIE	Δ=142 km	
		ePg_Z	08 08 52,5
		F	10
	KSP	Δ=192 km	
		$eiPn_{EZ}$	08 08 59,3
		$eiSn_{NEZ}$	09 22,3
		F	10
	RBN	Traces	
		NE	08 08 30-09 30
30.V		H=$15^h16^m30,0^s$; M=2,3 (Chorzów); DGP (GIG): 15 16 33,6; ZAB (GIG): 15 16 37,0	
	CHZ	Δ=7 km	
		iP_{NEZ}	15 16 31,9 D
		i_E	33,4
		Lm	36
		Z: $1,1^s$; 3,0 μ	
		F	17
	KRA (Ch)	Δ= 66 km	
		ePg_Z	15 16 42,0
		iSg_{NE}	50,6
		F	17 30
	NIE	Δ=134 km	
		ePg_Z	15 16 53,8
		e_Z	17 12,8
		F	30
	RBN	Traces	
		NE	15 16 30-18 00

Date	Station	Phase	T.U. h m s
1973		J U I N	
1.VI		DGP (GIG): 06 43 33,0	
	CHZ		06 43 25,2
		eP_Z	28,7
		ei_Z	34
		Lm	
		Z: $1,2^s$; 0,9 μ	44
		F	
	KRA (SKM)		06 43 33,0
		ePg_{EZ}	39,6
		e_E	40,4
		e_N	44 30
		F	
	NIE		06 43 45,0
		ePg_Z	44 02,5
		e_Z	
2.VI		ZAB (GIG): 00 57 49,6; DGP (GIG): 00 57 55,4	
	CHZ		
		eP_{NEZ}	00 57 51,8
		Lm	58 00
		Z: $1,4^s$; 1,5 μ	
		F	59
	KRA (SKM)		00 58 04,5
		ePg_Z	13,6
		e_Z	14,9
		ei_N	53
		Lm	
		Z: $1,2^s$; 0,10 μ	59 30
		F	
	NIE		00 58 14,5
		ePg_Z	35,6
		ei_Z	59 30
		F	
	KSP		00 58 18,8
		$eiPn_{NZ}$	42,3
		ei_{NZ}	59 30
		F	
	RBN	Traces	00 58 00-59 30
		NEZ	

Date	Station	Phase	T.U. h m s
1973			
2.VI	RAC	Traces	
		NEZ	00 58 - 01 00
2.VI		H=$02^h25^m26,5^s$; M=2,3 (Chorzów); ZAB (GIG): 02 25 27,0; DGP (GIG): 02 25 32,4	
	CHZ	Δ=8 km	
		ei_E, e_Z P	02 25 28,5
		ei_N	29,2
		ei_N	30,2
		Lm	36
		Z: $1,3^s$; 2,7 μ	
		Lm	39
		E: $1,3^s$; 4,2 μ	
		Lm	41
		N: $1,0^s$; 3,6 μ	
		F	26 30
	RBN	Δ=33 km	
		eP_Z	02 25 33,0
		e_E	37,6
		F	27 30
	RAC		
		e_E	02 25 38,6
		e_{NZ}	42,0
		F	28
	KRA (SKM)	Δ=83 km	
		e_N, i_E, ei_Z Pg	02 25 41,5 D
		e_{NE}, ei_Z Sg	52,0
		Lm	26 29
		N: $1,2^s$; 0,13 μ	
		Lm	30
		EZ: $1,2^s$; 0,20 μ, 0,23 μ	
		F	27 30
	NIE	Δ=142 km	
		ePg_Z	02 25 51,6
		Pgm	52,5
		Z: $1,0^s$; 0,026 μ	26 09,8
		eSg_Z	27 30
		F	
	KSP	Δ=187 km	
		$eiPn_{NEZ}$	02 25 57,3
		$eiSn_{NEZ}$	26 19,3
		F	27

International Seismological Centre

Date	Station	Phase	T.U. h m s
4.VI		ZAB (GIG) : 06 48 40,8	
	CHZ		
		eiP_{EZ}	06 48 43,6 C
		ei_N	44,3
		ei_Z	46,1
		F	49 30
	RBN		
		e_{NE}	06 48 47,2
		e_E	51,0
		F	50 30
	NIE		
		ePg_Z	06 49 05,6
		Pgm	06,9
		Z: $0,9^s$; 0,035 μ	
		ei_Z	25,2
		F	50 30
	RAC	Traces	
		NEZ	06 48 30-50 30
7.VI		ZAB (GIG) : 03 07 15,0 ; DGP (GIG) : 03 07 17,1	
	CHZ		
		iP_{NE}	03 07 12,4
		F	08
	KRA (SKM)		
		ePg_{EZ}	03 07 23,0
		ei_{NE}, e_Z	31,0
		F	08 30
	NIE		
		$eiPg_Z$	03 07 34,4
		e_Z	51,0
		F	09
	KSP		
		$eiPn_{NEZ}$	03 07 44,3
		ei_{NEZ}	08 09,3
		F	09
	RAC	Traces	
		NEZ	03 07 - 09
7.VI		H=$19^h25^m29,5^s$; M=3,0 (Chorzów Kraków) ; ZAB (GIG) : 19 25 30,2; DGP (GIG) : 19 25 36,5	

Date	Station	Phase	T.U. h m s
7.VI	CHZ	Δ=14 km	
		e_{NE}, ei_Z P	19 25 32,6
		i_E, ei_Z	34,2
		i_N	34,6
		Lm	39
		N: $1,3^s$; 4,1 μ	
		Lm	40
		E: $1,2^s$; 3,7 μ	
		F	26 30
	RBN		
		e_Z	19 25 36,7
		e_N	41,3
		F	27 30
	KRA (SKM)	Δ=84 km	
		ei_E, e_Z Pg	19 25 44,7
		ei_{NE}	54,9
		ei_E, e_Z Sg	55,7
		Lm	26 21
		N: $1,4^s$; 0,20 μ	
		Lm	32
		EZ: $1,2^s, 1,3^s$; 0,13 μ, 0,19 μ	
		F	27
	NIE	Δ=148 km	
		$eiPg_Z$	19 25 55,7 D
		eSg_Z	26 12,8
		F	27 30
	RAC	Traces	
		NEZ	19 25 30-28 00
11.VI		H=$10^h20^m10,0^s$; ZAB (GIG) : 10 20 10,5 ; DGP (GIG) : 10 20 16,4	
	CHZ	Δ=10 km	
		$1P_{NEZ}$	10 20 12,4
		$1S_{NZ}$	14,2
		F	21
	KRA (SKM)	Δ=80 km. Faible	
		ePg_E	10 20 24,5
		eSg_E	34,9
		e_Z	35,6
		F	21 30
	NIE	Δ=142 km. Faible	
		ePg_Z	10 20 35,2
		F	21 30

Date	Station	Phase	T.U. h m s
11.VI (suite)	KSP	Traces	10 21 04,4
		ei_{NZ}	22
		F	
11.VI		DGP (GIG) : 13 01 43,7 ; ZAB (GIG) : 13 01 44,3	
	CHZ		13 01 41,7 D
		$1P_{NEZ}$	02 30
		F	
	KRA (SKM)		13 01 52,0
		$e(Pg)_Z$	52,5
		e_E	02 00,8
		e_{NE}, ei_Z Sg	03
		F	
	NIE		13 02 04,2
		$eiPg_Z$	21,7
		e_Z	03
		F	
	KSP		
		$eiPn_{EZ}$	13 02 13,9
		ei_{NEZ}	39,4
		F	03
11.VI		H=$20^h38^m08,3^s$; M=2,8 (Kraków) ZAB (GIG) : 20 38 11,9 ; DGP (GIG) : 20 38 14,3	
	CHZ	Δ=9 km	
		i_{NZ}, i_E P	20 38 10,6
		i_N	11,7
		F	39
	KRA (SKM)	Δ=77 km	
		ePg_Z	20 38 22,2
		i_N, ei_Z Sg	32,5
		Lm	39 04
		Z: $1,4^s$; 0,13 μ	
		F	40
	NIE	Δ=144 km	
		ePg_Z	20 38 33,8
		e_Z	52,0
		F	39 30
	KSP		
		ei_{NEZ}	20 38 41,9
		ei_{NEZ}	39 05,9
		F	30

Date	Station	Phase	T.U. h m s
11.VI	RBN	Traces	
		NEZ	20 38 00-40 30
	RAC	Traces	
		NEZ	20 38 - 41
13.VI		ZAB (GIG) : 12 12 10,8 ; DGP (GIG) : 12 12 15,2	
	CHZ		
		$1P_{NEZ}$	12 12 10,7
		F	13 30
	RBN		
		e_N	12 12 15,9
		e_E	16,4
		Lm	36
		E: $1,7^s$; 5,7 μ	
		F	14 30
	KRA (SKM)		
		e_{NZ}, ei_E	12 12 22,4
		i_N, e_{EZ} Sg	31,7
		ei_E	34,5
		F	13 30
	KSP		
		$eiPn_{EZ}$	12 12 40,9
		$eiSn_{NEZ}$	13 04,4
		F	14
	RAC	Traces	
		NEZ	12 12 - 14
14.VI		DGP (GIG) : 21 22 57,0	
	CHZ		
		eP_{EZ}	21 22 58,5
		Lm	23 07
		EZ: $1,1^s, 1,2^s$; 1,8 μ, 1,2 μ	
		F	24
	KRA (SKM)	Faible	
		Pg_{NEZ}	21 23(06)
		e_{NE}	13,9
		e_Z	15,3
		F	24 30
	NIE		
		$eiPg_Z$	21 23 19,1
		F	24

International Seismological Centre

Date	Station	Phase	T.U. h m s
14.VI (suite)	RBN	Traces NE	21 23 00-24 30
16.VI		φ =50°16´; λ =18°48´; H=08h22m26,0s; M=3,1 (Kraków); ZAB: P_{NEZ} 08 22 27,2; DGP: P_{NEZ} 08 22 32,3	
	RBN	Δ=26 km	
		eS_N	08 22 34,3
		ei_N	38,4
		F	24 30
	KRA (SKM)	Δ=83 km	
		$eiPg_{EZ}$	08 22 41,0 D
		e_Z	51,0
		e_E, i_Z Sg	52,5
		Lm	23 29
		NZ: 1,3s; 0,14 μ, 0,23μ	
		Lm	30
		E: 1,3s; 0,17 μ	
		F	24 30
	RAC	Δ=48 km	
		ei_{NE}	08 22 44,0
		F	25
	NIE	Δ=143 km	
		ePg_Z	08 22 51,3
		eSg_Z	23 10,6
		F	24 30
	KSP	Δ=187 km	
		$eiPn_{NEZ}$	08 22 56,5
		$eiSn_{NEZ}$	23 18,5
		F	24 30
17.VI		ZAB (GIG): 06 38 55,1	
	CHZ		
		eP_{NEZ}	06 38 57,2
		ei_N	59,5
		Lm	39 06
		EZ: 1,3s, 1,2s; 2,4 μ, 1,6 μ	
		F	40
	KRA (SKM)	Faible	
		ePg_{EZ}	06 39 09,6
		e_Z	21,0
		F	40

Date	Station	Phase	T.U. h m s
17.VI	RBN	Traces NEZ	
	RAC	Traces EZ	06 39 00-40
			06 39 - 41
19.VI		H=08h15m24,8s; M=2,2 (Chorzów); ZAB (GIG): 08 15 28,0	
	CHZ	Δ=8 km	
		e_{NZ}, ei_Z P	08 15 26,6
		iS_Z	28,4
		Lm	32
		Z: 1,3s; 1,9 μ	
		F	16 30
	RBN		
		e_N	08 15 36,6
		F	17 30
	KRA (SKM)	Δ=80 km	
		ePg_{EZ}	08 15 39,2
		ei_N, e_Z	48,6
		e_E	49,5
		F	17
	KSP		
		ei_{EZ}	08 15 57,7
		ei_{NEZ}	16 20,7
		F	17
	RAC	Traces EZ	08 15 30-17
19.VI		H=22h04m50,2s; M=2,1 (Chorzów); ZAB (GIG): 22 04 52,0; DGP (GIG): 22 04 58,9	
	CHZ	Δ=6 km	
		ei_{NZ}, e_E P	22 04 51,9
		Lm	56
		Z: 1,2s; 2,2 μ	
		F	05 30
	KRA (SKM)	Δ=76 km. Faible	
		ePg_E	22 05 04,0
		ei_N, e_{EZ} Sg	13,9
		F	06
	NIE	Δ=139 km	
		ePg_Z	22 05 14,8
		F	06 30

Date	Station	Phase	T.U. h m s
19.VI (suite)	KSP	Δ=191 km	
		$eiPn_Z$	22 05 21,6
		ei_{NZ}	46,6
		F	06
	RBN	Traces NE	22 04 30-06 30
20.VI		φ =50°16´; λ =18°54´; H=14h45m03,5s; M=3,4 (Kraków) 3,0 (Chorzów); ZAB: P_{EZ} 14 45 05,5; DGP: P_{EZ} 14 45 08,0	
	CHZ	Δ=7 km	
		iP_{NEZ}	14 45 05,6 D
		Lm	11
		Z: 1,3s; 16,8 μ	
		F	47
	RBN	Δ=32 km	
		e_{NE}	14 45 12,2
		F	48
	KRA (SKM)	Δ=77 km	
		ePg_Z	14 45 17,3
		i_{NEZ}	18,0
		ei_E	26,7
		iSg_{NZ}	27,4
		Lm	59
		NEZ: 1,2s, 1,1s, 1,3s; 0,31 μ, 0,24 μ, 0,48 μ	
		F	47
	RAC	Δ=54 km	
		eSg_E	14 45 19,7
		i_N	26,7
		F	48
	NIE	Δ=138 km	
		ePg_Z	14 45 28,3
		Pgm	29,8
		Z: 0,9s; 0,105 μ	
		eSg_Z	46,5
		F	47 30
	KSP	Δ=193 km	
		iPn_{NEZ}	14 45 35,1
		i_{NEZ}	59,6
		F	48

Date	Station	Phase	T.U. h m s
24.VI		H=03h49m08,2s; M=2,2 (Chorzów); DGP (GIG): 03 49 19,6	
	CHZ	Δ=12 km	
		ei_E, e_Z P	03 49 10,9
		ei_Z	13,5
		Lm	20
		Z: 1,3s; 1,2 μ	
		F	50
	RAC		
		e_Z	03 49 18,2
		e_E	24,9
		F	51
	KRA (SKM)	Δ=84 km	
		ePg_{NZ}	03 49 23,4
		$eiSg_Z$	34,5
		ei_N	35,8
		F	50 30
24.VI		H=12h46m01,5s; M=2,6 (Chorzów); DGP (GIG): 12 46 02,3; ZAB (GIG): 12 46 05,4	
	CHZ	Δ=17 km	
		eP_{EZ}	12 46 05,2
		Lm	15
		Z: 1,3s; 2,0 μ	
		F	16
	KRA (SKM)	Δ=56 km	
		e_N, ei_{EZ} Pg	12 46 11,9
		i_N, e_{EZ}	19,4
		ei_Z	23,4
		F	47 30
	RBN		
		e_{NE}	12 46 20,7
		F	48
	NIE	Δ=125 km	
		ePg_Z	12 46 23,7
		e_Z	42,2
		F	48
24.VI		H=17h53m31,2s; M=2,3 (Chorzów); DGP (GIG): 17 53 36,5	
	CHZ	Δ=5 km	
		iP_{NEZ}	17 53 32,7 D

International Seismological Centre

Date	Station	Phase	T.U. h m s	
24.VI (suite)	CHZ	Lm	17 53 37	
		Z: 1,3^{s}; 5,1 μ		
		Lm	38	
		E: 1,1^{s}; 7,7 μ		
		F	54 30	
	RBN			
		e_Z	17 53 37,3	
		e_{EZ}	38,4	
		e_N	39,1	
		Lm	54 00	
		E: 1,6^{s}; 3,9 μ		
		F	55 30	
	RAC			
		e_E	17 53 42,0	
		e_Z	42,8	
		F	55 30	
	KRA (SKM)	Δ=73 km		
		e_{NE},ei_Z Pg	17 53 44,5	D
		ei_N,e_Z Sg	54,0	
		e_{NE},ei_Z	54,7	
		F	55	
	NIE	Δ=132 km		
		ePg_Z	17 53 54,5	
		i_Z	55,1	
		Pgm	56,0	
		Z: 0,9^{s}; 0,036 μ		
		ei_Z	54 13,9	
		F	55 30	
	KSP	Δ=195 km		
		iPn_Z	17 54 03,1	
		$eiSn_Z$	27,1	
		F	55 30	
24.VI		DGP (GIG): 19 46 43,5 ; ZAB (GIG): 19 46 46,2		
	CHZ			
		e_N,i_{EZ} P	19 46 39,4	
		Lm	43	
		E: 1,2^{s}; 4,2 μ		
		Lm	44	
		Z: 1,3^{s}; 1,9 μ		
		F	47 30	
	RBN			
		e_{NE}	19 46 49,3	

Date	Station	Phase	T.U. h m s	
24.VI	RBN	e_E	19 46 50,4	
		F	48 30	
	KRA (SKM)	Faible		
		ePg_{EZ}	19 46 52,0	
		ei_N,e_{EZ}	47 01,3	
		F	48	
	NIE			
		ePg_Z	19 47 02,5	
		e_Z	21,0	
		F	48 30	
	KSP			
		$eiPn_Z$	19 47 10,1	
		$eiSn_Z$	33,6	
		F	48	
25.VI		DGP (GIG): 17 38 27,9 ; ZAB (GIG): 17 38 34,3		
	CHZ			
		ei_E,e_Z P	17 38 30,1	
		Lm	40	
		Z: 1,3^{s}; 1,9 μ		
		Lm	41	
		E: 1,1^{s}; 2,3 μ		
		F	39 30	
	KRA (SKM)	ePg_{NEZ}	17 38 36,1	
		i_N	43,8	
		i_E,e_Z	45,0	
		Lm	39 10	
		Z: 1,1^{s}; 0,08 μ		
		F	40	
	NIE			
		ePg_Z	17 38 48,7	
		e_Z	39 04,3	
		e_Z	07,9	
		F	40	
26.VI		ZAB (GIG): 04 08 35,7 ; DGP (GIG): 04 08 42,0		
	CHZ			
		eP_{NEZ}	04 08 38,0	
		ei_{NE}	40,0	
		Lm	46	
		E: 1,2^{s}; 1,6 μ	09 30	
		F		

Date	Station	Phase	T.U. h m s	
26.VI (suite)	RBN	e_N	04 08 48,9	
		e_E	50,8	
		F	10 30	
	KRA (SKM)	Faible		
		ePg_Z	04 08 52,4	
		e_N	53,0	
		e_N	09 00,2	
		e_Z	03,4	
		Lm	36	
		Z: 1,2^{s}; 0,08 μ		
		F	10	

Date	Station	Phase	T.U. h m s	
26.VI	NIE			
		ePg_Z	04 09 01,1	
		e_Z	21,4	
		F	10	
	KSP			
		$eiPn_Z$	04 09 06,5	
		$eiSn_Z$	28,5	
		F	10	

1973 JUILLET 1973

2.VII		H=10^{h}19^{m}42,0^{s}; M=2,5 (Chorzów); ZAB (GIG): 10 19 46,4 DGP (GIG): 10 19 49,8		
	CHZ	Δ=11 km		
		iP_{NEZ}	10 19 44,5	
		iS_{NZ}	46,4	
		Lm	49	
		NEZ: 0,8^{s},1,0^{s},1,1^{s}; 2,2μ 2,2 μ, 1,7 μ		
		F	20 30	
	RBN			
		e_{NE}	10 19 55,0	
		eL_{NE}	20 08	
		F	21	
	KRA (SKM)	Δ=83 km. Faible		
		e_E,ei_Z Pg	10 19 56,7	D
		iSg_{NEZ}	20 07,3	
		F	21	
	NIE	Δ=146 km. NE - inactives		
		ePg_Z	10 20 07,4	D
		Pgm	08,5	
		Z: 0,7^{s}; 0,017 μ		
		ei_Z	25,9	
		F	21	
	KSP	Δ=206 km. Faible		
		$eiPn_{NZ}$	10 20 15,5	
		$eiSn_{NZ}$	40,0	
		F	21	

3.VII		φ =50°17′; λ =18°54′; H=01^{h}13^{m}12,2^{s}; M=2,1 (Chorzów); ZAB (GIG): 01 13 15,7; DGP (GIG): 01 13 23,2		
	CHZ	Δ=7 km		
		eiP_{NEZ}	01 13 14,1	
		i_N,ei_{EZ} S	15,5	
		i_E	16,1	
		Lm	19	
		EZ: 1,1^{s},1,3^{s}; 3,4 μ,1,8 μ		
		F	14	
	RBN	Δ=34 km		
		eS_N	01 13 23,5	
		e_E	24,8	
		eL_{NE}	36	
		F	15 30	
	KRA (SKM)	Δ=80 km. Faible		
		$eiPg_E$	01 13 25,9	
		ei_Z	27,2	
		i_N,ei_Z Sg	36,0	
		F	14 30	
	NIE	Δ=143 km. N - inactive		
		ei_E,e_Z Pg	01 13 37,0	
		Pgm	38,2	
		Z: 0,8^{s}; 0,012 μ		
		eSg_Z	55,0	
		F	15	
	KSP	Δ=198 km		
		$eiPn_{NEZ}$	01 13 44,5	

International Seismological Centre

Date	Station	Phase	T.U. h m s
3.VII (suite)	KSP	$eiSn_{NZ}$	01 14 08,0
		ei_{EZ}	09,7
		F	15
	RAC	Traces	
		NEZ	01 13 30-15 30
4.VII		H=03^{h}36^{m}03,9^s; M=2,5 (Kraków), 2,3 (Chorzów);	
		DGP (GIG): 03 36 09,1 ;	
		ZAB (GIG): 03 36 10,0	
	CHZ	Δ=11 km	
		ei_N,e_{EZ} P	03 36 06,5
		i_{NZ},ei_E S	08,4
		Lm	12
		NZ: 0,9^s,1,1^s; 2,4 μ, 1,5 μ	
		F	37
	KRA (SKM)	Δ=85 km	
		$eiPg_Z$	03 36 18,6
		ei_E	26,6
		ei_{NZ}	28,2
		Lm	57
		NEZ: 1,0^s; 0,04 μ, 0,04 μ 0,06 μ	
		F	37 30
	NIE	Δ=152 km. NE - inactives	
		$eiPg_Z$	03 36 29,6 D
		Pgm	30,2
		Z: 0,8^s; 0,015 μ	
		eSg_Z	48,9
		F	37 30
	RBN	Faible	
		e_E	03 36 35,3
		e_N,ei_Z	37,3
		F	37 30
	RAC	Traces	
		EZ	03 36 30-38 00
4.VII		H=20^{h}19^{m}56,8^s; M=2,1 (Chorzów); DGP (GIG): 20 20 05,9	
	CHZ	Δ=9 km	
		eiP_{EZ}	20 19 59,0
		ei_N	59,4
		iS_{NEZ}	20 00,6

Date	Station	Phase	T.U. h m s
4.VII	CHZ	Lm	20 20 06
		EZ: 1,0^s,1,2^s; 2,3 μ, 1,2 μ	
		F	21
	RBN	Δ=37 km	
		eP_{EZ}	20 20 03,8
		e_N	07,4
		e_{EZ}	08,4
		eL_N	24,5
		F	22
	KRA (SKM)	Δ=81 km. Faible	
		$eiPg_{EZ}$	20 20 10,8 C
		ei_N	20,0
		F	21 30
	NIE	Δ=144 km. NE - inactives	
		$eiPg_Z$	20 20 21,7 C
		Pgm	22,8
		Z: 1,0^s; 0,013 μ	
		e_Z	39,6
		ei_Z	42,9
		F	21 30
	KSP	Δ=197 km. Faible	
		$eiPn_{EZ}$	20 20 28,2
		i_N,ei_Z Sn	51,7
		F	21 30
	RAC	Traces	
		NEZ	20 20 00-21 30
5.VII		H=09^{h}53^{m}31,6^s; M=2,0 (Chorzów); ZAB (GIG): 09 53 33,1; DGP (GIG): 09 53 36,6	
	CHZ	Δ=6 km	
		eiP_{NZ}	09 53 33,1
		ei_{NZ},i_E S	34,3
		i_N	34,8
		Lm	39
		Z: 1,0^s; 1,3 μ	
		F	54 30
	RBN	Traces	
		e_N	09 53 43,5
		F	55 30
	KRA (SKM)	Δ=79 km	
		e_N,ei_{EZ} Pg	09 53 45,4
		$eiSg_N$	55,4

Date	Station	Phase	T.U. h m s
			09 53 58,0
5.VII (suite)	KRA	ei_{NEZ}	54 25
		Lm	
		EZ: 1,0^s; 0,04 μ, 0,05 μ	30
		Lm	
		N: 0,9^s; 0,04 μ	55
		F	
	NIE	Δ=144 km. NE - inactives	
		$eiPg_Z$	09 53 56,5 C
		Pgm	57,4
		Z: 0,8^s; 0,016 μ	
		ei_Z	54 20,6
		F	55
	KSP		09 54 26,2
		e_{NZ}	29,2
		$eiSn_{NEZ}$	55
		F	
5.VII		φ =50°18′; λ =18°57′; H=23^{h}52^{m}57,8^s; M=2,3 (Kraków), 2,0 (Chorzów);	
		DGP (GIG): 23 53 03,4	
	CHZ	Δ=3 km	
		ei_{NE},i_Z P	23 52 59,2
		iS_{NE}	53 00,2
		i_{NEZ}	01,0
		Lm	04
		NEZ: 0,8^s,1,1^s,1,0^s; 6,0 μ, 3,1 μ, 2,9 μ	
		F	54
	RBN	Δ=38 km	
		e_E,ei_Z P	23 53 05,0
		e_N	06,0
		e_E	10,1
		eL_N	16
		eL_{EZ}	20
		F	55
	KRA (SKM)	Δ=77 km	
		ei_{EZ}	23 53 11,1
		i_N,e_{EZ} Sg	20,2
		ei_E	23,4
		Lm	52
		EZ: 1,1^s; 0,04 μ, 0,04 μ	
		F	54 30
	NIE	Δ=142 km	
		$eiPg_Z$	23 53 22,6 D

Date	Station	Phase	h m s
5.VII	NIE	Pgm	23 53 23,2
		Z: 0,7^s; 0,018 μ	
		e_Z	38,2
		$eiSg_Z$	40,8
		F	54 30
	RAC	Traces	
		NEZ	23 53 - 55
7.VII		φ =50°21′; λ =18°53′; H=15^{h}18^{m}19,2^s; M=2,4 (Chorzów); ZAB: P_{NEZ} 15 18 22,2;	
		DGP (GIG): 15 18 26,3	
	CHZ	Δ=10 km	
		iP_{NEZ}	15 18 21,5
		iS_{NEZ}	23,2
		Lm	26
		NEZ: 1,1^s; 2,5 μ, 2,6 μ, 1,5 μ	
		F	19
	RBN	Δ=39 km	
		e_{NE}	15 18 28,3
		e_Z	33,5
		ei_N,e_E	36,6
		eL_{NE}	42
		F	20
	KRA (SKM)	Δ=84 km	
		$eiPg_{EZ}$	15 18 33,9 D
		Pgm	34,5
		Z: 0,4^s; 0,045 μ	
		ei_N	40,6
		$eiSg_Z$	44,6
		F	20
	NIE	Δ=149 km	
		$eiPg_Z$	15 18 44,7 D
		Pgm	45,4
		Z: 0,9^s; 0,013 μ	
		ei_Z	19 04,0
		F	20
	KSP	Δ=196 km	
		e_N,ei_{EZ} Pn	15 18 51,9 C
		$eiSn_N$	19 15,3
		ei_Z	17,2
		F	20

International Seismological Centre

Date	Station	Phase	T.U. h m s
7.VII		H=19^{h}34^{m}59,7^s;	
		ZAB (GIG): 19 34 01,3 ;	
		DGP (GIG): 19 34 10,3	
	CHZ	Δ=8 km	
		eiP$_{NZ}$	19 34 01,7
		iS$_{NZ}$	03,0
		iS$_E$	03,4
		Lm	05
		E: 1,2^s; 2,2 μ	
		F	35
	RBN		
		e$_{NE}$	19 34 08,6
		e$_{NE}$	12,1
		eL$_{NE}$	24
		F	35 30
	KRA	Δ=81 km	
	(SKM)	ei$_E$,e$_Z$	19 34 14,6
		ei$_{NE}$,e$_Z$ Sg	23,6
		F	35 30
	NIE	Δ=142 km. NE - inactives	
		ePg$_Z$	19 34 25,1
		Pgm	26,0
		Z: 1,0^s; 0,005 μ	
		eSg$_Z$	43,2
		F	35 30
	KSP	Δ=194 km	
		eiPn$_{EZ}$	19 34 32,4 C
		eiSn$_{NEZ}$	55,6
		F	35 30
	RAC	Traces	
		NEZ	19 34 00-35 30
8.VII		φ =50°14′; λ =19°09′;	
		H=12^{h}54^{m}21,3^s; M=3,2 (Chorzów), 2,8 (Kraków);	
		DGP (GIG): 12 54 25,3 ;	
		ZAB: P$_{NEZ}$ 12 54 26,5	
	CHZ	Δ=13 km	
		iP$_{NEZ}$	12 54 24,2
		Lm	30
		NEZ: 0,8^s; 8,8 μ, 12,7 μ, 9,3 μ	
		F	56 30

Date	Station	Phase	T.U. h m s
8.VII	RBN	Δ=47 km	
		e$_N$,ei$_E$	12 54 30,4
		ei$_Z$	32,4
		eiSg$_{EZ}$	36,4
		eL$_Z$	42
		F	57
	KRA	Δ=61 km	
	(Ch)	e$_N$,ei$_{EZ}$ Pg	12 54 31,6
		eiSg$_{NE}$	39,5
		i$_Z$	41,2
		Lm	55 11
		NE: 1,0^s; 0,13 μ, 0,15 μ	
		Lm	17
		Z: 0,9^s; 0,20 μ	
		F	56 30
	RAC	Δ=72 km. NE - inactives	
		ePg$_Z$	12 54 34,2
		ei$_Z$	37,5
		F	57 30
	NIE	Δ= 127 km. NE - inactives	
		iPg$_Z$	12 54 43,5
		Pgm	45,5
		Z: 0,6^s; 0,014 μ	
		ei$_Z$	58,5
		iSg$_Z$	59,8
		F	57
	KSP	Δ=218 km	
		ei$_N$,i$_{EZ}$Pn	12 54 56,9
		Pnm	57,5
		EZ: 0,6^s; 0,065 μ, 0,055 μ	
		eiSn$_{NEZ}$	55 21,9
		F	57
8.VII		φ =50°21,5′; λ =18°52,5′;	
		H=21^{h}04^{m}20,2^s; M=2,9 (Kraków)	
		DGP (GIG): 21 04 27,0	
	CHZ	Δ=11 km	
		eiP$_{NEZ}$	21 04 22,8
		eiS$_{NEZ}$	24,7
		Lm	30
		E: 1,2^s; 3,7 μ	
		F	06

Date	Station	Phase	T.U. h m s
8.VII (suite)	RBN	Δ=39 km	
		e$_{NE}$,ei$_Z$ P	21 04 28,2
		e$_E$	32,2
		ei$_N$,e$_Z$ S	33,8
		eL$_N$	38
		F	07
	RAC	Δ=59 km. N - inactive	
		ePg$_Z$	21 04 31,3
		eiSg$_E$	39,0
		eiSg$_Z$	40,0
		F	07 30
	KRA	Δ=85 km	
	(SKM)	e$_N$,ei$_{EZ}$ Pg	21 04 35,2
		ei$_N$,e$_E$	44,7
		i$_E$,ei$_Z$ Sg	46,2
		Lm	05 20
		NEZ: 1,2^s; 0,14 μ, 0,16 μ, 0,19 μ	
		F	06
	NIE	Δ=150 km	
		ePg$_Z$	21 04 46,0
		Pgm	47,2
		Z: 0,9^s; 0,040 μ	
		ei$_Z$	05 03,6
		ei$_Z$	07,2
		F	07
	KSP	Δ=195 km	
		ePn$_{NZ}$	21 04 51,4
		ei$_E$	52,0
		eiSn$_{NZ}$	05 14,2
		ei$_E$	14,8
		F	06
10.VII		H=11^{h}49^{m}06,2^s; M=2,2 (Chorzów); ZAB (GIG): 11 49 07,4	
		DGP (GIG): 11 49 13,0	
	CHZ	Δ=12 km	
		e$_N$,ei$_Z$ P	11 49 08,9
		eiS$_{NZ}$	10,9
		i$_{NE}$	13,0
		Lm	17
		EZ: 1,4^s; 2,3 μ, 1,3 μ	
		F	50
	KRA	Δ=87 km. Faible	
	(Ch)	e$_N$,ei$_E$ Sg	11 49 32,4

Date	Station	Phase	T.U. h m s
10.VII	KRA	ei$_Z$	11 49 33,4
		F	50 30
	NIE	Δ=152 km. NE - inactives	
		eiPg$_Z$	11 49 32,4 D
		i$_Z$	55,0
		F	51
	KSP	Δ=187 km	
		e$_N$,ei$_{EZ}$ Pn	11 49 36,8
		eiSn$_{EZ}$	59,0
		eiSn$_N$	59,5
		F	50 30
	RBN	Traces	
		NE	11 49 - 50
	RAC	Traces	
		Z	11 49 30-51 00
11.VII		H=05^{h}22^{m}48,6^s; M=2,5 (Chorzów), 2,3 (Kraków);	
		ZAB (GIG): 05 22 52,3 ;	
		DGP (GIG): 05 22 54,6	
	CHZ	Δ=8 km	
		iP$_{NEZ}$	05 22 50,6 D
		ei$_E$	51,6
		Lm	55
		NEZ: 0,7^s, 0,9^s, 1,1^s; 4,4 μ, 3,7 μ, 2,8 μ	
		F	24
	KRA	Δ=83 km	
	(SKM)	eiPg$_{EZ}$	05 23 02,9 D
		eiSg$_{NEZ}$	13,4
		Lm	30
		Z: 1,0^s; 0,04 μ	
		F	24 30
	NIE	Δ=145 km	
		eiPg$_Z$	05 23 13,7 D
		Pgm	14,3
		Z: 0,7^s; 0,037 μ	
		ei$_Z$	30,1
		ei$_Z$	32,9
		F	25
	KSP	Δ=200 km	
		eiPn$_{NEZ}$	05 23 21,3 C
		eiSn$_{NE}$	45,1

International Seismological Centre

Date	Station	Phase	T.U. h m s	
11.VII (suite)	KSP	ei_Z	05 23 45,8	
		F	24 30	
	RAC	Traces		
		NZ	05 23 - 25	
11.VII		H=$14^h32^m12,7^s$; M=2,1 (Chorzów)		
		ZAB (GIG) : 14 32 15,7		
	CHZ	Δ=10 km. Faible		
		eiP_{NEZ}	14 32 15,0	D
		ei_N	16,3	
		i_E,ei_Z S	16,7	
		Lm	20	
		NEZ: $1,0^s$,$1,0^s$,$1,2^s$; 1,4 μ, 1,5 μ, 1,2 μ		
		F	33	
	KRA (SKM)	Δ=85 km. Faible		
		$eiPg_Z$	14 32 27,4	
		ei_Z	39,4	
		F	33	
	RBN	Faible		
		e_N	14 32 28,3	
		e_E	35,8	
		F	33 30	
	NIE	Δ=149 km. Faible. NE - inactives		
		ePg_Z	14 32 38,4	D
		F	33 30	
	KSP	Δ=197 km		
		e_N,ei_{EZ} Pn	14 32 45,3	C
		$eiSn_{NEZ}$	33 08,8	
		F	30	
12.VII		H=$03^h25^m12,7^s$;		
		ZAB (GIG) : 03 25 15,7		
	CHZ	Δ=3 km. Faible		
		eiP_{NEZ}	03 25 13,6	
		i_N	14,3	
		i_E,ei_Z	14,6	
		F	26	
	RBN	Faible		
		e_E	03 25 18,1	
		ei_N	25,0	
		F	27	

Date	Station	Phase	T.U. h m s	
12.VII	KRA (SKM)	Δ=78 km. Faible		
		$eiPg_Z$		
		$eiSg_{NE}$	03 25 26,4	
		ei_Z	30,4	
		F	30,4	
			26 30	
	NIE	Δ=145 km. Faible. NE - inactives		
		$eiPg_Z$		
		F	03 25 37,7	
			26 30	
	KSP	Δ=200 km. Faible		
		$eiPn_{EZ}$	03 25 45,3	
		ei_{EZ}	26 11,6	
		F	30	
12.VII		H=$03^h44^m07,5^s$; M=2,3 (Kraków) 2,1 (Chorzów); DGP (GIG) : 03 44 13,2		
	CHZ	Δ=10 km		
		e_{NZ},ei_E P	03 44 10,0	
		iS_{NE}	11,8	
		Lm	17	
		EZ: $1,1^s$; 1,6 μ, 0,9 μ		
		F	45	
	KRA (SKM)	Δ=85 km. Faible		
		e_Z	03 44 23,4	
		$eiSg_N$	32,7	
		ei_E	33,4	
		ei_Z	35,4	
		Lm	45 00	
		Z: $1,1^s$; 0,04 μ		
		F	30	
	NIE	Traces		
		ei_Z	03 44 34,5	
		F	45 30	
	KSP	Δ=192 km. Faible		
		$eiPn_{EZ}$	03 44 40,3	
		eSn_Z	45 00,3	
		ei_N	05,6	
		F	30	
	RBN	Traces		
		NE	03 44 30-45 00	

Date	Station	Phase	T.U. h m s	
12.VII		H=$14^h42^m02,7^s$; M=2,3 (Chorzów); ZAB (GIG) : 14 42 06,1 DGP (GIG) : 14 42 13,1		
	CHZ	Δ=10 km		
		eiP_{NEZ}	14 42 05,0	
		i_{NE},ei_Z S	06,7	
		Lm	09	
		NEZ: $0,7^s$,$1,0^s$,$1,2^s$; 2,1 μ, 2,2 μ, 1,5 μ		
		F	43	
	KRA (SKM)	Traces		
		e_E	14 42 17,4	
		ei_{NZ}	27,4	
		F	43 30	
	NIE	Δ=148 km. Faible. NE - inactives		
		$eiPg_Z$	14 42 28,2	
		e_Z	44,6	
		F	43 30	
	KSP	Δ=196 km. Faible		
		$eiPn_{EZ}$	14 42 35,7	
		$eiSn_{NEZ}$	59,1	
		F	43 30	
	RBN	Traces		
		NEZ	14 42 00-43 30	
13.VII		H=$17^h44^m38,0^s$; M=2,4 (Chorzów, Kraków); DGP (GIG) : 17 44 40,4		
	CHZ	Δ=13 km		
		eiP_{NEZ}	17 44 40,8	D
		i_N,ei_Z S	43,0	
		i_E	43,7	
		Lm	47	
		EZ: $1,1^s$,$1,3^s$; 1,3 μ, 1,9 μ		
		F	45 30	
	RBN			
		e_{EZ}	17 44 48,3	
		ei_N	50,4	
		e_{NE}	58,9	
		F	46 30	
	KRA (SKM)	Δ=60 km		
		ePg_Z	17 44 48,7	D
		ei_E	49,4	

Date	Station	Phase	T.U. h m s	
13.VII	KRA	$eiSg_{NZ}$	17 44 56,4	
		ei_E,i_Z	57,4	
		Lm	45 23	
		NE: $1,0^s$,$0,8^s$; 0,06 μ, 0,04 μ		
		F	46	
	NIE	Δ=133 km. NE - inactives		
		Pg_Z	17 45(01)	
		ei_Z	18,8	
		ei_Z	20,7	
		F	46 30	
	KSP	Δ=221 km		
		$eiPn_{NEZ}$	17 45 13,2	C
		$eiSn_{NZ}$	39,2	
		$eiSn_E$	39,8	
		F	46 30	
	RAC	Traces		
		Z	17 45 00-46 30	
15.VII		φ =50°22′; λ =18°54′; H=$03^h12^m02,3^s$; M=2,9 (Chorzów); ZAB: S_{NEZ} 03 12 06,7		
	CHZ	Δ=11 km		
		ei_N,i_{EZ} P	03 12 04,9	
		i_N,ei_Z	05,6	
		iS_{NZ}	06,8	
		Lm	10	
		NEZ: $0,8^s$,$0,8^s$,10^s; 6,5 μ, 6,0 μ, 4,5 μ		
		F	13 30	
	RBN	Δ=41 km		
		ePg_Z	03 12 09,6	
		e_{NE},ei_Z	10,4	
		$eiSg_{NE}$	15,0	
		ei_Z	17,9	
		Lm	32	
		NEZ: $1,5^s$,$1,7^s$,$1,3^s$; 2,7 μ, 3,4 μ, 1,8 μ		
		F	14 30	
	RAC	Δ=61 km. Faible		
		e_N,ei_Z Pg	03 12 13,0	
		F	14 30	
	KRA (SKM)	Δ=83 km		
		$eiPg_{EZ}$	03 12 16,7	

International Seismological Centre

Date	Station	Phase	T.U. h m s
15.VII (suite)	KRA	Pgm	03 12 17,5
		Z: 0,6^{s}; 0,046 μ	
		eiSg$_{N}$	26,9
		eiSg$_{E}$	27,2
		F	14
	NIE	Δ=150 km	
		iPg$_{Z}$	03 12 28,0
		Pgm	29,2
		Z: 0,7^{s}; 0,047 μ	
		e$_{Z}$	44,6
		eiSg$_{Z}$	47,1
		F	14
	KSP	Δ=196 km	
		ei$_{NZ}$,i$_{E}$ Pn	03 12 35,6
		eiSn$_{NEZ}$	58,8
		F	13 30
16.VII		H=12^{h}46^{m}44,7^{s}; M=2,3 (Kraków); DGP (GIG): 12 46 47,5	
	CHZ	Δ=12 km	
		ei$_{NZ}$,e$_{E}$ P	12 46 47,2
		iS$_{NE}$	49,2
		F	47 30
	KRA (Ch)	Δ=64 km. Faible	
		ePg$_{Z}$	12 46 56,2•
		ei$_{E}$	57,6
		eiSg$_{NEZ}$	47 04,4
	(SKM)	Lm	31
		NE: 1,0^{s}; 0,05 μ, 0,02 μ	
		F	48
	RBN	Faible	
		e$_{N}$	12 47 03,3
		e$_{E}$	13,0
		e$_{N}$	14,2
		F	49 30
	NIE	Δ=131 km. NE - inactives	
		iPg$_{Z}$	12 47 07,3
		ei$_{Z}$	22,9
		ei$_{Z}$	26,5
		F	48 30
	KSP	Faible	
		e$_{N}$,ei$_{EZ}$	12 47 20,2
		ei$_{NZ}$	47,7
		F	48

Date	Station	Phase	T.U. h m s
16.VII	RAC	Traces	
		NEZ	12 47 30-49 00
16.VII		H=16^{h}02^{m}05,7^{s}; M=2,6 (Chorzów, Kraków); ZAB (GIG): 16 02 09,0; DGP (GIG): 16 02 11,5	
	CHZ	Δ=10 km	
		eiP$_{NEZ}$	16 02 08,0
		i$_{E}$,ei$_{Z}$ S	09,8
		i$_{NZ}$	10,3
		Lm	14
		NEZ: 0,8^{s},1,1^{s},1,1^{s}; 4,5 μ, 4,3 μ, 3,2 μ	
		F	03 30
	RBN		
		e$_{E}$	16 02 15,0
		e$_{N}$	21,2
		e$_{E}$	23,3
		F	04 30
	KRA (SKM,Ch)	Δ=87 km	
		eiPg$_{EZ}$	16 02 20,9 D
		ei$_{N}$	22,4
	(SKM)	ei$_{NZ}$,i$_{E}$ Sg	31,9
		Lm	03 01
		NEZ: 1,1^{s}; 0,06 μ, 0,06 μ, 0,07 μ	
		F	30
	NIE	Δ=151 km	
		iPg$_{Z}$	16 02 31,8 D
		Pgm	32,8
		Z: 0,8^{s}; 0,037 μ	
		eSg$_{Z}$	51,0
		ei$_{Z}$	55,0
		F	04
	KSP	Δ=195 km	
		eiPn$_{NZ}$	16 02 38,4 C
		eiPn$_{E}$	38,8
		eiSn$_{N}$	03 01,9
		ei$_{E}$	02,7
		ei$_{Z}$	03,2
		F	30
	RAC	Traces	
		NEZ	16 02 00-04 30

Date	Station	Phase	T.U. h m s
16.VII		ZAB (GIG): 16 24 53,9 ; DGP (GIG): 16 25 01,6	
	CHZ	Le commencement dans la pause minute	
		i$_{NE}$,ei$_{Z}$ S	16 24 56,0
		Lm	25 00
		NZ: 0,8^{s};1,2^{s}; 2,0 μ, 1,0 μ	
		F	30
	RBN	Faible	
		ei$_{N}$	16 25 03,0
		ei$_{N}$,e$_{EZ}$	05,0
		F	26 30
	KRA (SKM)	Faible	
		e$_{E}$,ei$_{Z}$ Pg	16 25 07,0
		ei$_{N}$	15,9
		ei$_{Z}$	16,7
		F	26 30
	NIE	Faible. NE - inactives	
		eiPg$_{Z}$	16 25 16,9 C
		F	26
	KSP	Δ=194 km	
		eiPn$_{EZ}$	16 25 24,4
		eSn$_{E}$	47,4
		ei$_{N}$,e$_{Z}$ Sn	47,8
		F	26
	RAC	Traces	
		EZ	16 25 00-26 30
17.VII		H=21^{h}22^{m}51,9^{s}; DGP (GIG): 21 22 57,2	
	CHZ		
		P$_{NEZ}$	21 22(53)
		Lm	57
		NZ: 1,0^{s}; 3,3 μ, 1,8 μ	
		F	24
	RBN		
		ei$_{EZ}$	21 22 59,1
		ei$_{E}$	23 05,5
		ei$_{NZ}$	07,6
		Lm	19
		NE: 1,7^{s},1,2^{s}; 1,4 μ, 1,1 μ	
		F	25

Date	Station	Phase	T.U. h m s
17.VII	KRA (SKM)	Δ=75 km	
		eiPg$_{EZ}$	21 23 04,9
		eiSg$_{N}$	14,4
		ei$_{EZ}$	15,3
		F	24 30
	NIE	Δ=139 km. NE - inactives	
		eiPg$_{Z}$	21 23 15,9 D
		Pgm	16,9
		Z: 0,8^{s}; 0,015 μ	
		ei$_{Z}$	35,5
		F	24 30
	KSP	Faible	
		Pn$_{NEZ}$	21 23(24)
		eiSn$_{NEZ}$	47,0
		F	24 30
	RAC	Traces	
		Z	21 23 00-24 30
17.VII		φ =50°15′; λ =18°58′; H=22^{h}04^{m}40,6^{s}; M=2,3 (Chorzów, Kraków); DGP: P$_{Z}$ 22 04 45,3	
	CHZ	Δ=5 km	
		ei$_{N}$,i$_{EZ}$ P	22 04 41,9 D
		iS$_{NE}$	43,0
		Lm	46
		NEZ: 1,0^{s},1,0^{s},1,2^{s}; 6,5 μ, 4,0 μ, 3,3 μ	
		F	06
	RBN	Δ=36 km	
		ei$_{N}$,i$_{Z}$ P	22 04 47,6
		ei$_{E}$	48,3
		eiS$_{N}$	52,5
		ei$_{EZ}$	54,8
		Lm	05 09
		NEZ: 1,6^{s},1,5^{s},1,2^{s}; 2,0 μ, 2,0 μ, 1,2 μ	
		F	07
	RAC	Δ=59 km. Traces	
		ePg$_{Z}$	22 04 51,5
		e$_{Z}$	53,5
		F	07
	KRA (SKM)	Δ=74 km	
		eiPg$_{NEZ}$	22 04 53,6 D

International Seismological Centre

Date	Station	Phase	T.U. h m s
17.VII (suite)	KRA	ei_Z	22 05 02,0
		$eiSg_{NE}$	03,0
		ei_Z	04,2
		Lm	29
		EZ: $1,1^s$; 0,05 μ, 0,04 μ	
		F	06 30
	NIE	Δ=137 km	
		ePg_Z	22 05 04,2
		i_Z	04,9
		Pgm	06,0
		Z: $0,9^s$; 0,023 μ	
		ei_Z	20,0
		e_Z	23,2
		F	07
	KSP	Δ=204 km	
		ei_{NZ}, i_E Pn	22 05 12,2
		$eiSn_{NEZ}$	36,2
		ei_{NZ}	41,8
		F	06 30
18.VII		H=$15^h23^m21,8^s$; M=2,8 (Kraków) 2,6 (Chorzów); DGP (GIG): 15 23 28,0	
	CHZ	Δ=10 km	
		ei_{NE}, i_Z P	15 23 24,0
		iS_{NE}	25,8
		Lm	30
		Z: $1,1^s$; 3,7 μ	
		F	24 30
	RBN	Δ=42 km	
		e_E, ei_Z Pg	15 23 29,8
		e_N	31,3
		ei_E	36,3
		ei_{NZ}	38,4
		Lm	24 05
		N: $1,6^s$; 1,9 μ	
		F	25 30
	KRA (SKM)	Δ=84 km	
		$eiPg_{EZ}$	15 23 36,7
		Pgm	37,2
		Z: $0,5^s$; 0,061 μ	
		ei_{NZ}	45,8
		ei_N, i_{EZ} Sg	47,4

Date	Station	Phase	T.U. h m s
18.VII	KRA	Lm	15 24 18
		NEZ: $1,1^s$; 0,08 μ, 0,12 μ	
		F	0,14 μ
			25
	NIE	Δ=147 km. NE - inactives	
		iPg_Z	15 23 47,1
		Pgm	48,1
		Z: $0,9^s$; 0,043 μ	
		$eiSg_Z$	24 05,8
		F	25
	KSP	Δ=192 km	
		$eiPn_{EZ}$	15 23 52,9
		$eiPn_N$	53,3
		ei_{NE}, e_Z Sn	24 16,3
		ei_{EZ}	17,3
		F	25
	RAC	Traces	
		NEZ	15 23 30-26 00
19.VII		H=$08^h27^m02,0^s$; M=2,1 (Chorzów, Kraków); DGP (GIG): 08 27 02,7	
	CHZ	Δ=15 km. Faible	
		eP_{EZ}	08 27 05,0
		e_N	06,0
		eiS_{EZ}	07,4
		ei_N	09,2
		Lm	15
		NEZ: $1,0^s, 1,0^s, 1,2^s$; 0,8 μ, 0,7 μ, 0,7 μ	
		F	28
	KRA (SKM)	Δ=60 km. Faible	
		$eiPg_{NEZ}$	08 27 12,4 D
		ei_Z	19,1
		$eiSg_N$	20,0
		Lm	40
		EZ: $0,9^s$; 0,03 μ, 0,03 μ	
		F	28
	NIE	Δ=128 km. NE - inactives	
		$eiPg_Z$	08 27 24,1
		ei_Z	41,8
		F	28 30
	RBN	Traces	
		E	08 27 30-28 00

Date	Station	Phase	T.U. h m s
19.VII		φ =50°21′; λ =18°54′; H=$17^h02^m16,0^s$; M=2,7 (Chorzów, Kraków); ZAB: P_{EZ} 17 02 18,1; DGP (GIG): 17 02 22,0	
	CHZ	Δ=9 km	
		iP_{NEZ}	17 02 18,0 D
		ei_N, i_{EZ} S	19,7
		Lm	26
		NE: $1,0^s$; 4,9 μ, 4,8 μ	
		Lm	28
		Z: $0,7^s$; 4,2 μ	
		F	03 30
	RBN	Δ=40 km	
		eiP_N	17 02 23,9
		ei_E	25,0
		ei_N	27,2
		ei_E	28,4
		Lm	44
		NE: $1,2^s, 1,5^s$; 1,5 μ, 0,7 μ	
		F	04 30
	RAC	Δ=60 km	
		$eiPg_Z$	17 02 26,0
		ei_{NEZ}	34,2
		F	04 30
	KRA (SKM)	Δ=83 km	
		$eiPg_{EZ}$	17 02 30,4 D
		Pgm	31,0
		Z: $0,5^s$; 0,061 μ	
		$eiSg_{NEZ}$	40,7
		i_{EZ}	41,8
		Lm	03 12
		NEZ: $1,1^s$; 0,08 μ, 0,06 μ, 0,08 μ	
		F	04
	KSP	Δ=197 km	
		iPn_{NEZ}	17 02 47,8 C
		ei_{NE}	03 10,3
		$eiSn_{EZ}$	11,0
		F	04
21.VII		H=$00^h31^m08,4^s$; M=2,7 (Chorzów); ZAB (GIG): 00 31 10,7	
	CHZ	Δ=11 km	
		eiP_{NEZ}	00 31 11,0 D

Date	Station	Phase	T.U. h m s
21.VII	CHZ	i_{NE}, ei_Z S	00 31 12,9
		Lm	17
		NEZ: $1,1^s$; 5,1 μ, 4,6 μ, 3,6 μ	
		F	32
	RBN		
		ei_N	00 31 23,0
		e_{EZ}	24,4
		ei_E	29,3
		eL_E	40,5
		F	33
	KRA (Ch)	Δ=87 km. Faible	
		ePg_Z	00 31 23,4
		e_{NE}	24,2
		$eiSg_{NEZ}$	34,4
		F	32 30
	NIE	Δ=151 km. NE - inactives	
		ePg_Z	00 31 34,5 D
		ei_Z	52,5
		F	33
	KSP	Faible	
		$eiSn_{NEZ}$	00 32 04,6
		F	30
	RAC	Traces	
		NEZ	00 31 30-33 30
23.VII		H=$11^h35^m09,2^s$; M=3,0 (Racibórz) 2,8 (Chorzów, Kraków); DGP (GIG): 11 35 15,8	
	CHZ	Δ=13 km	
		e_E, ei_Z P	11 35 12,2
		eiS_{NEZ}	14,4
		i_N	14,8
		Lm	20
		NEZ: $1,2^s$; 2,8 μ, 6,1 μ, 4,0 μ	
		F	37
	RBN	Δ=39 km	
		e_{NE}	11 35 18,0
		ei_{NZ}, i_E S	21,5
		Lm	37
		E: $1,2^s$; 2,3 μ	
		F	38

International Seismological Centre

Date	Station	Phase	T.U. h m s	
23.VII (suite)	RAC	Δ=60 km		
		ei_Z	11 35 21,3	
		i_N, ei_{EZ} Sg	27,0	
		Lm	36 18	
		Z: $1,1^s$; 0,7 μ		
		F	38 30	
	KRA (Ch, SKM)	Δ=90 km		
		$eiPg_Z$	11 35 24,7	
		ei_N	34,4	
		i_E, ei_Z Sg	36,1	
	(SKM)	Lm	36 04	
		EZ: $1,1^s, 1,3^s$; 0,10 μ, 0,13 μ		
		F	37	
	NIE	Δ=155 km		
		$eiPg_Z$	11 35 36,0	
		Pgm	37,0	
		Z: $1,0^s$; 0,010 μ		
		ei_Z	52,0	
		F	37 30	
	KSP	Δ=189 km		
		$eiPn_{NEZ}$	11 35 40,4	
		i_{NE}, ei_Z Sn	36 03,0	
		i_Z	04,2	
		F	37	
25.VII		H=$04^h19^m42,0^s$; M=2,9 (Kraków), 2,6 (Chorzów); ZAB (GIG): 04 19 46,2 ; DGP (GIG): 04 19 47,5		
	CHZ	Δ=6 km		
		ei_{NE}, i_Z P	04 19 43,8	
		i_{NZ}	46,5	
		Lm	50	
		NEZ: $0,9^s$; 7,0 μ, 6,1 μ, 4,8 μ		
		F	21	
	RBN	Faible		
		e_E	04 19 50,7	
		e_{NZ}	55,3	
		eI_{NE}	20 15	
		F	22	
	RAC	Traces		
		e_Z	04 19 52,8	
		F	22	

Date	Station	Phase	T.U. h m s	
25.VII	KRA (SKM)	Δ=82 km		
		$eiPg_{NEZ}$	04 19 56,2	D
		ei_{EZ}	20 04,0	
		ei_{NZ}, i_E Sg	06,6	
		Lm	33	
		NEZ: $1,0^s, 1,1; 0^s, 1,2^s$; 0,12 μ, 0,10 μ, 0,16 μ		
		F	21 30	
	NIE	Δ=144 km		
		$eiPg_{EZ}$	04 20 07,2	D
		Pgm	08,4	
		Z: $1,0^s$; 0,028 μ		
		ei_E, e_Z Sg	26,3	
		F	22	
	KSP	Δ=200 km. Faible		
		$eiPn_Z$	04 20 14,6	
		ei_N	16,3	
		$eiSn_{NEZ}$	38,3	
		F	21 30	
26.VII		H=$01^h17^m09,2^s$; M=2,4 (Chorzów); ZAB (GIG): 01 17 11,8 ; DGP (GIG): 01 17 19,9		
	CHZ	Δ=13 km		
		eP_{NEZ}	01 17 12,0	
		i_{NE}, ei_Z S	14,1	
		Lm	19	
		NEZ: $0,8^s, 1,0^s, 1,2^s$; 1,6 μ, 2,8 μ, 1,7 μ		
		F	18	
	RBN			
		eL_{NE}	01 17 22,5	
		F	19	
	KRA (SKM)	Δ=86 km. Faible		
		ei_E, e_Z	01 17 24,8	
		i_N, e_Z Sg	34,6	
		F	18 30	
	NIE	Δ=150 km. NE - inactives		
		$eiPg_Z$	01 17 35,8	D
		Pgm	36,6	
		Z: $0,9^s$; 0,013 μ		
		e_Z	51,6	
		$eiSg_Z$	54,9	
		F	19	

Date	Station	Phase	T.U. h m s	
26.VII (suite)	KSP	Δ=192 km		
		$eiPn_{EZ}$	01 17 42,1	C
		$eiSn_{NEZ}$	18 05,1	
		F	30	
	RAC	Traces		
		NZ	01 17 30-19 00	
26.VII		H=$23^h37^m38,2^s$; M=2,1 (Chorzów); ZAB (GIG): 23 37 41,4 ; DGP (GIG): 23 37 50,9		
	CHZ	Δ=4 km. E - inactive		
		ei_N, i_Z P	23 37 39,6	C
		iS_{NZ}	40,6	
		Lm	43	
		Z: $0,8^s$; 2,4 μ		
		F	38 30	
	RBN			
		e_{NZ}	23 37 46,3	
		ei_N	50,8	
		Lm	38 07	
		E: $1,4^s$; 1,3 μ		
		F	39 30	
	KRA (SKM)	Δ=80 km. Faible		
		ePg_{EZ}	23 37 52,0	
		e_N	38 00,0	
		e_Z	01,6	
		F	30	
	NIE	Δ=145 km. NE - inactives		
		ePg_Z	23 38 03,2	
		e_Z	19,1	
		e_Z	20,7	
		F	39 30	
	KSP	Faible		
		ei_{EZ}	23 38 11,6	
		ei_{NE}	36,5	
		ei_Z	37,2	
		F	39	
	RAC	Traces		
		Z	23 37 30-39 00	
27.VII		H=$09^h12^m42,7^s$; M=2,4 (Chorzów); 2,3 (Kraków); ZAB (GIG): 09 12 44,8 ; DGP (GIG): 09 12 49,8		

Date	Station	Phase	T.U. h m s	
27.VII	CHZ	Δ=9 km		
		eiP_{NEZ}	09 12 45,0	
		iS_{NZ}	46,6	
		Lm	49	
		NEZ: $1,0^s$; 8,0 μ, 3,2 μ, 3,9 μ		
		F	14	
	RBN			
		ei_{NE}, e_Z	09 12 50,3	
		ei_{NE}	56,3	
		Lm	13 10	
		E: $1,4^s$; 2,5 μ		
		F	15	
	KRA (SKM)	Δ=84 km		
		$eiPg_{EZ}$	09 12 57,0	D
		ei_N	13 05,7	
		$eiSg_Z$	07,6	
		Lm	38	
		EZ: $1,1^s$; 0,05 μ, 0,04 μ		
		F	14	
	RAC	Faible		
		ei_N	09 12 57,5	
		ei_E	58,6	
		ei_{NZ}	13 06,2	
		F	14 30	
	NIE	Δ=147 km. NE - inactives		
		iPg_Z	09 13 08,0	D
		Pgm	09,0	
		Z: $0,7^s$; 0,014 μ		
		ei_Z	26,5	
		i_Z	29,2	
		F	14 30	
29.VII		H=$17^h52^m16,2^s$; M=2,5 (Kraków); DGP (GIG): 17 52 24,3		
	CHZ	Δ=13 km.		
		eP_Z	17 52 19,1	
		e_N, ei_E	20,1	
		F	53 30	
	RBN			
		ei_N	17 52 29,2	
		e_E	31,2	
		ei_E	37,2	
		F	54	

International Seismological Centre

Date	Station	Phase	T.U. h m s	
29.VII (suite)	KRA (Ch,SKM)	Δ=90 km		
		$eiPg_Z$	17 52 31,9	
		$eiSg_{NEZ}$	43,4	
	(SKM)	Lm	53 19	
		EZ: 1,1^s; 0,06 μ, 0,06 μ		
		F	30	
	RAC	Traces		
		ei_E	17 52 34,0	
		F	54 30	
	KSP	Δ=193 km		
		e_N, ei_{EZ} Pn	17 52 47,8	C
		ei_{NEZ}	53 09,7	
		F	54	
30.VII		H=13^{h}57^{m}47,3^s; M=2,5 (Chorzów); ZAB (GIG): 13 57 49,0 DGP (GIG): 13 57 58,9		
	CHZ	Δ=12 km		
		eP_{NEZ}	13 57 50,0	
		i_{NE}, e_Z S	52,0	
		Lm	56	
		Z: 1,2^s; 2,4 μ		
		F	59	
	RBN			
		eL_{NE}	13 58 00	
		F	59 30	
	KRA (SKM)	Traces		
		e_{EZ}	13 58 03,0	
		ei_N	13,1	
		F	59	
	NIE	Δ=147 km. NE - inactives		
		$eiPg_Z$	13 58 12,6	
		Pgm	13,8	
		Z: 0,8^s; 0,015 μ		
		e_Z	29,8	
		ei_Z	30,7	
		F	59 30	

Date	Station	Phase	T.U. h m s	
30.VII	KSP	Δ=191 km. Faible		
		$eiPn_{EZ}$	13 58 19,5	C
		$eiSn_N$	42,7	
		F	59	
31.VII		φ =50°17′; λ =19°13′; H=01^{h}31^{m}34,3^s; M=2,3 (Chorzów), 2,2 (Kraków); DGP: P_{EZ} 01 31 36,2		
	CHZ	Δ=16 km		
		eiP_{EZ}	01 31 37,7	
		ei_N	38,5	
		eiS_{EZ}	40,2	
		Lm	47	
		NEZ: 1,2^s; 1,1 μ, 1,2 μ, 1,0 μ		
		F	32 30	
	KRA (SKM)	Δ=59 km		
		$eiPg_{NEZ}$	01 31 45,1	
		ei_N	52,1	
		$eiSg_{EZ}$	53,0	
		Lm	32 18	
		NZ: 0,8^s;1,0^s; 0,03 μ, 0,03 μ		
		F	33	
	NIE	Δ=127 km		
		$eiPg_Z$	01 31 56,2	
		Pgm	56,9	
		Z: 0,7^s; 0,020 μ		
		e_Z	32 12,4	
		F	33	
	RBN	Traces		
		NEZ	01 32 - 33	

International Seismological Centre

Date	Station	Phase	T.U. h m s	
1973				
2.VIII		H=00^{h}36^{m}19,2^s; M=2,4 (Chorzów); DGP (GIG): 00 36 24,7		
	CHZ	Δ=14 km		
		eiP_{NZ}	00 36 22,5	
		ei_{NE}	24,1	
		i_N, ei_Z S	25,1	
		Lm	31	
		NEZ: 1,1^s,1,3^s, 1,1^s; 1,3 μ, 2,2 μ, 1,4 μ		
		F	37 30	
	KRA (Ch)	Δ=88 km. Faible		
		e_N, ei_{EZ} Sg	00 36 34,2	
		eSg_Z	45,4	
		ei_E	47,5	
		F	38	
	RBN	Faible		
		ei_N, e_{EZ}	00 36 35,6	
		e_E	40,0	
		F	38	
	NIE	Δ=147 km. NE - inactives		
		iPg_Z	00 36 44,6	D
		Pgm	45,3	
		Z: 0,9^s; 0,027 μ		
		ei_Z	37 04,5	
		F	38 30	
	KSP	Δ=190 km. Faible		
		ePn_{EZ}	00 36 50,1	
		ei_{NZ}, e_E Sn	37 12,8	
		F	30	
	RAC	Traces		
		NEZ	00 36 30-38 00	
2.VIII		φ =50°21′; λ =18°52′; H=00^{h}52^{m}12,4^s; M=2,6 (Kraków) 2,5 (Chorzów); DGP: P_E 00 52 17,5		
	CHZ	Δ=11 km		
		eiP_{NEZ}	00 52 15,2	
		ei_Z	16,6	
		Lm	24	
		EZ: 1,1^s,1,3^s; 4,5 μ, 2,9 μ		
		F	53 30	

Date	Station	Phase	T.U. h m s	
2.VIII	RBN	Δ=37 km		
		eP_{NE}	00 52 19,3	
		ei_{NE}	23,7	
		ei_Z	25,0	
		ei_{NE}	26,2	
		Lm	46	
		E: 1,2^s; 2,0 μ		
		F	55	
	RAC	Δ=58 km		
		ePg_Z	00 52 22,0	
		ei_{NZ}, i_E Sg	29,8	
		F	55	
	KRA (Ch,SKM)	Δ=85 km		
		e_N, ei_{EZ} Pg,	00 52 26,5	
		i_N, ei_{EZ} Sg	37,2	
		ei_{NEZ}	38,3	
	(SKM)	Lm	53 07	
		NZ: 1,3^s,1,2^s; 0,16 μ, 0,13 μ		
		Lm	14	
		E: 1,1^s; 0,11 μ		
		F	54	
	NIE	Δ=150 km. N - inactive		
		$eiPg_{EZ}$	00 52 37,4	C
		Pgm	37,9	
		Z: 0,9^s; 0,025 μ		
		e_Z	54,5	
		ei_E, i_Z	58,1	
		F	54 30	
	KSP	Δ=194 km		
		$eiPn_{NEZ}$	00 52 42,8	
		i_{NE}, ei_Z Sn	53 06,0	
		F	54	
2.VIII		H=13^{h}55^{m}25,6^s; M=2,9 (Kraków); DGP (GIG): 13 55 29,1		
	RBN			
		ei_N	13 55 34,8	
		i_E, ei_Z	35,8	
		Lm	50	
		E: 1,6^s; 6,7 μ		
		F	58	
	RAC	Δ=59 km		
		$eiPg_{EZ}$	13 55 35,8	

Date	Station	Phase	T.U. h m s
2.VIII (suite)	RAC	ei_{NE}	13 55 40,0
		Lm	59
		Z: $1,0^s$; 0,7 μ	
		F	58 30
	KRA (Ch,SKM)	Δ=69 km	
		ei_N, i_{EZ} Pg	13 55 37,6 D
		i_{NE}, ei_Z Sg	46,4
		i_Z	46,9
	(SKM)	Lm	56 15
		NEZ: $1,1^s$; 0,15 μ, 0,14 μ, 0,14 μ	
		F	57 30
	NIE	Δ=140 km. NE - inactives	
		iPg_Z	13 55 47,5 D
		Pgm	50,0
		Z: $0,9^s$; 0,052 μ	
		$eiPg_Z$	56 05,3
		i_Z	06,2
		F	58
	KSP	Δ=195 km	
		ei_{NZ}, i_E Pn	13 55 55,2 C
		ei_Z	56 15,1
		i_N, ei_{EZ} Sn	18,5
		F	58
3.VIII		H=$05^h38^m42,4^s$; M=2,9 (Chorzów, Kraków); ZAB (GIG): 05 38 43,6; DGP (GIG): 05 38 48,2	
	CHZ	Δ=9 km. N - inactive	
		iP_Z	05 38 44,4 D
		iP_E	44,8
		Lm	47
		Z: $0,7^s$; 5,7 μ	
		F	40 30
	RAC	Δ=60 km	
		$eiPg_Z$	05 38 53,2
		e_E	57,0
		ei_N	39 04,0
		F	41 30
	KRA (Ch)	Δ=80 km	
		ei_E, e_Z Pg	05 38 56,3
		Pgm	57,0
		Z: $0,7^s$; 0,078 μ	

Date	Station	Phase	T.U. h m s
3.VIII	KRA	e_{NZ}	05 39 05,9
		$eiSg_{NEZ}$	06,5
		Lm	32
		EZ: $1,0^s$; 0,09 μ, 0,09 μ	
		F	40 30
	NIE	Δ=147 km	
		$eiPg_Z$	05 39 07,1 C
		i_Z	07,5
		Pgm	08,4
		Z: $1,0^s$; 3,7 μ	
		eSg_Z	25,8
		i_Z	27,5
		F	41 30
	KSP	Δ=200 km	
		iPn_{NEZ}	05 39 15,4
		ei_N	38,2
		i_N, ei_{EZ} Sn	39,2
		F	41
4.VIII		H=$08^h12^m35,2^s$; M=2,3 (Chorzów, Kraków); DGP (GIG): 08 12 37,1	
	CHZ	Δ=13 km	
		eiP_{EZ}	08 12 38,0 D
		i_Z	41,1
		Lm	45
		EZ: $1,2^s$; 2,5 μ, 1,3 μ	
		F	13 30
	KRA (SKM)	Δ=64 km	
		$eiPg_{NEZ}$	08 12 46,4
		ei_{NE}	53,4
		i_{NE}, ei_Z Sg	54,6
		Lm	13 21
		NE: $1,0^s, 0,8^s$; 0,04 μ, 0,03 μ	
		F	14
	KSP	Δ=219 km. Faible	
		e_N, ei_{EZ} Pn	08 13 10,4
		e_N	38,5
		F	14
	RBN	Traces	
		NE	08 12 30-14 00
4.VIII		φ=50°17′; λ=18°57′; H=$11^h18^m04,1^s$; M=2,8 (Kraków); DGP (GIG): 11 18 09,7	

Date	Station	Phase	T.U. h m s
4.VIII (suite)	CHZ	Δ=3 km	11 18 05,3
		eiP_{EZ}	07,3
		i_{EZ}	11
		Lm	
		EZ: $1,0^s$; 6,2 μ, 8,0 μ	
		F	20
	RBN	Δ=37 km	
		eP_{NE}	11 18 11,4
		ei_N, e_Z	17,4
		ei_E	18,3
		Lm	38
		EZ: $1,7^s, 1,1^s$; 3,1 μ, 2,2 μ	
		F	20 30
	KRA (SKM)	Δ=76 km	
		$eiPg_{EZ}$	11 18 17,5
		ei_{NE}	20,5
		i_{NE}, ei_Z Sg	27,3
		Lm	50
		NEZ: $1,4^s, 1,2^s, 1,2^s$; 0,22 μ, 0,12 μ, 0,12 μ	
		F	20
	RAC	Δ=60 km. Faible	
		φ_N	11 18 23,1
		ei_Z	25,1
		ei_N	30,2
		ei_E	31,0
		F	21
	NIE	Δ=140 km. NE - inactives	
		$eiPg_Z$	11 18 28,1 D
		Pgm	29,7
		Z: $1,0^s$; 0,014 μ	
		i_Z	47,2
		F	20 30
	KSP	Δ=202 km	
		$eiPn_Z$	11 18 34,6
		$eiPn_E$	35,1
		$eiSn_{NEZ}$	58,6
		F	20 30
6.VIII		H=$21^h21^m07,8^s$ DGP (GIG): 21 21 18,9	
	CHZ	Δ=7 km. Faible	
		e_{EZ}	21 21 08,8
		i_N, ei_{EZ} S	10,7

Date	Station	Phase	T.U. h m s
6.VIII	CHZ	Lm	21 21 16
		EZ: $1,3^s$; 1,0 μ, 0,7 μ	
		F	22
	KRA (SKM)	Δ=79 km. Faible	
		$eiPg_Z$	21 21 21,5
		$eiSg_N$	31,3
		ei_E, e_Z Sg	31,8
		F	22 30
	NIE	Δ=140 km. Faible. NE - inactives	
		$eiPg_Z$	21 21 31,6 D
		ei_Z	50,9
		F	22 30
	RBN	Traces	
		NE	21 21 00-22 30
8.VIII		DGP (GIG): 05 41 00,1	
	CHZ		
		iP_{NEZ}	05 40 52,8
		Lm	57
		NEZ: $0,9^s, 1,0^s, 1,2^s$; 4,4 μ, 3,3 μ, 2,6 μ	
		F	42
	KRA (SKM)	Faible	
		ePg_{NE}	05 41 05,3
		i_N	14,4
		ei_{EZ}	17,2
		F	42 30
	KSP	Δ=194 km	
		$eiPn_{EZ}$	05 41 24,0
		i_{NZ}, ei_E Sn	47,2
		F	42 30
8.VIII		H=$17^h28^m11,5^s$; M=2,2 (Chorzów, Kraków); DGP (GIG): 17 28 18,3	
	CHZ	Δ=6 km	
		ei_{NE}, i_Z P	17 28 13,1 D
		iS_{NE}	14,3
		Lm	17
		NEZ: $1,0^s$; 3,0 μ, 2,7 μ, 2,4 μ	
		F	29

International Seismological Centre

Date	Station	Phase	T.U. h m s	
8.VIII (suite)	KRA (SKM)	Δ=74 km. Faible		
		e_N	17 28 31,3	
		$ei Sg_{NEZ}$	33,3	
		Lm	29 05	
		EZ: 1,0^s; 0,03 μ, 0,03 μ		
		F	30	
	NIE	Δ=136 km. Faible. NE - inactives		
		ePg_Z	17 28 34,9	
		ei_Z	53,6	
		F	29 30	
	RBN	Traces		
		NEZ	17 28 - 30	
11.VIII		H=19^{h}39^{m}25,5^s; M=2,6 (Chorzów Kraków); DGP (GIG): 19 39 31,8		
	CHZ	Δ=8 km		
		e_N, ei_{EZ} P	19 39 27,5	C
		ei_{NE}	28,7	
		Lm	32	
		NEZ: 0,8^s,1,1^s,1,2^s; 7,3 μ, 3,6 μ, 4,2 μ		
		F	41	
	RBN	Δ=35 km		
		eP_Z	19 39 32,2	
		e_{NE}, ei_Z	33,7	
		Lm	53	
		EZ: 1,7^s; 3,0 μ, 2,0 μ		
		F	41 30	
	RAC	Traces		
		e_{EZ}	19 39 37,0	
		F	42	
	KRA (SKM)	Δ=83 km		
		e_N, ei_{EZ} Pg	19 39 39,8	D
		Pgm	40,8	
		Z: 0,8^s; 0,032 μ		
		i_N	49,1	
		$ei Sg_{EZ}$	50,3	
		Lm	40 16	
		EZ: 1,2^s; 0,06 μ, 0,07 μ		
		F	41 30	
	NIE	Δ=143 km. NE - inactives		
		iPg_Z	19 39 50,2	D

Date	Station	Phase	T.U. h m s	
11.VIII	NIE	Pgm	19 39 50,9	
		Z: 1,0^s; 0,017 μ		
		ei_Z	40 09,7	
		F	41 30	
	KSP	Δ=192 km		
		i_E, ei_Z Pn	19 39 58,4	
		ei_{NE}, e_Z Sn	40 21,4	
		F	41	
12.VIII		H=16^{h}55^{m}20,2^s; M=2,3 (Kraków), 2,2 (Chorzów); DGP (GIG): 16 55(42)		
	CHZ	Δ=16 km. Faible		
		eP_{EZ}	16 55 23,6	
		ei_{NZ}, i_E S	26,1	
		Lm	32	
		EZ: 1,4^s; 1,0 μ, 0,9 μ		
		F	56	
	RBN			
		ei_N, e_E	16 55 33,6	
		ei_Z	35,8	
		ei_E	41	
		F	57 30	
	KRA (SKM)	Δ=90 km. Faible		
		ei_Z	16 55 39,1	
		$ei Sg_{EZ}$	46,5	
		ei_N	48,8	
		Lm	56 23	
		Z: 1,2^s; 0,04 μ		
		F	30	
	NIE	Δ=151 km. Faible. NE - inactives		
		ePg_Z	16 55 47,6	
		eSg_Z	56 06,8	
		F	57	
	KSP	Traces		
		NEZ	16 56 00-56 30	
14.VIII		φ =50°02′; λ =18°27′; H=17^{h}43^{m}00^s; M=3,5 (Racibórz), 3,0 (Chorzów, Kraków); DGP: Pg_Z 17 43 11,9		
	RBN	Δ=10 km		
		iP_{NEZ}	17 43 02,8	

Date	Station	Phase	T.U. h m s	
			17 43 04,5	
14.VIII (suite)	RBN	iS_E	46 30	
		F		
	RAC	Δ=20 km		
		ei_{NE}, i_Z Pg	17 43 04,4	
		i_{NE}	05,2	
		Lm	32	
		Z: 1,0^s; 8,0 μ		
		F	47	
	CHZ	Δ=49 km		
		e_N, ei_{EZ} Pg	17 43 09,3	D
		ei_N	15,1	
		i_E, ei_Z Sg	16,1	
		Lm	23	
		Z: 1,2^s; 0,9 μ		
		Lm	27	
		E: 1,0^s; 2,0 μ		
		F	46	
	KRA (Ch,SKM) (SKM)	Δ=109 km		
		$ei Pg_{EZ}$	17 43 18,3	
		Pgm	19,2	
		Z: 0,6^s; 0,033 μ		
	(Ch,SKM)	ei_N	20,3	
		ei_{NE}, i_Z	26,3	
	(Ch)	i_N, ei_{EZ} Sg	32,3	
		i_Z	33,3	
		Lm	44 16	
		EZ: 1,2^s,1,5^s; 0,06 μ, 0,11 μ		
		F	45 30	
	NIE	Δ=154 km. NE - inactives		
		$eiPg_Z$	17 43 26,1	D
		i_Z	26,9	
		Pgm	27,8	
		Z: 0,6^s; 0,386 μ		
		i_Z	41,6	
		iSg_Z	45,8	
		F	46	
	KSP	Δ=181 km		
		ei_{NE}, i_Z Pn	17 43 28,1	C
		ei_N, i_Z Sn	49,6	
		i_{NE}	50,6	
		F	46	

Date	Station	Phase	T.U. h m s	
14.VIII		H=23^{h}17^{m}47,4^s		
	CHZ	Δ=6 km		
		$ei P_{NEZ}$	23 16 48,8	
		$1S_{NEZ}$	50,0	
		F	17 30	
	KRA (SKM)	Δ=79 km. Faible		
		ei_E, e_Z Pg	23 17 01,3	
		$ei Sg_{NEZ}$	11,3	
		F	18 30	
	NIE	Δ=148 km. Faible. NE - inactives		
		$eiPg_Z$	23 17 12,9	
		e_Z	34,1	
		F	18 30	
	KSP	Faible		
		ei_{EZ}	23 17 20,6	
		e_N	43,1	
		e_Z	44,6	
		F	18	
	RBN	Traces		
		NE	23 17 00-18 30	
	RAC	Traces		
		NEZ	23 17 00-18 30	
15.VIII		H=09^{h}05^{m}17,0^s; M=2,2 (Chorzów); DGP (GIG): 09 05 34,4		
	CHZ	Δ=15 km		
		$ei P_{NEZ}$	09 05 20,0	
		i_{NE}, ei_Z S	22,4	
		Lm	27	
		Z: 1,2^s; 0,8 μ		
		F	06	
	KRA (SKM)	Δ=88 km. Faible		
		ePg_{NZ}	09 05 32,5	
		eSg_{NZ}	43,7	
		F	06 30	
	NIE	Δ=152 km		
		$eiPg_Z$	09 05 43,2	
		ei_Z	06 04,2	
		F	30	

International Seismological Centre

Date	Station	Phase	T.U. h m s	
15.VIII (suite)	KSP	Traces		
		ei_N	09 06 10,7	
		iSg_Z	13,3	
		iSg_N	14,0	
		F	30	
	RBN	Traces		
		NE	09 05 30-06 30	
17.VIII		H=12h45m19,3s; M=2,4 (Kraków), 2,3 (Chorzów); DGP (GIG): 12 45 27,2		
	CHZ	Δ=14 km		
		eP_{EZ}	12 45 22,4	
		i_N, ei_Z	25,2	
		Lm	32	
		EZ: 1,0s, 1,2s; 2,0 μ, 1,1 μ		
		F	46 30	
	RBN	Δ=38 km. Faible		
		eiS_{NZ}	12 45 31,5	
		ei_{EZ}	34,8	
		Lm	53	
		E: 1,2s; 1,1 μ		
		F	47	
	KRA (SKM)	Δ=87 km. Faible		
		$eiPg_Z$	12 45 34,3	
		ei_E	35,3	
		$eiSg_{NEZ}$	45,3	
		Lm	46 23	
		Z: 1,3s; 0,05 μ		
		F	47	
	NIE	Δ=154 km. NE - inactives		
		ePg_Z	12 45 45,9	
		Pgm	46,8	
		Z: 0,9s; 0,012 μ		
		ei_Z	46 03,2	
		i_Z	05,8	
		F	47	
	KSP	Faible		
		ei_{EZ}	12 45 50,9	
		$eiSn_{NEZ}$	46 12,9	
		F	30	
	RAC	Traces		
		NEZ	12 45 30-47 30	

Date	Station	Phase	T.U. h m s	
18.VIII		H=01h03m39,2s; M=2,4 (Chorzów), 2,3 (Kraków); DGP (GIG): 01 03 40,7		
	CHZ	Δ=17 km. Faible		
		eiP_{NZ}	01 03 42,5	
		eiP_E	42,9	
		ei_{NZ}, i_E S	45,4	
		Lm	52	
		NEZ: 1,2s; 1,1 μ, 1,3 μ, 1,1 μ		
		F	04 30	
	KRA (SKM)	Δ=61 km		
		$eiPg_{NEZ}$	01 03 49,8	
		ei_N	57,0	
		$eiSg_{NEZ}$	57,6	
		Lm	04 24	
		Z: 1,0s; 0,04 μ		
		F	05	
	RBN	Traces		
		NEZ	01 04 00-05 30	
19.VIII		H=06h34m49,7s; M=2,0 (Chorzów); ZAB (GIG): 06 34 53,9; DGP (GIG): 06 34 58,3		
	CHZ	Δ=5 km		
		eiP_{NEZ}	06 34 51,2 C	
		i_{NE}, ei_Z S	52,3	
		Lm	55	
		NZ: 0,8s, 1,0s; 3,8 μ, 1,5 μ		
		F	35 30	
	KRA (SKM)	Δ=78 km Faible		
		$eiSg_N$	06 35 12,8	
		F	37	
	NIE	Δ=144 km. NE - inactives		
		$eiPg_Z$	06 35 14,6	
		ei_Z	35,4	
		F	36 30	
	KSP	Faible		
		$eiSn_{NE}$	06 35 45,5	
		$eiSn_Z$	46,5	
		F	36	
	RBN	Traces		
		NE	06 35 00-36 30	

Date	Station	Phase	T.U. h m s	
20.VIII		H=22h22m15,5s; M=2,2 (Chorzów); ZAB (GIG): 22 22 18,4; DGP (GIG): 22 22 27,6		
	CHZ	Δ=8 km		
		ei_N, i_{EZ} P	22 22 17,3	
		iS_{NE}	18,8	
		Lm	22	
		NEZ: 1,0s; 2,3 μ, 1,9 μ, 1,5 μ		
		F	23	
	KRA (SKM)	Δ=82 km. Faible		
		$eiPg_{EZ}$	22 22 30,0	
		$eiSg_{NEZ}$	40,4	
		F	24	
	RBN	NZ - inactives		
		ei_N	22 22 30,2	
		eL_N	43	
		F	24	
	NIE	Δ=144 km. Faible		
		$eiPg_Z$	22 22 40,4 D	
		Pgm	41,4	
		Z: 0,7s; 0,018 μ		
		e_Z	23 03,4	
		F	24	
	KSP	Δ=197 km		
		$eiPn_{EZ}$	22 22 48,8	
		$eiSn_{NEZ}$	23 12,3	
		F	30	
21.VIII		φ=50°15,5′; λ=18°54,5′; H=14h40m36,3s; M=2,2 (Chorzów); DGP (GIG): 14 40(43)		
	CHZ	Δ=7 km		
		eiP_{NEZ}	14 40 37,9 C	
		iS_{NZ}	39,3	
		Lm	42	
		NZ: 0,8s, 1,2s; 3,7 μ, 2,1 μ		
		F	41 30	
	RBN	Δ=33 km		
		eP_Z	14 40 40,7	
		ei_E	45,2	
		Lm	41 05	
		NE: 1,3s; 1,6 μ, 1,4 μ		
		F	42 30	

Date	Station	Phase	T.U. h m s	
21.VIII	KRA (Ch)	Δ=79 km. Faible		
		$eiPg_{EZ}$	14 40 50,3 C	
		$eiSg_N$	41 00,1	
		$eiSg_Z$	00,5	
		F	30	
	NIE	Δ=140 km		
		ePg_Z	14 41 00,5	
		ei_Z	17,4	
		ei_Z	21,3	
		F	42	
	KSP	Δ=200 km Faible		
		i_E, e_Z Pn	14 41 09,0	
		e_N	31,5	
		ei_E	32,5	
		ei_Z	33,4	
		F	42	
22.VIII		H=07h47m30,4s; M=2,6 (Chorzów, Kraków); ZAB (GIG): 07 47 33,2; DGP (GIG): 07 47 37,1		
	CHZ	Δ=10 km. E - inactive		
		eiP_{NZ}	07 47 32,8 D	
		Lm	37	
		Z: 1,0s; 3,3 μ		
		F	48 30	
	RBN			
		ei_{EZ}	07 47 38,5	
		ei_{NZ}	43,2	
		ei_E	46,0	
		Lm	59	
		E: 1,5s; 2,3 μ		
		F	49 30	
	KRA (Ch, SKM)	Δ=85 km		
		e_N, ei_{EZ} Pg	07 47 45,1 D	
		ei_Z	54,7	
		iSg_{NEZ}	55,9	
		Lm	48 20	
		EZ: 1,0s; 0,04 μ, 0,06 μ		
		F	49	
	NIE	Δ=143 km. NE - inactives		
		$eiPg_Z$	07 47 55,0 D	
		Pgm	56,0	
		Z: 0,8s; 0,025 μ		
		ei_Z	48 14,8	
		F	49 30	

International Seismological Centre

Date	Station	Phase	T.U. h m s	
22.VIII (suite)	KSP	Δ=200 km		
		e_N, i_{EZ} Pn	07 48 03,8	C
		i_N, ei_{EZ} Sn	27,6	
		F	49	
22.VIII		H=19h18m36,4s; M=2,1 (Chorzów); DGP (GIG): 19 18 45,7		
	CHZ	Δ=10 km		
		e_{NE}, ei_Z P	19 18 38,4	
		i_{NE}, ei_Z S	40,3	
		Lm	44	
		EZ: 1,0s, 1,2s; 2,1 μ, 1,1 μ		
		F	19 30	
	RBN	Faible		
		ei_N	19 18 46,0	
		ei_{NZ}	48,4	
		e_Z	50,2	
		Lm	19 05	
		N: 1,5s; 1,9 μ		
		F	20	
	KRA (SKM)	Δ=84 km. Faible		
		$ei Pg_{EZ}$	19 18 51,2	C
		$ei Sg_{NZ}$	19 01,8	
		F	20	
	NIE	Δ=144 km. Faible. NE - inactives		
		ePg_Z	19 19 01,0	C
		e_Z	16,2	
		$ei Sg_Z$	19,3	
		F	20	
23.VIII		H=22h56m05,3s; M=2,3 (Chorzów, Kraków); ZAB (GIG): 22 56 09,4; DGP (GIG): 22 56 11,7		
	CHZ	Δ=10 km		
		$ei P_{NEZ}$	22 56 07,6	D
		$i S_{NEZ}$	09,3	
		Lm	12	
		NEZ: 0,9s, 1,1s, 1,2s; 3,2 μ, 2,6 μ, 2,0 μ		
		F	57	
	RBN			
		ei_E	22 56 15,1	

Date	Station	Phase	T.U. h m s	
23.VII	RBN	ei_{NE}	22 56 18,6	
		Lm	35	
		NEZ: 1,3s, 1,7s, 1,7s; 1,2 μ, 1,4 μ, 0,8 μ		
		F	57 30	
	KRA (SKM)	Δ=82 km. Faible		
		ePg_{EZ}	22 56 19,5	
		ei_N	29,0	
		ei_Z	31,5	
		Lm	57 00	
		Z: 1,0s; 0,03 μ		
		F	30	
	NIE	Δ=149 km. NE - inactives		
		ePg_Z	22 56 31,0	
		e_Z	46,7	
		ei_Z	48,5	
		F	57 30	
	KSP	Δ=195 km. Faible		
		ePn_{EZ}	22 56 38,4	C
		$ei Sn_{NEZ}$	57 01,7	
		F	30	
	RAC	Traces		
		NEZ	22 56 30-58 00	
24.VIII		H=00h06m59,1s; M=2,3 (Chorzów, Kraków); ZAB (GIG): 00 07 02,2; DGP (GIG): 00 07 04,3		
	CHZ	Δ=6 km		
		ei_N, i_{EZ} P	00 07 00,9	
		Lm	05	
		NE: 1,0s; 3,8 μ, 3,3 μ		
		F	08	
	RBN			
		ei_Z	00 07 06,8	
		ei_N	09,0	
		i_E	14,1	
		Lm	29	
		NEZ: 1,2s; 1,1 μ, 1,7 μ, 0,9 μ		
		F	09	
	KRA (SKM)	Δ=79 km		
		ei_N, i_{EZ} Pg	00 07 12,9	D
		Pgm	13,3	
		Z: 0,5s; 0,037 μ		

Date	Station	Phase	T.U. h m s	
24.VIII (suite)	KRA	ei_{NZ}, e_E Sg	00 07 22,9	
		Lm	48	
		EZ: 1,0s; 0,03 μ, 0,04 μ		
		F	09	
	NIE	Δ=140 km		
		ePg_Z	00 07 23,0	D
		ei_Z	23,5	
		Pgm	24,2	
		Z: 1,0s; 0,017 μ		
		ei_Z	39,3	
		ei_Z	43,5	
		F	09 30	
	KSP	Δ=200 km		
		$ei Pn_{EZ}$	00 07 31,0	
		ei_N	31,8	
		$ei Sn_{NEZ}$	54,8	
		F	08 30	
	RAC	Traces		
		NEZ	00 07 00-09 30	
25.VIII		φ =50°14′; λ =19°03′; H=16h25m29,1s; M=2,5 (Dąbrowa Górnicza), 2,2 (Chorzów, Kraków); DGP: P_{NEZ} 16 25 32,7, Lm_{NEZ} 1,0s; 0,7 μ, 1,2 μ, 1,0 μ		
	CHZ	Δ=8 km		
		$ei P_{NEZ}$	16 25 31,4	D
		i_Z	33,9	
		Lm	38	
		EZ: 1,0s; 2,0 μ, 1,6 μ		
		F	26 30	
	KRA (SKM)	Δ=68 km		
		$ei Pg_{EZ}$	16 25 41,0	
		$i Sg_{EZ}$	49,7	
		Lm	26 30	
		EZ: 1,0s; 0,04 μ, 0,03 μ		
		F	27	
	NIE	Δ=131 km. Faible. NE - inactives		
		ePg_Z	16 25 51,5	
		e_Z	26 09,0	
		F	30	

Date	Station	Phase	T.U. h m s	
25.VIII	KSP	Δ=211 km. Faible		
		iPn_{EZ}	16 26 04,3	D
		$eiSn_{NEZ}$	29,3	
		i_N	30,5	
		F	27	
	RBN	Traces		
		NEZ	16 25 30-27 00	
	RAC	Traces		
		EZ	16 25 30-27 00	
27.VIII		H=03h04m45,8s; M=2,2 (Chorzów); ZAB (GIG): 03 04 51,4; DGP (GIG): 03 04 52,ε		
	CHZ	Δ=11 km		
		$ei P_{NE}$	03 04 48,1	D
		iS_{NE}	50,0	
		Lm	55	
		Z: 1,0s; 0,9 μ		
		Lm	57	
		NE: 0,8s, 1,0s; 1,3 μ, 0,9 μ		
		F	05 30	
	KRA (SKM)	Δ=86 km. Faible		
		$ei Pg_Z$	03 05 00,8	
		$ei Sg_{NEZ}$	11,7	
		F	06	
	KSP	Δ=193 km		
		ePn_{EZ}	03 05 17,9	
		ei_N, e_E Sn	41,0	
		ei_Z	46,0	
		F	06	
30.VIII		H=11h29m47,3s; M=2,4 (Chorzów); ZAB (GIG): 11 29 50,0; DGP (GIG): 11 29 53,4		
	CHZ	Δ=10 km		
		ei_E, i_Z P	11 29 49,4	D
		iS_{NZ}	51,0	
		Lm	54	
		NEZ: 1,0s; 2,7 μ, 2,2 μ, 1,6 μ		
		F	30 30	
	RBN	Faible	11 29 55,3	
		e_Z		

International Seismological Centre

Date	Station	Phase	T.U. h m s	
30.VIII (suite)	RBN	ei_N	11 30 02,5	
		Lm	27	
		N: 1,5^s; 1,1 µ		
		F	31	
	KRA (SKM)	Δ=83 km. Faible		
		ePg_{NZ}	11 30 01,8	
		iSg_N	11,3	
		F	31	
	KSP	Δ=197 km. Faible		
		$eiPn_{EZ}$	11 30 20,4	C
		$eiSn_{NEZ}$	43,9	
		F	31	
30.VIII		H=18^{h}27^{m}28,6^s; M=2,5 (Chorzów, Kraków); ZAB (GIG): 18 27 30,6; DGP (GIG): 18 27 33,9		
	CHZ	Δ=6 km		
		iP_{NEZ}	18 27 30,2	C
		iS_{NEZ}	31,4	
		Lm	35	
		EZ: 1,0^s; 9,1 µ, 4,5 µ		
		F	29	
	RBN	Δ=33 km		
		eiP_E	18 27 36,2	
		ei_{NZ}	39,2	
		ei_E	40,0	
		Lm	54	
		NE: 1,3^s; 3,6 µ, 3,4 µ		
		F	30	
	RAC	Δ=54 km. Faible		
		ePg_{EZ}	18 27 38,0	
		ei_E	43,0	
		ei_N	46,0	
		F	30	
	KRA (Ch)	Δ=79 km		
		e_N,ei_{EZ} Pg	18 27 42,3	C
		$eiSg_{EZ}$	52,3	
		ei_N	52,8	
		Lm	28 24	
		NEZ: 1,2^s; 0,05 µ, 0,07 µ		
			0,05 µ	
		F	29	

Date	Station	Phase	T.U. h m s	
30.VIII	KSP	Δ=195 km		
		ei_{NZ},i_E Pn	18 28 00,5	D
		$eiSn_{NEZ}$	23,8	
		F	29 30	
30.VIII		H=03^{h}44^{m}41,2^s; M=2,2 (Chorzów, Kraków); DGP (GIG): 03 44 46,0		
	CHZ	Δ=4 km		
		iP_{NEZ}	03 44 42,4	D
		i_E,ei_Z S	43,3	
		i_{NZ}	43,0	
		Lm	47	
		NEZ: 1,0^s; 6,3 µ, 4,4 µ, 3,3 µ		
		F	46	
	RBN	Δ=35 km		
		e_{NEZ}	03 44 49,0	
		eiS_{NEZ}	52,6	
		ei_{NZ}	55,4	
		Lm	45 09	
		NEZ: 1,1^s,1,7^s,1,3^s; 1,7 µ, 2,1 µ, 1,0 µ		
		F	46 30	
	KRA (SKM)	Δ=75 km		
		$eiPg_{EZ}$	03 44 54,3	
		i_N,ei_{EZ} Sg	45 03,8	
		ei_E,i_Z	06,3	
		Lm	35	
		EZ: 1,1^s; 0,04 µ, 0,04 µ		
		F	46	
	KSP	Δ=197 km		
		$eiPn_{EZ}$	03 45 13,0	
		i_N,ei_{EZ} Sn	36,5	
		F	46	
	RAC	Traces		
		NEZ	03 45 00-46 30	
31.VIII		H=20^{h}32^{m}28,5^s; M=2,7 (Kraków); DGP (GIG): 20 32 35,9		
	CHZ	Δ=13 km. NZ - inactives		
		eP_E	20 32 31,2	
		eiS_E	33,4	

Date	Station	Phase	T.U. h m s	
31.VIII (suite)	CHZ	Lm	20 32 40	
		E: 1,2^s; 2,3 µ		
		F	33 30	
	RBN		20 32 41,9	
		e_E	45,4	
		ei_{NZ}	48,4	
		ei_E	33 15	
		Lm		
		N: 1,2^s; 1,7 µ	34	
		F		
	KRA (SKM)	Δ=88 km		
		e_E,ei_Z Pg	20 32 44,1	
		e_N,ei_Z	53,7	

Date	Station	Phase	T.U. h m s	
31.VIII	KRA	iSg_{EZ}	20 32 55,3	
		Lm	33 30	
		NEZ: 1,3^s; 0,06 µ, 0,08 µ, 0,10 µ		
		F	34	
	RAC	Faible		
		ei_N	20 32 49,5	
		F	35	
	KSP	Δ=189 km. Faible		
		$eiPn_{NEZ}$	20 32 59,6	
		ei_{NE}	33 23,2	
		F	30	

Date	Station	Phase	T.U. h m s	
1.IX		H=09^{h}48^{m}32,8^s; M=2,3 (Kraków); DGP (GIG): 09 48 38,9		
	CHZ	Δ=9 km. NZ - inactives		
		eiP_E	09 48 34,9	
		eiS_E	36,5	
		Lm	39	
		E: 1,0^s; 2,6 µ		
		F	49 30	
	RBN			
		e_E,ei_Z	09 48 40,7	
		ei_{NE}	42,2	
		e_E	49,4	
		Lm	49 02	
		NE: 1,2^s,1,4^s; 2,3 µ, 1,8 µ		
		F	50	
	KRA (Ch, SKM)	Δ=81 km		
		$eiPg_{NEZ}$	09 48 47,1	
		ei_N	56,1	
	(SKM)	e_E,ei_Z Sg	57,4	
		Lm	49 28	
		EZ: 1,1^s; 0,04 µ, 0,04 µ		
		F	50	
	KSP	Traces		
		ei_Z	09 49 05,7	
		ei_{NZ}	28,7	
		F	50	

Date	Station	Phase	T.U. h m s	
1.IX		H=12^{h}24^{m}12,8^s; M=2,7 (Kraków) DGP (GIG): 12 24 19,0		
	CHZ	Δ=14 km. NZ - inactives		
		eP_E	12 24 15,9	
		Lm	25	
		E: 1,0^s; 2,9 µ		
		F	25 30	
	RBN	Δ=43 km		
		ePg_N	12 24 21,0	
		e_E	24,2	
		$eiSg_{NEZ}$	27,0	
		F	26 30	
	RAC	Δ=61 km. Faible		
		ePg_Z	12 24 24,0	
		ei_{NE}	31,0	
		F	26 30	
	KRA (SKM)	Δ=91 km		
		$eiPg_{EZ}$	12 24 28,7	
		ei_{EZ}	38,5	
		i_N	39,2	
		iSg_{NEZ}	40,3	
		Lm	25 09	
		NZ: 1,2^s; 0,13 µ, 0,11 µ		
		Lm	16	
		NEZ: 1,1^s; 0,07 µ, 0,09 µ		
			0,09 µ	
		F	26	

International Seismological Centre

Date	Station	Phase	T.U. h m s
1.IX (suite)	NIE	Faible	
		ei_Z	12 24 40,0
		ei_Z	58,4
		F	25 30
1.IX		H=$18^h19^m10,5^s$; M=2,5 (Chorzów); DGP (GIG): 18 19 16,8	
	CHZ	Δ=10 km	
		eiP_{NEZ}	18 19 12,6
		iS_N	14,3
		Lm	18
		NE: $1,0^s$,$0,8^s$; 3,4 μ, 2,3 μ	
		F	20
	RBN	Δ=41 km	
		ePg_E	18 19 18,2
		ei_N	24,2
		ei_{EZ}	25,0
		eL_E	33
		F	20 30
	KRA (SKM)	Δ=79 km	
		$eiPg_{EZ}$	18 19 24,4
		iSg_N	34,1
		$eiSg_{EZ}$	34,6
		F	20 30
	KSP	Δ=201 km. Faible	
		$eiPn_Z$	18 19 43,2
		ei_{NZ}	20 06,2
		F	30
1.IX		H=$19^h17^m45,8^s$; M=2,6 (Kraków), 2,3 (Chorzów); DGP (GIG): 19 17 51,5	
	CHZ	Δ=6 km	
		ei_{NE},i_Z P	19 17 47,5 C
		eiS_{NZ}	48,8
		i_{EZ}	49,4
		Lm	54
		NEZ: $0,8^s$,$1,1^s$,$1,2^s$; 2,7 μ, 4,5 μ, 2,5 μ	
		F	19
	RBN	Δ=36 km	
		eP_Z	19 17 52,7
		ei_N	56,4
		ei_{EZ}	57,0
		i_N	57,8

Date	Station	Phase	T.U. h m s
1.IX	RBN	Lm	
		NZ: $1,3^s$,$1,0^s$; 3,0 μ, 1,0 μ	19 18 19
		F	20
	KRA (Ch)	Δ=79 km	
		e_N,ei_{EZ} Fg	19 17 59,6 C
		iSg_N	18 00,5
		$eiSg_Z$	00,8
		Lm	41
		EZ: $1,2^s$; 0,06 μ, 0,06 μ	
		F	19 30
	KSP	Δ=199 km	
		ei_N,i_{EZ} Pn	19 18 17,2 D
		iSn_{NE}	40,6
		$eiSn_Z$	41,2
		F	19
	RAC	Traces	
		NEZ	19 18 - 20
2.IX		H=$16^h00^m51,4^s$; M=2,5 (Chorzów), 2,3 (Kraków); DGP (GIG): 16 00 58,5	
	CHZ	Δ=8 km	
		ei_{NE},i_Z P	16 00 53,6 D
		iS_{NEZ}	55,1
		Lm	58
		NEZ: $0,9^s$,$0,9^s$,$1,2^s$; 4,8 μ, 3,9 μ, 3,0 μ	
		F	02
	RBN	Δ=45 km	
		ePg_Z	16 01 00,0
		e_N,ei_E	04,0
		$eiSg_{NEZ}$	06,2
		Lm	20
		NEZ: $1,6^s$; 1,5 μ, 1,7 μ, 1,1 μ	
		F	03
	KRA (SKM)	Δ=84 km	
		$eiPg_{EZ}$	16 01 05,5 D
		Pgm	06,3
		Z: $0,8^s$; 0,037 μ	
		i_N,ei_{EZ} Sg	16,1
		Lm	41
		EZ: $1,0^s$; 0,03 μ, 0,03 μ	
		F	02 30

Date	Station	Phase	T.U. h m s
3.IX (suite)	KSP	Δ=197 km	
		$eiPn_{NEZ}$	16 01 24,7
		$eiSn_{NEZ}$	48,2
		F	02 30
3.IX		H=$13^h06^m29,3^s$; M=2,3 (Chorzów); DGP (GIG): 13 06 28,5	
	CHZ	Δ=13 km	
		e_N,ei_{EZ} P	13 06 32,3
		eiS_{NE}	34,5
		Lm	40
		NE: $1,1^s$; 1,8 μ, 1,5 μ	
		F	07 30
	KRA (SKM)	Δ=60 km	
		ePg_{EZ}	13 06 39,8
		Pgm	41,3
		Z: $0,8^s$; 0,025 μ	
		iSg_N	47,4
		ei_E	48,4
		ei_Z	48,9
		F	07 30
	RBN	Traces	
		NE	13 07 30-08 00
4.IX		H=$08^h36^m42,7^s$; M=2,1 (Chorzów); DGP (GIG): 08 36 47,6	
	CHZ	Δ=3 km	
		ei_{NE},i_Z P	08 36 43,8 D
		Lm	47
		NZ: $1,0^s$; 7,4 μ, 4,3 μ	
		F	37 30
	KRA (SKM)	Δ=77 km	
		$eiPg_{EZ}$	08 36 56,1 C
		$eiSg_{EZ}$	37 05,9
		F	38
	KSP	Δ=203 km. Faible	
		$eiPn_{EZ}$	08 37 15,9
		$eiSn_E$	39,4
		ei_N,e_Z Sn	40,6
		F	38
	RBN	Traces	
		NEZ	08 37 - 38

Date	Station	Phase	T.U. h m s
4.IX		H=$23^h53^m12,3^s$; M=2,2 (Chorzów), 2,1 (Kraków); DGP (GIG): 23 53 15,0	
	CHZ	Δ=13 km	
		eiP_{NEZ}	23 53 15,5 D
		iS_N	17,7
		ei_Z	18,7
		Lm	22
		EZ: $1,0^s$,$1,3^s$; 2,0 μ, 1,2 μ	
		F	54 30
	KRA (SKM)	Δ=65 km	
		$eiPg_{EZ}$	23 53 23,4 C
		ei_N	30,6
		iSg_{NEZ}	31,7
		Lm	59
		NZ: $0,9^s$; 0,04 μ, 0,02 μ	
		F	55
	KSP	Δ=216 km	
		e_{NZ},ei_E Pn	23 53 47,7
		$eiSn_N$	54 13,2
		e_Z	15,5
		F	30
	RBN	Traces	
		NEZ	23 53 30-55 00
5.IX		H=$14^h34^m15,5^s$; M=2,6 (Kraków), 2,2 (Chorzów); DGP (GIG): 14 34 23,3	
	CHZ	Δ=12 km	
		e_N,ei_{EZ} P	14 34 18,1 C
		ei_{EZ}	20,5
		Lm	27
		EZ: $1,2^s$; 2,3 μ, 1,3 μ	
		F	35
	KRA (SKM)	Δ=88 km	
		$eiPg_Z$	14 34 30,8
		i_{NE},ei_Z Sg	42,0
		i_{NE}	44,5
		Lm	35 17
		NEZ: $1,0^s$,$1,2^s$,$1,2^s$; 0,04 μ, 0,07 μ, 0,08 μ	
		F	36
	RBN	Traces	
		NE	14 34 - 36

International Seismological Centre

Date	Station	Phase	T.U. h m s
5.IX		H=15h35m33,4s; M=2,1 (Chorzów); DGP (GIG): 15 35 36,6	
	CHZ	Δ=13 km. Faible	
		eiP_{NEZ}	15 35 36,1
		eiS_{EZ}	38,3
		Lm	43
		EZ: 1,0s,1,2s; 1,8 μ, 0,9 μ	
		F	36 30
	KRA (SKM)	Δ=65 km	
		$eiPg_{EZ}$	15 35 45,0
		i_N, ei_{EZ} Sg	53,3
		i_{EZ}	54,3
		F	36 30
	RBN	Traces	
		NE	15 35 30-37 00
5.IX		H=18h45m10,5s; M=2,4 (Chorzów) 2,3 (Kraków); DGP (GIG): 18 45 16,8	
	CHZ	Δ=13 km	
		e_N, ei_E, i_Z P	18 45 13,5
		i_N, ei_{EZ} S	15,7
		Lm	21
		EZ: 1,1s; 1,6 μ, 1,2 μ	
		Lm	23
		N: 0,9s; 2,4 μ	
		F	46
	KRA (SKM)	Δ=86 km. Faible	
		$eiSg_{NEZ}$	18 45 36,0
		Lm	46 08
		EZ: 1,0s; 0,04 μ, 0,05 μ	
		F	30
	RBN	Traces	
		NE	18 45 30-47 00
6.IX		φ =50°21′; λ =18°54′; H=13h21m43,2s; M=2,8 (Chorzów Kraków); DGP (GIG): 13 21 49,1	
	CHZ	Δ=9 km	
		ei_N, i_{EZ} P	13 21 45,6 D
		eiS_Z	47,2
		Lm	52
		Z: 1,1s; 5,0 μ	

Date	Station	Phase	T.U. h m s
6.IX	CHZ	Lm	13 21 53
		NE: 0,9s; 4,9 μ, 8,2 μ	
		F	23
	RBN	Δ=40 km	
		eiP NEZ	13 21 51,0
		ei_{EZ}	55,3
		Lm	22 22
		N: 1,2s; 3,3 μ	
		F	24 30
	RAC	Δ=60 km	
		$eiPg_{EZ}$	13 21 54,0
		ei_{NE}	58,0
		F	24
	KRA (SKM)	Δ=83 km	
		$eiPg_{EZ}$	13 21 57,6 C
		ei_N, i_{EZ}	58,3
		Pgm	58,8
		Z: 0,6s; 0,065 μ	
		$eiSg_{NEZ}$	22 08,3
		Lm	44
		NEZ: 1,1s,1,0s,1,2s; 0,11 μ, 0,06 μ, 0,16 μ	
		F	23 30
	KSP	Δ=196 km	
		ei_{NZ}, i_E Pn	13 22 14,0
		i_{NE}, ei_Z Sn	37,4
		F	23 30
8.IX		H=23h41m14,6s; M=2,4 (Chorzów); DGP (GIG): 23 41 25,8	
	CHZ	Δ=12 km	
		eiP_{NEZ}	23 41 17,2
		iS_{NEZ}	19,2
		Lm	23
		EZ: 1,0s,1,1s; 3,1 μ, 1,7 μ	
		F	42
	RBN	Δ=40 km	
		eP EZ	23 41 22,2
		ei_{NE}	26,2
		Lm	43
		N: 1,7s; 2,7 μ	
		F	43 30

Date	Station	Phase	T.U. h m s
8.IX (suite)	KRA (SKM)	Δ=85 km	
		$eiPg_{EZ}$	23 41 29,5 C
		ei_N	39,0
		i_N, ei_Z Sg	40,3
		e_E	41,3
		F	43
	RAC	Traces	
		NEZ	23 41 30-43 00
9.IX		H=23h13m20,0s; M=2,3 (Chorzów)	
	CHZ	Δ=10 km	
		eiP_{NEZ}	23 13 22,2 D
		iS_{NEZ}	23,9
		Lm	27
		NZ: 1,0s,1,1s; 2,7 μ, 1,6 μ.	
		F	14
	RBN	Faible	
		e_{EZ}	23 13 29,2
		ei_N	35,5
		e_Z	36,3
		Lm	55
		N: 1,1s; 1,1 μ	
		F	15
	KRA (SKM)	Δ=81 km. Faible	
		$eiSg_N$	23 13 43,5
		ei_Z	46,1
		F	14 30
	RAC	Traces	
		Z	23 13 30-14 30
10.IX		H=13h36m42,5s; M=2,5 (Chorzów, Kraków); DGP (GIG): 13 36 48,2	
	CHZ	Δ=5 km	
		ei_{NE}, i_Z P	13 36 44,0
		iS_{EZ}	45,0
		Lm	47
		Z: 0,9s; 6,0 μ	
		F	37 30
	RBN	Faible	
		e_E	13 36 51,6
		ei_{NE}	59,2
		Lm	37 20
		E: 1,2s; 1,4 μ	
		F	38 30

Date	Station	Phase	T.U. h m s
10.IX	KRA (SKM)	Δ=80 km	
		$eiPg_{EZ}$	13 36 56,3
		iSg_{EZ}	37 06,5
		Lm	35
		NEZ: 1,0s,1,2s,1,1s; 0,05 μ, 0,07 μ, 0,06 μ	
		F	38
	KSP	Δ=200 km	
		ei_{NZ}, i_E Pn	13 37 16,9
		$eiSn_{NE}$	40,7
		F	38
11.IX		H=19h52m04,0s; M=2,2 (Chorzów); DGP (GIG): 19 52 12,4	
	CHZ	Δ=13 km	
		eS_{NEZ}	19 52 00,0
		ei_{EZ}	10,2
		Lm	15
		EZ: 1,2s; 0,9 μ, 0,9 μ	
		F	53
	KRA (SKM)	Δ=87 km. Faible	
		ePg_{EZ}	19 52 19,3
		$eiSg_{NEZ}$	30,3
		F	53 30
	KSP	Δ=192 km. Faible	
		$eiPn_{EZ}$	19 52 34,7
		ei_E	57,2
		$eiSn_{NZ}$	57,7
		F	53 30
	RBN	Traces	
		NE	19 52 00-53 30
12.IX		H=18h58m28,7s; M=3,0 (Chorzów), 2,8 (Kraków); DGP (GIG): 18 58 34,5	
	CHZ	Δ=12 km	
		ei_{NE}, i_Z P	18 58 31,4 D
		ei_E	32,6
		iS_{NEZ}	33,4
		Lm	37
		Z: 1,0s; 6,3 μ	
		Lm	40
		NE: 0,9s; 12,7 μ, 6,5 μ	
		F	19 00

International Seismological Centre

Date	Station	Phase	T.U. h m s	
12.IX (suite)	RBN	Δ=33 km		
		eS_{NE}	18 58 39,5	
		eL_{NE}	45	
		Lm	59 03	
		NE: $1,2^s$; 2,2 μ, 1,3 μ		
		F	19 01	
	KRA (Ch)	Δ=35 km		
		ePg_Z	18 58 43,3	
		$eiSg_{NZ}$	54,1	
		ei_E	55,0	
	(SKM)	Lm	59 16	
		NEZ: $1,3^s$, $1,0^s$, $1,5^s$; 0,14 μ, 0,06 μ, 0,12 μ		
		F	19 00	
	KSP	Δ=190 km		
		$eiPn_{EZ}$	18 59 01,8	
		$eiSn_{NEZ}$	24,6	
		F	19 00	
12.IX		H=$19^h59^m48,0^s$; M=2,1 (Chorzów); DGP (GIG): 19 59 53,7		
	CHZ	Δ=10 km		
		e_{NE},ei_Z P	19 59 50,4	C
		i_{NE},ei_Z S	52,2	
		Lm	57	
		EZ: $1,0^s$, $1,1^s$; 1,9 μ, 1,1 μ		
		F	20 00 30	
	KRA (SKM)	Δ=84 km. Faible		
		$eiPg_{EZ}$	20 00 02,8	
		$eiSg_N$	13,5	
		F	01	
	KSP	Δ=197 km. Faible		
		ei_{NZ},i_E Pn	20 00 20,2	
		ei_N,e_{EZ}	42,7	
		F	01	
	RBN	Traces		
		NE	20 00 - 01	
13.IX		H=$18^h07^m22,5^s$; M=2,3 (Chorzów)		
	CHZ	Δ=9 km		
		ei_N,i_{EZ} P	18 07 24,7	D
		iS_{NEZ}	26,3	

Date	Station	Phase	T.U. h m s	
13.IX	CHZ	Lm	18 07 29	
		NEZ: $1,0^s$; 3,3 μ, 2,2 μ, 1,6 μ		
		F	08	
	RBN	ei_N	18 07 33,0	
		e_N,ei_Z	38,8	
		ei_E	45,3	
		Lm	50	
		E: $1,6^s$; 1,0 μ		
		eL_N	55	
		F	08 30	
	KRA (SKM)	Δ=84 km. Faible		
		ei_E,e_Z Pg	18 07 37,1	
		ei_N	46,3	
		F	08 30	
14.IX		H=$00^h24^m40,8^s$; M=2,9 (Chorzów, Kraków)		
	CHZ	Δ=9 km		
		iP_{NEZ}	00 24 43,0	D
		i_Z	43,7	
		iS_{NZ}	44,6	
		Lm	47	
		NZ: $0,9^s$, $1,0^s$; 11,3 μ, 7,1 μ		
		F	26 30	
	RBN	Δ=44 km		
		iPg_Z	00 24 49,1	
		ei_Z	52,5	
		i_E	55,5	
		Lm	00 25 10	
		EZ: $1,3^s$; 4,7 μ, 2,4 μ		
		F	27 30	
	RAC	Δ=59 km		
		$eiPg_{EZ}$	00 24 51,0	
		ei_{EZ}	57,0	
		ei_{NZ}	25 03,6	
		F	27	
	KRA (SKM)	Δ=82 km		
		iPg_{NEZ}	00 24 55,1	
		Pgm	55,6	
		Z: $0,6^s$; 0,029 μ		
		ei_{NEZ}	25 04,8	
		iSg_{NEZ}	05,5	

Date	Station	Phase	T.U. h m s	
14.IX (suite)	KRA	Lm	00 25 30	
		NEZ: $1,1^s$; 0,06 μ, 0,12 μ, 0,14 μ		
		F	26 30	
14.IX		H=$03^h17^m21,9^s$; M=2,4 (Chorzów), 2,3 (Kraków); DGP (GIG): 03 17 22,8		
	CHZ	Δ=14 km		
		e_N,ei_{EZ} P	03 17 25,4	
		eiS_E	27,7	
		ei_Z	28,6	
		Lm	33	
		Z: $1,1^s$; 1,3 μ		
		Lm	34	
		NE: $1,0^s$; 1,6 μ, 1,8 μ		
		F	18 30	
	KRA (SKM)	Δ=63 km		
		$eiPg_{EZ}$	03 17 32,5	
		e_N,ei_{EZ}	33,4	
		Pgm	33,8	
		Z: $0,8^s$; 0,028 μ		
		$eiSg_N$	40,5	
		ei_{EZ}	42,0	
		Lm	18 01	
		NEZ: $1,0^s$; 0,03 μ, 0,04 μ, 0,04 μ		
		F	30	
	RBN	Traces		
		NE	03 17 30-19 00	
15.IX		H=$06^h19^m32,4^s$; M=2,3 (Chorzów, Kraków); DGP (GIG): 06 19 37,9		
	CHZ	Δ=6 km		
		eiP_{NEZ}	06 19 34,0	
		i_N,ei_Z S	35,3	
		Lm	39	
		NZ: $1,0^s$; 5,0 μ, 2,8 μ		
		F	20 30	
	RBN	Δ=45 km		
		ePg_{NE}	06 19 40,1	
		e_N,ei_E Sg	46,3	
		Lm	58	
		E: $1,8^s$; 2,6 μ		
		F	21 30	

Date	Station	Phase	T.U. h m s	
15.IX	KRA (Ch)	Δ=78 km		
		ei_E,e_Z Pg	06 19 46,1	
		$eiSg_{NZ}$	56,0	
		Lm	20 27	
		EZ: $1,1^s$; 0,05 μ, 0,04 μ		
		F	21	
15.IX		H=$07^h40^m30,7^s$; M=2,3 (Chorzów)		
	CHZ	Δ=10 km		
		e_{NE},ei_Z P	07 40 33,2	
		iS_{NZ}	34,9	
		Lm	38	
		NZ: $1,1^s$; 3,4 μ, 1,7 μ		
		F	41 30	
	KRA (SKM)	Δ=84 km. Faible		
		$eiPg_{EZ}$	07 40 45,0	
		ei_N	54,2	
		$eiSg_{EZ}$	55,6	
		F	42	
	RBN	Traces		
		NE	07 40 30-42 00	
17.IX		H=$16^h27^m49,0^s$; M=2,2 (Chorzów); DGP (GIG): 16 27 52,8		
	CHZ	Δ=5 km		
		ei_{NE},i_Z P	16 27 50,1	D
		iS_{NZ}	51,2	
		Lm	53	
		NZ: $0,7^s$; 4,1 μ, 2,4 μ		
		F	29	
	KRA (SKM)	Δ=69 km. Faible		
		e_E,ei_Z Pg	16 28 01,3	
		Sg_{NEZ}	(10)	
		F	29	
	RBN	Traces		
		NE	16 28 - 29	
18.IX		H=$03^h01^m12,9^s$; M=3,0 (Chorzów, Kraków); DGP (GIG): 03 01 17,8		
	CHZ	Δ=12 km		
		iP_{NZ}	03 01 15,3	D
		iS_{NZ}	17,3	

International Seismological Centre

Date	Station	Phase	T.U. h m s	
18.IX (suite)	CHZ	Lm	03 01 22	
		NEZ: 1,0^{s}; 10,9 μ, 6,6 μ 7,0 μ		
		F	03	
	RBN	Δ=43 km		
		ePg$_{Z}$	03 01 21,2	
		ei$_{NZ}$, e$_{E}$	22,2	
		eiSg$_{NE}$	27,2	
		ei$_{Z}$	29,8	
		Lm	51	
		NE: 1,2^{s}; 3,2 μ, 2,8 μ		
		F	04	
	RAC			
		ei$_{Z}$	03 01 25,0	
		ei$_{E}$	26,2	
		ei$_{N}$	33,2	
		ei$_{E}$	34,4	
		F	04 30	
	KRA (Ch)	Δ=84 km		
		e$_{N}$, ei$_{EZ}$ Pg	03 01 27,6	D
		ei$_{EZ}$	36,5	
		ei$_{N}$	37,3	
		e$_{N}$, i$_{Z}$ Sg	38,3	
	(SKM)	Lm	02 05	
		NEZ: 1,2^{s}, 1,1^{s}, 1,3^{s}; 0,26 μ, 0,10 μ, 0,21 μ		
		F	03	
	KSP	Δ=198 km. NZ - inactives		
		eiPn$_{E}$	03 01 45,0	
		eiSn$_{E}$	02 08,6	
		F	03 30	
18.IX		H=12^{h}31^{m}45,7^{s}; M=2,6 (Chorzów); DGP (GIG): 12 31 52,0		
	CHZ	Δ=11 km		
		eiP$_{NEZ}$	12 31 48,3	D
		ei$_{NE}$, i$_{Z}$ S	50,2	
		Lm	53	
		NEZ: 1,0^{s}, 1,0^{s}, 1,2^{s}; 5,1 μ, 3,1 μ, 2,4 μ		
		F	33	
	KRA (SKM)	Δ=88 km. Faible		
		ei$_{E}$, e$_{Z}$ Pg	12 32 00,9	

Date	Station	Phase	T.U. h m s	
18.IX	KRA	i$_{N}$	12 32 10,2	
		ei$_{Z}$	12,3	
		F	33	
	KSP	Δ=190 km. Faible		
		eiPn$_{E}$	12 32 19,5	
		eiSn$_{NE}$	42,2	
		i$_{N}$, ei$_{Z}$	43,0	
		F	33	
	RBN	Traces		
		NE	12 32 - 33	
	RAC	Traces		
		EZ	12 32 - 33	
18.IX		H=22^{h}25^{m}30,2^{s}; M=2,3 (Chorzów), 2,2 (Kraków); DGP (GIG): 22 25 31,5		
	CHZ	Δ=13 km		
		e$_{NE}$, ei$_{Z}$ P	22 25 33,3	
		e$_{N}$, ei$_{E}$ S	35,5	
		Lm	42	
		NEZ: 0,9^{s}, 1,1^{s}, 1,1^{s}; 1,6 μ, 1,6 μ, 1,3 μ		
		F	26 30	
	KRA (Ch)	Δ=59 km		
		ePg$_{NZ}$	22 25 40,3	
		e$_{NE}$, ei$_{Z}$ Sg	47,8	
		Lm	26 15	
		Z: 1,0^{s}; 0,04 μ		
		F	30	
	KSP	Δ=216 km. Faible		
		ePn$_{NEZ}$	22 26 06,5	
		ei$_{NE}$, e$_{Z}$ Sn	32,0	
		F	27	
	RBN	Traces		
		NE	22 25 30-27 00	
20.IX		H=12^{h}05^{m}19,4^{s}; M=2,4 (Chorzów), 2,2 (Kraków); DGP (GIG): 12 05 23,1		
	CHZ	Δ=14 km		
		eiP$_{NEZ}$	12 05 22,5	D
		Lm	29	
		EZ: 1,2^{s}; 3,5 μ, 1,5 μ		
		F	06 30	

Date	Station	Phase	T.U. h m s	
20.IX (suite)	KRA (SKM)	Δ=63 km		
		eiPg$_{EZ}$	12 05 30,3	C
		ei$_{N}$	33,0	
		eiSg$_{NEZ}$	38,3	
		i$_{NEZ}$	39,3	
		Lm	06 05	
		E: 0,8^{s}; 0,04 μ		
		F	06	
		Lm		
		NZ: 1,0^{s}; 0,05 μ, 0,03 μ		
		F	07	
	KSP	Traces		
		ei$_{EZ}$	12 05 55,5	
		F	06 30	
	RBN	Traces		
		NE	12 05 30-07 00	
20.IX		H=22^{h}08^{m}42,5^{s}; M=2,5 (Kraków) DGP (GIG): 22 08 48,3		
	CHZ	Δ=3 km		
		eiP$_{NEZ}$	22 08 43,6	
		iS$_{NEZ}$	44,4	
		Lm	50	
		NEZ: 0,8^{s}, 1,0^{s}, 1,2^{s}; 3,4 μ, 5,6 μ, 3,1 μ		
		F	10	
	RBN	Δ=34 km		
		eP$_{EZ}$	22 08 48,4	
		ei$_{N}$	52,4	
		eiS$_{EZ}$	53,2	
		Lm	09 10	
		NE: 1,6^{s}, 1,3^{s}; 4,8 μ, 1,6 μ		
		F	11 30	
	RAC	Δ=58 km		
		ePg$_{E}$	22 08 52,5	
		e$_{N}$	53,5	
		e$_{Z}$	55,0	
		F	11 30	
	KRA (SKM)	Δ=77 km		
		ei$_{N}$, i$_{EZ}$ Pg	22 08 55,8	C
		Pgm	56,5	
		Z: 0,8^{s}; 0,051 μ	09 05,6	
		i$_{N}$, ei$_{Z}$ Sg	06,3	
		ei$_{Z}$		

Date	Station	Phase	T.U. h m s	
20.IX	KRA	Lm	22 09 34	
		N: 1,2^{s}; 0,08 μ		
		Lm	38	
		EZ: 1,2^{s}; 0,08 μ, 0,07 μ		
		F	10 30	
	KSP	Δ=202 km		
		ei$_{N}$, i$_{EZ}$ Pn	22 09 14,0	D
		eiSn$_{NEZ}$	38,0	
		F	10	
22.IX		H=11^{h}36^{m}39,5^{s}; M=2,5 (Chorzów, Kraków)		
	CHZ	Δ=9 km		
		i$_{NZ}$, ei$_{E}$ P	11 36 41,5	
		iS$_{N}$	43,1	
		Lm	46	
		NEZ: 1,0^{s}, 0,9^{s}, 1,2^{s}; 5,2 μ, 3,8 μ, 2,7 μ		
		F	38	
	RBN	Δ=43 km		
		eiPg$_{Z}$	11 36 47,6	
		eL$_{N}$	53	
		eL$_{E}$	55	
		F	39	
	KRA (SKM)	Δ=84 km		
		e$_{N}$, i$_{EZ}$ Pg	11 36 54,3	D
		Pgm	54,6	
		Z: 0,6^{s}; 0,046 μ	37 03,6	
		ei$_{N}$	05,0	
		i$_{N}$, ei$_{EZ}$ Sg	30	
		Lm		
		Z: 1,1^{s}; 0,06 μ	38 30	
		F		
	KSP	Δ=196 km	11 37 12,8	C
		eiPn$_{NEZ}$	36,2	
		ei$_{NZ}$, i$_{E}$ Sn	38	
		F		
	RAC	Traces		
		NEZ	11 36 30-38 30	
22.IX		H=17^{h}54^{m}44,9^{s}; M=2,6 (Kraków)		
	CHZ	Δ=2 km		
		iP$_{NEZ}$	17 54 45,6	C

International Seismological Centre

Date	Station	Phase	T.U. h m s	
22.IX (suite)	CHZ	Lm	17 54 50	
		NEZ: $0,9^s$, $1,0^s$, $1,1^s$; 6,0 μ, 6,8 μ, 3,7 μ		
		F	56	
	RBN	Δ=35 km		
		i_{NE}	17 54 55,0	
		iS_E	56,3	
		Lm	55 11	
		NE: $1,3^s$, $1,7^s$; 4,7 μ, 4,1 μ		
		F	58	
	RAC	Δ=61 km		
		ePg_Z	17 54 55,8	
		e_E	57,8	
		ei_E	55 05,5	
		F	57 30	
	KRA (Ch, SKM)	Δ=75 km		
		ei_N, i_{EZ} Pg	17 54 57,9	C
	(SKM)	Pgm	58,6	
		Z: $0,7^s$; 0,058 μ		
	(Ch, SKM)	i_N, ei_E Sg	55 07,2	
		iSg_Z	07,6	
	(SKM)	Lm	39	
		NEZ: $1,2^s$; 0,08 μ, 0,08 μ, 0,07 μ		
		Lm	55	
		Z: $1,6^s$; 0,11 μ		
		F	56 30	
	KSP	Δ=197 km		
		ei_{NE}, i_Z Pn	17 55 16,0	D
		i_N, ei_{EZ} Sn	39,5	
		F	56 30	
23.IX		H=$14^h07^m23,0^s$; M=2,5 (Chorzów, Kraków); DGP (GIG): 14 07 29,3		
	CHZ	Δ=5 km		
		e_N, ei_{EZ} P	14 07 24,3	
		ei_{NE}, i_Z S	25,4	
		Lm	30	
		NEZ: $1,0^s$; 8,0 μ, 7,3 μ, 4,9 μ		
		F	08 30	
	RBN	Δ=36 km		
		eiP_Z	14 07 30,7	

Date	Station	Phase	T.U. h m s	
23.IX	RBN	e_{NE}	14 07 31,5	
		eiS_{NE}	35,7	
		Lm	53	
		NEZ: $1,2^s$; 2,3 μ, 2,8 μ, 1,6 μ		
		F	10	
	KRA (Ch, SKM) (SKM)	Δ=81 km		
		ei_{NZ}, i_E Pg	14 07 37,3	
		Pgm	38,1	
		Z: $0,7^s$; 0,045 μ		
		iSg_{NEZ}	47,6	
		Lm	08 13	
		EZ: $1,0^s$; 0,06 μ, 0,06 μ		
		Lm	29	
		N: $1,0^s$; 0,06 μ		
		F	09	
	KSP	Δ=197 km		
		i_E, ei_{NZ} Pn	14 07 57,5	
		$eiSn_N$	08 20,5	
		$eiSn_{EZ}$	21,5	
		F	09	
	RAC	Traces		
		NEZ	14 07 30-10 00	
25.IX		H=$08^h21^m20,9^s$; M=2,3 (Chorzów, Kraków); DGP (GIG): 08 21 27,5		
	CHZ	Δ=10 km		
		ei_{NE}, i_Z P	08 21 23,4	C
		iS_{NEZ}	25,2	
		Lm	29	
		Z: $1,1^s$; 1,8 μ		
		F	22	
	RBN	Faible		
		ei_E	08 21 30,0	
		ei_{NE}	34,2	
		F	23	
	KRA (SKM)	Δ=88 km. Faible		
		$eiPg_{EZ}$	08 21 36,2	C
		i_Z	36,7	
		ei_E	43,9	
		i_N, ei_Z	45,7	
		Lm	22 19	
		Z: $1,1^s$; 0,04 μ		
		F	23	

Date	Station	Phase	T.U. h m s	
25.IX (suite)	KSP	Faible		
		ei_N, i_{EZ}	08 21 58,5	
		$eiSn_{NEZ}$	22 16,7	
		F	30	
26.IX		$\varphi = 50^o22'$; $\lambda = 18^o51'$; H=$13^h57^m57,5^s$; M=2,8 (Chorzów Kraków); DGP (GIG): 13 58 04,4		
	CHZ	Δ=14 km		
		e_{NE}, ei_Z P	13 58 00,4	
		ei_{NZ}, i_E S	02,7	
		Lm	07	
		EZ: $1,1^s$; 6,1 μ, 3,6 μ		
		Lm	14	
		N: $0,9^s$; 3,2 μ		
		F	59 30	
	RBN	Δ=39 km		
		eP_N	13 58 04,5	
		eiS_{NE}	09,7	
		Lm	42	
		NE: $1,2^s$; 3,9 μ, 1,8 μ		
		F	14 00 30	
	RAC	Δ=58 km		
		ei_E	13 58 10,0	
		i_N, ei_E Sg	15,0	
		ei_{NZ}, i_E	24,0	
		F	14 01	
	KRA (SKM)	Δ=87 km		
		$eiPg_{EZ}$	13 58 12,7	
		Pgm	14,0	
		Z: $0,6^s$; 0,039 μ		
		$eiSg_{NZ}$	23,7	
		i_{NEZ}	24,5	
		Lm	43	
		NZ: $1,2^s$, $1,5^s$; 0,10 μ, 0,20 μ		
		Lm	59 02	
		EZ: $1,2^s$; 0,10 μ, 0,12 μ		
		F	14 00	
	KSP	Δ=193 km		
		ei_{NZ}, i_E Pn	13 58 29,0	
		iSn_{NEZ}	52,4	
		F	59 30	

Date	Station	Phase	T.U. h m s	
27.IX		H=$05^h23^m08,7^s$; M=2,3 (Chorzów); DGP (GIG): 05 23 19,3		
	CHZ	Δ=9 km		
		eiP_{NEZ}	05 23 10,9	D
		iS_{NEZ}	12,5	
		Lm	15	
		NEZ: $1,0^s$; 2,5 μ, 2,0 μ, 1,4 μ		
		F	24	
	KRA (SKM)	Δ=84 km. Faible		
		ei_E, e_Z Pg	05 23 23,3	
		ei_{NE}	32,3	
		ei_Z	34,1	
		F	24 30	
	RBN	Faible		
		eL_E	05 23 33	
		eL_N	41	
		F	24 30	
27.IX		H=$11^h22^m22,2^s$; M=2,5 (Chorzów, Kraków); DGP (GIG): 11 22 28,1		
	CHZ	Δ=8 km		
		e_{NE}, ei_Z P	11 22 24,0	C
		iS_{NZ}	25,5	
		Lm	28	
		NZ: $0,9^s$, $1,1^s$; 8,1 μ, 3,5 μ		
		F	23 30	
	RBN		11 22 31,0	
		ei_{NE}	34,5	
		ei_N	36,1	
		ei_E	50	
		Lm		
		NE: $1,1^s$, $1,5^s$; 2,7 μ, 2,5 μ		
		F	24 30	
	KRA (SKM)	Δ=81 km		
		ei_E, i_Z Pg	11 22 36,5	D
		Pgm	37,0	
		Z: $0,7^s$; 0,025 μ		
		i_N, e_Z	45,5	
		$eiSg_{EZ}$	46,8	
		Lm	23 13	
		NZ: $1,5^s$; 0,07 μ, 0,07 μ		
		F	24	

International Seismological Centre

Date	Station	Phase	T.U. h m s
27.IX (suite)	KSP	Δ=194 km	
		i_E, ei_Z Pn	11 22 54,8
		e_{NZ}, ei_E Sn	23 18,0
		i_E, ei_Z	19,5
		F	24
	RAC	Traces	
		NEZ	11 22 30-24 00
27.IX		H=$18^h18^m58,2^s$; M=2,4 (Chorzów), 2,3 (Kraków);	
		DGP (GIG): 18 18 03,6	
	CHZ	Δ=8 km	
		e_N, ei_E, i_Z P	18 18 00,2 D
		iS_Z	01,7
		Lm	04
		Z: $1,1^s$; 2,9 μ	
		F	19
	RBN	Δ=38 km	
		eiS_Z	18 18 10,3
		i_N, ei_Z	13,3
		ei_E	17,1
		Lm	37
		N: $1,2^s$; 2,2 μ	
		F	19 30
	KRA (SKM)	Δ=77 km	
		Pg_{EZ}	18 18(11)
		ei_N, e_Z Sg	20,9
		ei_Z	23,5
		ei_E	25,8
		Lm	53
		NEZ: $1,0^s$; 0,03 μ, 0,03 μ	
		F	19 30
	KSP	Faible	
		ei_E	18 18 30,7
		ei_{NE}, e_Z Sn	53,5
		F	19 30
	RAC	Traces	
		NEZ	18 18 00 19 30
29.IX		φ =50°18,5′; λ =18°53,5′; H=$03^h40^m44,4^s$; M=2,1 (Chorzów)	
		DGP (GIG): 03 40 53,3	
	CHZ	Δ=8 km. N - inactive	
		e_E, ei_Z P	03 40 46,4
		eiS_{EZ}	47,9

Date	Station	Phase	T.U. h m s
29.IX	CHZ	Lm	03 40 52
		EZ: $1,0^s$; 1,8 μ, 1,4 μ	
		F	41 30
	RBN	Δ=37 km	
		e_N	03 40 54,6
		ei_N, e_E S	56,2
		Lm	41 12
		N: $1,6^s$; 1,3 μ	
		F	42
	KRA (SKM)	Δ=82 km. Faible	
		$eiPg_{EZ}$	03 40 56,6
		ei_N	41 07,8
		ei_N, e_Z Sg	09,0
		F	42
	NIE	Δ=146 km. E - inactive	
		$eiPg_Z$	03 41 09,0
		$eiSg_Z$	27,4
		F	42
	KSP	Δ=197 km	
		ei_N, i_{EZ} Pn	03 41 16,2
		ei_E	38,1
		i_N, e_Z	39,0
		F	42
29.IX		H=$23^h22^m52,7^s$; M=2,7 (Chorzów), 2,5 (Kraków);	
		DGP (GIG): 23 22 58,9	
	CHZ	Δ=11 km	
		ei_{NZ}, e_E P	23 22 55,4
		i_N, ei_E	56,8
		Lm	23 00
		NEZ: $1,0^s$; 4,9 μ, 5,5 μ, 3,5 μ	
		F	24
	RBN		
		e_{NE}, ei_Z	23 23 01,0
		ei_N	07,2
		ei_E, e_Z	07,8
		Lm	22
		NEZ: $1,6^s$, $1,2^s$, $1,2^s$; 2,5 μ, 2,2 μ, 1,1 μ	
		F	25
	KRA (SKM)	Δ=84 km	
		i_E, ei_Z Pg	23 23 07,3 D

Date	Station	Phase	T.U. h m s
			23 23 08,0
29.IX (suite)	KRA	Pgm	
		Z: $0,7^s$; 0,025 μ	
		i_{NE}, ei_Z Sg	18,0
		ei_N	22,0
		Lm	43
		EZ: $1,1^s$; 0,06 μ, 0,06 μ	
		F	24 30
	NIE	Δ=143 km. E - inactive	
		$eiPg_Z$	23 23 18,1
		Pgm	19,0
		Z: $0,8^s$; 0,034 μ	
		$eiSg_Z$	36,3
		i_Z	37,9
		F	25
	KSP	Δ=199 km	
		ei_{NZ}, i_E Pn	23 23 26,0
		ei_{NE}	48,5
		$eiSn_{EZ}$	49,5
		iSn_N	50,0
		F	24 30
	RAC	Traces	
		NEZ	23 23 - 25
30.IX		H=$00^h10^m51,9^s$; M=2,3 (Chorzów)	
	CHZ	Δ=8 km. Faible	
		eiP_{NEZ}	00 09 53,6
		iS_{NZ}	55,1

Date	Station	Phase	T.U. h m s
30.IX	CHZ	Lm	00 09 58
		Z: $1,0^s$; 2,2 μ	
		F	10 30
	RBN	Faible	
		ei_Z	00 09 59,8
		eL_{NZ}	10 06
		F	11 30
	KRA (SKM)	Δ=81 km. Faible	
		$eiPg_{EZ}$	00 10 06,1
		ei_N	15,0
		ei_{NEZ}	16,3
		F	11 30
	NIE	Δ=144 km. E - inactive	
		$eiPg_Z$	00 10 15,9
		Pgm	17,4
		Z: $0,8^s$; 0,033 μ	
		eSg_Z	34,2
		F	11 30
	KSP	Δ=198 km	
		ei_N, i_{EZ} Pn	00 10 24,2 D
		ei_{NE}, e_Z	47,0
		F	11
	RAC	Traces	
		NEZ	00 10 00-11 30

1973 — O C T O B R E — 1973

4.X		H=$07^h11^m00,5^s$; M=3,1 (Kraków), 2,8 (Chorzów);	
		DGP (GIG): 07 11 06,5	
	CHZ	Δ=14 km	
		e_E, i_Z P	07 11 03,7 C
		Lm	12
		EZ: $1,2^s$, $1,4^s$; 5,6 μ, 3,7 μ	
		F	12 30
	RBN		
		e_E	07 11 09,0
		e_N	12,3
		F	13 30

4.X	KRA (Ch)	Δ=85 km	
		ePg_Z	07 11 15,8
		e_Z	26,1
		$eiSg_{NZ}$	27,0
		Lm	12 04
		Z: $1,3^s$; 0,17 μ	
		F	30
	NIE	Δ=145 km	
		ePg_Z	07 11 26,3
		ei_Z	35,7
		F	13

International Seismological Centre

Date	Station	Phase	T.U. h m s
4.X (suite)	KSP	Δ=183 km	
		ePn_{NEZ}	07 11 30,8
		iPg_{NEZ}	31,5
		iSn_{NEZ}	53,5
		F	13
	RAC	Traces	
		NEZ	07 11 - 13
4.X		φ =50°18′; λ =18°51′; H=11h35m40,7s; M=2,5 (Chorzów); DGP: S_N 11 35 50,0	
	CHZ	Δ=10 km	
		iP_{EZ}	11 35 43,1
		iS_{NZ}	44,9
		Lm	49
		Z: 1,1s; 2,4 μ	
		Lm	50
		E: 1,0s; 4,4 μ	
		F	36 30
	KRA (Ch)	Δ=82 km	
		ePg_Z	11 35 55,5
		eSg_Z	36 06,2
		F	37
	NIE	Δ=143 km	
		ePg_Z	11 36 06,3
		e_Z	26,2
		F	37 30
	KSP	Δ=189 km	
		iPn_Z	11 36 13,0
		$ei Sn_Z$	36,5
		F	37
	RBN	Traces	
		NE	11 35 30-37 30
4.X		H=21h58m22,6s; M=2,5 (Chorzów); DGP (GIG): 21 58 28,0	
	CHZ	Δ=9 km	
		iP_{NEZ}	21 58 24,9 C
		iS_{NEZ}	26,5
		Lm	29
		NEZ: 1,1s,1,1s,1,4s; 5,2 μ, 4,1 μ, 3,8 μ	
		F	59 30

Date	Station	Phase	T.U. h m s
4.X	KRA (SKM)	Δ=74 km	
		ePg_{EZ}	21 58 36,3
		ei_N	46,1
		e_E, ei_Z Sg	46,8
		F	22 00
	NIE	Δ=139 km	
		$ei Pg_Z$	21 58 47,3
		Pgm	48,7
		Z: 0,9s; 0,028 μ	
		ei_Z	59 07,5
		F	22 00
	KSP	Δ=202 km	
		iPn_{NEZ}	21 58 55,5
		iSn_{NEZ}	59 19,5
		F	22 00
	RBN	Traces	
		NE	21 58 30-22 00 30
	RAC	Traces	
		NEZ	21 58 30-22 00 30
7.X		φ =50°15′; λ =18°55′; H=02h48m05,5s; M=2,6 (Chorzów); DGP: P_{NEZ} 02 48 10,3	
	CHZ	Δ=7 km	
		ei_N, i_{EZ} P	02 48 07,4 C
		i_N	08,1
		Lm	11
		NZ: 1,2s,1,3s; 5,2 μ, 4,5 μ	
		F	49
	RBN	Δ=32 km	
		e_E, ei_Z	02 48 13,3
		e_N	15,1
		Lm	34
		E: 1,5s; 2,8 μ	
		F	50 30
	KRA (SKM)	Δ=77 km	
		e_N, ei_{EZ} Pg	02 48 19,2 C
		ei_N, e_Z Sg	29,3
		ei_E	29,9
		F	50
	NIE	Δ=137 km	
		ePg_Z	02 48 29,5

Date	Station	Phase	T.U. h m s
	NIE	Pgm	02 48 31,0
7.X (suite)		Z: 0,9s; 0,029 μ	
		i_Z	50,4
		F	50
	KSP	Δ=195 km	
		e_N, i_{EZ} Pn	02 48 37,5
		ei_{NEZ}	49 01,5
		F	30
	RAC	Traces	
		NEZ	02 48 00-50 30
8.X		H=01h15m19,5s; M=3,1 (Kraków), 2,7 (Chorzów); DGP (GIG): 01 15 23,3	
	CHZ	Δ=8 km	
		iP_{NZ}	01 15 21,5 C
		iS_{NZ}	23,0
		Lm	28
		Z: 1,3s; 6,3 μ	
		Lm	29
		N: 1,1s; 9,2 μ	
		F	17
	RBN		
		e_Z	01 15 27,2
		e_{NE}	28,1
		Lm	57
		EZ: 1,5s,1,7s; 3,8 μ, 4,8 μ	
		F	18 30
	KRA (SKM)	Δ=79 km	
		e_N, ei_{EZ} Pg	01 15 33,9 D
		e_{EZ}	42,9
		i_N	43,2
		Lm	16 04
		E: 1,2s; 0,19 μ	
		Lm	10
		NZ: 1,3s,1,2s; 0,35 μ, 0,24 μ	
		F	17 30
	NIE	Δ=143 km	
		ePg_Z	01 15 44,8
		Pgm	46,1
		Z: 1,0s; 0,047 μ	
		$ei Sg_Z$	16 04,8
		F	17 30

Date	Station	Phase	T.U. h m s
8.X	KSP	Δ=192 km	
		$ei Pn_{NEZ}$	01 15 51,0
		ei_{NEZ}	16 15,0
		F	17
	RAC	Traces	
		NEZ	01 15 30-18 30
8.X		H=13h56m27,7s; M=2,1 (Chorzów)	
	CHZ	Δ=5 km	
		iP_{NZ}	13 56 29,3 C
		$ei S_Z$	30,6
		Lm	34
		NZ: 1,0s,1,1s; 2,7 μ, 2,4 μ	
		F	57
	RBN	Z - inactive	
		e_E	13 56 35,4
		e_N	37,5
		F	57 30
	KRA (SKM)	Δ=77 km	
		i_N, ei_Z Pg	13 56 41,6
		e_N	49,9
		eSg_{EZ}	51,6
		F	58
	NIE	Δ=139 km	
		ePg_Z	13 56 52,3
		ei_Z	57 12,2
		F	58
	KSP	Δ=198 km	
		$ei Pn_N$	13 57 00,0
		$ei Sn_{NZ}$	24,0
		F	30
9.X		H=00h50m53,2s; M=2,0 (Chorzów); DGP (GIG): 00 50 58,1	
	CHZ	Δ=6 km	
		e_{NE}, i_Z P	00 50 54,9 C
		iS_N	56,3
		Lm	51 00
		Z: 1,1s; 1,8 μ	
		F	30
	KRA (SKM)	Δ=77 km	
		$ei Pg_{EZ}$	00 51 07,1

International Seismological Centre

Date	Station	Phase	T.U. h m s
9.X (suite)	KRA	e_{NZ}	00 51 16,1
		eSg_E	17,1
		F	52 30
	NIE	Δ=135 km	
		ePg_Z	00 51 17,2
		e_Z	35,2
		F	52 30
	KSP	Δ=201 km	
		$ei Pn_{NE}$	00 51 26,0
		ei_{NEZ}	59,0
		F	52 30
	RBN	Traces	
		NE	00 51 00-52 30
9.X		H=$18^h10^m15,5^s$; M=2,0 (Chorzów)	
		DGP (GIG): 18 10 24,0	
	CHZ	Δ=7 km	
		ei_N, e_Z P	18 10 17,5
		iS_N	18,9
		Lm	22
		NZ: $1,1^s, 1,2^s$; 2,5 μ, 1,6 μ	
		F	11
	KRA (Ch)	Δ=78 km. Faible	
		ePg_Z	18 10 29,7
		eSg_Z	40,2
		F	11 30
	NIE	Δ=140 km	
		ePg_Z	18 10 40,4
		F	11 30
	KSP	Traces	
		ei_{NE}	18 11 13,0
		F	30
	RBN	Traces	
		NE	18 10 30-12 00
13.X		φ =50°19′; λ =19°12′;	
		H=$01^h07^m15,9^s$; M=2,6 (Chorzów)	
		DGP: P_{NZ} 01 07 16,9	
	CHZ	Δ=15 km	
		i_{NE}, ei_Z P	01 07 19,3
		i_{EZ}	22,6

Date	Station	Phase	T.U. h m s
13.X	CHZ	Lm	
		E: $1,1^s$; 2,9 μ	01 07 27
		Lm	
		Z: $1,1^s$; 2,0 μ	28
		F	08 30
	KRA (SKM)	Δ=60 km	
		e_{NE}, ei_Z Pg	01 07 26,7
		eSg_N	34,6
		i_E	35,7
		F	08 30
	NIE	Δ=128 km	
		ePg_Z	01 07 38,7
		e_Z	56,4
		F	09
	RBN	Traces	
		NE	01 07 30-09 00
13.X		H=$06^h55^m04,2^s$; M=3,0 (Kraków)	
		DGP (GIG): 06 55 09,8	
	CHZ		
		P_{NZ}	06 55(05)
		i_{NZ}	09,0
		Lm	15
		Z: $1,4^s$; 1,9 μ	
		Lm	18
		N: $1,0^s$; 2,5 μ	
		F	56
	KRA (Ch)	Δ=83 km	
		ePg_Z	06 55 19,2
		eSg_Z	30,2
		Lm	56 07
		Z: $1,2^s$; 0,14 μ	
		F	30
	NIE	Δ=144 km	
		$eiPg_Z$	06 55 29,8
		ei_Z	50,9
		F	57
	KSP	Δ=187 km	
		$eiPn_{EZ}$	06 55 35,0
		$eiSn_{EZ}$	58,0
		F	57
	RBN	Traces	
		NE	06 55 - 57

Date	Station	Phase	T.U. h m s
		DGP (GIG): 17 53 53,2	
13.X	CHZ		
		iP_{NEZ}	17 53 53,7 C
		i_Z	56,1
		Lm	54 00
		N: $1,0^s$; 4,9 μ	
		Lm	01
		Z: $1,2^s$; 3,9 μ	
		Lm	02
		N: $1,0^s$; 5,0 μ	
		F	55
	KRA (Ch)	ePg_Z	17 54 02,6
		i_E, e_Z	11,3
		Lm	42
		Z: $1,1^s$; 0,12 μ	
		F	55
	NIE		
		$eiPg_Z$	17 54 13,8
		$eiSg_Z$	31,9
		F	55 30
	KSP		
		$eiPn_{EZ}$	17 54 25,5
		$eiSn_{EZ}$	51,0
		F	55 30
	RBN	Traces	
		NE	17 54 - 56
13.X		DGP (GIG): 18 32 23,2	
	CHZ		
		iP_{NEZ}	18 32 20,2
		i_Z	21,9
		Lm	24
		NZ: $1,0^s, 1,3^s$; 6,0 μ, 4,7 μ	
		Lm	25
		E: $1,1^s$; 5,7 μ	
		F	33 30
	RBN		
		eL_N	18 32 33
		Lm	47
		Z: $1,5^s$; 2,8 μ	
		Lm	54
		N: $1,3^s$; 3,8 μ	
		F	34 30

Date	Station	Phase	T.U. h m s
13.X	KRA (Ch)	ePg_Z	18 32 33,2
		e_N	42,1
		ei_Z	44,7
		F	34
	NIE		
		ePg_Z	18 32 43,5
		ei_Z	33 14,3
		F	30
	KSP		
		$ei Pn_{EZ}$	18 32 50,5
		$eiSn_{EZ}$	33 14,0
		F	30
	RAC	Traces	
		NEZ	18 32 30-34 30
16.X		H=$12^h09^m24,5^s$; M=2,1 (Chorzów)	
	CHZ	Δ=6 km	
		$ei P_{EZ}$	12 09 26,2
		i_N	27,9
		Lm	32
		Z: $1,2^s$; 2,5 μ	
		F	10
	KRA (SKM)	Δ=78 km	
		$ei Pg_{EZ}$	12 09 38,6 C
		i_N, ei_Z Sg	48,8
		F	11
	NIE	Δ=137 km	
		ePg_Z	12 09 48,8
		F	11
	KSP	Δ=188 km	
		iPn_{NEZ}	12 09 55,5
		ei_{NEZ}	10 19,0
		F	30
	RBN	Traces	
		NE	12 09 30-11 00
19.X		H=$05^h18^m21,7^s$; M=2,5 (Chorzów); DGP (GIG): 05 18 28,2	
	CHZ	Δ=8 km	
		iP_Z	05 18 23,8 D
		iS_Z	25,3

International Seismological Centre

Date	Station	Phase	T.U. h m s	
19.X (suite)	CHZ	Lm	05 18 28	
		Z: $1,3^s$; 3,9 μ		
		F	19	
	KRA (SKM)	Δ=78 km		
		ei_E, e_Z Pg	05 18 35,8	
		e_E, ei_Z Sg	46,4	
		F	20	
	NIE	Δ=139 km		
		$eiPg_Z$	05 18 46,3	
		e_Z	19 02,8	
		F	20	
	KSP	Δ=198 km		
		$eiPn_{NEZ}$	05 18 54,0	
		$eiSn_{NEZ}$	19 18,0	
		F	20	
	RAC	Traces		
		EZ	05 18 30-20 30	
20.X		DGP (GIG) : 01 13 31,4		
	CHZ			
		iP_{NZ}	01 13 27,7	C
		Lm	32	
		NZ: $1,1^s, 1,2^s$; 11,1 μ, 7,3 μ		
		F	14 30	
	RBN			
		e_E	01 13 34,5	
		F	14 30	
	RAC			
		e_Z	01 13 37,7	
		e_E	40,5	
		F	16	
	KRA (SKM)	$eiPg_{EZ}$	01 13 39,3	C
		Pgm	40	
		Z: $0,9^s$; 0,10 μ		
		i_N, e_Z	49,2	
		i_{EZ}	49,9	
		F	15	
	NIE			
		$eiPg_Z$	01 13 49,7	C
		Pgm	51	
		Z: $1,0^s$; 0,039 μ		

Date	Station	Phase	T.U. h m s	
20.X	NIE	ei_Z		
		F	01 14 08,2	
			15 30	
	KSP			
		iPn_{NEZ}	01 13 58,0	
		iSn_{NEZ}	14 22,0	
		F	16	
20.X		DGP (GIG) : 12 05 29,3		
	CHZ			
		iP_{NZ}	12 05 25,3	C
		Lm	29	
		Z: $1,1^s$; 5,3 μ		
		F	06	
	KRA (SKM)	e_{NE}, ei_Z Pg	12 05 37,2	D
		i_N, e_{EZ}	46,2	
		F	07	
	NIE			
		iPg_Z	12 05 48,0	D
		Pgm	49	
		Z: $0,9^s$; 0,031 μ		
		ei_Z	06 05,9	
		ei_Z	09,7	
		F	07	
	KSP			
		iPn_{NEZ}	12 05 55,0	
		iSn_{NEZ}	06 18,0	
		F	07	
	RAC	Traces		
		NEZ	12 05 30-07 30	
21.X		DGP (GIG) : 06 55 13,2		
	CHZ			
		iP_{NEZ}	06 55 08,0	C
		i_E	09,3	
		Lm	12	
		N: $1,1^s$; 4,1 μ		
		Lm	13	
		EZ: $1,1^s, 1,4^s$; 3,2 μ, 2,0 μ		
		F	56	
	KRA (Ch)	e_Z	06 55 21,9	
		e_Z	33,0	
		F	56 30	

Date	Station	Phase	T.U. h m s	
21.X (suite)	NIE	$eiPg_Z$	06 55 31,8	
		e_Z	51,4	
		F	56 30	
	KSP			
		$eiPn_{NEZ}$	06 55 40,0	
		$eiSn_{NEZ}$	56 04,0	
		F	57	
21.X		DGP (GIG) : 07 05 52,0		
	CHZ			
		iP_{NEZ}	07 05 50,4	C
		i_Z	51,6	
		Lm	54	
		NZ: $1,0^s$; 5,9 μ, 3,1 μ		
		Lm	56	
		E: $0,8^s$; 3,0 μ		
		F	06 30	
	KRA (SKM)	Faible		
		$e(Pg)_E$	07 06 04,3	
		e_Z	05,0	
		e_E, ei_Z	14,3	
		F	07	
	NIE			
		$eiPg_Z$	07 06 14,7	
		F	07 30	
	KSP			
		ei_{NEZ}	07 06 48,0	
		F	07 30	
22.X		H=$09^h49^m45,0^s$; M=3,0 (Kraków)		
	KRA (SKM)	Δ=86 km		
		e_N, i_{EZ} Pg	09 50 00,6	
		ei_Z	11,6	
		iSg_{NE}	12,0	
		Lm	42	
		N: $1,5^s$; 0,25 μ		
		Lm	49	
		EZ: $1,3^s$; 0,14 μ, 0,20 μ		
		F	51 30	
	NIE	Δ=144 km		
		ePg_Z	09 50 10,5	
		Pgm	11,4	
		Z: $1,0^s$; 0,022 μ		

Date	Station	Phase	T.U. h m s	
22.X	NIE	$eiSg_Z$	09 50 29,3	
		F	51 30	
	KSP	Δ=185 km		
		iPn_{NEZ}	09 50 15,5	
		$eiSn_{NEZ}$	37,5	
		F	51 30	
	RAC	Traces		
		NEZ	09 50 00-52 30	
22.X		DGP (GIG) : 16 44 20,1		
	CHZ			
		eP_Z	16 44 14,8	C
		ei_N, i_E	15,3	
		i_{NZ}	16,4	
		Lm	20	
		EZ: $1,2^s, 1,1^s$; 3,3 μ, 1,7 μ		
		F	45	
	KRA (SKM)	$eiPg_{EZ}$	16 44 27,9	
		e_E	37,9	
		i_N	38,5	
		F	45 30	
	NIE			
		ePg_Z	16 44 37,4	
		F	45 30	
	KSP			
		$eiPn_{NEZ}$	16 44 45,0	
		$eiSn_{NEZ}$	45 09,0	
		F	30	
22.X		DGP (GIG) : 20 15 49,7		
	CHZ			
		e_N, ei_{EZ} P	20 15 40,2	
		i_{NZ}	41,7	
		Lm	46	
		EZ: $1,1^s, 1,2^s$; 2,7 μ, 1,6 μ		
		F	16 30	
	KRA (SKM)	ePg_{EZ}	20 15 53,2	
		ei_N	16 02,5	
		e_Z	02,8	
		F	17	

International Seismological Centre

Date	Station	Phase	T.U. h m s	
22.X (suite)	NIE			
		ePg_Z	20 16 02,6	
		e_Z	22,1	
		F	17	
27.X		H=$11^h32^m57,0^s$; DGP (GIG) : 11 33 02,8		
	RAC	Δ=54 km		
		ePg_{NZ}	11 33 07,0	
		e_E	10,0	
		F	35 30	
	KRA (SKM)	Δ=75 km		
		e_E, ei_Z Pg	11 33 10,7	
		eSg_{NEZ}	20,7	
		F	34	
	NIE	Δ=136 km		
		ePg_Z	11 33 21,2	
		Pgm	22,6	
		Z: $1,0^s$; 0,019 μ		
		i_Z	41,3	
		F	34 30	
	KSP	Δ=196 km		
		$eiPn_{NEZ}$	11 33 29,0	
		ei_{NEZ}	53,0	
		F	34 30	
31.X		H=$11^h19^m43,5^s$; M=2,7 (Kraków) 2,5 (Chorzów) ; DGP (GIG) : 11 19(47)		
	CHZ	Δ=5 km		
		iP_{NEZ}	11 19 45,0	C
		Lm	48	
		Z: $1,0^s$; 5,7 μ		
		F	21	
	KRA (SKM)	Δ=71 km		
		i_E, ei_Z Pg	11 19 56,4	
		ei_N, e_{EZ} Sg	20 06,0	
		i_Z	06,8	
		Lm	37	
		$1,0^s$; 0,09 μ		
		F	21	

Date	Station	Phase	T.U. h m s	
31.X	NIE	Δ=136 km		
		$eiPg_Z$	11 20 07,6	
		Pgm	08,8	
		Z: $0,8^s$; 0,041 μ		
		e_Z	26,2	
		F	21 30	
	KSP	Δ=206 km		
		$eiPn_{NEZ}$	11 20 17,0	
		ei_{NEZ}	42,0	
		F	21 30	
	RAC	Traces		
		NEZ	11 20 - 22	
31.X		DGP (GIG) : 21 34 27,4		
	CHZ	Faible		
		e_E, ei_Z P	21 34 23,7	
		Lm	29	
		Z: $1,2^s$; 1,8 μ		
		Lm	30	
		E: $1,2^s$; 2,9 μ		
		F	35	
	KRA (SKM)	ePg_{EZ}	21 34 35,7	
		e_N	46,4	
		F	36	
	NIE	ePg_Z	21 34 46,5	
		F	35 30	
	KSP	iPn_{NEZ}	21 34 53,0	
		$eiSn_{NEZ}$	35 17,0	
		F	30	

International Seismological Centre

Date	Station	Phase	T.U. h m s	
1973		DGP (GIG) : 03 22 09,0		
1.XI	CHZ		03 22 04,9	
		iP_Z	09	
		Lm	23	
		Z: $1,2^s$; 2,5 μ		
		F		
	KRA (SKM)	$eiPg_{EZ}$	03 22 16,4	
		ei_N	25,3	
		ei_E, e_Z	26,7	
		F	23 30	
	NIE	$eiPg_Z$	03 22 27,6	
		e_Z	44,3	
		F	23 30	
	KSP	iPn_{NEZ}	03 22 36,0	
		F	23 30	
	RAC	Traces		
		NEZ	03 22 - 24	
2.XI		H=$16^h10^m47,0^s$; M=1,8 (Chorzów; DGP (GIG) : 16 10 52,4		
	CHZ	Δ=4 km		
		ei_{NZ}, i_E P	16 10 48,3	
		i_Z	49,9	
		Lm	52	
		NZ: $1,1^s, 1,2^s$; 3,3 μ, 2,1 μ		
		F	11 30	
	KRA (SKM)	Δ=76 km		
		ei_E, e_Z Pg	16 11 00,8	
		eSg_{EZ}	10,9	
		F	12	
	NIE	Δ=136 km		
		ePg_Z	16 11 11,1	
		ei_Z	31,0	
		F	12	
	KSP	Δ=192 km		
		$eiPn_{NEZ}$	16 11 18,5	
		ei_{NEZ}	43,0	
		F	12 30	

Date	Station	Phase	T.U. h m s	
3.XI		φ =50°18′; λ =18°53′; H=$10^h32^m29,6^s$; M=2,9 (Kraków), 2,3 (Chorzów) ; DGP (GIG) : 10 32 34,3		
	CHZ	Δ=8 km		
		ePn_{NEZ}	10 32 31,7	C
		Lm	40	
		Z: $1,2^s$; 2,7 μ		
		F	33 30	
	RAC	Δ=54 km		
		ePg_Z	10 32 39,5	
		e_E	47,7	
		F	35	
	KRA (SKM)	Δ=79 km		
		$eiPg_{EZ}$	10 32 44,3	
		e_{NZ}	54,2	
		e_E, ei_Z Sg	54,9	
		Lm	33 31	
		EZ: $1,3^s$; 0,14 μ, 0,15 μ		
		F	34	
	NIE	Δ=141 km		
		ePg_Z	10 32 54,4	
		Pgm	55,8	
		Z: $0,9^s$; 0,066 μ		
		i_Z	33 14,9	
		F	34 30	
	KSP	Δ=191 km		
		$eiPn_{NEZ}$	10 32 59,5	
		$eiSn_{NEZ}$	33 22,0	
		F	34 30	
3.XI		DGP (GIG) : 10 36 55,6		
	CHZ			
		e_{NE}, i_Z P	10 36 57,9	D
		i_E, ei_Z	37 00,6	
		F	38	
	KRA (SKM)	ePg_{EZ}	10 37 04,9	
		ei_Z	13,7	
		i_E	14,0	
		F	38	

Date	Station	Phase	T.U. h m s	
3.XI (suite)	NIE			
		$eiPg_Z$	10 37 17,2	
		Pgm	17,9	
		Z: 0,8^s; 0,038 μ		
		e_Z	39,8	
		F	38 30	
	KSP	Traces		
		ei_{NEZ}	10 37 30,0	
		F	38 30	
6.XI		DGP (GIG): 18 06 46,2		
	CHZ			
		iP_{NZ}	18 06 45,3	C
		i_Z	47,5	
		Lm	52	
		Z: 1,0^s; 3,2 μ		
		F	08	
	KRA (SKM)			
		ePg_{EZ}	18 06 54,4	
		i_{EZ}	07 03,4	
		F	08	
	NIE			
		ePg_Z	18 07 05,5	
		F	08 30	
	KSP			
		$eiPn_{NEZ}$	18 07 18,0	
		$eiSn_{NEZ}$	43,0	
		F	08 30	
	RAC	Traces		
		NEZ	18 07 - 09	
8.XI		H=01^{h}15^{m}57,5^s; M=3,0 (Chorzów)		
		DGP (GIG): 01 16 03,9		
	CHZ	Δ=13 km		
		e_{NE},ei_Z P	01 16 00,5	D
		i_N,ei_Z S	02,7	
		Lm	09	
		EZ: 1,5^s,1,4^s; 10,8 μ,		
			6,7 μ	
		Lm	14	
		N: 1,2^s; 5,1 μ		
		F	18	

Date	Station	Phase	T.U. h m s	
8.XI	RAC	Δ=49 km		
		ei_N,e_E Sg	01 16 12,9	
		F	19 30	
	KRA (Ch)	Δ=86 km		
		ePg_Z	01 16 13,0	
		ei_N,e_Z	23,4	
		Lm	54	
		NZ: 1,4^s,1,5^s; 0,32 μ,		
			0,41 μ	
		F	18	
	KSP	Δ=185 km		
		ePn_{NEZ}	01 16 28,0	
		iPg_{NEZ}	29,5	
		$eiSg_{NEZ}$	51,5	
		F	18 30	
	RBN	Traces		
		NE	01 15 30-16 30	
10.XI		DGP (GIG): 12 49 04,8		
	CHZ			
		iP_{NEZ}	12 49 01,3	D
		F	50	
	KRA (SKM)			
		e_Z	12 49 13,5	
		i_N,ei_E Sg	23,1	
		Lm	44	
		Z: 1,4^s; 0,12 μ		
		F	50 30	
	KSP			
		$eiPn_{NEZ}$	12 49 31,0	
		$eiSn_{NEZ}$	54,0	
		F	51	
	RAC	Traces		
		NEZ	12 49 30-51 30	
12.XI		H=02^{h}22^{m}06,6^s; M=2,6 (Chorzów), 2,5 (Kraków);		
		DGP (GIG): 02 22 08,8		
	CHZ	Δ=12 km		
		iP_{NEZ}	02 22 09,3	C
		eiS_Z	11,1	
		Lm	16	
		Z: 1,1^s; 2,6 μ		

Date	Station	Phase	T.U. h m s	
12.XI (suite)	CHZ	Lm	02 22 19	
		N: 0,9^s; 3,1 μ		
		F	23 30	
	KRA (SKM)	Δ=57 km		
		ePg_{EZ}	02 22 17,1	
		i_N,ei_{EZ}	25,5	
		i_{EZ}	26,0	
		Lm	45	
		Z: 1,0^s; 0,07 μ		
		F	23 30	
	NIE	Δ=127 km		
		$eiPg_Z$	02 22 29,2	
		ei_Z	44,8	
		e_Z	45,5	
		F	24	
	KSP	Δ=208 km		
		$eiPg_{NEZ}$	02 22 42,0	
		ei_{NEZ}	23 07,5	
		F	24	
	RAC	Traces		
		NEZ	02 22 30-24 30	
12.XI		DGP (GIG): 19^{h}36^{m}46,3^s		
	CHZ			
		iP_{NEZ}	19 36 43,7	C
		Lm	50	
		Z: 1,6^s; 6,0 μ		
		Lm	53	
		N: 1,0^s; 8,5 μ		
		F	38	
	RAC			
		e_Z	19 36 52,8	
		e_N	54,2	
		F	39 30	
	KRA (SKM)			
		iPg_{EZ}	19 36 56,2	
		e_N,ei_{EZ}	37 05,6	
		ei_Z	07,4	
		Lm	28	
		Z: 1,3^s; 0,14 μ		
		F	38 30	
	NIE			
		$eiPg_Z$	19 37 06,8	C

Date	Station	Phase	T.U. h m s	
12.XI	NIE	Pgm	19 37 07,9	
		Z: 1,0^s; 0,039 μ		
		eSg_Z	23,5	
		F	39	
	KSP			
		ePn_{NEZ}	19 37 13,5	
		iPg_{NEZ}	14,5	
		$eiSn_{NEZ}$	35,5	
		F	39	
16.XI		H=21^{h}25^{m}41,3^s; M=2,2 (Chorzów)		
	CHZ	Δ=5 km		
		e_{NE},i_Z P	21 25 42,9	D
		iS_Z	44,3	
		Lm	47	
		NZ: 1,0^s,1,4^s; 6,2 μ,		
			4,1 μ	
		F	26 30	
	KRA (SKM)	Δ=78 km		
		$eiPg_{EZ}$	21 25 55,5	D
		ei_N	26 04,0	
		ei_E,e_Z Sg	05,6	
		F	27	
	NIE	Δ=138 km		
		ePg_Z	21 26 05,8	
		e_Z	22,8	
		F	27 30	
	KSP	Δ=194 km		
		$eiPn_{NEZ}$	21 26 13,0	
		$eiSn_{NEZ}$	36,5	
		F	27 30	
	RAC	Traces		
		NEZ	21 26 00-27 30	
17.XI		DGP (GIG): 20 53 12,5		
	CHZ			
		iP_{NZ}	20 53 09,8	
		i_Z	11,7	
		Lm	14	
		Z: 1,1^s; 2,8 μ		
		F	54	
	KRA (SKM)	ePg_{EZ}	20 53 20,7	

International Seismological Centre

Date	Station	Phase	T.U. h m s	
17.XI (suite)	KRA	ei_N, e_Z	20 53 29,4	
		ei_{EZ}	30,3	
		F	54 30	
	NIE	Faible		
		ePg_Z	20 53 31,8	
		e_Z	52,5	
		F	55	
	KSP			
		$eiPn_{NEZ}$	20 53 42,0	
		$eiSn_{NEZ}$	54 05,0	
		F	30	
	RAC	Traces		
		NZ	20 53 00-54 30	
17.XI		DGP (GIG): 21 30 24,5		
	CHZ			
		ei_N, i_{EZ} P	21 30 20,6	C
		Lm	25	
		NZ: $1,0^s$, $1,4^s$; 4,7 μ, 3,6 μ		
		F	31	
	RAC			
		e_Z	21 30 29,3	
		F	32 30	
	KRA (SKM)	$ei Pg_{EZ}$	21 30 33,3	C
		e_N	41,6	
		e_Z	42,6	
		ei_{EZ}	44,4	
		F	32	
	NIE			
		ePg_Z	21 30 44,0	
		eSg_Z	31 02,2	
		F	32	
	KSP			
		$eiPn_{NEZ}$	21 30 51,0	
		$eiSn_{NEZ}$	31 14,5	
		F	32	
18.XI		H=$04^h17^m22,0^s$; M=2,6 (Chorzów); DGP (GIG): 04 17 27,8		

Date	Station	Phase	T.U. h m s	
18.XI	CHZ	Δ=7 km		
		iP_{NEZ}	04 17 24,0	C
		iS_Z	25,6	
		Lm	28	
		Z: $1,3^s$; 6,9 μ		
		Lm	29	
		N: $1,1^s$; 10,0 μ		
		F	18 30	
	RAC			
		e_Z	04 17 33,4	
		e_E	36,4	
		F	20	
	KRA (Ch)	Δ=76 km		
		ePg_Z	04 17 35,7	
		eSg_Z	45,7	
		ei_Z	46,1	
		F	19	
	NIE	Δ=138 km		
		ePg_Z	04 17 46,5	
		Pgm	48	
		Z: $1,0^s$; 0,028 μ		
		eSg_Z	18 04,9	
		F	19 30	
	KSP	Δ=196 km		
		iPn_{NEZ}	04 17 54,0	
		iSn_{NEZ}	18 18,0	
		F	19	
26.XI		H=$19^h02^m57,6^s$; M=2,7 (Chorzów); DGP (GIG): 19 02 05,2		
	CHZ	Δ=13 km		
		e_E, ei_Z P	19 02 00,5	
		eiS_Z	02,6	
		Lm	08	
		Z: $1,4^s$; 3,5 μ		
		Lm	09	
		E: $1,1^s$; 5,1 μ		
		F	03	
	RBN			
		e_E	19 02 05,9	
		e_N	09,6	
		F	03 30	

Date	Station	Phase	T.U. h m s	
26.XI (suite)	RAC		19 02 09,1	
		e_Z	16,6	
		e_{EZ}	17,8	
		e_E	04 30	
		F		
	NIE	Δ=151 km		
		$eiPg_Z$	19 02 24,4	
		e_Z	41,2	
		F	04	
	KSP	Δ=184 km		
		ePn_{NEZ}	19 02 28,0	
		ei_{NEZ}	51,0	
		F	04	
28.XI		φ =50°17′; λ =18°55′; H=$18^h17^m55,1^s$; M=2,7 (Chorzów)		
		DGP: S_{EZ} 18 18 02,0		
	CHZ	Δ=6 km		
		iP_{NZ}	18 17 56,8	D
		Lm	18 00	
		Z: $0,9^s$; 6,2 μ		
		F	19	
	KRA (SKM)	Δ=76 km		
		$eiPg_{EZ}$	18 18 08,8	D
		i_N	17,5	
		$eiSg_{EZ}$	18,8	
		F	19 30	
	NIE	Δ=139 km		
		iPg_Z	18 18 19,8	D
		e_Z	39,3	
		F	19 30	
	KSP	Δ=194 km		
		ei_{NEZ}	18 18 28,5	
		ei_{NEZ}	50,5	
		F	20	
	RAC	Traces		
		NEZ	18 18 - 20	
28.XI		DGP (GIG): 19 44 18,7		
	CHZ			
		iP_{NEZ}	19 44 11,4	
		Lm	17	
		Z: $1,2^s$; 3,3 μ		

Date	Station	Phase	T.U. h m s	
28.XI	CHZ	Lm	19 44 18	
		E: $1,0^s$; 5,7 μ		
		F	45	
	KRA (SKM)			
		ei_E, e_Z, Pg	19 44 23,7	
		e_N	24,1	
		e_N, ei_Z	33,6	
		F	47	
	NIE			
		$eiPg_Z$	19 44 34,4	
		Pgm	35,5	
		Z: $1,0^s$; 0,020 μ		
		eSg_Z	52,2	
		F	46	
	KSP			
		$eiPn_{NEZ}$	19 44 41,0	
		$eiSn_{NEZ}$	45 04,0	
		F	46 30	
	RAC	Traces		
		EZ	19 44 00-46 30	
28.XI		H=$22^h05^m33,6^s$; M=2,3 (Chorzów); DGP (GIG): 22 05 42,9		
	CHZ	Δ=9 km		
		ei_N, i_Z P	22 05 35,8	
		iS_{NZ}	37,4	
		Lm	42	
		Lm: $1,1^s$; 1,9 μ		
		F	06 30	
	KRA (SKM)	Δ=77 km. Faible		
		$eiPg_Z$	22 05 47,6	
		i_N, e_{EZ}	57,1	
		F	07	
	NIE	Δ=140 km		
		$eiPg_Z$	22 05 58,4	
		e_Z	06 07,8	
		F	07 30	
	KSP	Traces		
		ei_{NEZ}	22 06 29,0	
		F	07	
28.XI		φ =50°18′; λ =18°51′; H=$23^h01^m21,0^s$; M=3,0 (Kraków),		

International Seismological Centre

Date	Station	Phase	T.U. h m s	
28.XI (suite)		2,5 (Chorzów) ; DGP (GIG) : 23 01 27,2		
	CHZ	Δ=10 km		
		e_{NE},ei_Z P	23 01 23,4	C
		i_N	26,2	
		Lm	27	
		E: 1,1^s; 5,0 μ		
		Lm	32	
		Z: 1,3^s; 3,0 μ		
		F	02 30	
	RAC	Δ=52 km		
		ePg_Z	23 01 30,9	
		e_E	38,4	
		F	04	
	KRA (SKM)	Δ=81 km		
		e_{NZ},ei_E Pg	23 01 35,6	
		e_{EZ}	45,4	
		iSg_N	46,3	
		ei_{EZ}	47,3	
		Lm	02 17	
		Z: 1,5^s; 0,25 μ		
		F	03	
	NIE	Δ=143 km		
		ePg_Z	23 01 46,3	
		ei_Z	02 07,6	
		F	03 30	
28.XI	KSP	Δ=189 km		
		$eiPn_{NEZ}$	23 01 51,5	
		ei_{NEZ}	02 12,5	
		F	03	
30.XI		DGP (GIG) : 16 20 12,1		
	CHZ			
		eiP_Z	16 20 13,5	
		i_{NE}	14,0	
		Lm	22	
		Z: 1,2^s; 1,9 μ		
		F	21	
	KRA (SKM)			
		ePg_{EZ}	16 20 22,0	
		ei_N	28,7	
		e_E	29,7	
		F	21 30	
	NIE			
		ePg_Z	16 20 34,5	
		e_Z	52,6	
		F	21 30	
	KSP	Traces		
		ei_{NEZ}	16 21 12,0	
		F	22	

Date	Station	Phase	T.U. h m s	
1.XII		DGP (GIG) : 04 48 09,7		
	CHZ			
		e_E,ei_Z P	04 48 05,2	C
		Lm	14	
		EZ: 1,0^s; 1,8 μ , 1,6 μ		
		F	49	
	KRA (SKM)	ePg_Z	04 48 17,9	
		e_Z	27,1	
		F	49 30	
1.XII		DGP (GIG) : 11 42 05,5		
	CHZ			
		eP_{NE}	11 42 01,3	
		i_N	02,9	
		F	43	
	KRA (SKM)	ePg_{EZ}	11 42 13,8	
		ei_{NE},e_Z	22,7	
		Lm	52	
		Z: 1,3^s; 0,19 μ		
		F	43 30	
	NIE	ePg_Z	11 42 24,8	
		e_Z	42,6	
		F	43 30	

Date	Station	Phase	T.U. h m s	
1.XII		H=20^{h}13^{m}08,8^s; M=2,0 (Chorzów) ; DGP (GIG) : 20 13 14,1		
	CHZ	Δ=5 km		
		eP_{NEZ}	20 13 10,3	C
		iP_{NEZ}	11,4	
		iS_{NZ}	14	
		Lm		
		NZ: 1,1^s,1,3^s; 3,5 μ, 2,8 μ		
			15	
		Lm		
		E: 1,0^s; 3,6 μ		
		F	14	
	KRA (Ch)	Δ=76 km		
		ePg_Z	20 13 22,5	
		e_N	32,0	
		e_Z	33,3	
		F	14 30	
	NIE	Δ=136 km		
		$eiPg_Z$	20 13 32,9	
		ei_Z	52,6	
		F	15	
	KSP	Δ=190 km		
		$eiPn_{NEZ}$	20 13 40,0	
		ei_{NEZ}	14 04,5	
		F	30	
2.XII		DGP (GIG) : 12 27 55,5		
	CHZ			
		e_E,ei_Z P	12 27 56,1	
		ei_Z	59,8	
		Lm	28 05	
		Z: 1,1^s; 1,0 μ		
		F	30	
	KRA (SKM)	ePg_{NEZ}	12 28 03,7	
		e_N	11,2	
		ei_E,e_Z	11,8	
		F	29	
	NIE	$eiPg_Z$	12 28 15,4	
		F	29 30	
	KSP	ei_{NEZ}	12 28 29,0	
		ei_{NEZ}	54,5	
		F	29 30	

Date	Station	Phase	T.U. h m s	
5.XII		H=21^{h}54^{m}48,2^s; M=2,2 (Chorzów) ; DGP (GIG) : 21 54 54,5		
	CHZ	Δ=6 km		
		e_{NE},i_Z P	21 54 49,9	C
		i_{NE}	52,0	
		Lm	58	
		Z: 1,2^s; 2,6 μ		
		Lm	55 00	
		N: 0,9^s; 3,2 μ		
		F	56	
	KRA (Ch)	Δ=81 km		
		ePg_Z	21 55 02,8	
		e_Z	12,4	
		eSg_Z	13,5	
		$eiSg_N$	13,9	
		F	56 30	
	KSP	Δ=180 km		
		ei_{NEZ} Pn	21 55 18,0	
		ei_{NEZ}	43,0	
		F	56	
7.XII		H=14^{h}48^{m}00,5^s; M=2,7 (Chorzów) ; DGP (GIG) : 14 48 04,6		
	CHZ	Δ=14 km		
		ei_{NE},i_Z P	14 48 03,7	C
		Lm	10	
		E: 1,2^s; 4,8 μ		
		Lm	11	
		Z: 1,2^s; 2,7 μ		
		F	49	
	KRA (SKM)	Δ=63 km		
		ei_N,e_{EZ} Pg	14 48 11,8	
		i_N	19,6	
		ei_E,i_Z Sg	20,0	
		F	49 30	
	NIE	Δ=130 km		
		$eiPg_Z$	14 48 23,6	
		ei_Z	42,0	
		F	49 30	
	KSP	Δ=211 km		
		$eiPn_{NEZ}$	14 48 34,8	
		ei_{NEZ}	49 01,8	
		F	50	

International Seismological Centre

Date	Station	Phase	T.U. h m s
7.XII (suite)	RAC	Traces	
		EZ	14 47 00-49 30
8.XII		DGP (GIG) : 04 35 43,2	
	CHZ		
		ei_N, i_{EZ} P	04 35 42,0 C
		Lm	49
		EZ: $1,2^s$, $1,1^s$; 3,8 μ, 2,2 μ	
		F	36 30
	KRA (Ch)		
		ePg_{EZ}	04 35 50,0
		e_N	58,1
		ei_{NEZ}	59,0
		F	37
	NIE		
		ePg_Z	04 36 02,2
		e_Z	20,6
		F	37 30
	KSP		
		$eiPn_{NEZ}$	04 36 12,8
		$eiSn_{NEZ}$	37,8
		F	38
	RAC	Traces	
		EZ	04 35 - 37
9.XII		H=$08^h00^m54,3^s$; M=2,8 (Kraków), 2,4 (Chorzów); DGP (GIG) : 08 01 01,2	
	CHZ	Δ=8 km	
		ei_{NE}, i_Z P	08 00 56,3 C
		iS_{NZ}	58,0
		Lm	01 02
		EZ: $1,1^s$; 5,4 μ, 2,5 μ	
		F	30
	KRA (SKM)	Δ=82 km	
		$eiPg_{EZ}$	08 01 09,2
		e_E	19,1
		i_N, ei_Z Sg	19,8
		Lm	50
		Z: $1,2^s$; 0,11 μ	
		F	02 30
	NIE	Δ=146 km	
		$eiPg_Z$	08 01 20,3

Date	Station	Phase	T.U. h m s
9.XII	NIE	Pgm	
		Z: $1,0^s$; 0,017 μ	08 01 21,0
		e_Z	41,0
		F	02 30
	KSP	Δ=196 km	
		$eiPn_{NEZ}$	08 01 26,3
		ei_{NEZ}	50,3
		F	02 30
14.XII		DGP (GIG) : 00 18 03,9	
	CHZ		
		e_N, i_Z P	00 17 59,3
		i_N, ei_Z	18 01,8
		F	30
	KRA (SKM)	Faible	
		ePg_{EZ}	00 18 12,3
		e_Z	22,2
		F	19 30
	NIE		
		ePg_Z	00 18 23,4
		ei_Z	45,8
		F	19 30
	KSP	Traces	
		ei_{NEZ}	00 19 52,8
		F	20 30
14.XII		DGP (GIG) : 03 35 13,1	
	CHZ		
		P_{NEZ}	00 35(08)
		Lm	16
		Z: $1,6^s$; 1,5 μ	
		F	36
	KRA (SKM)	ePg_{EZ}	03 35 21,6
		e_Z	32,6
		F	36 30
	NIE		
		$eiPg_Z$	03 35 32,4
		Pgm	33,4
		Z: $1,0^s$; 0,019 μ	
		e_Z	54,0
		F	36 30

Date	Station	Phase	T.U. h m s
14.XII (suite)	KSP	$eiPn_{NEZ}$	03 35 37,8
		ei_{NEZ}	36 00,9
		F	30
19.XII		H=$19^h02^m53,5^s$; DGP (GIG) : 19 02 58,8	
	CHZ	Δ=7 km	
		iP_{NEZ}	19 02 55,4 C
		iS_{NZ}	56,6
		Lm	03 00
		NEZ: $0,9^s$, $1,0^s$, $1,3^s$; 6,3 μ, 4,8 μ, 4,5 μ	
		F	04
	KRA (SKM)	Δ=80 km	
		ePg_{EZ}	19 03 08,0
		i_N, e_{EZ} Sg	17,0
		e_Z	19,1
		F	04 30
	NIE	Δ=143 km	
		$eiPg_Z$	19 03 18,9
		F	04 30
	KSP	Δ=199 km	
		$eiPn_{NEZ}$	19 03 26,0
		$eiSn_{NEZ}$	49,0
		F	04 30
	RAC	Traces	
		NE	19 03 - 05
20.XII		DGP (GIG) : 18 27 27,2	
	CHZ		
		e_N, i_Z P	18 27 24,5 C
		Lm	30
		Z: $1,0^s$; 1,5 μ	
		F	28
	KRA (SKM)		
		$eiPg_{EZ}$	18 27 36,6
		e_N	45,5
		e_Z	46,2
		F	28 30
	NIE		
		$eiPg_Z$	18 27 48,2
		F	28 30

Date	Station	Phase	T.U. h m s
22.XII		H=$12^h30^m09,3^s$; M=2,9 (Chorzów), 2,8 (Kraków); DGP (GIG) : 12 30 11,0	
	CHZ	Δ=18 km. N - inactive	
		eP_E	12 30 13,1
		Lm	23
		EZ: $1,4^s$, $1,3^s$; 4,3 μ, 3,4 μ	
		F	31
	KRA (SKM)	Δ=57 km	
		ei_E, i_Z Pg	12 30 19,8 D
		$i_N; ei_E, e_Z$ Sg	27,5
		i_E	28,7
		Lm	54
		Z: $1,2^s$; 0,16 μ	
		F	31 30
	NIE	Δ=128 km	
		ePg_Z	12 30 32,0
		Pgm	33,8
		Z: $1,0^s$; 0,035 μ	
		$eiSg_Z$	48,4
		ei_Z	51,8
		F	32
	KSP		
		e_{NEZ}	12 30 47,5
		ei_{NEZ}	31 13,0
		F	32
	RAC	Traces	
		NZ	12 30 30-32 30
22.XII		H=$18^h38^m09,0^s$; M=2,8 (Kraków), 2,4 (Chorzów); DGP (GIG) : 18 38 12,0	
	CHZ	Δ=3 km	
		iP_{EZ}	18 38 10,2 C
		Lm	14
		Z: $1,0^s$; 9,6 μ	
		F	39 30
	KRA (SKM)	Δ=69 km	
		ePg_E	18 38 21,2
		e_N, i_Z Pg	21,6
		e_N	28,6
		$eiSg_{EZ}$	29,9

International Seismological Centre

International Seismological Centre

Date	Station	Phase	T.U. h m s
22.XII (suite)	KRA	Lm	18 38 57
		Z: 1,2^s; 0,12 μ	
		F	39 30
	NIE	Δ=129 km	
		ePg_Z	18 38 31,9
		eSg_Z	47,6
		F	40
	KSP		
		ei_{NEZ}	18 38 44,5
		ei_{NEZ}	39 09,0
		F	40
	RAC	Traces	
		NZ	18 38 00-40 30
24.XII		DGP (GIG) : 03 48(43)	
	CHZ		
		ei_N, e_Z P	03 48 41,8
		i_N	43,7
		Lm	50
		Z: 1,4^s; 2,5 μ	
		Lm	51
		E: 1,3^s; 3,8 μ	
		F	49 30
	KRA (SKM)	e_E, ei_Z Pg	03 48 53,7
		Sg_{NEZ}	49(04)
		i_N	06,5
		F	50 30
	NIE		
		ePg_Z	03 49 04,7
		e_Z	24,2
		F	50 30
	KSP		
		e_{NEZ}	03 49 15,5
		i_Z	17,5
		ei_{NEZ}	37,0
		F	50 30
	RAC	Traces	
		NEZ	03 48 30-51 00
27.XII		H=03^{h}52^{m}09,5^s; M=2,1 (Chorzów)	

Date	Station	Phase	T.U. h m s
24.XII	CHZ	Δ=7 km	
		iP_{EZ}	03 52 11,4 C
		Lm	19
		EZ: 1,3^s,1,1^s; 2,0 μ,	
		F	1,7 μ
			53
	KRA (SKM)	Δ=80 km	
		ePg_E	03 52 24,0
		e_Z	24,6
		eSg_{EZ}	34,8
		F	53 30
	NIE	Δ=144 km	
		$eiPg_Z$	03 52 35,1 D
		Pgm	36,1
		Z: 1,0^s; 0,017 μ	
		eSg_Z	54,7
		F	53 30
	KSP		
		ei_{NEZ}	03 52 43,0
		ei_{NEZ}	53 05,0
		F	54
28.XII		DGP (GIG) : 14 40 00,0	
	CHZ		
		eP_{EZ}	14 39 57,3
		ei_Z	40 00,1
		Lm	06
		Z: 1,6^s; 3,1 μ	
		Lm	07
		E: 1,1^s; 3,8 μ	
		F	41
	KRA (SKM)	ei_E, e_Z Pg	14 40 10,1
		e_Z	20,2
		i_N, ei_Z	21,7
		Lm	51
		Z: 1,4^s; 0,18 μ	
		F	41 30
	KSP		
		iPn_{NEZ}	14 40 26,0
		i_{NEZ}	47,0
		F	41 30
	RAC	Traces	
		NEZ	14 40 00-42 30

JANVIER 1973

Date 1973	Station	Phase	T.U. h m s
3.I	KSP	Δ≈43 km. Traces	
		iPg_E	14 27 07,0
		$eiSg_{NE}$	12,9
		eiL_Z	16
		F	27,6
5.I		Tchécoslovaquie, PRU: iPg 13 00 03,5, iSg 00 10,5; KHC: eiPg 13 00 11,5, eiSg 00 24,5	
	KSP	Δ≈170 km	
		iPn_{NEZ}	13 00 21,0
		iPg_Z	22,5
		$eiSg_{NEZ}$	43,0
		F	01,3
6.I			
	KRA (SKM)	iPg_{NZ}	10 47 15,0 D
		i_{NEZ}	18,5
8.I		Région frontière Pologne-Tchécoslovaquie, φ=49,4°N, λ=18,9°E, PRU: ePg 10 02 50, ei(Sg) 03 32,8	
	RAC	Δ=90 km	
		ePg_Z	10 02 12
		F	04
	NIE	Δ=105 km	
		$eiPg_Z$	10 02 14,0
		Pm	14,6
		Z: 0,5^s; 0,015 μ	
8.I	NIE	ei_Z	10 02 17,3
		i_{NE}	19,5
		F	04,1
	KRA (SKM)	Δ=115 km	
		i_{NZ}, ei_E Pg	10 02 17,8
		N: - Z: -0,7^s; 0,025 μ	
		iSg_{NEZ}	34,3
		F	03,4
	KSP	Δ≈245 km	
		$eiPn_Z$	10 02 39,6
		$eiPg_{NEZ}$	41,1
		Z: 0,7^s; 0,017 μ	
		$eiSg_{NEZ}$	03 09,6
		F	04,0
8.I		Pologne, région de Wałbrzych, φ=50,75°N, λ=16,0°E, H=11^{h}37^{m}09,6^s	
	KSP	Δ=20 km. A_Z=124°	
		iP_{NEZ}	11 37 13,7 D
		iS_{NEZ}	16,7
		Lm	17,5
		NEZ: 0,6^s; 0,06 μ, 0,05 μ, 0,09 μ	
		F	37,7
11.I			
	NIE	Δ≈ 70 km	
		iPg_Z	11 14 47,9 D
		Pm	48,3
		Z: 0,6^s; 0,019 μ	
		iSg_N	57,0

Date	Station	Phase	T.U. h m s	
11.I (suite)	NIE	i_N, ei_Z	11 14 59,1	
		F	15,8	
13.I		PRU: iPg 11 01 48,2, iSg 02 06,8		
	KSP	Δ≈110 km		
		iPg_{NEZ}	11 01 29,6	
		N: + E: + Z: (-)		
		i_Z	31,1	
		iSg_{NEZ}	33,6	
		F	02,2	
14.I				
	NIE	Δ≈95 km		
		ePg_Z	11 03 37,5	D
		Z: $0,5^s$; 0,012 μ		
		i_E	42,5	
		iSg_{NE}	50,0	
		F	04,6	
15.I				
	KSP	Δ≈200 km		
		iPg_{EZ}	10 50 17,5	
		iSg_{NEZ}	43,5	
		Lm NEZ: $0,5^s$; 0,05 μ, 0,05 μ, 0,06 μ		
		F	51,7	
15.I		PRU: iPg 16 00 34,3, eiSg 00 49,8; KHC: eiPg 16 00 44, eiSg 01 05,5		
	KSP	Δ≈180 km		
		iPg_{NEZ}	16 00 46,9	
		iSg_{NEZ}	01 10,4	
		F	01,5	
16.I				
	KSP	Δ≈200 km		
		iPg_{NEZ}	09 57 21,8	
		iSg_{NEZ}	48,3	
		F	58,4	
16.I		PRU: ePg 12 17 56, eiSg 18 17,5		

Date	Station	Phase	T.U. h m s	
16.I	KSP	Δ≈125 km		
		iPg_{NEZ}	12 17 47,2	D
		iSg_{NEZ}	18 03,7	
		F	18,3	
16.I		PRU: eiPg 13 33 13,5, iSg 33 35,5		
	KSP	Δ≈135 km		
		iPg_{NEZ}	13 33 07,7	D
		iSg_{NEZ}	24,7	
		F	33,6	
17.I		Pologne, région de Wałbrzych, φ =50,95°N, λ=16,25°E, H=$16^h38^m56,7^s$		
	KSP	Δ=14 km. A_Z=348°		
		iP_{NEZ}	16 38 59,8	
		iS_{NEZ}	39 02,1	
		F	39,5	
19.I		PRU: eiPg 09 03 38,5, iSg 03 56; KHC: eiPg 09 03 46,5, eiSg 04 12,5		
	KSP	Δ≈160 km		
		i_{NZ}, ei_E Pg	09 03 39,6	
		N: - E: (+) Z: -		
		$eiSg_{NEZ}$	59,6	
		F	04,2	
20.I				
	KRA (SKM)	$eiPg_{NEZ}$	12 47 44,9	
		eiL_{NEZ}	48 11	
		F	49,6	
20.I		Région frontière Pologne-Tchécoslovaquie, φ =50,1°N, λ =17,6°E, PRU: iPg 13 31 44,5, iSg 32 10,5		

Date	Station	Phase	T.U. h m s	
20.I (suite)	RAC (SK)	Δ≈45 km		
		iPg_{NEZ}	13 31 15	
		$i(Sg)_{NEZ}$	20	
		iL_{NEZ}	24	
		F	33	
	KSP	Δ≈120 km		
		$eiPg_{NEZ}$	13 31 28,6	
		i_{NEZ}	30,1	
		$0,1^s$; 0,05 μ, 0,08 μ, 0,11 μ		
		iSg_{NEZ}	44,1	
		F	32,5	
22.I		Pologne, Basse Silésie		
	KSP	Δ=25 km		
		iPg_{NEZ}	12 10 08,6	C
		iSg_{NEZ}	12,1	
		F	10,5	
23.I		Pologne, Basse Silésie φ =50,7°N, λ =16,05°E. H=$11^h36^m16,2^s$		
	KSP	Δ=23 km. A_Z=225°		
		iPg_{NEZ}	11 36 19,6	C
		iSg_{NEZ}	22,1	
		Lm NEZ: $0,2^s$; 0,08 μ, 0,07 μ, 0,04 μ	23	
		F	36,6	
23.I		Pologne, Basse Silésie φ =50,7°N, λ =16,2°E, H=$13^h51^m22,5^s$		
	KSP	Δ=20 km. A_Z=200°		
		iPg_{NEZ}	13 51 26,6	C
		iSg_{NEZ}	29,6	
		Lm NEZ: $0,2^s$; 0,26 μ, 0,16 μ, 0,26 μ	31,6	
		eiL_{NEZ}	35	
		F	52,2	
25.I				
	KRA (SKM)	eiP_{NEZ}	14 41 44,7	
		ei_Z	47,2	
		F	42,2	

Date	Station	Phase	T.U. h m s	
26.I		PRU: eiPg 11 16 27, eiSg 16 41,5		
	KSP	Δ ≈ 190 km		
		$eiPg_{EZ}$	11 16 42,7	D
		$eiSg_{NEZ}$	17 07,2	
		F	17,3	
26.I				
	KSP	Δ ≈ 140 km		
		iPg_Z	11 50 08,7	D
		$eiSg_{NEZ}$	26,7	
		F	50,6	
26.I		Pologne, région de Racibórz		
	RAC	Δ=20 km		
		ePg_{NEZ}	16 16 23	
		eSg_{NEZ}	17 00	
		F	19	
	KSP	Δ ≈ 180 km		
		iPg_{EZ}	16 17 00,2	C
		$eiSg_{NEZ}$	23,7	
		F	18,1	
28.I		PRU: iPg 21 55 24,7, iSg 55 30,7; KHC: eiPg 21 55 27,6, eiSg 55 35,5; Vienne: ePg 21 55 53, eiSg 56 19		
	KSP	Δ ≈ 190 km		
		$eiPg_{NEZ}$	21 55 51,0	
		$eiSg_{NEZ}$	56 15,0	
		F	57,2	
30.I		Pologne, Valée de Kłodzko, φ =50,4°N, λ =16,6°E, PRU: ePg 11 17 55,5, eiSg 18 15,5		
	KSP	Δ=48 km. A_Z=135°		
		iPg_{NEZ}	11 17 57,3	C
		iSg_{NEZ}	18 03,8	
		Lm NEZ: $0,3^s$; 0,02 μ, 0,03 μ, 0,035 μ	06	
		F	18,3	
31.I				
	KRA (SKM)	iP_{NEZ}	09 00 19,5	
		F	00,8	

International Seismological Centre

Date	Station	Phase	T.U. h m s	
31.I				
	KRA			
	(SKM)	e_E,ei_Z Pg	09 47 13	C
		Z: 0,2^s; 0,027 μ		
		i_{NEZ}	14,4	
		i_Z	19,0	
		F	47,8	

Date	Station	Phase	T.U. h m s	
31.I				
	KSP	Δ=35 km		
		i_N,ei_E Pg	11 27 09,6	C
		iSg_{NEZ}	14,6	
		F		

1973 **F É V R I E R** 1973

1.II				
	KRA			
	(SKM)	iPg_{NEZ}	12 31 23,0	
		F	31,7	
1.II		PRU: eiPg 12 52 15, iSg 52 31		
	KSP	Δ ≈ 60 km		
		ePg_{EZ}	12 52 03,6	
		$eiSg_{NEZ}$	11,1	
		F	52,8	
1.II		Tchécoslovaquie, Moravie, KHC: ePn 13 59 38, eiPg 59 46, eiSg 14 00 22		
	KRA	Δ ≈ 160 km		
	(SKM)	ei_{NE},i_Z Pg	13 59 19,8	C
		Z: 0,3^s; 0,10 μ		
		iSg_{NEZ}	40,3	
		F	14 00,3	
	KSP	Δ ≈ 155 km. A_Z=130°		
		$eiPn_Z$	13 59 20,1	D
		iPg_{NEZ}	21,1	
		iSg_{NEZ}	41,1	
		Lm	43	
		NEZ: 0,6^s; 0,07 μ, 0,09 μ, 0,14 μ		
		F	14 01,0	
3.II		Pologne, Basse Silésie, PRU: eiPg 09 22 16,5, eiSg 22 37,0		
	KSP	Δ=24 km		
		iPg_{NEZ}	09 21 53,2	
		iSg_{NEZ}	56,7	

3.II	KSP	iL_{NEZ}	09 22 06	
		F	22,8	
3.II		Tchécoslovaquie, Moravie, PRU: ePg 11 40 45, eiSg 41 19,5		
	KSP			
		iPg_{NEZ}	11 40 18,7	
		F	41,8	
	KRA			
	(SKM)	iPg_{NEZ}	11 40 19,2	D
		Pg^m	20,1	
		Z: 0,4^s; 0,040 μ		
		F	41,5	
3.II				
	KRA			
	(SKM)	$eiPg_{NZ}$	12 11 59,6	
		$i(L)_{NEZ}$	12 07,8	
		F	12,6	
5.II				
	KRA	Δ=28 km		
	(SKM)	ePg_{EZ}	14 24 27,6	
		iSg_{NEZ}	31,6	
		F	25,1	
9.II		Pologne, Basse Silésie, φ =51,0°N, λ =15,9°E, H=09^{h}04^{m}09,1^s; PRU: iPg 09 04 33,5, iSg 04 50,5; KHC: ePg 09 04 54,5, eiSg 05 24,5		
	KSP	Δ=28 km. A_Z=300°		
		iPg_{NEZ}	09 04 14,5	C
		iSg_{NEZ}	18,5	
		F	05,1	

Date	Station	Phase	T.U. h m s	
9.II		PRU: iPg 12 41 41, iSg 42 02; KHC: ePg 12 41 49, eiSg 42 22		
	KSP	Δ ≈ 140 km		
		$ei Pn_{NEZ}$	12 41 37,0	
		ePg_{EZ}	38,0	
		iSg_{NEZ}	55,5	
		F	42,8	
10.II		Pologne, carrière "Czarny Bór" PRU: eiPg 09 32 00,8, eiSg 32 21,5; KHC: ePg 09 32 21, eiSg 32 51		
	KSP	Δ=11 km		
		iP_{NEZ}	09 31 40,5	
		Lm	47	
		NEZ: 0,3^s; 0,22 μ, 0,32 μ, 0,50 μ		
		F	32,8	
12.II				
	KSP	Δ ≈ 130 km		
		$ei Pg_{NEZ}$	12 08 43,9	D
		iSg_{NEZ}	09 00,4	
		F	09,2	
12.II		Pologne, région de Wałbrzych, φ =50,9°N, λ =16,2°E, H=14^{h}51^{m}37,7^s		
	KSP	Δ=12 km. A_Z=320°		
		iP_{NEZ}	14 51 40,4	C
		iS_{NEZ}	42,4	
		eiL_{NEZ}	45	
		F	52,2	
13.II		Pologne, région de Wałbrzych		
	KSP	Δ=28 km		
		iPg_{NEZ}	11 59 11,7	
		N: - E + Z (+)		
		iSg_{NEZ}	15,7	
		eiL_{NEZ}	30	
		F	59,7	
15.II		PRU: eiPg 12 19 50, eiSg 20 17,7; KHC: eiPg 12 20 03,5, eiSg 20 38		
	KSP	Δ=180 km		
		ePn	12 19 41,2	

Date	Station	Phase	T.U. h m s	
15.II	KSP	iPg_{NEZ}	12 19 42,2	
		NEZ: 0,3^s; 0,02 μ, 0,03 μ, 0,04 μ		
		iSg_{NEZ}	20 04,0	
		Lm	06,0	
		NEZ: 0,3^s; 0,02 μ, 0,05 μ, 0,05 μ		
		F	20,5	
	KRA	Δ≈165 km		
	(SKM)	iPg_{EZ}	12 19 42,7	
		iSg_{NZ}	20 04,3	
		F	20,3	
17.II		Pologne, région de Wałbrzych, φ =50,6°N, λ =16,7°E, H=09^{h}57^{m}11,9^s; PRU: eiPg 09 57 38,5, eiSg 57 59; KHC: eiPg 09 57 57, eiSg 58 28		
	KSP	Δ=35 km. A_Z=135°		
		iPg_{NEZ}	09 57 18,7	
		NEZ: 0,3^s; +0,035 μ, -0,04 μ, +0,055 μ		
		iSg_{NEZ}	23,7	
		Lm	25,2	
		NEZ: 0,3^s; 0,08 μ, 0,11 μ, 0,06 μ		
		Lm	27	
		NEZ: 1^s; 0,23 μ, 0,13 μ, 0,15 μ		
		F	59,0	
20.II				
	KSP	Δ≈125 km		
		ei_{NE},i_Z Pg	10 19 12,4	
		iSg_{NEZ}	28,9	
		F	19,7	
20.II		Pologne, région de Wałbrzych, φ =50,8°N, λ =16,0°E, H=11^{h}25^{m}17,3^s		
	KSP	Δ=20 km. A_Z=240°		
		iPg_{NEZ}	11 25 21,4	C
		iSg_{NEZ}	24,4	
		Lm	25,5	
		NEZ: 0,3^s; 0,06 μ, 0,13 μ, 0,17 μ		

International Seismological Centre

Date	Station	Phase	T.U. h m s
20.II (suite)	KSP	Lm	11 25 27
		NEZ: 0,3^s; 0,16 μ, 0,09 μ 0,22 μ	
		F	25,7
24.II			
	KSP	Δ≈180 km	
		$1Pg_{EZ}$	20 35 25,1 C
		$ei1Sg_{NEZ}$	48,1
		F	36,7

1973 — M A R S

Date	Station	Phase	T.U. h m s
1.III		PRU: 1Pg 11 03 14, ei1Sg 03 34	
	KSP	Δ≈120 km	
		ei_{NE},i_Z Pg Z:0,5^s; 0,02 μ	11 03 05,9 D
		$1Sg_{NEZ}$	21,9
		F	03,6
1.III			
	KSP	Δ≈190 km	
		$1Pg_{EZ}$	11 56 52,4 C
		ei_{NE},i_Z Sg	57 17,4
		F	57,5
1.III			
	KSP	Δ=40 km	
		$ei1Pg_{NEZ}$	13 00 17,4
		$1Sg_{NEZ}$	21,4
		Lm	23
		NEZ:0,2^s; 0,045 μ, 0,03 μ, 0,03 μ	
		F	00,9
3.III		Vogtland, République Démocratique Allemagne, BCIS: φ =50,3°N, λ =12,5°E, H=05^{h}36^{m}37^s	
	KSP	Δ = 2,47°	
		$ei1Pn_Z$	05 37 18,4
		$1Pg_{NEZ}$	23,9
		$1Sg_{NEZ}$	55,9
		F	40,0
4.III			
	KSP	Δ≈260 km	
		$ei1Pg_{EZ}$	06 25 22,9
		$1Sg_{NEZ}$	55,9
		F	25,4
4.III		Vogtland, République Démocratique Allemagne ?	
	KSP	Δ = 2,47°	
		$ei1Pn_{EZ}$	07 15 06,8
		$1Pg_{EZ}$	07,8
		$1Sg_{NEZ}$	40,8
		F	16,1
5.III		PRU: ei1Pg 11 36 36,5, ei1Sg 36 52; KHC: ei1Pg 11 36 37,8	
	KSP	Δ≈190 km	
		$ei1Pg_Z$	11 36 53,3
		$ei1Sg_{NEZ}$	37 17,8
		F	37,5
5.III			
	KSP	Δ≈120 km	
		$1Pg_{NZ}$	13 06 57,8 C
		i_{NE},ei_Z Sg	07 13,8
		F	08,0
6.III		PRU: ei1Pg 11 23 42,5, ei1Sg 23 53,5; KHC: ePg 11 23 51, ei1Sg 24 11,3	
	KSP	Δ=190 km	
		$1Pg_{NEZ}$ 0,2^s; +0,01 μ, +0,01 μ, +0,015 μ	11 23 58,9
		$1Sg_{NEZ}$	24 23,4
		Lm	25
		NEZ:0,3^s; 0,04 μ, 0,035 μ, 0,02 μ	
		F	24,9
7.III		Pologne, région de Wałbrzych, φ =50,75°N, λ =16,2°E, H=11^{h}22^{m}29,1^s	

Date	Station	Phase	T.U. h m s
7.III (suite)	KSP	Δ=12 km. A_Z=210°	11 22 31,8
		$1P_{NEZ}$ 0,3^s; +0,01 μ, +0,02 μ, +0,03 μ	
		$1S_{NEZ}$	33,8
		Lm	36,3
		NEZ:0,5^s; 0,02 μ, 0,05 μ, 0,06 μ	
		F	23,4
7.III		PRU: ei1Pg 12 23 36,5, ei1Sg 23 46,7; KHC: ei1Pg 12 23 51,4, ei1Sg 24 11	
	KSP	Δ≈120 km	
		$1Pg_{NEZ}$ Z: 0,1^s; 0,015 μ	12 23 42,8 D
		$1Sg_{NEZ}$	55,3
		Lm	57
		NEZ:0,3^s; 0,03 μ, 0,045 μ, 0,025 μ	
		F	24,6
8.III		PRU: ei1Pg 12 04 40,5, ei(Sg) 04 56	
	KSP	Δ≈180 km	
		$1Pg_{EZ}$	12 04 56,7 C
		$1Sg_{NEZ}$	05 21,2
		F	05,6
10.III		Vogtland, République Démocratique, Allemagne ? PRU: ei1Pn 21 59 33,2, 1Pg 59 34,5, 1Sg 59 52; KHC: ei1Pg 21 59 33,5, ei1Sg 59 53	
	KSP	Δ=2,47°	
		$ei1Pg_{EZ}$	21 59 53,1 C
		$1Sg_{NEZ}$	22 00 26,1
		F	00,7
11.III		Vogtland, République Démocratique, Allemagne, BCIS: φ =50,3°N, λ =12,5°E, H=06^{h}58^{m}17^s	
	KSP	Δ=2,47°	
		$ei1Pg_{NEZ}$	06 59 03,6
11.III	KSP	$1Sg_{NEZ}$ 0,2^s; 0,07 μ, 0,05 μ, 0,045 μ	06 59 38,6
		F	07 00,2
11.III		Vogtland, République Démocratique, Allemagne, BCIS: φ =50,3°N, λ =12,5°E, H=09^{h}05^{m}22^s	
	KSP	Δ=2,47°	
		$ei1Pn_Z$	09 06 08,9
		$1Pg_{NEZ}$ 0,2^s; 0,015 μ, 0;035 μ, 0,04 μ	09,6
		$1Sg_{NEZ}$ 0,2^s; 0,06 μ, 0,07 μ, 0,06 μ	42,1
		F	07,7
	RAC (SK)	Traces EZ	09 06 - 09
11.III		Pologne, Basse Silésie, PRU: 1Pg 10 57 52,3, 1Sg 58 11,3	
	KSP	Δ=28 km	
		$1Pg_{NEZ}$	10 57 33,6
		$1Sg_{NEZ}$	37,6
		Lm_{NEZ} 0,5^s; 0,07 μ, 0,07 μ, 0,08 μ	40,1
		F	58,4
11.III		Vogtland, République Démocratique, Allemagne, BCIS: φ =50,3°N, λ =12,5°E, H=12^{h}17^{m}16^s	
	KSP	Δ=2,47°	
		$ei1Pn_{NEZ}$	12 18 01,6
		$1Pg_{NEZ}$ 0,2^s; 0,03 μ, 0,095 μ, 0,09 μ	03,6
		$1Sg_{NEZ}$	35,1
		Lm	37
		0,3^s; 0,25 μ, 0,20 μ, 0,38 μ	
		F	23,7

International Seismological Centre

Date	Station	Phase	T.U. h m s	
11.III (suite)	RAC (SK)	Δ=3,69°		
		$e_{NZ}Pg$	12 18 30	
		e_E	36	
		F	19	
12.III		PRU: iPg 11 41 18,5, iSg 41 29,6		
	KSP	$\Delta \simeq$ 190 km		
		iPg_{NEZ}	11 41 35,4	C
		iSg_{NEZ}	59,9	
		F	42,4	
12.III		Pologne, Basse Silésie, φ =50,7°N, λ =16,5°E, H=$14^h46^m38,0^s$		
	KSP	Δ=20 km. A_Z=145°		
		iPg_{NEZ}	14 46 41,9	
		$0,3^s$; -0,035 μ, +0,025 μ, +0,035 μ		
		iSg_{NEZ}	44,9	
		$0,3^s$; 0,03 μ, 0,05 μ, 0,045 μ		
		$ei L_{NEZ}$	46	
		F	47,3	
13.III				
	KSP	Δ=35 km		
		iPg_{NEZ}	10 41 02,2	C
		iSg_{NEZ}	07,2	
		$ei L_{NEZ}$	08	
		F	41,4	
13.III		Pologne, Basse Silésie		
	KSP	Δ=20 km		
		iPg_{NEZ}	11 44 26,1	C
		iSg_{NEZ}	28,1	
		$ei L_{NEZ}$	30	
		F	44,6	
14.III		Pologne, région de Lubin ?		
	KSP	Δ=65 km		
		ePg_{NZ}	04 47 29,9	D
		$eiSg_{NEZ}$	38,4	
		F	47,8	
14.III		Pologne, φ =51,1°N, λ =16,2°E H=$09^h44^m54,5^s$; PRU: ePg 09 45 34		

Date	Station	Phase	T.U. h m s	
14.III	KSP	Δ=24 km. A_Z=340°		
		iPg_{NEZ}	09 44 59,3	
		iSg_{NEZ}	45 02,8	
		Lm	04	
		$0,3^s$; 0,07 μ, 0,07 μ, 0,065 μ		
		F	45,7	
14.III	KSP	$\Delta \simeq$ 180 km		
		$eiPg_{EZ}$	11 02 00,3	
		$eiSg_{NEZ}$	23,3	
		F	02,4	
14.III		Pologne, Basse Silésie, H=$13^h15^m42,0^s$		
	KSP	Δ=24 km		
		iPg_{NEZ}	13 15 46,8	
		$0,2^s$; 0,025 μ, 0,025 μ, 0,025 μ		
		iSg_{NEZ}	50,3	
		eiL_{NEZ}	52	
		F	16,3	
15.III		Pologne, Basse Silésie, φ =50,7°N , λ=16,15°E, H=$11^h26^m39,0^s$		
	KSP	Δ=20 km. A_Z=210°		
		iPg_{NEZ}	11 26 43,1	
		$0,2^s$, +0,025 μ, +0,015 μ, +0,03 μ		
		iSg_{NEZ}	46,1	
		Lm	47	
		NEZ: $0,2^s$; 0,085 μ, 0,14 μ, 0,10 μ		
		F	27,4	
15.III	KRA (SKM)	Δ=30 km		
		$eiPg_{EZ}$	12 32 53,8	
		iSg_{EZ}	58,1	
		F	33,4	
15.III	KSP			
		$eiPg_{NEZ}$	13 03 26,6	

Date	Station	Phase	T.U. h m s	
		$ei(Sg)_{NEZ}$	13 03 33,1	
15.III (suite)	KSP	i_{NEZ}	41,0	
		F	04,4	
15.III	KSP	Δ=55 km		
		$eiPg_{NZ}$	15 01 55,1	
		$eiSg_{NEZ}$	02 02,6	
		F	02,5	
16.III	KSP	Δ=32 km		
		$eiPg_{NZ}$	08 22 37,1	
		$eiSg_{NZ}$	41,6	
		eiL_{NZ}	43,6	
		F	23,0	
16.III		PRU: iPg 12 14 57,5, iSg 15 21,5		
	KSP	$\Delta \simeq$ 120 km. A_Z=125°		
		iPg_{NEZ}	12 14 49,1	D
		iSg_{NEZ}	15 04,6	
		F	15,5	
16.III	KRA (SKM)	Δ=35 km		
		iPg_{NEZ}	12 34 01,5	
		$i(Sg)_{NEZ}$	06,5	
		F	34,3	
16.III		PRU: iPg 14 06 51,5, iSg 07 05,0; KHC: eiPg 14 06 54, eiSg 07 07		
	KSP	$\Delta \simeq$ 200 km		
		$eiPn_Z$	14 07 12,6	
		iPg_{NEZ}	13,6	
		$eiSg_{NEZ}$	39,1	
		F	08,0	
17.III		Pologne, carriére de "Czarny Bór", H=$09^h59^m07,3^s$, PRU: iPg 09 59 31, iSg 59 50,5; KHC: eiSg 10 00 17		
	KSP	Δ=11 km		
		iP_{NEZ}	09 59 09,8	

Date	Station	Phase	T.U. h m s	
17.III	KSP	iS_{NEZ}	11,6	
		i_{NZ}	12,3	
		Lm	16,3	
		$0,2^s$; 0,18 μ, 0,12 μ, 0,17 μ		
		F	10 00,2	
17.III		Pologne, région de Wałbrzych		
	KSP	$\Delta \simeq$ 10 km. A_Z=205°		
		iP_{NEZ}	13 39 40,9	
		$i(S)_{NEZ}$	42,4	
		$0,2^s$; 0,04 μ, 0,045 μ, 0,07 μ		
		Lm_{NEZ}	44,4	
		$0,2^s$; 0,10 μ, 0,09 μ, 0,08 μ		
		F	40,4	
20.III		Pologne, région de Wałbrzych, φ =50,95°N, λ=16,04°E, H=$12^h43^m57,4^s$		
	KSP	Δ=14 km. A_Z=15°		
		iP_{NEZ}	12 44 00,4	C
		iS_{NEZ}	02,6	
		Lm	03,5	
		$0,2^s$; 0,06 μ, 0,07 μ, 0,03 μ		
		F	44,6	
21.III	KRA (SKM)	iPg_{EZ}	09 00 12,3	C
		i_{NEZ}	16,8	
		ei_{NZ}	26,8	
21.III	KSP	$\Delta \simeq$ 160 km		
		$eiPg_{EZ}$	10 13 32,3	
		iSg_{NEZ}	52,8	
		F	14,2	
21.III	KRA (SKM)	iPg_N	12 06 02,8	
		$i(L)_{NEZ}$	19,3	
		F	06,6	

International Seismological Centre

Date	Station	Phase	T.U. h m s	
21.III				
	KRA			
	(SKM)	$e1Pg_{EZ}$	12 39 34,8	
		$i(Sg)_{EZ}$	39,8	
		F	40,0	
23.III				
	KSP	Δ=28 km		
		$1Pg_{NEZ}$	13 01 02,8	D
		$1Sg_{NEZ}$	06,8	
		F	01,5	
23.III		Pologne, région de Wałbrzych		
		φ =50,85°N, λ =16,4°E,		
		H=$15^h02^m48,0^s$		
	KSP	Δ=12 km. A_Z=75°		
		$1P_{NEZ}$	15 02 50,7	
		$1S_{NEZ}$	52,7	
		$e1L_{NEZ}$	54,2	
		F	03,5	
24.III				
	NIE			
		$e1Pg_Z$	11 42 07	C
	KRA			
	(SKM)	$1Pg_{NEZ}$	11 42 09,6	C
		Z: $0,6^s$; 0,054 μ		
		$e1_{EZ}$	20,3	
		$e1_{NZ}, 1_E$	23,8	
		F	42,8	
25.III				
	KRA			
	(SKM)	$e1_E, e_Z, Pg$	12 24 54,2	
		$1_E, e1_Z$	58,2	
		1_Z	25 07,5	
		F	25,4	
26.III		Tchécoslovaquie, Moravie, PRU: 1Pg 11 48 27,5; KHC: ePg 11 48 37,5, e1Sg 49 22		
	RAC	Traces		
	(SK)	$e(Pg)_{NEZ}$	11 47 47	
		F	50	

Date	Station	Phase	T.U. h m s	
26.III	NIE	Δ≈ 130 km		
		$1Pg_Z$	11 47 48,3	
		$0,5^s$; 0,024 μ		
		1_Z	53,1	
		1_Z	56,1	
		$e1(Sg)_Z$	48 08	
		Lm	14	
		$1,0^s$; 0,044 μ		
		F	49,2	
	KSP	Δ≈ 300 km		
		ePn_Z	11 48 18,0	
		$1Pg_{NEZ}$	19,0	
		NEZ: +, -, $0,7^s$; +0,03 μ		
		$1Sg_Z$	49,0	
		F	50,7	
27.III				
	KRA			
	(SKM)	$1_{NZ}, e_E$ Pg	12 35 46,1	
		$1(Sg)_{EZ}$	50,9	
		F	36,1	
27.III				
	KSP	Δ≈ 145 km		
		$1Pg_{NEZ}$	16 14 52,7	D
		$0,2^s$; 0,045 μ, 0,01 μ, 0,04 μ		
		$1Sg_{NEZ}$	15 11,7	
		F	15,4	
28.III		Pologne, région de Wałbrzych, carriére,		
		H=$11^h31^m10,8^s$		
	KSP	Δ=15 km. A_Z=250 km		
		$1P_{NEZ}$	11 31 14,2	C
		$1S_{NEZ}$	16,7	
		Lm_{NEZ}	19,7	
		$0,5^s$; 0,13 μ, 0,11 μ, 0,10 μ		
		F	31,9	
28.III		PRU: ePg 12 17 03, e1Sg 17 12,3; KHC: 1Pg 12 17 16,2, 1Sg 17 37,6		
	KSP	Δ≈ 110 km		
		$1Pg_Z$	12 17 06,7	

Date	Station	Phase	T.U. h m s	
			12 17 20,7	
28.III (suite)	KSP	$e1Sg_{NEZ}$	18,1	
		F		
28.III	KSP	Δ ≈ 140 km	13 27 16,7	C
		$1Pn_{NEZ}$	17,7	
		$1Pg_Z$	34,7	
		$e1Sg_{NEZ}$	27,8	
		F		
29.III	KSP	Δ=140 km		
		$1Pg_{NEZ}$	12 41 17,0	D
		$e1Sg_{NEZ}$	35,5	
		F	47,7	
29.III		Pologne, Basse Silésie,		
		φ =50,9°N, λ =15,9°E,		
		H=$13^h02^m10,2^s$; PRU: 1Pg 13 02 34, e1Sg 02 51; KHC: ePg 13 02 50, e1Sg 03 23,6		
	KSP	Δ=24 km. A_Z=300°		
		$1Pg_{NEZ}$	13 02 15,0	C
		$1Sg_{NEZ}$	18,5	
		Lm	23	
		NEZ: $0,2^s$; 0,37 μ, 0,44 μ, 0,50 μ		
		F	03,7	
30.III				
	KRA			
	(SKM)	$1Pg_{EZ}$	09 21 14,4	
		1_{EZ}	30,4	
		F	21,8	

Date	Station	Phase	T.U. h m s	
30.III		Pologne, région de Wałbrzych,		
		φ =50,7°N, λ =16,05°E,		
		H=$12^h03^m14,1^s$		
	KSP	Δ=12 km. A_Z=230°		
		$1P_{NEZ}$	12 03 16,8	C
		$1S_{NEZ}$	18,8	
		Lm	20	
		NEZ: $0,6^s$; 0,085 μ, 0,075 μ, 0,06 μ		
		F	03,8	
30.III				
	KSP	Δ≈ 130 km		
		$1Pg_{NEZ}$	16 50 34,2	C
		$e1Sg_{NEZ}$	51,2	
		F	51,3	
30.III		Pologne, Basse Silésie,		
		φ =50,65°N, λ =16,0°E,		
		H=$08^h50^m55,7^s$		
	KSP	Δ=28 km. A_Z=220°		
		$1Pg_{NEZ}$	08 51 [illegible]	
		$1Sg_{NEZ}$	05,1	
		F	51,6	
31.III				
	KSP	Δ ≈ 145°		
		$1Pg_{NEZ}$	12 08 57,1	C
		$e1Sg_{NEZ}$	09 16,1	
		F	09,5	
31.III				
	KSP	Δ≈ 120 km		
		$e1Pg_{NEZ}$	12 36 18,1	
		$e1Sg_{NEZ}$	34	
		F	36,9	

1973 — A V R I L — 1973

Date	Station	Phase	T.U. h m s	
2.IV				
	KSP	Δ≈120 km		
		$1Pg_{NEZ}$	12 26 58,3	
		NEZ: $0,2^s$; 0,035 μ, 0,025 μ, 0,04 μ		
		$e1Sg_{NEZ}$	27 14,3	
		F	27,5	
2.IV				
	KSP	Δ ≈ 140 km	12 58 40,8	D
		$1Pg_{NEZ}$	59,3	
		NEZ: $0,2^s$; 0,02 μ, 0,03 μ, 0,04 μ		
		$e1Sg_{NEZ}$	59,2	
		F		

International Seismological Centre

Date	Station	Phase	T.U. h m s	
3.IV				
	KRA (SKM)	$ei Pg_Z$	09 03 30,5	
		i_{NEZ}	34,0	
		$i(L)_{NEZ}$	48	
		F	04,1	
3.IV				
	KRA (SKM)	$\Delta \approx 110$ km		
		$e(Pg)_{NE}$	09 18 33	
		iSg_{NE}	48,0	
		i_{EZ}	49,8	
		F	19,2	
3.IV				
	KSP	$\Delta \approx 150^o$. $A_Z=210^o$		
		iPg_{NEZ}	16 48 25,6	
		$eiSg_{NEZ}$	44,6	
		F	49,1	
3.IV				
	KSP	$\Delta \approx 130^o$		
		iPg_{NEZ}	17 14 28,1	
		$eiSg_{NEZ}$	44,6	
		Lm	46	
		NEZ: $0,3^s$; 0,02 μ, 0,03 μ, 0,015 μ		
		F	15,4	
4.IV		PRU: ePn 13 45 28, eiPg 45 32, eSg 46 03		
	KSP	$\Delta \approx 110$ km		
		iPg_{NEZ}	13 45 11,6 C	
		$eiSg_{NEZ}$	25,6	
		F	46,3	
4.IV				
	KSP	$\Delta \approx 150$ km		
		iPg_{NEZ}	15 55 17,6 D	
		$0,2^s$. 0,065 μ, 0,015 μ, 0,045 μ		
		$eiSg_{NEZ}$	36,6	
			55,9	
5.IV				
	NIE	NE - inactives		
		iP_Z	12 30 36,5 D	

Date	Station	Phase	T.U. h m s	
5.IV	NIE	iS_Z		
		F	12 30 54,0	
			31,2	
5.IV				
	KRA (SKM)	$e(Pg)_{EZ}$	12 31 07,5	
		$ei(Sg)_{EZ}$	16	
		F	32,0	
6.IV		Pologne, Basse Silésie, $\varphi = 50,8^oN$, $\lambda = 16,0^oE$, $H = 07^h16^m36,8^s$		
	KSP	Δ=20 km. $A_Z=245^o$		
		iPg_{NEZ}	07 16 40,9 C	
		iSg_{NEZ}	43,9	
		Lm	45	
		NEZ: $0,2^s$; 0,04 μ, 0,08 μ, 0,065 μ		
		F	17,1	
6.IV		Tchécoslovaquie, PRU: 16 03 15,5, iSg 03 34; KHC: 16 03 27, eiSg 03 52		
	KSP	$\Delta \approx 120$ km		
		$i_{NZ}, ei_E Pg$	16 03 13,0 D	
		$eiSg_{NEZ}$	29,0	
		Lm	30	
		NEZ: $0,5^s$; 0,04 μ, 0,05 μ, 0,03 μ		
		F	04,6	
7.IV		PRU: ePn 13 14 53, eiPg 14 54,5, eiSg 15 28,5		
	KSP	Δ=120 km		
		iPg_{NEZ}	13 14 35,9 D	
		iSg_{NEZ}	51,4	
		Lm	53	
		NEZ: $0,2^s$; 0,04 μ, 0,045 μ, 0,02 μ		
		F	15,4	
17.IV				
	KSP	$\Delta \approx 140$ km		
		iPg_{NEZ}	13 23 08,9 D	
		$eiSg_{NEZ}$	27,4	
		Lm	28	
		NEZ: $0,2^s$; 0,05 μ, 0,04 μ, 0,02 μ		
		F	23,7	

Date	Station	Phase	T.U. h m s	
9.IV	KRA (SKM)	iP_{EZ}	12 41 34,3	
		F	44	
10.IV	KSP	$\Delta \approx 125$ km		
		iPg_{NEZ}	11 19 11,2	
		NEZ: $0,2^s$; 0,055 μ, 0,015 μ, 0,045 μ		
		$eiSg_N$	27,2	
		F	20,1	
10.IV		PRU: ePg 12 08 03, eSg 08 27		
	KSP	$\Delta \approx 125$ km		
		$eiPg_{EZ}$	12 07 54,7	
		$eiSg_{NEZ}$	08 10,7	
		F	08,6	
11.IV		Pologne, Basse Silésie		
	KSP	Δ=32 km		
		iPg_{NEZ}	12 59 20,5	
		N: - E: - Z: +		
		iSg_{NEZ}	25,0	
		F	13 00,0	
11.IV		Pologne, région NE de Wałbrzych		
	KSP	Δ=16 km		
		iP_{NEZ}	13 16 26,5	
		N: - E: - Z: +		
		iS_{NEZ}	29,0	
		F	16,7	
12.IV		PRU: ePg 11 58 32,5, iSg 58 52		
	KSP	Δ=35 km		
		$eiPg_{NEZ}$	11 58 12,0	
		iSg_{NEZ}	17,5	
		i_{NEZ}	26,9	
		F	59,0	
12.IV				
	NIE	$\Delta \approx 55$ km. NE - inactives		
		iPg_Z	12 03 58,0	
		Pm	58,4	
		Z: $0,7^s$; 0,032 μ		

Date	Station	Phase	T.U. h m s	
12.IV	NIE	$i(Sg)_Z$	12 04 05,5	
		i_Z	13,2	
		F	05,0	
12.IV				
	NIE	NE - inactives		
		iP_Z	13 01 55,0 C	
		ei_Z	02 04	
		F	03,0	
12.IV		Tchécoslovaquie, PRU: èPn 13 06 52,5, eiPg 07 57, eiSg 08 31,0		
	NIE			
		iPg_Z	13 06 12,8	
		Z: $0,7^s$; 0,023 μ		
		ei_Z	33,0	
	KSP	$\Delta \approx 125$ km		
		iPg_{NEZ}	13 06 36,0	
		NEZ: $0,2^s$; 0,06 μ, 0,015 μ, 0,045 μ		
		i_{NEZ}	38,0	
		iSg_{NEZ}	52,0	
		F	07,7	
12.IV		Pologne, région de Wałbrzych, $\varphi = 51,0^oN$, $\lambda = 16,2^oE$, $H = 13^h23^m51,9^s$		
	KSP	Δ=18 km. $A_Z=335^o$		
		iP_{NEZ}	13 23 54,0 C	
		iS_{NEZ}	56,3	
		i_{NEZ}	58,0	
		F	24,6	
16.IV		Pologne, région de Wałbrzych, $\varphi = 50,75^oN$, $\lambda = 16,1^oE$, $H = 11^h17^m50,7^s$		
	KSP	Δ=16 km. $A_Z=230^o$		
		iP_{NEZ}	11 17 54,0 C	
		Z: $0,2^s$; 0,05 μ		
		iS_{NEZ}	56,5	
		F	18,3	
19.IV				
	KSP	$\Delta \approx 120$ km		
		iPg_{NZ}	13 48 18,6	

International Seismological Centre

Date	Station	Phase	T.U. h m s	
19.IV (suite)	KSP	eiSg$_{NEZ}$	13 48 34,1	
		F	48,7	
25.IV		PRU: eiPg 13 35 24,5, eiSg 35 46,5		
	KSP	Δ≈160 km		
		eiPg$_{NZ}$	13 35 24,6	
		eiSg$_{NEZ}$	46,1	
		F	36,2	
25.IV		Pologne, région de Wałbrzych		
	KSP	Δ≈ 8 km. A$_Z$=340°		
		iP$_{NEZ}$	14 40 21,1	
		N: + E: - Z: -		
		i(S)$_{NEZ}$	22,1	
		ei$_{NEZ}$	25	
		F	41,1	
27.IV		PRU: iPg 11 00 46,5, iSg 01 06,5		
	KSP	Δ≈ 80 km		
		eiPg$_{NEZ}$	11 00 26,8	D
		i$_Z$	29,8	
		iSg$_{NEZ}$	36,8	
		ei$_{NEZ}$	48	
		F	01,2	

Date	Station	Phase	T.U. h m s	
27.IV	KRA (SKM)	iPg$_{NEZ}$	12 30 40,9	
		ei(Sg)$_{NEZ}$	55,4	
		F	31,4	
27.IV	KSP	Δ=45 km		
		eiPg$_{NEZ}$	12 56 31,8	
		eiSg$_{NEZ}$	37,8	
		ei$_{NEZ}$	41	
		F	57,3	
27.IV		PRU: ePn 14 44 31,5, eiPg 44 36, eSg,45 06		
	KSP	Δ≈38 km		
		iPg$_{NEZ}$	14 44 14,8	D
		Z: 1^s; 0,08 μ		
		eiSg$_{NEZ}$	30,3	
		F	45,1	
27.IV				
	KSP	Δ≈120 km		
		iPg$_{NEZ}$	15 40 15,3	
		iSg$_{NEZ}$	34,3	
		F	40,8	

1973	M A I	1973

Date	Station	Phase	T.U. h m s	
2.V	NIE	Δ≈120 km		
		eiPg$_Z$	19 31 08,3	
		Z: 0,6^s; 0,015 μ		
		eSg$_{EZ}$	24	
3.V	NIE	Δ=26 km		
		iPg$_Z$	01 20 14	
		iSg$_Z$	17,8	
3.V	NIE	i$_E$	01 20 20,0	
		F	20,7	
3.V		PRU: eiPg 12 20 15, ei(Sg) 20 31; KHC: eiPg 12 20 25, eiSg 20 45		
	KSP	Δ≈120 km		
		iPg$_Z$	12 20 30,1	
		i$_{EZ}$	30,6	
		eiSg$_{NEZ}$	55,6	
		F	21,2	

Date	Station	Phase	T.U. h m s	
3.V		Pologne, région de Wałbrzych φ=50,95°N, λ=16,15°E, H=12^{h}34^{m}29,2^s		
	KSP	Δ=16 km. A$_Z$=320°		
		iP NEZ	12 34 32,6	C
		iS NEZ	35,1	
		F	34,9	
3.V	KSP	Δ ≈ 115 km		
		eiPg$_Z$	13 38 04,3	
		i$_{NEZ}$	04,6	
		eiSg$_{NEZ}$	19,1	
		F	38,5	
4.V	KRA (SKM)	Δ ≈ 34 km		
		eiPg$_{EZ}$	09 17 25	
		ei$_N$,i$_{EZ}$ Sg	29,8	
4.V	KSP	Z - inactive	Δ ≈ 125 km	
		ei(Pg)$_{NE}$	12 24 36,2	
		eiSg$_{NE}$	52,7	
		F	25,0	
5.V	KSP	Δ ≈ 110 km		
		iPg$_{NEZ}$	13 39 15,6	C
		N: + E: + Z: +		
		iSg$_{NEZ}$	29,6	
		F	40,1	
6.V	NIE	Δ ≈ 140 km		
		ePg$_Z$	02 51 40	
		eSg$_Z$	58,5	
		F	52,2	
7.V	KSP	Δ ≈ 135 km		
		iPg$_{NEZ}$	15 12 17,3	
		i$_{NE}$,ei$_Z$ Sg	34,8	
		F	13,2	

Date	Station	Phase	T.U. h m s	
8.V	NIE	Δ≈170 km		
		iPg$_Z$	13 09 20	
		Z: 0,4^s; 0,032 μ		
		ei$_Z$	28,5	
		e(Sg)$_Z$	42	
		F	10,0	
	KRA (SKM)	Traces		
		ePg$_Z$	13 09 27,5	
9.V		Pologne, région NE de Wałbrzych, φ=51,0°N, λ=16,4°E, H=12^{h}52^{m}13,1^s		
	KSP	Δ=20 km. A$_Z$=22°		
		iPg$_{NEZ}$	12 52 17,4	C
		iSg$_{NEZ}$	20,4	
		Lm	23,5	
		NEZ:0,8^s; 0,08 μ, 0,04 μ, 0,06 μ		
		F	52,9	
10,V	KSP	Δ ≈ 180 km		
		ePn$_{NEZ}$	16 44 42,7	
		iPg$_{NEZ}$	45,7	
		NEZ: 0,8^s; 0,11 μ, 0,10 μ, 0,11 μ		
		i$_Z$	54,0	
		iSg$_{NEZ}$	45 08,7	
		Lm	13	
		NEZ: 1^s; 0,15 μ, 0,12 μ, 0,17 μ		
		F	48,7	
12.V		Pologne, Basse Silésie, PRU: eiPg 09 15 32, eiSg 15 52		
	KSP	Δ=24 km		
		eiPg$_{NEZ}$	09 15 08,7	
		iSg$_{NEZ}$	12,2	
		F	15,9	
12.V	NIE	Δ ≈ 110 km		
		ePg$_Z$	14 41 41,5	
		iSg$_Z$	55,5	
		F	42,5	

International Seismological Centre

Date	Station	Phase	T.U. h m s	
12.V				
	NIE	Δ ≈ 40 km		
		$1Pg_Z$	18 38 27,5	
		$1Sg_Z$	33	
		F	39,0	
12.V				
	NIE	Δ ≈ 105 km		
		$ei1Pg_Z$	18 49 57,5	
		$1Sg_Z$	50 11,0	
		F	50,5	
12.V				
	NIE			
		$1Pg_Z$	18 57 49	
12.V				
	NIE			
		ePg_Z	20 34 39	
		F	35,5	
15.V		Tchécoslovaquie		
	KSP	Δ=160 km. A_Z=210°		
		$1Pg_{NEZ}$	15 52 14,1	D
		i_{NZ}	15,2	
		i_{NE},ei_Z Sg	34,1	
		F	53,0	
15.V				
	NIE	Δ=20 km		
		$1Pg_Z$	19 14 59	
		$1Sg_E$	15 02	
		F	15,3	
17.V		PRU: 1Pg 08 45 17, 1Sg 45 27,5		
	KSP	Δ ≈ 55 km		
		ePg_{NEZ}	08 45 15,5	
		$ei1Sg_{NEZ}$	23,0	
		F	46,2	
17.V				
	NIE	Δ ≈ 37 km		
		$1Pg_Z$	14 06 25	
		$1Sg_Z$	30,2	
		F	06,8	

Date	Station	Phase	T.U. h m s	
18.V				
	NIE	Δ ≈ 40 km		
		$1Pg_Z$	18 56 04,5	
		$1Sg_{EZ}$	10,0	
		ei_Z	14,5	
		F	56,5	
18.V				
	NIE	Δ ≈ 35 km		
		$1Pg_Z$	19 05 46	
		Z: 0,3s; 0,043 μ		
		$1Sg_Z$	51	
		ei_Z	56	
		F	06,3	
21.V		Pologne, Basse Silésie, φ=50,9°N, λ=15,9°E, H=08h14m16,4s; PRU: 1Pg 08 14 41,5, 1Sg 15 00		
	KSP	Δ=28 km. A_Z=285°		
		$ei1Pg_{NEZ}$	08 14 21,8	C
		$1Sg_{NEZ}$	25,8	
		Lm	28,8	
		NEZ: 0,2s; 0,11 μ, 0,10 μ, 0,12 μ		
		F	15,1	
21.V				
	KSP	Δ≈110 km		
		$1Pg_{NEZ}$	13 12 11,7	
		NEZ: 0,2s; 0,05 μ, 0,03 μ, 0,035 μ		
		$1Sg_{NEZ}$	25,7	
		F	12,8	
22.V				
	KSP	Δ≈170 km		
		$ei1Pg_{NEZ}$	11 13 38,0	C
		ei_{NE},e_Z Sg	14 02,0	
		F	14,6	
22.V				
	NIE	Δ≈37 km		
		$1Pg_Z$	18 52 41,8	
		i_Z	42,6	
		$1Sg_{EZ}$	47	
		F	53,3	

Date	Station	Phase	T.U. h m s	
23.V	NIE	Δ≈35 km		
		$1Pg_Z$	04 38 31,7	
		$1Sg_Z$	36,7	
		i_Z	41,2	
23.V	KSP	Δ≈60 km		
		ePg_Z	07 56 39,0	
		ei_{NEZ}	41,0	
		NEZ: 0,3s; 0,025 μ, 0,015 μ, 0,015 μ		
		$1Sg_{NEZ}$	47,0	
		F	57,2	
23.V	NIE	Δ=35 km		
		$1Pg_Z$	21 35 15	
		$ei1Sg_Z$	20	
		ei_Z	24	
		F	35,7	
23.V	NIE	Δ≈70 km		
		ePg_Z	22 14 55	
		$ei1Sg_Z$	15 05	
		F	15,7	
24.V	NIE	Δ≈100 km		
		$1Pg_Z$	11 00 49,5	
		Z: 0,4s; 0,042 μ		
		i_Z	56,5	
		$1Sg_Z$	01 02	
		F	01,5	
24.V	NIE	Δ=35 km		
		$1Pg_Z$	18 34 31,4	
		$1Sg_Z$	36,5	
		F	35,0	
24.V	NIE	Δ=40 km		
		$1Pg_Z$	20 18 14,4	C
		$1Sg_Z$	20	
		F	18,8	

Date	Station	Phase	T.U. h m s	
25.V		Pologne, Basse Silésie, H=12h29m04,9s		
	KSP	Δ≈40 km		
		$ei1Pg_{NEZ}$	12 29 12,4	
		NEZ: 0,2s; 0,01 μ, 0,015 μ, 0,015 μ		
		$1Sg_{NEZ}$	17,9	
		Lm	20	
		NEZ: 0,5s; 0,06 μ, 0,075 μ, 0,055 μ		
		F	30,4	
	NIE	Δ≈280 km		
		$1Pg_Z$	12 29 54	C
		Z: 0,3s; 0,114 μ		
		i_Z	56,5	
25.V				
	KSP	Δ≈190 km		
		ePg_{NZ}	14 00 29	
		i_{NEZ}	32,9	
		$1Sg_{NEZ}$	52,9	
		i_Z	54,5	
		F	01,4	
	RAC (SK)	Traces NEZ	14 00 - 02	
26.V				
	KSP	Δ≈115 km		
		ei_{NE},i_Z Pg	13 51 16,2	
		$eiSg_{NEZ}$	31,2	
		F	51,8	
26.V				
	KSP	Δ≈170 km		
		$1Pg_{NZ}$	14 50 06,2	D
		eSg_{NEZ}	28,2	
		F	50,8	
28.V		Pologne, SW de Wałbrzych, φ=50,95°N, λ=16,05°E, H=10h28m36,2s		
	KSP	Δ=20 km. A_Z=305°		
		$1Pg_{NEZ}$	10 28 40,3	C
		$1Sg_{NEZ}$	43,3	

International Seismological Centre

Date	Station	Phase	T.U. h m s	
28.V (suite)	KSP	Lm_{NEZ}	10 28 45	0,5^s; 0,07 μ, 0,08 μ, 0,10 μ
		F	29,1	
28.V		PRU: e1Pg 12 15 30, e1Sg 15 46,5; KHC: e1Pg 12 15 36,2, e1Sg 15 56,2		
	KSP	$\Delta \simeq 165$ km		
		$e1Pg_{NEZ}$	12 15 37,5	
		$e1Sg_{NEZ}$	58,8	
		F	16,6	
31.V		Δ=15 km		
	NIE			
		iP_Z	13 24 24,5 C	
		iS_Z	26,5	
		Lm_Z	27,5	
		Z: 0,25^s; 0,3 μ		

Date	Station	Phase	T.U. h m s	
31.V				
	NIE	$\Delta \simeq 130$ km		
		ePn_Z	13 59 41,5	
		iPg_Z	43	
		i_Z	46,5	
		iSg_Z	14 00 00	
		i_Z	07	
	KRA (SKM)	$e1Pg_{NEZ}$	13 59 54	
		i_{EZ}	14 00 17,5	
		Z: 0,7^s; 0,020 μ		
31.V		Pologne, NW de Wałbrzych, φ =51,0°N, λ =16,2°E, H=14^{h}24^{m}50,4^s		
	KSP	Δ=15 km. A_Z=335°		
		iP_{NEZ}	14 24 53,6	
		iS_{NEZ}	56,0	
		F	25,5	

1973	JUIN	1973

1.VI		PRU: e1Pg 11 57 46, e1Sg 58 09,5		
	KSP	$\Delta \simeq 130$ km		
		iPg_{NEZ}	11 57 37,2 D	
		iSg_{NEZ}	53,7	
		Lm	55	
		NEZ: 0,5^s; 0,05 μ, 0,10 μ, 0,05 μ		
1.VI		Pologne, NE de Wałbrzych, φ =50,95°N, λ =16,4°E, H=13^{h}05^{m}27,8^s		
	KSP	Δ=15 km. A_Z=30°		
		iP_{NEZ}	13 05 31,2 C	
		iS_{NEZ}	33,7	
		F	06,1	
5.VI		Pologne, NS de Wałbrzych, φ =50,75°N, λ =16,1°E, H=10^{h}01^{m}10,4^s		
	KSP	Δ=15 km. A_Z=225°		
		iP_{NEZ}	10 01 13,8 C	
		iS_{NEZ}	16,3	
		Lm	17,5	
		NEZ: 0,2^s; 0,05 μ, 0,05 μ, 0,07 μ		
		F	01,9	
5.VI				
	NIE	$\Delta \simeq 80$ km		
		iPg_Z	12 57 46,5 C	
		i_Z	48,0	
		iSg_Z	56,5	

Date	Station	Phase	T.U. h m s	
			12 58 03	
5.VI (suite)	NIE	Lm		
		Z: 1,0^s; 0,02 μ		
		F	58,6	
5.VI				
	NIE	$\Delta \simeq 90$ km		
		ePg_Z	13 22 37	
		i_Z	40	
		Z: 0,5^s; 0,029 μ		
		$i(Sg)_Z$	48,5	
		Lm	51	
		Z: 0,7^s; 0,069 μ		
		F	23,4	
6.VI		Pologne, Basse Silésie		
	KSP	Δ=28 km		
		iPg_{NEZ}	11 16 30,9 C	
		iSg_{NEZ}	34,4	
		F	16,8	
6.VI				
	NIE	Δ=18 km		
		iPg_Z	12 47 53 C	
		Z: 0,4^s; 0,07 μ		
		iSg_Z	55,7	
		F	48,6	
6.VI				
	KSP	$\Delta \simeq 115$ km		
		iPg_{NEZ}	14 30 33,9	
		$eiSg_{NEZ}$	48,9	
		F	31,3	
6.VI				
	NIE			
		ePg_Z	19 29 21,5	
		ei_Z	25,5	
		$i(L)_Z$	33	
		F	30,4	
7.VI		PRU: e1Pg 13 58 23, e1Sg 58 34,5; KHC: e1Pg 13 58 32,5, e1Sg 58 52,5		
	KSP	$\Delta \simeq 190$ km		
		$e1Pg_{EZ}$	13 58 39,8 C	
		$1Sg_{NEZ}$	59 04,3	
		F	59,8	

Date	Station	Phase	T.U. h m s	
7.VI				
	NIE	iPg_Z	17 24 52	
		i_Z	57	
		F	25,1	
7.VI				
	NIE			
		iPg_Z	18 09 30,5	
		i_Z	37	
		F	09,9	
7.VI				
	NIE	$\Delta \simeq 140$ km		
		$e1Pg_Z$	19 29 11,5	
		i_Z	23,5	
		iSg_E	29,0	
		F	29,9	
8.VI				
	KSP	$\Delta \simeq 100$ km		
		$ei_{NE,iZ}$ Pg	14 17 46,8	
		iSg_{NEZ}	18 00,3	
		F	18,7	
8.VI				
	NIE	$eiPg_Z$	19 38 46,5	
		$i(Sg)_Z$	59	
		F	39,8	
8.VI				
	NIE			
		iPg_Z	19 54 52,7	
		$i(Sg)_Z$	59,0	
		F	55,3	
9.VI				
	NIE		15 57 49,0 C	
		iPg_Z	55	
		$i(Sg)_Z$	58,3	
		F		
9.VI		Pologne, SW de Wałbrzych, φ=50,75°N, λ =16,05°E, H=11^{h}31^{m}46,2^s		
	KSP	Δ=20 km. A_Z=230°		
		$1Pg_{NEZ}$	11 31 50,3 C	

International Seismological Centre

Date	Station	Phase	T.U. h m s	
9.VI (suite)	KSP	iSg_{NEZ}	11 31 53,3	
		F	32,4	
9.VI		PRU: ePg 13 42 23, e(Sg) 43 01,5		
	KSP	Δ≃110 km		
		iPg_{NEZ}	13 41 59,8	
		iSg_{NEZ}	42 14,3	
		F	42,8	
9.VI				
	NIE			
		iPg_Z	16 22 00,5	
		ei_Z	06	
		F	22,5	
10.VI				
	NIE			
		iPg_Z	19 15 37	
		Z: $0,6^s$; 0,010 μ		
		e_Z	54	
11.VI		PRU: e(Pg) 15 12 21, e(Sg) 12 52		
	KSP	Δ=110 km		
		$eiPg_Z$	15 11 57,4	
		Z: $0,2^s$; 0,007 μ		
		i_{NE}, e_Z Sg	12 11,9	
		F	12,7	
11.VI				
	KSP	Δ← 65 km		
		iPg_{NEZ}	15 52 50,4	D
		iSg_{NEZ}	53 08,9	
		F	53,4	
12.VI				
	NIE	Δ≃ 75 km		
		iPg_Z	17 10 21,5	D
		$i(Sg)_Z$	31,5	
		iL_Z	33	
		F	11,0	

Date	Station	Phase	T.U. h m s	
13.VI				
	KSP	Δ≃ 130 km		
		ei_{NE}, i_Z Pg	09 29 12,6	D
		iSg_{NEZ}	29,4	
		F	30,1	
13.VI		PRU: ePg 11 21 08, eiSg 21 30		
	KSP	Δ=170 km		
		ei_N, i_Z Pg	11 21 05,4	C
		iSg_{NEZ}	27,4	
		F	21,9	
13.VI				
	KSP	Δ≃ 65 km		
		ei_{NE}, i_Z Pg	14 23 40,9	D
		$eiSg_{NEZ}$	59,4	
		F	24,2	
13.VI				
	KSP	Δ≃120 km		
		$eiPg_Z$	15 14 26,4	
		i_{NEZ}	26,9	
		iSg_{NEZ}	41,9	
		F	15,0	
14.VI				
	KSP	Δ≃170 km		
		iPg_{NEZ}	14 38 19,2	D
		i_{NEZ}	21,2	
		$eiSg_{NEZ}$	33,2	
		F	38,9	
14.VI				
	KSP	Δ=140 km		
		iPg_{NEZ}	15 06 16,2	
		N: + E: - Z: -		
		iSg_{NEZ}	07 34,2	
		F	07,4	
14.VI				
	NIE			
		$eiPg_Z$	18 37 07	
		i_Z	21	
		F	38,4	

Date	Station	Phase	T.U. h m s	
		Pologne, région de Wałbrzych		
15.VI	KSP	Δ=15 km		
		iP_{NEZ}	08 41 41,9	C
		iS_{NEZ}	44,4	
		Lm	46,4	
		NEZ: $0,2^s$; 0,12 μ, 0,11 μ, 0,07 μ		
		F	42,2	
15.VI				
	NIE	Δ≃ 80 km		
		iPg_Z	21 32 13,5	
		i_Z	15	
		$i(Sg)_Z$	24	
		iL_Z	27	
		F	32,9	
15.VI				
	NIE			
		ePg_Z	21 39 23	
		ei_Z	28	
		eiL_Z	42	
16.VI				
	KSP	Δ≃ 100 km		
		iPg_Z	13 57 30,5	
		i_{NEZ}	31,0	
		$eiSg_{NEZ}$	43,5	
		F	58,1	
18.VI		Pologne, SW de Wałbrzych, φ=50,7°N, λ=16,2°E, H=$12^h54^m58,1^s$		
	KSP	Δ=16 km. A_Z=205°		
		iP_{NEZ}	12 55 01,5	C
		iS_{NEZ}	04,0	
		eiL_{NEZ}	05	
		F	55,4	
18.VI		Pologne, Basse Silésie, PRU: iPg 13 00 16,3, iSg 00 35,3		
	KSP	Δ=28 km	12 59 57,5	C
		iPg_{NEZ}	13 00 01,5	
		iSg_{NEZ}		

Date	Station	Phase	T.U. h m s	
18.VI	KSP	Lm	13 00 03,-	
		NZ: $0,2^s$; 0,09 μ, 0,01 μ		
		F	00,6	
18.VI				
	KSP	Δ≃100 km		
		iPg_{NEZ}	15 22 41,5	
		N: + E: - Z: (+)		
		i_Z	42,0	
		$eiSg_{NEZ}$	54,5	
		F	23,1	
18.VI		PRU: eiPg 15 36 13,7, eiSg 36 30; KHC: eiPg 15 36 24,5, eiSg 36 43,5		
	KSP	Δ≃190 km		
		iPg_{EZ}	15 36 30,5	D
		Z: $0,15^s$; 0,015 μ		
		iSg_{NEZ}	54,5	
		F	37,3	
19.VI				
	KSP	Δ≃155 km		
		iPg_{NEZ}	15 55 25,7	D
		N: +		
		$eiSg_{NEZ}$	45,7	
		F	56,1	
19.VI				
	NIE			
		iP_Z	19 21 21	C
		Z: $0,3^s$; 0,034 μ		
		$i(S)_E$	23	
		i_Z	29,5	
		F	21,9	
20.VI		Pologne, SE de Wałbrzych, φ=50,75°N, λ=16,4°E, H=$12^h51^m53,2^s$		
	KSP	Δ=13 km. A_Z=130°		
		iP_{NEZ}	12 51 56,3	C
		iS_{NZ}	58,6	
		eiL_{NZ}	52 01	
		F	52,6	

International Seismological Centre

Date	Station	Phase	T.U. h m s
20.VI			
	KSP	Δ≈115 km	
		iPg_{NEZ}	14 14 06,6 D
		iSg_{NEZ}	21,6
		F	14,6
20.VI			
	NIE	Δ≈ 50 km	
		iPg_{EZ}	22 10 56,5
		ei_Z	11 01,5
		iSg_E	03,0
		F	12,3
21.VI		PRU: ePg 14 07 22, iSg 07 49	
	KSP	Δ≈115 km	
		iPg_{NEZ}	14 07 07,7 D
		iSg_{NEZ}	22,7
		Lm	24,7
		NEZ: 0,2s; 0,035 μ, 0,10 μ 0,06 μ	
		F	08,2
22.VI			
	KSP	Δ≈ 50 km	
		$eiPg_{NEZ}$	12 27 38,0 C
		$eiSg_{NZ}$	44,5
		eiL_{NZ}	46,5
		F	28,2
22.VI			
	NIE		
		iPg_Z	17 18 24 (C)
		Z: 0,6s; 0,026 μ	
		i_Z	25,5
		$i(Sg)_Z$	33
		F	19,1
22.VI			
	NIE		
		$eiPg_Z$	18 53 13
		i_Z	20
		F	53,6

Date	Station	Phase	T.U. h m s
23.VI			
	NIE		
		$eiPg_Z$	
		$i(Sg)_Z$	01 05 26,5
		F	42
			06,0
23.VI			
	NIE		
		iPg_Z	16 30 04 D
		$i(Sg)_Z$	09
		iL_Z	14
		F	30,5
26.VI			
	KSP	Δ≈ 90 km	
		iPg_Z	13 44 34,8
		iSg_Z	46,3
		F	45,3
26.VI		PRU: eiPg 15 53 35,0, eiSg 54 01; KHC: eiPn 15 53 44, eiSg 53 51,5	
	KSP	Δ≈ 130 km	
		iPg_Z	15 53 23,3
		Z: 0,2s; 0,04 μ	
		iSg_Z	40,3
		F	54,3
30.VI		Pologne, Basse Silésie, φ =51,05°N, λ =15,9°E, H=09h28m07,9s, PRU: ePg 09 28 36,5, eiSg 28 56,6	
	KSP	Δ=32 km. A_Z=315°	
		iPg_{NEZ}	09 28 14,0 D
		iSg_{NEZ}	18,5
		Lm	19,5
		NEZ: 0,2s; 0,07 μ, 0,05 μ, 0,04 μ	
		F	29,0

International Seismological Centre

Date	Station	Phase	T.U. h m s
1973			
1.VII			
	KSP	Δ≈ 85 km	
		$eiPg_{NEZ}$	11 50 26,2
		i_{EZ}	29,7
		i_{NEZ}	34,2
		iSg_{NEZ}	37,2
		Lm	41
		NEZ: 0,4s; 0,07 μ, 0,11 μ 0,04 μ	
		F	51,2
2.VII			
	KSP	Δ≈110 km	
		iPg_{NEZ}	16 39 28,5 D
		$eiSg_{NEZ}$	43,0
		F	40,1
2.VII			
	KSP	Δ≈130 km	
		iPg_{NEZ}	17 12 35,0
		iSg_{NEZ}	52,0
		F	13,1
3.VII			
	KSP	Δ≈170 km	
		iPg_{NEZ}	13 14 41,1 D
		$eiSg_{NEZ}$	53,1
		F	15,2
5.VII			
	NIE	Δ≈ 42 km	
		iPg_Z	14 24 13 C
		$i(Sg)_Z$	19
		F	24,7
5.VII			
	KSP	Δ≈220 km	
		iPg_{NEZ}	14 58 15,2
		iSg_{NEZ}	43,2
		F	59,4
5.VII			
	NIE		16 46 20 C
		iPg_Z Z: 0,5s; 0,04 μ	

Date	Station	Phase	T.U. h m s
5.VII	NIE	i_Z	16 46 25
		F	46,9
6.VII			
	KSP	Δ≈120 km	
		iPg_{NEZ}	15 03 49,1 D
		iSg_{NEZ}	04 04,6
		Lm	07
		NEZ: 0,2s; 0,055 μ, 0,04 μ, 0,25 μ	
6.VII			
	KSP	Δ≈125 km	
		iPg_{NEZ}	15 44 57,1 C
		Z: 0,2s; 0,045 μ	
		$eiSg_{NEZ}$	45 13,6
		F	45,7
7.VII		Pologne, SW de Wałbrzych, φ =50,7°N, λ =16,1°E, H=10h21m06,3s	
	KSP	Δ=20 km. A_Z=225°	
		iPg_{NEZ}	10 21 10,4
		NEZ: 0,2s; +0,045 μ, +0,05 μ, +0,04 μ	
		iSg_{NEZ}	13,4
		NEZ: 0,3s; 0,07 μ, 0,095 μ, 0,10 μ	
		i_{NEZ}	15,4
		Lm	17
		NEZ: 0,5s; 0,28 μ, 0,13 μ, 0,17 μ	
		F	21,8
7.VII			
	KSP	Δ≈130 km	
		iPg_{NEZ}	15 06 40,9
		NEZ: 0,2s; +0,07 μ, +0,01 μ -0,04 μ	
		iSg_{NEZ}	57,9
		F	07,2
9.VII			
	KSP	Δ≈130°.	
		iPg_{NEZ}	17 46 44,4 D

Date	Station	Phase	T.U. h m s	
9.VII (suite)	KSP	iSg_{NEZ}	17 47 01,4	
		F	47,3	
10.VII				
	NIE	Δ≃185 km		
		iPg_Z	15 47 33	C
		Z: 0,5^s; 0,15 μ		
		$i(Sg)_Z$	48 58	
		Lm	49 04	
		Z: 0,8^s; 0,75 μ		
		F	49,5	
11.VII		Pologne, Basse Silésie		
	KSP	Δ=32 km		
		iPg_{NEZ}	09 59 37,3	C
		iSg_{NEZ}	41,8	
		Lm	43	
		NEZ: 0,3^s; 0,075 μ, 0,14 μ, 0,075 μ		
		F	10 00,5	
11.VII				
	KSP	Δ≃110 km		
		$eiPn_Z$	15 22 47,3	
		iPg_{NEZ}	47,8	
		$eiSg_{NEZ}$	23 01,3	
		Lm	03	
		NEZ: 0,2^s; 0,03 μ, 0,025 μ, 0,02 μ		
		F	23,4	
11.VII				
	KRA (SKM)	Δ=24 km		
		$eiPg_{EZ}$	15 28 42,9	
		iSg_{NEZ}	46,4	
		F	29,3	
12.VII				
	KSP	Δ≃115 km		
		$eiPn_{NEZ}$	14 53 02,2	D
		iPg_{NEZ}	02,7	
		iSg_{NEZ}	17,7	
		F	53,7	
13.VII				
	KSP	Δ≃145 km		
		ePn_Z	09 00 29,0	

Date	Station	Phase	T.U. h m s	
13.VII	KSP	iPg_{NEZ}	09 00 29,7	
		Z: 0,2^s; 0,09 μ		
		i_Z	34,7	
		iSg_{NEZ}	48,7	
		F	02,5	
13.VII		Pologne, Basse Silésie		
	KSP	Δ=32 km		
		iPg_{NEZ}	12 58 35,7	
		Z: 0,2^s; 0,025 μ		
		iSg_{NEZ}	40,2	
		Lm	43	
		NEZ: 0,5^s; 0,13 μ, 0,16 μ, 0,12 μ		
		F	59,4	
14.VII				
	NIE	Δ=20 km		
		$eiPg_{EZ}$	10 51 44,8	
		$eiSg_{NEZ}$	47,8	
		F	52,4	
14.VII				
	NIE	Δ≃130 km		
		iPg_Z	12 31 56	
		Pgm	57,5	
		Z: 0,6^s; 0,04 μ		
		$i(Sg)_Z$	32 12,5	
		F	33,0	
14.VII				
	NIE	Δ=40 km		
		iPg_Z	15 00 03	C
		Z: 0,4^s; 0,063 μ		
		iSg_Z	08,5	
		F	01,7	
16.VII		Pologne, region de Wałbrzych, φ=50,95°N, λ=16,20°E, H=13^{h}21^{m}20,4^s		
	KSP	Δ=12 km. A_Z=343°		
		iP_{NEZ}	13 21 23,1	D
		iS_{NEZ}	25,1	
		F	22,1	

International Seismological Centre

Date	Station	Phase	T.U. h m s	
17.VII	NIE	Traces	03 57 25	
		ePg_Z	30	
		ei_Z	58,5	
		F		
19.VII	NIE	Δ≃60 km		
		ePg_Z	13 43 12	
		$i(Sg)_Z$	20	
		F	44,3	
19.VII	NIE	Δ≃32 km		
		iPg_Z	18 41 36	C
		Z: 0,5^s; 0,051 μ		
		$i(Sg)_Z$	40,5	
		F	42,6	
20.VII	NIE	Δ≃90 km		
		$eiPg_Z$	07 57 52	D
		Z: 0,6^s; 0,017 μ		
		$ei(Sg)_Z$	58 03,5	
		i_Z	07	
		F	59,4	
	KSP	$eiSg_{NEZ}$	07 58 36,9	
		F	59,1	
20.VII	NIE			
		ePg_Z	08 48 21	
		ei_Z	24	
		F	49,4	
20.VII	NIE	Δ≃60 km		
		ePg_Z	18 26 27,5	
		i_Z	31,5	
		$i(Sg)_Z$	35,5	
		F	27,8	
20.VII	NIE	Δ≃40 km		
		iPg_Z	21 35 04	D

Date	Station	Phase	T.U. h m s	
20.VII	NIE	$i(Sg)_Z$	21 35 10,5	
		F	35,9	
21.VII		Pologne, NW de Wałbrzych, φ=50,95°N, λ=16,20°E ; H=08^{h}22^{m}20,0^s		
	KSP	Δ=12 km. A_Z=342°		
		iP_{NEZ}	08 22 24,7	C
		iS_{NEZ}	26,7	
		F	23,0	
27.VII				
	KSP	Δ≃155 km		
		iPg_{NEZ}	12 59 51,4	
		iSg_{NEZ}	13 00 11,4	
		i_{NEZ}	15,9	
		F	00,5	
30.VII		Pologne, SW de Wałbrzych		
	KSP	Δ=16 km		
		iP_{NEZ}	13 27 36,2	C
		iS_{NEZ}	38,7	
		Lm	40	
		NEZ: 0,5^s; 0,03 μ, 0,04 μ, 0,05 μ		
		F	28,0	
30.VII		Pologne, SW de Wałbrzych φ=50,8°N, λ=16,1°E, H=18^{h}58^{m}54,3^s		
	KSP	Δ=16 km. A_Z=245°		
		iP_{NEZ}	18 58 57,7	C
		iS_{NEZ}	59 00,2	
		Lm	03	
		NEZ: 0,5^s; 0,085 μ, 0,07 μ, 0,11 μ		
		F	59,3	
31.VII		Pologne, Basse Silésie		
	KSP	Δ=28 km		
		iPg_{NEZ}	08 45 26,2	D
		iSg_{NEZ}	30,2	
		Lm	34	
		NEZ: 0,6^s; 0,06 μ, 0,075 μ, 0,055 μ		
		F	46,1	

Date	Station	Phase	T.U. h m s
1973		A O Û T	
1.VIII		Pologne, région de Wałbrzych	
	KSP	Δ=32 km	
		$eiPg_{NEZ}$	09 06 30,2
		Z: 0,2^s; 0,04μ	
		iSg_{NEZ}	34,7
		F	07,1
1.VIII		Pologne, région de Wałbrzych, φ =50,95°N, λ =16,3°E, H=12^{h}51^{m}18,8^s	
	KSP	Δ=16 km. A_Z=20°	
		iP_{NEZ}	12 51 42,2 C
		iS_{NEZ}	44,7
		F	52,3
1.VIII			
	NIE	Δ≈130 km	
		iPg_Z	21 30 34,0 D
		Z: 0,4^s; 0,039 μ	
		ei_Z	45
		$i(Sg)_E$	51
		F	31,3
3.VIII		Pologne, Basse Silésie	
	KSP	Δ=20 km	
		iPg_{NEZ}	11 32 54,6 C
		iSg_{NEZ}	57,6
		Lm	59,6
		NEZ: 0,6^s; 0,035 μ, 0,07 μ, 0,095 μ	
		F	33,2
4.VIII		Slovaquie, KHC: ePn 10 43 49,5, eiSg 44 44,5	
	NIE		
		$eiPg_Z$	10 43 12,2
		$i(Sg)_Z$	30
		F	46,0
	RBN		
		(ePg_Z)	10 43 14,2
		ei_N, i_E Sg	28,3
		F	45,2
	RAC	Δ≈120 km	
		$eiPg_Z$	10 43 14,5
4.VIII	RAC	iSg_E	10 43 30,0
		F	45,5
	KRA (SKM)	Δ≈130 km	
		iPg_{NEZ}	10 43 16,1 D
		N: - E: (-)	
		iSg_{NE}	32,5
	KSP	Δ≈240 km	
		$eiPn_Z$	10 43 33,7
		iPg_{NEZ}	38,2
		ei_{NEZ}	44 07,3
		iSg_{NEZ}	13,7
		Lm	20
		NEZ: 0,6^s; 0,045 μ, 0,065 μ, 0,075 μ	
		F	46,4
5.VIII			
	NIE		
		iPg_{EZ}	21 30 33
		E: - Z: -	
		e_E	50
		F	31,5
6.VIII		Pologne, région de Wałbrzych	
	KSP	Δ = 8 km	
		iP_{NEZ}	14 16 53,8 C
		iS_{NEZ}	55,3
		iL_{EZ}	59
		F	17,5
6.VIII			
	NIE	Δ≈ 70 km	
		iPg_Z	16 53 19 D
		Z: 0,6^s; 0,045 μ	
		$i(Sg)_Z$	28,5
		F	54,3
	KRA (SKM)	Traces	
		Z	16 53 24 - 54^m
7.VIII		PRU: eiPg 12 36 54,7, eiSg 37 09,7; KHC: eiPg 12 37 03, eiSg 37 23	
7.VIII (suite)	KSP	Δ≈190 km	
		$eiPg_{EZ}$	12 37 10,5
		$eiSg_{NEZ}$	35,0
		F	38,0
7.VIII			
	NIE		
		$e(Pg)_Z$	21 30 32,5
		i_Z	34,5
		ei_Z	48,5
		eL_Z	31,0
		F	31,5
8.VIII		PRU: iPg 16 00 41,5, eiSg 01 06; KHC: e 16 00 48, eiPg 00 52,5, eiSg 01 24	
	KSP	Δ≈170 km	
		$eiPg_{NZ}$	16 00 37,6
		$eiSg_{NZ}$	01 00,1
		F	01,6
9.VIII		PRU: iPg 08 00 19,5, eiSg 00 35,5; KHC: e 08 00 40	
	KSP	Δ≈130 km	
		iPg_{NEZ}	08 00 27,5 D
		iSg_{NEZ}	44,0
		NEZ: 0,3^s; 0,06 μ, 0,09 μ, 0,10 μ	
		i_{NZ}	52,5
		F	02,0
9.VIII		PRU: eiPg 09 07 15, iSg 07 35	
	KSP	Δ≈150 km	
		$eiPg_{NZ}$	09 07 16,0
		$eiSg_{NEZ}$	36,5
		F	07,7
10.VIII		PRU: eiPg 12 49 10,5 , eiSg 49 24,5; KHC: eiPg 12 49 40	
	KSP	Δ≈ 200 km	
		$eiPg_{EZ}$	12 49 26,8
		$eiSg_{NEZ}$	51,8
		F	50,1
12.VIII			
	NIE	Δ≈ 140 km	
		$eiPg_Z$	23 20 20
		Z: 0,9^s; 0,008 μ	
12.VIII	NIE	$ei(Sg)_Z$	23 20 38,5
		F	21,3
13.VIII			
	NIE		
		$eiPg_Z$	09 11 37
		Z: 0,7^s; 0,006 μ	
15.VIII			
	NIE	Δ≈170 km	
		iPg_Z	00 21 52,0 D
		Z: 0,7^s; 0,007 μ	
		$i(Sg)_Z$	22 13
		F	22,6
15.VIII		Pologne, Basse Silésie, φ =50,95°N, λ =15,85°E, H=13^{h}02^{m}03,7^s; PRU: iPg 13 02 29,8, eiSg 02 48,8; KHC: ePg 13 02 49,5, eiSg 03 20,5	
	KSP	Δ=32 km. A_Z=295°	
		iPg_{NEZ}	13 02 09,8 C
		iSg_{NEZ}	14,3
		Lm	17
		NEZ: 0,2^s; 0,17 μ, 0,23 μ, 0,10 μ	
		F	03,6
16.VIII		Pologne, Basse Silésie	
	KSP	Δ=32 km	
		iPg_{NEZ}	09 19 40,2 D
		iSg_{NEZ}	44,7
		NEZ: 0,3^s; 0,065 μ, 0,065 μ, 0,03 μ	
		iL_{NEZ}	47
		F	20,4
18.VIII		Pologne, Basse Silésie, φ =51,05°N, λ =16,0°E, H=10^{h}59^{m}53,1^s; PRU: eiPg 11 00 17,7, iSg 00 35,2; KHC: ePg 11 00 39, eiSg 01 07	
	KSP	Δ=32 km. A_Z=315°	
		iPg_{NEZ}	10 59 59,2 D
		iSg_{NEZ}	11 00 03,7

International Seismological Centre

Date	Station	Phase	T.U. h m s
18.VIII (suite)	KSP	Lm	11 01 06
		NEZ: 0,2^{s}; 0,05 μ, 0,09 μ 0,06 μ	
		F	01,9
21.VIII			
	KRA (SKM)	ei_{NZ},e_{E} Pg	10 50 41,5
		Pm	42,6
		Z: 0,5^{s}; 0,037 μ	
		F	51,3
22.VIII			
	NIE		
		iPg_{Z}	16 06 35,5
		Z: 0,5^{s}; 0,015 μ	
		i_{Z}	58,5
		F	07,6
23.VIII			
	KSP	Δ≈ 170 km	
		$eiPg_{Z}$	15 32 17,1
		$eiSg_{NEZ}$	38,6
		F	33,3
26.VIII			
	KRA (Ch)	Δ≈ 36 km	
		ePg_{NEZ}	09 55 04,9
		$1Sg_{NEZ}$	10
		Lm	17
		NEZ: 1,2^{s}; 0,17 μ, 0,25 μ, 0,20 μ	
		F	56,2
29.VIII			
	KRA (SKM)	Δ=20 km	
		ei_{NE},e_{Z} Pg	10 43 42,3 D
		$1Sg_{NEZ}$	45,3
		F	44,5
31.VIII			
	KSP	Δ≈ 60 km	
		$1Pg_{NEZ}$	13 22 37,0 C
		NEZ: 0,2^{s}; 0,015 μ, +0,01 μ, +0,01 μ	
		$1Sg_{NEZ}$	45,0
		eiL_{NEZ}	48
		F	23,3

1973 — S E P T E M B R E — 1973

Date	Station	Phase	T.U. h m s
3.IX		Pologne, région de Wałbrzych	
	KSP	Δ=12 km	
		eiP_{NEZ}	14 01 20,2
		NEZ: 0,5^{s}; 0,04 μ, 0,015 μ 0,04 μ	
		eiS_{NEZ}	22,2
		eiL_{NEZ}	24
		F	01,8
8.IX			
	KSP	Δ≈ 280 km	
		$eiPg_{EZ}$	10 00 37,1
		$eiSg_{NEZ}$	01 01,6
		F	02,2
10.IX			
	KRA (SKM)	ei_{E},i_{Z} Pg	12 54 59,8
		Z: 0,8^{s}; 0,041 μ	
10.IX	KRA	ei_{NZ}	12 54 08,8
21.IX			
	KSP	Δ≈ 115 km	
		iPg_{NEZ}	18 12 40,5 D
		NEZ: 0,2^{s}; 0,025 μ, 0,01 μ -0,015 μ	
		iSg_{NEZ}	55,5
		F	13,2
22.IX		Pologne, région de Wałbrzych	
	KSP	Δ = 16 km	
		$1P_{NEZ}$	11 15 08,5
		$1S_{NEZ}$	11,0
		F	15,6
25.IX		Pologne, Basse Silésie, PRU: ePg 14 12 30, eiSg 12 48	

1973 — O C T O B R E — 1973

Date	Station	Phase	T.U. h m s
25.IX (suite)	KSP	Δ=24 km	
		$1Pg_{NEZ}$	14 12 09,0
		NEZ: 0,2^{s}; - ; - ; -0,11 μ	
		$1Sg_{NEZ}$	12,5
		Z: 0,3^{s}; 0,16 μ	
		F	12,8
26.IX		Pologne, région de Wałbrzych PRU: 1Pg 13 00 41,5, 1Sg 01 00; KHC: ePg 13 01 00, eiSg 01 32	
	KSP	Δ=16 km	
		$1P_{NEZ}$	13 00 22,5 D
		$1S_{NEZ}$	25,0
		NEZ: 0,3^{s}; 0,09 μ, 0,10 μ 0,14 μ	
		Lm	29
		NEZ: 0,3^{s}; 0,10 μ, 0,18 μ 0,33 μ	
		F	01,9
27.IX			
	KSP	Δ≈ 135 km	
		$e1Pg_{NEZ}$	16 07 40,5
		$e1Sg_{NEZ}$	58,0
		F	08,3
28.IX		PRU: 1Pg 17 11 08,5, 1Sg 11 33,5; KHC: e1Pg 17 11 24, e1Sg 11 59	
	KSP	Δ≈ 125 km	
		$1Pg_{NEZ}$	17 10 56,5 D
		$1Sg_{NEZ}$	11 13,0
		Lm	14
		NEZ: 0,5^{s}; 0,08 μ, 0,10 μ, 0,095 μ	
		F	11,7

1973 — O C T O B R E — 1973

Date	Station	Phase	T.U. h m s
3.X		PRU: e1Pg 08 57 00, e1Sg 57 20	
	KSP	Δ≈ 170 km	
		$e1Pg_{NZ}$	08 57 00,0
		$e1Sg_{NZ}$	22,5
		F	57,7
4.X		PRU: e1Pg 13 29 41,5, e1Sg 29 57	
	KSP	Δ≈ 160 km	
		$e1Pg_{EZ}$	13 29 50,0
		$e1Sg_{NEZ}$	30 11,0
		F	30,5
4.X		PRU: 1Pg 17 13 08, 1Sg 13 25	
	KSP	Δ≈ 160 km	
		$1Pg_{NEZ}$	17 13 14,5 D
		$e1Sg_{NEZ}$	35,0
		F	13,8
5.X		Tchécoslovaquie, PRU: explosion de 10 tonne, φ =50,79°N, λ =14,53°E	
5.X	KSP	Δ = 120 km	
		$1Pg_{NEZ}$	08 30 24,0 D
		$1Sg_{NEZ}$	41,0
		Lm	44
		NEZ: 0,5^{s}; 0,04 μ, 0,03 μ, 0,04 μ	
		F	31,3
5.X	KSP	Δ≈ 160 km	14 10 03,0
		$e1Pg_{NEZ}$	24,0
		$e1Sg_{NEZ}$	10,6
		F	
9.X	KSP	Δ≈ 110 km	14 07 14,0
		$1Pg_{NEZ}$ Z: 0,2^{s}; 0,02 μ	28,0
		$1Sg_{NEZ}$	07,9
		F	
10.X	KSP	Δ≈ 190 km	
		$e1Pg_{NEZ}$	11 26 51,0

International Seismological Centre

Date	Station	Phase	T.U. h m s
10.X (suite)	KSP	$e1Sg_{NEZ}$	11 27 15,5
		F	27,5
10.X		PRU: e1Pg 11 50 27,5, e1Sg 50 40,5	
	KSP	Δ≈ 210 km	
		$e1Pg_{EZ}$	11 50 44,5
		$e1Sg_{NEZ}$	51 11,5
		F	51,7
11.X		Pologne, Basse Silésie	
	KSP	Δ=28 km	
		iPg_{NEZ}	09 33 46,0 C
		Z: $0,2^s$; 0,025 μ	
		$1Sg_{NEZ}$	50,0
		Lm	51
		NEZ: $0,2^s$; 0,04 μ, 0,04 μ 0,06 μ	
		F	34,1
12.X		Tchécoslovaquie, PRU: explosion de 17,8 tonne, φ =50,90°N, λ =15,07°E,	
	KSP	Δ=85 km	
		$e1Pg_{NEZ}$	09 58 29,5
		i_{NEZ}	31,5
		$e1Sg_{NEZ}$	40,0
		Lm	49
		NEZ: $0,4^s$; 0,05 μ, 0,07 μ 0,05 μ	
		F	10 00,7
12.X			
	KSP	Δ≈ 110 km	
		$1Pg_{NEZ}$	14 56 39,0
		Z: $0,4^s$; 0,05 μ	
		$1Sg_{NEZ}$	53,0
		F	57,3
13.X		Pologne, région de Wałbrzych PRU: ePg 08 49 28,5, e1Sg 49 47	
	KSP	Δ=16 km	
		$1P_{NEZ}$	08 49 07,0 D
		Z: $0,2^s$; 0,07 μ	
		$1S_{NEZ}$	09,5
		NEZ: $0,4^s$; 0,12 μ, 0,10 μ 0,11 μ	

Date	Station	Phase	T.U. h m s
13.X	KSP	1_{NEZ}	08 49 12,5
		F	49,6
13.X			
	KSP	Δ=115 km	
		$1Pg_{EZ}$	13 37 48,0 D
		EZ: $0,4^s$; +0,03 μ, -0,06 μ	
		$1Sg_{EZ}$	38 03,0
		F	38,3
14.X			
	NIE	Δ=24 km	
		$e1Pg_Z$	02 19 11
		$e1Sg_Z$	14,5
16.X		Pologne	
	KRA (SKM)	Δ = 24 km	
		$e1Pg_{EZ}$	12 32 36,6
		$1Sg_{NEZ}$	40,1
		F	33,3
16.X			
	KSP	Δ=170 km	
		$1Pg_{NEZ}$	17 46 36,0
		$1Sg_{NE}$	58,0
		F	47,4
17.X			
	KRA (SKM)	Δ≈ 40 km	
		$e1Pg_{EZ}$	09 01 27,0
		E: - Z: +	
		$1Sg_{NEZ}$	32,7
		F	02,0
20.X		Pologne, Basse Silésie, H=$09^h18^m32,1^s$; PRU: e1Pg 09 19 01, 1Sg 19 20,5	
	KSP	Δ=28 km. A_Z=200°	
		$1Pg_{NEZ}$	09 18 37,5 D
		$1Sg_{NEZ}$	41,5
		Lm	43
		NEZ: $0,5^s$; 0,06 μ, 0,08 μ 0,06 μ	
		F	19,5

Date	Station	Phase	T.U. h m s
22.X	KSP,	Δ≈100 km	
		$e1Pg_{NEZ}$	15 27 42,0
		Z: $0,5^s$; 0,05 μ	56,0
		$1Sg_{NEZ}$	28,4
		F	
23.X		PRU: ePg 12 45 58, e1Sg 46 21,5	
	KSP	Δ≈ 170 km	
		$e1Pg_{NZ}$	12 45 56,0
		$e1Sg_{NEZ}$	46 18,0
		F	46,5
23.X			
	KSP	Δ≈ 200 km	
		$1Pg_{NEZ}$	14 52 34,0
		Z: $0,2^s$; 0,07 μ	50,0
		$e1Sg_{NEZ}$	53,0
		F	
24.X			
	KSP	Δ≈ 125 km	
		$1Pg_{NEZ}$	15 21 53,5 C
		Z: $0,5^s$; 0,05 μ	
		$e1Sg_{NEZ}$	22 10,0
		F	22,4
25.X			
	KSP	Δ≈ 120 km	
		$1Pg_{NEZ}$	12 05 24,0 D
		Z: $0,5^s$; 0,02 μ	39,5
		$1Sg_{NEZ}$	41
		Lm	
		NEZ: $0,5^s$; 0,02 μ, 0,04 μ 0,04 μ	
		F	06,3
26.X		PRU: 1Pg 10 13 06,5, 1Sg 13 08	
	KSP	Δ≈ 145 km	
		$e1Pg_{NE}$	10 13 32,0
		$e1Sg_{NEZ}$	51,0
		F	14,0
26.X		PRU: ePg 11 07 59, e1Sg 08 14,5	

Date	Station	Phase	T.U. h m s
26.X	KSP	Δ≈ 110 km	
		$e1Pg_{NE}$	11 08 16,0
		$e1Sg_{NEZ}$	40,5
		F	08,8
26.X			
	KSP	Δ≈ 110 km	
		$1Pg_{NEZ}$	15 12 00,0
		$e1Sg_{NEZ}$	14,5
		F	12,5
26.X			
	NIE	Δ≈ 80 km	
		$e1Pg_Z$	15 36 42,3
		$e1_Z$	44,8
		$1Sg_{EZ}$	53,0
		F	37,5
27.X			
	KSP	Δ≈ 185 km	
		$e1Pg_{NE}$	09 52 13,0
		$e1Sg_{NEZ}$	37,0
		F	53,5
27.X			
	KSP	Δ≈ 110 km	
		$1Pg_{NEZ}$	15 41 45,5
		$e1Sg_{NEZ}$	42 00,0
		F	42,4
29.X			
	KSP	Δ≈ 115 km	
		$1Pg_{NEZ}$	16 17 18,0
		$1Sg_{NEZ}$	33,0
		F	17,8
30.X		PRU: e1Pg 08 57 16,5, e1Sg 57 31; KHC: ePg 08 57 26, e1Sg 57 45	
	KSP	Δ≈ 270 km	
		$e1Pg_{EZ}$	08 57 33,0
		$e1Sg_{NEZ}$	57,0
		F	58,1
30.X			
	KSP	Δ≈ 160 km	
		$e1Pg_{EZ}$	21 21 00,0

International Seismological Centre

Date	Station	Phase	T.U. h m s	
30.X (suite)	KSP	$eiSg_{NEZ}$	21 21 20,0	
		F	21,8	
31.X				
	KSP	Δ≈ 195 km		
		$eiPg_{NEZ}$	11 20 17,0	
		$eiSg_{NEZ}$	42,0	
		F	21,7	
31.X				
	KRA (SKM)	Δ≈ 55 km		
		iPg_{Z}	15 21 22,2	

Date	Station	Phase	T.U. h m s	
31.X	KRA	$eiSg_{NEZ}$	15 21 29,7	
		F	22,2	
31.X				
	KSP	Δ≈ 185 km		
		iPg_{NEZ}	21 34 53,0	C
		Z: $0,5^s$; 0,01 μ		
		$eiSg_{NEZ}$	35 17,0	
		F	35,6	

1973 NOVEMBRE 1973

1.XI		PRU: eiPn 11 25 57,6, eiSn 26 18; KHC: iPg 11 25 49, iSg 26 04,5		
	KSP	Δ≈ 155 km		
		iPg_{NEZ}	11 25 55,0	
		iSg_{NEZ}	26 15,0	
		F	27,0	
2.XI				
	KSP	Δ≈ 160 km		
		$eiPg_{NEZ}$	12 01 07,0	
		$eiSg_{NEZ}$	27,5	
		F	01,8	
2.XI				
	NIE	Δ≈ 75 km		
		iPg_{Z}	12 34 36,8	C
		Z: $0,3^s$; 0,020 μ		
		iSg_{Z}	47,0	
		i_{Z}	52,1	
		F	35,5	
	KRA (SKM)	Δ≈ 75 km		
		iPg_{NEZ}	12 34 37,0	D
		N: + E: +		
		i_{Z}	38,5	
		F	35,0	
2.XI		Pologne, Basse Silésie, φ=51,05°N, λ =15,95°E, $H=13^h03^m03,4^s$; PRU: ePg 13 03 30,3, eiSg 03 46,3		

2.XI	KSP	Δ=32 km. $A_Z=315°$		
		iPg_{NEZ}	13 03 09,5	C
		iSg_{NEZ}	14,0	
		NEZ: $0,3^s$; 0,09 μ, 0,08 μ, 0,07 μ		
		Lm	16,0	
		NEZ: $0,3^s$; 0,16 μ, 0,12 μ, 0,13 μ		
		F	04,3	
6.XI				
	KSP	Δ≈ 100 km		
		iPg_{NEZ}	15 55 41,5	D
		Z: $0,2^s$; 0,035 μ		
		iSg_{NE}	55,0	
		F	56,5	
7.XI		Pologne, Basse Silésie, $H=09^h04^m29^s$		
	KSP	Δ=25 km		
		iPg_{NEZ}	09 04 34,0	D
		iSg_{NEZ}	37,5	
		Lm	39	
		NEZ: $0,2^s$; 0,05 μ, 0,06 μ, 0,04 μ		
		F	05,6	
7.XI		Pologne, région de Wałbrzych, $H=13^h13^m12;5^s$		
	KSP	Δ=16 km. $A_Z=15°$		
		iP_{NEZ}	13 13 16,0	C
		iS_{NEZ}	18,5	

Date	Station	Phase	T.U. h m s	
7.XI (suite)	KSP	Lm	13 13 20	
		NEZ: $0,2^s$; 0.03 μ, 0,03 μ, 0,05 μ		
		F	13,7	
8.XI		Pologne, région de Wałbrzych		
	KSP	Δ=8 km. $A_Z=42°$		
		iP_{NEZ}	13 10 39,0	C
		iS_{NEZ}	40,5	
		Lm	43	
		NEZ: $0,7^s$; 0,10 μ, 0,11 μ, 0,11 μ		
		F	11,5	
9.XI				
	KSP	Δ=105 km		
		iPg_{NEZ}	14 08 47,5	
		iSg_{NEZ}	09 01,5	
		F	09,5	
10.XI		Région frontière Pologne - Tchécoslovaquie, près de Cieszyn, PRU: eiPg 02 34 44, eiSg 35 17; KHC: ePg 02 34 47,7, eiSg 35 40,5		
	RAC			
		$eiPg_{Z}$	02 34 02,3	
		ei_{Z}	17,2	
		Lm	19	
		Z: 1^s; 2,8 μ		
		F	37	
	RBN			
		$eiPg_{Z}$	02 34 02,3	
		ePg_{Z}	09,5	
	KRA (Ch)	Δ=94 km		
		$eiPg_{EZ}$	02 34 14,3	
		i_{EZ}	16,3	
		iSg_{NEZ}	26,7	
	KSP	Δ=190 km		
		ePg_{Z}	02 34 25,5	
		iSg_{NEZ}	49,5	
		F	37,0	
12.XI		Pologne, SW de Wałbrzych, $H=11^h16^m29^s$		

Date	Station	Phase	T.U. h m s	
12.XI	KSP	Δ=16 km		
		iP_{NEZ}	11 16 32,0	C
		iS_{NE}	34,5	
		Lm	43	
		NEZ: $0,2^s$; 0,10 μ, 0,20 μ, 0,10 μ		
		F	17,5	
13.XI		PRU: ePg 12 43 39, eiSg 44 03		
	KSP	Δ≈ 120 km		
		$eiPg_{EZ}$	12 43 30,5	D
		$eiSg_{NEZ}$	46,0	
		F	44,2	
13.XI				
	KSP	Δ≈ 100 km		
		$eiPg_{NEZ}$	14 51 48,0	
		Z: $0,2^s$; 0,02 μ		
		$eiSg_{NEZ}$	52 01,0	
		Lm	03	
		NEZ: $0,2^s$; 0,03 μ, 0,01 μ, 0,03 μ		
		F	53,3	
14.XI				
	KSP	Δ≈ 30 km $A_Z=235°$		
		iPg_{NEZ}	00 16 03,5	C
		$i(Sg)_{NZ}$	08,0	
		i_{NZ}	14,0	
		F	18,0	
14.XI		PRU: explosion de 3,7 tonnes, φ =50,03°N, λ =16,58°E		
	KSP	Δ= 96 km		
		$eiPg_{NEZ}$	13 31 15,5	
		Z: $0,5^s$; 0,03 μ	33,0	
		$eiSg_{NEZ}$		
		NEZ: $0,5^s$; 0,03 μ, 0,03 μ, 0,04 μ	33,0	
		F		
14.XI				
	KSP	Δ≈ 110 km	15 52 10,0	
		iPgNEZ		
		Z: $0,5^s$; 0,03 μ	24,5	
		iSg_{NEZ}		

International Seismological Centre

Date	Station	Phase	T.U. h m s
14.XI (suite)	KSP	Lm	15 52 24,5
		NEZ: $0,5^s$; 0,03 μ, 0,04 μ 0,01 μ	
		F	53,4
16.XI			
	KSP	Δ≈ 35 km	
		$e1Pg_{NEZ}$	10 59 39,0
		$1Sg_{NEZ}$	44,0
		Lm	46,0
		NEZ: $0,5^s$; 0,06 μ, 0,13 μ 0,11 μ	
		i_{NEZ}	52,5
		F	11 00,5
16.XI		Région frontière Pologne - Tchecoslovaquie, près de Cieszyn, PRU: e1Sg 12 11 42,5	
	KRA (SKM)	Δ≈ 120 km	
		$1Pg_{NEZ}$	12 10 31,4
		N: - E: - Z: - 0,051 μ	
		$1Sg_{NEZ}$	47,9
		F	11,7
	RBN		
		$e1Sg_E$	12 10 44,9 D
	BAC		
		$e1Sg_E$	12 10 45,6
		$e1_E$	48,2
	KSP	Δ≈ 250 km	
		ePg_{NEZ}	12 10 54,5
		$e1Sg_{NEZ}$	11 27,5
		F	12,5
16.XI			
	KRA (SKM)	$e1Pg_{NZ}$	12 47 54,6
		Z: $0,7^s$; 0,029 μ	
		$e1_{EZ}$	59,5
		F	48,6
23.XI			
	KSP	Δ≈ 110 km	
		$1Pg_{NEZ}$	12 26 48,0
		$1Sg_{NEZ}$	27 02,5
		F	27,6

Date	Station	Phase	T.U. h m s
23.XI			
	KSP	Δ≈ 125 km	
		$1Pg_{NEZ}$	12 41 07,0 D
		$1Sg_{NEZ}$	23,0
		F	41,7
23.XI		Pologne, Basse Silésie, φ =50,6°N, λ =16,5°E, H=$13^h03^m33,5^s$; PRU: 1Pg 13 03 58,5, 1Sg 04 18	
	KSP	Δ=28 km. A_Z=155°	
		$1Pg_{NEZ}$	13 03 39,0 C
		$1Sg_{NEZ}$	43,0
		Lm	47
		NEZ: $0,7^s$; 0,14 μ, 0,14 μ, 0,13 μ	
		F	05,0
23.XI		Pologne, Basse Silésie, PRU: ePg 09 05 46,5, e1Sg 06 06,5	
	KSP	Δ=28 km	
		$1Pg_{EZ}$	09 05 23,5 C
		$1Sg_{NEZ}$	27,5
		F	06,3
28.XI			
	KSP	Δ= 170 km	
		ePg_{NZ}	14 00 36,0
		$e1Sg_{NEZ}$	57,5
		F	01,5
29.XI		Pologne, Basse Silésie	
	KSP	Δ=28 km	
		$1Pg_{NEZ}$	13 01 39,0
		$1Sg_{NEZ}$	43,0
		Lm	46
		NEZ: $0,3^s$; 0,04 μ, 0,04 μ, 0,04 μ	
		F	02,5
29.XI		Tchécoslovaquie, PRU: explosion, φ =50,18°N, λ =13,29°E,	
	KSP	Δ =222 km	
		$e1Pg_{NEZ}$	15 01 31,0
		$e1Sg_{NEZ}$	58,5

Date	Station	Phase	T.U. h m s
29.XI (suite)	KSP	Lm	15 02 03,5
		NEZ: $0,7^s$; 0,45 μ, 0,45 μ 0,03 μ	
		F	02,2
30.XI	NIE	$1Pg_Z$	10 58 28 D
		Z: $0,7^s$; 0,013 μ	

Date	Station	Phase	T.U. h m s
30.XI	NIE	1_Z	10 58 40
		F	59,2
30.XI			
	KSP	Δ≈ 170 km.	
		$e1Pg_{NEZ}$	12 00 03,5
		$e1Sg_{NEZ}$	25,0
		F	02,0

1973 — D É C E M B R E — 1973

Date	Station	Phase	T.U. h m s
5.XII	NIE	Δ=20 km	
		$1Pg_Z$	14 07 21,3
		$1Sg_Z$	24,5
		F	07,8
6.XII		PRU: e1Pg 12 59 28,5, 1Sg 59 47,5	
	KSP	Δ=27 km	
		$1Pg_{NEZ}$	12 59 09,5 C
		Z: $0,3^s$; 0,02 μ	
		$1Sg_{NEZ}$	13,5
		Lm	15
		NEZ: $0,4^s$; 0,08 μ, 0,08 μ 0,05 μ	
		F	59,9
7.XII		Tchecoslovaquie	
	KSP	Δ≈ 120 km	
		$1Pg_{NEZ}$	13 36 25,8 D
		$e1Sg_{NEZ}$	41,8
		F	37,1
11.XII			
	KRA (SKM)	Δ≈ 85 km	
		$e(Pg)_{NEZ}$	12 41 17,0
		$e1_{EZ}$	21,5
		i_{NE}, $e1_Z$ Sg	28,5
		F	42,0
12.XII		Pologne, région de Kraków	
	KRA (SKM)	Δ = 16 km	
		e_N, $e1_{EZ}$ P	12 07 03,4

Date	Station	Phase	T.U. h m s
12.XII	KRA	Pn	12 07 04,5
		Z: $1,0^s$; 0,054 μ	
		$1S_{NEZ}$	05,9
12.XII		Pologne, Basse Silésie, φ =51,0°N, λ =15,95°E, H=$13^h00^m05,9^s$; PRU: e1Pg 13 00 30,5, e1Sg 00 49,5	
	KSP	Δ=28 km. A_Z=312°	
		$1Pg_{NEZ}$	13 00 11,3 C
		Z: $0,4^s$; 0,05 μ	
		$1Sg_{NEZ}$	15,3
		Lm	18
		NEZ: $0,5^s$; 0,10 μ, 0,12 μ, 0,15 μ	
		F	00,9
13.XII		PRU: ePg 10 08 17, e1Sg 08 37,5	
	KSP	Δ≈ 35 km	
		$1Pg_{NEZ}$	10 07 53,8 D
		$1Sg_{NEZ}$	58,3
		Lm	59
		NEZ: $0,3^s$; 0,03 μ, 0,09 μ, 0,055 μ	
		F	08,8
13.XII		Pologne, région de Wałbrzych φ =50,95°N, λ =16,30°E, H=$13^h46^m57,7^s$	
	KSP	Δ = 12 km. A_Z=11°	
		$1P_{NEZ}$	13 47 00,4 C
		$1S_{NEZ}$	02,4
		NEZ: $0,2^s$; 0,03 μ, 0,07 μ 0,04 μ	

International Seismological Centre

International Seismological Centre

Date	Station	Phase	T.U. h m s
13.XII (suite)	KSP	iL_{NEZ}	13 47 08,3
		F	47,5
14.XII		Région frontière Pologne-Moravie, φ =49,9°N, λ =18,6°E, H=04h21m35s	
	RAC	Δ=30 km	
		$eiPg_Z$	04 21 40,7
		iSg_Z	45
	RBN	Δ=20 km	
		$eiSg_{NEZ}$	04 21 42
	KRA (SKM)	Δ≈95 km	
		iPg_Z	04 21 57
		$eiSg_N$	22 09,5
	NIE	Δ≈140 km	
		$eiPg_Z$	04 22 03,5
		Z: 0,6s; 0,028 μ	
		iSg_Z	23
	KSP	Δ≈190 km	
		ePg_{NEZ}	04 22 06,8
		eSg_{NEZ}	28,3
		F	22,9
14.XII		Tchécoslovaquie	
	NIE	Δ≈70 km	
		$eiPg_Z$	10 40 26,5
		iSg_Z	35,5
		i_Z	51,7
	KRA (SKM)	Δ≈160 km	
		iPg_{NZ}	10 40 40,1 D
		Z: 0,7s; 0,033 μ	
		iSg_{NEZ}	41 00,6
		F	41,8
14.XII		Tchécoslovaquie-Moravie, PhU: ePg 14 00 50, eiSg 01 19	
	RAC		
		ePg_{NEZ}	14 00 27
	KRA (SKM)	Δ≈160 km	
		ei_{NE}, e_Z Pg	14 00 37,0 C
		Z: 0,7s; 0,033 μ	
		iSg_{NEZ}	57,1
		F	01,6
15.XII		Pologne, région de Wałbrzych, φ =50,7°N, λ =16,2°E, H=09h00m01,1s; PRU: eiPg 00 00 27, eiSg 00 46	
	KSP	Δ=16 km. A_Z=195°	
		iP_{NEZ}	09 00 04,5 C
		iS_{NEZ}	07,0
		Lm	08
		NEZ: 0,4s; 0,10 μ, 0,135 μ, 0,09 μ	
		F	01,0
15.XII			
	KRA (SKM)	Δ≈75 km	
		iPg_E	10 52 08
		iSg_{EZ}	18,2
		F	53,0
17.XII			
	KRA (SKM)	Δ≈27 km	
		e_E, i_Z Pg	13 43 14,4
		Z: 0,6s; 0,019 μ	
		$i(Sg)_{EZ}$	18,3
		F	43,7
19.XII		Pologne, Basse Silésie, φ=50,6°N, λ =16,5°E, H=12h04m47s	
	KSP	Δ=33 km. A_Z=155°	
		iPg_{NEZ}	12 04 53,3 C
		iSg_{NEZ}	58,0
		F	05,5
20.XII		Pologne, Basse Silésie, φ =51,1°N, λ =16,0°E, H=11h03m47s; PRU: iPg 11 04 16,5, iSg 04 37,5	
	KSP	Δ=35 km. A_Z=330°	
		$eiPg_{NEZ}$	11 03 56,0 C
		$eiSg_{NEZ}$	04 01,0
		Lm	06
		NEZ: 0,5s; 0,35 μ, 0,15 μ, 0,12 μ	
		F	07,7
21.XII	KSP	Pologne, région de Wałbrzych Δ=12 km	
		iP_Z	13 13 45,5
		iS_Z	47,5
		Lm	48,5
		Z: 0,4s; 0,02 μ	
21.XII		Tchécoslovaquie, Moravie, PRU: ePn 14 30 08,5, eiPg 30 11,5, eiSg 30 40; KHC: ePg 14 30 27, eiSg 30 53	
	RAC	Δ = 30 km	
		$eiPg_{NEZ}$	14 29 36
		eSg_{NEZ}	40
	KRA (SKM)	Δ≈130 km	
		iPg_{EZ}	14 29 57 C
		iSg_N	30 14,0
		iSg_{EZ}	15,0
		F	31,0
21.XII	KSP	Δ≈170 km	
		$eiPg_Z$	14 30 02,4
		ei_Z	14,5
		$ei(Sg)_Z$	24,5
		F	31,0
29.XII		PRU: ePg 13 59 26,5, eiSg 59 57	
	KSP	Δ≈160 km	
		ePn_{NE}	13 59 14,3
		iPg_{NE}	15,0
		iSg_{NE}	34,5
		F	14 00,2
30.XII			
	KRA (SKM)	Δ≈150 km	
		$eiPg_{NEZ}$	09 45 03,8
		iSg_{NEZ}	23,0
		F	46,2

B. Guterch, H. Lewandowska-Marciniak
Institute of Geophysics, Polish Academy of Sciences

LOCAL SHOCKS RECORDED BY SEISMOLOGICAL STATIONS KSIĄŻ AND NIEDZICA IN THE YEARS 1972 - 1973

Local shocks recorded by the Polish network of seismological stations in the years 1972-1973, excluding the shocks from Upper Silesia, can be divided into four groups.

Natural tectonic shocks from the area of Czech Moravia, including the vicinity of Cieszyn in the Polish - Czechoslovak border region. The stronger shocks are recorded by all Polish stations except of Warsaw.

Shocks caused by rockbursts in the Lubin and Polkowice mines. Shocks from the Lubin - Głogów Copper Region are recorded first of all by station Książ, as well as by stations Moxa and Bergiesshübel in DDR. There was only one shock from the LGCR recorded at Książ in 1973.

Ascertained quarries and firing for deep, seismic sounding purposes.

Nonidentified local shocks.

The first three groups make up only a small part /few percent/ of all the shocks recorded. Basing on catalog of local shocks for 1972 and 1973 /1,2/ we compiled the nonidentified shocks, i.e. those belonging to the last group, whose origin is to be found. Figs. 1,2 and 3 show, for various epicentral distances from the recording stations, numbers of shocks /in percent/ for two-hour daily intervals. In view of the differences in the method of preparation of the catalog of local shocks at Książ for the years 1972 and 1973, (the catalog for 1973 contains only the distinctly recorded shocks with well-marked arrivals of waves P and S), dependences N(t) are given separately for these two years /Figs. 1 and 2/. It can be seen that nearly 100% of the recordings of nonidentified local shocks occurred in the day time, i.e. during working hours of factories. Except for very rare cases, we do not observe any shocks between 19^h and 6^h GMT. At station Niedzica the tendency in the daily distribution of shocks is not so distinctive, but also there the maximum number of shocks is recorded between 11^h and 14^h GMT /Fig. 3/. Shocks caused by rockbursts in mines Lubin and Polkowice, as well as tectonic shocks in Moravia, do not show any similar daily behaviour.

International Seismological Centre

On the basis of the analysed recordings of the years 1972 and 1973 it is difficult to assess the seismicity of the area. It is known from historical data and seismological observations of the XX century that in the Sudetes, fore-Sudetic monocline and the Pieniny region there is a weak seismic activity /3/. One can therefore expect the occurrence of foci of natural tectonic shocks. It is likely that the Carpathian shocks are the cause of the most homogeneous distribution of the number of shocks recorded in Niedzica, in particular for epicentral distances of more than 100 km /Fig. 3/; also in this case, however, there is a well-marked maximum at 11^h-14^h GMT.

Of the local shocks recorded at Książ, the most interesting are those from the Sudetes and fore-Sudetic monocline, i.e. first of all those from selected azimuths and from epicentral distances up to 70 km. However, the daily distribution of this group of shocks /Fig. 2/ indicates that they were mostly generated by firing in quarries and mines as well as by the activity of factories. The foci of farther shocks are exclusively on the territory of Czechoslovakia and DDR.

To determine the seismic activity of the region of the Sudetes and Pieniny, further analysis of the recorded material is indispensable.

REFERENCES

1. Bulletin Séismologique, Materiały i Prace, 66(5), Warszawa, 1972
2. Bulletin Séismologique, Materiały i Prace, 79(5), Warszawa, 1975
3. Cataloque of earthquakes in Poland in 1000 - 1970 years, Materiały i Prace, 51, Warszawa, 1972.

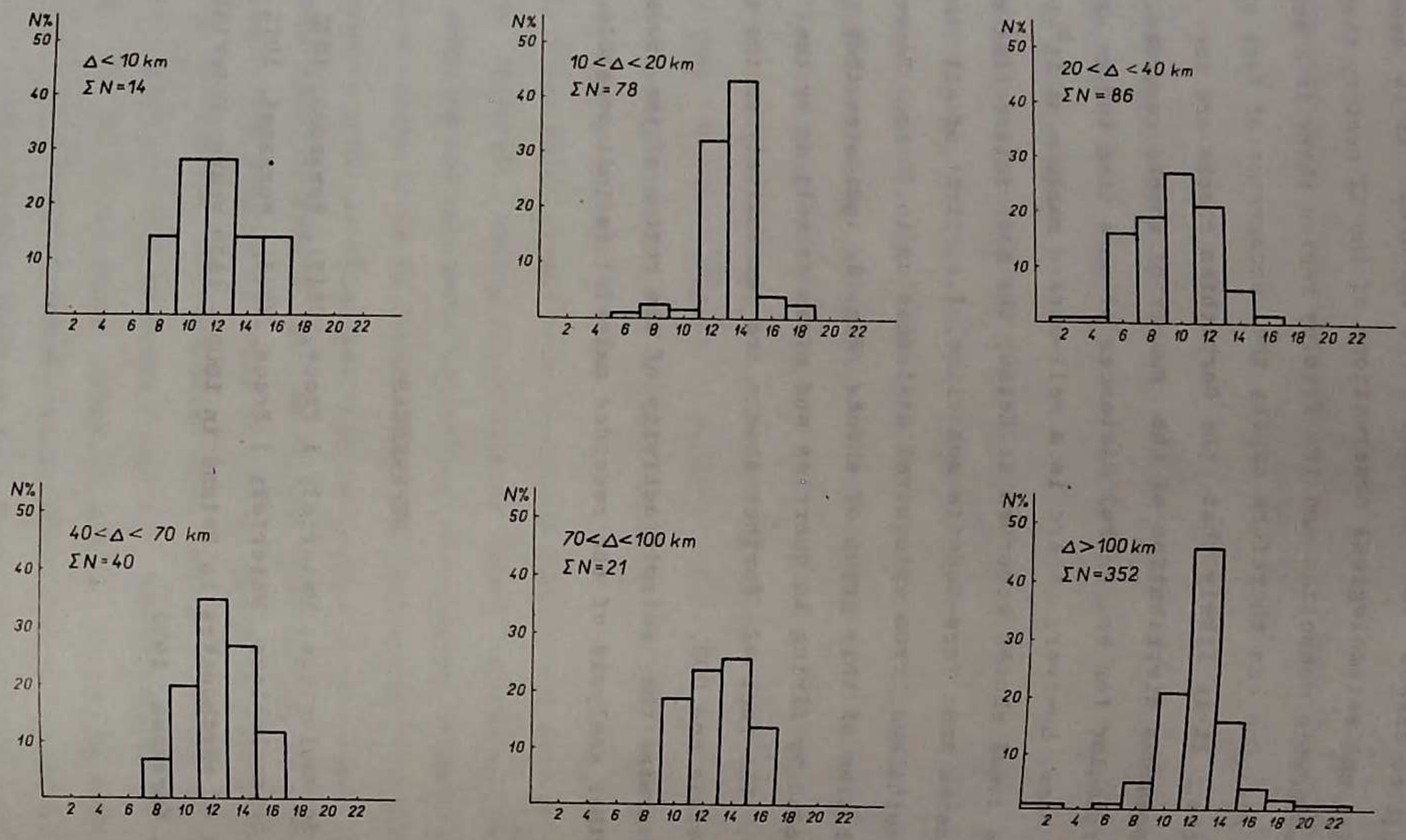

Fig. 1. Daily distribution of nonidentified local shocks recorded by station Książ in 1972

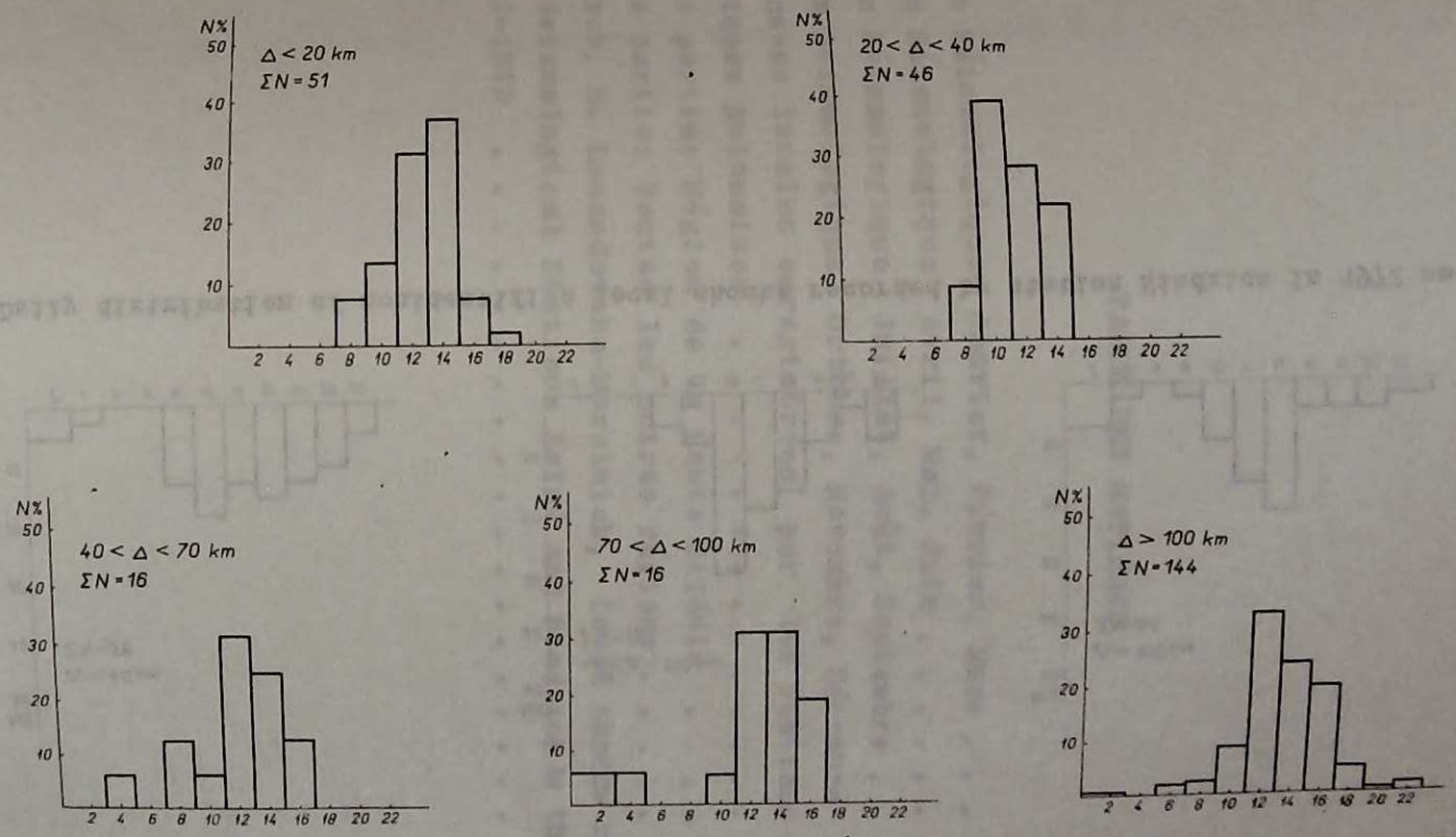

Fig. 2. Daily distribution of nonidentified local shocks recorded by station Książ in 1972

International Seismological Centre

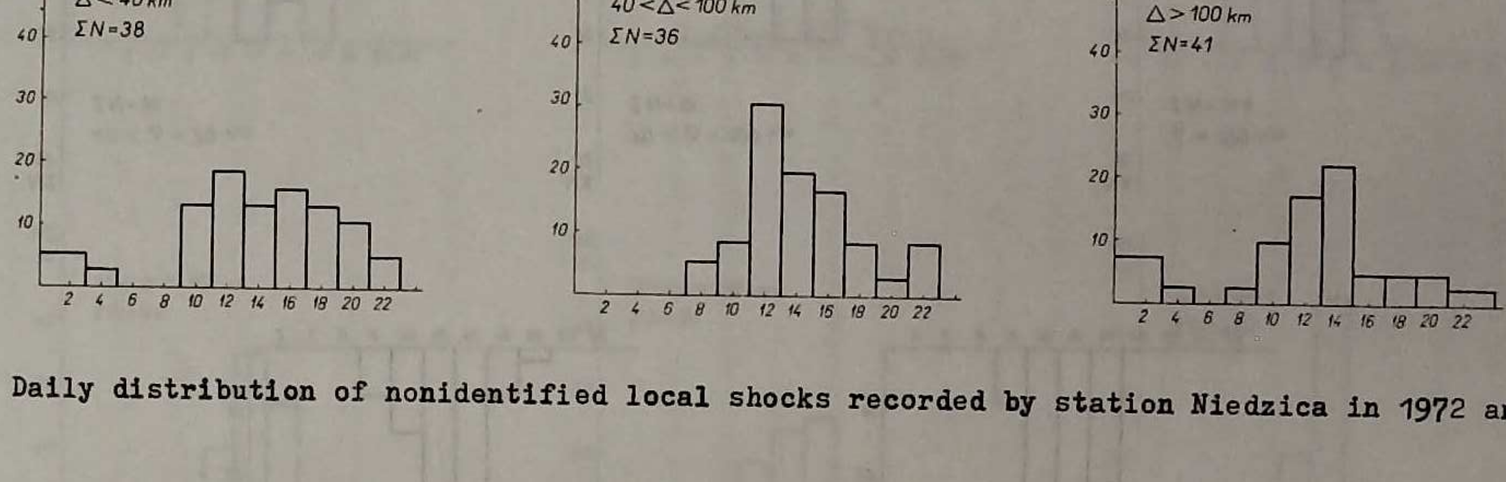

Fig. 3. Daily distribution of nonidentified local shocks recorded by station Niedzica in 1972 and 1973

TABLE DES MATIÉRES

lletin Séismologique Janvier, Février, Mars 1
lletin Séismologique Avril, Mai, Juin 53
lletin Séismologique Juillet, Août, Septembre 119
lletin Séismologique Octobre, Novembre, Décembre 179
secousses locales enregistrées par les stations séismo-
logiques polonaises 237
ière partie: Région de la Haute Silésie 255
uxième partie: Toutes les autres régions 361
Gutenberg, H. Lewandowska-Marciniak, Local shocks recorded
by Seismological Stations Książ and Niedzica in the years
1972-1973 398